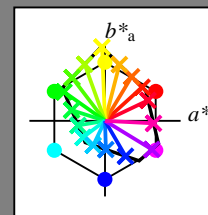


Ein und Ausgabe:
Farbmetrisches Drucker-Reflektiv-System FRS09_92aM
Daten für jede Farbe:
 u^*_e und Nummer $Nr.$ = 00 .. 15
Elementar-Bunttontext:
 $u^*_e = 16$ Bunttoene $r00j, r25j, \dots, b75r$
Kontrastreduzierungsfaktor:
 $c_R = 0.9$

FRS09_92aM; adaptierte CIELAB-Daten

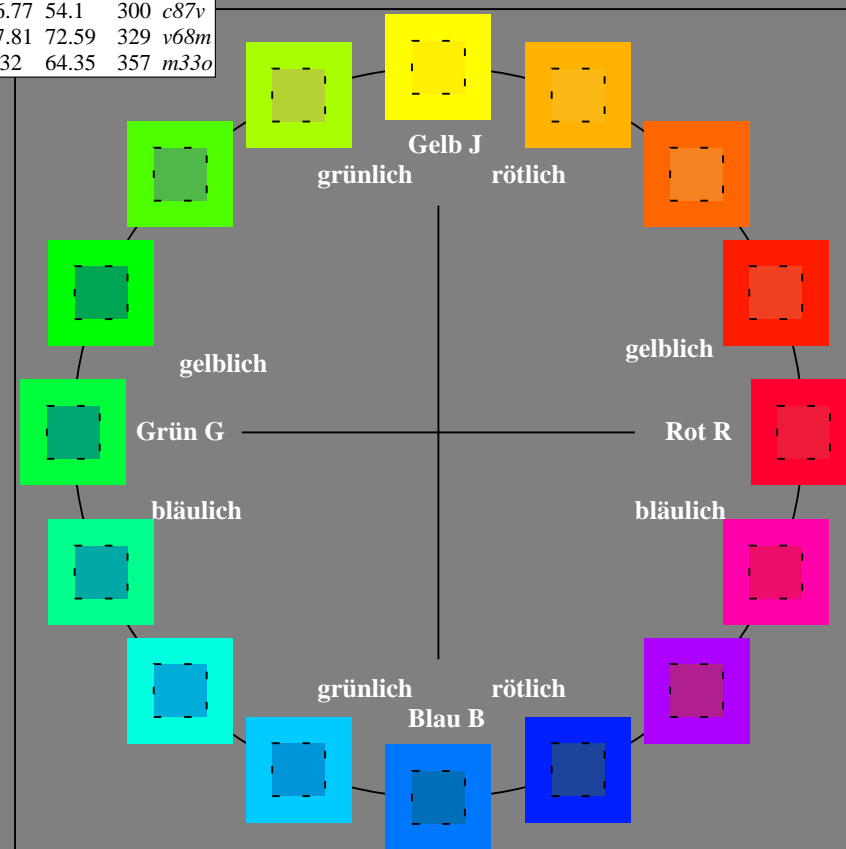
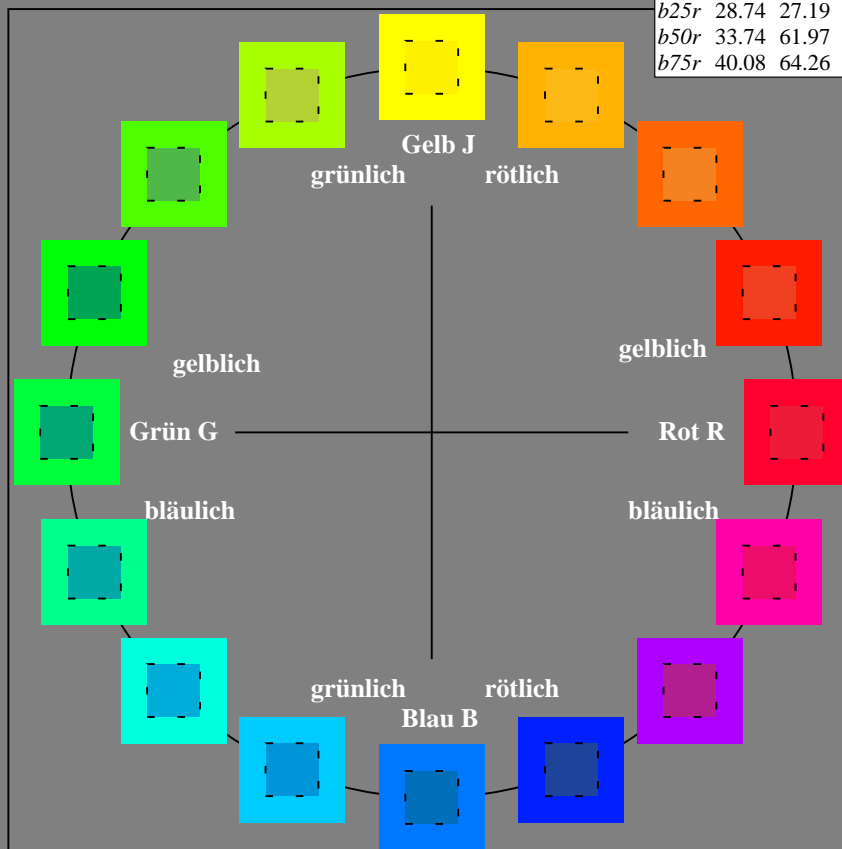
u^*_e	$L^*=L^*_a$	a^*_a	b^*_a	$C^*_{ab,a}$	$h^*_{ab,a}$	u^*_d
$r00j$	39.18	56.94	27.13	63.07	25	$m81o$
$r25j$	42.41	49.1	44.5	66.26	42	$o10y$
$r50j$	52.78	35.22	58.37	68.17	59	$o40y$
$r75j$	64.82	19.12	74.47	76.89	76	$o69y$
$j00g$	82.06	-3.94	97.52	97.6	92	$o98y$
$j25g$	67.26	-26.87	74.67	79.36	110	$y34l$
$j50g$	55.83	-43.45	57.11	71.76	127	$y69l$
$j75g$	47.5	-54.18	38.3	66.35	145	$l03c$
$g00b$	50.07	-44.09	14.13	46.3	162	$l23c$
$g25b$	52.21	-35.66	-6.03	36.17	190	$l55c$
$g50b$	53.9	-29.04	-21.87	36.36	217	$l87c$
$g75b$	49.44	-15.51	-32.31	35.84	244	$c20v$
$b00r$	41.36	1.15	-37.95	37.97	272	$c53v$
$b25r$	28.74	27.19	-46.77	54.1	300	$c87v$
$b50r$	33.74	61.97	-37.81	72.59	329	$v68m$
$b75r$	40.08	64.26	-3.32	64.35	357	$m33o$



%Umfang
 $u^*_{rel} = 88$
%Regularität
 $g^*_{H,rel} = 31$
 $g^*_{C,rel} = 40$

FRS09_92aM; adaptierte CIELAB-Daten

Name	$L^*=L^*_a$	a^*_a	b^*_a	$C^*_{ab,a}$	$h^*_{ab,a}$
O _{Ma}	38.8	53.92	39.68	66.95	36
Y _{Ma}	82.58	-4.64	98.22	98.33	93
L _{Ma}	46.95	-56.34	43.46	71.15	142
C _{Ma}	54.62	-26.2	-28.68	38.85	228
V _{Ma}	20.01	45.2	-52.87	69.56	311
M _{Ma}	40.88	70.68	-29.99	76.78	337
N _{Ma}	15.0	0.0	0.0	0.0	0
W _{Ma}	90.0	0.0	0.0	0.0	0
R _{CIE}	39.92	58.74	27.99	65.07	92
J _{CIE}	81.26	-2.89	71.56	71.62	25
G _{CIE}	52.23	-42.42	13.6	44.55	162
B _{CIE}	30.57	1.41	-46.47	46.49	272



Ein und Ausgabe: Farbmetrisches Drucker-Reflektiv-System FRS09_92aM für relativen CIELAB-Buntton $h^* = lab^*h^* = h_{ab}/360 = 0.071$

Daten für jede Farbe:

lab^*ch^* und lab^*icu^*

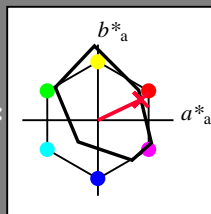
Bunttontexte:

$u^*_e = r00j$ $u^*_d = m81o$

Kontrastreduzierungsfaktor:

$c_R = 0.9$

Dreiecks-Helligkeit i^*



FRS09_92aM; adaptierte CIELAB-Daten

u^*_e	$L^*=L^*_a$	a^*_a	b^*_a	$C^*_{ab,a}$	$h^*_{ab,a}$
O _{Ma}	38.8	53.92	39.68	66.95	36
Y _{Ma}	82.58	-4.64	98.22	98.33	93
L _{Ma}	46.95	-56.34	43.46	71.15	142
C _{Ma}	54.62	-26.2	-28.68	38.85	228
V _{Ma}	20.01	45.2	-52.87	69.56	311
M _{Ma}	40.88	70.68	-29.99	76.78	337
N _{Ma}	15.0	0.0	0.0	0.0	0
W _{Ma}	90.0	0.0	0.0	0.0	0
R _{Ma}	39.92	58.74	27.99	65.07	25
J _{Ma}	81.26	-2.89	71.56	71.62	92
G _{Ma}	52.23	-42.42	13.6	44.55	162
B _{Ma}	30.57	1.41	-46.47	46.49	272

Daten für Maximalfarbe (Ma):

LAB^*LAB^*Ma : 39 57 27

LAB^*LCH^*Ma : 39 63 25

lab^*rgb^*Ma : 1.0 0.0 0.0

lab^*olv^*Ma : 1.0 0.0 0.18

Dreiecks-Helligkeit i^*

%Umfang

$u^*_{rel} = 88$

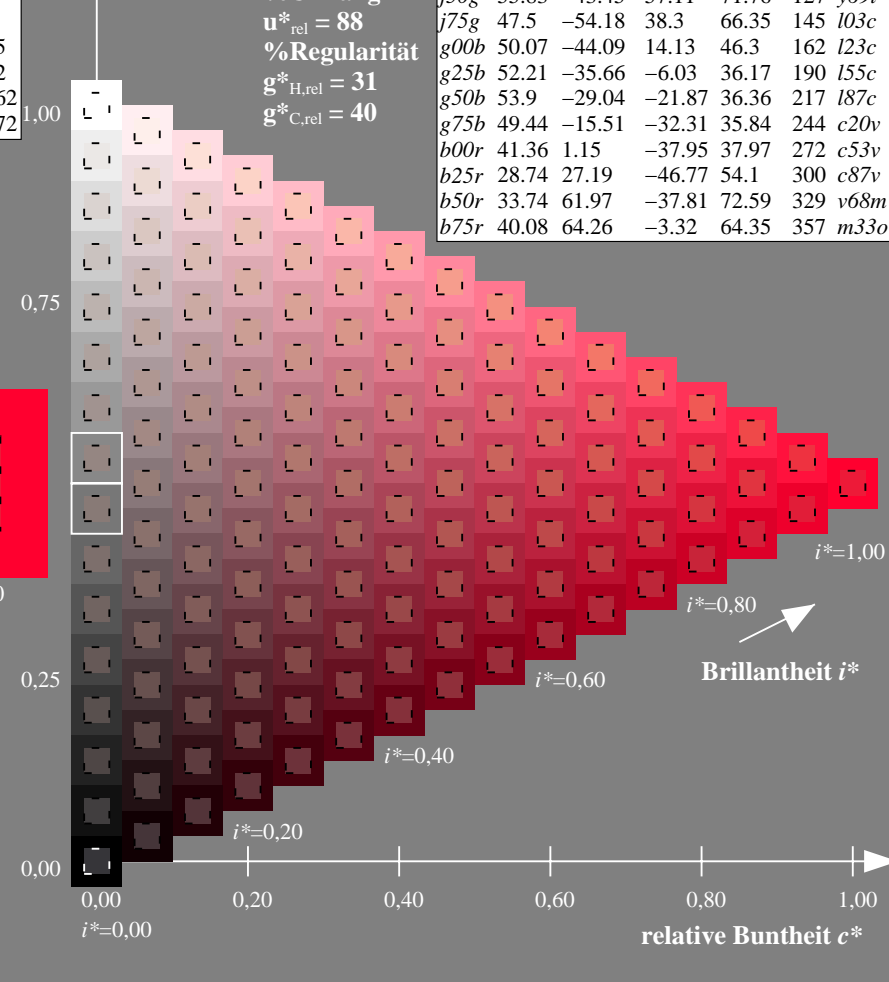
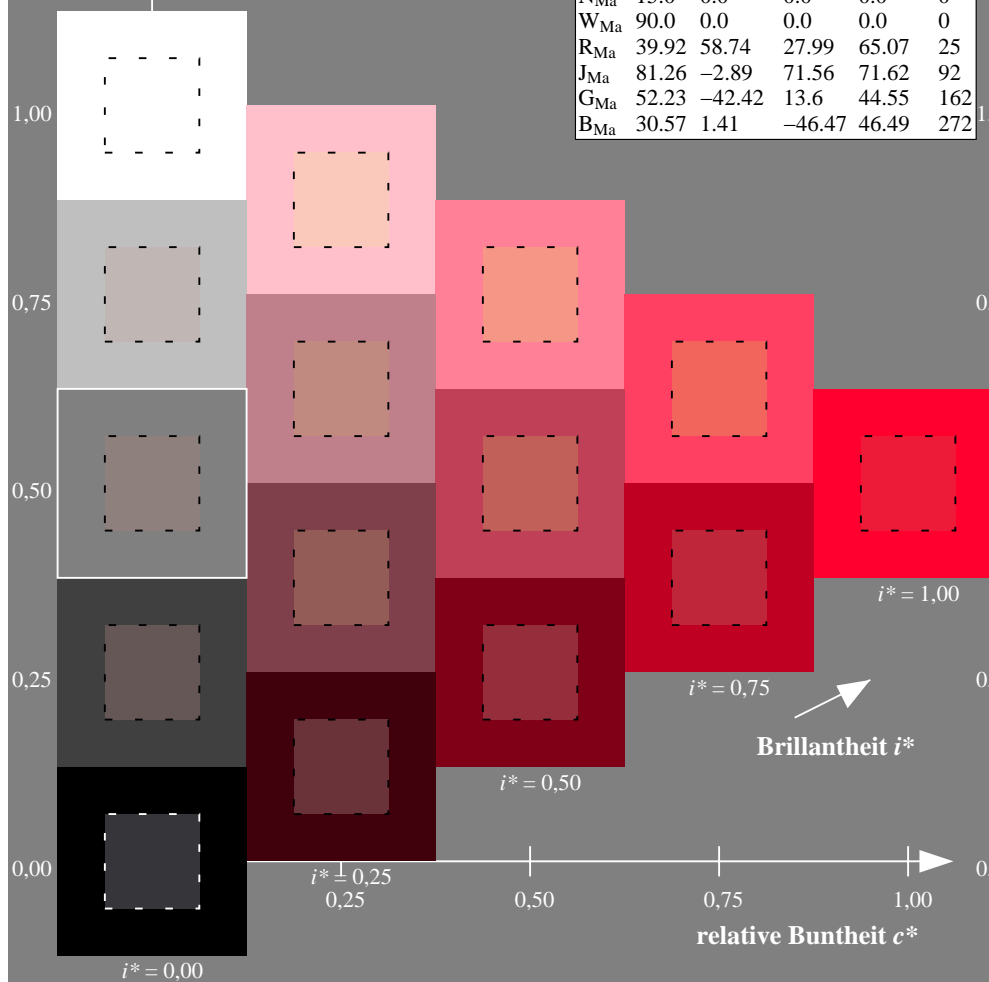
%Regularität

$g^*_{H,rel} = 31$

$g^*_{C,rel} = 40$

FRS09_92aM; adaptierte CIELAB-Daten

u^*_e	$L^*=L^*_a$	a^*_a	b^*_a	$C^*_{ab,a}$	$h^*_{ab,a}$	u^*_d
r00j	39.18	56.94	27.13	63.07	25	m81o
r25j	42.41	49.1	44.5	66.26	42	o10y
r50j	52.78	35.22	58.37	68.17	59	o40y
r75j	64.82	19.12	74.47	76.89	76	o69y
j00g	82.06	-3.94	97.52	97.6	92	o98y
j25g	67.26	-26.87	74.67	79.36	110	y34l
j50g	55.83	-43.45	57.11	71.76	127	y69l
j75g	47.5	-54.18	38.3	66.35	145	l03c
g00b	50.07	-44.09	14.13	46.3	162	l23c
g25b	52.21	-35.66	-6.03	36.17	190	l55c
g50b	53.9	-29.04	-21.87	36.36	217	l87c
g75b	49.44	-15.51	-32.31	35.84	244	c20v
b00r	41.36	1.15	-37.95	37.97	272	c53v
b25r	28.74	27.19	-46.77	54.1	300	c87v
b50r	33.74	61.97	-37.81	72.59	329	v68m
b75r	40.08	64.26	-3.32	64.35	357	m33o



Ein und Ausgabe: Farbmetrisches Drucker-Reflektiv-System FRS09_92aM für relativen CIELAB-Buntton $h^* = lab^*h^* = h_{ab}/360 = 0.117$

Daten für jede Farbe:

lab^*ch^* und lab^*icu^*

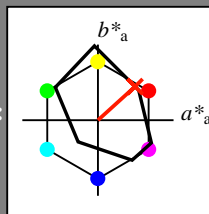
Bunttontexte:

$u^*_e = r25j$ $u^*_d = o10y$

Kontrastreduzierungsfaktor:

$c_R = 0.9$

Dreiecks-Helligkeit i^*



FRS09_92aM; adaptierte CIELAB-Daten

u^*_e	$L^*=L^*_a$	a^*_a	b^*_a	$C^*_{ab,a}$	$h^*_{ab,a}$
O _{Ma}	38.8	53.92	39.68	66.95	36
Y _{Ma}	82.58	-4.64	98.22	98.33	93
L _{Ma}	46.95	-56.34	43.46	71.15	142
C _{Ma}	54.62	-26.2	-28.68	38.85	228
V _{Ma}	20.01	45.2	-52.87	69.56	311
M _{Ma}	40.88	70.68	-29.99	76.78	337
N _{Ma}	15.0	0.0	0.0	0.0	0
W _{Ma}	90.0	0.0	0.0	0.0	0
R _{Ma}	39.92	58.74	27.99	65.07	25
J _{Ma}	81.26	-2.89	71.56	71.62	92
G _{Ma}	52.23	-42.42	13.6	44.55	162
B _{Ma}	30.57	1.41	-46.47	46.49	272

Daten für Maximalfarbe (Ma):

LAB^*LAB^*Ma : 42 49 44

LAB^*LCH^*Ma : 42 66 42

lab^*rgb^*Ma : 1.0 0.25 0.0

lab^*olv^*Ma : 1.0 0.1 0.0

Dreiecks-Helligkeit i^*

%Umfang

$u^*_{rel} = 88$

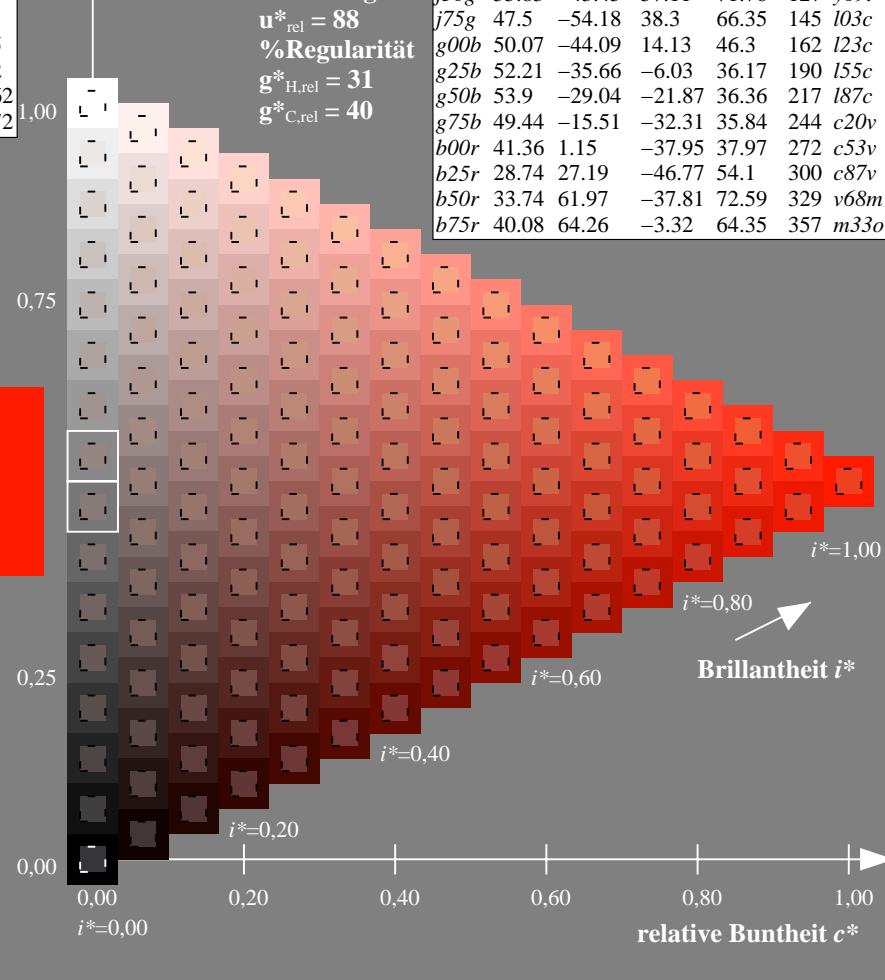
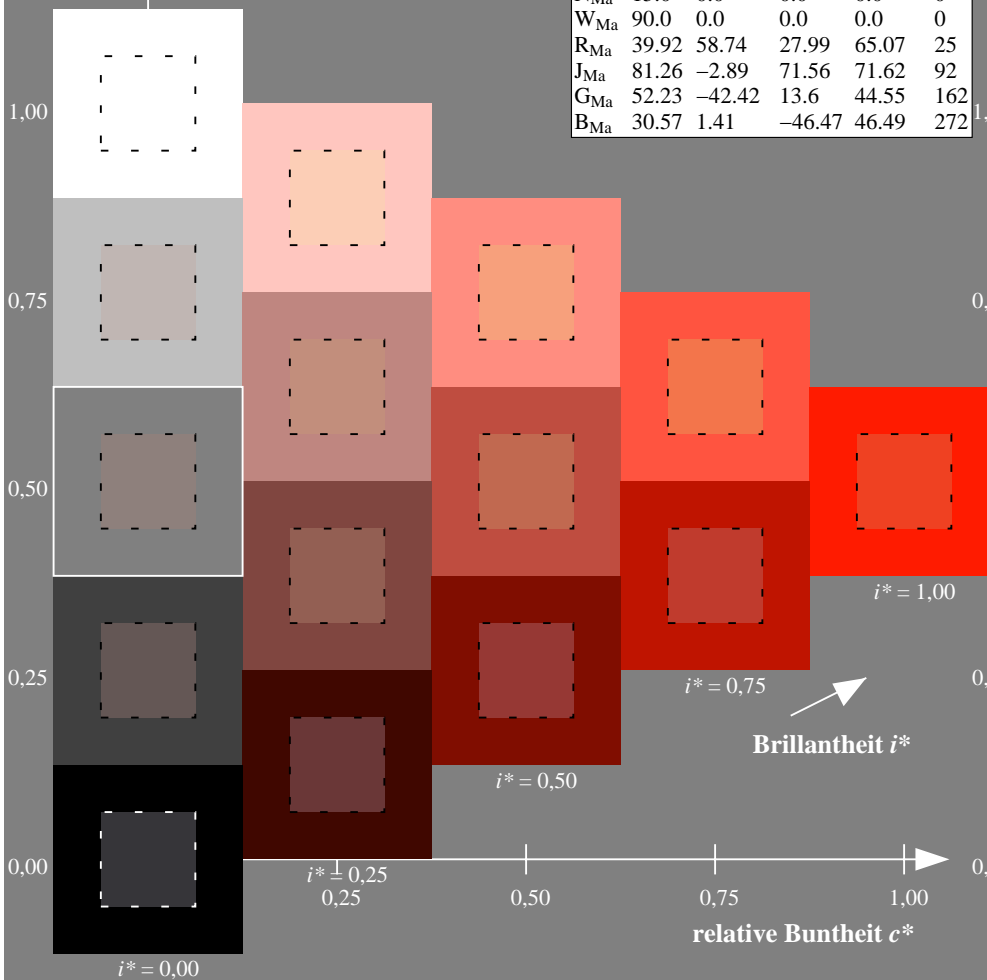
%Regularität

$g^*_{H,rel} = 31$

$g^*_{C,rel} = 40$

FRS09_92aM; adaptierte CIELAB-Daten

u^*_e	$L^*=L^*_a$	a^*_a	b^*_a	$C^*_{ab,a}$	$h^*_{ab,a}$	u^*_d
r00j	39.18	56.94	27.13	63.07	25	m81o
r25j	42.41	49.1	44.5	66.26	42	o10y
r50j	52.78	35.22	58.37	68.17	59	o40y
r75j	64.82	19.12	74.47	76.89	76	o69y
j00g	82.06	-3.94	97.52	97.6	92	o98y
j25g	67.26	-26.87	74.67	79.36	110	y34l
j50g	55.83	-43.45	57.11	71.76	127	y69l
j75g	47.5	-54.18	38.3	66.35	145	l03c
g00b	50.07	-44.09	14.13	46.3	162	l23c
g25b	52.21	-35.66	-6.03	36.17	190	l55c
g50b	53.9	-29.04	-21.87	36.36	217	l87c
g75b	49.44	-15.51	-32.31	35.84	244	c20v
b00r	41.36	1.15	-37.95	37.97	272	c53v
b25r	28.74	27.19	-46.77	54.1	300	c87v
b50r	33.74	61.97	-37.81	72.59	329	v68m
b75r	40.08	64.26	-3.32	64.35	357	m33o



Ein und Ausgabe: Farbmetrisches Drucker-Reflektiv-System FRS09_92aM für relativen CIELAB-Buntton $h^* = lab^*h^* = h_{ab}/360 = 0.164$

Daten für jede Farbe:

lab^*ch^* und lab^*icu^*

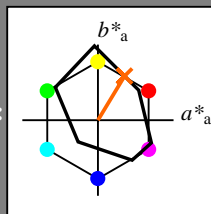
Bunttontexte:

$u^*_e = r50j$ $u^*_d = o40y$

Kontrastreduzierungsfaktor:

$c_R = 0.9$

Dreiecks-Helligkeit i^*



FRS09_92aM; adaptierte CIELAB-Daten

u^*_e	$L^*=L^*_a$	a^*_a	b^*_a	$C^*_{ab,a}$	$h^*_{ab,a}$
O _{Ma}	38.8	53.92	39.68	66.95	36
Y _{Ma}	82.58	-4.64	98.22	98.33	93
L _{Ma}	46.95	-56.34	43.46	71.15	142
C _{Ma}	54.62	-26.2	-28.68	38.85	228
V _{Ma}	20.01	45.2	-52.87	69.56	311
M _{Ma}	40.88	70.68	-29.99	76.78	337
N _{Ma}	15.0	0.0	0.0	0.0	0
W _{Ma}	90.0	0.0	0.0	0.0	0
R _{Ma}	39.92	58.74	27.99	65.07	25
J _{Ma}	81.26	-2.89	71.56	71.62	92
G _{Ma}	52.23	-42.42	13.6	44.55	162
B _{Ma}	30.57	1.41	-46.47	46.49	272

Daten für Maximalfarbe (Ma):

$LAB^*LAB^*_{Ma}$: 53 35 58

$LAB^*LCH^*_{Ma}$: 53 68 58

$lab^*rgb^*_{Ma}$: 1.0 0.5 0.0

$lab^*olv^*_{Ma}$: 1.0 0.4 0.0

Dreiecks-Helligkeit i^*

%Umfang

$u^*_{rel} = 88$

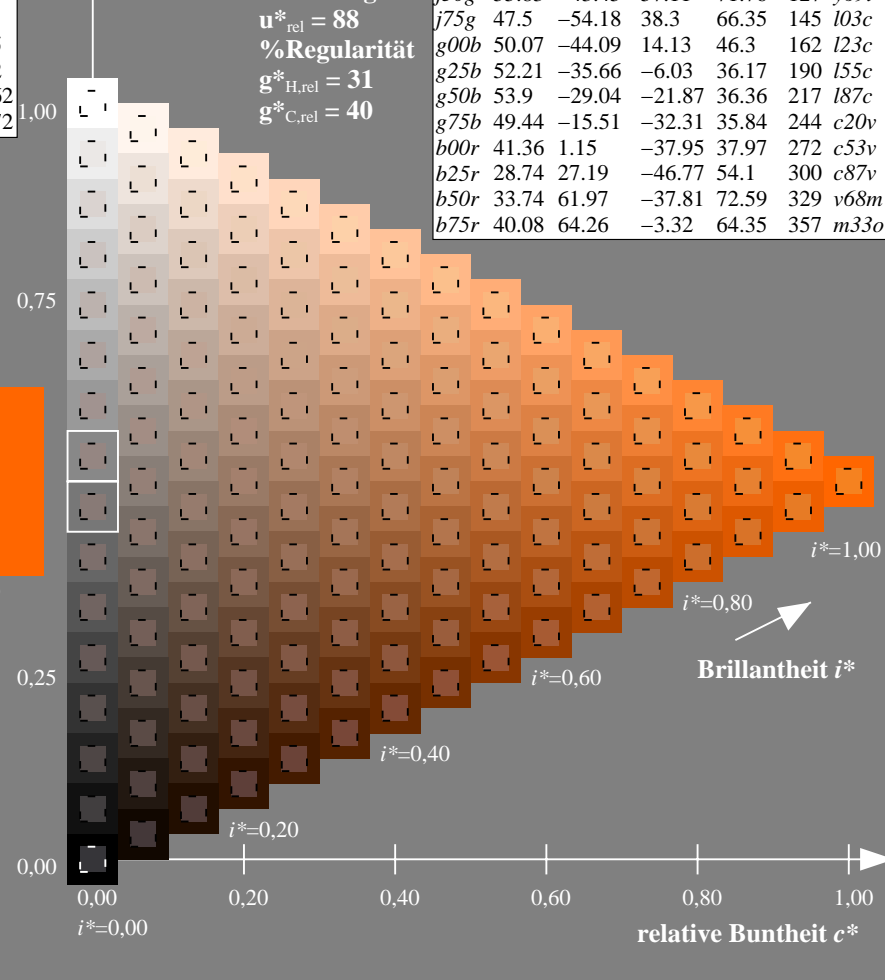
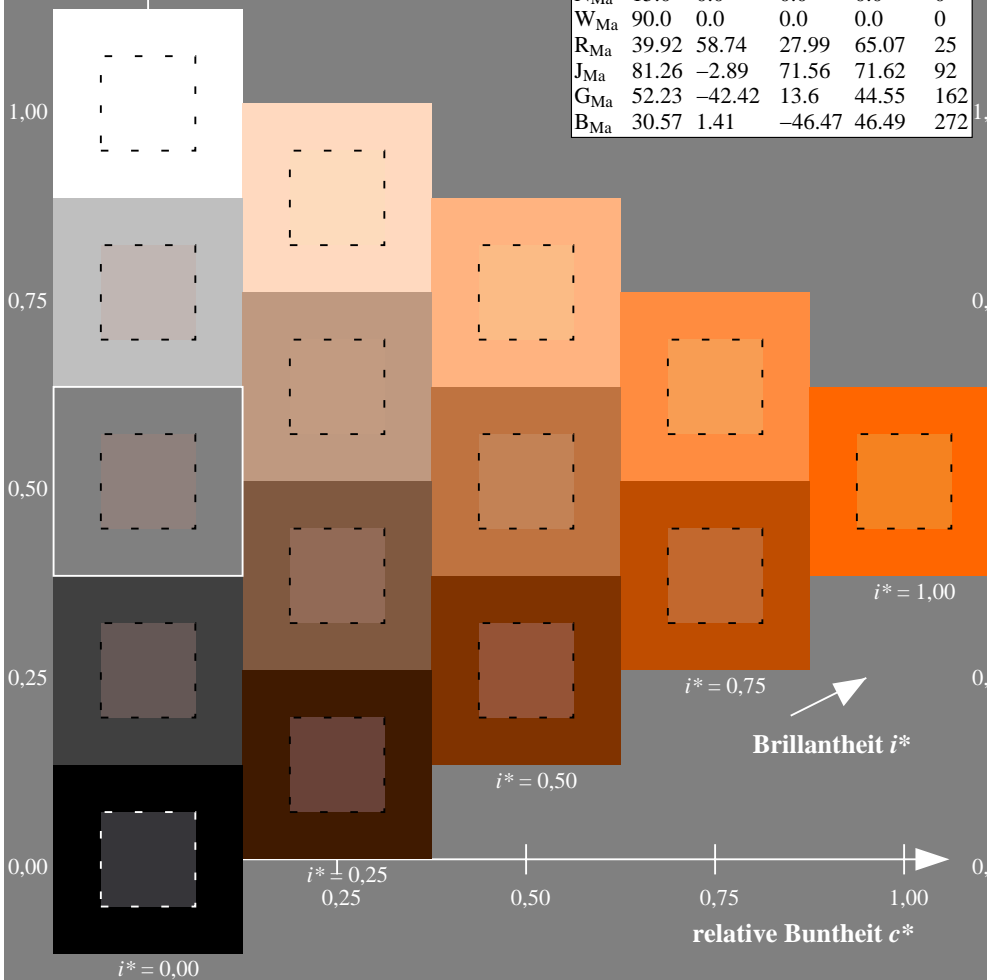
%Regularität

$g^*_{H,rel} = 31$

$g^*_{C,rel} = 40$

FRS09_92aM; adaptierte CIELAB-Daten

u^*_e	$L^*=L^*_a$	a^*_a	b^*_a	$C^*_{ab,a}$	$h^*_{ab,a}$	u^*_d
r00j	39.18	56.94	27.13	63.07	25	m81o
r25j	42.41	49.1	44.5	66.26	42	o10y
r50j	52.78	35.22	58.37	68.17	59	o40y
r75j	64.82	19.12	74.47	76.89	76	o69y
j00g	82.06	-3.94	97.52	97.6	92	o98y
j25g	67.26	-26.87	74.67	79.36	110	y34l
j50g	55.83	-43.45	57.11	71.76	127	y69l
j75g	47.5	-54.18	38.3	66.35	145	l03c
g00b	50.07	-44.09	14.13	46.3	162	l23c
g25b	52.21	-35.66	-6.03	36.17	190	l55c
g50b	53.9	-29.04	-21.87	36.36	217	l87c
g75b	49.44	-15.51	-32.31	35.84	244	c20v
b00r	41.36	1.15	-37.95	37.97	272	c53v
b25r	28.74	27.19	-46.77	54.1	300	c87v
b50r	33.74	61.97	-37.81	72.59	329	v68m
b75r	40.08	64.26	-3.32	64.35	357	m33o



Ein und Ausgabe: Farbmetrisches Drucker-Reflektiv-System FRS09_92aM für relativen CIELAB-Buntton $h^* = lab^*h^* = h_{ab}/360 = 0.21$

Daten für jede Farbe:

lab^*ch^* und lab^*icu^*

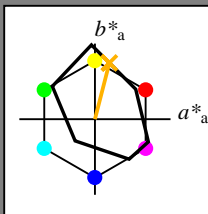
Bunttontexte:

$u^*_e = r75j$ $u^*_d = o69y$

Kontrastreduzierungsfaktor:

$c_R = 0.9$

Dreiecks-Helligkeit i^*



FRS09_92aM; adaptierte CIELAB-Daten

u^*_e	$L^*=L^*_a$	a^*_a	b^*_a	$C^*_{ab,a}$	$h^*_{ab,a}$
O _{Ma}	38.8	53.92	39.68	66.95	36
Y _{Ma}	82.58	-4.64	98.22	98.33	93
L _{Ma}	46.95	-56.34	43.46	71.15	142
C _{Ma}	54.62	-26.2	-28.68	38.85	228
V _{Ma}	20.01	45.2	-52.87	69.56	311
M _{Ma}	40.88	70.68	-29.99	76.78	337
N _{Ma}	15.0	0.0	0.0	0.0	0
W _{Ma}	90.0	0.0	0.0	0.0	0
R _{Ma}	39.92	58.74	27.99	65.07	25
J _{Ma}	81.26	-2.89	71.56	71.62	92
G _{Ma}	52.23	-42.42	13.6	44.55	162
B _{Ma}	30.57	1.41	-46.47	46.49	272

Daten für Maximalfarbe (Ma):

LAB^*LAB^*Ma : 65 19 74

LAB^*LCH^*Ma : 65 77 75

lab^*rgb^*Ma : 1.0 0.75 0.0

lab^*olv^*Ma : 1.0 0.7 0.0

Dreiecks-Helligkeit i^*

%Umfang

$u^*_{rel} = 88$

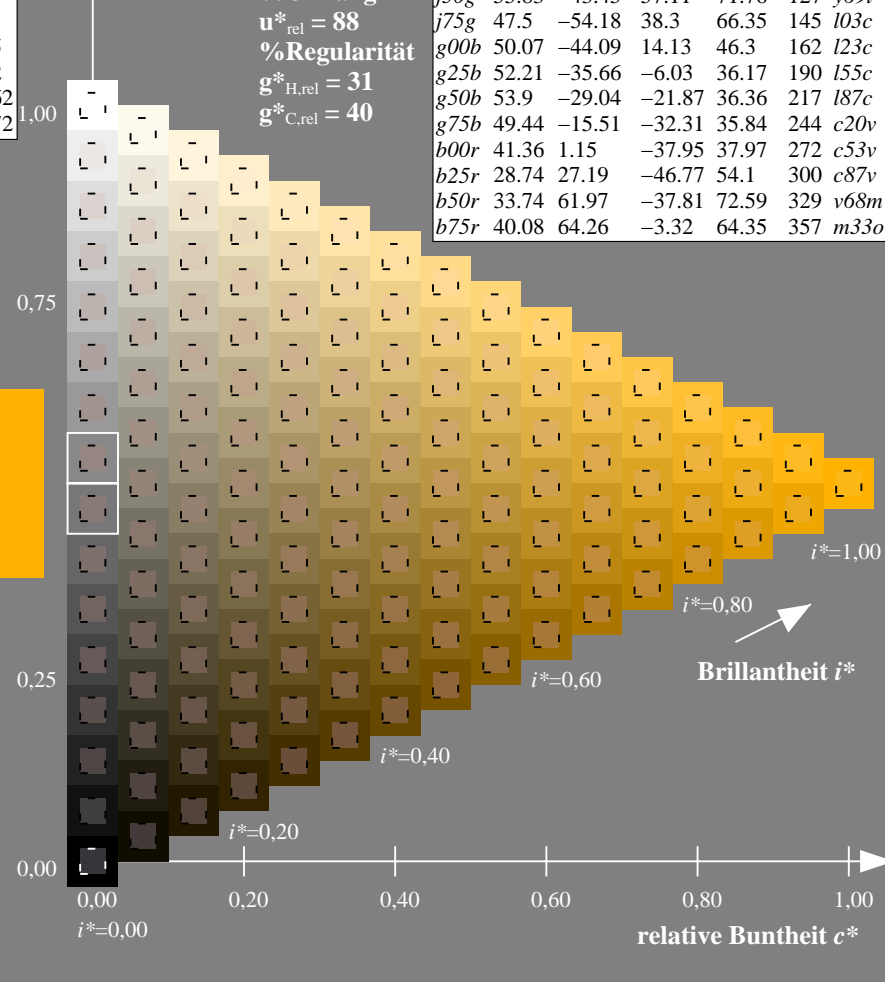
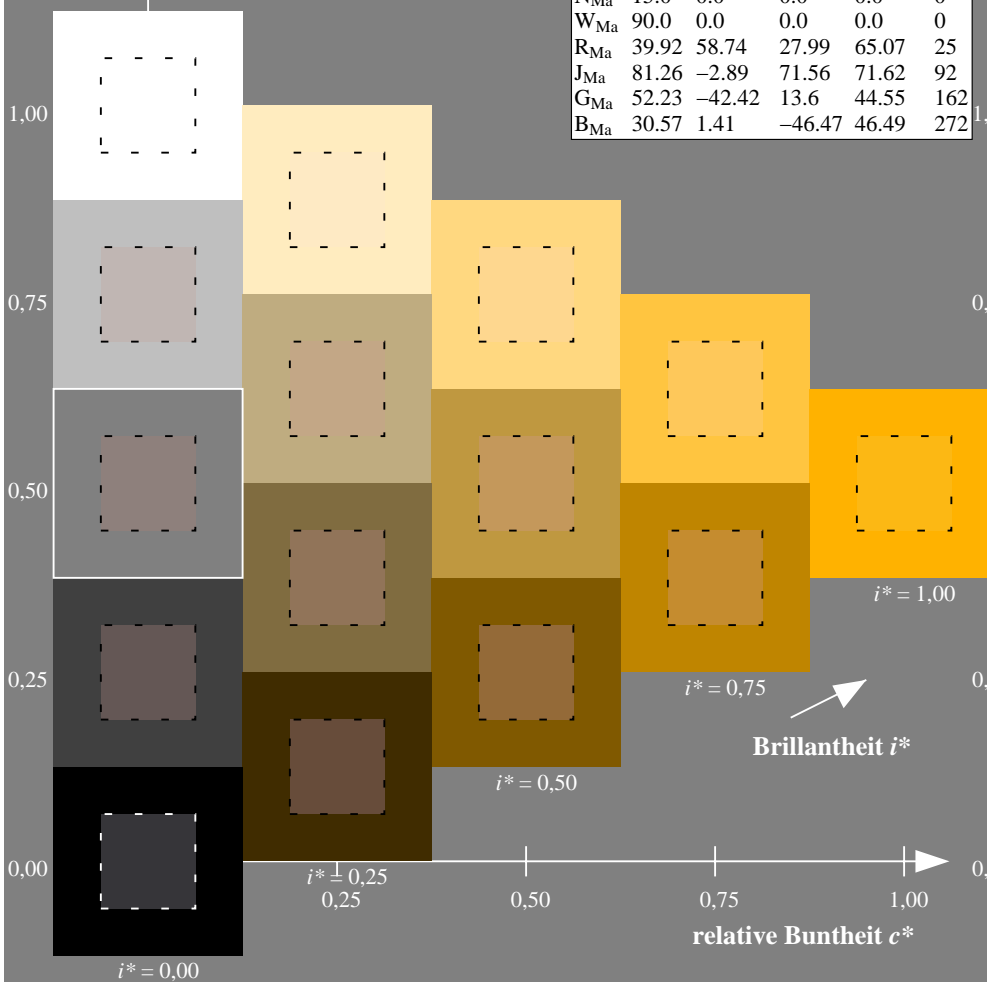
%Regularität

$g^*_{H,rel} = 31$

$g^*_{C,rel} = 40$

FRS09_92aM; adaptierte CIELAB-Daten

u^*_e	$L^*=L^*_a$	a^*_a	b^*_a	$C^*_{ab,a}$	$h^*_{ab,a}$	u^*_d
r00j	39.18	56.94	27.13	63.07	25	m81o
r25j	42.41	49.1	44.5	66.26	42	o10y
r50j	52.78	35.22	58.37	68.17	59	o40y
r75j	64.82	19.12	74.47	76.89	76	o69y
j00g	82.06	-3.94	97.52	97.6	92	o98y
j25g	67.26	-26.87	74.67	79.36	110	y34l
j50g	55.83	-43.45	57.11	71.76	127	y69l
j75g	47.5	-54.18	38.3	66.35	145	l03c
g00b	50.07	-44.09	14.13	46.3	162	l23c
g25b	52.21	-35.66	-6.03	36.17	190	l55c
g50b	53.9	-29.04	-21.87	36.36	217	l87c
g75b	49.44	-15.51	-32.31	35.84	244	c20v
b00r	41.36	1.15	-37.95	37.97	272	c53v
b25r	28.74	27.19	-46.77	54.1	300	c87v
b50r	33.74	61.97	-37.81	72.59	329	v68m
b75r	40.08	64.26	-3.32	64.35	357	m33o



Ein und Ausgabe: Farbmetrisches Drucker-Reflektiv-System FRS09_92aM für relativen CIELAB-Buntton $h^* = lab^*h^* = h_{ab}/360 = 0.256$

Daten für jede Farbe:

lab^*ch^* und lab^*icu^*

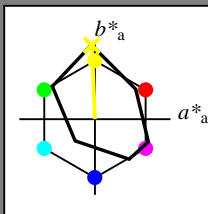
Bunttontexte:

$u^*_e = j00g$ $u^*_d = o98y$

Kontrastreduzierungsfaktor:

$c_R = 0.9$

Dreiecks-Helligkeit i^*



FRS09_92aM; adaptierte CIELAB-Daten

u^*_e	$L^*=L^*_a$	a^*_a	b^*_a	$C^*_{ab,a}$	$h^*_{ab,a}$
O _{Ma}	38.8	53.92	39.68	66.95	36
Y _{Ma}	82.58	-4.64	98.22	98.33	93
L _{Ma}	46.95	-56.34	43.46	71.15	142
C _{Ma}	54.62	-26.2	-28.68	38.85	228
V _{Ma}	20.01	45.2	-52.87	69.56	311
M _{Ma}	40.88	70.68	-29.99	76.78	337
N _{Ma}	15.0	0.0	0.0	0.0	0
W _{Ma}	90.0	0.0	0.0	0.0	0
R _{Ma}	39.92	58.74	27.99	65.07	25
J _{Ma}	81.26	-2.89	71.56	71.62	92
G _{Ma}	52.23	-42.42	13.6	44.55	162
B _{Ma}	30.57	1.41	-46.47	46.49	272

Daten für Maximalfarbe (Ma):

$LAB^*LAB^*_{Ma}$: 82 -4 98

$LAB^*LCH^*_{Ma}$: 82 98 92

$lab^*rgb^*_{Ma}$: 1.0 1.0 0.0

$lab^*olv^*_{Ma}$: 1.0 0.99 0.0

Dreiecks-Helligkeit i^*

%Umfang

$u^*_{rel} = 88$

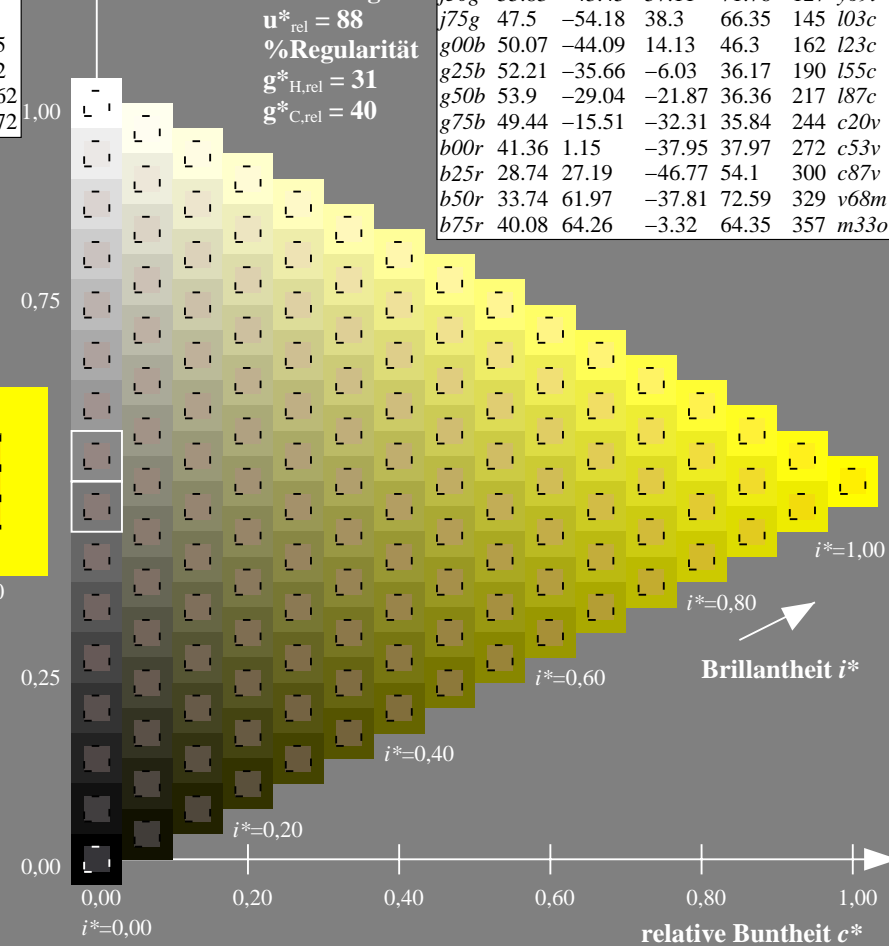
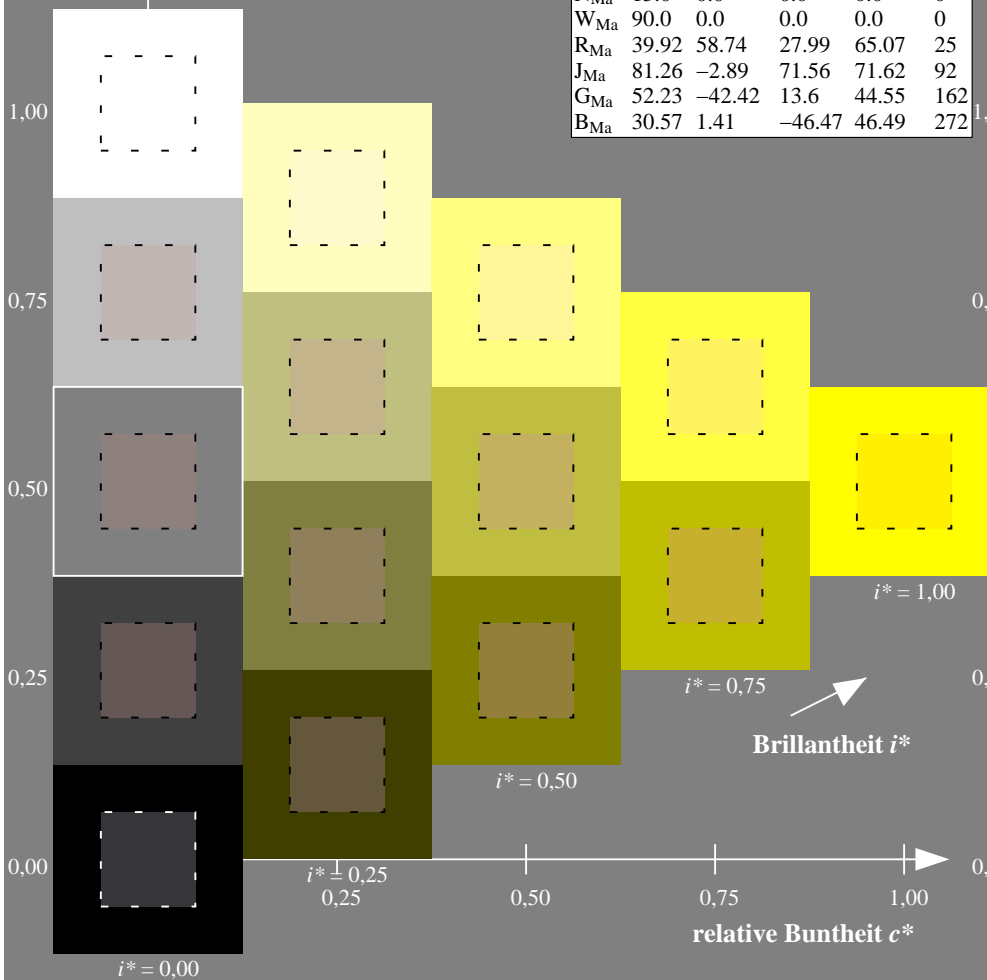
%Regularität

$g^*_{H,rel} = 31$

$g^*_{C,rel} = 40$

FRS09_92aM; adaptierte CIELAB-Daten

u^*_e	$L^*=L^*_a$	a^*_a	b^*_a	$C^*_{ab,a}$	$h^*_{ab,a}$	u^*_d
r00j	39.18	56.94	27.13	63.07	25	m81o
r25j	42.41	49.1	44.5	66.26	42	o10y
r50j	52.78	35.22	58.37	68.17	59	o40y
r75j	64.82	19.12	74.47	76.89	76	o69y
j00g	82.06	-3.94	97.52	97.6	92	o98y
j25g	67.26	-26.87	74.67	79.36	110	y34l
j50g	55.83	-43.45	57.11	71.76	127	y69l
j75g	47.5	-54.18	38.3	66.35	145	l03c
g00b	50.07	-44.09	14.13	46.3	162	l23c
g25b	52.21	-35.66	-6.03	36.17	190	l55c
g50b	53.9	-29.04	-21.87	36.36	217	l87c
g75b	49.44	-15.51	-32.31	35.84	244	c20v
b00r	41.36	1.15	-37.95	37.97	272	c53v
b25r	28.74	27.19	-46.77	54.1	300	c87v
b50r	33.74	61.97	-37.81	72.59	329	v68m
b75r	40.08	64.26	-3.32	64.35	357	m33o



Ein und Ausgabe: Farbmetrisches Drucker-Reflektiv-System FRS09_92aM für relativen CIELAB-Buntton $h^* = lab^*h^* = h_{ab}/360 = 0.305$

Daten für jede Farbe:

lab^*ch^* und lab^*icu^*

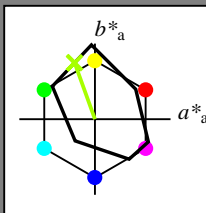
Bunttontexte:

$u^*_e = j25g$ $u^*_d = y34l$

Kontrastreduzierungsfaktor:

$c_R = 0.9$

Dreiecks-Helligkeit i^*



FRS09_92aM; adaptierte CIELAB-Daten

u^*_e	$L^*=L^*_a$	a^*_a	b^*_a	$C^*_{ab,a}$	$h^*_{ab,a}$
O _{Ma}	38.8	53.92	39.68	66.95	36
Y _{Ma}	82.58	-4.64	98.22	98.33	93
L _{Ma}	46.95	-56.34	43.46	71.15	142
C _{Ma}	54.62	-26.2	-28.68	38.85	228
V _{Ma}	20.01	45.2	-52.87	69.56	311
M _{Ma}	40.88	70.68	-29.99	76.78	337
N _{Ma}	15.0	0.0	0.0	0.0	0
W _{Ma}	90.0	0.0	0.0	0.0	0
R _{Ma}	39.92	58.74	27.99	65.07	25
J _{Ma}	81.26	-2.89	71.56	71.62	92
G _{Ma}	52.23	-42.42	13.6	44.55	162
B _{Ma}	30.57	1.41	-46.47	46.49	272

Daten für Maximalfarbe (Ma):

$LAB^*LAB^*_{Ma}$: 67 -27 75

$LAB^*LCH^*_{Ma}$: 67 79 109

$lab^*rgb^*_{Ma}$: 0.75 1.0 0.0

$lab^*olv^*_{Ma}$: 0.66 1.0 0.0

Dreiecks-Helligkeit i^*

%Umfang

$u^*_{rel} = 88$

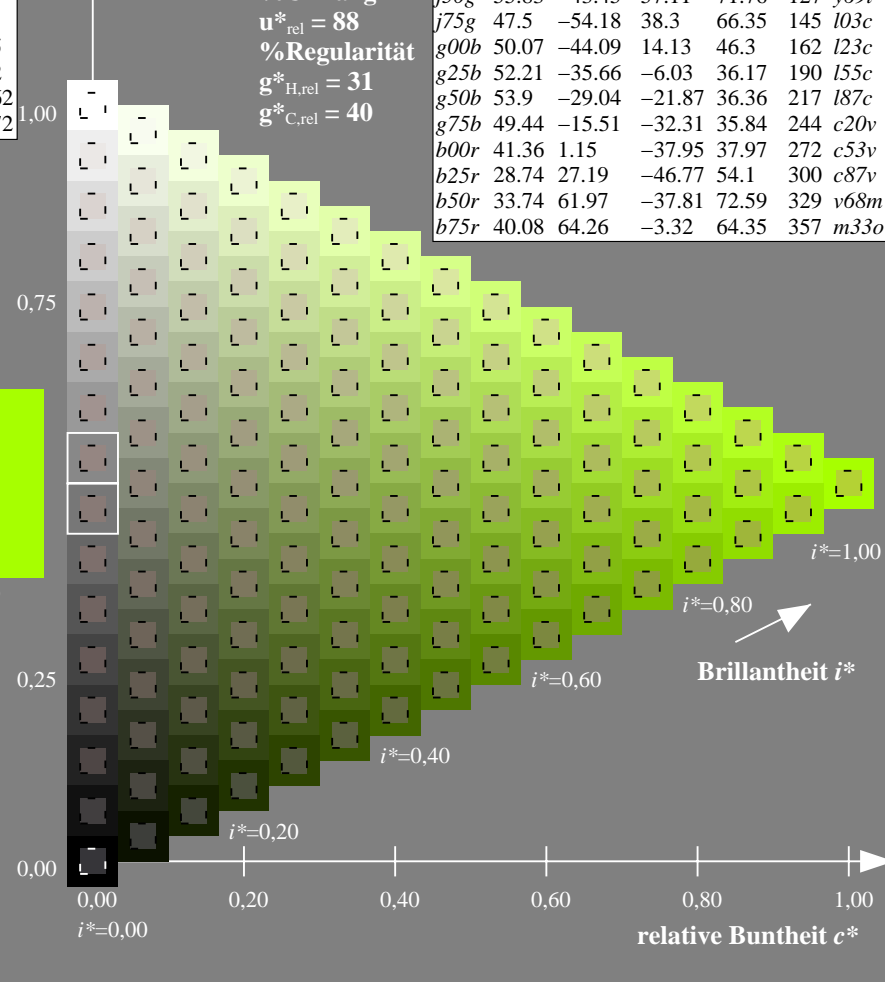
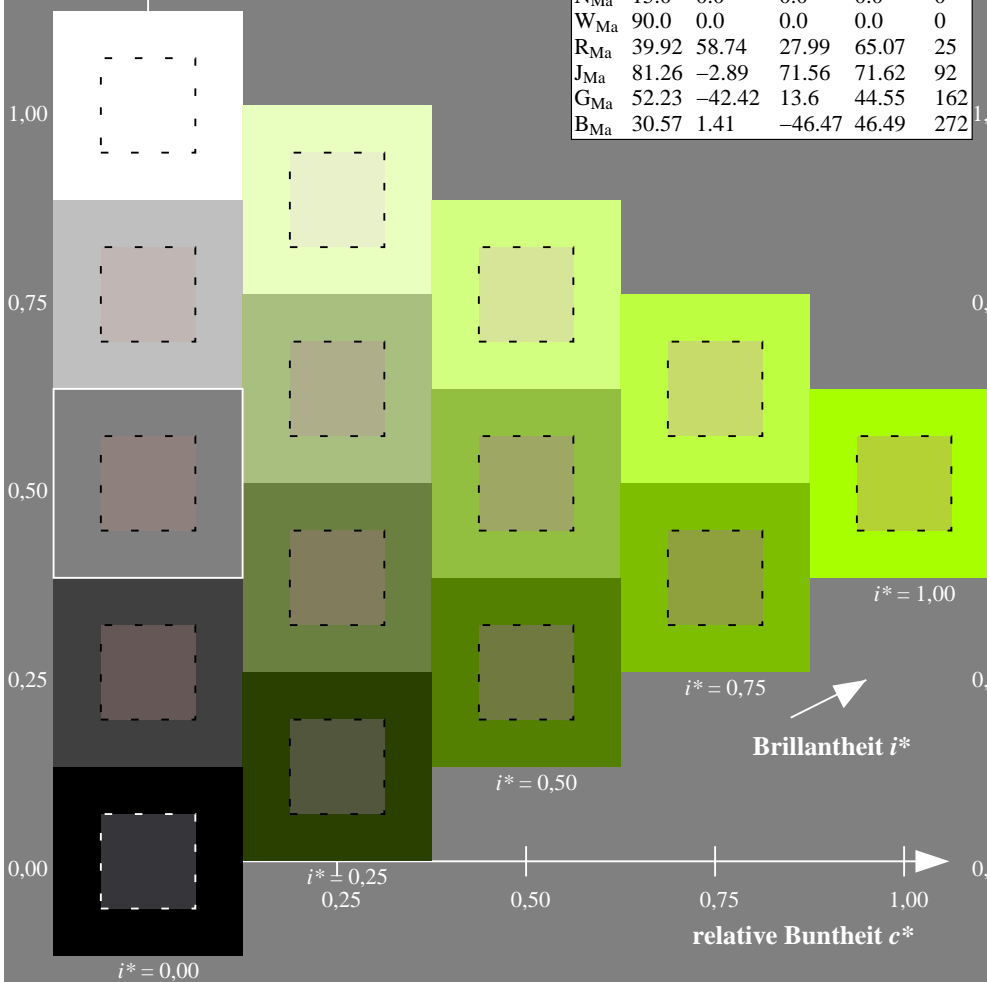
%Regularität

$g^*_{H,rel} = 31$

$g^*_{C,rel} = 40$

FRS09_92aM; adaptierte CIELAB-Daten

u^*_e	$L^*=L^*_a$	a^*_a	b^*_a	$C^*_{ab,a}$	$h^*_{ab,a}$	u^*_d
r00j	39.18	56.94	27.13	63.07	25	m81o
r25j	42.41	49.1	44.5	66.26	42	o10y
r50j	52.78	35.22	58.37	68.17	59	o40y
r75j	64.82	19.12	74.47	76.89	76	o69y
j00g	82.06	-3.94	97.52	97.6	92	o98y
j25g	67.26	-26.87	74.67	79.36	110	y34l
j50g	55.83	-43.45	57.11	71.76	127	y69l
j75g	47.5	-54.18	38.3	66.35	145	l03c
g00b	50.07	-44.09	14.13	46.3	162	l23c
g25b	52.21	-35.66	-6.03	36.17	190	l55c
g50b	53.9	-29.04	-21.87	36.36	217	l87c
g75b	49.44	-15.51	-32.31	35.84	244	c20v
b00r	41.36	1.15	-37.95	37.97	272	c53v
b25r	28.74	27.19	-46.77	54.1	300	c87v
b50r	33.74	61.97	-37.81	72.59	329	v68m
b75r	40.08	64.26	-3.32	64.35	357	m33o



Ein und Ausgabe: Farbmetrisches Drucker-Reflektiv-System FRS09_92aM für relativen CIELAB-Buntton $h^* = lab^*h^* = h_{ab}/360 = 0.354$

Daten für jede Farbe:

lab^*ch^* und lab^*icu^*

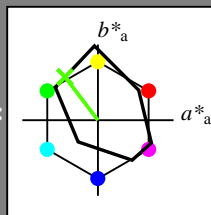
Bunttontexte:

$u^*_e = j50g$ $u^*_d = y69l$

Kontrastreduzierungsfaktor:

$c_R = 0.9$

Dreiecks-Helligkeit i^*



FRS09_92aM; adaptierte CIELAB-Daten

u^*_e	$L^*=L^*_a$	a^*_a	b^*_a	$C^*_{ab,a}$	$h^*_{ab,a}$
O _{Ma}	38.8	53.92	39.68	66.95	36
Y _{Ma}	82.58	-4.64	98.22	98.33	93
L _{Ma}	46.95	-56.34	43.46	71.15	142
C _{Ma}	54.62	-26.2	-28.68	38.85	228
V _{Ma}	20.01	45.2	-52.87	69.56	311
M _{Ma}	40.88	70.68	-29.99	76.78	337
N _{Ma}	15.0	0.0	0.0	0.0	0
W _{Ma}	90.0	0.0	0.0	0.0	0
R _{Ma}	39.92	58.74	27.99	65.07	25
J _{Ma}	81.26	-2.89	71.56	71.62	92
G _{Ma}	52.23	-42.42	13.6	44.55	162
B _{Ma}	30.57	1.41	-46.47	46.49	272

Daten für Maximalfarbe (Ma):

$LAB^*LAB^*_{Ma}$: 56 -43 57

$LAB^*LCH^*_{Ma}$: 56 72 127

$lab^*rgb^*_{Ma}$: 0.5 1.0 0.0

$lab^*olv^*_{Ma}$: 0.3 1.0 0.0

Dreiecks-Helligkeit i^*

%Umfang

$u^*_{rel} = 88$

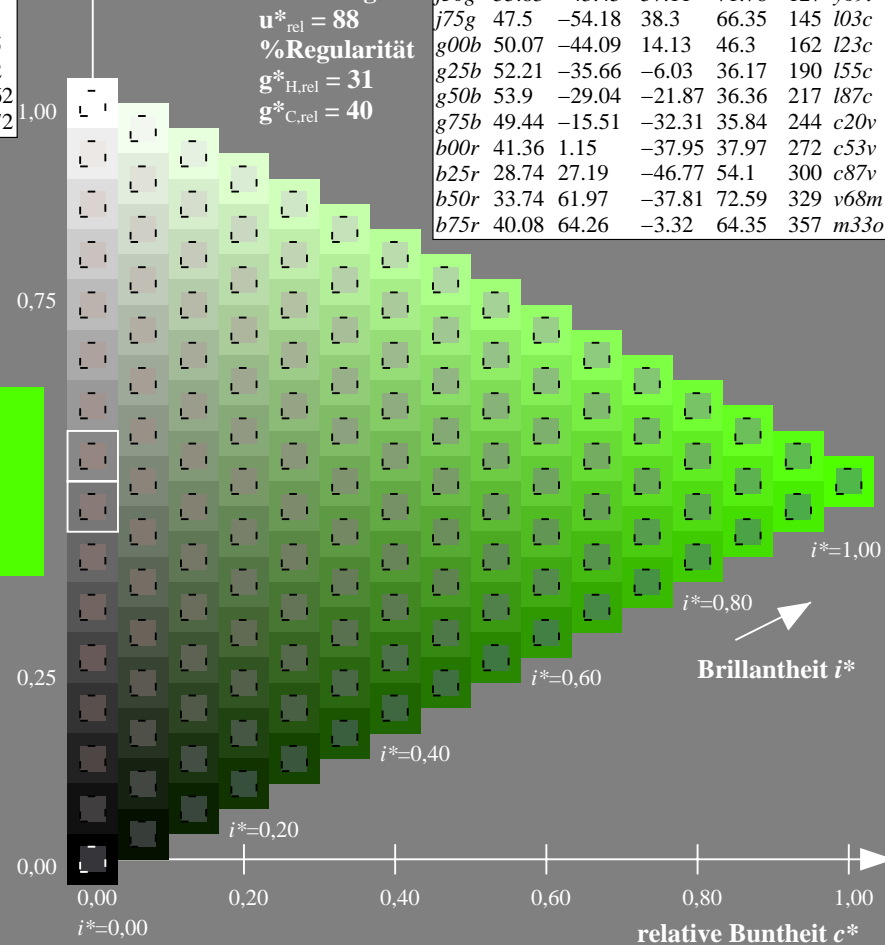
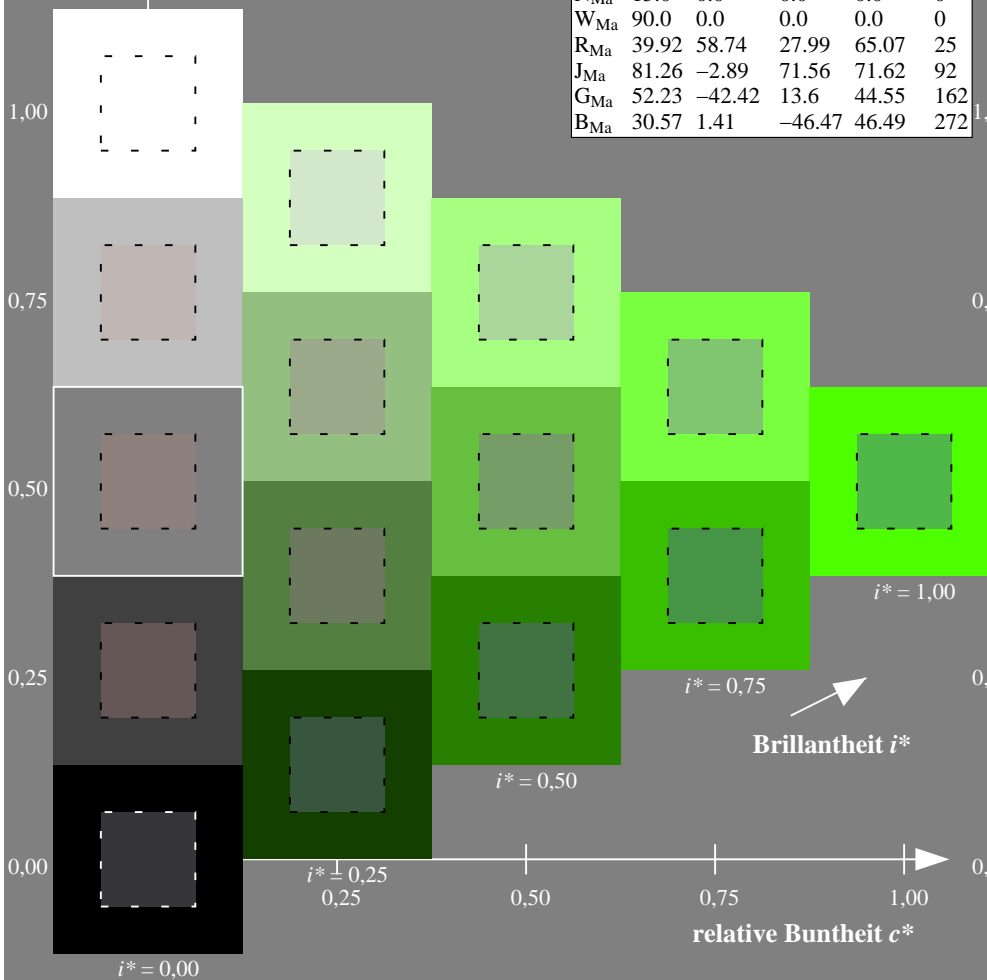
%Regularität

$g^*_{H,rel} = 31$

$g^*_{C,rel} = 40$

FRS09_92aM; adaptierte CIELAB-Daten

u^*_e	$L^*=L^*_a$	a^*_a	b^*_a	$C^*_{ab,a}$	$h^*_{ab,a}$	u^*_d
r00j	39.18	56.94	27.13	63.07	25	m81o
r25j	42.41	49.1	44.5	66.26	42	o10y
r50j	52.78	35.22	58.37	68.17	59	o40y
r75j	64.82	19.12	74.47	76.89	76	o69y
j00g	82.06	-3.94	97.52	97.6	92	o98y
j25g	67.26	-26.87	74.67	79.36	110	y34l
j50g	55.83	-43.45	57.11	71.76	127	y69l
j75g	47.5	-54.18	38.3	66.35	145	i03c
g00b	50.07	-44.09	14.13	46.3	162	i23c
g25b	52.21	-35.66	-6.03	36.17	190	i55c
g50b	53.9	-29.04	-21.87	36.36	217	i87c
g75b	49.44	-15.51	-32.31	35.84	244	c20v
b00r	41.36	1.15	-37.95	37.97	272	c53v
b25r	28.74	27.19	-46.77	54.1	300	c87v
b50r	33.74	61.97	-37.81	72.59	329	v68m
b75r	40.08	64.26	-3.32	64.35	357	m33o



Ein und Ausgabe: Farbmetrisches Drucker-Reflektiv-System FRS09_92aM für relativen CIELAB-Buntton $h^* = lab^*h^* = h_{ab}/360 = 0.402$

Daten für jede Farbe:

lab^*tch^* und lab^*icu^*

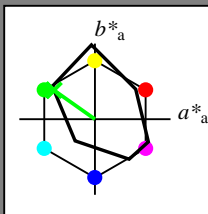
Bunttontexte:

$u^*_e = j75g$ $u^*_d = i03c$

Kontrastreduzierungsfaktor:

$c_R = 0.9$

Dreiecks-Helligkeit i^*



FRS09_92aM; adaptierte CIELAB-Daten

u^*_e	$L^*=L^*_a$	a^*_a	b^*_a	$C^*_{ab,a}$	$h^*_{ab,a}$
O _{Ma}	38.8	53.92	39.68	66.95	36
Y _{Ma}	82.58	-4.64	98.22	98.33	93
L _{Ma}	46.95	-56.34	43.46	71.15	142
C _{Ma}	54.62	-26.2	-28.68	38.85	228
V _{Ma}	20.01	45.2	-52.87	69.56	311
M _{Ma}	40.88	70.68	-29.99	76.78	337
N _{Ma}	15.0	0.0	0.0	0.0	0
W _{Ma}	90.0	0.0	0.0	0.0	0
R _{Ma}	39.92	58.74	27.99	65.07	25
J _{Ma}	81.26	-2.89	71.56	71.62	92
G _{Ma}	52.23	-42.42	13.6	44.55	162
B _{Ma}	30.57	1.41	-46.47	46.49	272

Daten für Maximalfarbe (Ma):

$LAB^*LAB^*_{Ma}$: 48 -54 38

$LAB^*LCH^*_{Ma}$: 48 66 144

$lab^*rgb^*_{Ma}$: 0.25 1.0 0.0

$lab^*olv^*_{Ma}$: 0.0 1.0 0.03

Dreiecks-Helligkeit i^*

%Umfang

$u^*_{rel} = 88$

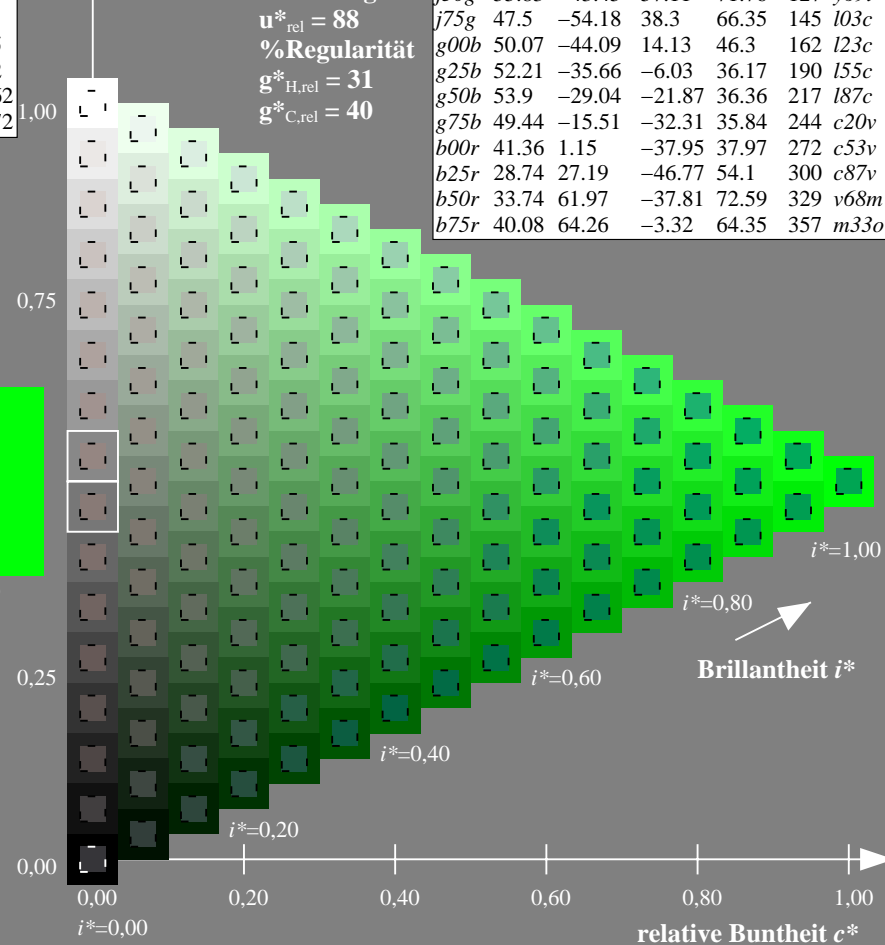
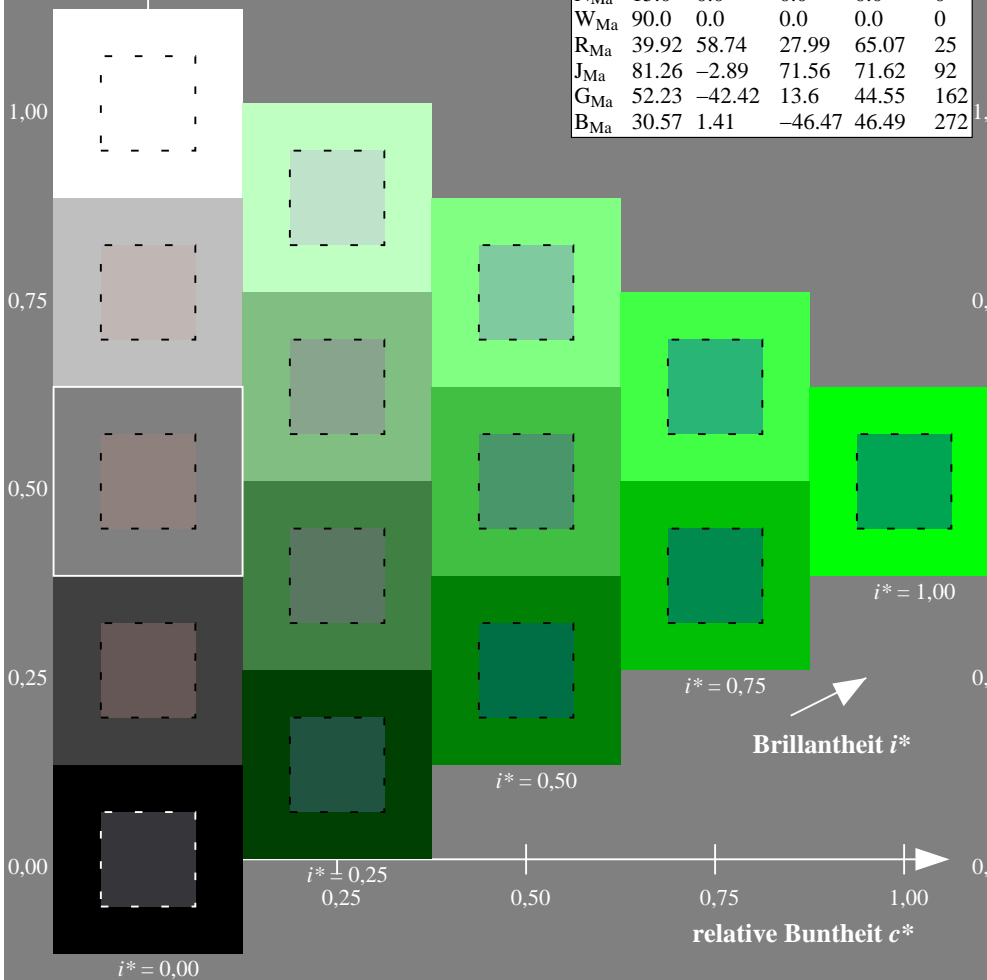
%Regularität

$g^*_{H,rel} = 31$

$g^*_{C,rel} = 40$

FRS09_92aM; adaptierte CIELAB-Daten

u^*_e	$L^*=L^*_a$	a^*_a	b^*_a	$C^*_{ab,a}$	$h^*_{ab,a}$	u^*_d
r00j	39.18	56.94	27.13	63.07	25	m81o
r25j	42.41	49.1	44.5	66.26	42	o10y
r50j	52.78	35.22	58.37	68.17	59	o40y
r75j	64.82	19.12	74.47	76.89	76	o69y
j00g	82.06	-3.94	97.52	97.6	92	o98y
j25g	67.26	-26.87	74.67	79.36	110	y34l
j50g	55.83	-43.45	57.11	71.76	127	y69l
j75g	47.5	-54.18	38.3	66.35	145	i03c
g00b	50.07	-44.09	14.13	46.3	162	i23c
g25b	52.21	-35.66	-6.03	36.17	190	i55c
g50b	53.9	-29.04	-21.87	36.36	217	i87c
g75b	49.44	-15.51	-32.31	35.84	244	c20v
b00r	41.36	1.15	-37.95	37.97	272	c53v
b25r	28.74	27.19	-46.77	54.1	300	c87v
b50r	33.74	61.97	-37.81	72.59	329	v68m
b75r	40.08	64.26	-3.32	64.35	357	m33o



Ein und Ausgabe: Farbmetrisches Drucker-Reflektiv-System FRS09_92aM für relativen CIELAB-Buntton $h^* = lab^*h^* = h_{ab}/360 = 0.451$

Daten für jede Farbe:

lab^*tch^* und lab^*icu^*

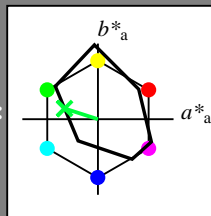
Bunttontexte:

$u^*_e = g00b$ $u^*_d = l23c$

Kontrastreduzierungsfaktor:

$c_R = 0.9$

Dreiecks-Helligkeit i^*



FRS09_92aM; adaptierte CIELAB-Daten

u^*_e	$L^*=L^*_a$	a^*_a	b^*_a	$C^*_{ab,a}$	$h^*_{ab,a}$
O _{Ma}	38.8	53.92	39.68	66.95	36
Y _{Ma}	82.58	-4.64	98.22	98.33	93
L _{Ma}	46.95	-56.34	43.46	71.15	142
C _{Ma}	54.62	-26.2	-28.68	38.85	228
V _{Ma}	20.01	45.2	-52.87	69.56	311
M _{Ma}	40.88	70.68	-29.99	76.78	337
N _{Ma}	15.0	0.0	0.0	0.0	0
W _{Ma}	90.0	0.0	0.0	0.0	0
R _{Ma}	39.92	58.74	27.99	65.07	25
J _{Ma}	81.26	-2.89	71.56	71.62	92
G _{Ma}	52.23	-42.42	13.6	44.55	162
B _{Ma}	30.57	1.41	-46.47	46.49	272

Daten für Maximalfarbe (Ma):

LAB^*LAB^*Ma : 50 -44 14

LAB^*LCH^*Ma : 50 46 162

lab^*rgb^*Ma : 0.0 1.0 0.0

lab^*olv^*Ma : 0.0 1.0 0.23

Dreiecks-Helligkeit i^*

%Umfang

$u^*_{rel} = 88$

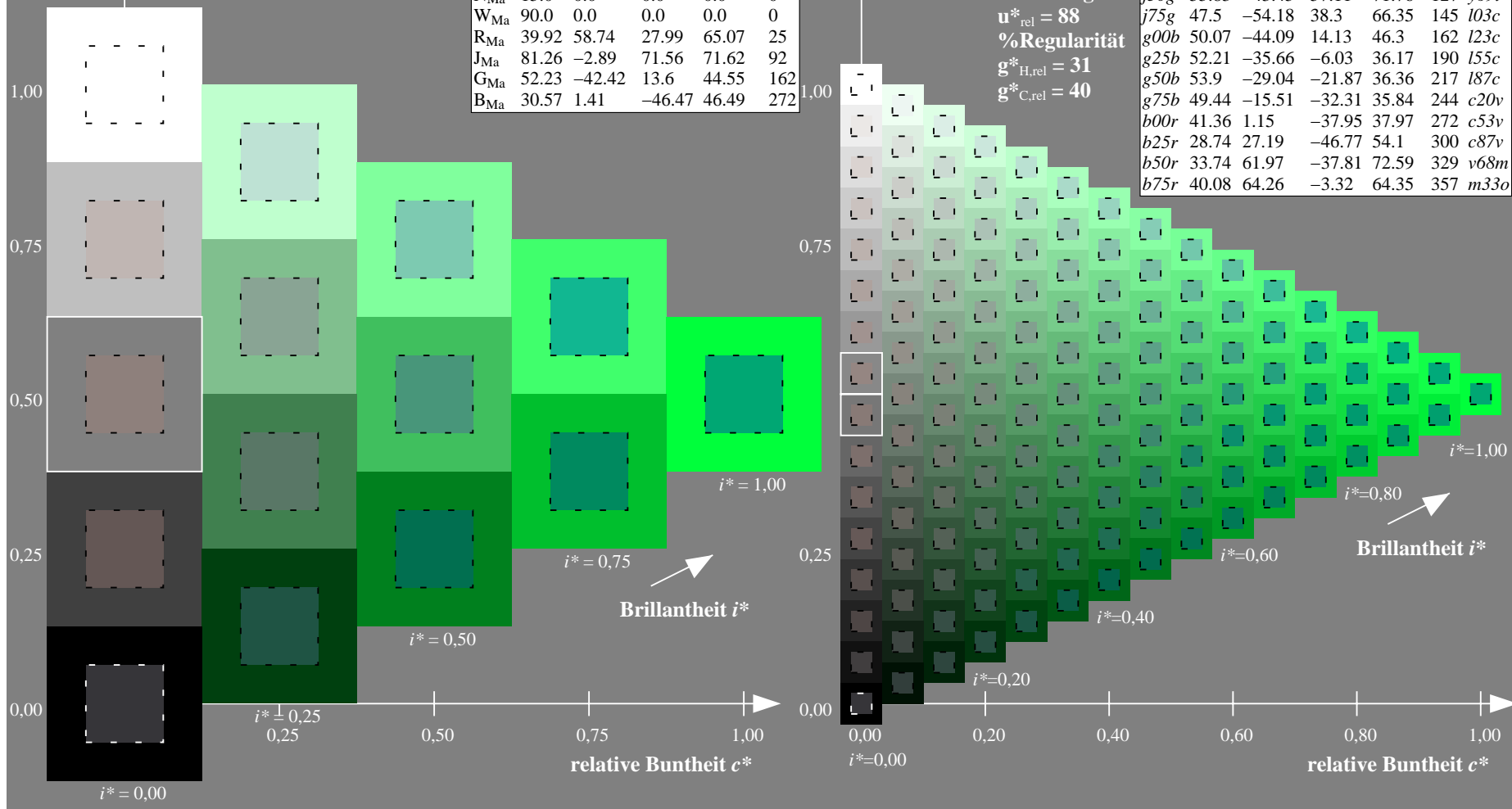
%Regularität

$g^*_{H,rel} = 31$

$g^*_{C,rel} = 40$

FRS09_92aM; adaptierte CIELAB-Daten

u^*_e	$L^*=L^*_a$	a^*_a	b^*_a	$C^*_{ab,a}$	$h^*_{ab,a}$	u^*_d
r00j	39.18	56.94	27.13	63.07	25	m81o
r25j	42.41	49.1	44.5	66.26	42	o10y
r50j	52.78	35.22	58.37	68.17	59	o40y
r75j	64.82	19.12	74.47	76.89	76	o69y
j00g	82.06	-3.94	97.52	97.6	92	o98y
j25g	67.26	-26.87	74.67	79.36	110	y34l
j50g	55.83	-43.45	57.11	71.76	127	y69l
j75g	47.5	-54.18	38.3	66.35	145	l03c
g00b	50.07	-44.09	14.13	46.3	162	l23c
g25b	52.21	-35.66	-6.03	36.17	190	l55c
g50b	53.9	-29.04	-21.87	36.36	217	l87c
g75b	49.44	-15.51	-32.31	35.84	244	c20v
b00r	41.36	1.15	-37.95	37.97	272	c53v
b25r	28.74	27.19	-46.77	54.1	300	c87v
b50r	33.74	61.97	-37.81	72.59	329	v68m
b75r	40.08	64.26	-3.32	64.35	357	m33o



Ein und Ausgabe: Farbmetrisches Drucker-Reflektiv-System FRS09_92aM für relativen CIELAB-Buntton $h^* = lab^*h^* = h_{ab}/360 = 0.527$

Daten für jede Farbe:

lab^*ch^* und lab^*icu^*

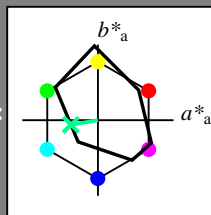
Bunttontexte:

$u^*_e = g25b$ $u^*_d = l55c$

Kontrastreduzierungsfaktor:

$c_R = 0.9$

Dreiecks-Helligkeit i^*



FRS09_92aM; adaptierte CIELAB-Daten

u^*_e	$L^*=L^*_a$	a^*_a	b^*_a	$C^*_{ab,a}$	$h^*_{ab,a}$
O _{Ma}	38.8	53.92	39.68	66.95	36
Y _{Ma}	82.58	-4.64	98.22	98.33	93
L _{Ma}	46.95	-56.34	43.46	71.15	142
C _{Ma}	54.62	-26.2	-28.68	38.85	228
V _{Ma}	20.01	45.2	-52.87	69.56	311
M _{Ma}	40.88	70.68	-29.99	76.78	337
N _{Ma}	15.0	0.0	0.0	0.0	0
W _{Ma}	90.0	0.0	0.0	0.0	0
R _{Ma}	39.92	58.74	27.99	65.07	25
J _{Ma}	81.26	-2.89	71.56	71.62	92
G _{Ma}	52.23	-42.42	13.6	44.55	162
B _{Ma}	30.57	1.41	-46.47	46.49	272

Daten für Maximalfarbe (Ma):

$LAB^*LAB^*_{Ma}$: 52 -36 -6

$LAB^*LCH^*_{Ma}$: 52 36 189

$lab^*rgb^*_{Ma}$: 0.0 1.0 0.5

$lab^*olv^*_{Ma}$: 0.0 1.0 0.55

Dreiecks-Helligkeit i^*

%Umfang

$u^*_{rel} = 88$

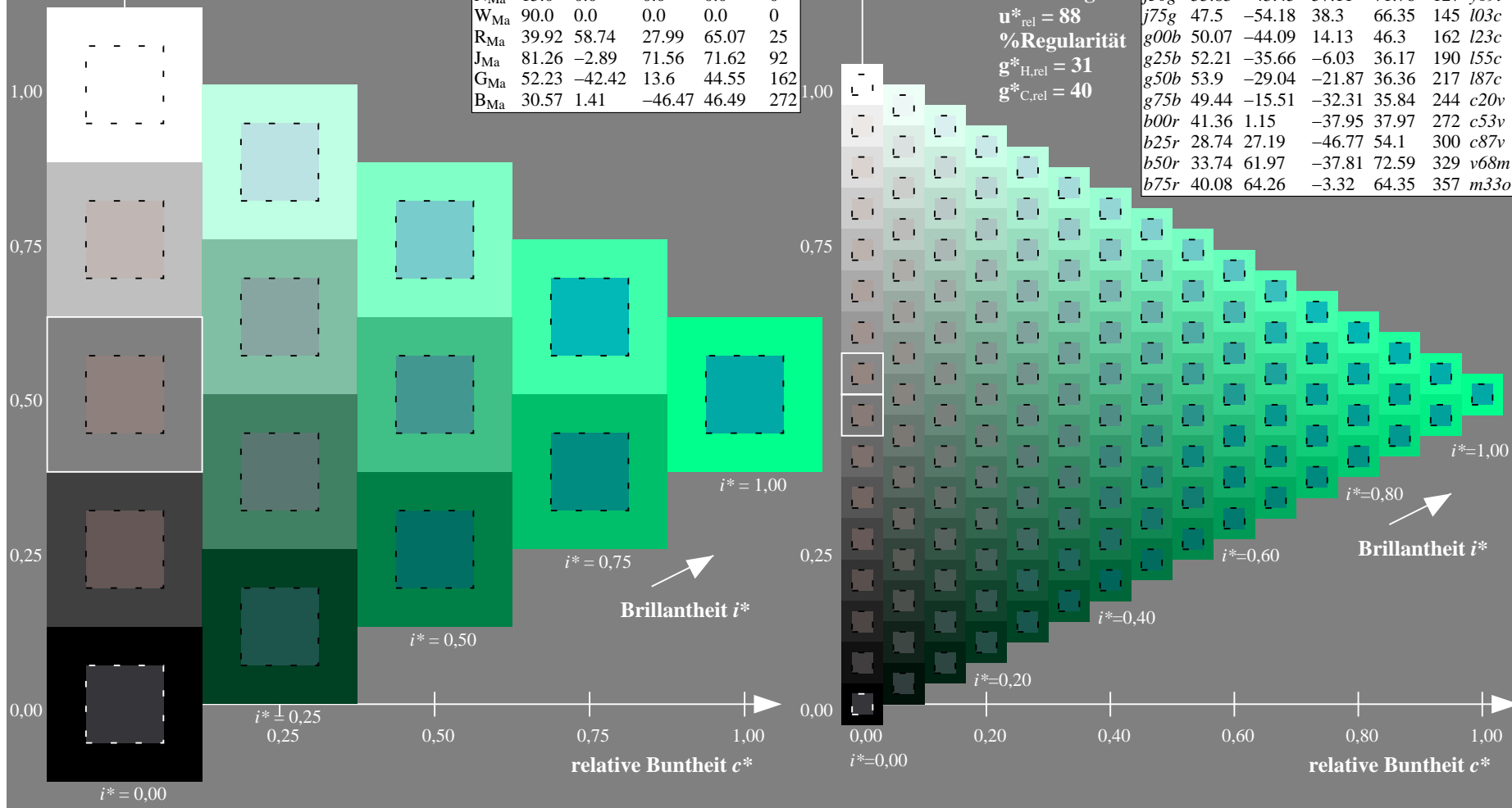
%Regularität

$g^*_{H,rel} = 31$

$g^*_{C,rel} = 40$

FRS09_92aM; adaptierte CIELAB-Daten

u^*_e	$L^*=L^*_a$	a^*_a	b^*_a	$C^*_{ab,a}$	$h^*_{ab,a}$	u^*_d
r00j	39.18	56.94	27.13	63.07	25	m81o
r25j	42.41	49.1	44.5	66.26	42	o10y
r50j	52.78	35.22	58.37	68.17	59	o40y
r75j	64.82	19.12	74.47	76.89	76	o69y
j00g	82.06	-3.94	97.52	97.6	92	o98y
j25g	67.26	-26.87	74.67	79.36	110	y34l
j50g	55.83	-43.45	57.11	71.76	127	y69l
j75g	47.5	-54.18	38.3	66.35	145	l03c
g00b	50.07	-44.09	14.13	46.3	162	l23c
g25b	52.21	-35.66	-6.03	36.17	190	l55c
g50b	53.9	-29.04	-21.87	36.36	217	l87c
g75b	49.44	-15.51	-32.31	35.84	244	c20v
b00r	41.36	1.15	-37.95	37.97	272	c53v
b25r	28.74	27.19	-46.77	54.1	300	c87v
b50r	33.74	61.97	-37.81	72.59	329	v68m
b75r	40.08	64.26	-3.32	64.35	357	m33o



Ein und Ausgabe: Farbmetrisches Drucker-Reflektiv-System FRS09_92aM für relativen CIELAB-Buntton $h^* = lab^*h^* = h_{ab}/360 = 0.603$

Daten für jede Farbe:

lab^*ch^* und lab^*icu^*

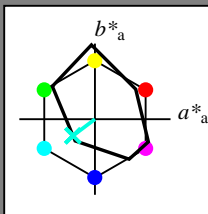
Bunttontexte:

$u^*_e = g50b$ $u^*_d = l87c$

Kontrastreduzierungsfaktor:

$c_R = 0.9$

Dreiecks-Helligkeit i^*



FRS09_92aM; adaptierte CIELAB-Daten

u^*_e	$L^*=L^*_a$	a^*_a	b^*_a	$C^*_{ab,a}$	$h^*_{ab,a}$
O _{Ma}	38.8	53.92	39.68	66.95	36
Y _{Ma}	82.58	-4.64	98.22	98.33	93
L _{Ma}	46.95	-56.34	43.46	71.15	142
C _{Ma}	54.62	-26.2	-28.68	38.85	228
V _{Ma}	20.01	45.2	-52.87	69.56	311
M _{Ma}	40.88	70.68	-29.99	76.78	337
N _{Ma}	15.0	0.0	0.0	0.0	0
W _{Ma}	90.0	0.0	0.0	0.0	0
R _{Ma}	39.92	58.74	27.99	65.07	25
J _{Ma}	81.26	-2.89	71.56	71.62	92
G _{Ma}	52.23	-42.42	13.6	44.55	162
B _{Ma}	30.57	1.41	-46.47	46.49	272

Daten für Maximalfarbe (Ma):

$LAB^*LAB^*_{Ma}$: 54 -29 -22

$LAB^*LCH^*_{Ma}$: 54 36 216

$lab^*rgb^*_{Ma}$: 0.0 1.0 1.0

$lab^*olv^*_{Ma}$: 0.0 1.0 0.88

Dreiecks-Helligkeit i^*

%Umfang

$u^*_{rel} = 88$

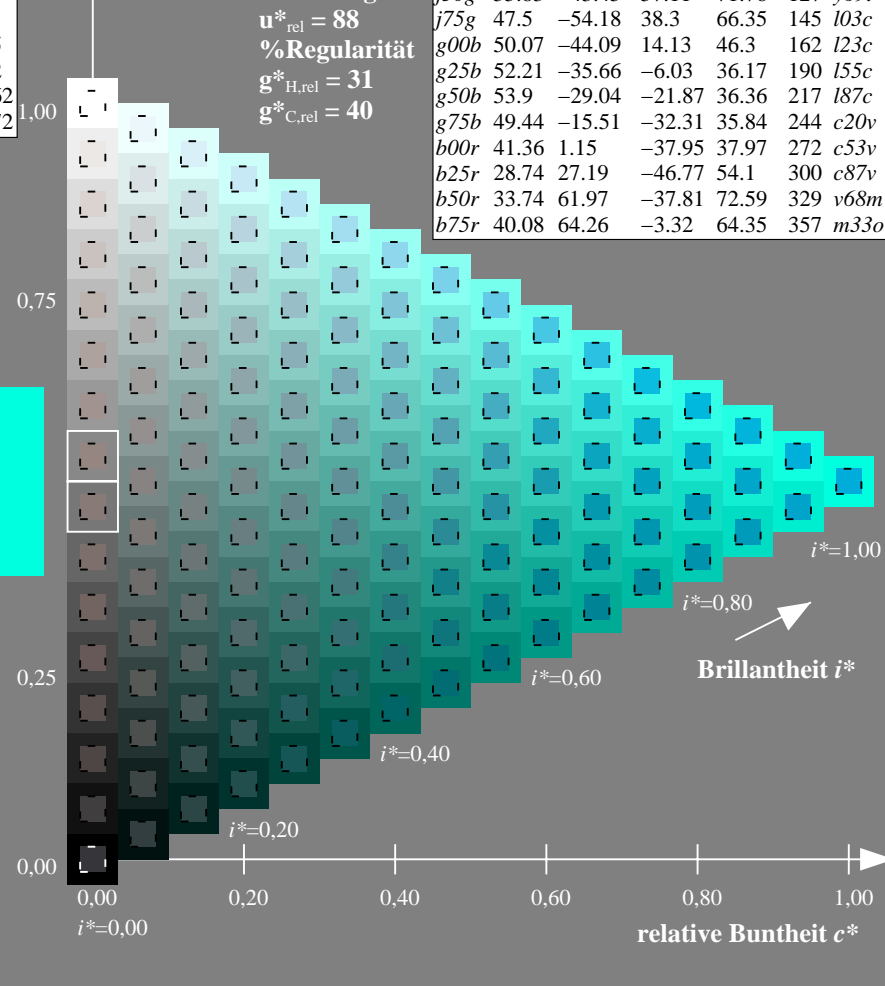
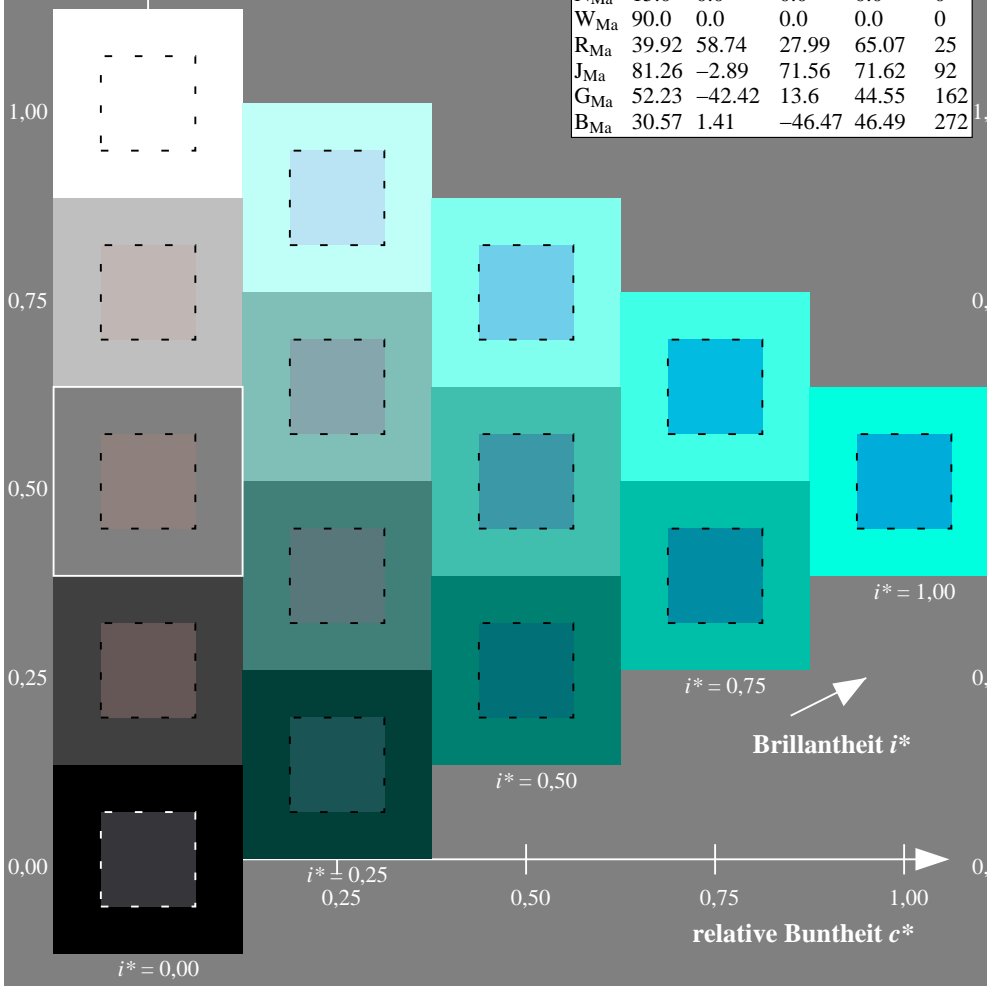
%Regularität

$g^*_{H,rel} = 31$

$g^*_{C,rel} = 40$

FRS09_92aM; adaptierte CIELAB-Daten

u^*_e	$L^*=L^*_a$	a^*_a	b^*_a	$C^*_{ab,a}$	$h^*_{ab,a}$	u^*_d
r00j	39.18	56.94	27.13	63.07	25	m81o
r25j	42.41	49.1	44.5	66.26	42	o10y
r50j	52.78	35.22	58.37	68.17	59	o40y
r75j	64.82	19.12	74.47	76.89	76	o69y
j00g	82.06	-3.94	97.52	97.6	92	o98y
j25g	67.26	-26.87	74.67	79.36	110	y34l
j50g	55.83	-43.45	57.11	71.76	127	y69l
j75g	47.5	-54.18	38.3	66.35	145	l03c
g00b	50.07	-44.09	14.13	46.3	162	l23c
g25b	52.21	-35.66	-6.03	36.17	190	l55c
g50b	53.9	-29.04	-21.87	36.36	217	l87c
g75b	49.44	-15.51	-32.31	35.84	244	c20v
b00r	41.36	1.15	-37.95	37.97	272	c53v
b25r	28.74	27.19	-46.77	54.1	300	c87v
b50r	33.74	61.97	-37.81	72.59	329	v68m
b75r	40.08	64.26	-3.32	64.35	357	m33o



Ein und Ausgabe: Farbmetrisches Drucker-Reflektiv-System FRS09_92aM für relativen CIELAB-Buntton $h^* = lab^*h^* = h_{ab}/360 = 0.679$

Daten für jede Farbe:

lab^*ch^* und lab^*icu^*

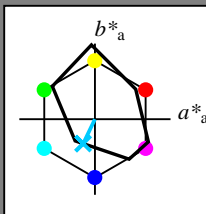
Bunttontexte:

$u^*_e = g75b$ $u^*_d = c20v$

Kontrastreduzierungsfaktor:

$c_R = 0.9$

Dreiecks-Helligkeit i^*



FRS09_92aM; adaptierte CIELAB-Daten

u^*_e	$L^*=L^*_a$	a^*_a	b^*_a	$C^*_{ab,a}$	$h^*_{ab,a}$
O _{Ma}	38.8	53.92	39.68	66.95	36
Y _{Ma}	82.58	-4.64	98.22	98.33	93
L _{Ma}	46.95	-56.34	43.46	71.15	142
C _{Ma}	54.62	-26.2	-28.68	38.85	228
V _{Ma}	20.01	45.2	-52.87	69.56	311
M _{Ma}	40.88	70.68	-29.99	76.78	337
N _{Ma}	15.0	0.0	0.0	0.0	0
W _{Ma}	90.0	0.0	0.0	0.0	0
R _{Ma}	39.92	58.74	27.99	65.07	25
J _{Ma}	81.26	-2.89	71.56	71.62	92
G _{Ma}	52.23	-42.42	13.6	44.55	162
B _{Ma}	30.57	1.41	-46.47	46.49	272

Daten für Maximalfarbe (Ma):

$LAB^*LAB^*_{Ma}$: 49 -16 -32

$LAB^*LCH^*_{Ma}$: 49 36 244

$lab^*rgb^*_{Ma}$: 0.0 0.5 1.0

$lab^*olv^*_{Ma}$: 0.0 0.8 1.0

Dreiecks-Helligkeit i^*

%Umfang

$u^*_{rel} = 88$

%Regularität

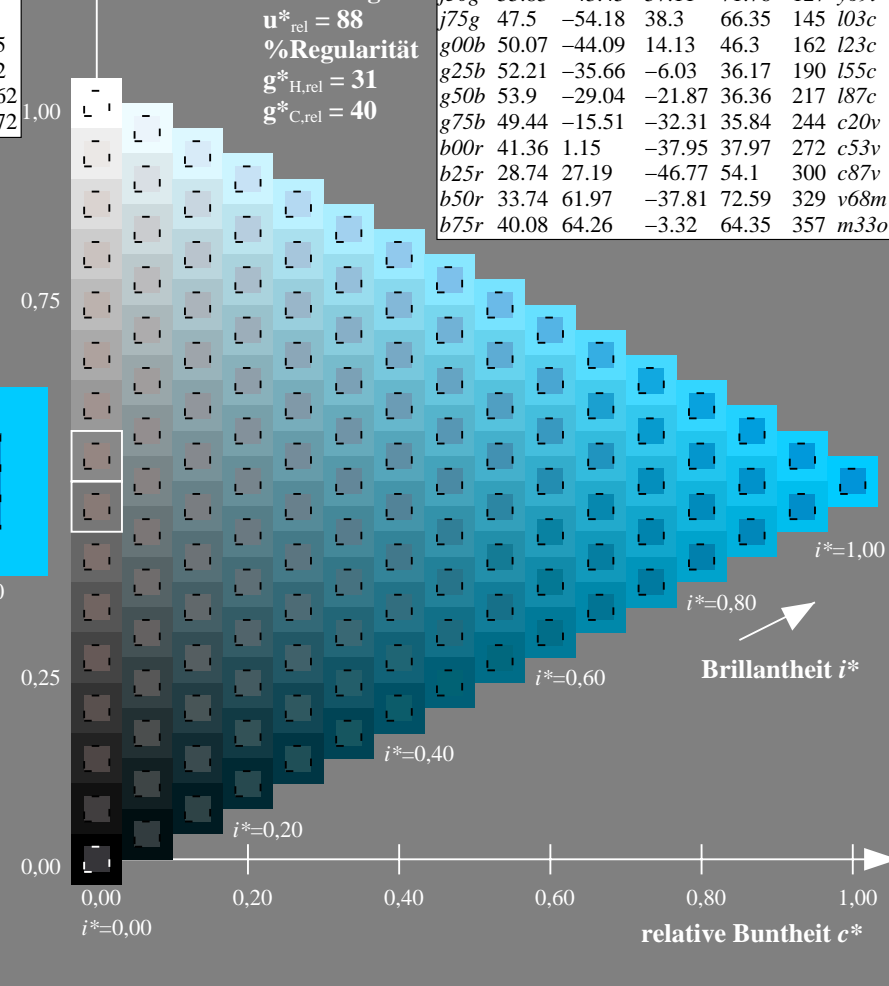
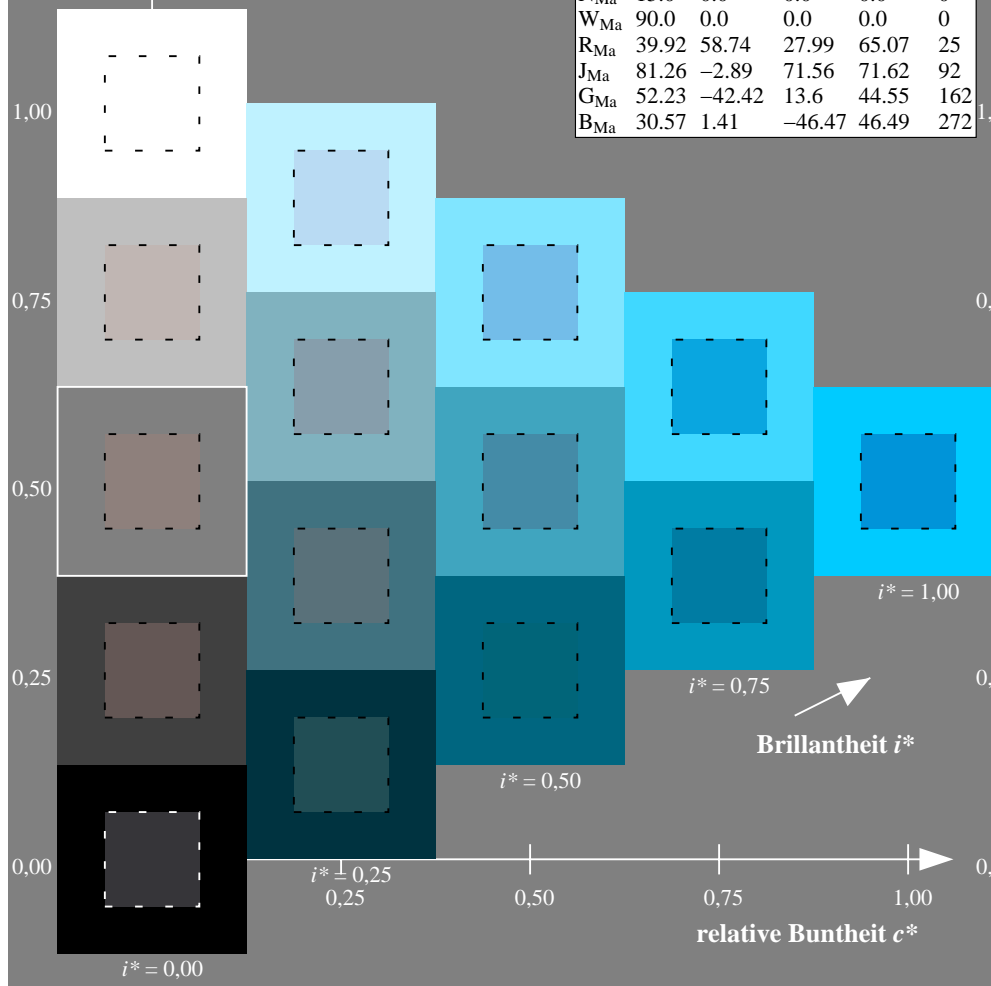
$g^*_{H,rel} = 31$

$g^*_{C,rel} = 40$

FRS09_92aM; adaptierte CIELAB-Daten

u^*_e	$L^*=L^*_a$	a^*_a	b^*_a	$C^*_{ab,a}$	$h^*_{ab,a}$	u^*_d
r00j	39.18	56.94	27.13	63.07	25	m81o
r25j	42.41	49.1	44.5	66.26	42	o10y
r50j	52.78	35.22	58.37	68.17	59	o40y
r75j	64.82	19.12	74.47	76.89	76	o69y
j00g	82.06	-3.94	97.52	97.6	92	o98y
j25g	67.26	-26.87	74.67	79.36	110	y34l
j50g	55.83	-43.45	57.11	71.76	127	y69l
j75g	47.5	-54.18	38.3	66.35	145	l03c
g00b	50.07	-44.09	14.13	46.3	162	l23c
g25b	52.21	-35.66	-6.03	36.17	190	l55c
g50b	53.9	-29.04	-21.87	36.36	217	l87c
g75b	49.44	-15.51	-32.31	35.84	244	c20v
b00r	41.36	1.15	-37.95	37.97	272	c53v
b25r	28.74	27.19	-46.77	54.1	300	c87v
b50r	33.74	61.97	-37.81	72.59	329	v68m
b75r	40.08	64.26	-3.32	64.35	357	m33o

$u^*_e = g75b$



Ein und Ausgabe: Farbmetrisches Drucker-Reflektiv-System FRS09_92aM für relativen CIELAB-Buntton $h^* = lab^*h^* = h_{ab}/360 = 0.755$

Daten für jede Farbe:

lab^*ch^* und lab^*icu^*

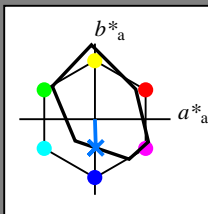
Bunttontexte:

$u^*_e = b00r$ $u^*_d = c53v$

Kontrastreduzierungsfaktor:

$c_R = 0.9$

Dreiecks-Helligkeit i^*



FRS09_92aM; adaptierte CIELAB-Daten

u^*_e	$L^*=L^*_a$	a^*_a	b^*_a	$C^*_{ab,a}$	$h^*_{ab,a}$
O _{Ma}	38.8	53.92	39.68	66.95	36
Y _{Ma}	82.58	-4.64	98.22	98.33	93
L _{Ma}	46.95	-56.34	43.46	71.15	142
C _{Ma}	54.62	-26.2	-28.68	38.85	228
V _{Ma}	20.01	45.2	-52.87	69.56	311
M _{Ma}	40.88	70.68	-29.99	76.78	337
N _{Ma}	15.0	0.0	0.0	0.0	0
W _{Ma}	90.0	0.0	0.0	0.0	0
R _{Ma}	39.92	58.74	27.99	65.07	25
J _{Ma}	81.26	-2.89	71.56	71.62	92
G _{Ma}	52.23	-42.42	13.6	44.55	162
B _{Ma}	30.57	1.41	-46.47	46.49	272

Daten für Maximalfarbe (Ma):

$LAB^*LAB^*_{Ma}$: 41 1 -38

$LAB^*LCH^*_{Ma}$: 41 38 271

$lab^*rgb^*_{Ma}$: 0.0 0.0 1.0

$lab^*olv^*_{Ma}$: 0.0 0.47 1.0

Dreiecks-Helligkeit i^*

%Umfang

$u^*_{rel} = 88$

%Regularität

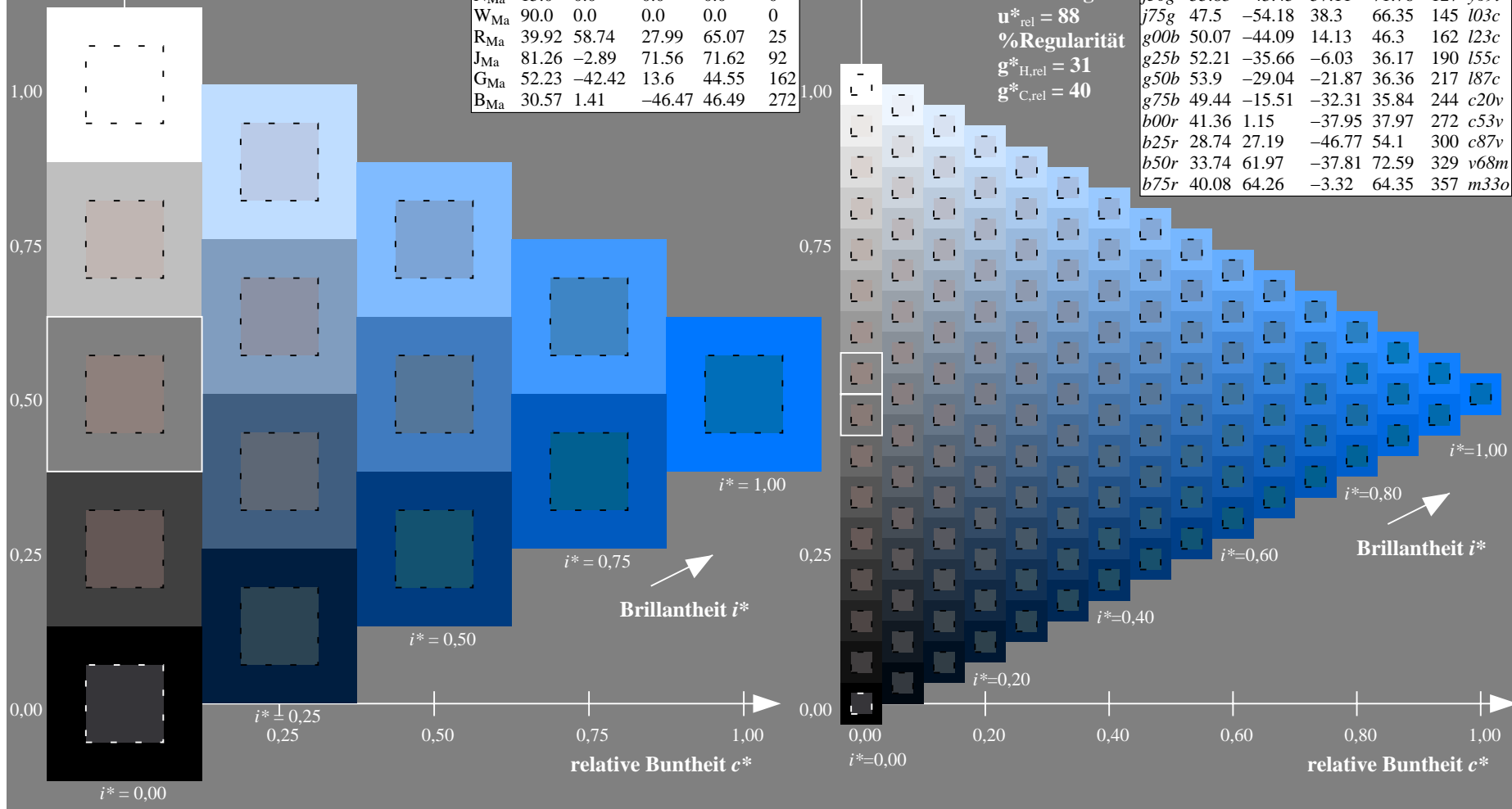
$g^*_{H,rel} = 31$

$g^*_{C,rel} = 40$

FRS09_92aM; adaptierte CIELAB-Daten

u^*_e	$L^*=L^*_a$	a^*_a	b^*_a	$C^*_{ab,a}$	$h^*_{ab,a}$	u^*_d
r00j	39.18	56.94	27.13	63.07	25	m81o
r25j	42.41	49.1	44.5	66.26	42	o10y
r50j	52.78	35.22	58.37	68.17	59	o40y
r75j	64.82	19.12	74.47	76.89	76	o69y
j00g	82.06	-3.94	97.52	97.6	92	o98y
j25g	67.26	-26.87	74.67	79.36	110	y34l
j50g	55.83	-43.45	57.11	71.76	127	y69l
j75g	47.5	-54.18	38.3	66.35	145	l03c
g00b	50.07	-44.09	14.13	46.3	162	l23c
g25b	52.21	-35.66	-6.03	36.17	190	l55c
g50b	53.9	-29.04	-21.87	36.36	217	l87c
g75b	49.44	-15.51	-32.31	35.84	244	c20v
b00r	41.36	1.15	-37.95	37.97	272	c53v
b25r	28.74	27.19	-46.77	54.1	300	c87v
b50r	33.74	61.97	-37.81	72.59	329	v68m
b75r	40.08	64.26	-3.32	64.35	357	m33o

$u^*_e = b00r$



Ein und Ausgabe: Farbmetrisches Drucker-Reflektiv-System FRS09_92aM für relativen CIELAB-Buntton $h^* = lab^*h^* = h_{ab}/360 = 0.834$

Daten für jede Farbe:

lab^*ch^* und lab^*icu^*

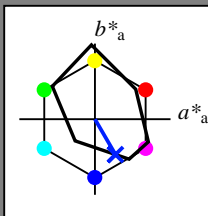
Bunttontexte:

$u^*_e = b25r$ $u^*_d = c87v$

Kontrastreduzierungsfaktor:

$c_R = 0.9$

Dreiecks-Helligkeit i^*



FRS09_92aM; adaptierte CIELAB-Daten

u^*_e	$L^*=L^*_a$	a^*_a	b^*_a	$C^*_{ab,a}$	$h^*_{ab,a}$
O _{Ma}	38.8	53.92	39.68	66.95	36
Y _{Ma}	82.58	-4.64	98.22	98.33	93
L _{Ma}	46.95	-56.34	43.46	71.15	142
C _{Ma}	54.62	-26.2	-28.68	38.85	228
V _{Ma}	20.01	45.2	-52.87	69.56	311
M _{Ma}	40.88	70.68	-29.99	76.78	337
N _{Ma}	15.0	0.0	0.0	0.0	0
W _{Ma}	90.0	0.0	0.0	0.0	0
R _{Ma}	39.92	58.74	27.99	65.07	25
J _{Ma}	81.26	-2.89	71.56	71.62	92
G _{Ma}	52.23	-42.42	13.6	44.55	162
B _{Ma}	30.57	1.41	-46.47	46.49	272

Daten für Maximalfarbe (Ma):

$LAB^*LAB^*_{Ma}$: 29 27 -47

$LAB^*LCH^*_{Ma}$: 29 54 300

$lab^*rgb^*_{Ma}$: 0.5 0.0 1.0

$lab^*olv^*_{Ma}$: 0.0 0.12 1.0

Dreiecks-Helligkeit i^*

%Umfang

$u^*_{rel} = 88$

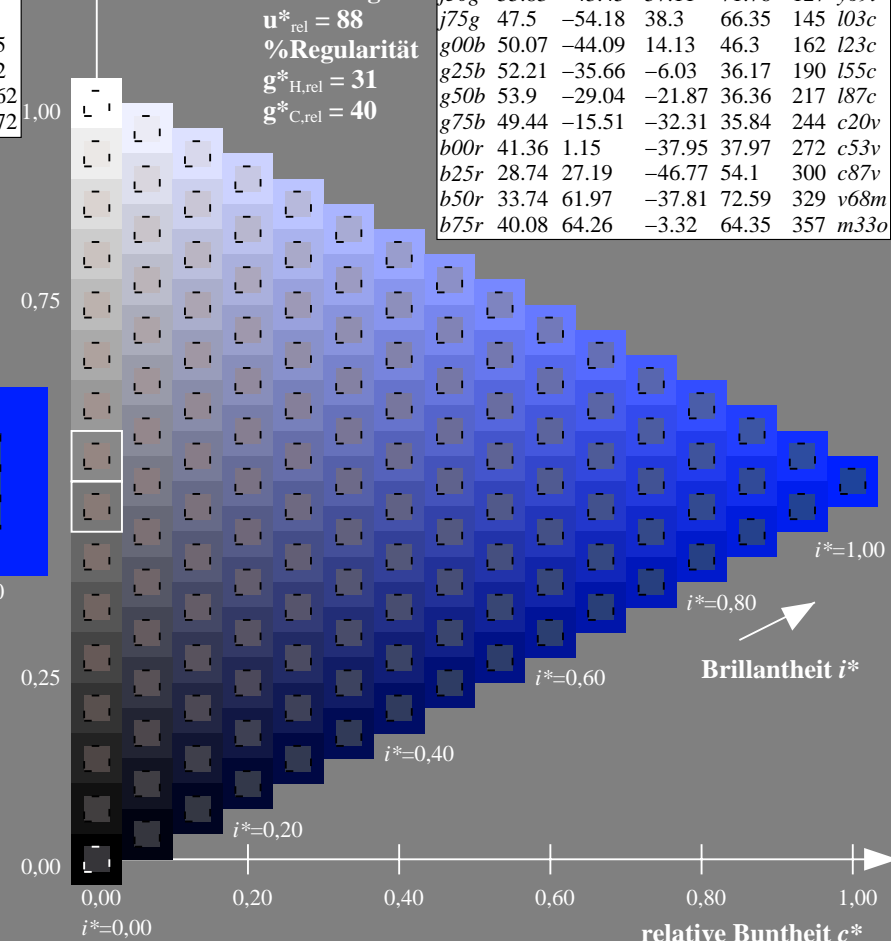
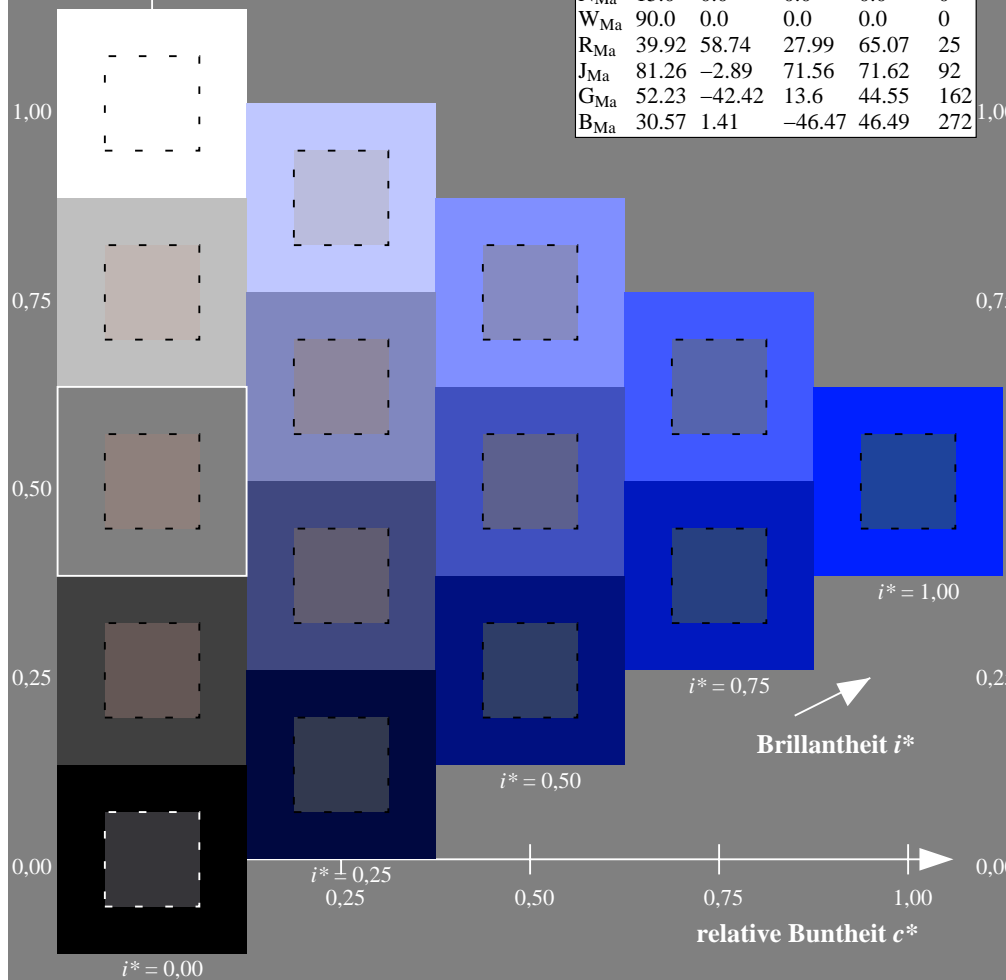
%Regularität

$g^*_{H,rel} = 31$

$g^*_{C,rel} = 40$

FRS09_92aM; adaptierte CIELAB-Daten

u^*_e	$L^*=L^*_a$	a^*_a	b^*_a	$C^*_{ab,a}$	$h^*_{ab,a}$	u^*_d
r00j	39.18	56.94	27.13	63.07	25	m81o
r25j	42.41	49.1	44.5	66.26	42	o10y
r50j	52.78	35.22	58.37	68.17	59	o40y
r75j	64.82	19.12	74.47	76.89	76	o69y
j00g	82.06	-3.94	97.52	97.6	92	o98y
j25g	67.26	-26.87	74.67	79.36	110	y34l
j50g	55.83	-43.45	57.11	71.76	127	y69l
j75g	47.5	-54.18	38.3	66.35	145	l03c
g00b	50.07	-44.09	14.13	46.3	162	l23c
g25b	52.21	-35.66	-6.03	36.17	190	l55c
g50b	53.9	-29.04	-21.87	36.36	217	l87c
g75b	49.44	-15.51	-32.31	35.84	244	c20v
b00r	41.36	1.15	-37.95	37.97	272	c53v
b25r	28.74	27.19	-46.77	54.1	300	c87v
b50r	33.74	61.97	-37.81	72.59	329	v68m
b75r	40.08	64.26	-3.32	64.35	357	m33o



Ein und Ausgabe: Farbmetrisches Drucker-Reflektiv-System FRS09_92aM für relativen CIELAB-Buntton $h^* = lab^*h^* = h_{ab}/360 = 0.913$

Daten für jede Farbe:

lab^*ch^* und lab^*icu^*

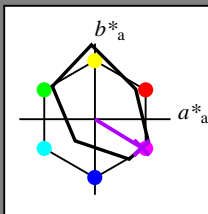
Bunttontexte:

$u^*_e = b50r$ $u^*_d = v68m$

Kontrastreduzierungsfaktor:

$c_R = 0.9$

Dreiecks-Helligkeit i^*



FRS09_92aM; adaptierte CIELAB-Daten

u^*_e	$L^*=L^*_a$	a^*_a	b^*_a	$C^*_{ab,a}$	$h^*_{ab,a}$
O _{Ma}	38.8	53.92	39.68	66.95	36
Y _{Ma}	82.58	-4.64	98.22	98.33	93
L _{Ma}	46.95	-56.34	43.46	71.15	142
C _{Ma}	54.62	-26.2	-28.68	38.85	228
V _{Ma}	20.01	45.2	-52.87	69.56	311
M _{Ma}	40.88	70.68	-29.99	76.78	337
N _{Ma}	15.0	0.0	0.0	0.0	0
W _{Ma}	90.0	0.0	0.0	0.0	0
R _{Ma}	39.92	58.74	27.99	65.07	25
J _{Ma}	81.26	-2.89	71.56	71.62	92
G _{Ma}	52.23	-42.42	13.6	44.55	162
B _{Ma}	30.57	1.41	-46.47	46.49	272

Daten für Maximalfarbe (Ma):

$LAB^*LAB^*_{Ma}$: 34 62 -38

$LAB^*LCH^*_{Ma}$: 34 73 328

$lab^*rgb^*_{Ma}$: 1.0 0.0 1.0

$lab^*olv^*_{Ma}$: 0.68 0.0 1.0

Dreiecks-Helligkeit i^*

%Umfang

$u^*_{rel} = 88$

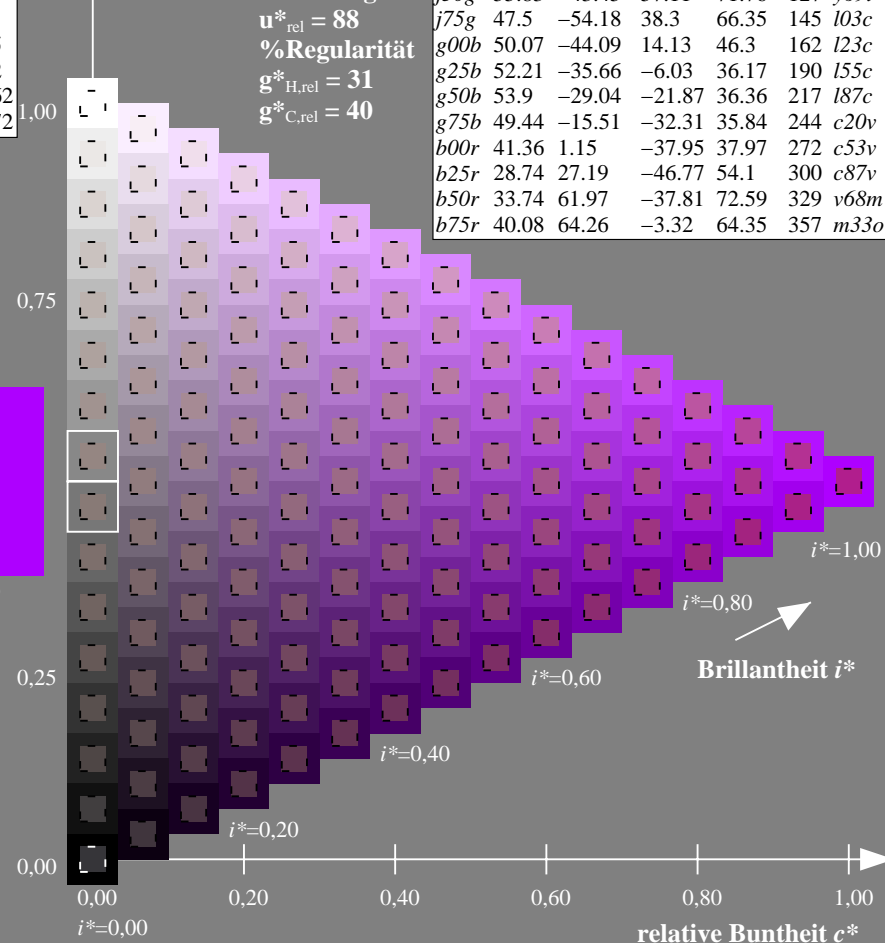
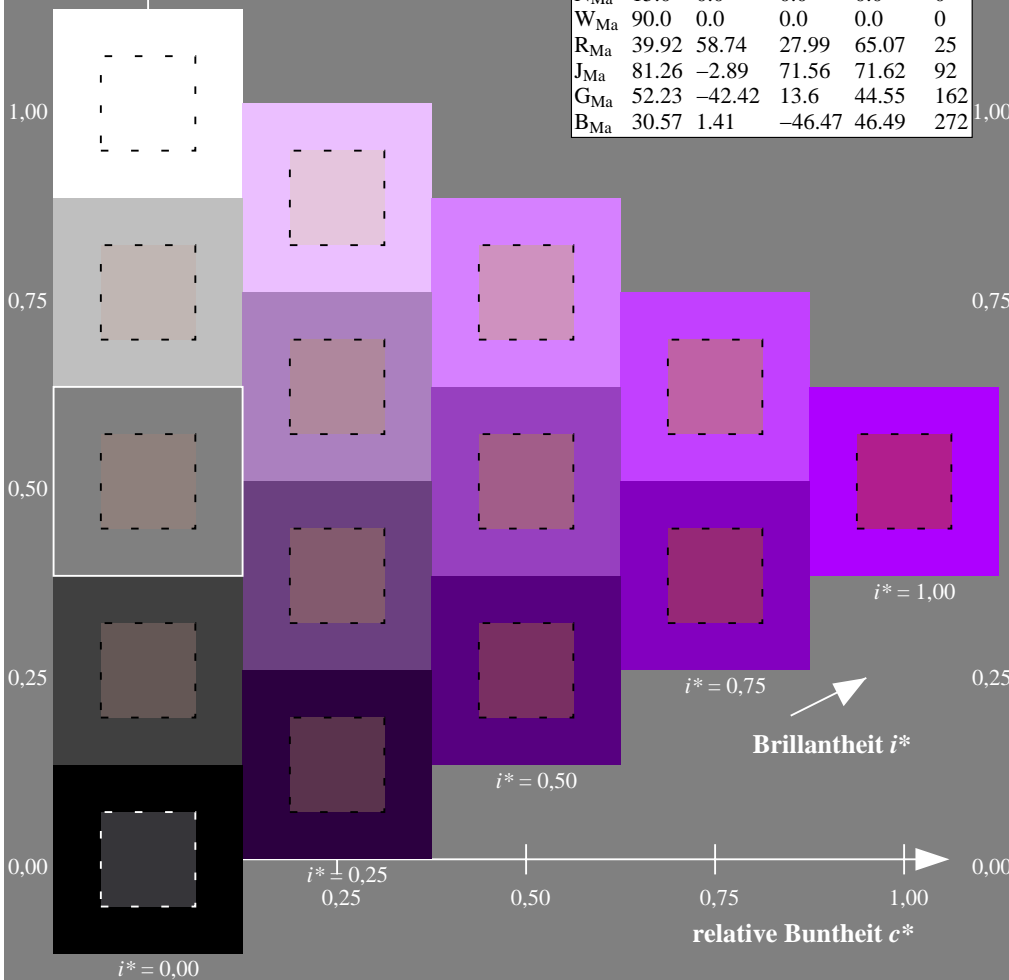
%Regularität

$g^*_{H,rel} = 31$

$g^*_{C,rel} = 40$

FRS09_92aM; adaptierte CIELAB-Daten

u^*_e	$L^*=L^*_a$	a^*_a	b^*_a	$C^*_{ab,a}$	$h^*_{ab,a}$	u^*_d
r00j	39.18	56.94	27.13	63.07	25	m81o
r25j	42.41	49.1	44.5	66.26	42	o10y
r50j	52.78	35.22	58.37	68.17	59	o40y
r75j	64.82	19.12	74.47	76.89	76	o69y
j00g	82.06	-3.94	97.52	97.6	92	o98y
j25g	67.26	-26.87	74.67	79.36	110	y34l
j50g	55.83	-43.45	57.11	71.76	127	y69l
j75g	47.5	-54.18	38.3	66.35	145	l03c
g00b	50.07	-44.09	14.13	46.3	162	l23c
g25b	52.21	-35.66	-6.03	36.17	190	l55c
g50b	53.9	-29.04	-21.87	36.36	217	l87c
g75b	49.44	-15.51	-32.31	35.84	244	c20v
b00r	41.36	1.15	-37.95	37.97	272	c53v
b25r	28.74	27.19	-46.77	54.1	300	c87v
b50r	33.74	61.97	-37.81	72.59	329	v68m
b75r	40.08	64.26	-3.32	64.35	357	m33o



Ein und Ausgabe: Farbmetrisches Drucker-Reflektiv-System FRS09_92aM für relativen CIELAB-Buntton $h^* = lab^*h^* = h_{ab}/360 = 0.992$

Daten für jede Farbe:

lab^*ch^* und lab^*icu^*

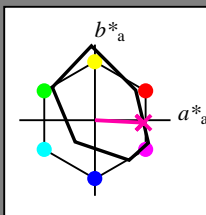
Bunttontexte:

$u^*_e = b75r$ $u^*_d = m33o$

Kontrastreduzierungsfaktor:

$c_R = 0.9$

Dreiecks-Helligkeit i^*



FRS09_92aM; adaptierte CIELAB-Daten

u^*_e	$L^*=L^*_a$	a^*_a	b^*_a	$C^*_{ab,a}$	$h^*_{ab,a}$
O _{Ma}	38.8	53.92	39.68	66.95	36
Y _{Ma}	82.58	-4.64	98.22	98.33	93
L _{Ma}	46.95	-56.34	43.46	71.15	142
C _{Ma}	54.62	-26.2	-28.68	38.85	228
V _{Ma}	20.01	45.2	-52.87	69.56	311
M _{Ma}	40.88	70.68	-29.99	76.78	337
N _{Ma}	15.0	0.0	0.0	0.0	0
W _{Ma}	90.0	0.0	0.0	0.0	0
R _{Ma}	39.92	58.74	27.99	65.07	25
J _{Ma}	81.26	-2.89	71.56	71.62	92
G _{Ma}	52.23	-42.42	13.6	44.55	162
B _{Ma}	30.57	1.41	-46.47	46.49	272

Daten für Maximalfarbe (Ma):

$LAB^*LAB^*_{Ma}$: 40 64 -3

$LAB^*LCH^*_{Ma}$: 40 64 357

$lab^*rgb^*_{Ma}$: 1.0 0.0 0.5

$lab^*olv^*_{Ma}$: 1.0 0.0 0.66

Dreiecks-Helligkeit i^*

%Umfang

$u^*_{rel} = 88$

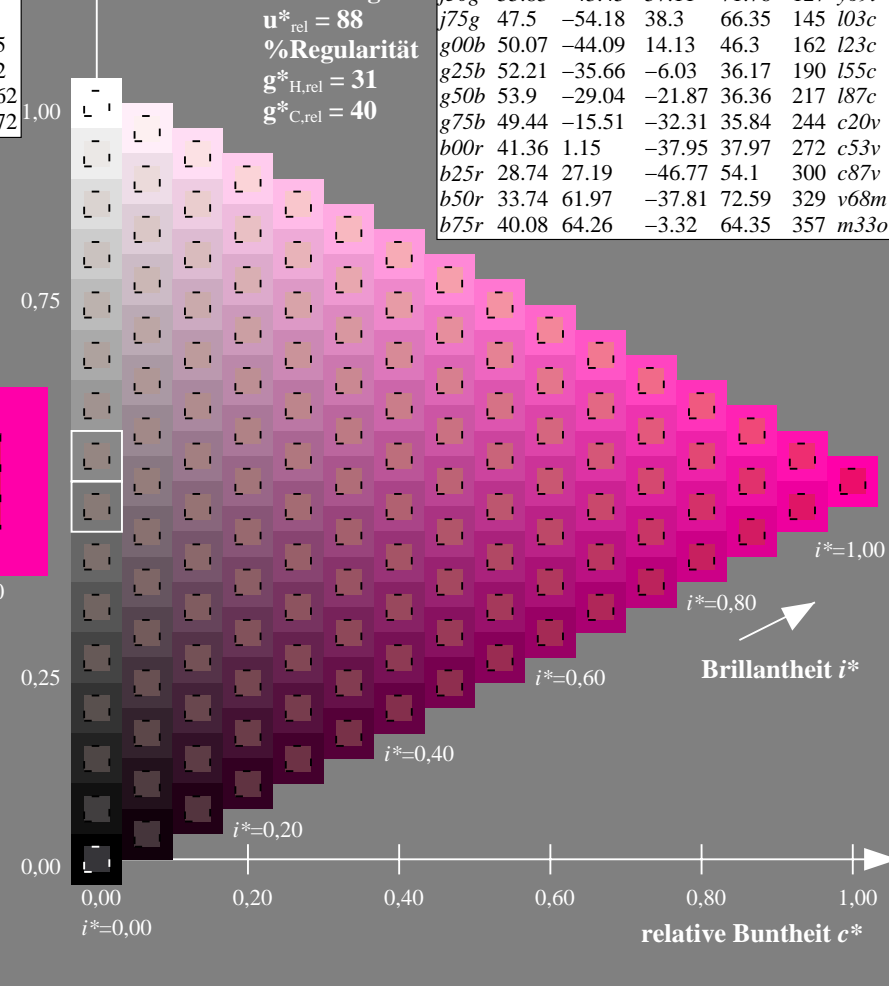
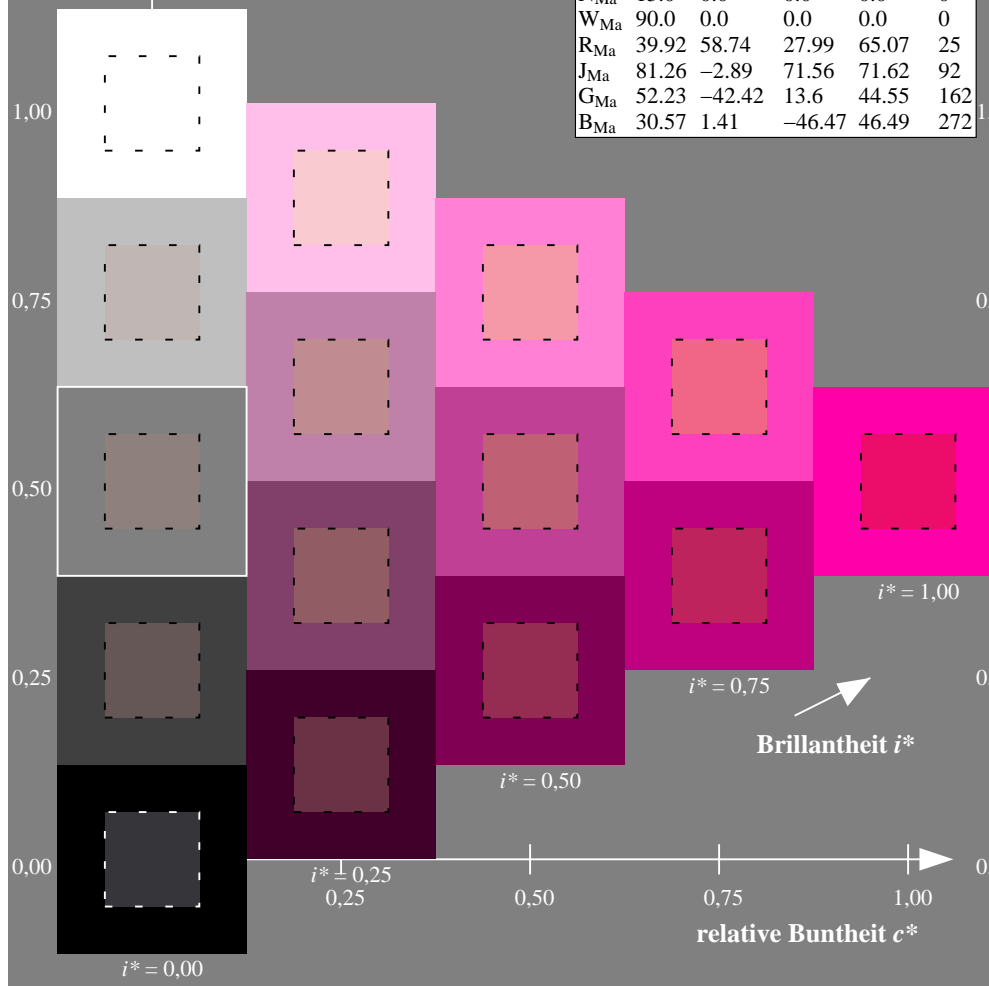
%Regularität

$g^*_{H,rel} = 31$

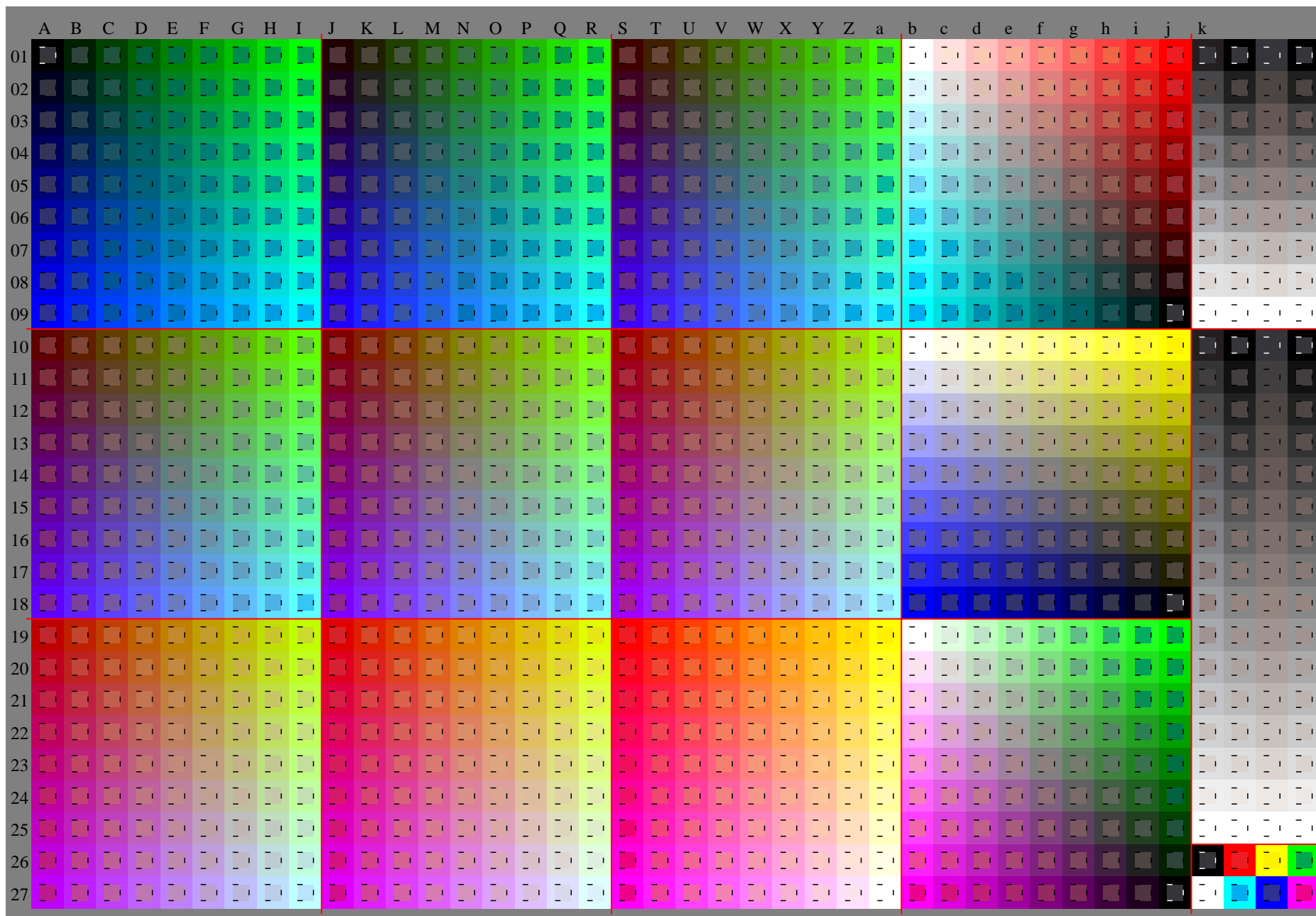
$g^*_{C,rel} = 40$

FRS09_92aM; adaptierte CIELAB-Daten

u^*_e	$L^*=L^*_a$	a^*_a	b^*_a	$C^*_{ab,a}$	$h^*_{ab,a}$	u^*_d
r00j	39.18	56.94	27.13	63.07	25	m81o
r25j	42.41	49.1	44.5	66.26	42	o10y
r50j	52.78	35.22	58.37	68.17	59	o40y
r75j	64.82	19.12	74.47	76.89	76	o69y
j00g	82.06	-3.94	97.52	97.6	92	o98y
j25g	67.26	-26.87	74.67	79.36	110	y34l
j50g	55.83	-43.45	57.11	71.76	127	y69l
j75g	47.5	-54.18	38.3	66.35	145	l03c
g00b	50.07	-44.09	14.13	46.3	162	l23c
g25b	52.21	-35.66	-6.03	36.17	190	l55c
g50b	53.9	-29.04	-21.87	36.36	217	l87c
g75b	49.44	-15.51	-32.31	35.84	244	c20v
b00r	41.36	1.15	-37.95	37.97	272	c53v
b25r	28.74	27.19	-46.77	54.1	300	c87v
b50r	33.74	61.97	-37.81	72.59	329	v68m
b75r	40.08	64.26	-3.32	64.35	357	m33o



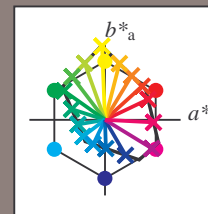
Siehe ähnliche Dateien: <http://www.ps.bam.de/Eg33/>; www.ps.bam.de/Eg.HTM
Technische Information: <http://www.ps.bam.de> Version 2.1, io=1,1, ColSpx=0



Ein und Ausgabe:
Farbmetrisches Drucker-Reflektiv-System FRS09_92aM
Daten für jede Farbe:
 u^*_e und Nummer $Nr.$ = 00 .. 15
Elementar-Bunttontext:
 $u^*_e = 16$ Bunttoene $r00j, r25j, \dots, b75r$
Kontrastreduzierungsfaktor:
 $c_R = 0.9$

FRS09_92aM; adaptierte CIELAB-Daten

u^*_e	$L^*=L^*_a$	a^*_a	b^*_a	$C^*_{ab,a}$	$h^*_{ab,a}$	u^*_d
$r00j$	39.18	56.94	27.13	63.07	25	$m81o$
$r25j$	42.41	49.1	44.5	66.26	42	$o10y$
$r50j$	52.78	35.22	58.37	68.17	59	$o40y$
$r75j$	64.82	19.12	74.47	76.89	76	$o69y$
$j00g$	82.06	-3.94	97.52	97.6	92	$o98y$
$j25g$	67.26	-26.87	74.67	79.36	110	$y34l$
$j50g$	55.83	-43.45	57.11	71.76	127	$y69l$
$j75g$	47.5	-54.18	38.3	66.35	145	$l03c$
$g00b$	50.07	-44.09	14.13	46.3	162	$l23c$
$g25b$	52.21	-35.66	-6.03	36.17	190	$l55c$
$g50b$	53.9	-29.04	-21.87	36.36	217	$l87c$
$g75b$	49.44	-15.51	-32.31	35.84	244	$c20v$
$b00r$	41.36	1.15	-37.95	37.97	272	$c53v$
$b25r$	28.74	27.19	-46.77	54.1	300	$c87v$
$b50r$	33.74	61.97	-37.81	72.59	329	$v68m$
$b75r$	40.08	64.26	-3.32	64.35	357	$m33o$



%Umfang

$u^*_{rel} = 88$

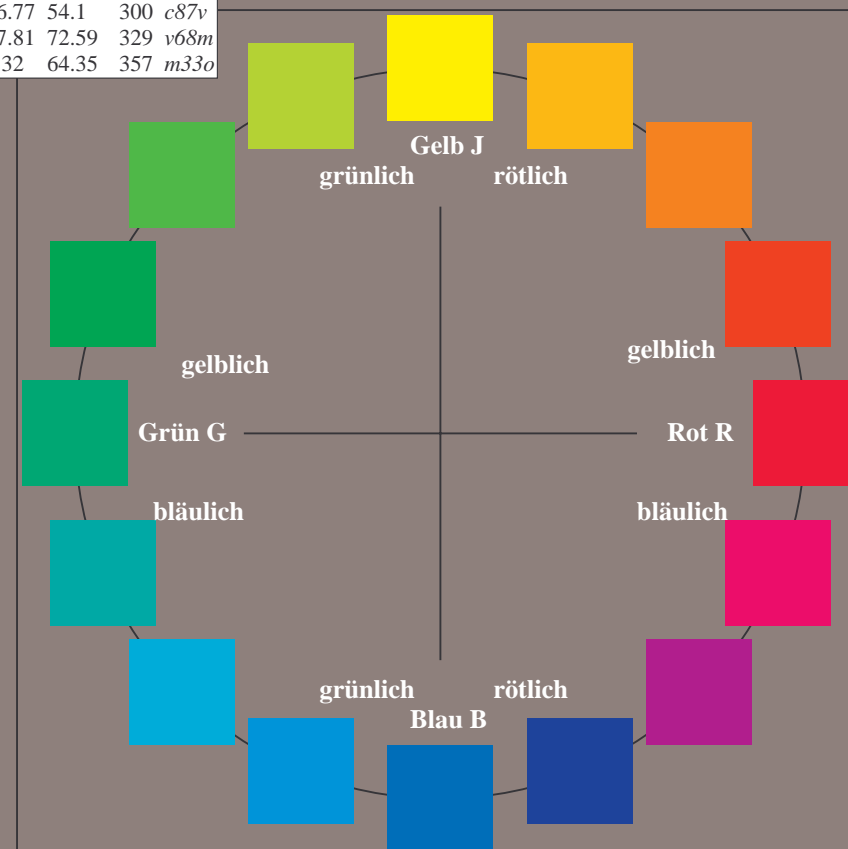
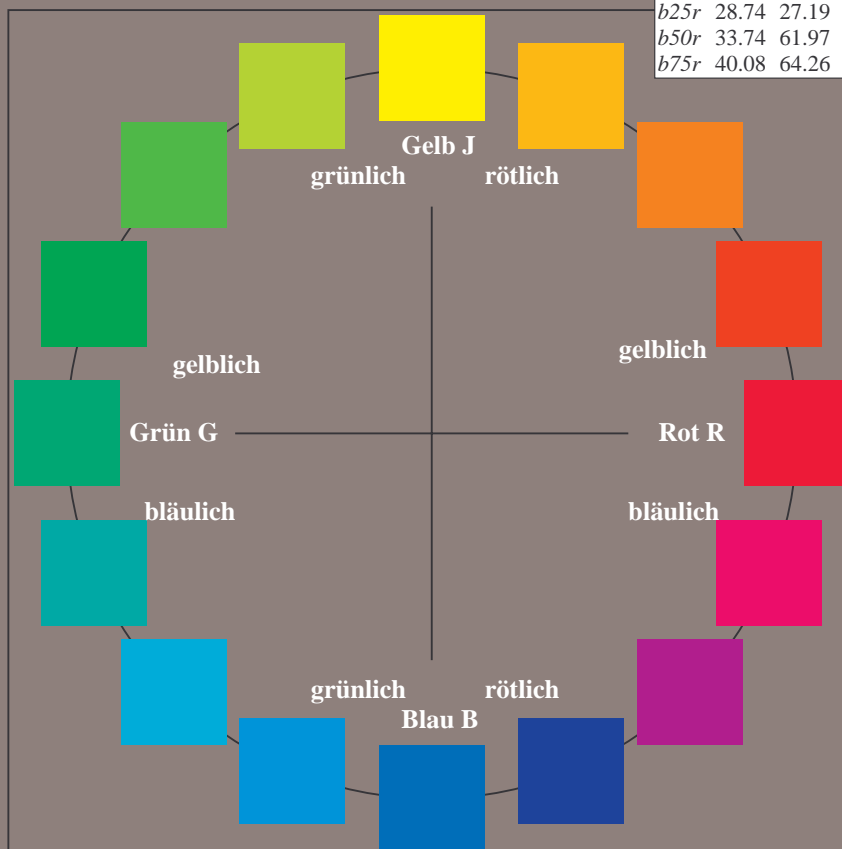
%Regularität

$g^*_{H,rel} = 31$

$g^*_{C,rel} = 40$

FRS09_92aM; adaptierte CIELAB-Daten

Name	$L^*=L^*_a$	a^*_a	b^*_a	$C^*_{ab,a}$	$h^*_{ab,a}$
O_{Ma}	38.8	53.92	39.68	66.95	36
Y_{Ma}	82.58	-4.64	98.22	98.33	93
L_{Ma}	46.95	-56.34	43.46	71.15	142
C_{Ma}	54.62	-26.2	-28.68	38.85	228
V_{Ma}	20.01	45.2	-52.87	69.56	311
M_{Ma}	40.88	70.68	-29.99	76.78	337
N_{Ma}	15.0	0.0	0.0	0.0	0
W_{Ma}	90.0	0.0	0.0	0.0	0
R_{CIE}	39.92	58.74	27.99	65.07	25
J_{CIE}	81.26	-2.89	71.56	71.62	92
G_{CIE}	52.23	-42.42	13.6	44.55	162
B_{CIE}	30.57	1.41	-46.47	46.49	272



Siehe ähnliche Dateien: <http://www.ps.bam.de/Eg33/>; www.ps.bam.de/Eg33/10L/L33G00NP.PS/.PDF
Technische Information: <http://www.ps.bam.de> Version 2.1, io=1,1, ColSp=0

Ein und Ausgabe: Farbmetrisches Drucker-Reflektiv-System FRS09_92aM für relativen CIELAB-Buntton $h^* = lab^*h^* = h_{ab}/360 = 0.071$

Daten für jede Farbe:

lab^*tch^* und lab^*icu^*

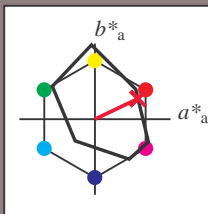
Bunttontexte:

$u^*_e = r00j$ $u^*_d = m81o$

Kontrastreduzierungsfaktor:

$c_R = 0.9$

Dreiecks-Helligkeit i^*



FRS09_92aM; adaptierte CIELAB-Daten

	u^*_e	$L^*=L^*_a$	a^*_a	b^*_a	$C^*_{ab,a}$	$h^*_{ab,a}$
OMa	38.8	53.92	39.68	66.95	36	
YMa	82.58	-4.64	98.22	98.33	93	
LMa	46.95	-56.34	43.46	71.15	142	
CMa	54.62	-26.2	-28.68	38.85	228	
VMa	20.01	45.2	-52.87	69.56	311	
MMa	40.88	70.68	-29.99	76.78	337	
NMa	15.0	0.0	0.0	0.0	0	
WMa	90.0	0.0	0.0	0.0	0	
RMa	39.92	58.74	27.99	65.07	25	
JMa	81.26	-2.89	71.56	71.62	92	
GMa	52.23	-42.42	13.6	44.55	162	
BMa	30.57	1.41	-46.47	46.49	272	

Daten für Maximalfarbe (Ma):

LAB^*LAB^*Ma : 39 57 27

LAB^*LCH^*Ma : 39 63 25

lab^*rgb^*Ma : 1.0 0.0 0.0

lab^*olv^*Ma : 1.0 0.0 0.18

Dreiecks-Helligkeit i^*

%Umfang

$u^*_{rel} = 88$

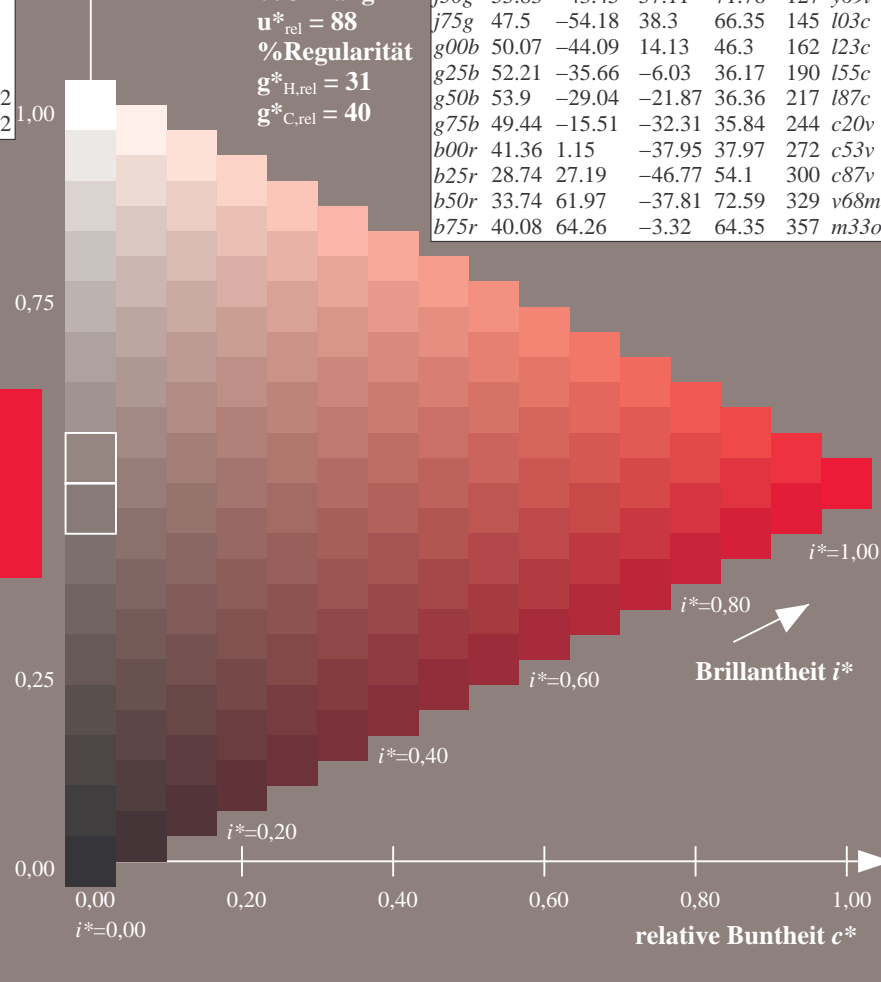
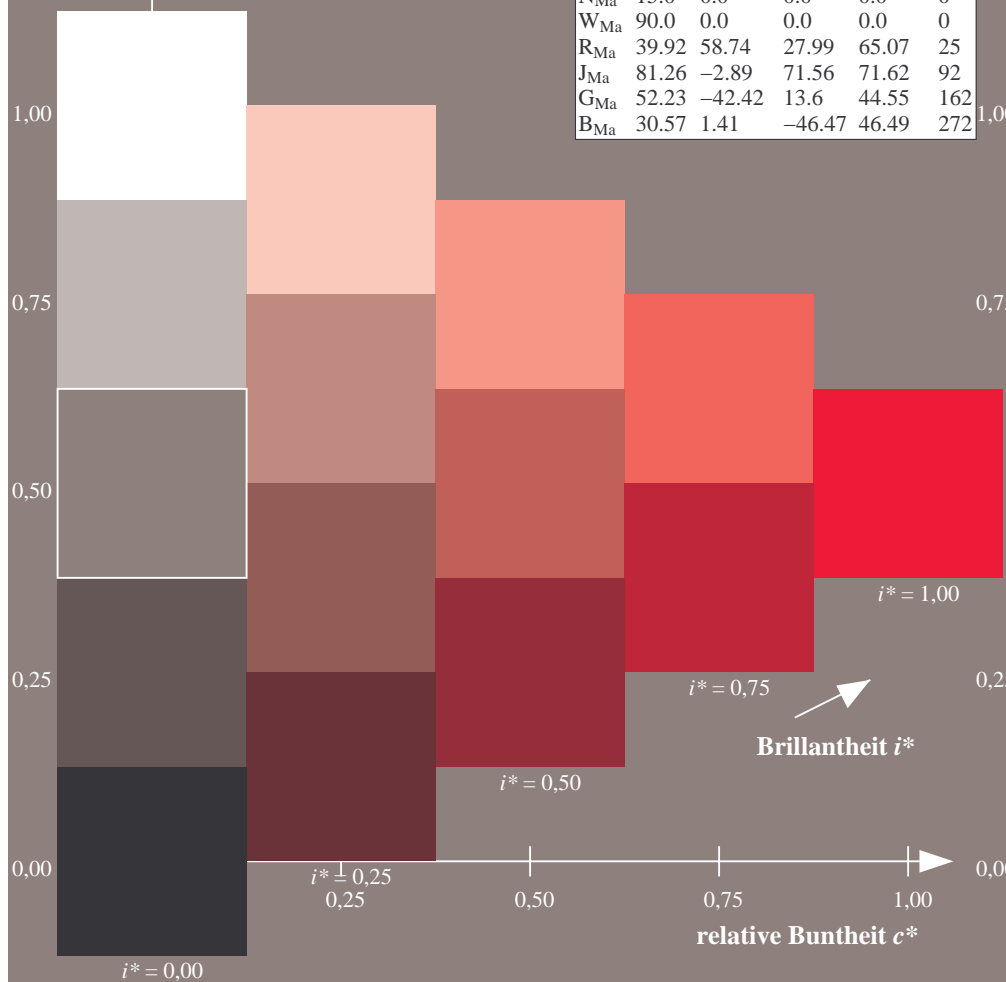
%Regularität

$g^*_{H,rel} = 31$

$g^*_{C,rel} = 40$

FRS09_92aM; adaptierte CIELAB-Daten

	u^*_e	$L^*=L^*_a$	a^*_a	b^*_a	$C^*_{ab,a}$	$h^*_{ab,a}$	u^*_d
r00j	39.18	56.94	27.13	63.07	25		m81o
r25j	42.41	49.1	44.5	66.26	42		o10y
r50j	52.78	35.22	58.37	68.17	59		o40y
r75j	64.82	19.12	74.47	76.89	76		o69y
j00g	82.06	-3.94	97.52	97.6	92		o98y
j25g	67.26	-26.87	74.67	79.36	110		y34l
j50g	55.83	-43.45	57.11	71.76	127		y69l
j75g	47.5	-54.18	38.3	66.35	145		l03c
g00b	50.07	-44.09	14.13	46.3	162		l23c
g25b	52.21	-35.66	-6.03	36.17	190		l55c
g50b	53.9	-29.04	-21.87	36.36	217		l87c
g75b	49.44	-15.51	-32.31	35.84	244		c20v
b00r	41.36	1.15	-37.95	37.97	272		c53v
b25r	28.74	27.19	-46.77	54.1	300		c87v
b50r	33.74	61.97	-37.81	72.59	329		v68m
b75r	40.08	64.26	-3.32	64.35	357		m33o



Ein und Ausgabe: Farbmétrisches Drucker-Reflektiv-System FRS09_92aM für relativen CIELAB-Buntton $h^* = lab^*h^* = h_{ab}/360 = 0.117$

Daten für jede Farbe:

lab^*tch^* und lab^*icu^*

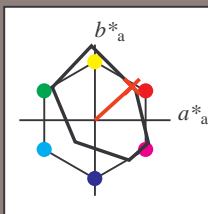
Bunttontexte:

$u^*_e = r25j$ $u^*_d = o10y$

Kontrastreduzierungsfaktor:

$c_R = 0.9$

Dreiecks-Helligkeit i^*



FRS09_92aM; adaptierte CIELAB-Daten

	u^*_e	$L^*=L^*_a$	a^*_a	b^*_a	$C^*_{ab,a}$	$h^*_{ab,a}$
OMa	38.8	53.92	39.68	66.95	36	
YMa	82.58	-4.64	98.22	98.33	93	
LMa	46.95	-56.34	43.46	71.15	142	
CMa	54.62	-26.2	-28.68	38.85	228	
VMa	20.01	45.2	-52.87	69.56	311	
MMa	40.88	70.68	-29.99	76.78	337	
NMa	15.0	0.0	0.0	0.0	0	
WMa	90.0	0.0	0.0	0.0	0	
RMa	39.92	58.74	27.99	65.07	25	
JMa	81.26	-2.89	71.56	71.62	92	
GMa	52.23	-42.42	13.6	44.55	162	
BMa	30.57	1.41	-46.47	46.49	272	

Daten für Maximalfarbe (Ma):

LAB^*LAB^*Ma : 42 49 44

LAB^*LCH^*Ma : 42 66 42

lab^*rgb^*Ma : 1.0 0.25 0.0

lab^*olv^*Ma : 1.0 0.1 0.0

Dreiecks-Helligkeit i^*

%Umfang

$u^*_{rel} = 88$

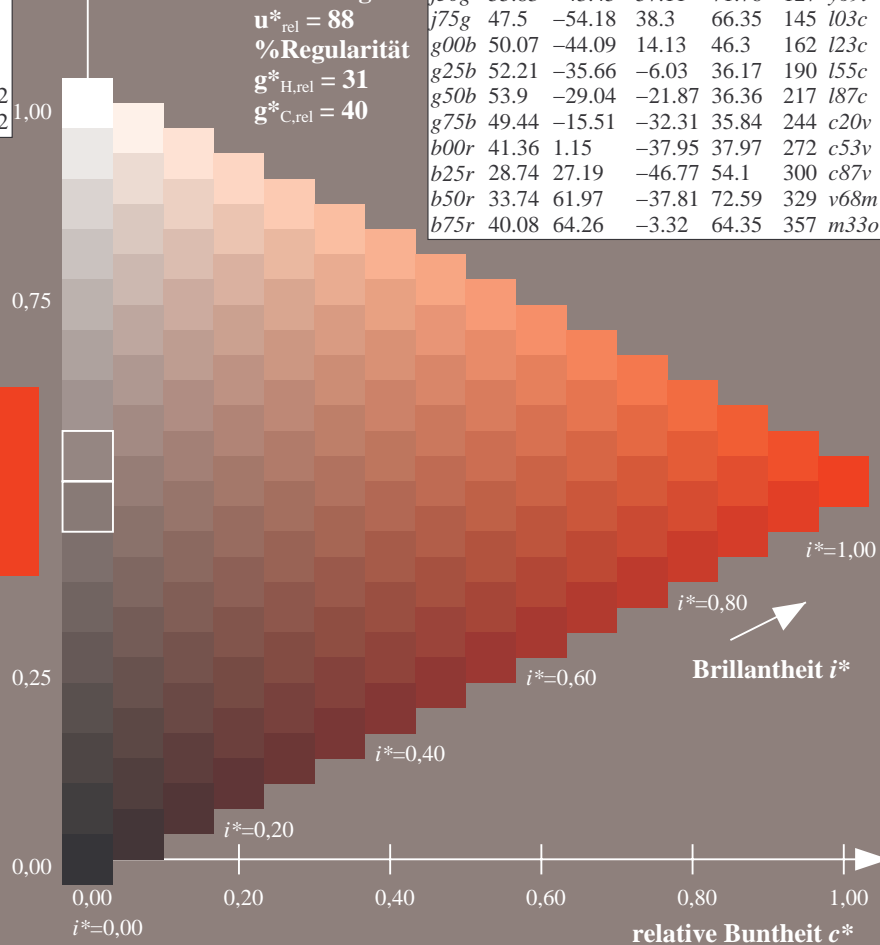
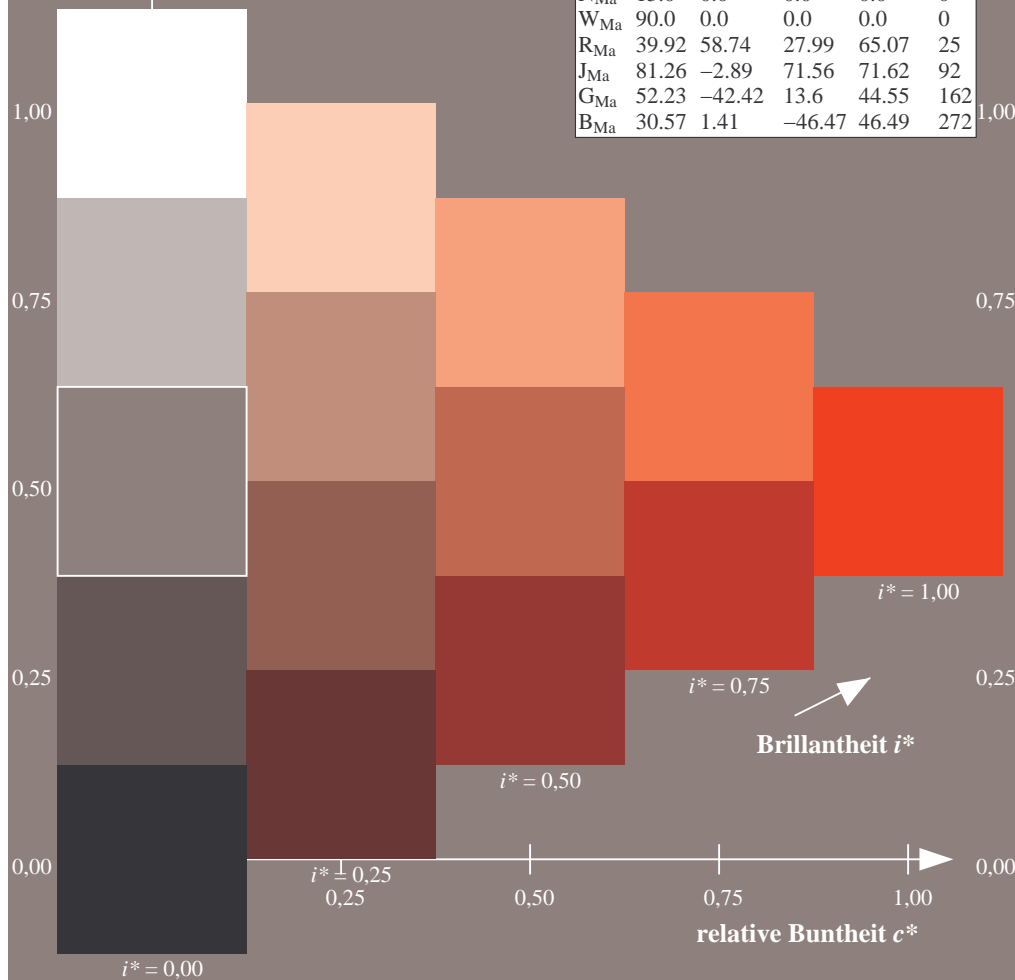
%Regularität

$g^*_{H,rel} = 31$

$g^*_{C,rel} = 40$

FRS09_92aM; adaptierte CIELAB-Daten

	u^*_e	$L^*=L^*_a$	a^*_a	b^*_a	$C^*_{ab,a}$	$h^*_{ab,a}$	u^*_d
r00j	39.18	56.94	27.13	63.07	25	m81o	
r25j	42.41	49.1	44.5	66.26	42	o10y	
r50j	52.78	35.22	58.37	68.17	59	o40y	
r75j	64.82	19.12	74.47	76.89	76	o69y	
j00g	82.06	-3.94	97.52	97.6	92	o98y	
j25g	67.26	-26.87	74.67	79.36	110	y34l	
j50g	55.83	-43.45	57.11	71.76	127	y69l	
j75g	47.5	-54.18	38.3	66.35	145	l03c	
g00b	50.07	-44.09	14.13	46.3	162	l23c	
g25b	52.21	-35.66	-6.03	36.17	190	l55c	
g50b	53.9	-29.04	-21.87	36.36	217	l87c	
g75b	49.44	-15.51	-32.31	35.84	244	c20v	
b00r	41.36	1.15	-37.95	37.97	272	c53v	
b25r	28.74	27.19	-46.77	54.1	300	c87v	
b50r	33.74	61.97	-37.81	72.59	329	v68m	
b75r	40.08	64.26	-3.32	64.35	357	m33o	



Ein und Ausgabe: Farbmétrisches Drucker-Reflektiv-System FRS09_92aM für relativen CIELAB-Buntton $h^* = lab^*h^* = h_{ab}/360 = 0.164$

Daten für jede Farbe:

lab^*tch^* und lab^*icu^*

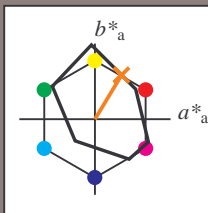
Bunttontexte:

$u^*_e = r50j$ $u^*_d = o40y$

Kontrastreduzierungsfaktor:

$c_R = 0.9$

Dreiecks-Helligkeit i^*



FRS09_92aM; adaptierte CIELAB-Daten

	u^*_e	$L^*=L^*_a$	a^*_a	b^*_a	$C^*_{ab,a}$	$h^*_{ab,a}$
OMa	38.8	53.92	39.68	66.95	36	
YMa	82.58	-4.64	98.22	98.33	93	
LMa	46.95	-56.34	43.46	71.15	142	
CMa	54.62	-26.2	-28.68	38.85	228	
VMa	20.01	45.2	-52.87	69.56	311	
MMa	40.88	70.68	-29.99	76.78	337	
NMa	15.0	0.0	0.0	0.0	0	
WMa	90.0	0.0	0.0	0.0	0	
RMa	39.92	58.74	27.99	65.07	25	
JMa	81.26	-2.89	71.56	71.62	92	
GMa	52.23	-42.42	13.6	44.55	162	
BMa	30.57	1.41	-46.47	46.49	272	

Daten für Maximalfarbe (Ma):

LAB^*LAB^*Ma : 53 35 58

LAB^*LCH^*Ma : 53 68 58

lab^*rgb^*Ma : 1.0 0.5 0.0

lab^*olv^*Ma : 1.0 0.4 0.0

Dreiecks-Helligkeit i^*

%Umfang

$u^*_{rel} = 88$

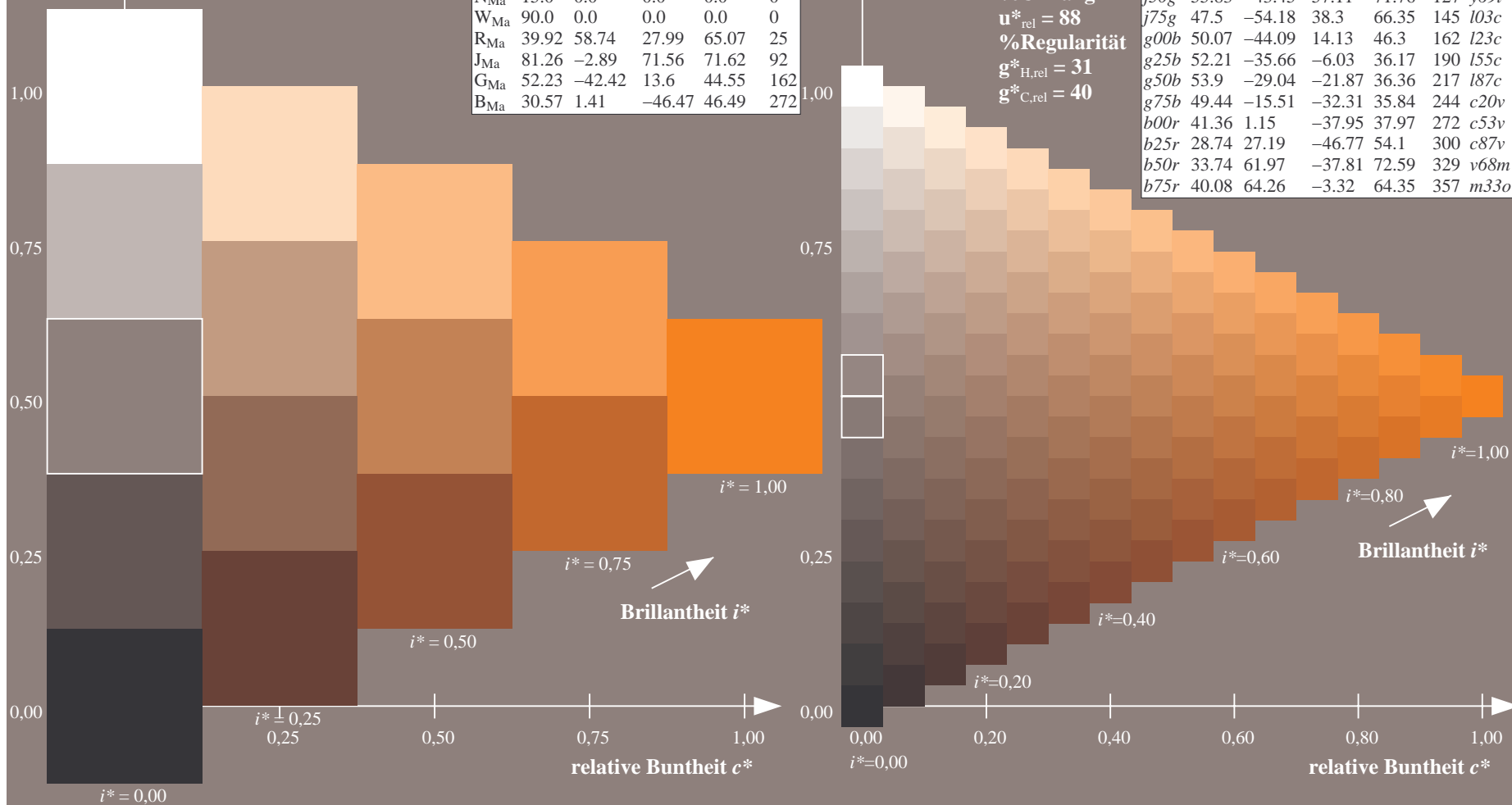
%Regularität

$g^*_{H,rel} = 31$

$g^*_{C,rel} = 40$

FRS09_92aM; adaptierte CIELAB-Daten

	u^*_e	$L^*=L^*_a$	a^*_a	b^*_a	$C^*_{ab,a}$	$h^*_{ab,a}$	u^*_d
r00j	39.18	56.94	27.13	63.07	25	m81o	
r25j	42.41	49.1	44.5	66.26	42	o10y	
r50j	52.78	35.22	58.37	68.17	59	o40y	
r75j	64.82	19.12	74.47	76.89	76	o69y	
j00g	82.06	-3.94	97.52	97.6	92	o98y	
j25g	67.26	-26.87	74.67	79.36	110	y34l	
j50g	55.83	-43.45	57.11	71.76	127	y69l	
j75g	47.5	-54.18	38.3	66.35	145	l03c	
g00b	50.07	-44.09	14.13	46.3	162	l23c	
g25b	52.21	-35.66	-6.03	36.17	190	l55c	
g50b	53.9	-29.04	-21.87	36.36	217	l87c	
g75b	49.44	-15.51	-32.31	35.84	244	c20v	
b00r	41.36	1.15	-37.95	37.97	272	c53v	
b25r	28.74	27.19	-46.77	54.1	300	c87v	
b50r	33.74	61.97	-37.81	72.59	329	v68m	
b75r	40.08	64.26	-3.32	64.35	357	m33o	



Ein und Ausgabe: Farbmatisches Drucker-Reflektiv-System FRS09_92aM für relativen CIELAB-Buntton $h^* = lab^*h^* = h_{ab}/360 = 0.21$

Daten für jede Farbe:

lab^*tch^* und lab^*icu^*

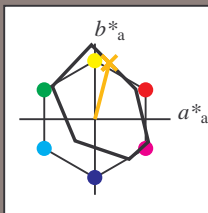
Bunttontexte:

$u^*_e = r75j$ $u^*_d = o69y$

Kontrastreduzierungsfaktor:

$c_R = 0.9$

Dreiecks-Helligkeit i^*



FRS09_92aM; adaptierte CIELAB-Daten

u^*_e	$L^*=L^*_a$	a^*_a	b^*_a	$C^*_{ab,a}$	$h^*_{ab,a}$
O _{Ma}	38.8	53.92	39.68	66.95	36
Y _{Ma}	82.58	-4.64	98.22	98.33	93
L _{Ma}	46.95	-56.34	43.46	71.15	142
C _{Ma}	54.62	-26.2	-28.68	38.85	228
V _{Ma}	20.01	45.2	-52.87	69.56	311
M _{Ma}	40.88	70.68	-29.99	76.78	337
N _{Ma}	15.0	0.0	0.0	0.0	0
W _{Ma}	90.0	0.0	0.0	0.0	0
R _{Ma}	39.92	58.74	27.99	65.07	25
J _{Ma}	81.26	-2.89	71.56	71.62	92
G _{Ma}	52.23	-42.42	13.6	44.55	162
B _{Ma}	30.57	1.41	-46.47	46.49	272

Daten für Maximalfarbe (Ma):

$LAB^*LAB^*_{Ma}$: 65 19 74

$LAB^*LCH^*_{Ma}$: 65 77 75

$lab^*rgb^*_{Ma}$: 1.0 0.75 0.0

$lab^*olv^*_{Ma}$: 1.0 0.7 0.0

Dreiecks-Helligkeit i^*

%Umfang

$u^*_{rel} = 88$

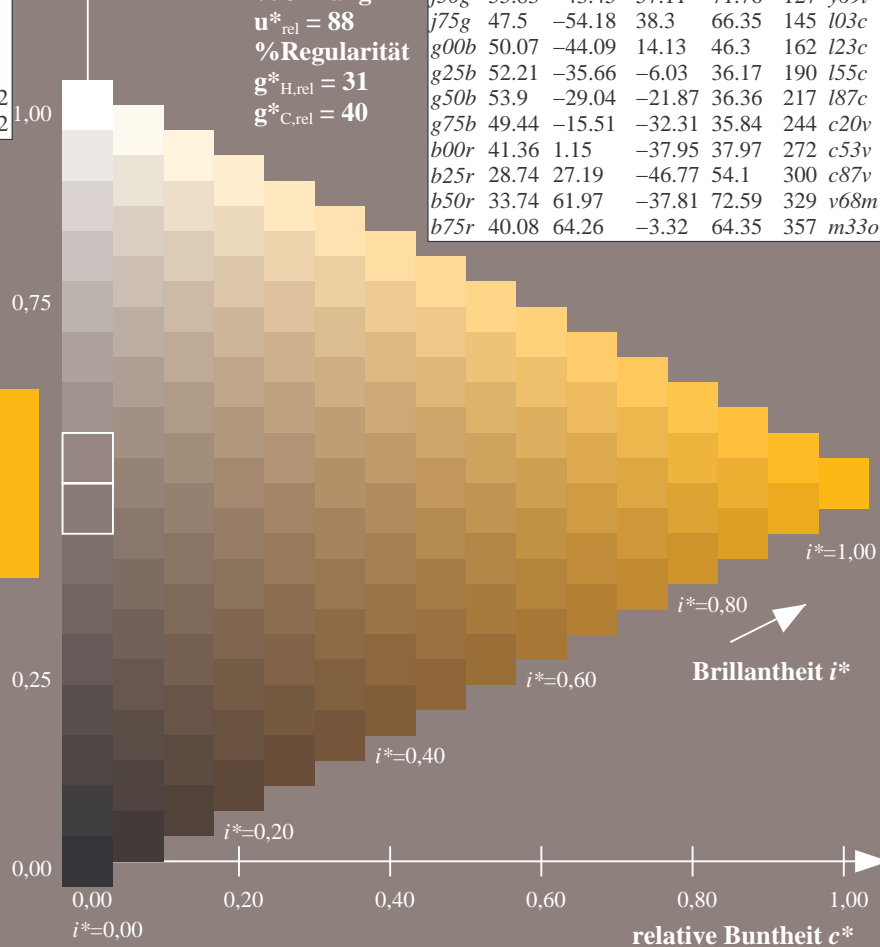
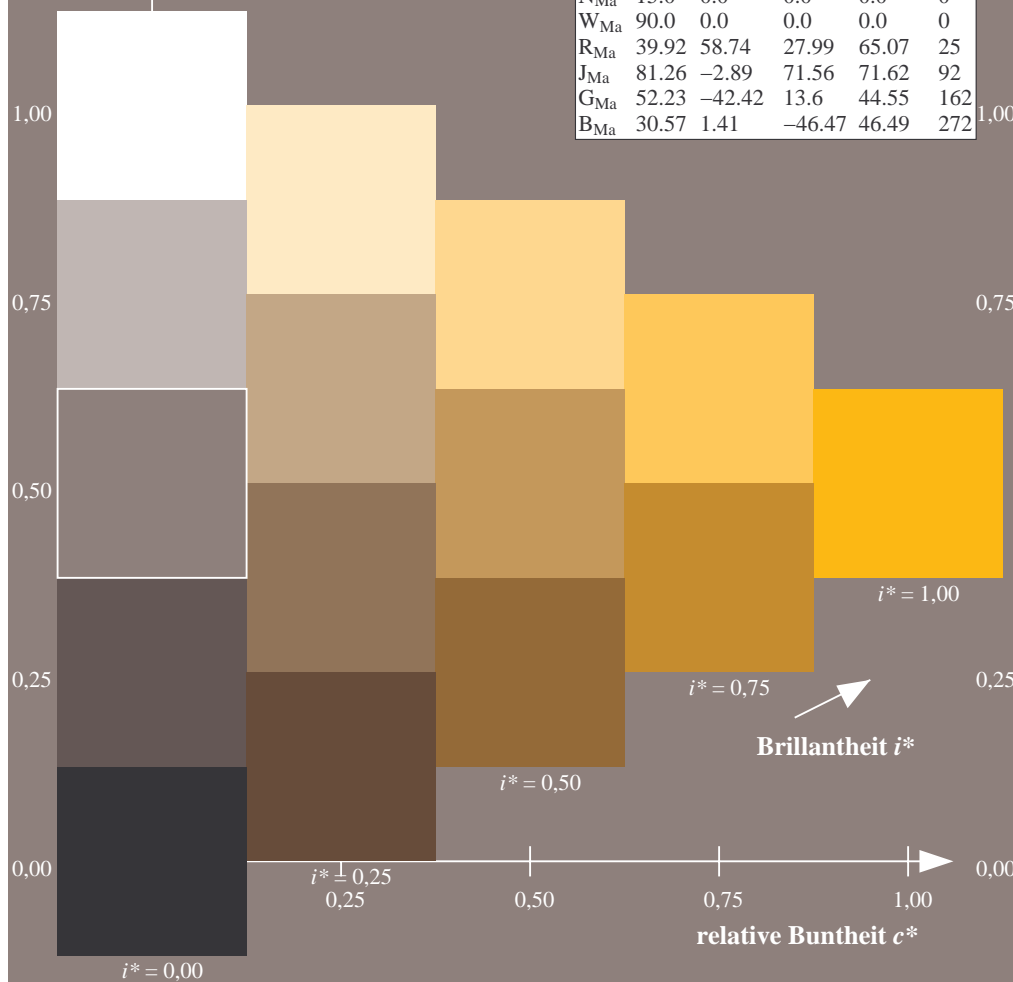
%Regularität

$g^*_{H,rel} = 31$

$g^*_{C,rel} = 40$

FRS09_92aM; adaptierte CIELAB-Daten

u^*_e	$L^*=L^*_a$	a^*_a	b^*_a	$C^*_{ab,a}$	$h^*_{ab,a}$	u^*_d
r00j	39.18	56.94	27.13	63.07	25	m81o
r25j	42.41	49.1	44.5	66.26	42	o10y
r50j	52.78	35.22	58.37	68.17	59	o40y
r75j	64.82	19.12	74.47	76.89	76	o69y
j00g	82.06	-3.94	97.52	97.6	92	o98y
j25g	67.26	-26.87	74.67	79.36	110	y34l
j50g	55.83	-43.45	57.11	71.76	127	y69l
j75g	47.5	-54.18	38.3	66.35	145	l03c
g00b	50.07	-44.09	14.13	46.3	162	l23c
g25b	52.21	-35.66	-6.03	36.17	190	l55c
g50b	53.9	-29.04	-21.87	36.36	217	l87c
g75b	49.44	-15.51	-32.31	35.84	244	c20v
b00r	41.36	1.15	-37.95	37.97	272	c53v
b25r	28.74	27.19	-46.77	54.1	300	c87v
b50r	33.74	61.97	-37.81	72.59	329	v68m
b75r	40.08	64.26	-3.32	64.35	357	m33o



Ein und Ausgabe: Farbmatisches Drucker-Reflektiv-System FRS09_92aM für relativen CIELAB-Buntton $h^* = lab^*h^* = h_{ab}/360 = 0.256$

Daten für jede Farbe:

lab^*tch^* und lab^*icu^*

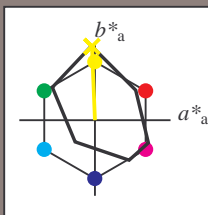
Bunttontexte:

$u^*_e = j00g$ $u^*_d = o98y$

Kontrastreduzierungsfaktor:

$c_R = 0.9$

Dreiecks-Helligkeit i^*



FRS09_92aM; adaptierte CIELAB-Daten

u^*_e	$L^*=L^*_a$	a^*_a	b^*_a	$C^*_{ab,a}$	$h^*_{ab,a}$
O _{Ma}	38.8	53.92	39.68	66.95	36
Y _{Ma}	82.58	-4.64	98.22	98.33	93
L _{Ma}	46.95	-56.34	43.46	71.15	142
C _{Ma}	54.62	-26.2	-28.68	38.85	228
V _{Ma}	20.01	45.2	-52.87	69.56	311
M _{Ma}	40.88	70.68	-29.99	76.78	337
N _{Ma}	15.0	0.0	0.0	0.0	0
W _{Ma}	90.0	0.0	0.0	0.0	0
R _{Ma}	39.92	58.74	27.99	65.07	25
J _{Ma}	81.26	-2.89	71.56	71.62	92
G _{Ma}	52.23	-42.42	13.6	44.55	162
B _{Ma}	30.57	1.41	-46.47	46.49	272

Daten für Maximalfarbe (Ma):

$LAB^*LAB^*_{Ma}$: 82 -4 98

$LAB^*LCH^*_{Ma}$: 82 98 92

$lab^*rgb^*_{Ma}$: 1.0 1.0 0.0

$lab^*olv^*_{Ma}$: 1.0 0.99 0.0

Dreiecks-Helligkeit i^*

%Umfang

$u^*_{rel} = 88$

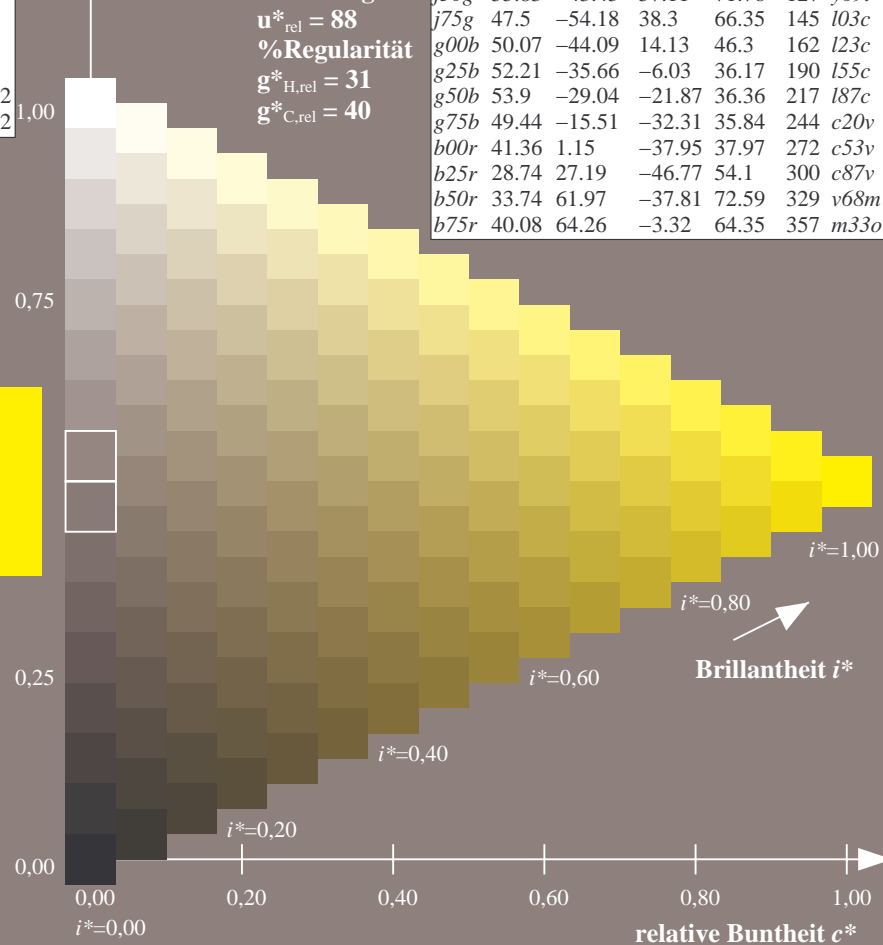
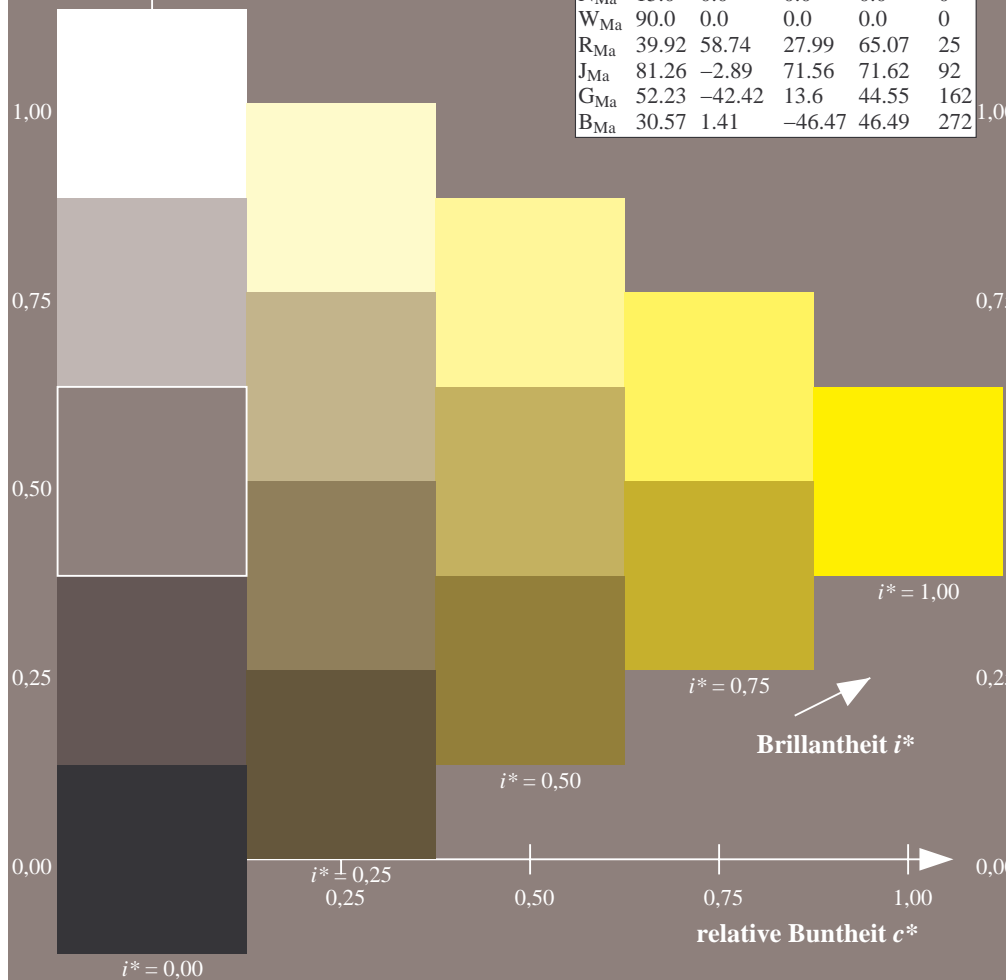
%Regularität

$g^*_{H,rel} = 31$

$g^*_{C,rel} = 40$

FRS09_92aM; adaptierte CIELAB-Daten

u^*_e	$L^*=L^*_a$	a^*_a	b^*_a	$C^*_{ab,a}$	$h^*_{ab,a}$	u^*_d
r00j	39.18	56.94	27.13	63.07	25	m81o
r25j	42.41	49.1	44.5	66.26	42	o10y
r50j	52.78	35.22	58.37	68.17	59	o40y
r75j	64.82	19.12	74.47	76.89	76	o69y
j00g	82.06	-3.94	97.52	97.6	92	o98y
j25g	67.26	-26.87	74.67	79.36	110	y34l
j50g	55.83	-43.45	57.11	71.76	127	y69l
j75g	47.5	-54.18	38.3	66.35	145	l03c
g00b	50.07	-44.09	14.13	46.3	162	l23c
g25b	52.21	-35.66	-6.03	36.17	190	l55c
g50b	53.9	-29.04	-21.87	36.36	217	l87c
g75b	49.44	-15.51	-32.31	35.84	244	c20v
b00r	41.36	1.15	-37.95	37.97	272	c53v
b25r	28.74	27.19	-46.77	54.1	300	c87v
b50r	33.74	61.97	-37.81	72.59	329	v68m
b75r	40.08	64.26	-3.32	64.35	357	m33o



Ein und Ausgabe: Farbmétrisches Drucker-Reflektiv-System FRS09_92aM für relativen CIELAB-Buntton $h^* = lab^*h^* = h_{ab}/360 = 0.305$

Daten für jede Farbe:

lab^*tch^* und lab^*icu^*

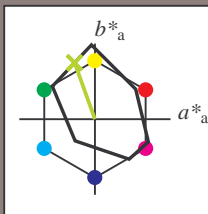
Bunttontexte:

$u^*_e = j25g$ $u^*_d = y34l$

Kontrastreduzierungsfaktor:

$c_R = 0.9$

Dreiecks-Helligkeit i^*



FRS09_92aM; adaptierte CIELAB-Daten

u^*_e	$L^*=L^*_a$	a^*_a	b^*_a	$C^*_{ab,a}$	$h^*_{ab,a}$
O _{Ma}	38.8	53.92	39.68	66.95	36
Y _{Ma}	82.58	-4.64	98.22	98.33	93
L _{Ma}	46.95	-56.34	43.46	71.15	142
C _{Ma}	54.62	-26.2	-28.68	38.85	228
V _{Ma}	20.01	45.2	-52.87	69.56	311
M _{Ma}	40.88	70.68	-29.99	76.78	337
N _{Ma}	15.0	0.0	0.0	0.0	0
W _{Ma}	90.0	0.0	0.0	0.0	0
R _{Ma}	39.92	58.74	27.99	65.07	25
J _{Ma}	81.26	-2.89	71.56	71.62	92
G _{Ma}	52.23	-42.42	13.6	44.55	162
B _{Ma}	30.57	1.41	-46.47	46.49	272

Daten für Maximalfarbe (Ma):

$LAB^*LAB^*_{Ma}$: 67 -27 75

$LAB^*LCH^*_{Ma}$: 67 79 109

$lab^*rgb^*_{Ma}$: 0.75 1.0 0.0

$lab^*olv^*_{Ma}$: 0.66 1.0 0.0

Dreiecks-Helligkeit i^*

%Umfang

$u^*_{rel} = 88$

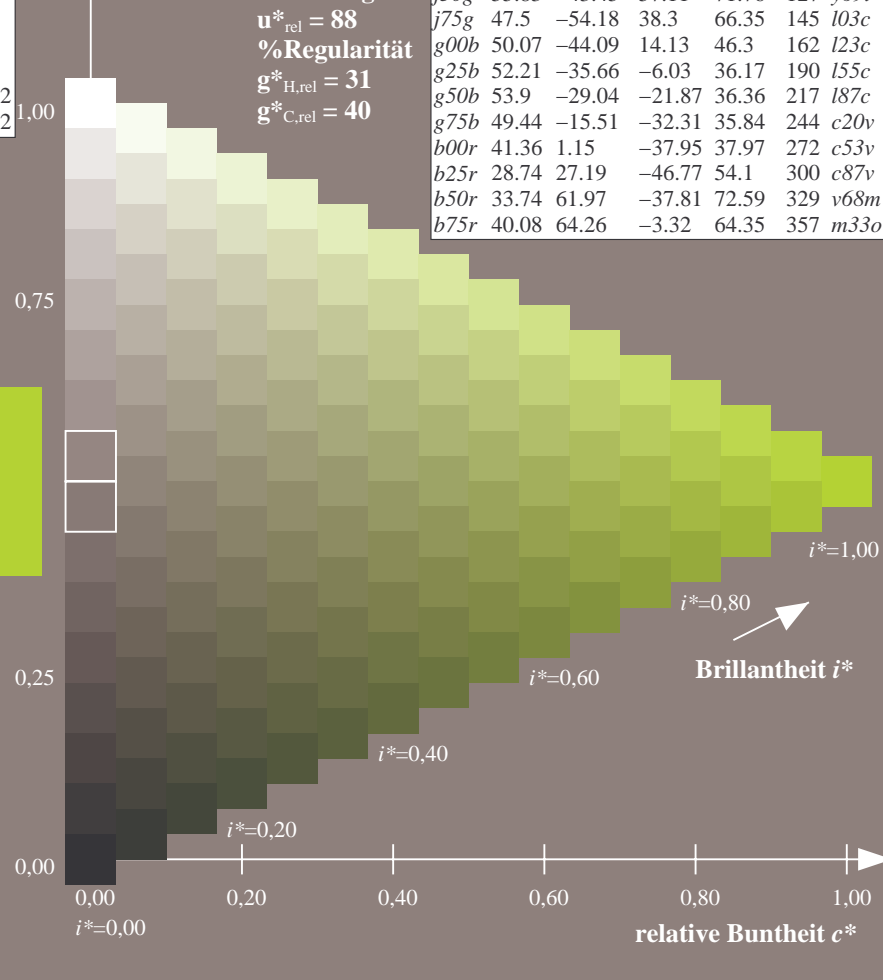
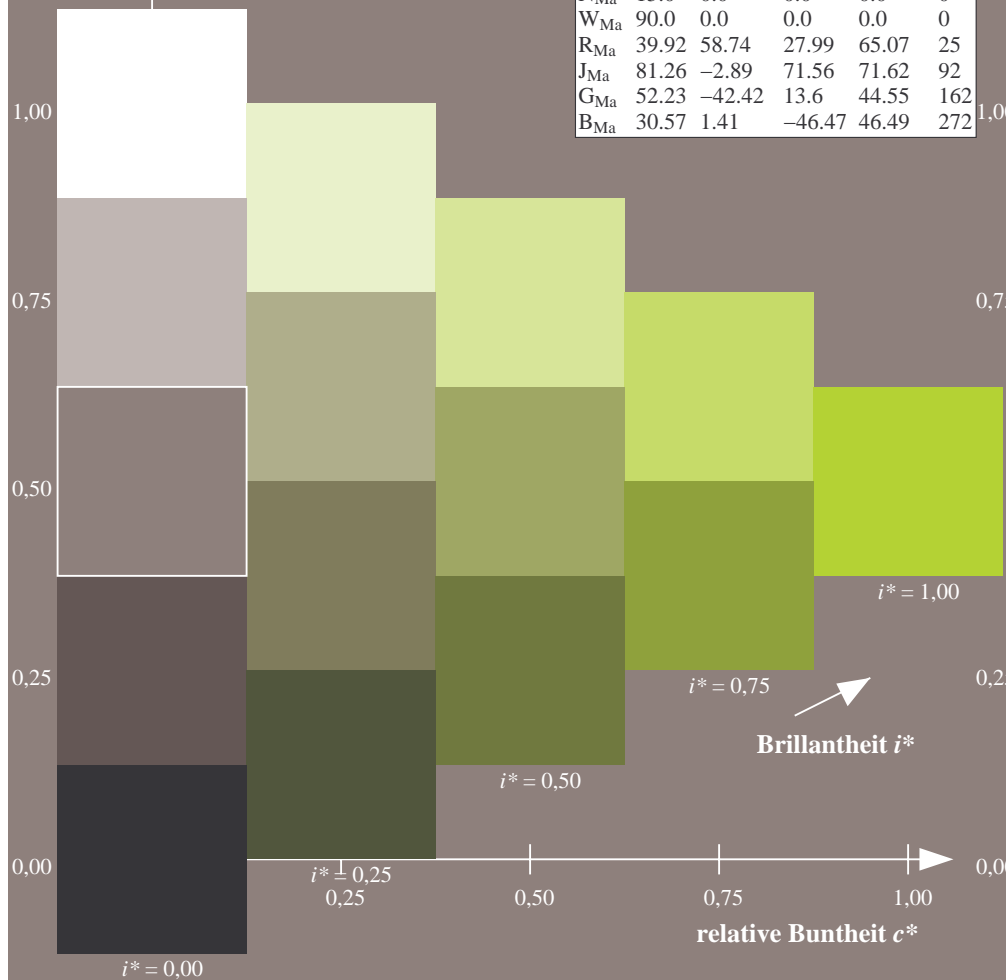
%Regularität

$g^*_{H,rel} = 31$

$g^*_{C,rel} = 40$

FRS09_92aM; adaptierte CIELAB-Daten

u^*_e	$L^*=L^*_a$	a^*_a	b^*_a	$C^*_{ab,a}$	$h^*_{ab,a}$	u^*_d
r00j	39.18	56.94	27.13	63.07	25	m81o
r25j	42.41	49.1	44.5	66.26	42	o10y
r50j	52.78	35.22	58.37	68.17	59	o40y
r75j	64.82	19.12	74.47	76.89	76	o69y
j00g	82.06	-3.94	97.52	97.6	92	o98y
j25g	67.26	-26.87	74.67	79.36	110	y34l
j50g	55.83	-43.45	57.11	71.76	127	y69l
j75g	47.5	-54.18	38.3	66.35	145	l03c
g00b	50.07	-44.09	14.13	46.3	162	l23c
g25b	52.21	-35.66	-6.03	36.17	190	l55c
g50b	53.9	-29.04	-21.87	36.36	217	l87c
g75b	49.44	-15.51	-32.31	35.84	244	c20v
b00r	41.36	1.15	-37.95	37.97	272	c53v
b25r	28.74	27.19	-46.77	54.1	300	c87v
b50r	33.74	61.97	-37.81	72.59	329	v68m
b75r	40.08	64.26	-3.32	64.35	357	m33o



Ein und Ausgabe: Farbmatisches Drucker-Reflektiv-System FRS09_92aM für relativen CIELAB-Buntton $h^* = lab^*h^* = h_{ab}/360 = 0.354$

Daten für jede Farbe:

lab^*tch^* und lab^*icu^*

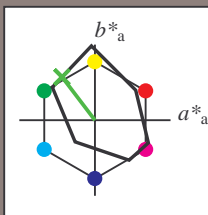
Bunttontexte:

$u^*_e = j50g$ $u^*_d = y69l$

Kontrastreduzierungsfaktor:

$c_R = 0.9$

Dreiecks-Helligkeit i^*



FRS09_92aM; adaptierte CIELAB-Daten						
u^*_e	$L^*=L^*_a$	a^*_a	b^*_a	$C^*_{ab,a}$	$h^*_{ab,a}$	
O _{Ma}	38.8	53.92	39.68	66.95	36	
Y _{Ma}	82.58	-4.64	98.22	98.33	93	
L _{Ma}	46.95	-56.34	43.46	71.15	142	
C _{Ma}	54.62	-26.2	-28.68	38.85	228	
V _{Ma}	20.01	45.2	-52.87	69.56	311	
M _{Ma}	40.88	70.68	-29.99	76.78	337	
N _{Ma}	15.0	0.0	0.0	0.0	0	
W _{Ma}	90.0	0.0	0.0	0.0	0	
R _{Ma}	39.92	58.74	27.99	65.07	25	
J _{Ma}	81.26	-2.89	71.56	71.62	92	
G _{Ma}	52.23	-42.42	13.6	44.55	162	
B _{Ma}	30.57	1.41	-46.47	46.49	272	

Daten für Maximalfarbe (Ma):

$LAB^*LAB^*_{Ma}$: 56 -43 57

$LAB^*LCH^*_{Ma}$: 56 72 127

$lab^*rgb^*_{Ma}$: 0.5 1.0 0.0

$lab^*olv^*_{Ma}$: 0.3 1.0 0.0

Dreiecks-Helligkeit i^*

%Umfang

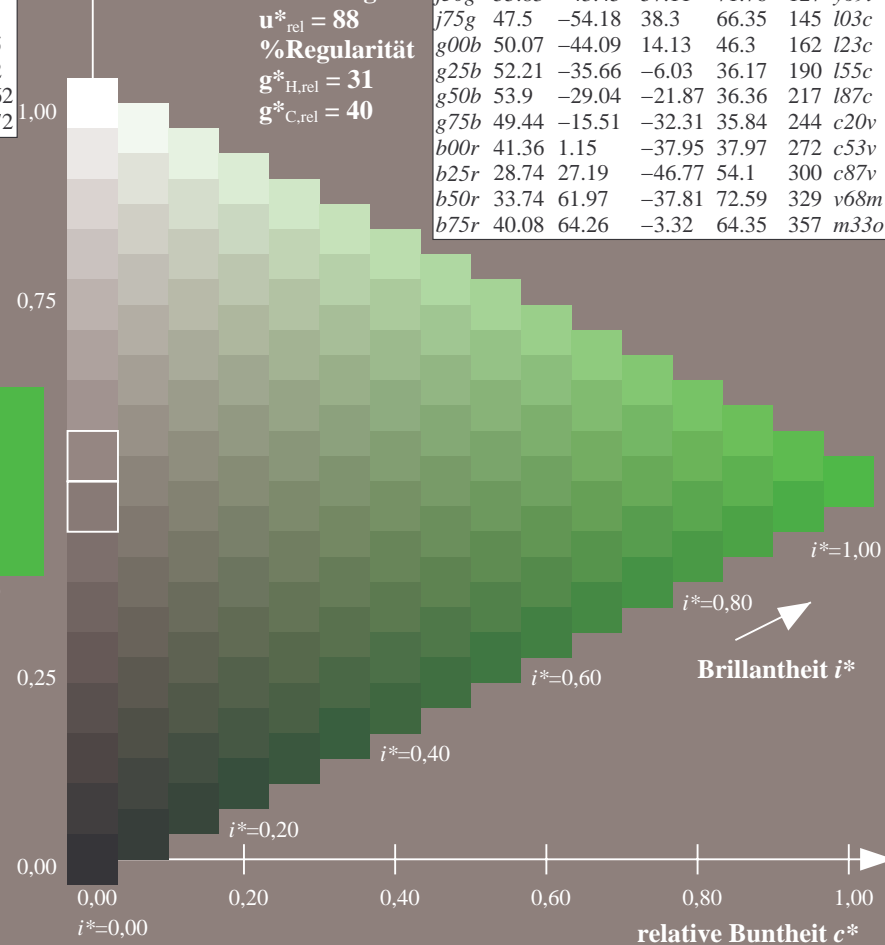
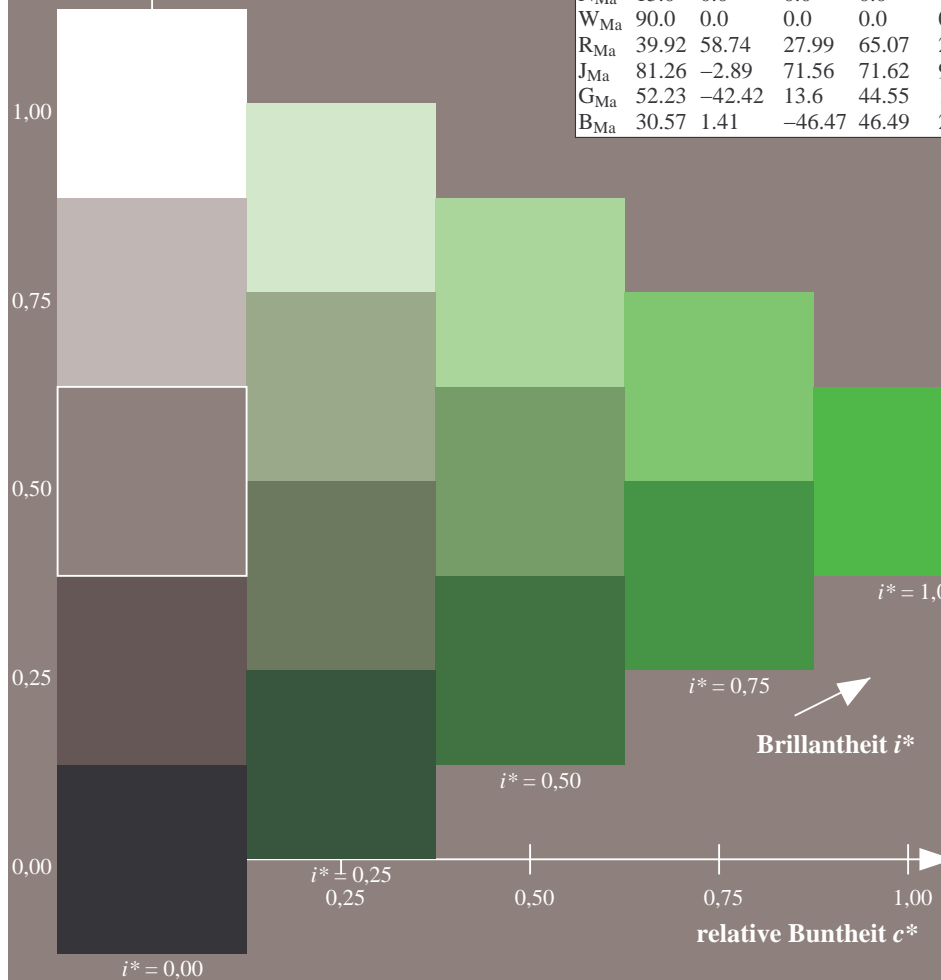
$u^*_{rel} = 88$

%Regularität

$g^*_{H,rel} = 31$

$g^*_{C,rel} = 40$

FRS09_92aM; adaptierte CIELAB-Daten							
u^*_e	$L^*=L^*_a$	a^*_a	b^*_a	$C^*_{ab,a}$	$h^*_{ab,a}$	u^*_d	
r00j	39.18	56.94	27.13	63.07	25	m81o	
r25j	42.41	49.1	44.5	66.26	42	o10y	
r50j	52.78	35.22	58.37	68.17	59	o40y	
r75j	64.82	19.12	74.47	76.89	76	o69y	
j00g	82.06	-3.94	97.52	97.6	92	o98y	
j25g	67.26	-26.87	74.67	79.36	110	y34l	
j50g	55.83	-43.45	57.11	71.76	127	y69l	
j75g	47.5	-54.18	38.3	66.35	145	l03c	
g00b	50.07	-44.09	14.13	46.3	162	l23c	
g25b	52.21	-35.66	-6.03	36.17	190	l55c	
g50b	53.9	-29.04	-21.87	36.36	217	l87c	
g75b	49.44	-15.51	-32.31	35.84	244	c20v	
b00r	41.36	1.15	-37.95	37.97	272	c53v	
b25r	28.74	27.19	-46.77	54.1	300	c87v	
b50r	33.74	61.97	-37.81	72.59	329	v68m	
b75r	40.08	64.26	-3.32	64.35	357	m33o	



Ein und Ausgabe: Farbmétrisches Drucker-Reflektiv-System FRS09_92aM für relativen CIELAB-Buntton $h^* = lab^*h^* = h_{ab}/360 = 0.402$

Daten für jede Farbe:

lab^*tch^* und lab^*icu^*

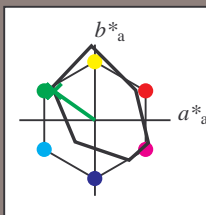
Bunttontexte:

$u^*_e = j75g$ $u^*_d = i03c$

Kontrastreduzierungsfaktor:

$c_R = 0.9$

Dreiecks-Helligkeit i^*



FRS09_92aM; adaptierte CIELAB-Daten

	u^*_e	$L^*=L^*_a$	a^*_a	b^*_a	$C^*_{ab,a}$	$h^*_{ab,a}$
O _{Ma}	38.8	53.92	39.68	66.95	36	
Y _{Ma}	82.58	-4.64	98.22	98.33	93	
L _{Ma}	46.95	-56.34	43.46	71.15	142	
C _{Ma}	54.62	-26.2	-28.68	38.85	228	
V _{Ma}	20.01	45.2	-52.87	69.56	311	
M _{Ma}	40.88	70.68	-29.99	76.78	337	
N _{Ma}	15.0	0.0	0.0	0.0	0	
W _{Ma}	90.0	0.0	0.0	0.0	0	
R _{Ma}	39.92	58.74	27.99	65.07	25	
J _{Ma}	81.26	-2.89	71.56	71.62	92	
G _{Ma}	52.23	-42.42	13.6	44.55	162	
B _{Ma}	30.57	1.41	-46.47	46.49	272	

Daten für Maximalfarbe (Ma):

$LAB^*LAB^*_{Ma}$: 48 -54 38

$LAB^*LCH^*_{Ma}$: 48 66 144

$lab^*rgb^*_{Ma}$: 0.25 1.0 0.0

$lab^*olv^*_{Ma}$: 0.0 1.0 0.03

Dreiecks-Helligkeit i^*

%Umfang

$u^*_{rel} = 88$

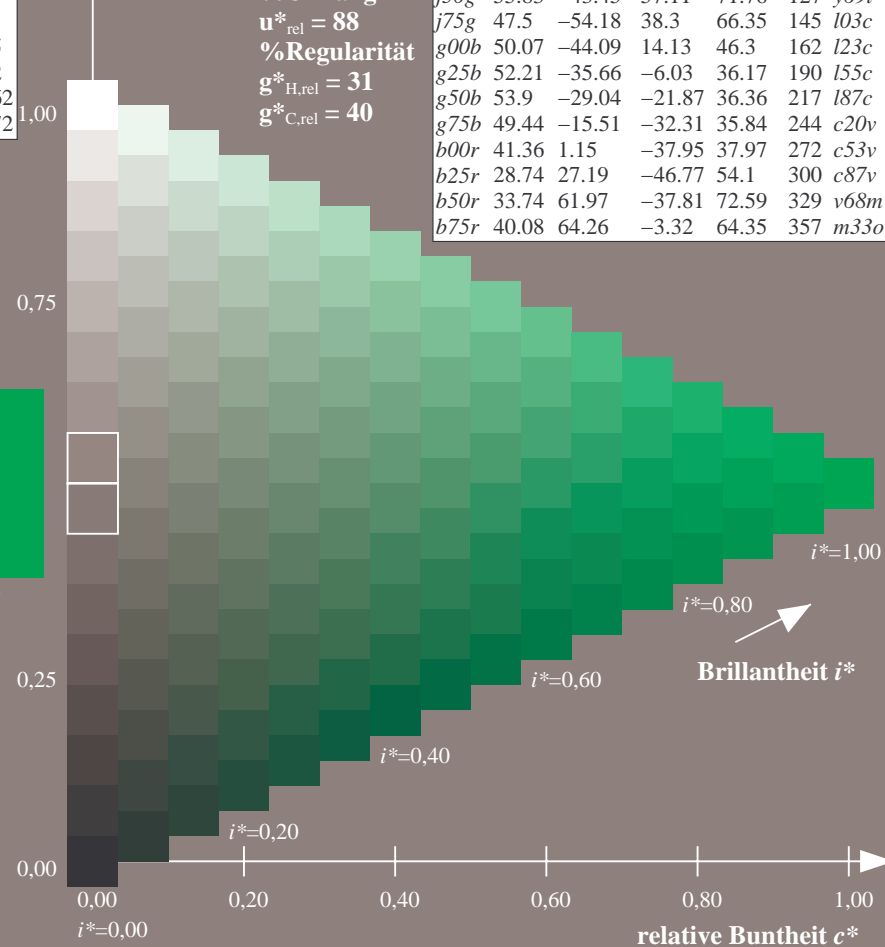
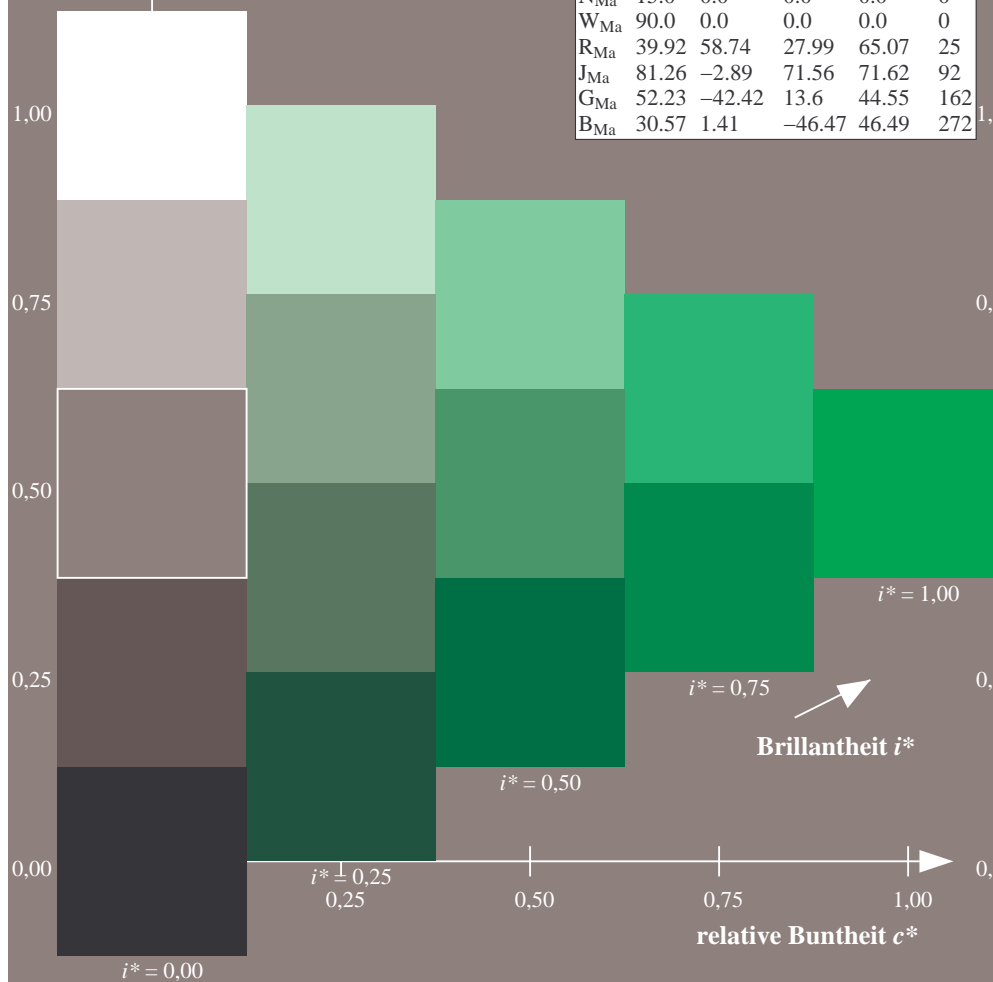
%Regularität

$g^*_{H,rel} = 31$

$g^*_{C,rel} = 40$

FRS09_92aM; adaptierte CIELAB-Daten

	u^*_e	$L^*=L^*_a$	a^*_a	b^*_a	$C^*_{ab,a}$	$h^*_{ab,a}$	u^*_d
r00j	39.18	56.94	27.13	63.07	25		m81o
r25j	42.41	49.1	44.5	66.26	42		o10y
r50j	52.78	35.22	58.37	68.17	59		o40y
r75j	64.82	19.12	74.47	76.89	76		o69y
j00g	82.06	-3.94	97.52	97.6	92		o98y
j25g	67.26	-26.87	74.67	79.36	110		y34l
j50g	55.83	-43.45	57.11	71.76	127		y69l
j75g	47.5	-54.18	38.3	66.35	145		i03c
g00b	50.07	-44.09	14.13	46.3	162		i23c
g25b	52.21	-35.66	-6.03	36.17	190		i55c
g50b	53.9	-29.04	-21.87	36.36	217		i87c
g75b	49.44	-15.51	-32.31	35.84	244		c20v
b00r	41.36	1.15	-37.95	37.97	272		c53v
b25r	28.74	27.19	-46.77	54.1	300		c87v
b50r	33.74	61.97	-37.81	72.59	329		v68m
b75r	40.08	64.26	-3.32	64.35	357		m33o



Ein und Ausgabe: Farbmétrisches Drucker-Reflektiv-System FRS09_92aM für relativen CIELAB-Buntton $h^* = lab^*h^* = h_{ab}/360 = 0.451$

Daten für jede Farbe:

lab^*tch^* und lab^*icu^*

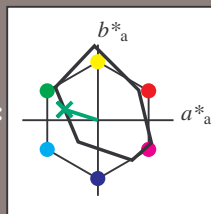
Bunttontexte:

$u^*_e = g00b$ $u^*_d = l23c$

Kontrastreduzierungsfaktor:

$c_R = 0.9$

Dreiecks-Helligkeit i^*



FRS09_92aM; adaptierte CIELAB-Daten

	u^*_e	$L^*=L^*_a$	a^*_a	b^*_a	$C^*_{ab,a}$	$h^*_{ab,a}$
O _{Ma}	38.8	53.92	39.68	66.95	36	
Y _{Ma}	82.58	-4.64	98.22	98.33	93	
L _{Ma}	46.95	-56.34	43.46	71.15	142	
C _{Ma}	54.62	-26.2	-28.68	38.85	228	
V _{Ma}	20.01	45.2	-52.87	69.56	311	
M _{Ma}	40.88	70.68	-29.99	76.78	337	
N _{Ma}	15.0	0.0	0.0	0.0	0	
W _{Ma}	90.0	0.0	0.0	0.0	0	
R _{Ma}	39.92	58.74	27.99	65.07	25	
J _{Ma}	81.26	-2.89	71.56	71.62	92	
G _{Ma}	52.23	-42.42	13.6	44.55	162	
B _{Ma}	30.57	1.41	-46.47	46.49	272	

Daten für Maximalfarbe (Ma):

$LAB^*LAB^*_{Ma}$: 50 -44 14

$LAB^*LCH^*_{Ma}$: 50 46 162

$lab^*rgb^*_{Ma}$: 0.0 1.0 0.0

$lab^*olv^*_{Ma}$: 0.0 1.0 0.23

Dreiecks-Helligkeit i^*

%Umfang

$u^*_{rel} = 88$

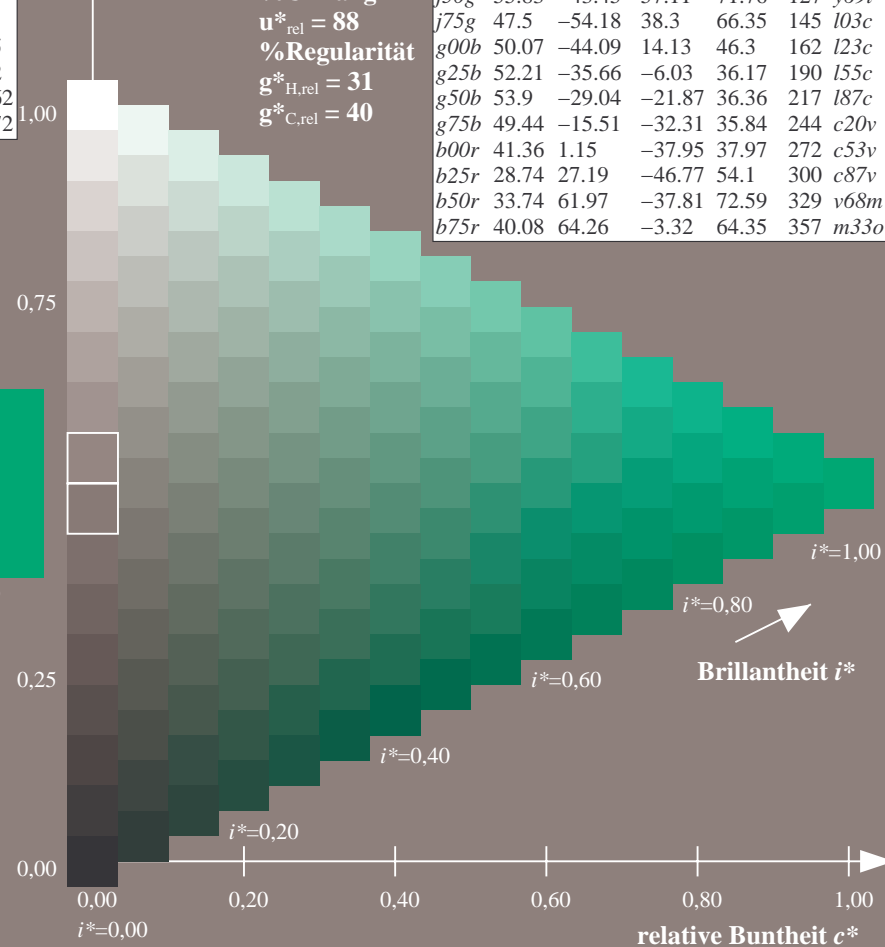
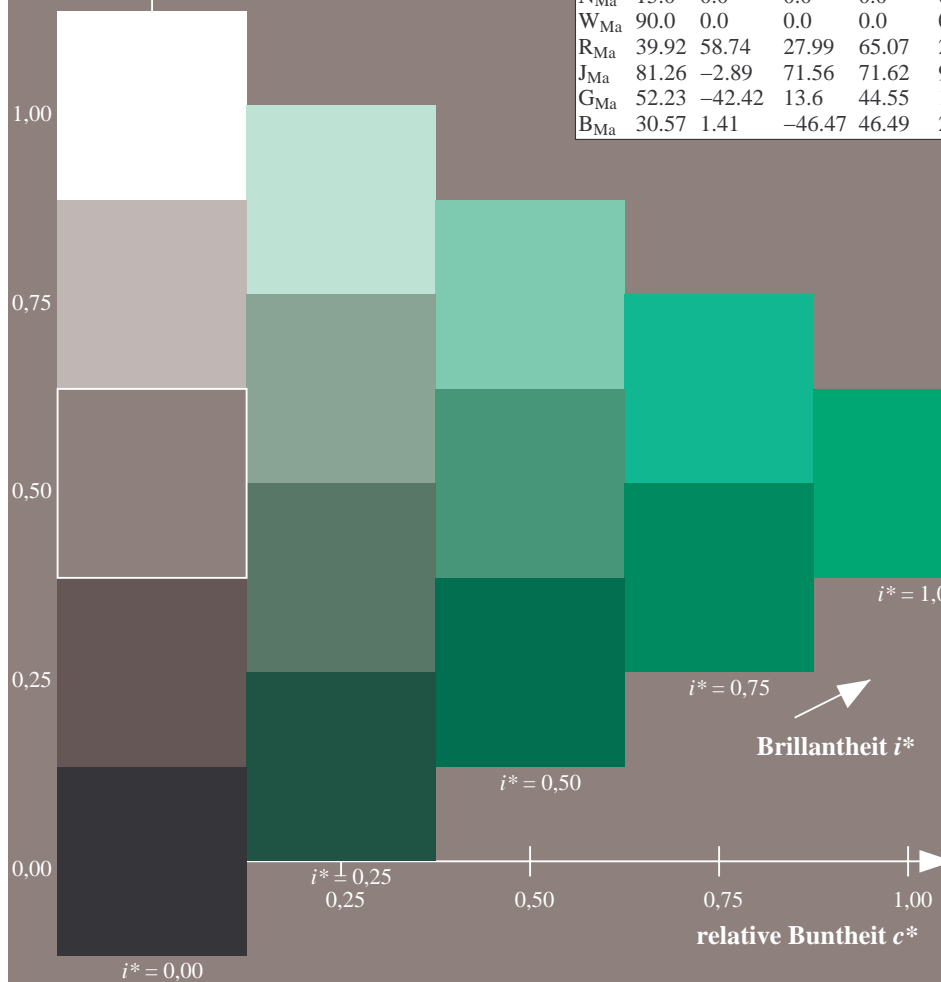
%Regularität

$g^*_{H,rel} = 31$

$g^*_{C,rel} = 40$

FRS09_92aM; adaptierte CIELAB-Daten

	u^*_e	$L^*=L^*_a$	a^*_a	b^*_a	$C^*_{ab,a}$	$h^*_{ab,a}$	u^*_d
r00j	39.18	56.94	27.13	63.07	25	m81o	
r25j	42.41	49.1	44.5	66.26	42	o10y	
r50j	52.78	35.22	58.37	68.17	59	o40y	
r75j	64.82	19.12	74.47	76.89	76	o69y	
j00g	82.06	-3.94	97.52	97.6	92	o98y	
j25g	67.26	-26.87	74.67	79.36	110	y34l	
j50g	55.83	-43.45	57.11	71.76	127	y69l	
j75g	47.5	-54.18	38.3	66.35	145	l03c	
g00b	50.07	-44.09	14.13	46.3	162	l23c	
g25b	52.21	-35.66	-6.03	36.17	190	l55c	
g50b	53.9	-29.04	-21.87	36.36	217	l87c	
g75b	49.44	-15.51	-32.31	35.84	244	c20v	
b00r	41.36	1.15	-37.95	37.97	272	c53v	
b25r	28.74	27.19	-46.77	54.1	300	c87v	
b50r	33.74	61.97	-37.81	72.59	329	v68m	
b75r	40.08	64.26	-3.32	64.35	357	m33o	



Ein und Ausgabe: Farbmétrisches Drucker-Reflektiv-System FRS09_92aM für relativen CIELAB-Buntton $h^* = lab^*h^* = h_{ab}/360 = 0.527$

Daten für jede Farbe:

lab^*tch^* und lab^*icu^*

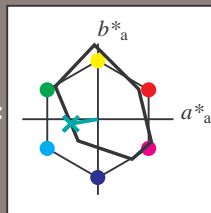
Bunttontexte:

$u^*_e = g25b$ $u^*_d = l55c$

Kontrastreduzierungsfaktor:

$c_R = 0.9$

Dreiecks-Helligkeit i^*



FRS09_92aM; adaptierte CIELAB-Daten

u^*_e	$L^*=L^*_a$	a^*_a	b^*_a	$C^*_{ab,a}$	$h^*_{ab,a}$
OMa	38.8	53.92	39.68	66.95	36
YMa	82.58	-4.64	98.22	98.33	93
LMa	46.95	-56.34	43.46	71.15	142
CMa	54.62	-26.2	-28.68	38.85	228
VMa	20.01	45.2	-52.87	69.56	311
MMa	40.88	70.68	-29.99	76.78	337
NMa	15.0	0.0	0.0	0.0	0
WMa	90.0	0.0	0.0	0.0	0
RMa	39.92	58.74	27.99	65.07	25
JMa	81.26	-2.89	71.56	71.62	92
GMa	52.23	-42.42	13.6	44.55	162
BMa	30.57	1.41	-46.47	46.49	272

Daten für Maximalfarbe (Ma):

LAB^*LAB^*Ma : 52 -36 -6

LAB^*LCH^*Ma : 52 36 189

lab^*rgb^*Ma : 0.0 1.0 0.5

lab^*olv^*Ma : 0.0 1.0 0.55

Dreiecks-Helligkeit i^*

%Umfang

$u^*_{rel} = 88$

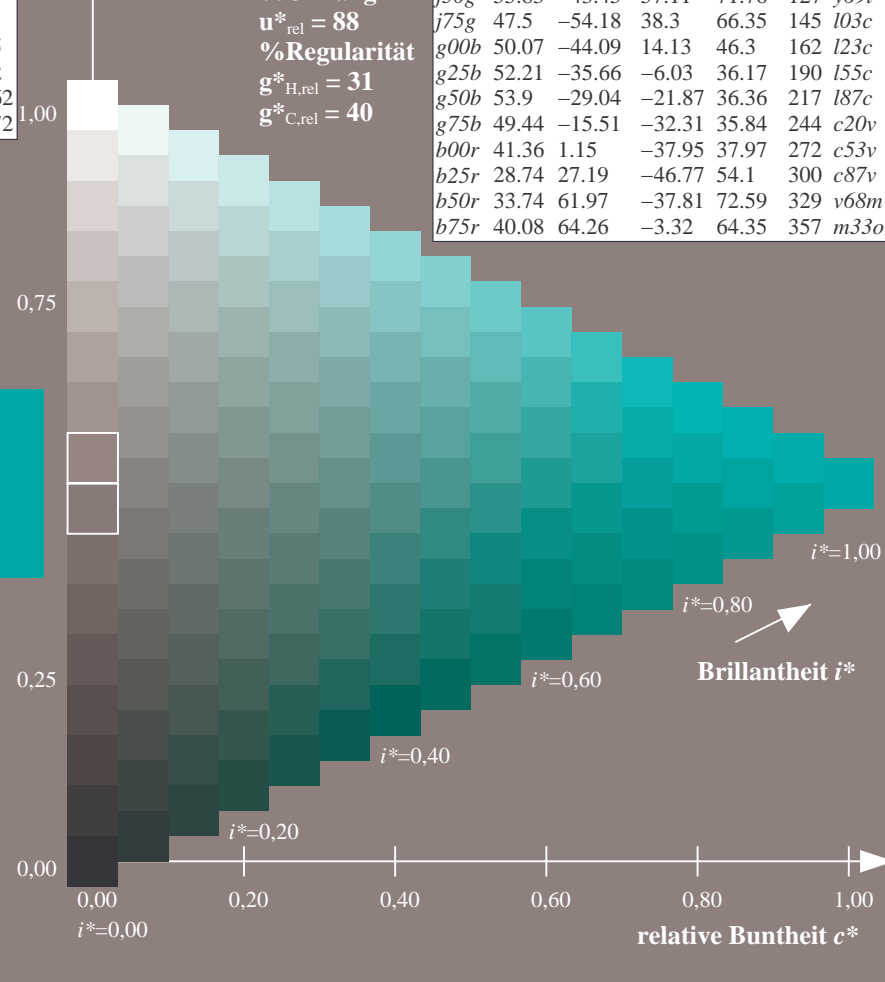
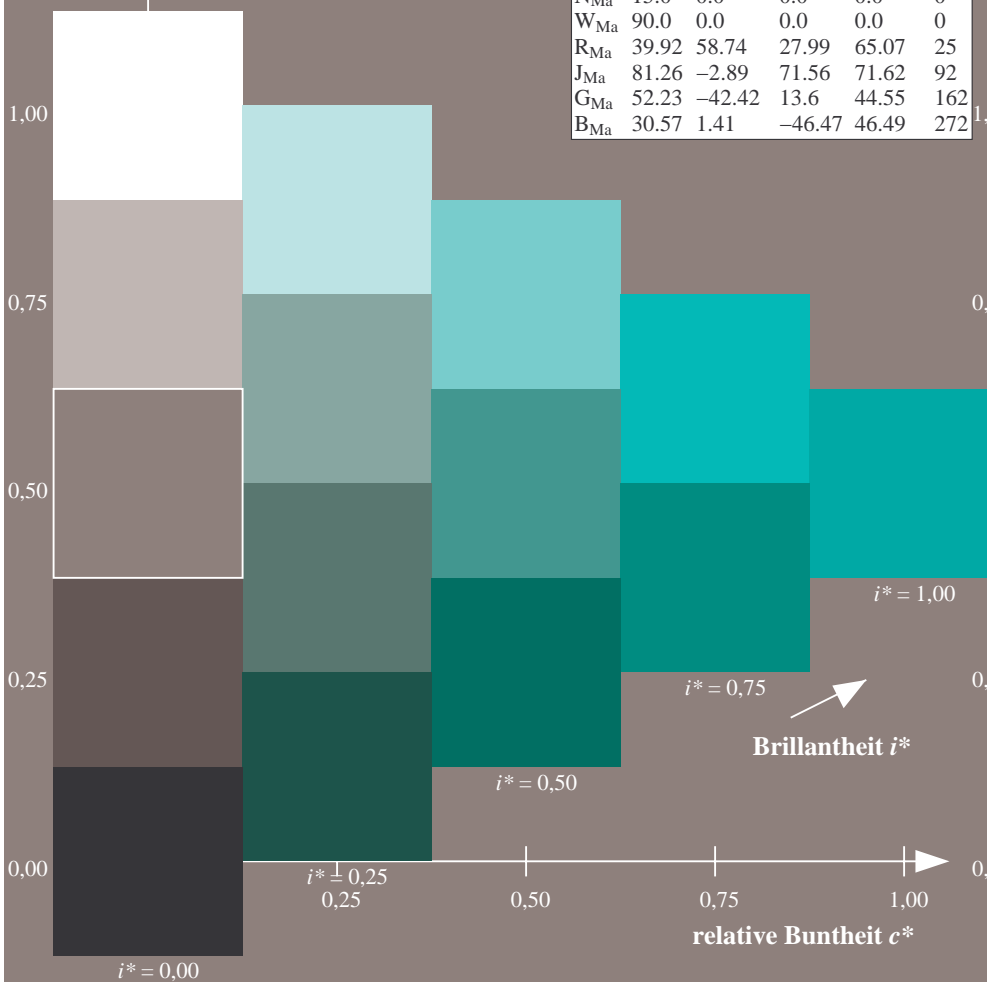
%Regularität

$g^*_{H,rel} = 31$

$g^*_{C,rel} = 40$

FRS09_92aM; adaptierte CIELAB-Daten

u^*_e	$L^*=L^*_a$	a^*_a	b^*_a	$C^*_{ab,a}$	$h^*_{ab,a}$	u^*_d
r00j	39.18	56.94	27.13	63.07	25	m81o
r25j	42.41	49.1	44.5	66.26	42	o10y
r50j	52.78	35.22	58.37	68.17	59	o40y
r75j	64.82	19.12	74.47	76.89	76	o69y
j00g	82.06	-3.94	97.52	97.6	92	o98y
j25g	67.26	-26.87	74.67	79.36	110	y34l
j50g	55.83	-43.45	57.11	71.76	127	y69l
j75g	47.5	-54.18	38.3	66.35	145	l03c
g00b	50.07	-44.09	14.13	46.3	162	l23c
g25b	52.21	-35.66	-6.03	36.17	190	l55c
g50b	53.9	-29.04	-21.87	36.36	217	l87c
g75b	49.44	-15.51	-32.31	35.84	244	c20v
b00r	41.36	1.15	-37.95	37.97	272	c53v
b25r	28.74	27.19	-46.77	54.1	300	c87v
b50r	33.74	61.97	-37.81	72.59	329	v68m
b75r	40.08	64.26	-3.32	64.35	357	m33o



Ein und Ausgabe: Farbmétrisches Drucker-Reflektiv-System FRS09_92aM für relativen CIELAB-Buntton $h^* = lab^*h^* = h_{ab}/360 = 0.603$

Daten für jede Farbe:

lab^*tch^* und lab^*icu^*

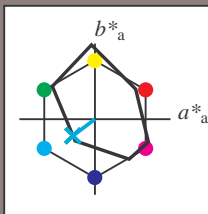
Bunttontexte:

$u^*_e = g50b$ $u^*_d = l87c$

Kontrastreduzierungsfaktor:

$c_R = 0.9$

Dreiecks-Helligkeit i^*



FRS09_92aM; adaptierte CIELAB-Daten

u^*_e	$L^*=L^*_a$	a^*_a	b^*_a	$C^*_{ab,a}$	$h^*_{ab,a}$
O _{Ma}	38.8	53.92	39.68	66.95	36
Y _{Ma}	82.58	-4.64	98.22	98.33	93
L _{Ma}	46.95	-56.34	43.46	71.15	142
C _{Ma}	54.62	-26.2	-28.68	38.85	228
V _{Ma}	20.01	45.2	-52.87	69.56	311
M _{Ma}	40.88	70.68	-29.99	76.78	337
N _{Ma}	15.0	0.0	0.0	0.0	0
W _{Ma}	90.0	0.0	0.0	0.0	0
R _{Ma}	39.92	58.74	27.99	65.07	25
J _{Ma}	81.26	-2.89	71.56	71.62	92
G _{Ma}	52.23	-42.42	13.6	44.55	162
B _{Ma}	30.57	1.41	-46.47	46.49	272

Daten für Maximalfarbe (Ma):

$LAB^*LAB^*_{Ma}$: 54 -29 -22

$LAB^*LCH^*_{Ma}$: 54 36 216

$lab^*rgb^*_{Ma}$: 0.0 1.0 1.0

$lab^*olv^*_{Ma}$: 0.0 1.0 0.88

Dreiecks-Helligkeit i^*

%Umfang

$u^*_{rel} = 88$

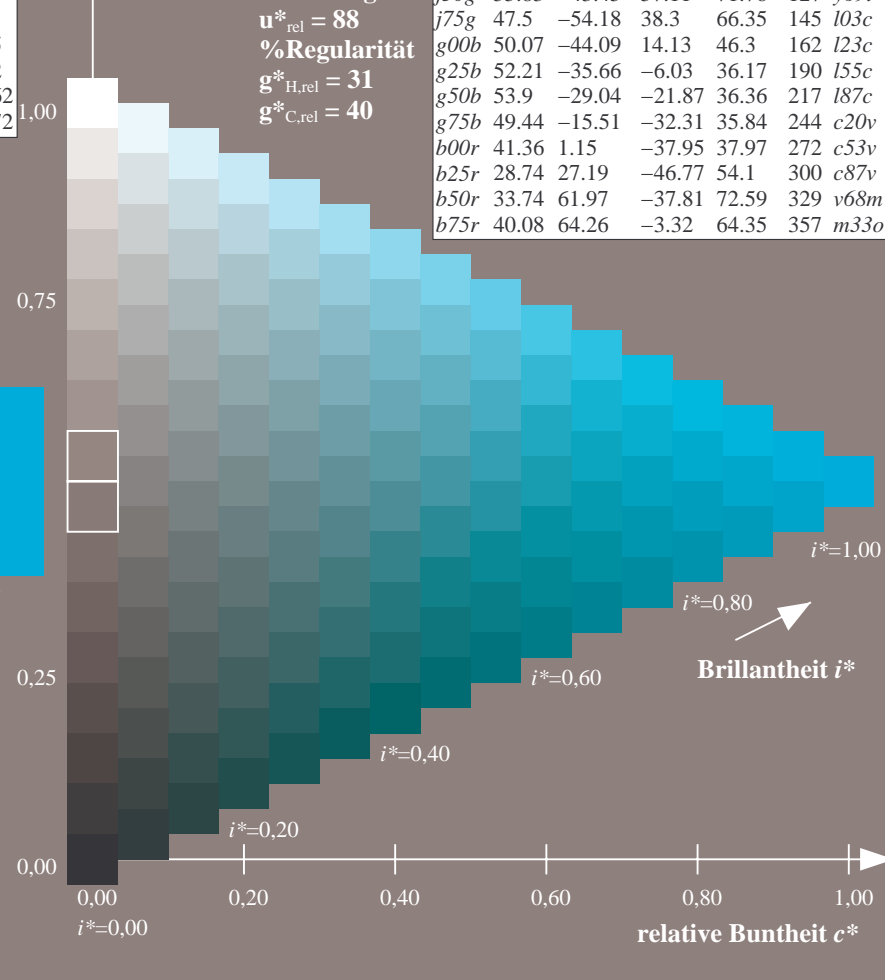
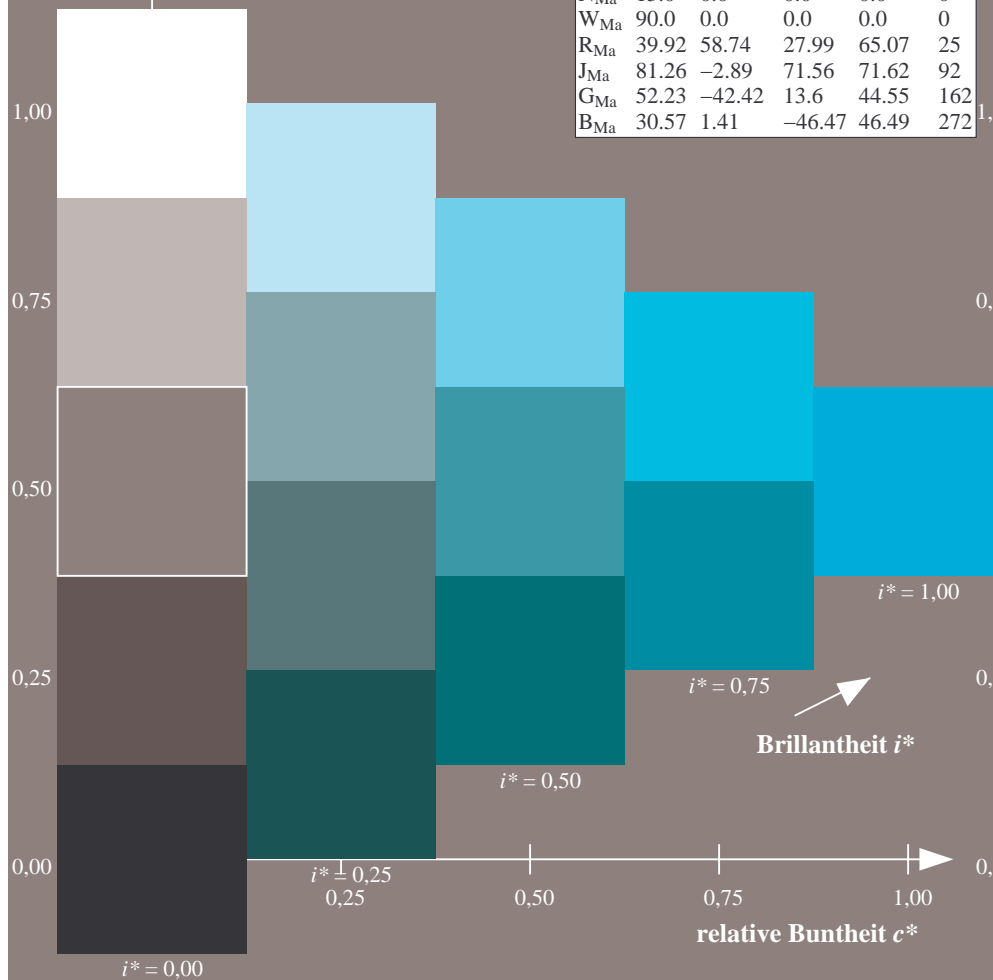
%Regularität

$g^*_{H,rel} = 31$

$g^*_{C,rel} = 40$

FRS09_92aM; adaptierte CIELAB-Daten

u^*_e	$L^*=L^*_a$	a^*_a	b^*_a	$C^*_{ab,a}$	$h^*_{ab,a}$	u^*_d
r00j	39.18	56.94	27.13	63.07	25	m81o
r25j	42.41	49.1	44.5	66.26	42	o10y
r50j	52.78	35.22	58.37	68.17	59	o40y
r75j	64.82	19.12	74.47	76.89	76	o69y
j00g	82.06	-3.94	97.52	97.6	92	o98y
j25g	67.26	-26.87	74.67	79.36	110	y34l
j50g	55.83	-43.45	57.11	71.76	127	y69l
j75g	47.5	-54.18	38.3	66.35	145	l03c
g00b	50.07	-44.09	14.13	46.3	162	l23c
g25b	52.21	-35.66	-6.03	36.17	190	l55c
g50b	53.9	-29.04	-21.87	36.36	217	l87c
g75b	49.44	-15.51	-32.31	35.84	244	c20v
b00r	41.36	1.15	-37.95	37.97	272	c53v
b25r	28.74	27.19	-46.77	54.1	300	c87v
b50r	33.74	61.97	-37.81	72.59	329	v68m
b75r	40.08	64.26	-3.32	64.35	357	m33o



Ein und Ausgabe: Farbmétrisches Drucker-Reflektiv-System FRS09_92aM für relativen CIELAB-Buntton $h^* = lab^*h^* = h_{ab}/360 = 0.679$

Daten für jede Farbe:

lab^*tch^* und lab^*icu^*

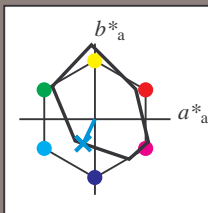
Bunttontexte:

$u^*_e = g75b$ $u^*_d = c20v$

Kontrastreduzierungsfaktor:

$c_R = 0.9$

Dreiecks-Helligkeit i^*



FRS09_92aM; adaptierte CIELAB-Daten

	u^*_e	$L^*=L^*_a$	a^*_a	b^*_a	$C^*_{ab,a}$	$h^*_{ab,a}$
O _{Ma}	38.8	53.92	39.68	66.95	36	
Y _{Ma}	82.58	-4.64	98.22	98.33	93	
L _{Ma}	46.95	-56.34	43.46	71.15	142	
C _{Ma}	54.62	-26.2	-28.68	38.85	228	
V _{Ma}	20.01	45.2	-52.87	69.56	311	
M _{Ma}	40.88	70.68	-29.99	76.78	337	
N _{Ma}	15.0	0.0	0.0	0.0	0	
W _{Ma}	90.0	0.0	0.0	0.0	0	
R _{Ma}	39.92	58.74	27.99	65.07	25	
J _{Ma}	81.26	-2.89	71.56	71.62	92	
G _{Ma}	52.23	-42.42	13.6	44.55	162	
B _{Ma}	30.57	1.41	-46.47	46.49	272	

Daten für Maximalfarbe (Ma):

$LAB^*LAB^*_{Ma}$: 49 -16 -32

$LAB^*LCH^*_{Ma}$: 49 36 244

$lab^*rgb^*_{Ma}$: 0.0 0.5 1.0

$lab^*olv^*_{Ma}$: 0.0 0.8 1.0

Dreiecks-Helligkeit i^*

%Umfang

$u^*_{rel} = 88$

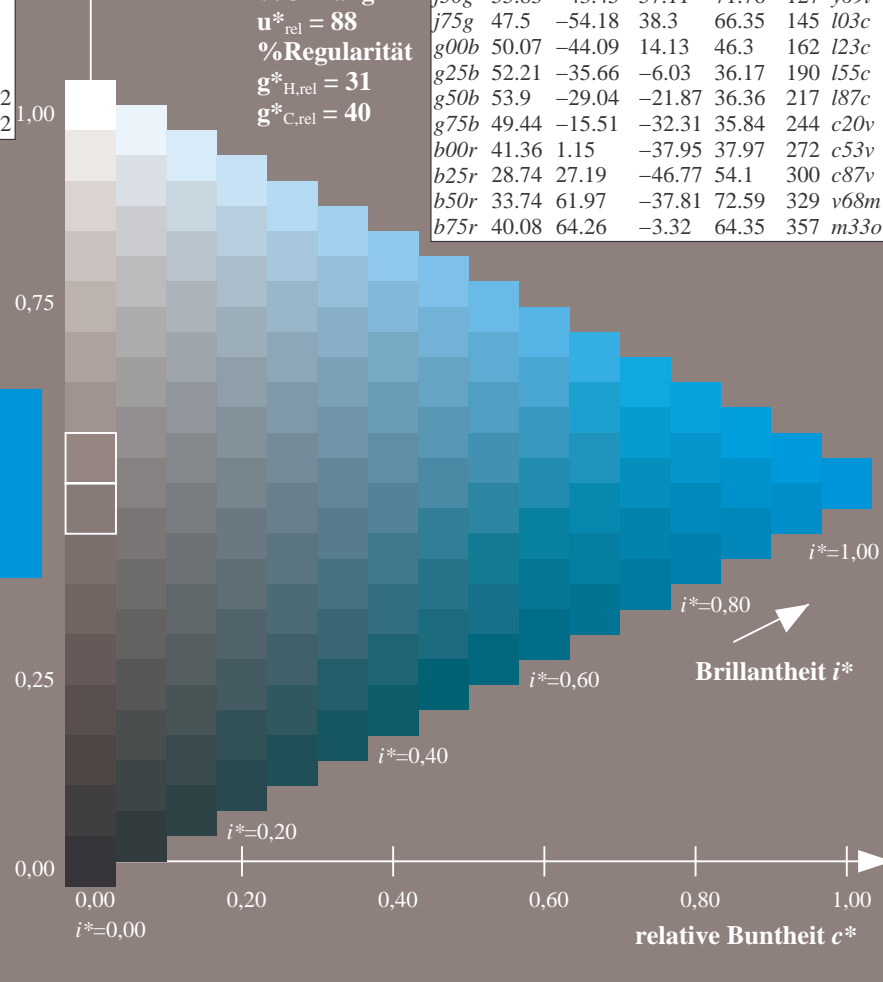
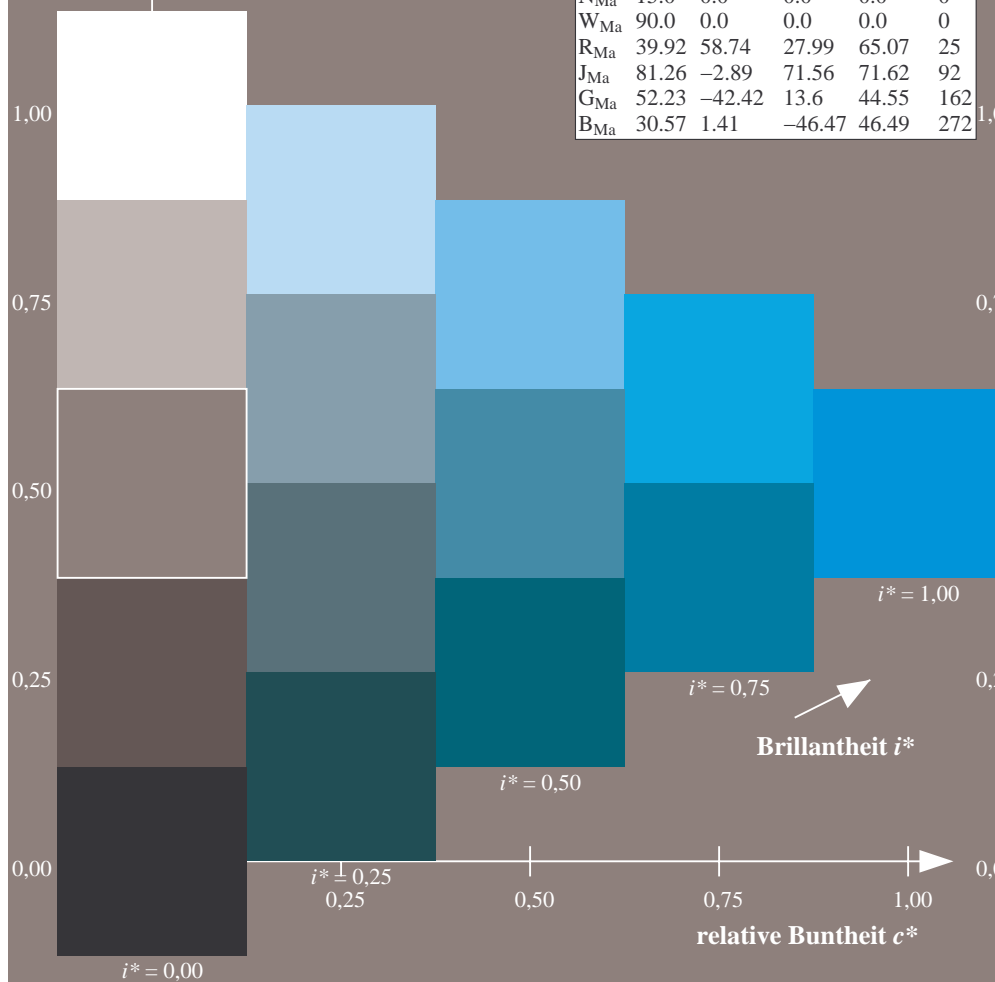
%Regularität

$g^*_{H,rel} = 31$

$g^*_{C,rel} = 40$

FRS09_92aM; adaptierte CIELAB-Daten

	u^*_e	$L^*=L^*_a$	a^*_a	b^*_a	$C^*_{ab,a}$	$h^*_{ab,a}$	u^*_d
r00j	39.18	56.94	27.13	63.07	25	m81o	
r25j	42.41	49.1	44.5	66.26	42	o10y	
r50j	52.78	35.22	58.37	68.17	59	o40y	
r75j	64.82	19.12	74.47	76.89	76	o69y	
j00g	82.06	-3.94	97.52	97.6	92	o98y	
j25g	67.26	-26.87	74.67	79.36	110	y34l	
j50g	55.83	-43.45	57.11	71.76	127	y69l	
j75g	47.5	-54.18	38.3	66.35	145	l03c	
g00b	50.07	-44.09	14.13	46.3	162	l23c	
g25b	52.21	-35.66	-6.03	36.17	190	l55c	
g50b	53.9	-29.04	-21.87	36.36	217	l87c	
g75b	49.44	-15.51	-32.31	35.84	244	c20v	
b00r	41.36	1.15	-37.95	37.97	272	c53v	
b25r	28.74	27.19	-46.77	54.1	300	c87v	
b50r	33.74	61.97	-37.81	72.59	329	v68m	
b75r	40.08	64.26	-3.32	64.35	357	m33o	



Ein und Ausgabe: Farbmatisches Drucker-Reflektiv-System FRS09_92aM für relativen CIELAB-Buntton $h^* = lab^*h^* = h_{ab}/360 = 0.755$

Daten für jede Farbe:

lab^*tch^* und lab^*icu^*

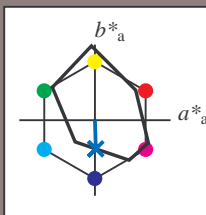
Bunttontexte:

$u^*_e = b00r$ $u^*_d = c53v$

Kontrastreduzierungsfaktor:

$c_R = 0.9$

Dreiecks-Helligkeit i^*



FRS09_92aM; adaptierte CIELAB-Daten

u^*_e	$L^*=L^*_a$	a^*_a	b^*_a	$C^*_{ab,a}$	$h^*_{ab,a}$
O _{Ma}	38.8	53.92	39.68	66.95	36
Y _{Ma}	82.58	-4.64	98.22	98.33	93
L _{Ma}	46.95	-56.34	43.46	71.15	142
C _{Ma}	54.62	-26.2	-28.68	38.85	228
V _{Ma}	20.01	45.2	-52.87	69.56	311
M _{Ma}	40.88	70.68	-29.99	76.78	337
N _{Ma}	15.0	0.0	0.0	0.0	0
W _{Ma}	90.0	0.0	0.0	0.0	0
R _{Ma}	39.92	58.74	27.99	65.07	25
J _{Ma}	81.26	-2.89	71.56	71.62	92
G _{Ma}	52.23	-42.42	13.6	44.55	162
B _{Ma}	30.57	1.41	-46.47	46.49	272

Daten für Maximalfarbe (Ma):

$LAB^*LAB^*_{Ma}$: 41 1 -38

$LAB^*LCH^*_{Ma}$: 41 38 271

$lab^*rgb^*_{Ma}$: 0.0 0.0 1.0

$lab^*olv^*_{Ma}$: 0.0 0.47 1.0

Dreiecks-Helligkeit i^*

%Umfang

$u^*_{rel} = 88$

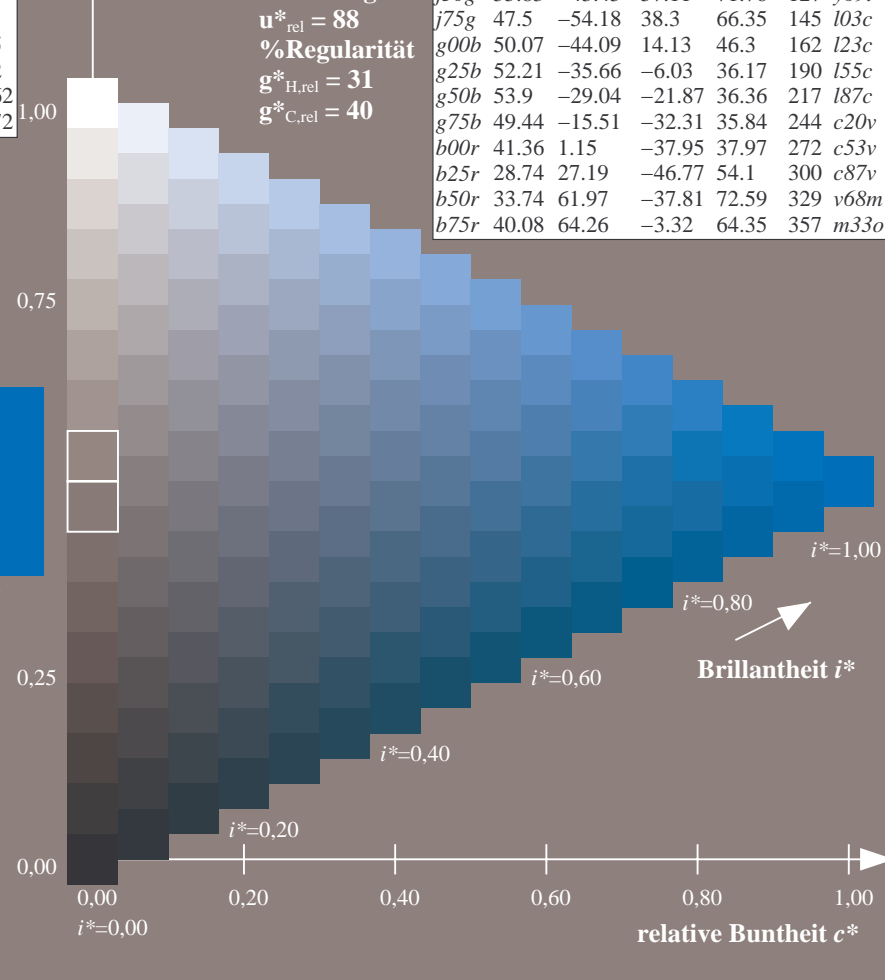
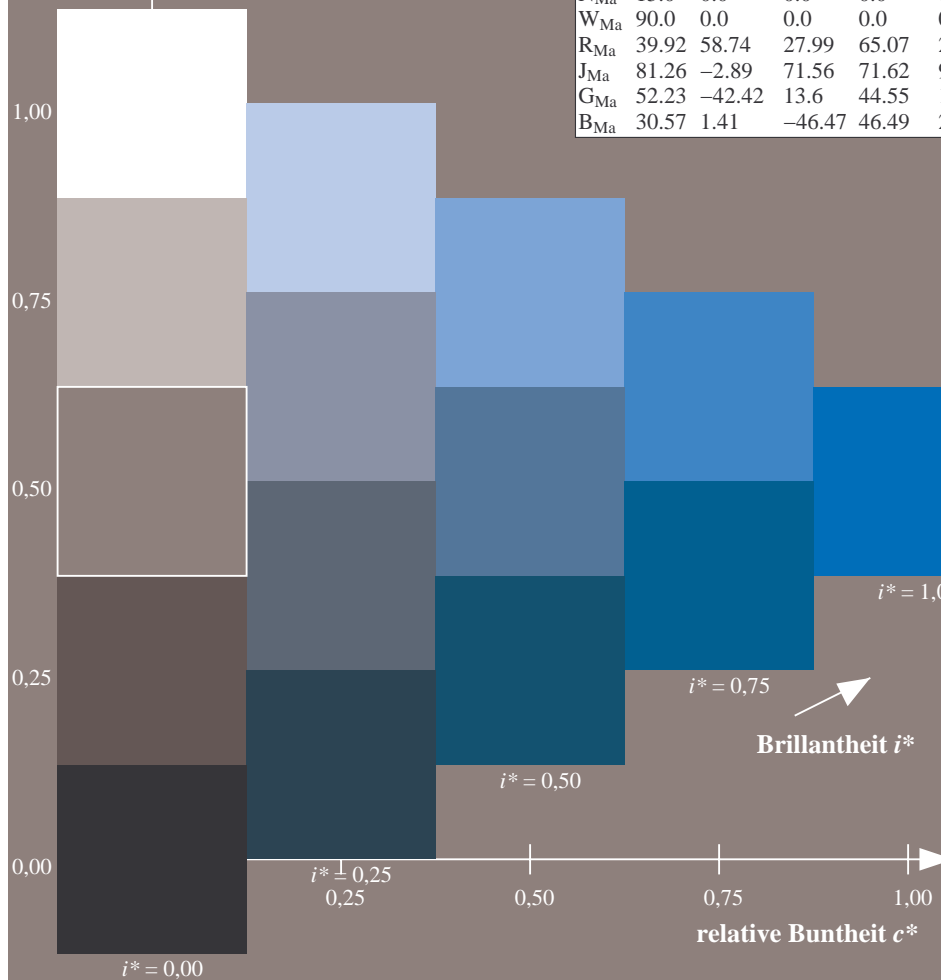
%Regularität

$g^*_{H,rel} = 31$

$g^*_{C,rel} = 40$

FRS09_92aM; adaptierte CIELAB-Daten

u^*_e	$L^*=L^*_a$	a^*_a	b^*_a	$C^*_{ab,a}$	$h^*_{ab,a}$	u^*_d
r00j	39.18	56.94	27.13	63.07	25	m81o
r25j	42.41	49.1	44.5	66.26	42	o10y
r50j	52.78	35.22	58.37	68.17	59	o40y
r75j	64.82	19.12	74.47	76.89	76	o69y
j00g	82.06	-3.94	97.52	97.6	92	o98y
j25g	67.26	-26.87	74.67	79.36	110	y34l
j50g	55.83	-43.45	57.11	71.76	127	y69l
j75g	47.5	-54.18	38.3	66.35	145	l03c
g00b	50.07	-44.09	14.13	46.3	162	l23c
g25b	52.21	-35.66	-6.03	36.17	190	l55c
g50b	53.9	-29.04	-21.87	36.36	217	l87c
g75b	49.44	-15.51	-32.31	35.84	244	c20v
b00r	41.36	1.15	-37.95	37.97	272	c53v
b25r	28.74	27.19	-46.77	54.1	300	c87v
b50r	33.74	61.97	-37.81	72.59	329	v68m
b75r	40.08	64.26	-3.32	64.35	357	m33o



Ein und Ausgabe: Farbmatisches Drucker-Reflektiv-System FRS09_92aM für relativen CIELAB-Buntton $h^* = lab^*h^* = h_{ab}/360 = 0.834$

Daten für jede Farbe:

lab^*tch^* und lab^*icu^*

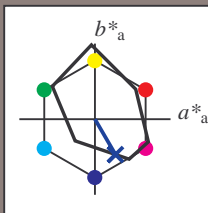
Bunttontexte:

$u^*_e = b25r$ $u^*_d = c87v$

Kontrastreduzierungsfaktor:

$c_R = 0.9$

Dreiecks-Helligkeit i^*



FRS09_92aM; adaptierte CIELAB-Daten

u^*_e	$L^*=L^*_a$	a^*_a	b^*_a	$C^*_{ab,a}$	$h^*_{ab,a}$
O _{Ma}	38.8	53.92	39.68	66.95	36
Y _{Ma}	82.58	-4.64	98.22	98.33	93
L _{Ma}	46.95	-56.34	43.46	71.15	142
C _{Ma}	54.62	-26.2	-28.68	38.85	228
V _{Ma}	20.01	45.2	-52.87	69.56	311
M _{Ma}	40.88	70.68	-29.99	76.78	337
N _{Ma}	15.0	0.0	0.0	0.0	0
W _{Ma}	90.0	0.0	0.0	0.0	0
R _{Ma}	39.92	58.74	27.99	65.07	25
J _{Ma}	81.26	-2.89	71.56	71.62	92
G _{Ma}	52.23	-42.42	13.6	44.55	162
B _{Ma}	30.57	1.41	-46.47	46.49	272

Daten für Maximalfarbe (Ma):

$LAB^*LAB^*_{Ma}$: 29 27 -47

$LAB^*LCH^*_{Ma}$: 29 54 300

$lab^*rgb^*_{Ma}$: 0.5 0.0 1.0

$lab^*olv^*_{Ma}$: 0.0 0.12 1.0

Dreiecks-Helligkeit i^*

%Umfang

$u^*_{rel} = 88$

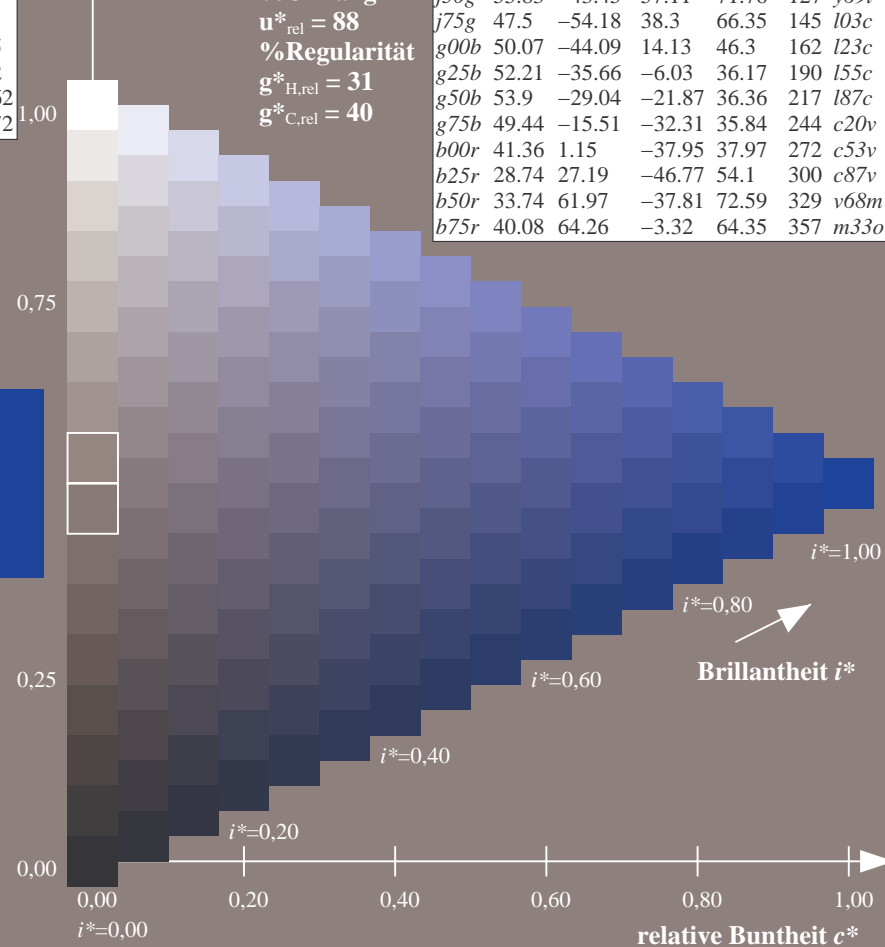
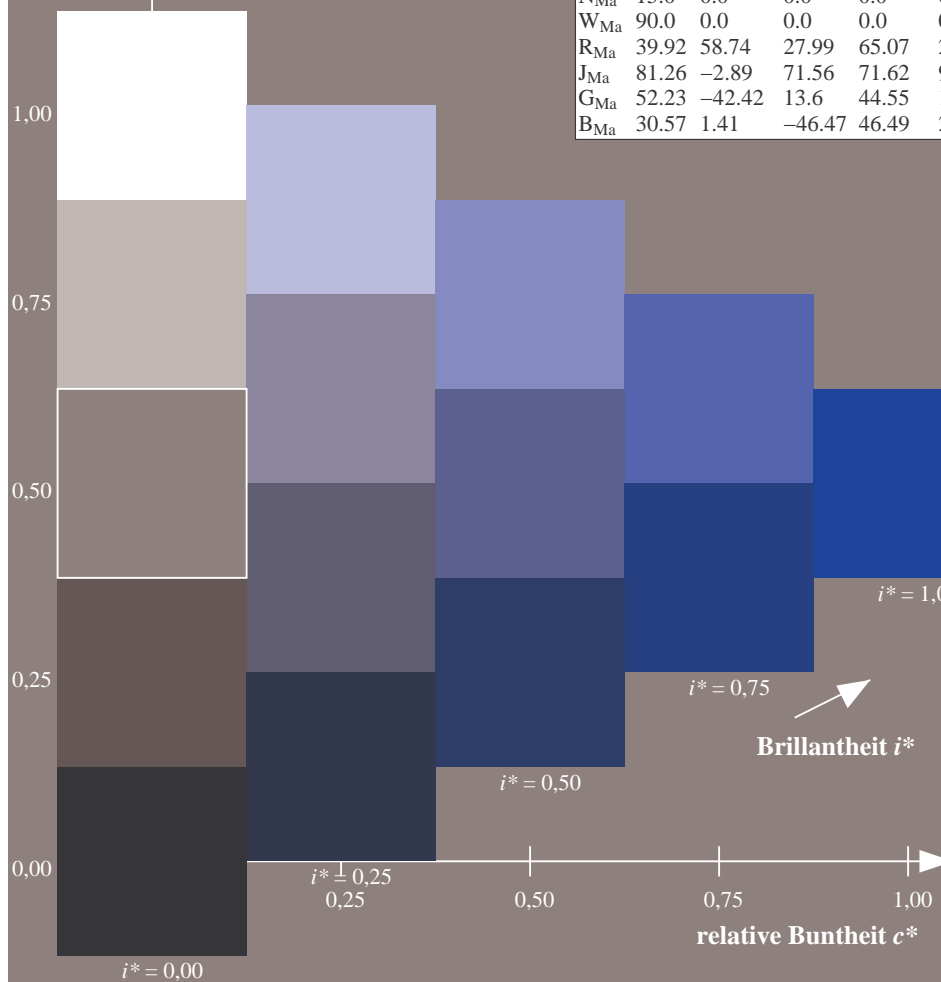
%Regularität

$g^*_{H,rel} = 31$

$g^*_{C,rel} = 40$

FRS09_92aM; adaptierte CIELAB-Daten

u^*_e	$L^*=L^*_a$	a^*_a	b^*_a	$C^*_{ab,a}$	$h^*_{ab,a}$	u^*_d
r00j	39.18	56.94	27.13	63.07	25	m81o
r25j	42.41	49.1	44.5	66.26	42	o10y
r50j	52.78	35.22	58.37	68.17	59	o40y
r75j	64.82	19.12	74.47	76.89	76	o69y
j00g	82.06	-3.94	97.52	97.6	92	o98y
j25g	67.26	-26.87	74.67	79.36	110	y34l
j50g	55.83	-43.45	57.11	71.76	127	y69l
j75g	47.5	-54.18	38.3	66.35	145	l03c
g00b	50.07	-44.09	14.13	46.3	162	l23c
g25b	52.21	-35.66	-6.03	36.17	190	l55c
g50b	53.9	-29.04	-21.87	36.36	217	l87c
g75b	49.44	-15.51	-32.31	35.84	244	c20v
b00r	41.36	1.15	-37.95	37.97	272	c53v
b25r	28.74	27.19	-46.77	54.1	300	c87v
b50r	33.74	61.97	-37.81	72.59	329	v68m
b75r	40.08	64.26	-3.32	64.35	357	m33o



Ein und Ausgabe: Farbmetrisches Drucker-Reflektiv-System FRS09_92aM für relativen CIELAB-Buntton $h^* = lab^*h^* = h_{ab}/360 = 0.913$

Daten für jede Farbe:

lab^*tch^* und lab^*icu^*

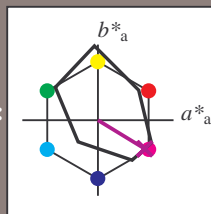
Bunttontexte:

$u^*_e = b50r$ $u^*_d = v68m$

Kontrastreduzierungsfaktor:

$c_R = 0.9$

Dreiecks-Helligkeit i^*



FRS09_92aM; adaptierte CIELAB-Daten

u^*_e	$L^*=L^*_a$	a^*_a	b^*_a	$C^*_{ab,a}$	$h^*_{ab,a}$
O _{Ma}	38.8	53.92	39.68	66.95	36
Y _{Ma}	82.58	-4.64	98.22	98.33	93
L _{Ma}	46.95	-56.34	43.46	71.15	142
C _{Ma}	54.62	-26.2	-28.68	38.85	228
V _{Ma}	20.01	45.2	-52.87	69.56	311
M _{Ma}	40.88	70.68	-29.99	76.78	337
N _{Ma}	15.0	0.0	0.0	0.0	0
W _{Ma}	90.0	0.0	0.0	0.0	0
R _{Ma}	39.92	58.74	27.99	65.07	25
J _{Ma}	81.26	-2.89	71.56	71.62	92
G _{Ma}	52.23	-42.42	13.6	44.55	162
B _{Ma}	30.57	1.41	-46.47	46.49	272

Daten für Maximalfarbe (Ma):

$LAB^*LAB^*_{Ma}$: 34 62 -38

$LAB^*LCH^*_{Ma}$: 34 73 328

$lab^*rgb^*_{Ma}$: 1.0 0.0 1.0

$lab^*olv^*_{Ma}$: 0.68 0.0 1.0

Dreiecks-Helligkeit i^*

%Umfang

$u^*_{rel} = 88$

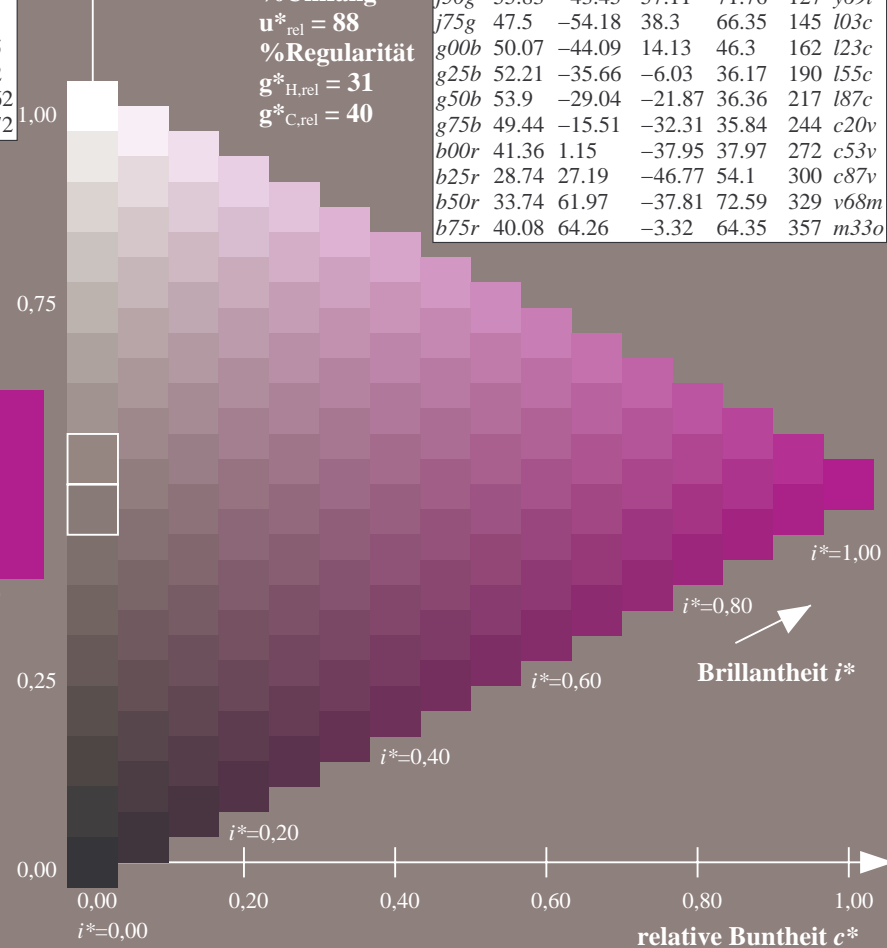
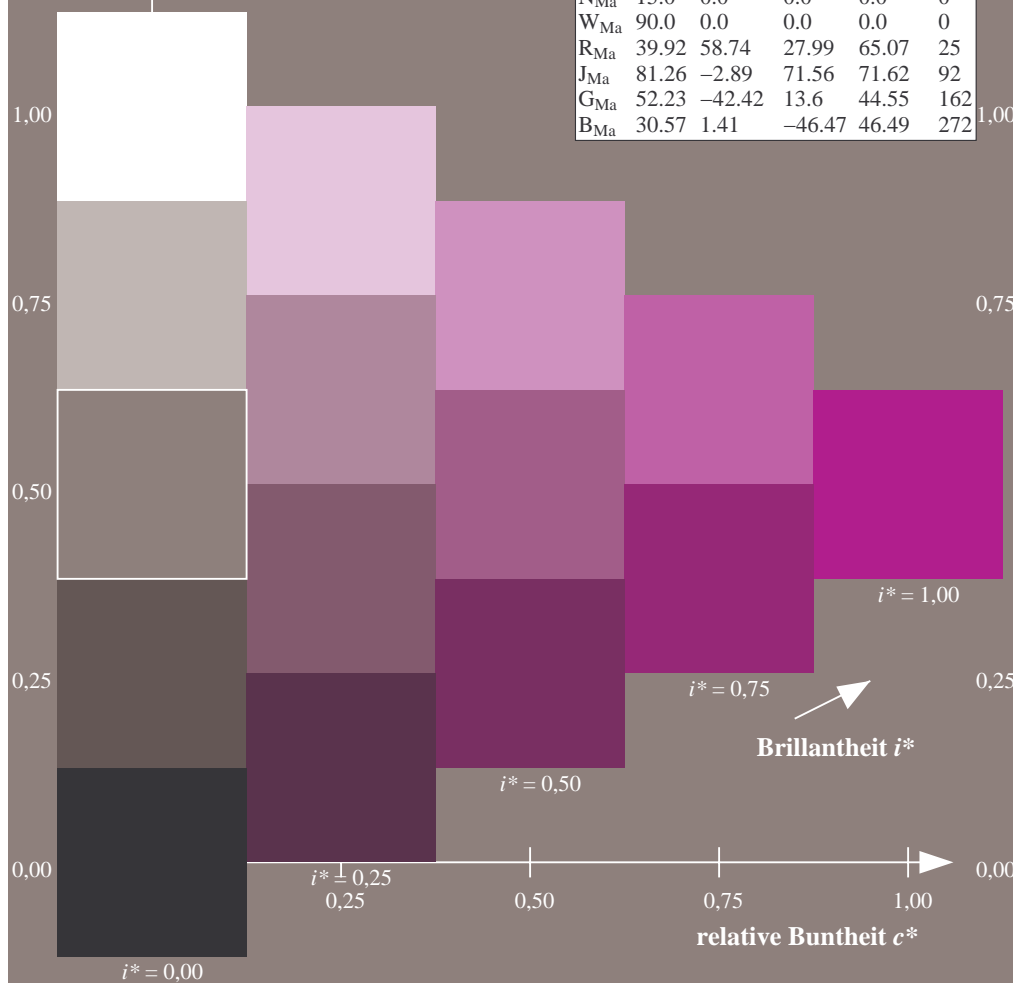
%Regularität

$g^*_{H,rel} = 31$

$g^*_{C,rel} = 40$

FRS09_92aM; adaptierte CIELAB-Daten

u^*_e	$L^*=L^*_a$	a^*_a	b^*_a	$C^*_{ab,a}$	$h^*_{ab,a}$	u^*_d
r00j	39.18	56.94	27.13	63.07	25	m81o
r25j	42.41	49.1	44.5	66.26	42	o10y
r50j	52.78	35.22	58.37	68.17	59	o40y
r75j	64.82	19.12	74.47	76.89	76	o69y
j00g	82.06	-3.94	97.52	97.6	92	o98y
j25g	67.26	-26.87	74.67	79.36	110	y34l
j50g	55.83	-43.45	57.11	71.76	127	y69l
j75g	47.5	-54.18	38.3	66.35	145	l03c
g00b	50.07	-44.09	14.13	46.3	162	l23c
g25b	52.21	-35.66	-6.03	36.17	190	l55c
g50b	53.9	-29.04	-21.87	36.36	217	l87c
g75b	49.44	-15.51	-32.31	35.84	244	c20v
b00r	41.36	1.15	-37.95	37.97	272	c53v
b25r	28.74	27.19	-46.77	54.1	300	c87v
b50r	33.74	61.97	-37.81	72.59	329	v68m
b75r	40.08	64.26	-3.32	64.35	357	m33o



Siehe ähnliche Dateien: <http://www.ps.bam.de/Eg33/>; www.ps.bam.de/Eg.HTM
Technische Information: <http://www.ps.bam.de> Version 2.1, io=1,1, ColSp=0

Ein und Ausgabe: Farbmétrisches Drucker-Reflektiv-System FRS09_92aM für relativen CIELAB-Buntton $h^* = lab^*h^* = h_{ab}/360 = 0.992$

Daten für jede Farbe:

lab^*tch^* und lab^*icu^*

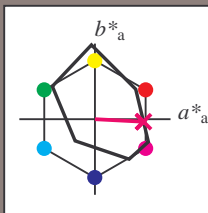
Bunttontexte:

$u^*_e = b75r$ $u^*_d = m33o$

Kontrastreduzierungsfaktor:

$c_R = 0.9$

Dreiecks-Helligkeit i^*



FRS09_92aM; adaptierte CIELAB-Daten

	u^*_e	$L^*=L^*_a$	a^*_a	b^*_a	$C^*_{ab,a}$	$h^*_{ab,a}$
O _{Ma}	38.8	53.92	39.68	66.95	36	
Y _{Ma}	82.58	-4.64	98.22	98.33	93	
L _{Ma}	46.95	-56.34	43.46	71.15	142	
C _{Ma}	54.62	-26.2	-28.68	38.85	228	
V _{Ma}	20.01	45.2	-52.87	69.56	311	
M _{Ma}	40.88	70.68	-29.99	76.78	337	
N _{Ma}	15.0	0.0	0.0	0.0	0	
W _{Ma}	90.0	0.0	0.0	0.0	0	
R _{Ma}	39.92	58.74	27.99	65.07	25	
J _{Ma}	81.26	-2.89	71.56	71.62	92	
G _{Ma}	52.23	-42.42	13.6	44.55	162	
B _{Ma}	30.57	1.41	-46.47	46.49	272	

Daten für Maximalfarbe (Ma):

$LAB^*LAB^*_{Ma}$: 40 64 -3

$LAB^*LCH^*_{Ma}$: 40 64 357

$lab^*rgb^*_{Ma}$: 1.0 0.0 0.5

$lab^*olv^*_{Ma}$: 1.0 0.0 0.66

Dreiecks-Helligkeit i^*

%Umfang

$u^*_{rel} = 88$

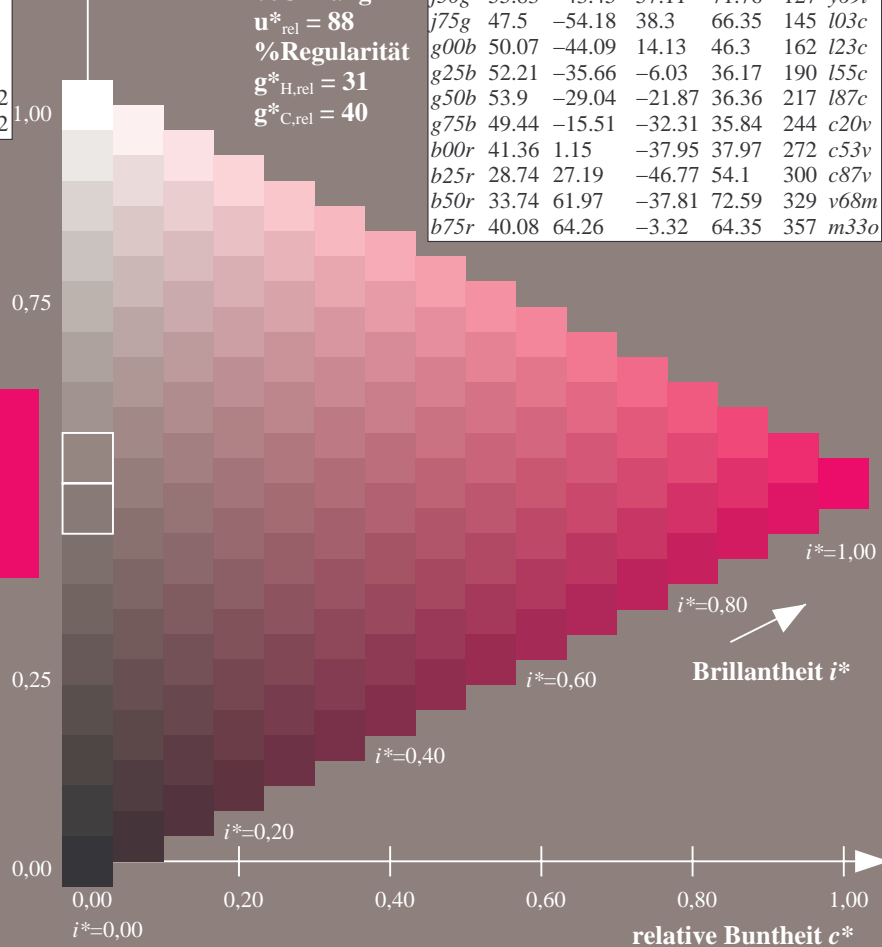
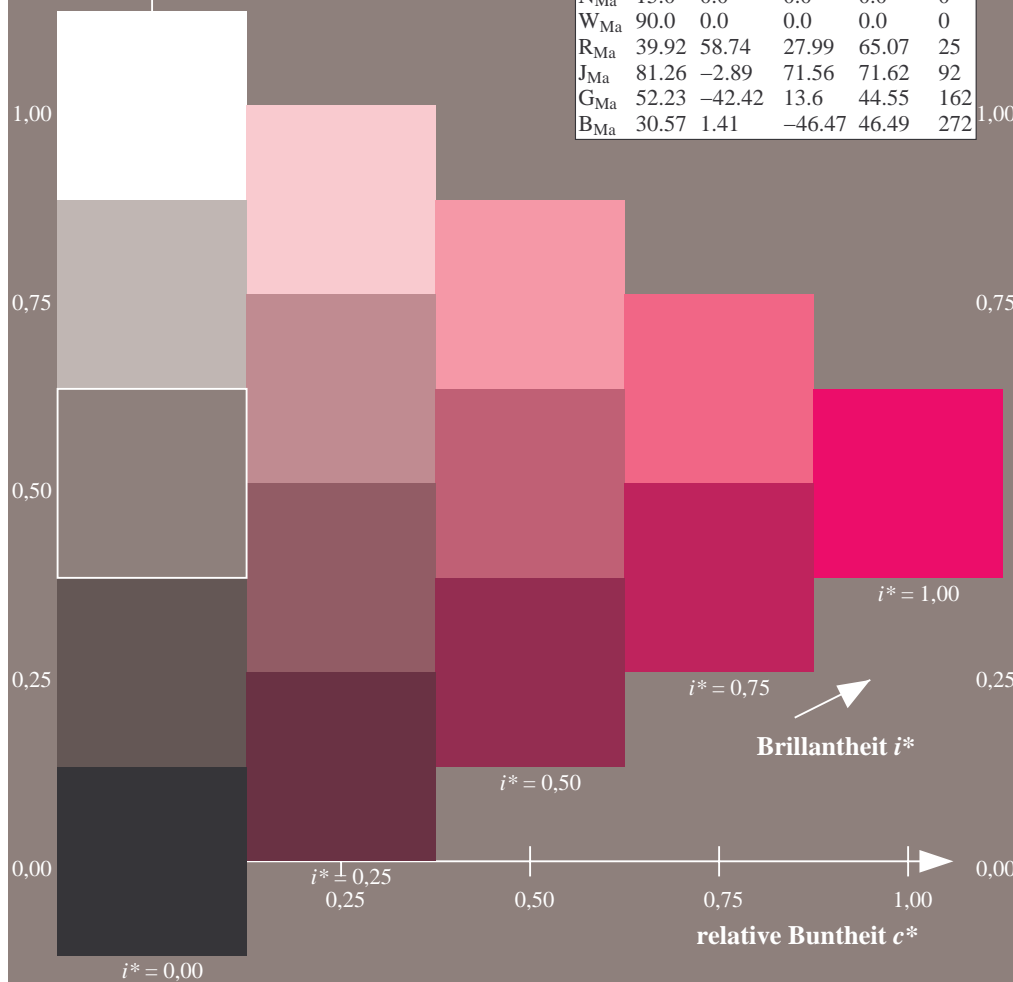
%Regularität

$g^*_{H,rel} = 31$

$g^*_{C,rel} = 40$

FRS09_92aM; adaptierte CIELAB-Daten

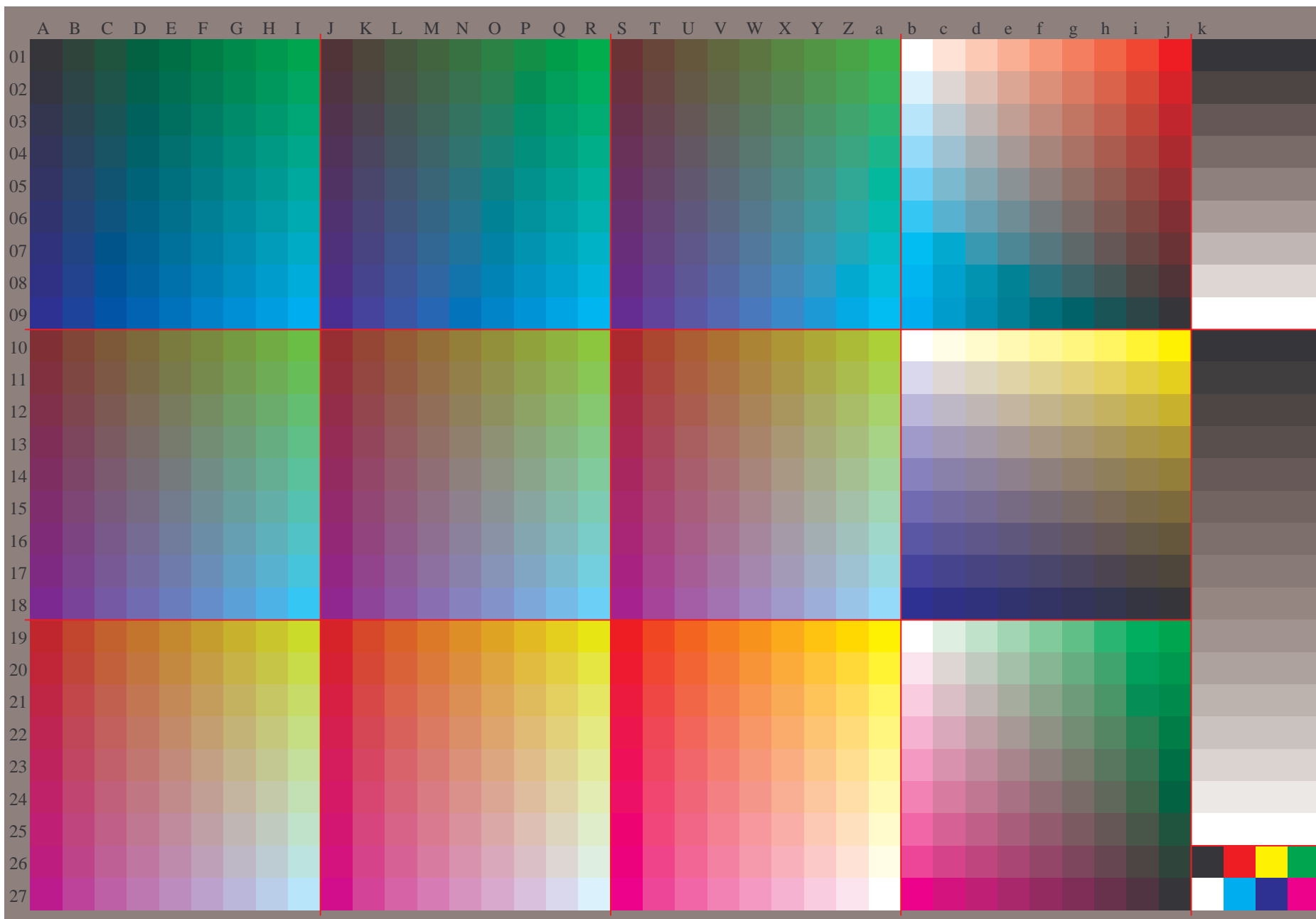
	u^*_e	$L^*=L^*_a$	a^*_a	b^*_a	$C^*_{ab,a}$	$h^*_{ab,a}$	u^*_d
r00j	39.18	56.94	27.13	63.07	25	m81o	
r25j	42.41	49.1	44.5	66.26	42	o10y	
r50j	52.78	35.22	58.37	68.17	59	o40y	
r75j	64.82	19.12	74.47	76.89	76	o69y	
j00g	82.06	-3.94	97.52	97.6	92	o98y	
j25g	67.26	-26.87	74.67	79.36	110	y34l	
j50g	55.83	-43.45	57.11	71.76	127	y69l	
j75g	47.5	-54.18	38.3	66.35	145	l03c	
g00b	50.07	-44.09	14.13	46.3	162	l23c	
g25b	52.21	-35.66	-6.03	36.17	190	l55c	
g50b	53.9	-29.04	-21.87	36.36	217	l87c	
g75b	49.44	-15.51	-32.31	35.84	244	c20v	
b00r	41.36	1.15	-37.95	37.97	272	c53v	
b25r	28.74	27.19	-46.77	54.1	300	c87v	
b50r	33.74	61.97	-37.81	72.59	329	v68m	
b75r	40.08	64.26	-3.32	64.35	357	m33o	



BAM-Registrierung: 20081001-Eg33/10L/L33G00NP.PS/.PDF BAM-Material: Code=rh4ta
Anwendung für Beurteilung und Messung von Drucker- oder Monitorsystemen

Siehe ähnliche Dateien: <http://www.ps.bam.de/Eg33/>; www.ps.bam.de/Eg.HTM
Technische Information: <http://www.ps.bam.de> Version 2.1, io=1,1, Col5px=0

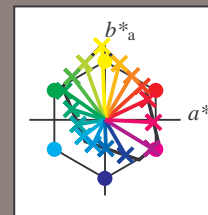
BAM-Registrierung: 20081001-Eg33/10L/L33G00NP.PS/.PDF BAM-Material: Code=rh4ta
Anwendung für Beurteilung und Messung von Drucker- oder Monitorsystemen



Ein und Ausgabe:
Farbmetrisches Drucker-Reflektiv-System FRS09_92aM
Daten für jede Farbe:
 u^*_e und Nummer $Nr.$ = 00 .. 15
Elementar-Bunttontext:
 $u^*_e = 16$ Bunttoene $r00j, r25j, \dots, b75r$
Kontrastreduzierungsfaktor:
 $c_R = 0.9$

FRS09_92aM; adaptierte CIELAB-Daten

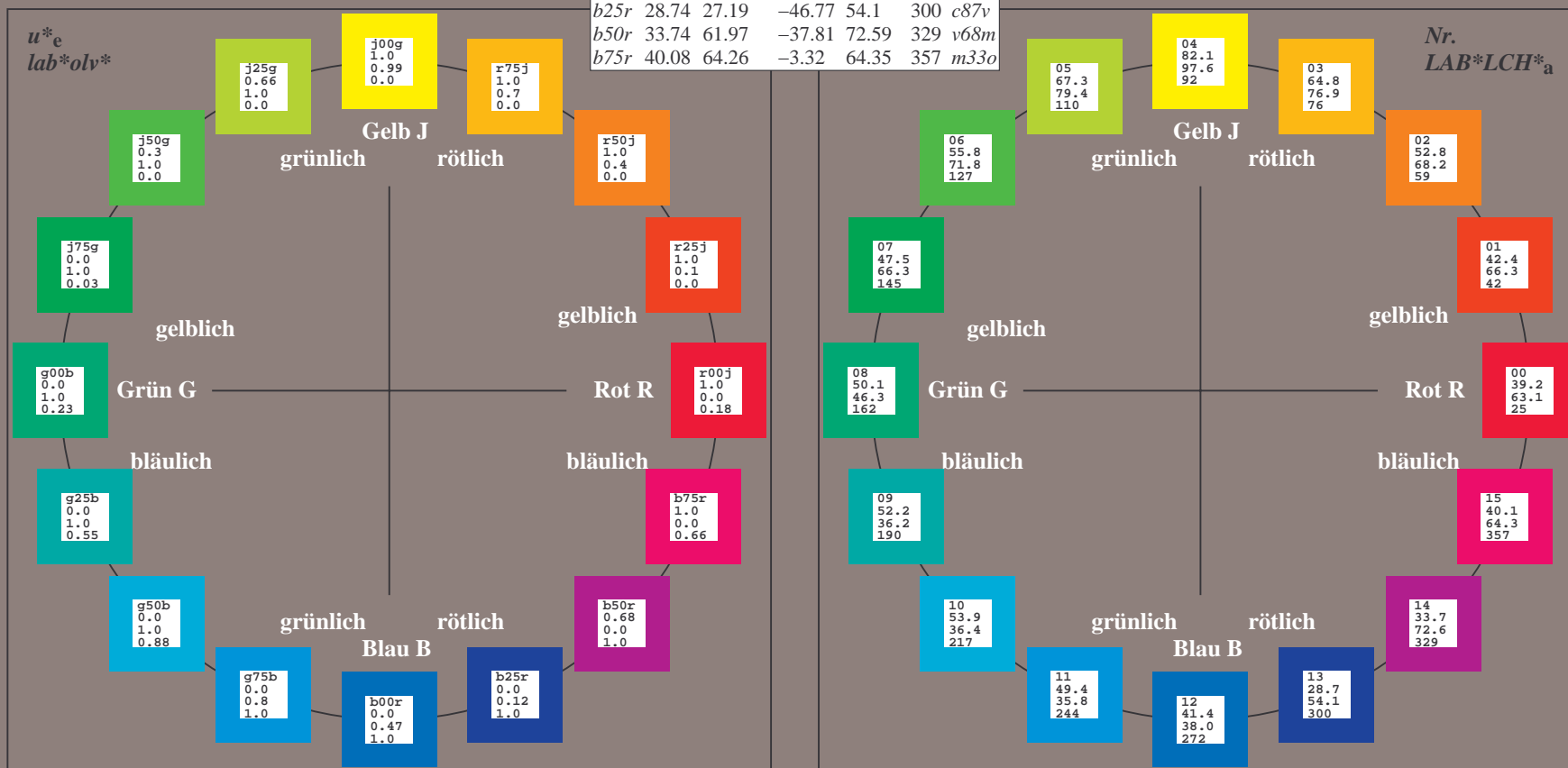
u^*_e	$L^*=L^*_a$	a^*_a	b^*_a	$C^*_{ab,a}$	$h^*_{ab,a}$	u^*_d
$r00j$	39.18	56.94	27.13	63.07	25	$m81o$
$r25j$	42.41	49.1	44.5	66.26	42	$o10y$
$r50j$	52.78	35.22	58.37	68.17	59	$o40y$
$r75j$	64.82	19.12	74.47	76.89	76	$o69y$
$j00g$	82.06	-3.94	97.52	97.6	92	$o98y$
$j25g$	67.26	-26.87	74.67	79.36	110	$y34l$
$j50g$	55.83	-43.45	57.11	71.76	127	$y69l$
$j75g$	47.5	-54.18	38.3	66.35	145	$l03c$
$g00b$	50.07	-44.09	14.13	46.3	162	$l23c$
$g25b$	52.21	-35.66	-6.03	36.17	190	$l55c$
$g50b$	53.9	-29.04	-21.87	36.36	217	$l87c$
$g75b$	49.44	-15.51	-32.31	35.84	244	$c20v$
$b00r$	41.36	1.15	-37.95	37.97	272	$c53v$
$b25r$	28.74	27.19	-46.77	54.1	300	$c87v$
$b50r$	33.74	61.97	-37.81	72.59	329	$v68m$
$b75r$	40.08	64.26	-3.32	64.35	357	$m33o$



%Umfang
 $u^*_{rel} = 88$
%Regularität
 $g^*_{H,rel} = 31$
 $g^*_{C,rel} = 40$

FRS09_92aM; adaptierte CIELAB-Daten

Name	$L^*=L^*_a$	a^*_a	b^*_a	$C^*_{ab,a}$	$h^*_{ab,a}$
O_{Ma}	38.8	53.92	39.68	66.95	36
Y_{Ma}	82.58	-4.64	98.22	98.33	93
L_{Ma}	46.95	-56.34	43.46	71.15	142
C_{Ma}	54.62	-26.2	-28.68	38.85	228
V_{Ma}	20.01	45.2	-52.87	69.56	311
M_{Ma}	40.88	70.68	-29.99	76.78	337
N_{Ma}	15.0	0.0	0.0	0.0	0
W_{Ma}	90.0	0.0	0.0	0.0	0
R_{CIE}	39.92	58.74	27.99	65.07	25
J_{CIE}	81.26	-2.89	71.56	71.62	92
G_{CIE}	52.23	-42.42	13.6	44.55	162
B_{CIE}	30.57	1.41	-46.47	46.49	272



Ein und Ausgabe: Farbmetrisches Drucker-Reflektiv-System FRS09_92aM für relativen CIELAB-Buntton $h^* = lab^*h^* = h_{ab}/360 = 0.071$

Daten für jede Farbe:

lab^*tch^* und lab^*icu^*

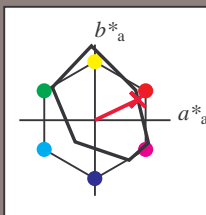
Bunttontexte:

$u^*_e = r00j$ $u^*_d = m81o$

Kontrastreduzierungsfaktor:

$c_R = 0.9$

Dreiecks-Helligkeit i^*



FRS09_92aM; adaptierte CIELAB-Daten

u^*_e	$L^*=L^*_a$	a^*_a	b^*_a	$C^*_{ab,a}$	$h^*_{ab,a}$
O _{Ma}	38.8	53.92	39.68	66.95	36
Y _{Ma}	82.58	-4.64	98.22	98.33	93
L _{Ma}	46.95	-56.34	43.46	71.15	142
C _{Ma}	54.62	-26.2	-28.68	38.85	228
V _{Ma}	20.01	45.2	-52.87	69.56	311
M _{Ma}	40.88	70.68	-29.99	76.78	337
N _{Ma}	15.0	0.0	0.0	0.0	0
W _{Ma}	90.0	0.0	0.0	0.0	0
R _{Ma}	39.92	58.74	27.99	65.07	25
J _{Ma}	81.26	-2.89	71.56	71.62	92
G _{Ma}	52.23	-42.42	13.6	44.55	162
B _{Ma}	30.57	1.41	-46.47	46.49	272

Daten für Maximalfarbe (Ma):

$LAB^*LAB^*_{Ma}$: 39 57 27

$LAB^*LCH^*_{Ma}$: 39 63 25

$lab^*rgb^*_{Ma}$: 1.0 0.0 0.0

$lab^*olv^*_{Ma}$: 1.0 0.0 0.18

Dreiecks-Helligkeit i^*

%Umfang

$u^*_{rel} = 88$

%Regularität

$g^*_{H,rel} = 31$

$g^*_{C,rel} = 40$

FRS09_92aM; adaptierte CIELAB-Daten

u^*_e	$L^*=L^*_a$	a^*_a	b^*_a	$C^*_{ab,a}$	$h^*_{ab,a}$	u^*_d
r00j	39.18	56.94	27.13	63.07	25	m81o
r25j	42.41	49.1	44.5	66.26	42	o10y
r50j	52.78	35.22	58.37	68.17	59	o40y
r75j	64.82	19.12	74.47	76.89	76	o69y
j00g	82.06	-3.94	97.52	97.6	92	o98y
j25g	67.26	-26.87	74.67	79.36	110	y34l
j50g	55.83	-43.45	57.11	71.76	127	y69l
j75g	47.5	-54.18	38.3	66.35	145	l03c
g00b	50.07	-44.09	14.13	46.3	162	l23c
g25b	52.21	-35.66	-6.03	36.17	190	l55c
g50b	53.9	-29.04	-21.87	36.36	217	l87c
g75b	49.44	-15.51	-32.31	35.84	244	c20v
b00r	41.36	1.15	-37.95	37.97	272	c53v
b25r	28.74	27.19	-46.77	54.1	300	c87v
b50r	33.74	61.97	-37.81	72.59	329	v68m
b75r	40.08	64.26	-3.32	64.35	357	m33o

lab^*olv^*

$i^* = 1.00$

Brillantheit i^*

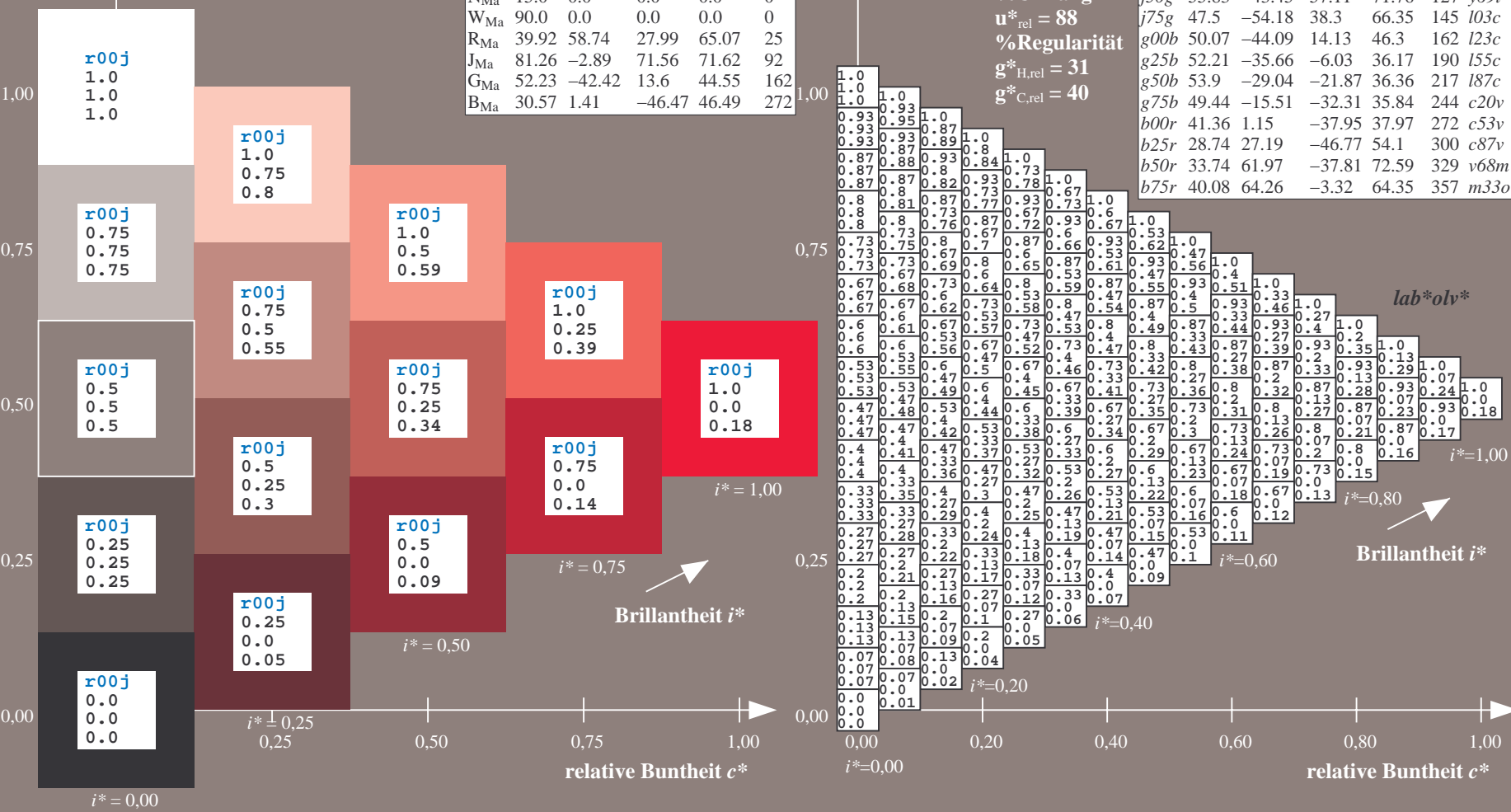
$i^* = 0.80$

$i^* = 0.60$

$i^* = 0.40$

$i^* = 0.20$

$i^* = 0.00$



Ein und Ausgabe: Farbmetrisches Drucker-Reflektiv-System FRS09_92aM für relativen CIELAB-Buntton $h^* = lab^*h^* = h_{ab}/360 = 0.117$

Daten für jede Farbe:

lab^*tch^* und lab^*icu^*

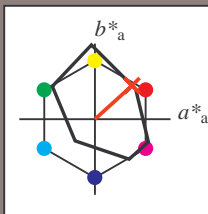
Bunttontexte:

$u^*_e = r25j$ $u^*_d = o10y$

Kontrastreduzierungsfaktor:

$c_R = 0.9$

Dreiecks-Helligkeit i^*



FRS09_92aM; adaptierte CIELAB-Daten

u^*_e	$L^*=L^*_a$	a^*_a	b^*_a	$C^*_{ab,a}$	$h^*_{ab,a}$
O _{Ma}	38.8	53.92	39.68	66.95	36
Y _{Ma}	82.58	-4.64	98.22	98.33	93
L _{Ma}	46.95	-56.34	43.46	71.15	142
C _{Ma}	54.62	-26.2	-28.68	38.85	228
V _{Ma}	20.01	45.2	-52.87	69.56	311
M _{Ma}	40.88	70.68	-29.99	76.78	337
N _{Ma}	15.0	0.0	0.0	0.0	0
W _{Ma}	90.0	0.0	0.0	0.0	0
R _{Ma}	39.92	58.74	27.99	65.07	25
J _{Ma}	81.26	-2.89	71.56	71.62	92
G _{Ma}	52.23	-42.42	13.6	44.55	162
B _{Ma}	30.57	1.41	-46.47	46.49	272

Daten für Maximalfarbe (Ma):

$LAB^*LAB^*_{Ma}$: 42 49 44

$LAB^*LCH^*_{Ma}$: 42 66 42

$lab^*rgb^*_{Ma}$: 1.0 0.25 0.0

$lab^*olv^*_{Ma}$: 1.0 0.1 0.0

Dreiecks-Helligkeit i^*

%Umfang

$u^*_{rel} = 88$

%Regularität

$g^*_{H,rel} = 31$

$g^*_{C,rel} = 40$

FRS09_92aM; adaptierte CIELAB-Daten

u^*_e	$L^*=L^*_a$	a^*_a	b^*_a	$C^*_{ab,a}$	$h^*_{ab,a}$	u^*_d
r00j	39.18	56.94	27.13	63.07	25	m81o
r25j	42.41	49.1	44.5	66.26	42	o10y
j25g	52.78	35.22	58.37	68.17	59	o40y
r75j	64.82	19.12	74.47	76.89	76	o69y
j00g	82.06	-3.94	97.52	97.6	92	o98y
j25g	67.26	-26.87	74.67	79.36	110	y34l
j50g	55.83	-43.45	57.11	71.76	127	y69l
j75g	47.5	-54.18	38.3	66.35	145	l03c
g00b	50.07	-44.09	14.13	46.3	162	l23c
g25b	52.21	-35.66	-6.03	36.17	190	l55c
g50b	53.9	-29.04	-21.87	36.36	217	l87c
g75b	49.44	-15.51	-32.31	35.84	244	c20v
b00r	41.36	1.15	-37.95	37.97	272	c53v
b25r	28.74	27.19	-46.77	54.1	300	c87v
b50r	33.74	61.97	-37.81	72.59	329	v68m
b75r	40.08	64.26	-3.32	64.35	357	m33o

lab^*olv^*

$i^* = 1.00$

Brillantheit i^*

$i^* = 0.80$

$i^* = 0.60$

$i^* = 0.40$

$i^* = 0.20$

$i^* = 0.00$

relative Buntheit c^*

relative Buntheit c^*

Ein und Ausgabe: Farbmetrisches Drucker-Reflektiv-System FRS09_92aM für relativen CIELAB-Buntton $h^* = lab^*h^* = h_{ab}/360 = 0.164$

Daten für jede Farbe:

lab^*tch^* und lab^*icu^*

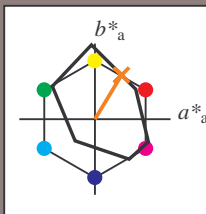
Bunttontexte:

$u^*_e = r50j$ $u^*_d = o40y$

Kontrastreduzierungsfaktor:

$c_R = 0.9$

Dreiecks-Helligkeit t^*



FRS09_92aM; adaptierte CIELAB-Daten

	u^*_e	$L^*=L^*_a$	a^*_a	b^*_a	$C^*_{ab,a}$	$h^*_{ab,a}$
O _{Ma}	38.8	53.92	39.68	66.95	36	
Y _{Ma}	82.58	-4.64	98.22	98.33	93	
L _{Ma}	46.95	-56.34	43.46	71.15	142	
C _{Ma}	54.62	-26.2	-28.68	38.85	228	
V _{Ma}	20.01	45.2	-52.87	69.56	311	
M _{Ma}	40.88	70.68	-29.99	76.78	337	
N _{Ma}	15.0	0.0	0.0	0.0	0	
W _{Ma}	90.0	0.0	0.0	0.0	0	
R _{Ma}	39.92	58.74	27.99	65.07	25	
J _{Ma}	81.26	-2.89	71.56	71.62	92	
G _{Ma}	52.23	-42.42	13.6	44.55	162	
B _{Ma}	30.57	1.41	-46.47	46.49	272	

Daten für Maximalfarbe (Ma):

$LAB^*LAB^*_{Ma}$: 53 35 58

$LAB^*LCH^*_{Ma}$: 53 68 58

$lab^*rgb^*_{Ma}$: 1.0 0.5 0.0

$lab^*olv^*_{Ma}$: 1.0 0.4 0.0

Dreiecks-Helligkeit t^*

%Umfang

$u^*_{rel} = 88$

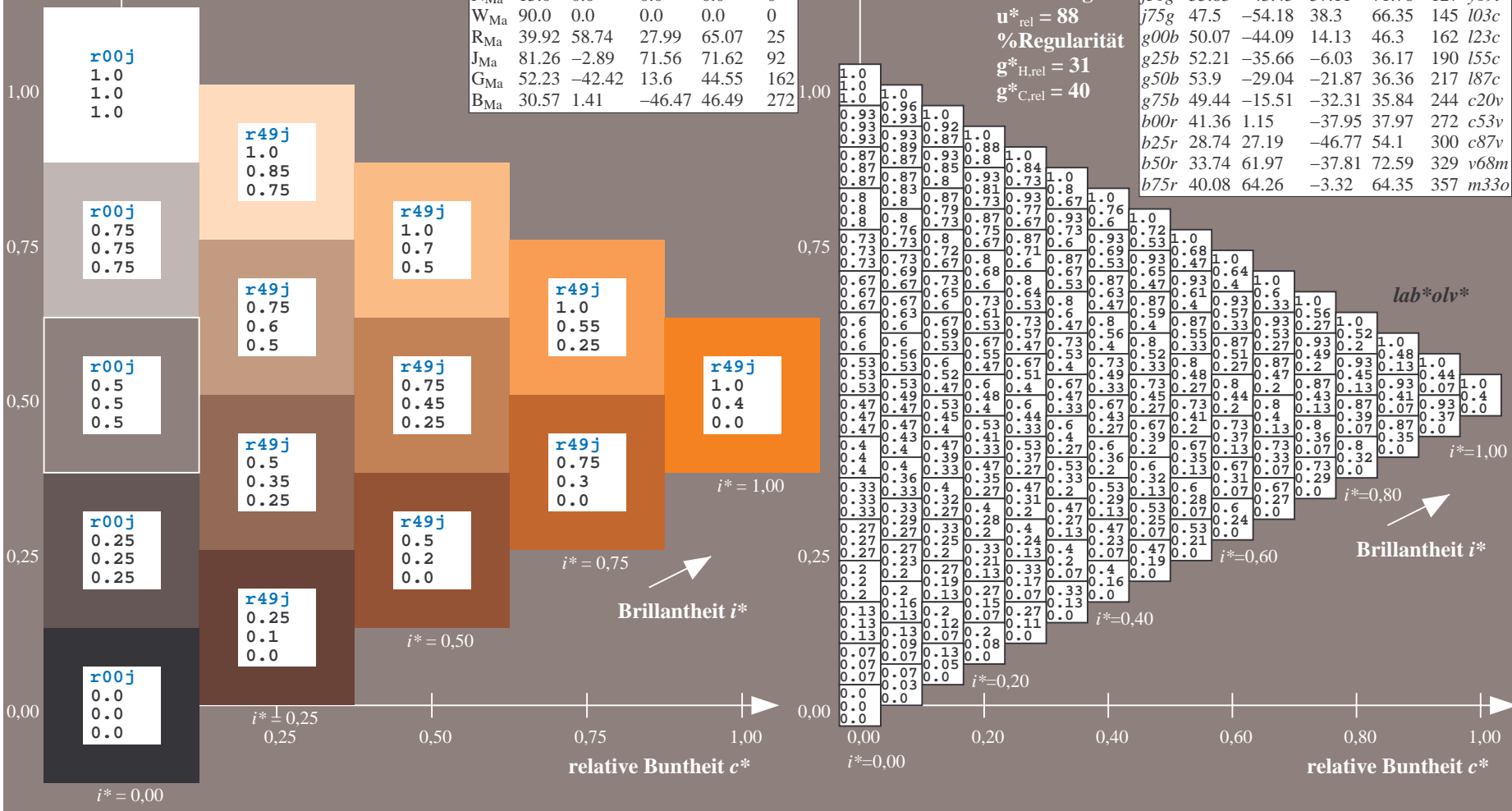
%Regularität

$g^*_{H,rel} = 31$

$g^*_{C,rel} = 40$

FRS09_92aM; adaptierte CIELAB-Daten

	u^*_e	$L^*=L^*_a$	a^*_a	b^*_a	$C^*_{ab,a}$	$h^*_{ab,a}$	u^*_d
r00j	39.18	56.94	27.13	63.07	25	m81o	
r25j	42.41	49.1	44.5	66.26	42	o10y	
r50j	52.78	35.22	58.37	68.17	59	o40y	
r75j	64.82	19.12	74.47	76.89	76	o69y	
j00g	82.06	-3.94	97.52	97.6	92	o98y	
j25g	67.26	-26.87	74.67	79.36	110	y34l	
j50g	55.83	-43.45	57.11	71.76	127	y69l	
j75g	47.5	-54.18	38.3	66.35	145	i03c	
g00b	50.07	-44.09	14.13	46.3	162	i23c	
g25b	52.21	-35.66	-6.03	36.17	190	i55c	
g50b	53.9	-29.04	-21.87	36.36	217	i87c	
g75b	49.44	-15.51	-32.31	35.84	244	c20v	
b00r	41.36	1.15	-37.95	37.97	272	c53v	
b25r	28.74	27.19	-46.77	54.1	300	c87v	
b50r	33.74	61.97	-37.81	72.59	329	v68m	
b75r	40.08	64.26	-3.32	64.35	357	m33o	



Ein und Ausgabe: Farbmétrisches Drucker-Reflektiv-System FRS09_92aM für relativen CIELAB-Buntton $h^* = lab^*h^* = h_{ap}/360 = 0.21$

Daten für jede Farbe:

*lab*tch** und *lab*icu**

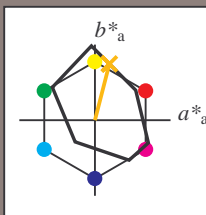
Bunttexte:

$$u^*_e = r75j \quad u^*_d = o69y$$

Kontrastreduzierungsfaktor:

 $c_R = 0.9$

K Dreiecks-Helligkeit t^*



FRS09_92aM; adaptierte CIELAB-Daten

μ_e^*	$L^*=L_a^*$	a_a^*	b_a^*	$C_{ab,a}^*$	$h_{ab,a}^*$
O _{Ma}	38.8	53.92	39.68	66.95	36
Y _{Ma}	82.58	-4.64	98.22	98.33	93
L _{Ma}	46.95	-56.34	43.46	71.15	142
C _{Ma}	54.62	-26.2	-28.68	38.85	228
V _{Ma}	20.01	45.2	-52.87	69.56	311
M _{Ma}	40.88	70.68	-29.99	76.78	337
N _{Ma}	15.0	0.0	0.0	0.0	0
W _{Ma}	90.0	0.0	0.0	0.0	0
R _{Ma}	39.92	58.74	27.99	65.07	25
J _{Ma}	81.26	-2.89	71.56	71.62	92
G _{Ma}	52.23	-42.42	13.6	44.55	162
B _{Ma}	30.57	1.41	-46.47	46.49	272

Daten für Maximalfarbe (Ma):

*LAB*LAB*Mo: 65 19 74*

LAD*LGII* 65 77 75

LAB*LCH*Ma: 65 77 75

*lab*rgb**_{Ma}: 1.0 0.75 0.

*lab*olv**Ma: 1.0 0.7 0.0

Dreiecks-Helligkeit t^*

%Umfang

$$\mathbf{u}_{\text{rel}}^* = 88$$

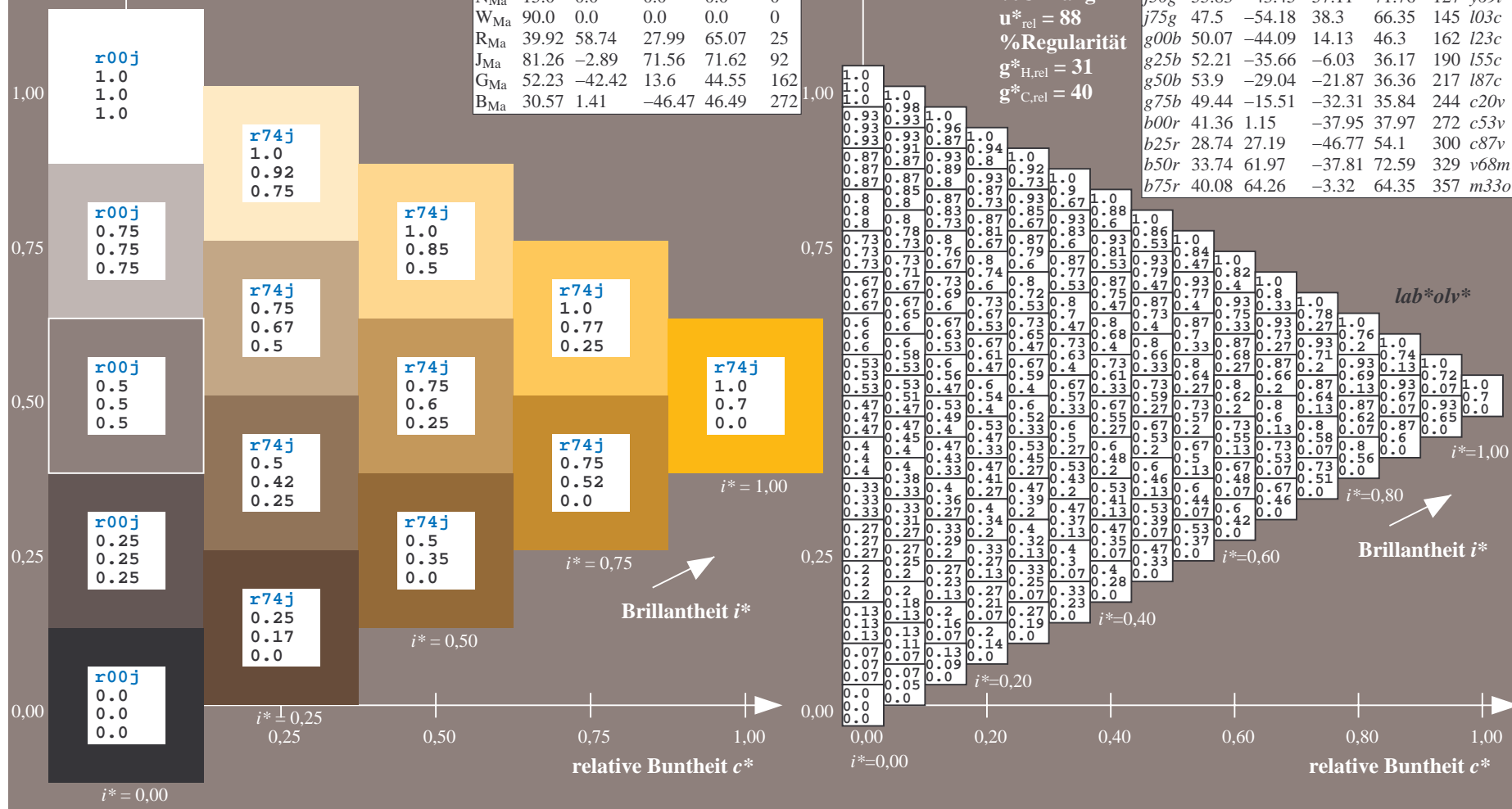
%Regularität

$$g_{\text{H,rel}}^* = 31$$
$$g^*_{C,rel} = 40$$

*u*_e = r75j*
*lab*olv**

FRS09_92aM; adaptierte CIELAB-Daten

u_e^*	$L^*=L_a^*$	a_a^*	b_a^*	$C_{ab,a}^*$	$h_{ab,a}^*$	u_d^*
<i>r00j</i>	39.18	56.94	27.13	63.07	25	<i>m81o</i>
<i>r25j</i>	42.41	49.1	44.5	66.26	42	<i>o10y</i>
<i>r50j</i>	52.78	35.22	58.37	68.17	59	<i>o40y</i>
<i>r75j</i>	64.82	19.12	74.47	76.89	76	<i>o69y</i>
<i>j00g</i>	82.06	-3.94	97.52	97.6	92	<i>o98y</i>
<i>j25g</i>	67.26	-26.87	74.67	79.36	110	<i>y34l</i>
<i>j50g</i>	55.83	-43.45	57.11	71.76	127	<i>y69l</i>
<i>j75g</i>	47.5	-54.18	38.3	66.35	145	<i>l03c</i>
<i>g00b</i>	50.07	-44.09	14.13	46.3	162	<i>l23c</i>
<i>g25b</i>	52.21	-35.66	-6.03	36.17	190	<i>l55c</i>
<i>g50b</i>	53.9	-29.04	-21.87	36.36	217	<i>l87c</i>
<i>g75b</i>	49.44	-15.51	-32.31	35.84	244	<i>c20v</i>
<i>b00r</i>	41.36	1.15	-37.95	37.97	272	<i>c53v</i>
<i>b25r</i>	28.74	27.19	-46.77	54.1	300	<i>c87v</i>
<i>b50r</i>	33.74	61.97	-37.81	72.59	329	<i>v68m</i>
<i>b75r</i>	40.08	64.26	-3.32	64.35	357	<i>m33o</i>



BAM-Prüfvorlage Eg33; Farbmatrik-Systeme, Seite 41/198 Eingabe: 000n / w / nnn0 / www set...
D65: Farbreihen, Datentabellen für 16 Bunttöne r00j bis b75r Ausgabe: ->cmy0* setcmykcolor

BAM-Registrierung: 20081001-Eg33/10L/L33G00NP.PS/.PDF BAM-Material: Code=rha4ta
Anwendung für Beurteilung und Messung von Drucker- oder Monitorsystemen

Ein und Ausgabe: Farbmetrisches Drucker-Reflektiv-System FRS09_92aM für relativen CIELAB-Buntton $h^* = lab^*h^* = h_{ab}/360 = 0.256$

Daten für jede Farbe:

lab^*tch^* und lab^*icu^*

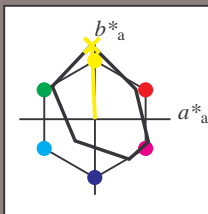
Bunttontexte:

$u^*_e = j00g$ $u^*_d = o98y$

Kontrastreduzierungsfaktor:

$c_R = 0.9$

Dreiecks-Helligkeit i^*



FRS09_92aM; adaptierte CIELAB-Daten

u^*_e	$L^*=L^*_a$	a^*_a	b^*_a	$C^*_{ab,a}$	$h^*_{ab,a}$
O _{Ma}	38.8	53.92	39.68	66.95	36
Y _{Ma}	82.58	-4.64	98.22	98.33	93
L _{Ma}	46.95	-56.34	43.46	71.15	142
C _{Ma}	54.62	-26.2	-28.68	38.85	228
V _{Ma}	20.01	45.2	-52.87	69.56	311
M _{Ma}	40.88	70.68	-29.99	76.78	337
N _{Ma}	15.0	0.0	0.0	0.0	0
W _{Ma}	90.0	0.0	0.0	0.0	0
R _{Ma}	39.92	58.74	27.99	65.07	25
J _{Ma}	81.26	-2.89	71.56	71.62	92
G _{Ma}	52.23	-42.42	13.6	44.55	162
B _{Ma}	30.57	1.41	-46.47	46.49	272

Daten für Maximalfarbe (Ma):

$LAB^*LAB^*_{Ma}$: 82 -4 98

$LAB^*LCH^*_{Ma}$: 82 98 92

$lab^*rgb^*_{Ma}$: 1.0 1.0 0.0

$lab^*olv^*_{Ma}$: 1.0 0.99 0.0

Dreiecks-Helligkeit i^*

%Umfang

$u^*_{rel} = 88$

%Regularität

$g^*_{H,rel} = 31$

$g^*_{C,rel} = 40$

FRS09_92aM; adaptierte CIELAB-Daten

u^*_e	$L^*=L^*_a$	a^*_a	b^*_a	$C^*_{ab,a}$	$h^*_{ab,a}$	u^*_d
r00j	39.18	56.94	27.13	63.07	25	m81o
r25j	42.41	49.1	44.5	66.26	42	o10y
r50j	52.78	35.22	58.37	68.17	59	o40y
r75j	64.82	19.12	74.47	76.89	76	o69y
j00g	82.06	-3.94	97.52	97.6	92	o98y
j25g	67.26	-26.87	74.67	79.36	110	y34l
j50g	55.83	-43.45	57.11	71.76	127	y69l
j75g	47.5	-54.18	38.3	66.35	145	l03c
g00b	50.07	-44.09	14.13	46.3	162	l23c
g25b	52.21	-35.66	-6.03	36.17	190	l55c
g50b	53.9	-29.04	-21.87	36.36	217	l87c
g75b	49.44	-15.51	-32.31	35.84	244	c20v
b00r	41.36	1.15	-37.95	37.97	272	c53v
b25r	28.74	27.19	-46.77	54.1	300	c87v
b50r	33.74	61.97	-37.81	72.59	329	v68m
b75r	40.08	64.26	-3.32	64.35	357	m33o

lab^*olv^*

$i^* = 1.00$

Brillantheit i^*

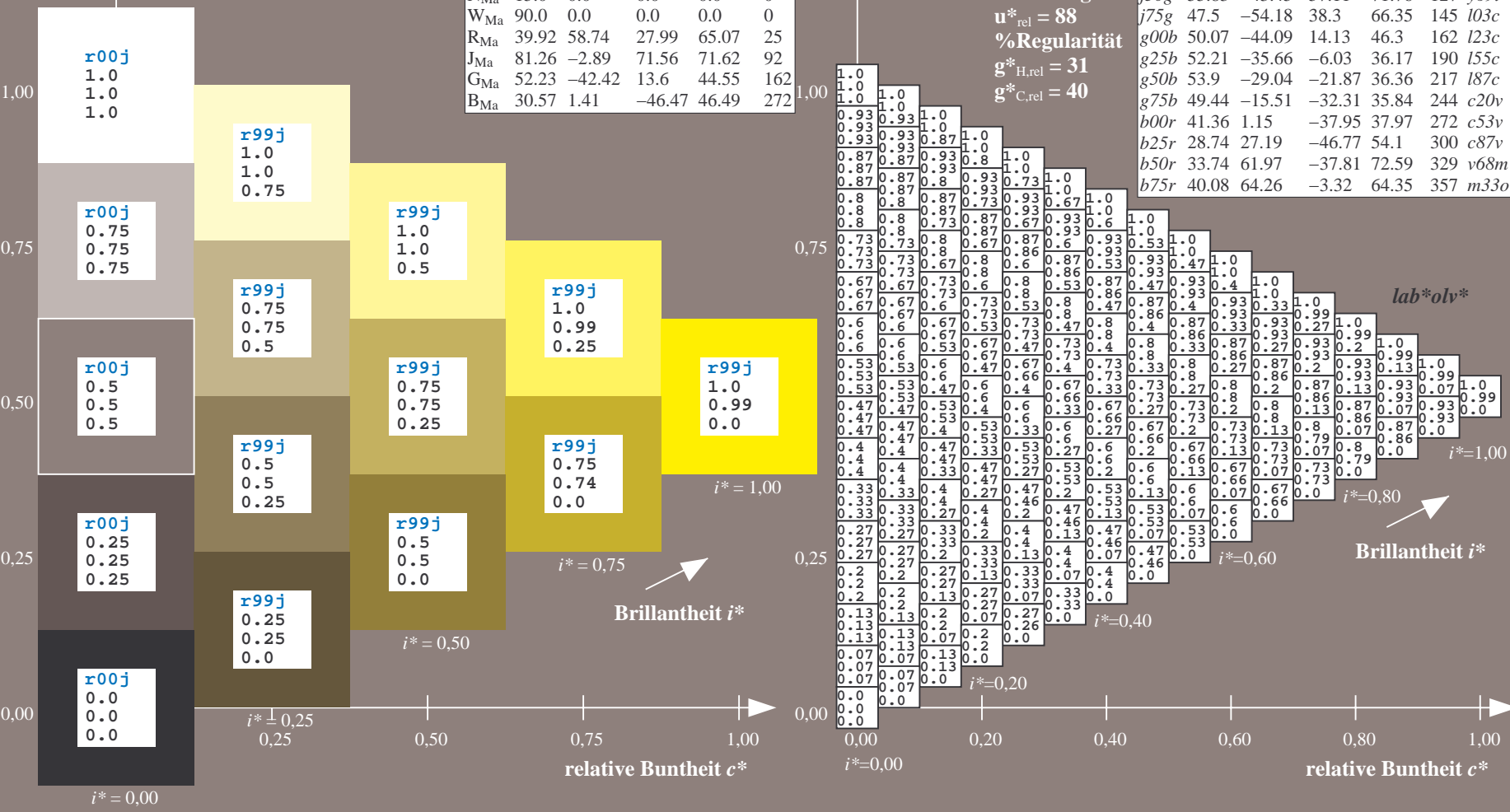
$i^* = 0.80$

$i^* = 0.60$

$i^* = 0.40$

$i^* = 0.20$

$i^* = 0.00$



Ein und Ausgabe: Farbmétrisches Drucker-Reflektiv-System FRS09_92aM für relativen CIELAB-Buntton $h^* = lab^*h^* = h_{ab}/360 = 0.305$

Daten für jede Farbe:

*lab*tch** und *lab*icu**

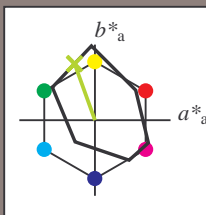
Bunttexte:

$$u_e^* = j25g \quad u_d^* = y34l$$

Kontrastreduzierungsfaktor:

 $c_{\mathbf{R}} = 0.9$

K Dreiecks-Helligkeit t^*



FRS09_92aM; adaptierte CIELAB-Daten						
u_e^*	$L^*=L_a^*$	a^*_a	b^*_a	$C^*_{ab,a}$	$h^*_{ab,a}$	
O _{Ma}	38.8	53.92	39.68	66.95	36	
Y _{Ma}	82.58	-4.64	98.22	98.33	93	
L _{Ma}	46.95	-56.34	43.46	71.15	142	
C _{Ma}	54.62	-26.2	-28.68	38.85	228	
V _{Ma}	20.01	45.2	-52.87	69.56	311	
M _{Ma}	40.88	70.68	-29.99	76.78	337	
N _{Ma}	15.0	0.0	0.0	0.0	0	
W _{Ma}	90.0	0.0	0.0	0.0	0	
R _{Ma}	39.92	58.74	27.99	65.07	25	
J _{Ma}	81.26	-2.89	71.56	71.62	92	
G _{Ma}	52.23	-42.42	13.6	44.55	162	
B _{Ma}	30.57	1.41	-46.47	46.49	272	

Daten für Maximalfarbe (Ma):

LAB*LAB*_{M2}: 67 -27 75

LAB*LAB Ma: 67-27-79

LAB*LCH*Ma: 67 79 109

*lab*rgb*_Ma: 0.75 1.0 0.0*

lab*olv*Ma: 0.66 1.0 0.0

Dreiecks-Helligkeit t^*

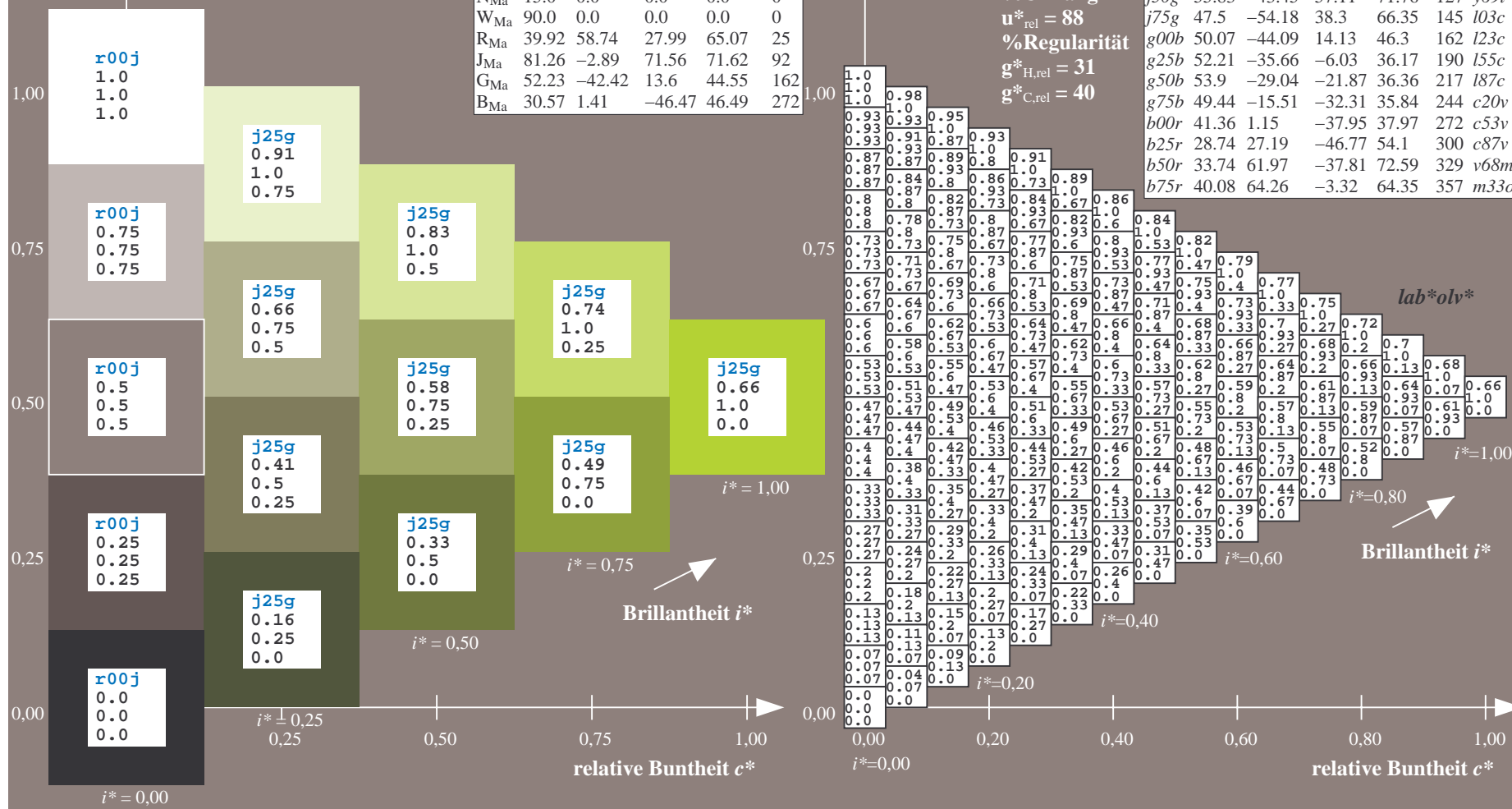
%Umfang

$$\mathbf{u}_{\text{rel}}^* = 88$$

%Regularität

$$g^*_{H,rel} = 31$$
$$g^*_{C,rel} = 40$$

FRS09_92aM; adaptierte CIELAB-Daten							
u_e^*	$L^*=L_a^*$	a^*_a	b^*_a	$C^*_{ab,a}$	$h^*_{ab,a}$	u_d^*	
<i>r00j</i>	39.18	56.94	27.13	63.07	25	<i>m81l</i>	
<i>r25j</i>	42.41	49.1	44.5	66.26	42	<i>o10y</i>	
<i>r50j</i>	52.78	35.22	58.37	68.17	59	<i>o40y</i>	
<i>r75j</i>	64.82	19.12	74.47	76.89	76	<i>o69y</i>	
<i>j00g</i>	82.06	-3.94	97.52	97.6	92	<i>o98y</i>	
<i>j25g</i>	67.26	-26.87	74.67	79.36	110	<i>y34l</i>	
<i>j50g</i>	55.83	-43.45	57.11	71.76	127	<i>y69l</i>	
<i>j75g</i>	47.5	-54.18	38.3	66.35	145	<i>l03c</i>	
<i>g00b</i>	50.07	-44.09	14.13	46.3	162	<i>l23c</i>	
<i>g25b</i>	52.21	-35.66	-6.03	36.17	190	<i>l55c</i>	
<i>g50b</i>	53.9	-29.04	-21.87	36.36	217	<i>l87c</i>	
<i>g75b</i>	49.44	-15.51	-32.31	35.84	244	<i>c20v</i>	
<i>b00r</i>	41.36	1.15	-37.95	37.97	272	<i>c53v</i>	
<i>b25r</i>	28.74	27.19	-46.77	54.1	300	<i>c87v</i>	
<i>b50r</i>	33.74	61.97	-37.81	72.59	329	<i>v68m</i>	
<i>b75r</i>	40.08	64.26	-3.32	64.35	357	<i>m33s</i>	



BAM-Prüfvorlage Eg33; Farbmeter-Systeme, Seite 43/198

D65: Farbreihen, Datentabellen für 16 Bunttöne $r00j$ bis $b75r$

Eingabe: $000n / w / nnn0 / www\ set...$

Ausgabe: $\rightarrow cmy0^* \text{ setcmykcolor}$

Ein und Ausgabe: Farbmetrisches Drucker-Reflektiv-System FRS09_92aM für relativen CIELAB-Buntton $h^* = lab^*h^* = h_{ab}/360 = 0.354$

Daten für jede Farbe:

lab^*tch^* und lab^*icu^*

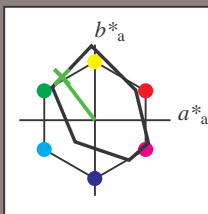
Bunttontexte:

$u^*_e = j50g$ $u^*_d = y69l$

Kontrastreduzierungsfaktor:

$c_R = 0.9$

Dreiecks-Helligkeit i^*



FRS09_92aM; adaptierte CIELAB-Daten						
	u^*_e	$L^*=L^*_a$	a^*_a	b^*_a	$C^*_{ab,a}$	$h^*_{ab,a}$
O _{Ma}	38.8	53.92	39.68	66.95	36	
Y _{Ma}	82.58	-4.64	98.22	98.33	93	
L _{Ma}	46.95	-56.34	43.46	71.15	142	
C _{Ma}	54.62	-26.2	-28.68	38.85	228	
V _{Ma}	20.01	45.2	-52.87	69.56	311	
M _{Ma}	40.88	70.68	-29.99	76.78	337	
N _{Ma}	15.0	0.0	0.0	0.0	0	
W _{Ma}	90.0	0.0	0.0	0.0	0	
R _{Ma}	39.92	58.74	27.99	65.07	25	
J _{Ma}	81.26	-2.89	71.56	71.62	92	
G _{Ma}	52.23	-42.42	13.6	44.55	162	
B _{Ma}	30.57	1.41	-46.47	46.49	272	

Daten für Maximalfarbe (Ma):

$LAB^*LAB^*_{Ma}$: 56 -43 57

$LAB^*LCH^*_{Ma}$: 56 72 127

$lab^*rgb^*_{Ma}$: 0.5 1.0 0.0

$lab^*olv^*_{Ma}$: 0.3 1.0 0.0

Dreiecks-Helligkeit i^*

%Umfang

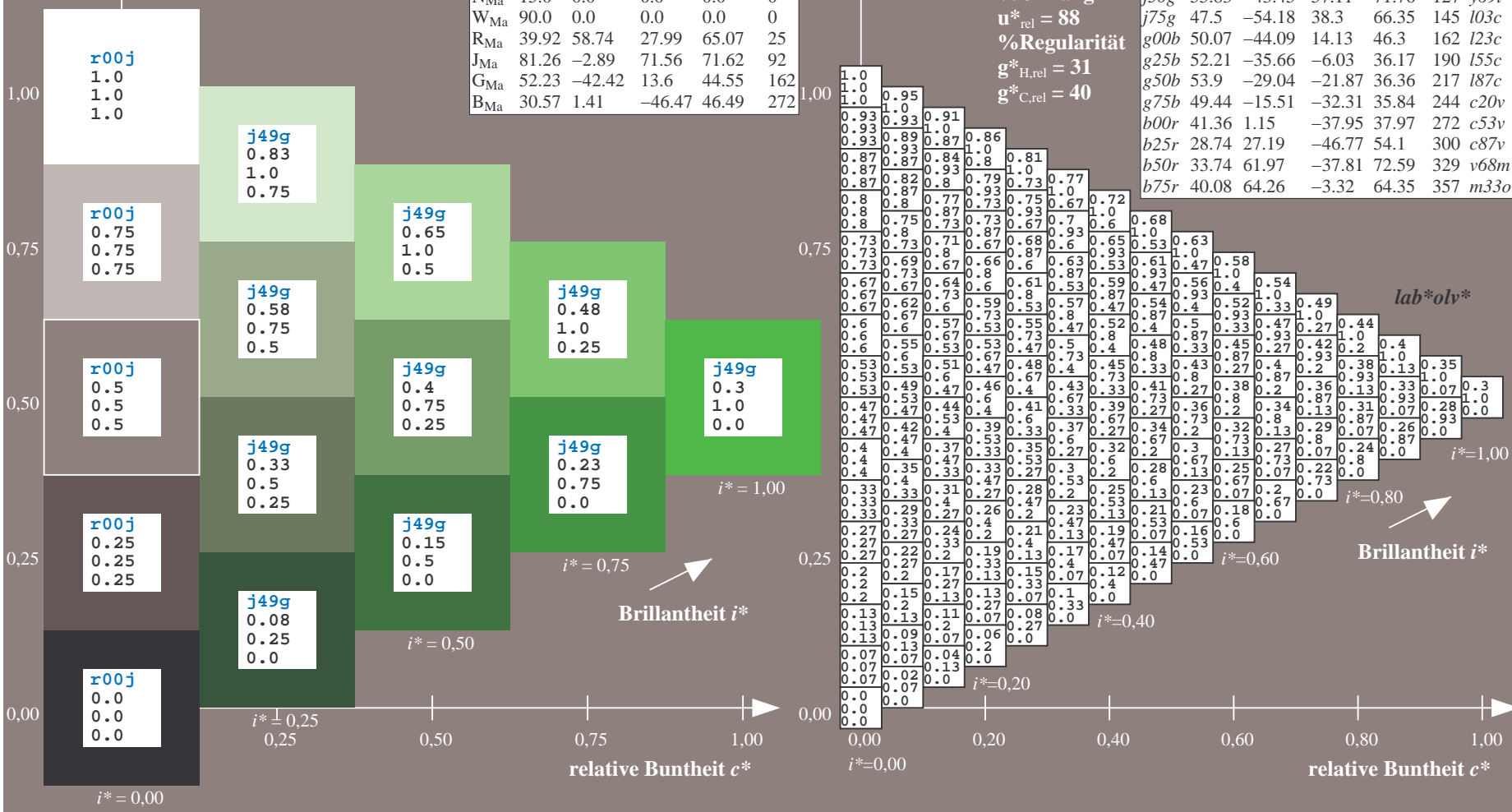
$u^*_{rel} = 88$

%Regularität

$g^*_{H,rel} = 31$

$g^*_{C,rel} = 40$

FRS09_92aM; adaptierte CIELAB-Daten						
	u^*_e	$L^*=L^*_a$	a^*_a	b^*_a	$C^*_{ab,a}$	$h^*_{ab,a}$
r00j	39.18	56.94	27.13	63.07	25	m81o
r25j	42.41	49.1	44.5	66.26	42	o10y
r50j	52.78	35.22	58.37	68.17	59	o40y
r75j	64.82	19.12	74.47	76.89	76	o69y
j00g	82.06	-3.94	97.52	97.6	92	o98y
j25g	67.26	-26.87	74.67	79.36	110	y34l
j50g	55.83	-43.45	57.11	71.76	127	y69l
j75g	47.5	-54.18	38.3	66.35	145	i03c
g00b	50.07	-44.09	14.13	46.3	162	i23c
g25b	52.21	-35.66	-6.03	36.17	190	i55c
g50b	53.9	-29.04	-21.87	36.36	217	i87c
g75b	49.44	-15.51	-32.31	35.84	244	c20v
b00r	41.36	1.15	-37.95	37.97	272	c53v
b25r	28.74	27.19	-46.77	54.1	300	c87v
b50r	33.74	61.97	-37.81	72.59	329	v68m
b75r	40.08	64.26	-3.32	64.35	357	m33o



Ein und Ausgabe: Farbmetrisches Drucker-Reflektiv-System FRS09_92aM für relativen CIELAB-Buntton $h^* = lab^*h^* = h_{ab}/360 = 0.402$

Daten für jede Farbe:

lab^*tch^* und lab^*icu^*

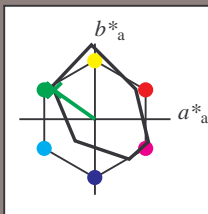
Bunttontexte:

$u^*_e = j75g$ $u^*_d = i03c$

Kontrastreduzierungsfaktor:

$c_R = 0.9$

Dreiecks-Helligkeit i^*



FRS09_92aM; adaptierte CIELAB-Daten

	u^*_e	$L^*=L^*_a$	a^*_a	b^*_a	$C^*_{ab,a}$	$h^*_{ab,a}$
O _{Ma}	38.8	53.92	39.68	66.95	36	
Y _{Ma}	82.58	-4.64	98.22	98.33	93	
L _{Ma}	46.95	-56.34	43.46	71.15	142	
C _{Ma}	54.62	-26.2	-28.68	38.85	228	
V _{Ma}	20.01	45.2	-52.87	69.56	311	
M _{Ma}	40.88	70.68	-29.99	76.78	337	
N _{Ma}	15.0	0.0	0.0	0.0	0	
W _{Ma}	90.0	0.0	0.0	0.0	0	
R _{Ma}	39.92	58.74	27.99	65.07	25	
J _{Ma}	81.26	-2.89	71.56	71.62	92	
G _{Ma}	52.23	-42.42	13.6	44.55	162	
B _{Ma}	30.57	1.41	-46.47	46.49	272	

Daten für Maximalfarbe (Ma):

$LAB^*LAB^*_{Ma}$: 48 -54 38

$LAB^*LCH^*_{Ma}$: 48 66 144

$lab^*rgb^*_{Ma}$: 0.25 1.0 0.0

$lab^*olv^*_{Ma}$: 0.0 1.0 0.03

Dreiecks-Helligkeit i^*

%Umfang

$u^*_{rel} = 88$

%Regularität

$g^*_{H,rel} = 31$

$g^*_{C,rel} = 40$

FRS09_92aM; adaptierte CIELAB-Daten

	u^*_e	$L^*=L^*_a$	a^*_a	b^*_a	$C^*_{ab,a}$	$h^*_{ab,a}$	u^*_d
r00j	39.18	56.94	27.13	63.07	25	m81o	
r25j	42.41	49.1	44.5	66.26	42	o10y	
r50j	52.78	35.22	58.37	68.17	59	o40y	
r75j	64.82	19.12	74.47	76.89	76	o69y	
j00g	82.06	-3.94	97.52	97.6	92	o98y	
j25g	67.26	-26.87	74.67	79.36	110	y34l	
j50g	55.83	-43.45	57.11	71.76	127	y69l	
j75g	47.5	-54.18	38.3	66.35	145	i03c	
g00b	50.07	-44.09	14.13	46.3	162	i23c	
g25b	52.21	-35.66	-6.03	36.17	190	i55c	
g50b	53.9	-29.04	-21.87	36.36	217	i87c	
g75b	49.44	-15.51	-32.31	35.84	244	c20v	
b00r	41.36	1.15	-37.95	37.97	272	c53v	
b25r	28.74	27.19	-46.77	54.1	300	c87v	
b50r	33.74	61.97	-37.81	72.59	329	v68m	
b75r	40.08	64.26	-3.32	64.35	357	m33o	

lab^*olv^*

$i^* = 1.00$

Brillantheit i^*

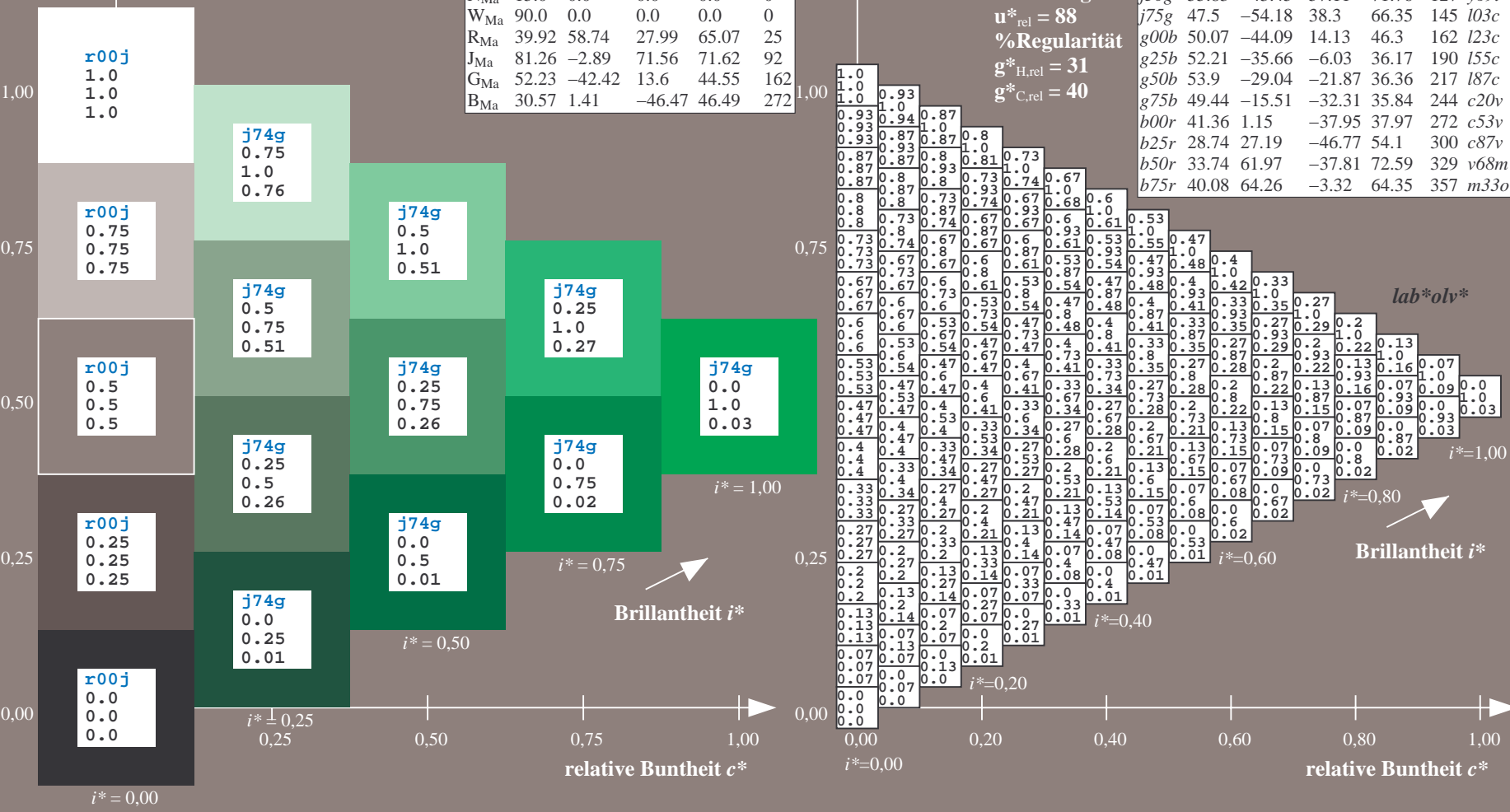
$i^* = 0.80$

$i^* = 0.60$

$i^* = 0.40$

$i^* = 0.20$

$i^* = 0.00$



Ein und Ausgabe: Farbmetrisches Drucker-Reflektiv-System FRS09_92aM für relativen CIELAB-Buntton $h^* = lab^*h^* = h_{ab}/360 = 0.451$

Daten für jede Farbe:

lab^*tch^* und lab^*icu^*

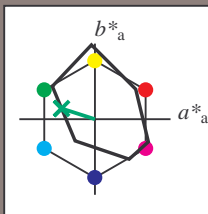
Bunttontexte:

$u^*_e = g00b$ $u^*_d = l23c$

Kontrastreduzierungsfaktor:

$c_R = 0.9$

Dreiecks-Helligkeit i^*



FRS09_92aM; adaptierte CIELAB-Daten

	u^*_e	$L^*=L^*_a$	a^*_a	b^*_a	$C^*_{ab,a}$	$h^*_{ab,a}$
O _{Ma}	38.8	53.92	39.68	66.95	36	
Y _{Ma}	82.58	-4.64	98.22	98.33	93	
L _{Ma}	46.95	-56.34	43.46	71.15	142	
C _{Ma}	54.62	-26.2	-28.68	38.85	228	
V _{Ma}	20.01	45.2	-52.87	69.56	311	
M _{Ma}	40.88	70.68	-29.99	76.78	337	
N _{Ma}	15.0	0.0	0.0	0.0	0	
W _{Ma}	90.0	0.0	0.0	0.0	0	
R _{Ma}	39.92	58.74	27.99	65.07	25	
J _{Ma}	81.26	-2.89	71.56	71.62	92	
G _{Ma}	52.23	-42.42	13.6	44.55	162	
B _{Ma}	30.57	1.41	-46.47	46.49	272	

Daten für Maximalfarbe (Ma):

$LAB^*LAB^*_{Ma}$: 50 -44 14

$LAB^*LCH^*_{Ma}$: 50 46 162

$lab^*rgb^*_{Ma}$: 0.0 1.0 0.0

$lab^*olv^*_{Ma}$: 0.0 1.0 0.23

Dreiecks-Helligkeit i^*

%Umfang

$u^*_{rel} = 88$

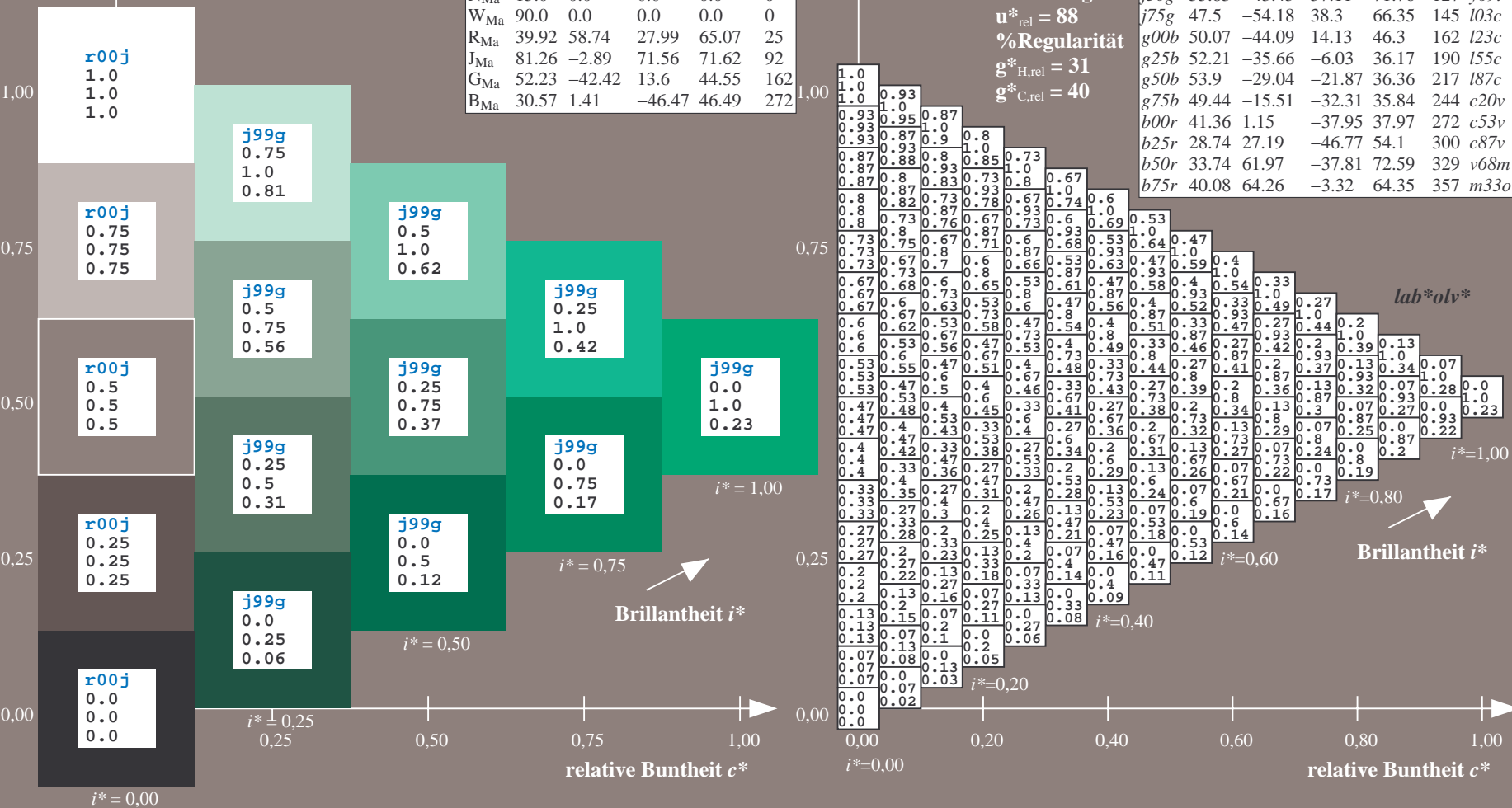
%Regularität

$g^*_{H,rel} = 31$

$g^*_{C,rel} = 40$

FRS09_92aM; adaptierte CIELAB-Daten

	u^*_e	$L^*=L^*_a$	a^*_a	b^*_a	$C^*_{ab,a}$	$h^*_{ab,a}$	u^*_d
r00j	39.18	56.94	27.13	63.07	25	m81o	
r25j	42.41	49.1	44.5	66.26	42	o10y	
r50j	52.78	35.22	58.37	68.17	59	o40y	
r75j	64.82	19.12	74.47	76.89	76	o69y	
j00g	82.06	-3.94	97.52	97.6	92	o98y	
j25g	67.26	-26.87	74.67	79.36	110	y34l	
j50g	55.83	-43.45	57.11	71.76	127	y69l	
j75g	47.5	-54.18	38.3	66.35	145	l03c	
g00b	50.07	-44.09	14.13	46.3	162	l23c	
g25b	52.21	-35.66	-6.03	36.17	190	l55c	
g50b	53.9	-29.04	-21.87	36.36	217	l87c	
g75b	49.44	-15.51	-32.31	35.84	244	c20v	
b00r	41.36	1.15	-37.95	37.97	272	c53v	
b25r	28.74	27.19	-46.77	54.1	300	c87v	
b50r	33.74	61.97	-37.81	72.59	329	v68m	
b75r	40.08	64.26	-3.32	64.35	357	m33o	



Ein und Ausgabe: Farbmetrisches Drucker-Reflektiv-System FRS09_92aM für relativen CIELAB-Buntton $h^* = lab^*h^* = h_{ab}/360 = 0.527$

Daten für jede Farbe:

lab^*tch^* und lab^*icu^*

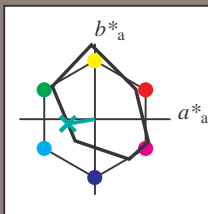
Bunttontexte:

$u^*_e = g25b$ $u^*_d = l55c$

Kontrastreduzierungsfaktor:

$c_R = 0.9$

Dreiecks-Helligkeit i^*



FRS09_92aM; adaptierte CIELAB-Daten

	u^*_e	$L^*=L^*_a$	a^*_a	b^*_a	$C^*_{ab,a}$	$h^*_{ab,a}$
O _{Ma}	38.8	53.92	39.68	66.95	36	
Y _{Ma}	82.58	-4.64	98.22	98.33	93	
L _{Ma}	46.95	-56.34	43.46	71.15	142	
C _{Ma}	54.62	-26.2	-28.68	38.85	228	
V _{Ma}	20.01	45.2	-52.87	69.56	311	
M _{Ma}	40.88	70.68	-29.99	76.78	337	
N _{Ma}	15.0	0.0	0.0	0.0	0	
W _{Ma}	90.0	0.0	0.0	0.0	0	
R _{Ma}	39.92	58.74	27.99	65.07	25	
J _{Ma}	81.26	-2.89	71.56	71.62	92	
G _{Ma}	52.23	-42.42	13.6	44.55	162	
B _{Ma}	30.57	1.41	-46.47	46.49	272	

Daten für Maximalfarbe (Ma):

$LAB^*LAB^*_{Ma}$: 52 -36 -6

$LAB^*LCH^*_{Ma}$: 52 36 189

$lab^*rgb^*_{Ma}$: 0.0 1.0 0.5

$lab^*olv^*_{Ma}$: 0.0 1.0 0.55

Dreiecks-Helligkeit i^*

%Umfang

$u^*_{rel} = 88$

%Regularität

$g^*_{H,rel} = 31$

$g^*_{C,rel} = 40$

FRS09_92aM; adaptierte CIELAB-Daten

	u^*_e	$L^*=L^*_a$	a^*_a	b^*_a	$C^*_{ab,a}$	$h^*_{ab,a}$	u^*_d
r00j	39.18	56.94	27.13	63.07	25	m81o	
r25j	42.41	49.1	44.5	66.26	42	o10y	
r50j	52.78	35.22	58.37	68.17	59	o40y	
r75j	64.82	19.12	74.47	76.89	76	o69y	
j00g	82.06	-3.94	97.52	97.6	92	o98y	
j25g	67.26	-26.87	74.67	79.36	110	y34l	
j50g	55.83	-43.45	57.11	71.76	127	y69l	
j75g	47.5	-54.18	38.3	66.35	145	l03c	
g00b	50.07	-44.09	14.13	46.3	162	l23c	
g25b	52.21	-35.66	-6.03	36.17	190	l55c	
g50b	53.9	-29.04	-21.87	36.36	217	l87c	
g75b	49.44	-15.51	-32.31	35.84	244	c20v	
b00r	41.36	1.15	-37.95	37.97	272	c53v	
b25r	28.74	27.19	-46.77	54.1	300	c87v	
b50r	33.74	61.97	-37.81	72.59	329	v68m	
b75r	40.08	64.26	-3.32	64.35	357	m33o	

lab^*olv^*

$i^* = 1.00$

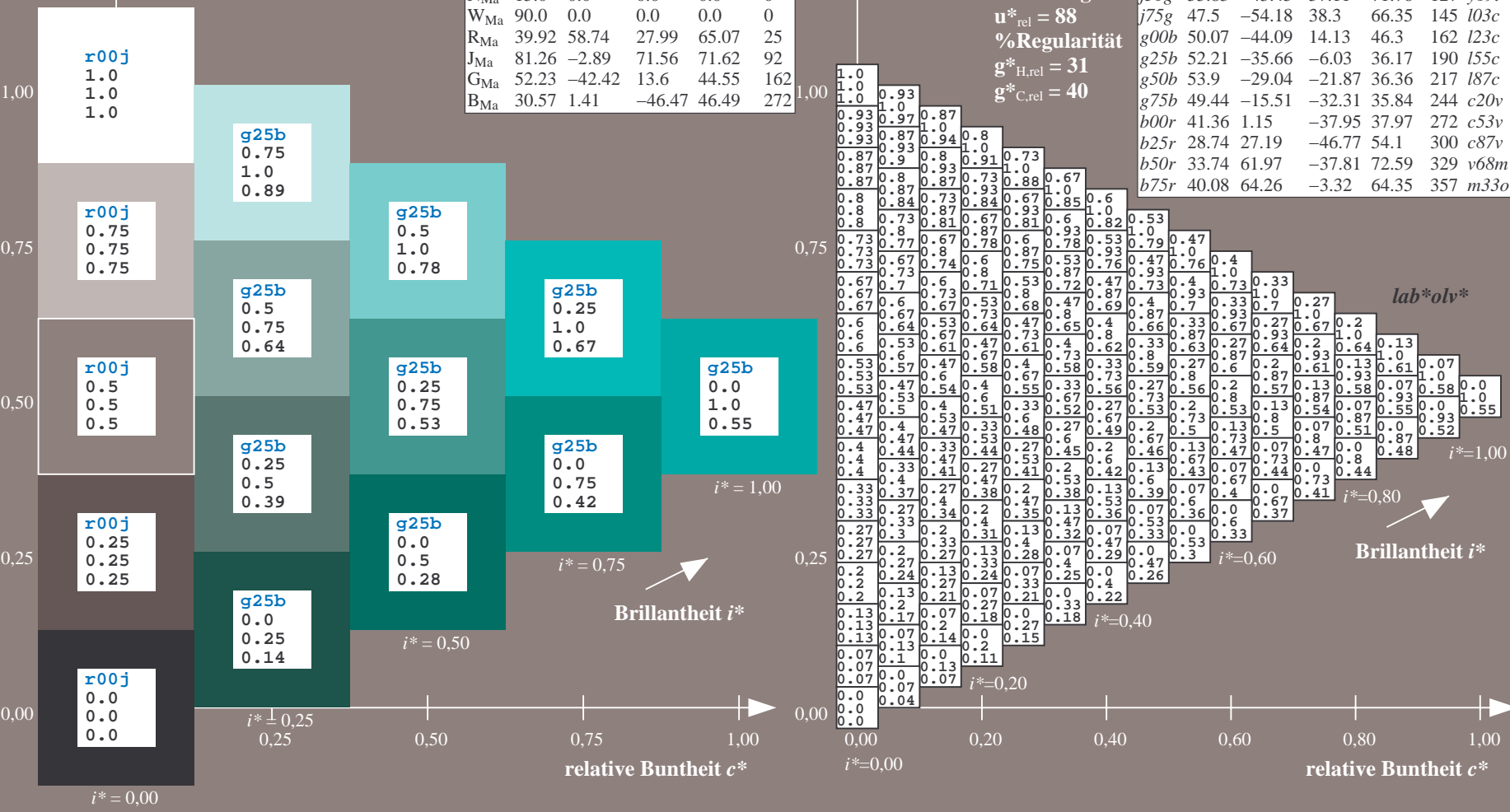
Brillantheit i^*

$i^* = 0.80$

$i^* = 0.60$

$i^* = 0.40$

$i^* = 0.20$



Ein und Ausgabe: Farbmetrisches Drucker-Reflektiv-System FRS09_92aM für relativen CIELAB-Buntton $h^* = lab^*h^* = h_{ab}/360 = 0.603$

Daten für jede Farbe:

lab^*tch^* und lab^*icu^*

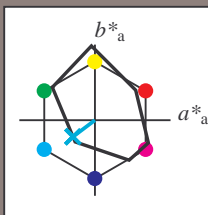
Bunttontexte:

$u^*_e = g50b$ $u^*_d = l87c$

Kontrastreduzierungsfaktor:

$c_R = 0.9$

Dreiecks-Helligkeit i^*



FRS09_92aM; adaptierte CIELAB-Daten						
u^*_e	$L^*=L^*_a$	a^*_a	b^*_a	$C^*_{ab,a}$	$h^*_{ab,a}$	
O _{Ma}	38.8	53.92	39.68	66.95	36	
Y _{Ma}	82.58	-4.64	98.22	98.33	93	
L _{Ma}	46.95	-56.34	43.46	71.15	142	
C _{Ma}	54.62	-26.2	-28.68	38.85	228	
V _{Ma}	20.01	45.2	-52.87	69.56	311	
M _{Ma}	40.88	70.68	-29.99	76.78	337	
N _{Ma}	15.0	0.0	0.0	0.0	0	
W _{Ma}	90.0	0.0	0.0	0.0	0	
R _{Ma}	39.92	58.74	27.99	65.07	25	
J _{Ma}	81.26	-2.89	71.56	71.62	92	
G _{Ma}	52.23	-42.42	13.6	44.55	162	
B _{Ma}	30.57	1.41	-46.47	46.49	272	

Daten für Maximalfarbe (Ma):

$LAB^*LAB^*_{Ma}$: 54 -29 -22

$LAB^*LCH^*_{Ma}$: 54 36 216

$lab^*rgb^*_{Ma}$: 0.0 1.0 1.0

$lab^*olv^*_{Ma}$: 0.0 1.0 0.88

Dreiecks-Helligkeit i^*

%Umfang

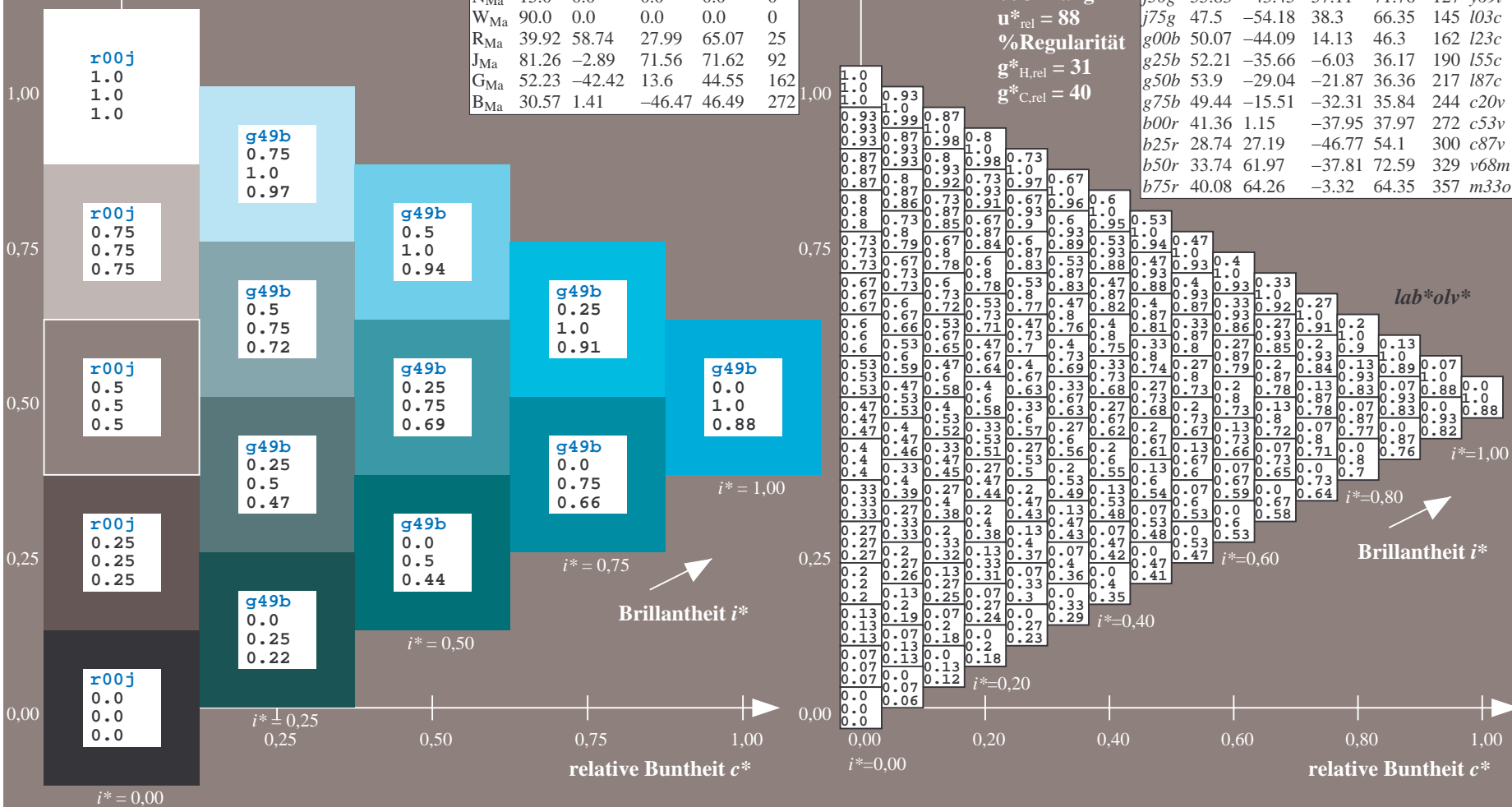
$u^*_{rel} = 88$

%Regularität

$g^*_{H,rel} = 31$

$g^*_{C,rel} = 40$

FRS09_92aM; adaptierte CIELAB-Daten						
u^*_e	$L^*=L^*_a$	a^*_a	b^*_a	$C^*_{ab,a}$	$h^*_{ab,a}$	u^*_d
r00j	39.18	56.94	27.13	63.07	25	m81o
r25j	42.41	49.1	44.5	66.26	42	o10y
r50j	52.78	35.22	58.37	68.17	59	o40y
r75j	64.82	19.12	74.47	76.89	76	o69y
j00g	82.06	-3.94	97.52	97.6	92	o98y
j25g	67.26	-26.87	74.67	79.36	110	y34l
j50g	55.83	-43.45	57.11	71.76	127	y69l
j75g	47.5	-54.18	38.3	66.35	145	l03c
g00b	50.07	-44.09	14.13	46.3	162	l23c
g25b	52.21	-35.66	-6.03	36.17	190	l55c
g50b	53.9	-29.04	-21.87	36.36	217	l87c
g75b	49.44	-15.51	-32.31	35.84	244	c20v
b00r	41.36	1.15	-37.95	37.97	272	c53v
b25r	28.74	27.19	-46.77	54.1	300	c87v
b50r	33.74	61.97	-37.81	72.59	329	v68m
b75r	40.08	64.26	-3.32	64.35	357	m33o



Ein und Ausgabe: Farbmetrisches Drucker-Reflektiv-System FRS09_92aM für relativen CIELAB-Buntton $h^* = lab^*h^* = h_{ab}/360 = 0.679$

Daten für jede Farbe:

lab^*tch^* und lab^*icu^*

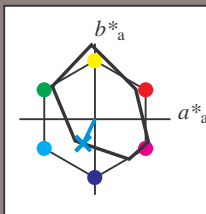
Bunttontexte:

$u^*_e = g75b$ $u^*_d = c20v$

Kontrastreduzierungsfaktor:

$c_R = 0.9$

Dreiecks-Helligkeit i^*



FRS09_92aM; adaptierte CIELAB-Daten

	u^*_e	$L^*=L^*_a$	a^*_a	b^*_a	$C^*_{ab,a}$	$h^*_{ab,a}$
O _{Ma}	38.8	53.92	39.68	66.95	36	
Y _{Ma}	82.58	-4.64	98.22	98.33	93	
L _{Ma}	46.95	-56.34	43.46	71.15	142	
C _{Ma}	54.62	-26.2	-28.68	38.85	228	
V _{Ma}	20.01	45.2	-52.87	69.56	311	
M _{Ma}	40.88	70.68	-29.99	76.78	337	
N _{Ma}	15.0	0.0	0.0	0.0	0	
W _{Ma}	90.0	0.0	0.0	0.0	0	
R _{Ma}	39.92	58.74	27.99	65.07	25	
J _{Ma}	81.26	-2.89	71.56	71.62	92	
G _{Ma}	52.23	-42.42	13.6	44.55	162	
B _{Ma}	30.57	1.41	-46.47	46.49	272	

Daten für Maximalfarbe (Ma):

$LAB^*LAB^*_{Ma}$: 49 -16 -32

$LAB^*LCH^*_{Ma}$: 49 36 244

$lab^*rgb^*_{Ma}$: 0.0 0.5 1.0

$lab^*olv^*_{Ma}$: 0.0 0.8 1.0

Dreiecks-Helligkeit i^*

%Umfang

$u^*_{rel} = 88$

%Regularität

$g^*_{H,rel} = 31$

$g^*_{C,rel} = 40$

FRS09_92aM; adaptierte CIELAB-Daten

	u^*_e	$L^*=L^*_a$	a^*_a	b^*_a	$C^*_{ab,a}$	$h^*_{ab,a}$	u^*_d
r00j	39.18	56.94	27.13	63.07	25	m81o	
r25j	42.41	49.1	44.5	66.26	42	o10y	
r50j	52.78	35.22	58.37	68.17	59	o40y	
r75j	64.82	19.12	74.47	76.89	76	o69y	
j00g	82.06	-3.94	97.52	97.6	92	o98y	
j25g	67.26	-26.87	74.67	79.36	110	y34l	
j50g	55.83	-43.45	57.11	71.76	127	y69l	
j75g	47.5	-54.18	38.3	66.35	145	l03c	
g00b	50.07	-44.09	14.13	46.3	162	l23c	
g25b	52.21	-35.66	-6.03	36.17	190	l55c	
g50b	53.9	-29.04	-21.87	36.36	217	l87c	
g75b	49.44	-15.51	-32.31	35.84	244	c20v	
b00r	41.36	1.15	-37.95	37.97	272	c53v	
b25r	28.74	27.19	-46.77	54.1	300	c87v	
b50r	33.74	61.97	-37.81	72.59	329	v68m	
b75r	40.08	64.26	-3.32	64.35	357	m33o	

lab^*olv^*

$i^* = 1.00$

Brillantheit i^*

$i^* = 0.80$

$i^* = 0.60$

$i^* = 0.40$

$i^* = 0.20$

$i^* = 0.00$

Ein und Ausgabe: Farbmetrisches Drucker-Reflektiv-System FRS09_92aM für relativen CIELAB-Buntton $h^* = lab^*h^* = h_{ab}/360 = 0.755$

Daten für jede Farbe:

lab^*tch^* und lab^*icu^*

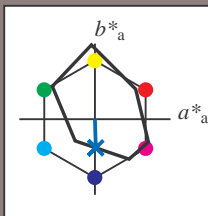
Bunttontexte:

$u^*_e = b00r$ $u^*_d = c53v$

Kontrastreduzierungsfaktor:

$c_R = 0.9$

Dreiecks-Helligkeit i^*



FRS09_92aM; adaptierte CIELAB-Daten

u^*_e	$L^*=L^*_a$	a^*_a	b^*_a	$C^*_{ab,a}$	$h^*_{ab,a}$
O _{Ma}	38.8	53.92	39.68	66.95	36
Y _{Ma}	82.58	-4.64	98.22	98.33	93
L _{Ma}	46.95	-56.34	43.46	71.15	142
C _{Ma}	54.62	-26.2	-28.68	38.85	228
V _{Ma}	20.01	45.2	-52.87	69.56	311
M _{Ma}	40.88	70.68	-29.99	76.78	337
N _{Ma}	15.0	0.0	0.0	0.0	0
W _{Ma}	90.0	0.0	0.0	0.0	0
R _{Ma}	39.92	58.74	27.99	65.07	25
J _{Ma}	81.26	-2.89	71.56	71.62	92
G _{Ma}	52.23	-42.42	13.6	44.55	162
B _{Ma}	30.57	1.41	-46.47	46.49	272

Daten für Maximalfarbe (Ma):

$LAB^*LAB^*_{Ma}$: 41 1 -38

$LAB^*LCH^*_{Ma}$: 41 38 271

$lab^*rgb^*_{Ma}$: 0.0 0.0 1.0

$lab^*olv^*_{Ma}$: 0.0 0.47 1.0

Dreiecks-Helligkeit i^*

%Umfang

$u^*_{rel} = 88$

%Regularität

$g^*_{H,rel} = 31$

$g^*_{C,rel} = 40$

FRS09_92aM; adaptierte CIELAB-Daten

u^*_e	$L^*=L^*_a$	a^*_a	b^*_a	$C^*_{ab,a}$	$h^*_{ab,a}$	u^*_d
r00j	39.18	56.94	27.13	63.07	25	m81o
r25j	42.41	49.1	44.5	66.26	42	o10y
r50j	52.78	35.22	58.37	68.17	59	o40y
r75j	64.82	19.12	74.47	76.89	76	o69y
j00g	82.06	-3.94	97.52	97.6	92	o98y
j25g	67.26	-26.87	74.67	79.36	110	y34l
j50g	55.83	-43.45	57.11	71.76	127	y69l
j75g	47.5	-54.18	38.3	66.35	145	i03c
g00b	50.07	-44.09	14.13	46.3	162	i23c
g25b	52.21	-35.66	-6.03	36.17	190	i55c
g50b	53.9	-29.04	-21.87	36.36	217	i87c
g75b	49.44	-15.51	-32.31	35.84	244	c20v
b00r	41.36	1.15	-37.95	37.97	272	c53v
b25r	28.74	27.19	-46.77	54.1	300	c87v
b50r	33.74	61.97	-37.81	72.59	329	v68m
b75r	40.08	64.26	-3.32	64.35	357	m33o

lab^*olv^*

$i^* = 1.00$

Brillantheit i^*

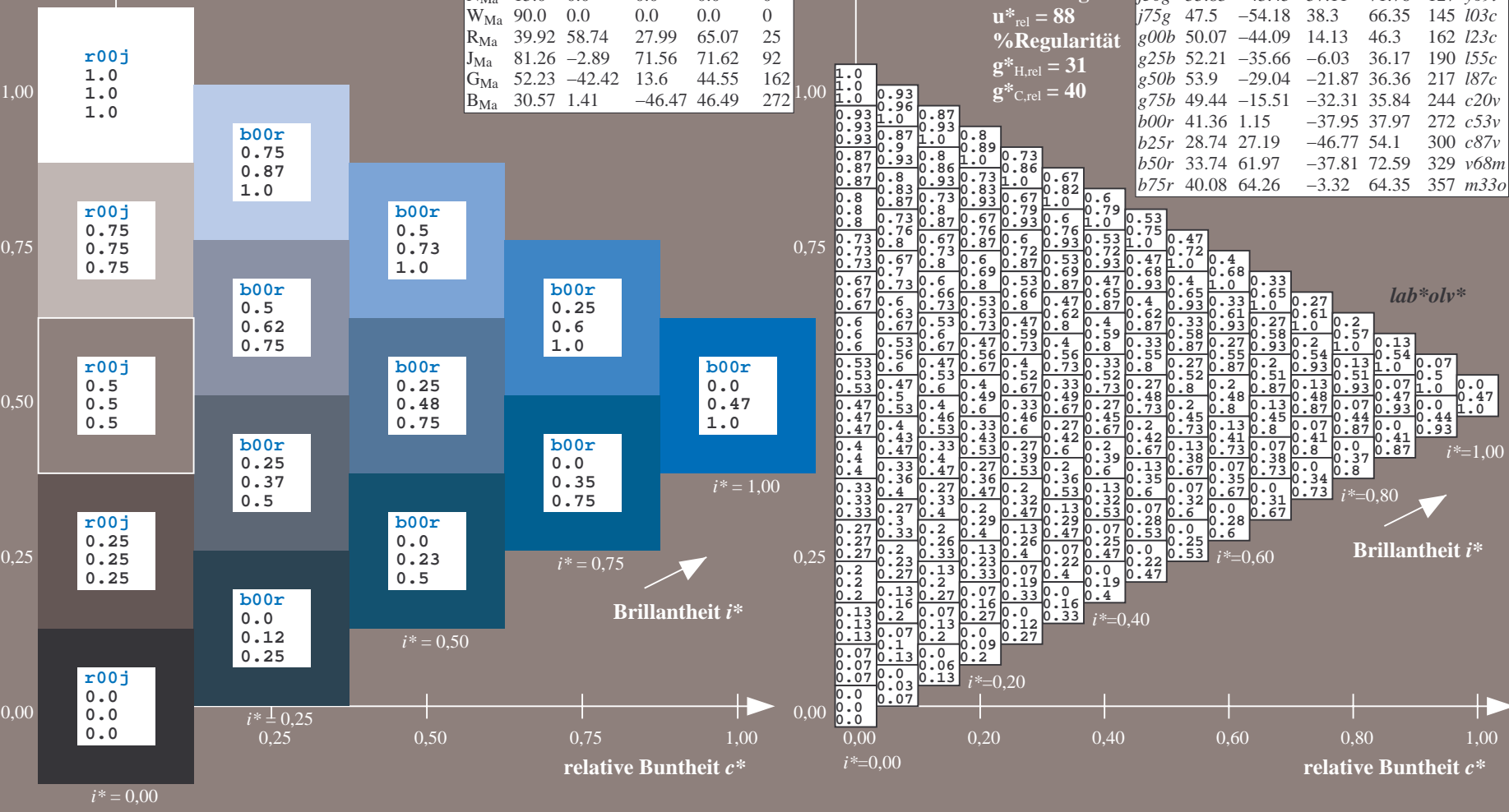
$i^* = 0.80$

$i^* = 0.60$

$i^* = 0.40$

$i^* = 0.20$

$i^* = 0.00$



Ein und Ausgabe: Farbmetrisches Drucker-Reflektiv-System FRS09_92aM für relativen CIELAB-Buntton $h^* = lab^*h^* = h_{ab}/360 = 0.834$

Daten für jede Farbe:

lab^*tch^* und lab^*icu^*

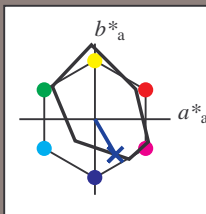
Bunttontexte:

$u^*_e = b25r$ $u^*_d = c87v$

Kontrastreduzierungsfaktor:

$c_R = 0.9$

Dreiecks-Helligkeit i^*



FRS09_92aM; adaptierte CIELAB-Daten

	u^*_e	$L^*=L^*_a$	a^*_a	b^*_a	$C^*_{ab,a}$	$h^*_{ab,a}$
O _{Ma}	38.8	53.92	39.68	66.95	36	
Y _{Ma}	82.58	-4.64	98.22	98.33	93	
L _{Ma}	46.95	-56.34	43.46	71.15	142	
C _{Ma}	54.62	-26.2	-28.68	38.85	228	
V _{Ma}	20.01	45.2	-52.87	69.56	311	
M _{Ma}	40.88	70.68	-29.99	76.78	337	
N _{Ma}	15.0	0.0	0.0	0.0	0	
W _{Ma}	90.0	0.0	0.0	0.0	0	
R _{Ma}	39.92	58.74	27.99	65.07	25	
J _{Ma}	81.26	-2.89	71.56	71.62	92	
G _{Ma}	52.23	-42.42	13.6	44.55	162	
B _{Ma}	30.57	1.41	-46.47	46.49	272	

Daten für Maximalfarbe (Ma):

$LAB^*LAB^*_{Ma}$: 29 27 -47

$LAB^*LCH^*_{Ma}$: 29 54 300

$lab^*rgb^*_{Ma}$: 0.5 0.0 1.0

$lab^*olv^*_{Ma}$: 0.0 0.12 1.0

Dreiecks-Helligkeit i^*

%Umfang

$u^*_{rel} = 88$

%Regularität

$g^*_{H,rel} = 31$

$g^*_{C,rel} = 40$

FRS09_92aM; adaptierte CIELAB-Daten

	u^*_e	$L^*=L^*_a$	a^*_a	b^*_a	$C^*_{ab,a}$	$h^*_{ab,a}$	u^*_d
r00j	39.18	56.94	27.13	63.07	25	m81o	
r25j	42.41	49.1	44.5	66.26	42	o10y	
r50j	52.78	35.22	58.37	68.17	59	o40y	
r75j	64.82	19.12	74.47	76.89	76	o69y	
j00g	82.06	-3.94	97.52	97.6	92	o98y	
j25g	67.26	-26.87	74.67	79.36	110	y34l	
j50g	55.83	-43.45	57.11	71.76	127	y69l	
j75g	47.5	-54.18	38.3	66.35	145	i03c	
g00b	50.07	-44.09	14.13	46.3	162	i23c	
g25b	52.21	-35.66	-6.03	36.17	190	i55c	
g50b	53.9	-29.04	-21.87	36.36	217	i87c	
g75b	49.44	-15.51	-32.31	35.84	244	c20v	
b00r	41.36	1.15	-37.95	37.97	272	c53v	
b25r	28.74	27.19	-46.77	54.1	300	c87v	
b50r	33.74	61.97	-37.81	72.59	329	v68m	
b75r	40.08	64.26	-3.32	64.35	357	m33o	

lab^*olv^*

$i^* = 1.00$

Brillantheit i^*

$i^* = 0.80$

$i^* = 0.60$

$i^* = 0.40$

$i^* = 0.20$

$i^* = 0.00$

Ein und Ausgabe: Farbmétrisches Drucker-Reflektiv-System FRS09_92aM für relativen CIELAB-Buntton $h^* = lab^*h^* = h_{ab}/360 = 0.913$

Daten für jede Farbe:

*lab*tch** und *lab*icu**

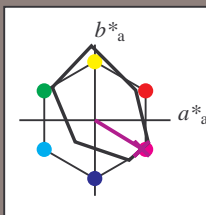
Bunttexte:

$$u^*_e = b50r \quad u^*_d = v68m$$

Kontrastreduzierungsfaktor:

 $c_{\mathbf{R}} = 0.9$

K Dreiecks-Helligkeit t^*



FRS09_92aM; adaptierte CIELAB-Daten						
u_e^*	$L^*=L_a^*$	a^*_a	b^*_a	$C^*_{ab,a}$	$h^*_{ab,a}$	
O _{Ma}	38.8	53.92	39.68	66.95	36	
Y _{Ma}	82.58	-4.64	98.22	98.33	93	
L _{Ma}	46.95	-56.34	43.46	71.15	142	
C _{Ma}	54.62	-26.2	-28.68	38.85	228	
V _{Ma}	20.01	45.2	-52.87	69.56	311	
M _{Ma}	40.88	70.68	-29.99	76.78	337	
N _{Ma}	15.0	0.0	0.0	0.0	0	
W _{Ma}	90.0	0.0	0.0	0.0	0	
R _{Ma}	39.92	58.74	27.99	65.07	25	
J _{Ma}	81.26	-2.89	71.56	71.62	92	
G _{Ma}	52.23	-42.42	13.6	44.55	162	
B _{Ma}	30.57	1.41	-46.47	46.49	272	

Daten für Maximalfarbe (Ma):

LAB*LAB*_{M2}: 34 62 -38

LAP*ICH* : 34 73 328

LABLCH***Ma*: 34 73 35**

*lab*rgb*_Ma: 1.0 0.0 1.0*

lab*olv*Ma: 0.68 0.0 1.0

Dreiecks-Helligkeit t^*

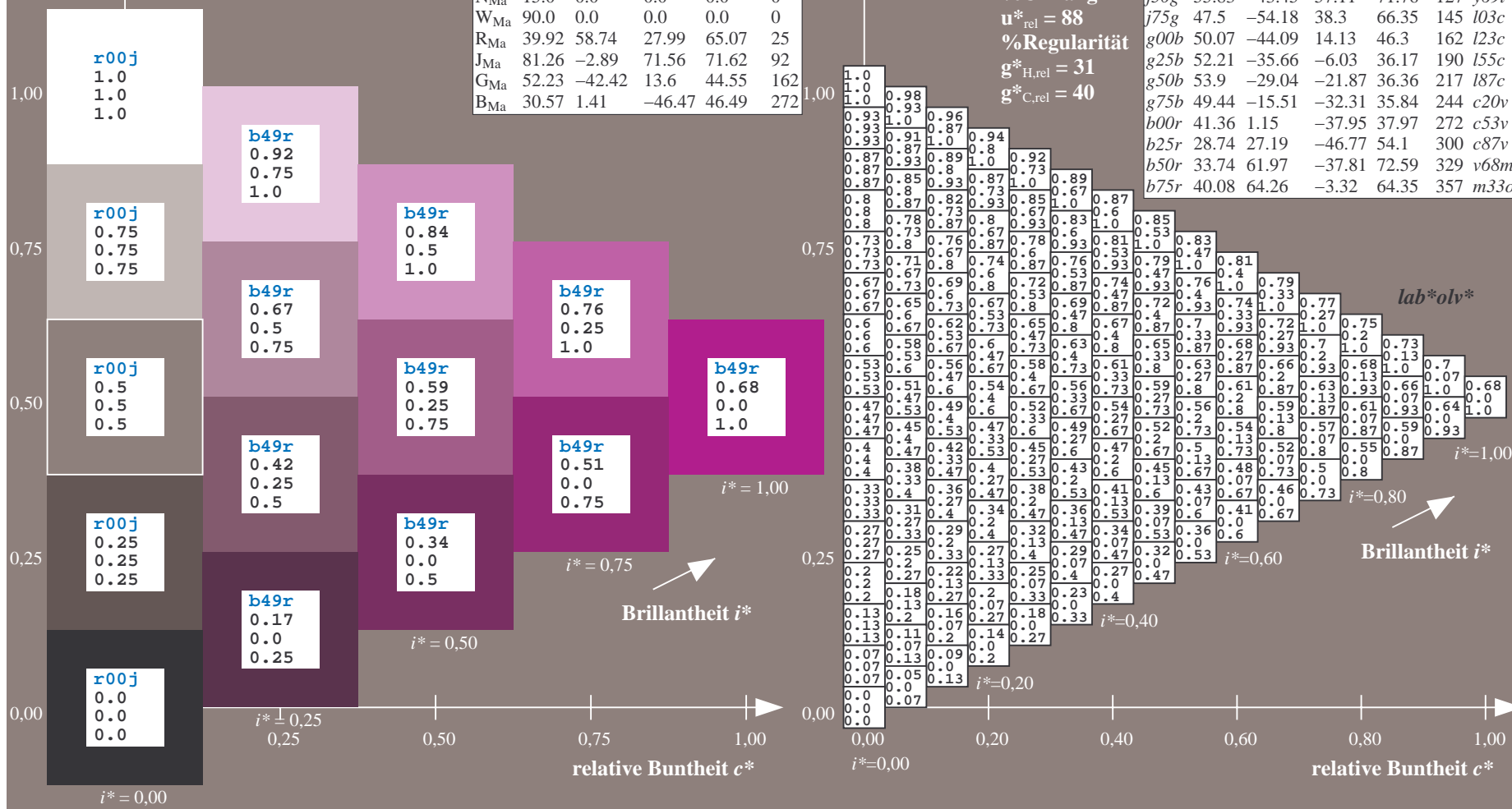
%Umfang

$$\mathbf{u}_{\text{rel}}^* = 88$$

%Regularität

$$g^*_{H,rel} = 31$$
$$g^*_{C,rel} = 40$$

FRS09_92aM; adaptierte CIELAB-Daten							
u_e^*	$L^*=L_a^*$	a_a^*	b_a^*	$C_{ab,a}^*$	$h_{ab,a}^*$	u_d^*	
<i>r00j</i>	39.18	56.94	27.13	63.07	25	<i>m81c</i>	
<i>r25j</i>	42.41	49.1	44.5	66.26	42	<i>o10y</i>	
<i>r50j</i>	52.78	35.22	58.37	68.17	59	<i>o40y</i>	
<i>r75j</i>	64.82	19.12	74.47	76.89	76	<i>o69y</i>	
<i>j00g</i>	82.06	-3.94	97.52	97.6	92	<i>o89y</i>	
<i>j25g</i>	67.26	-26.87	74.67	79.36	110	<i>y34l</i>	
<i>j50g</i>	55.83	-43.45	57.11	71.76	127	<i>y69l</i>	
<i>j75g</i>	47.5	-54.18	38.3	66.35	145	<i>i03c</i>	
<i>g00b</i>	50.07	-44.09	14.13	46.3	162	<i>i23c</i>	
<i>g25b</i>	52.21	-35.66	-6.03	36.17	190	<i>i55c</i>	
<i>g50b</i>	53.9	-29.04	-21.87	36.36	217	<i>i87c</i>	
<i>g75b</i>	49.44	-15.51	-32.31	35.84	244	<i>c20v</i>	
<i>b00r</i>	41.36	1.15	-37.95	37.97	272	<i>c53v</i>	
<i>b25r</i>	28.74	27.19	-46.77	54.1	300	<i>c87v</i>	
<i>b50r</i>	33.74	61.97	-37.81	72.59	329	<i>v68m</i>	
<i>b75r</i>	40.08	64.26	-3.32	64.35	357	<i>m33s</i>	



BAM-Prüfvorlage Eg33; Farbmimetrik-Systeme, Seite 52/198

D65: Farbreihen, Datentabellen für 16 Bunttöne $r00j$ bis $b75r$

Eingabe: $000n / w / nnn0 / www \text{ set} \dots$

Ausgabe: $\rightarrow cmy0^* \text{ setcmykcolor}$

Ein und Ausgabe: Farbmetrisches Drucker-Reflektiv-System FRS09_92aM für relativen CIELAB-Buntton $h^* = lab^*h^* = h_{ab}/360 = 0.992$

Daten für jede Farbe:

lab^*tch^* und lab^*icu^*

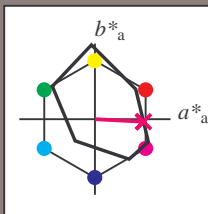
Bunttontexte:

$u^*_e = b75r$ $u^*_d = m33o$

Kontrastreduzierungsfaktor:

$c_R = 0.9$

Dreiecks-Helligkeit i^*



FRS09_92aM; adaptierte CIELAB-Daten

	u^*_e	$L^*=L^*_a$	a^*_a	b^*_a	$C^*_{ab,a}$	$h^*_{ab,a}$
O _{Ma}	38.8	53.92	39.68	66.95	36	
Y _{Ma}	82.58	-4.64	98.22	98.33	93	
L _{Ma}	46.95	-56.34	43.46	71.15	142	
C _{Ma}	54.62	-26.2	-28.68	38.85	228	
V _{Ma}	20.01	45.2	-52.87	69.56	311	
M _{Ma}	40.88	70.68	-29.99	76.78	337	
N _{Ma}	15.0	0.0	0.0	0.0	0	
W _{Ma}	90.0	0.0	0.0	0.0	0	
R _{Ma}	39.92	58.74	27.99	65.07	25	
J _{Ma}	81.26	-2.89	71.56	71.62	92	
G _{Ma}	52.23	-42.42	13.6	44.55	162	
B _{Ma}	30.57	1.41	-46.47	46.49	272	

Daten für Maximalfarbe (Ma):

$LAB^*LAB^*_{Ma}$: 40 64 -3

$LAB^*LCH^*_{Ma}$: 40 64 357

$lab^*rgb^*_{Ma}$: 1.0 0.0 0.5

$lab^*olv^*_{Ma}$: 1.0 0.0 0.66

Dreiecks-Helligkeit i^*

%Umfang

$u^*_{rel} = 88$

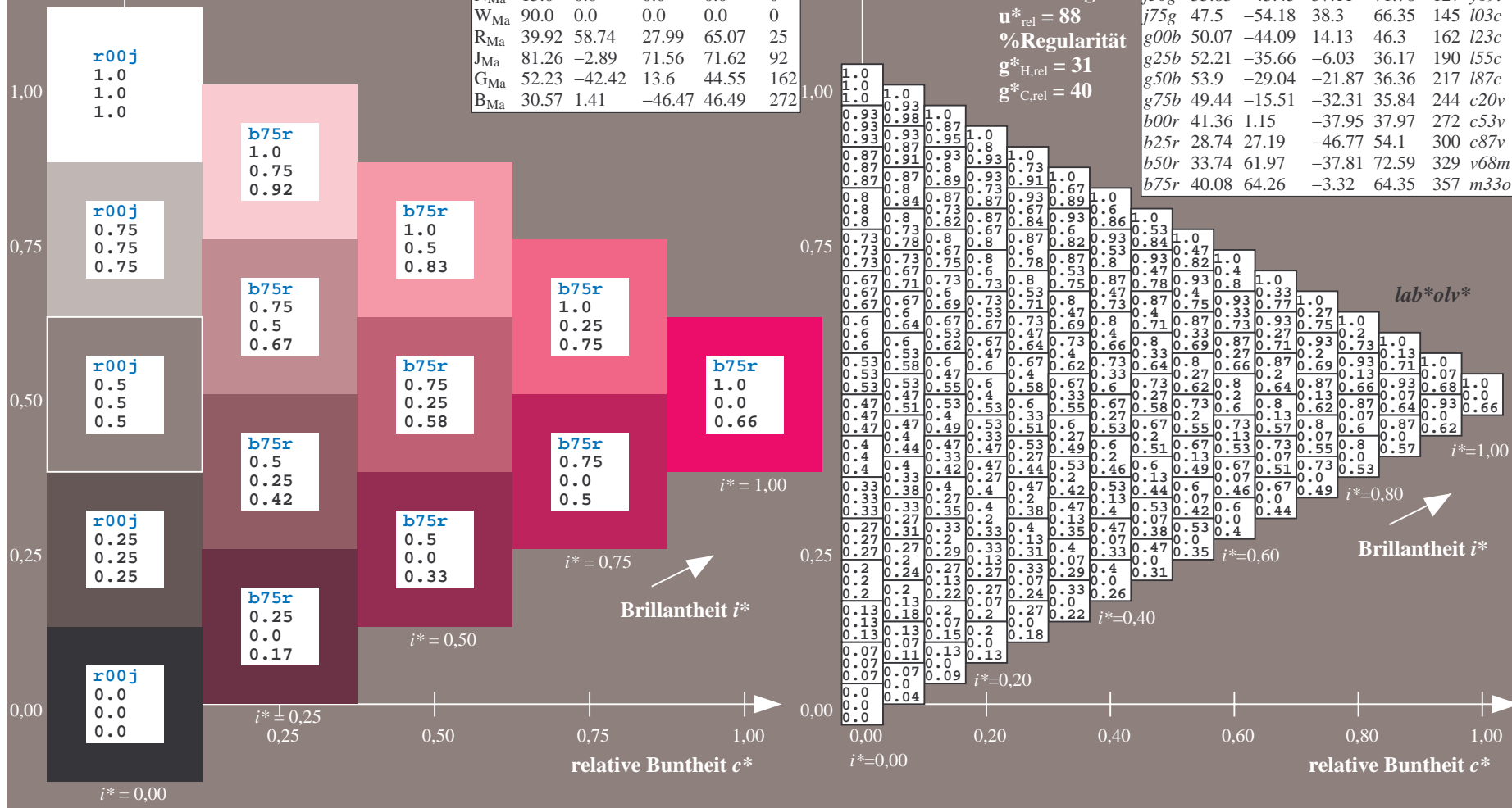
%Regularität

$g^*_{H,rel} = 31$

$g^*_{C,rel} = 40$

FRS09_92aM; adaptierte CIELAB-Daten

	u^*_e	$L^*=L^*_a$	a^*_a	b^*_a	$C^*_{ab,a}$	$h^*_{ab,a}$	u^*_d
r00j	39.18	56.94	27.13	63.07	25	m81o	
r25j	42.41	49.1	44.5	66.26	42	o10y	
r50j	52.78	35.22	58.37	68.17	59	o40y	
r75j	64.82	19.12	74.47	76.89	76	o69y	
j00g	82.06	-3.94	97.52	97.6	92	o98y	
j25g	67.26	-26.87	74.67	79.36	110	y34l	
j50g	55.83	-43.45	57.11	71.76	127	y69l	
j75g	47.5	-54.18	38.3	66.35	145	i03c	
g00b	50.07	-44.09	14.13	46.3	162	i23c	
g25b	52.21	-35.66	-6.03	36.17	190	i55c	
g50b	53.9	-29.04	-21.87	36.36	217	i87c	
g75b	49.44	-15.51	-32.31	35.84	244	c20v	
b00r	41.36	1.15	-37.95	37.97	272	c53v	
b25r	28.74	27.19	-46.77	54.1	300	c87v	
b50r	33.74	61.97	-37.81	72.59	329	v68m	
b75r	40.08	64.26	-3.32	64.35	357	m33o	



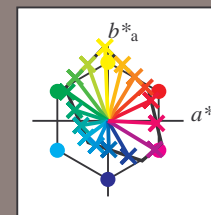
Siehe ähnliche Dateien: <http://www.ps.bam.de/Eg33/>; www.ps.bam.de/Eg.HTM
Technische Information: <http://www.ps.bam.de> Version 2.1, io=1.1, ColSp=0

BAM-Registrierung: 20081001-Eg33/10/L33G00NP.PS/.PDF BAM-Materialien
- Anwendung für Beurteilung und Messung von Drucker- oder Monitorsystemen

	A	B	C	D	E	F	G	H	I	J	K	L	M	N	O	P	Q	R	S	T	U	V	W	X	Y	Z	a	b	c	d	e	f	g	h	i	j	k	lab*olv*		
01	0.0	0.0	0.0	0.0	0.0	0.0	0.0	0.0	0.0	0.0	0.13	0.12	0.12	0.12	0.12	0.12	0.12	0.12	0.25	0.25	0.25	0.25	0.25	0.25	0.25	0.25	0.25	1.0	1.0	1.0	1.0	1.0	1.0	1.0	1.0	1.0	1.0	0.0	0.0	
	0.0	0.13	0.25	0.38	0.5	0.63	0.75	0.88	1.0	0.0	0.13	0.25	0.38	0.5	0.63	0.75	0.88	1.0	0.0	0.12	0.25	0.38	0.5	0.63	0.75	0.88	1.0	1.0	0.88	0.75	0.63	0.5	0.38	0.25	0.13	0.0	0.0	0.0	0.0	
	0.0	0.0	0.0	0.0	0.0	0.0	0.0	0.0	0.0	0.0	0.0	0.0	0.0	0.0	0.0	0.0	0.0	0.0	0.0	0.0	0.0	0.0	0.0	0.0	0.0	0.0	0.0	1.0	0.88	0.75	0.63	0.5	0.38	0.25	0.13	0.0	0.0	0.0	0.0	
02	0.0	0.0	0.0	0.0	0.0	0.0	0.0	0.0	0.0	0.12	0.13	0.13	0.13	0.13	0.13	0.13	0.13	0.13	0.25	0.25	0.25	0.25	0.25	0.25	0.25	0.25	0.25	0.88	0.88	0.88	0.88	0.88	0.88	0.88	0.88	0.88	0.88	0.13	0.13	0.13
	0.0	0.12	0.25	0.38	0.5	0.63	0.75	0.88	1.0	0.0	0.13	0.25	0.38	0.5	0.63	0.75	0.88	1.0	0.0	0.13	0.25	0.38	0.5	0.63	0.75	0.88	1.0	1.0	0.88	0.75	0.63	0.5	0.38	0.25	0.13	0.0	0.13	0.13	0.13	
	0.13	0.13	0.12	0.12	0.12	0.12	0.12	0.12	0.12	0.13	0.13	0.13	0.13	0.13	0.13	0.13	0.13	0.13	0.12	0.13	0.13	0.13	0.13	0.13	0.13	0.13	0.13	1.0	0.88	0.75	0.63	0.5	0.38	0.25	0.13	0.0	0.13	0.13	0.13	
03	0.0	0.0	0.0	0.0	0.0	0.0	0.0	0.0	0.0	0.12	0.13	0.13	0.13	0.13	0.13	0.13	0.13	0.13	0.25	0.25	0.25	0.25	0.25	0.25	0.25	0.25	0.25	0.75	0.75	0.75	0.75	0.75	0.75	0.75	0.75	0.75	0.75	0.25	0.25	0.25
	0.0	0.12	0.25	0.38	0.5	0.63	0.75	0.88	1.0	0.0	0.13	0.25	0.38	0.5	0.63	0.75	0.88	1.0	0.0	0.13	0.25	0.38	0.5	0.63	0.75	0.88	1.0	1.0	0.87	0.75	0.63	0.5	0.38	0.25	0.13	0.0	0.25	0.25	0.25	
	0.25	0.25	0.25	0.25	0.25	0.25	0.25	0.25	0.25	0.25	0.13	0.13	0.13	0.13	0.13	0.13	0.13	0.13	0.25	0.25	0.25	0.25	0.25	0.25	0.25	0.25	0.25	1.0	0.87	0.75	0.63	0.5	0.38	0.25	0.13	0.0	0.25	0.25	0.25	
04	0.0	0.0	0.0	0.0	0.0	0.0	0.0	0.0	0.0	0.12	0.13	0.13	0.13	0.13	0.13	0.13	0.13	0.13	0.25	0.25	0.25	0.25	0.25	0.25	0.25	0.25	0.25	0.63	0.63	0.63	0.63	0.63	0.63	0.63	0.63	0.63	0.63	0.38	0.38	0.38
	0.0	0.12	0.25	0.37	0.5	0.63	0.75	0.88	1.0	0.0	0.13	0.25	0.37	0.5	0.63	0.75	0.88	1.0	0.0	0.13	0.25	0.37	0.5	0.63	0.75	0.88	1.0	1.0	0.87	0.75	0.63	0.5	0.38	0.25	0.13	0.0	0.38	0.38	0.38	
	0.38	0.38	0.38	0.38	0.37	0.37	0.37	0.37	0.37	0.38	0.38	0.38	0.37	0.37	0.37	0.37	0.37	0.37	0.38	0.38	0.38	0.37	0.37	0.37	0.37	0.37	0.37	1.0	0.88	0.75	0.63	0.5	0.38	0.25	0.13	0.0	0.38	0.38	0.38	
05	0.0	0.0	0.0	0.0	0.0	0.0	0.0	0.0	0.0	0.12	0.13	0.13	0.13	0.13	0.13	0.13	0.13	0.13	0.25	0.25	0.25	0.25	0.25	0.25	0.25	0.25	0.25	0.5	0.5	0.5	0.5	0.5	0.5	0.5	0.5	0.5	0.5	0.5	0.5	
	0.0	0.12	0.25	0.37	0.5	0.63	0.75	0.88	1.0	0.0	0.13	0.25	0.37	0.5	0.63	0.75	0.88	1.0	0.0	0.13	0.25	0.37	0.5	0.63	0.75	0.88	1.0	1.0	0.87	0.75	0.62	0.5	0.38	0.25	0.13	0.0	0.5	0.5	0.5	
	0.0	0.0	0.0	0.0	0.0	0.0	0.0	0.0	0.0	0.12	0.13	0.13	0.13	0.13	0.13	0.13	0.13	0.13	0.25	0.25	0.25	0.25	0.25	0.25	0.25	0.25	0.25	0.38	0.38	0.38	0.38	0.38	0.38	0.38	0.38	0.38	0.38	0.63	0.63	
06	0.0	0.12	0.25	0.37	0.5	0.62	0.75	0.88	1.0	0.0	0.13	0.25	0.37	0.5	0.62	0.75	0.88	1.0	0.0	0.13	0.25	0.37	0.5	0.62	0.75	0.88	1.0	1.0	0.87	0.75	0.62	0.5	0.38	0.25	0.13	0.0	0.63	0.63	0.63	
	0.63	0.63	0.63	0.63	0.63	0.63	0.62	0.62	0.62	0.63	0.63	0.63	0.63	0.63	0.63	0.62	0.62	0.62	0.63	0.63	0.63	0.63	0.63	0.63	0.62	0.62	0.62	1.0	0.88	0.75	0.63	0.5	0.38	0.25	0.13	0.0	0.63	0.63	0.63	
07	0.0	0.0	0.0	0.0	0.0	0.0	0.0	0.0	0.0	0.12	0.13	0.13	0.13	0.13	0.13	0.13	0.13	0.13	0.25	0.25	0.25	0.25	0.25	0.25	0.25	0.25	0.25	0.25	0.25	0.25	0.25	0.25	0.25	0.25	0.25	0.25	0.25	0.75	0.75	
	0.0	0.12	0.25	0.37	0.5	0.62	0.75	0.88	1.0	0.0	0.13	0.25	0.37	0.5	0.62	0.75	0.88	1.0	0.0	0.13	0.25	0.37	0.5	0.62	0.75	0.88	1.0	1.0	0.87	0.75	0.62	0.5	0.37	0.25	0.13	0.0	0.75	0.75	0.75	
	0.75	0.75	0.75	0.75	0.75	0.75	0.75	0.75	0.75	0.75	0.75	0.75	0.75	0.75	0.75	0.75	0.75	0.75	0.75	0.75	0.75	0.75	0.75	0.75	0.75	0.75	0.75	1.0	0.88	0.75	0.63	0.5	0.38	0.25	0.13	0.0	0.75	0.75	0.75	
08	0.0	0.0	0.0	0.0	0.0	0.0	0.0	0.0	0.0	0.12	0.13	0.13	0.13	0.13	0.13	0.13	0.13	0.13	0.25	0.25	0.25	0.25	0.25	0.25	0.25	0.25	0.25	0.13	0.13	0.13	0.13	0.13	0.13	0.13	0.13	0.88	0.88	0.88		
	0.0	0.12	0.25	0.37	0.5	0.62	0.75	0.87	1.0	0.0	0.13	0.25	0.37	0.5	0.62	0.75	0.87	1.0	0.0	0.13	0.25	0.37	0.5	0.62	0.75	0.87	1.0	1.0	0.87	0.75	0.62	0.5	0.37	0.25	0.13	0.0	0.88	0.88	0.88	
	0.88	0.88	0.88	0.88	0.88	0.88	0.88	0.88	0.87	0.88	0.88	0.88	0.88	0.88	0.88	0.88	0.88	0.87	0.88	0.88	0.88	0.88	0.88	0.88	0.88	0.88	0.87	1.0	0.88	0.75	0.63	0.5	0.38	0.25	0.13	0.0	0.88	0.88	0.88	
09	0.0	0.0	0.0	0.0	0.0	0.0	0.0	0.0	0.0	0.12	0.13	0.13	0.13	0.13	0.13	0.13	0.13	0.13	0.25	0.25	0.25	0.25	0.25	0.25	0.25	0.25	0.25	0.0	0.0	0.0	0.0	0.0	0.0	0.0	0.0	1.0	1.0	1.0		
	0.0	0.12	0.25	0.37	0.5	0.62	0.75	0.87	1.0	0.0	0.13	0.25	0.37	0.5	0.62	0.75	0.87	1.0	0.0	0.13	0.25	0.37	0.5	0.62	0.75	0.87	1.0	1.0	0.87	0.75	0.62	0.5	0.37	0.25	0.12	0.0	1.0	1.0		
	1.0	1.0	1.0	1.0	1.0	1.0	1.0	1.0	1.0	1.0	1.0	1.0	1.0	1.0	1.0	1.0	1.0	1.0	1.0	1.0	1.0	1.0	1.0	1.0	1.0	1.0	1.0	1.0	0.88	0.75	0.63	0.5	0.38	0.25	0.13	0.0	1.0	1.0		
10	0.38	0.38	0.38	0.37	0.37	0.37	0.37	0.37	0.37	0.37	0.5	0.5	0.5	0.5	0.5	0.5	0.5	0.5	0.63	0.63	0.63	0.63	0.62	0.62	0.62	0.62	0.62	1.0	1.0	1.0	1.0	1.0	1.0	1.0	1.0	1.0	1.0	0.0	0.0	
	0.0	0.12	0.25	0.38	0.5	0.63	0.75	0.88	1.0	0.0	0.12	0.25	0.37	0.5	0.63	0.75	0.88	1.0	0.0	0.12	0.25	0.37	0.5	0.63	0.75	0.88	1.0	1.0	1.0	1.0	1.0	1.0	1.0	1.0	1.0	1.0	0.0	0.0		
	0.0	0.0	0.0	0.0	0.0	0.0	0.0	0.0	0.0	0.0	0.0	0.0	0.0	0.0	0.0	0.0	0.0	0.0	0.0	0.0	0.0	0.0	0.0	0.0	0.0	0.0	0.0	1.0	0.88	0.75	0.63	0.5	0.38	0.25	0.13	0.0	0.0	0.0		
11	0.38	0.38	0.38	0.37	0.37	0.37	0.37	0.37	0.37	0.37	0.5	0.5	0.5	0.5	0.5	0.5	0.5	0.5	0.63	0.63	0.63	0.63	0.62	0.62	0.62	0.62	0.62	0.88	0.88	0.87	0.87	0.87	0.87	0.87	0.87	0.87	0.87	0.07	0.07	
	0.0	0.13	0.25	0.38	0.5	0.63	0.75	0.88	1.0	0.0	0.13	0.25	0.37	0.5	0.63	0.75	0.88	1.0	0.0	0.13	0.25	0.37	0.5	0.63	0.75	0.88	1.0	1.0	0.88	0.88	0.88	0.88	0.88	0.88	0.88	0.88	0.88	0.88	0.07	0.07
	0.12	0.13	0.13	0.13	0.13	0.13	0.13	0.13	0.13	0.12	0.13	0.13	0.13	0.13	0.13	0.13	0.13	0.13	0.12	0.13	0.13	0.13	0.13	0.13	0.13	0.13	0.13	1.0	0.88	0.75	0.63	0.5	0.38	0.25	0.13	0.0	0.07	0.07		
12	0.38	0.38	0.38	0.37	0.37	0.37	0.37	0.37	0.37	0.37	0.5	0.5	0.5	0.5	0.5	0.5	0.5	0.5	0.63	0.63	0.63	0.63	0.62	0.62	0.62	0.62	0.62	0.75	0.75	0.75	0.75	0.75	0.75	0.75	0.75	0.75	0.75	0.13	0.13	
	0.0	0.13	0.25	0.38	0.5	0.63	0.75	0.88	1.0	0.0	0.13	0.25	0.37	0.5	0.63	0.75	0.88	1.0	0.0	0.13	0.25	0.37	0.5	0.63	0.75	0.88	1.0	1.0	0.87	0.75	0.63	0.5	0.38	0.25	0.13	0.0	0.13	0.13		
	0.25	0.25	0.25	0.25	0.25	0.25	0.25	0.25	0.25	0.25	0.25	0.25	0.25	0.25	0.25	0.25	0.25	0.25	0.25	0.25	0.25	0.25	0.25	0.25	0.25	0.25	1.0	0.88	0.75	0.63	0.5	0.38	0.25	0.13	0.0	0.13	0.13			
13	0.37	0.37	0.37	0.38	0.38	0.3																																		

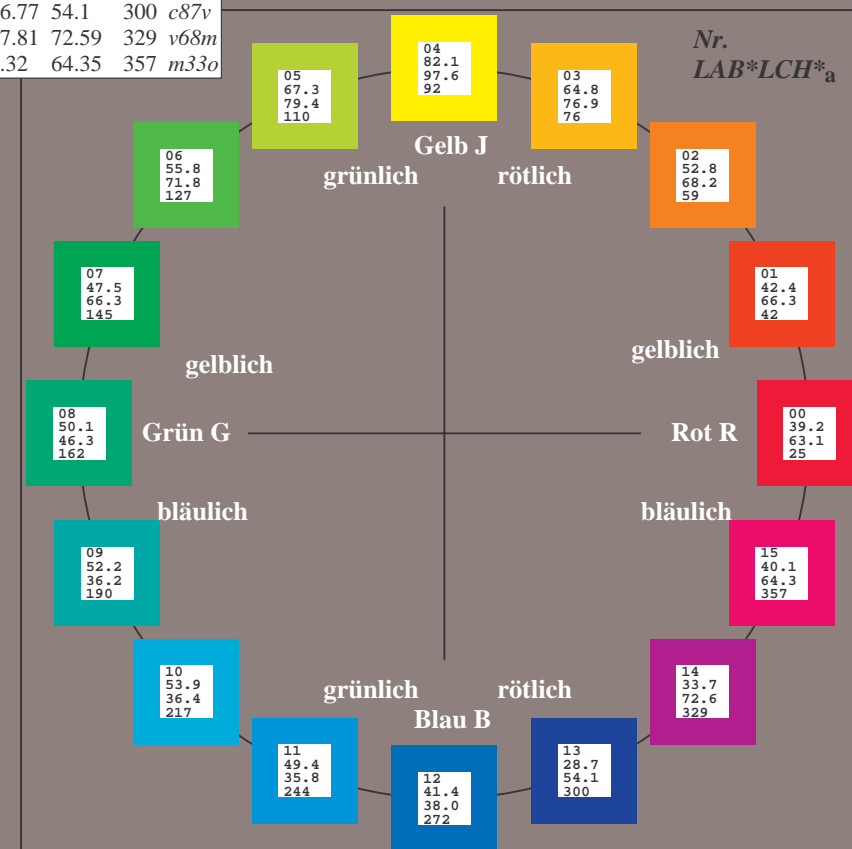
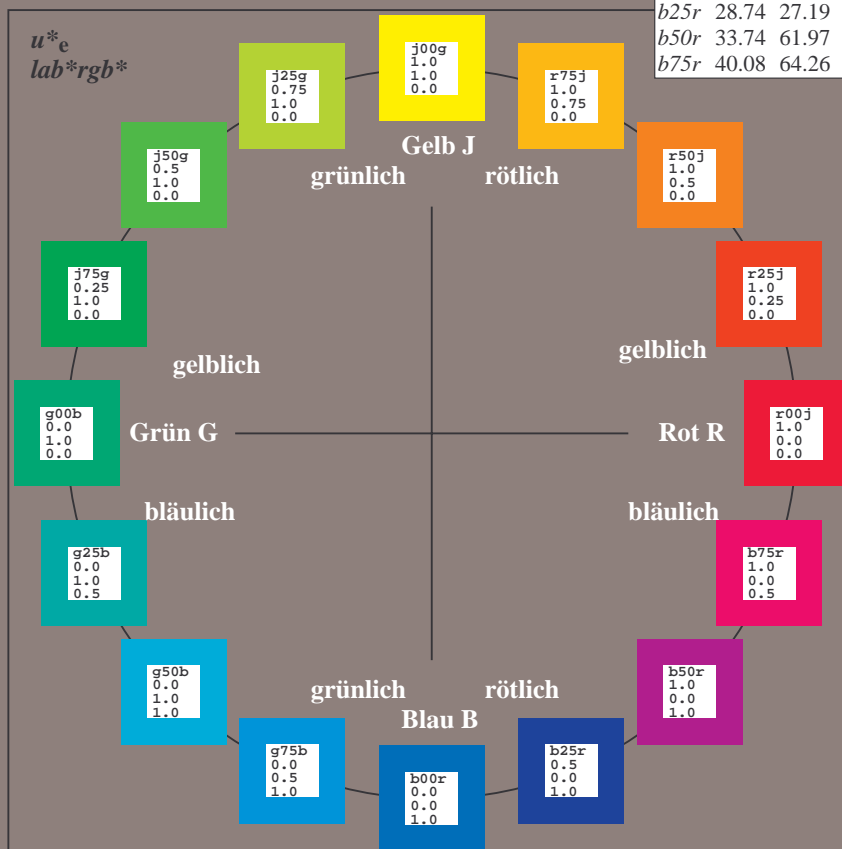
Ein und Ausgabe:
Farbmetrisches Drucker-Reflektiv-System FRS09_92aM
Daten für jede Farbe:
 u^*_e und Nummer $Nr.$ = 00 .. 15
Elementar-Bunttontext:
 $u^*_e = 16$ Bunttoene $r00j, r25j, \dots, b75r$
Kontrastreduzierungsfaktor:
 $c_R = 0.9$

FRS09_92aM; adaptierte CIELAB-Daten						
u^*_e	$L^*=L^*_a$	a^*_a	b^*_a	$C^*_{ab,a}$	$h^*_{ab,a}$	u^*_d
$r00j$	39.18	56.94	27.13	63.07	25	$m81o$
$r25j$	42.41	49.1	44.5	66.26	42	$o10y$
$r50j$	52.78	35.22	58.37	68.17	59	$o40y$
$r75j$	64.82	19.12	74.47	76.89	76	$o69y$
$j00g$	82.06	-3.94	97.52	97.6	92	$o98y$
$j25g$	67.26	-26.87	74.67	79.36	110	$y34l$
$j50g$	55.83	-43.45	57.11	71.76	127	$y69l$
$j75g$	47.5	-54.18	38.3	66.35	145	$l03c$
$g00b$	50.07	-44.09	14.13	46.3	162	$l23c$
$g25b$	52.21	-35.66	-6.03	36.17	190	$l55c$
$g50b$	53.9	-29.04	-21.87	36.36	217	$l87c$
$g75b$	49.44	-15.51	-32.31	35.84	244	$c20v$
$b00r$	41.36	1.15	-37.95	37.97	272	$c53v$
$b25r$	28.74	27.19	-46.77	54.1	300	$c87v$
$b50r$	33.74	61.97	-37.81	72.59	329	$v68m$
$b75r$	40.08	64.26	-3.32	64.35	357	$m33o$



%Umfang
 $u^*_{rel} = 88$
%Regularität
 $g^*_{H,rel} = 31$
 $g^*_{C,rel} = 40$

FRS09_92aM; adaptierte CIELAB-Daten					
Name	$L^*=L^*_a$	a^*_a	b^*_a	$C^*_{ab,a}$	$h^*_{ab,a}$
O_{Ma}	38.8	53.92	39.68	66.95	36
Y_{Ma}	82.58	-4.64	98.22	98.33	93
L_{Ma}	46.95	-56.34	43.46	71.15	142
C_{Ma}	54.62	-26.2	-28.68	38.85	228
V_{Ma}	20.01	45.2	-52.87	69.56	311
M_{Ma}	40.88	70.68	-29.99	76.78	337
N_{Ma}	15.0	0.0	0.0	0.0	0
W_{Ma}	90.0	0.0	0.0	0.0	0
R_{CIE}	39.92	58.74	27.99	65.07	25
J_{CIE}	81.26	-2.89	71.56	71.62	92
G_{CIE}	52.23	-42.42	13.6	44.55	162
B_{CIE}	30.57	1.41	-46.47	46.49	272



Ein und Ausgabe: Farbmetrisches Drucker-Reflektiv-System FRS09_92aM für relativen CIELAB-Buntton $h^* = lab^*h^* = h_{ab}/360 = 0.071$

Daten für jede Farbe:

lab^*tch^* und lab^*icu^*

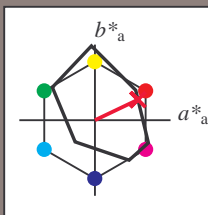
Bunttontexte:

$u^*_e = r00j$ $u^*_d = m81o$

Kontrastreduzierungsfaktor:

$c_R = 0.9$

Dreiecks-Helligkeit i^*



FRS09_92aM; adaptierte CIELAB-Daten						
u^*_e	$L^*=L^*_a$	a^*_a	b^*_a	$C^*_{ab,a}$	$h^*_{ab,a}$	
O _{Ma}	38.8	53.92	39.68	66.95	36	
Y _{Ma}	82.58	-4.64	98.22	98.33	93	
L _{Ma}	46.95	-56.34	43.46	71.15	142	
C _{Ma}	54.62	-26.2	-28.68	38.85	228	
V _{Ma}	20.01	45.2	-52.87	69.56	311	
M _{Ma}	40.88	70.68	-29.99	76.78	337	
N _{Ma}	15.0	0.0	0.0	0.0	0	
W _{Ma}	90.0	0.0	0.0	0.0	0	
R _{Ma}	39.92	58.74	27.99	65.07	25	
J _{Ma}	81.26	-2.89	71.56	71.62	92	
G _{Ma}	52.23	-42.42	13.6	44.55	162	
B _{Ma}	30.57	1.41	-46.47	46.49	272	

Daten für Maximalfarbe (Ma):

$LAB^*LAB^*_{Ma}$: 39 57 27

$LAB^*LCH^*_{Ma}$: 39 63 25

$lab^*rgb^*_{Ma}$: 1.0 0.0 0.0

$lab^*olv^*_{Ma}$: 1.0 0.0 0.18

Dreiecks-Helligkeit i^*

%Umfang

$u^*_{rel} = 88$

%Regularität

$g^*_{H,rel} = 31$

$g^*_{C,rel} = 40$

FRS09_92aM; adaptierte CIELAB-Daten						
u^*_e	$L^*=L^*_a$	a^*_a	b^*_a	$C^*_{ab,a}$	$h^*_{ab,a}$	u^*_d
r00j	39.18	56.94	27.13	63.07	25	m81o
r25j	42.41	49.1	44.5	66.26	42	o10y
r50j	52.78	35.22	58.37	68.17	59	o40y
r75j	64.82	19.12	74.47	76.89	76	o69y
j00g	82.06	-3.94	97.52	97.6	92	o98y
j25g	67.26	-26.87	74.67	79.36	110	y34l
j50g	55.83	-43.45	57.11	71.76	127	y69l
j75g	47.5	-54.18	38.3	66.35	145	i03c
g00b	50.07	-44.09	14.13	46.3	162	i23c
g25b	52.21	-35.66	-6.03	36.17	190	i55c
g50b	53.9	-29.04	-21.87	36.36	217	i87c
g75b	49.44	-15.51	-32.31	35.84	244	c20v
b00r	41.36	1.15	-37.95	37.97	272	c53v
b25r	28.74	27.19	-46.77	54.1	300	c87v
b50r	33.74	61.97	-37.81	72.59	329	v68m
b75r	40.08	64.26	-3.32	64.35	357	m33o

lab^*rgb^*

$i^* = 1.00$

Brillantheit i^*

$i^* = 0.80$

$i^* = 0.60$

$i^* = 0.40$

$i^* = 0.20$

$i^* = 0.00$

relative Buntheit c^*

relative Buntheit c^*

Ein und Ausgabe: Farbmetrisches Drucker-Reflektiv-System FRS09_92aM für relativen CIELAB-Buntton $h^* = \text{lab}^*h^* = h_{ab}/360 = 0.117$

Daten für jede Farbe:

lab^*tch^* und lab^*icu^*

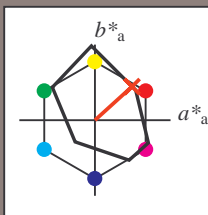
Bunttontexte:

$u^*_e = r25j$ $u^*_d = o10y$

Kontrastreduzierungsfaktor:

$c_R = 0.9$

Dreiecks-Helligkeit i^*



FRS09_92aM; adaptierte CIELAB-Daten

u^*_e	$L^*=L^*_a$	a^*_a	b^*_a	$C^*_{ab,a}$	$h^*_{ab,a}$
O _{Ma}	38.8	53.92	39.68	66.95	36
Y _{Ma}	82.58	-4.64	98.22	98.33	93
L _{Ma}	46.95	-56.34	43.46	71.15	142
C _{Ma}	54.62	-26.2	-28.68	38.85	228
V _{Ma}	20.01	45.2	-52.87	69.56	311
M _{Ma}	40.88	70.68	-29.99	76.78	337
N _{Ma}	15.0	0.0	0.0	0.0	0
W _{Ma}	90.0	0.0	0.0	0.0	0
R _{Ma}	39.92	58.74	27.99	65.07	25
J _{Ma}	81.26	-2.89	71.56	71.62	92
G _{Ma}	52.23	-42.42	13.6	44.55	162
B _{Ma}	30.57	1.41	-46.47	46.49	272

Daten für Maximalfarbe (Ma):

$\text{LAB}^*\text{LAB}^*_{\text{Ma}}$: 42 49 44

$\text{LAB}^*\text{LCH}^*_{\text{Ma}}$: 42 66 42

$\text{lab}^*\text{rgb}^*_{\text{Ma}}$: 1.0 0.25 0.0

$\text{lab}^*\text{olv}^*_{\text{Ma}}$: 1.0 0.1 0.0

Dreiecks-Helligkeit i^*

%Umfang

$u^*_{\text{rel}} = 88$

%Regularität

$g^*_{H,\text{rel}} = 31$

$g^*_{C,\text{rel}} = 40$

FRS09_92aM; adaptierte CIELAB-Daten

u^*_e	$L^*=L^*_a$	a^*_a	b^*_a	$C^*_{ab,a}$	$h^*_{ab,a}$	u^*_d
r00j	39.18	56.94	27.13	63.07	25	m81o
r25j	42.41	49.1	44.5	66.26	42	o10y
r50j	52.78	35.22	58.37	68.17	59	o40y
r75j	64.82	19.12	74.47	76.89	76	o69y
j00g	82.06	-3.94	97.52	97.6	92	o98y
j25g	67.26	-26.87	74.67	79.36	110	y34l
j50g	55.83	-43.45	57.11	71.76	127	y69l
j75g	47.5	-54.18	38.3	66.35	145	l03c
g00b	50.07	-44.09	14.13	46.3	162	l23c
g25b	52.21	-35.66	-6.03	36.17	190	l55c
g50b	53.9	-29.04	-21.87	36.36	217	l87c
g75b	49.44	-15.51	-32.31	35.84	244	c20v
b00r	41.36	1.15	-37.95	37.97	272	c53v
b25r	28.74	27.19	-46.77	54.1	300	c87v
b50r	33.74	61.97	-37.81	72.59	329	v68m
b75r	40.08	64.26	-3.32	64.35	357	m33o

lab^*rgb^*

$i^* = 1.00$

Brillantheit i^*

$i^* = 0.80$

$i^* = 0.60$

$i^* = 0.40$

$i^* = 0.20$

$i^* = 0.00$

relative Buntheit c^*

Ein und Ausgabe: Farbmétrisches Drucker-Reflektiv-System FRS09_92aM für relativen CIELAB-Buntton $h^* = lab^*h^* = h_{ab}/360 = 0.164$

Daten für jede Farbe:

*lab*tch** und *lab*icu**

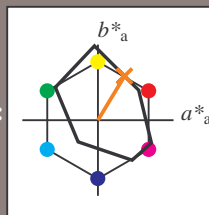
Bunttexte:

$$u_e^* = r50j \quad u_d^* = o40y$$

Kontrastreduzierungsfaktor:

 $c_R = 0.9$

Dreiecks-Helligkeit t^*



FRS09_92aM; adaptierte CIELAB-Daten						
u_e^*	$L^*=L_a^*$	a_a^*	b_a^*	$C^*_{ab,a}$	$h^*_{ab,a}$	
O _{Ma}	38.8	53.92	39.68	66.95	36	
Y _{Ma}	82.58	-4.64	98.22	98.33	93	
L _{Ma}	46.95	-56.34	43.46	71.15	142	
C _{Ma}	54.62	-26.2	-28.68	38.85	228	
V _{Ma}	20.01	45.2	-52.87	69.56	311	
M _{Ma}	40.88	70.68	-29.99	76.78	337	
N _{Ma}	15.0	0.0	0.0	0.0	0	
W _{Ma}	90.0	0.0	0.0	0.0	0	
R _{Ma}	39.92	58.74	27.99	65.07	25	
J _{Ma}	81.26	-2.89	71.56	71.62	92	
G _{Ma}	52.23	-42.42	13.6	44.55	162	
B _{Ma}	30.57	1.41	-46.47	46.49	272	

Daten für Maximalfarbe (Ma):

*LAB*LAB**M₂: 53 35 58

*LAB*LCH**M_a: 53 68 58

*lab*rch*Ma*: 53 68 5

*lab*rgb**_{Ma}: 1.0 0.5 0.0
*lab*oly**_{Ma}: 1.0 0.4 0.0

Dreiecks-Helligkeit t^*

Dreiecks-Helligkeit t^*

▲ %Un

%Umfang

$$u^*_{rel} = 88$$

%Regularität

$$g^*_{H,rel} = 31$$
$$g^*_{C,rel} = 40$$

FRS09_92aM; adaptierte CIELAB-Daten							
u_e	$L^*=L_a$	a^*_a	b^*_a	$C^*_{ab,a}$	$h^*_{ab,a}$	u_d	
<i>r00j</i>	39.18	56.94	27.13	63.07	25	<i>m81a</i>	
<i>r25j</i>	42.41	49.1	44.5	66.26	42	<i>o10y</i>	
<i>r50j</i>	52.78	35.22	58.37	68.17	59	<i>o40y</i>	
<i>r75j</i>	64.82	19.12	74.47	76.89	76	<i>o69y</i>	
<i>j00g</i>	82.06	-3.94	97.52	97.6	92	<i>o98y</i>	
<i>j25g</i>	67.26	-26.87	74.67	79.36	110	<i>y34l</i>	
<i>j50g</i>	55.83	-43.45	57.11	71.76	127	<i>y69l</i>	
<i>j75g</i>	47.5	-54.18	38.3	66.35	145	<i>l03c</i>	
<i>g00b</i>	50.07	-44.09	14.13	46.3	162	<i>l23c</i>	
<i>g25b</i>	52.21	-35.66	-6.03	36.17	190	<i>l55c</i>	
<i>g50b</i>	53.9	-29.04	-21.87	36.36	217	<i>l87c</i>	
<i>g75b</i>	49.44	-15.51	-32.31	35.84	244	<i>c20v</i>	
<i>b00r</i>	41.36	1.15	-37.95	37.77	272	<i>c53v</i>	
<i>b25r</i>	28.74	27.19	-46.77	54.1	300	<i>c87v</i>	
<i>b50r</i>	33.74	61.97	-37.81	72.59	329	<i>v68m</i>	
<i>b75r</i>	40.08	64.26	-3.32	64.35	357	<i>m33o</i>	

*lab*rgb**

0.0
i*-1.00

Brillantheit i*

Brillantheit i*

0,80	1,0
------	-----

BAM-Prüfvorlage Eg33; Farbmimetrik-Systeme, Seite 58/198 Eingabe: 000n / w / nnn0 / www set...
D65: Farbreihen, Datentabellen für 16 Bunttöne r00j bis b75r Ausgabe: ->cmy0* setcmykcolor

Ein und Ausgabe: Farbmetrisches Drucker-Reflektiv-System FRS09_92aM für relativen CIELAB-Buntton $h^* = lab^*h^* = h_{ab}/360 = 0.21$

Daten für jede Farbe:

lab^*tch^* und lab^*icu^*

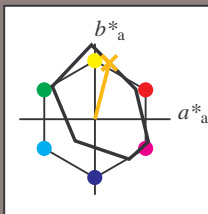
Bunttontexte:

$u^*_e = r75j$ $u^*_d = o69y$

Kontrastreduzierungsfaktor:

$c_R = 0.9$

Dreiecks-Helligkeit i^*



FRS09_92aM; adaptierte CIELAB-Daten						
	u^*_e	$L^*=L^*_a$	a^*_a	b^*_a	$C^*_{ab,a}$	$h^*_{ab,a}$
O _{Ma}	38.8	53.92	39.68	66.95	36	
Y _{Ma}	82.58	-4.64	98.22	98.33	93	
L _{Ma}	46.95	-56.34	43.46	71.15	142	
C _{Ma}	54.62	-26.2	-28.68	38.85	228	
V _{Ma}	20.01	45.2	-52.87	69.56	311	
M _{Ma}	40.88	70.68	-29.99	76.78	337	
N _{Ma}	15.0	0.0	0.0	0.0	0	
W _{Ma}	90.0	0.0	0.0	0.0	0	
R _{Ma}	39.92	58.74	27.99	65.07	25	
J _{Ma}	81.26	-2.89	71.56	71.62	92	
G _{Ma}	52.23	-42.42	13.6	44.55	162	
B _{Ma}	30.57	1.41	-46.47	46.49	272	

Daten für Maximalfarbe (Ma):

$LAB^*LAB^*_{Ma}$: 65 19 74

$LAB^*LCH^*_{Ma}$: 65 77 75

$lab^*rgb^*_{Ma}$: 1.0 0.75 0.0

$lab^*olv^*_{Ma}$: 1.0 0.7 0.0

Dreiecks-Helligkeit i^*

%Umfang

$u^*_{rel} = 88$

%Regularität

$g^*_{H,rel} = 31$

$g^*_{C,rel} = 40$

FRS09_92aM; adaptierte CIELAB-Daten						
	u^*_e	$L^*=L^*_a$	a^*_a	b^*_a	$C^*_{ab,a}$	$h^*_{ab,a}$
r00j	39.18	56.94	27.13	63.07	25	m81o
r25j	42.41	49.1	44.5	66.26	42	o10y
j50j	52.78	35.22	58.37	68.17	59	o40y
r75j	64.82	19.12	74.47	76.89	76	o69y
j00g	82.06	-3.94	97.52	97.6	92	o98y
j25g	67.26	-26.87	74.67	79.36	110	y34l
j50g	55.83	-43.45	57.11	71.76	127	y69l
j75g	47.5	-54.18	38.3	66.35	145	i03c
g00b	50.07	-44.09	14.13	46.3	162	i23c
g25b	52.21	-35.66	-6.03	36.17	190	i55c
g50b	53.9	-29.04	-21.87	36.36	217	i87c
g75b	49.44	-15.51	-32.31	35.84	244	c20v
b00r	41.36	1.15	-37.95	37.97	272	c53v
b25r	28.74	27.19	-46.77	54.1	300	c87v
b50r	33.74	61.97	-37.81	72.59	329	v68m
b75r	40.08	64.26	-3.32	64.35	357	m33o

lab^*rgb^*

$i^* = 1.00$

Brillantheit i^*

$i^* = 0.80$

$i^* = 0.60$

$i^* = 0.40$

$i^* = 0.20$

$i^* = 0.00$

relative Buntheit c^*

Ein und Ausgabe: Farbmetrisches Drucker-Reflektiv-System FRS09_92aM für relativen CIELAB-Buntton $h^* = lab^*h^* = h_{ab}/360 = 0.256$

Daten für jede Farbe:

lab^*tch^* und lab^*icu^*

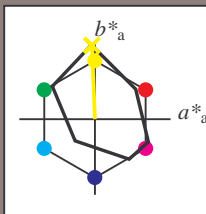
Bunttontexte:

$u^*_e = j00g$ $u^*_d = o98y$

Kontrastreduzierungsfaktor:

$c_R = 0.9$

Dreiecks-Helligkeit i^*



FRS09_92aM; adaptierte CIELAB-Daten

u^*_e	$L^*=L^*_a$	a^*_a	b^*_a	$C^*_{ab,a}$	$h^*_{ab,a}$
O _{Ma}	38.8	53.92	39.68	66.95	36
Y _{Ma}	82.58	-4.64	98.22	98.33	93
L _{Ma}	46.95	-56.34	43.46	71.15	142
C _{Ma}	54.62	-26.2	-28.68	38.85	228
V _{Ma}	20.01	45.2	-52.87	69.56	311
M _{Ma}	40.88	70.68	-29.99	76.78	337
N _{Ma}	15.0	0.0	0.0	0.0	0
W _{Ma}	90.0	0.0	0.0	0.0	0
R _{Ma}	39.92	58.74	27.99	65.07	25
J _{Ma}	81.26	-2.89	71.56	71.62	92
G _{Ma}	52.23	-42.42	13.6	44.55	162
B _{Ma}	30.57	1.41	-46.47	46.49	272

Daten für Maximalfarbe (Ma):

$LAB^*LAB^*_{Ma}$: 82 -4 98

$LAB^*LCH^*_{Ma}$: 82 98 92

$lab^*rgb^*_{Ma}$: 1.0 1.0 0.0

$lab^*olv^*_{Ma}$: 1.0 0.99 0.0

Dreiecks-Helligkeit i^*

%Umfang

$u^*_{rel} = 88$

%Regularität

$g^*_{H,rel} = 31$

$g^*_{C,rel} = 40$

FRS09_92aM; adaptierte CIELAB-Daten

u^*_e	$L^*=L^*_a$	a^*_a	b^*_a	$C^*_{ab,a}$	$h^*_{ab,a}$	u^*_d
r00j	39.18	56.94	27.13	63.07	25	m81o
r25j	42.41	49.1	44.5	66.26	42	o10y
r50j	52.78	35.22	58.37	68.17	59	o40y
r75j	64.82	19.12	74.47	76.89	76	o69y
j00g	82.06	-3.94	97.52	97.6	92	o98y
j25g	67.26	-26.87	74.67	79.36	110	y34l
j50g	55.83	-43.45	57.11	71.76	127	y69l
j75g	47.5	-54.18	38.3	66.35	145	l03c
g00b	50.07	-44.09	14.13	46.3	162	l23c
g25b	52.21	-35.66	-6.03	36.17	190	l55c
g50b	53.9	-29.04	-21.87	36.36	217	l87c
g75b	49.44	-15.51	-32.31	35.84	244	c20v
b00r	41.36	1.15	-37.95	37.97	272	c53v
b25r	28.74	27.19	-46.77	54.1	300	c87v
b50r	33.74	61.97	-37.81	72.59	329	v68m
b75r	40.08	64.26	-3.32	64.35	357	m33o

lab^*rgb^*

$i^* = 1.00$

Brillantheit i^*

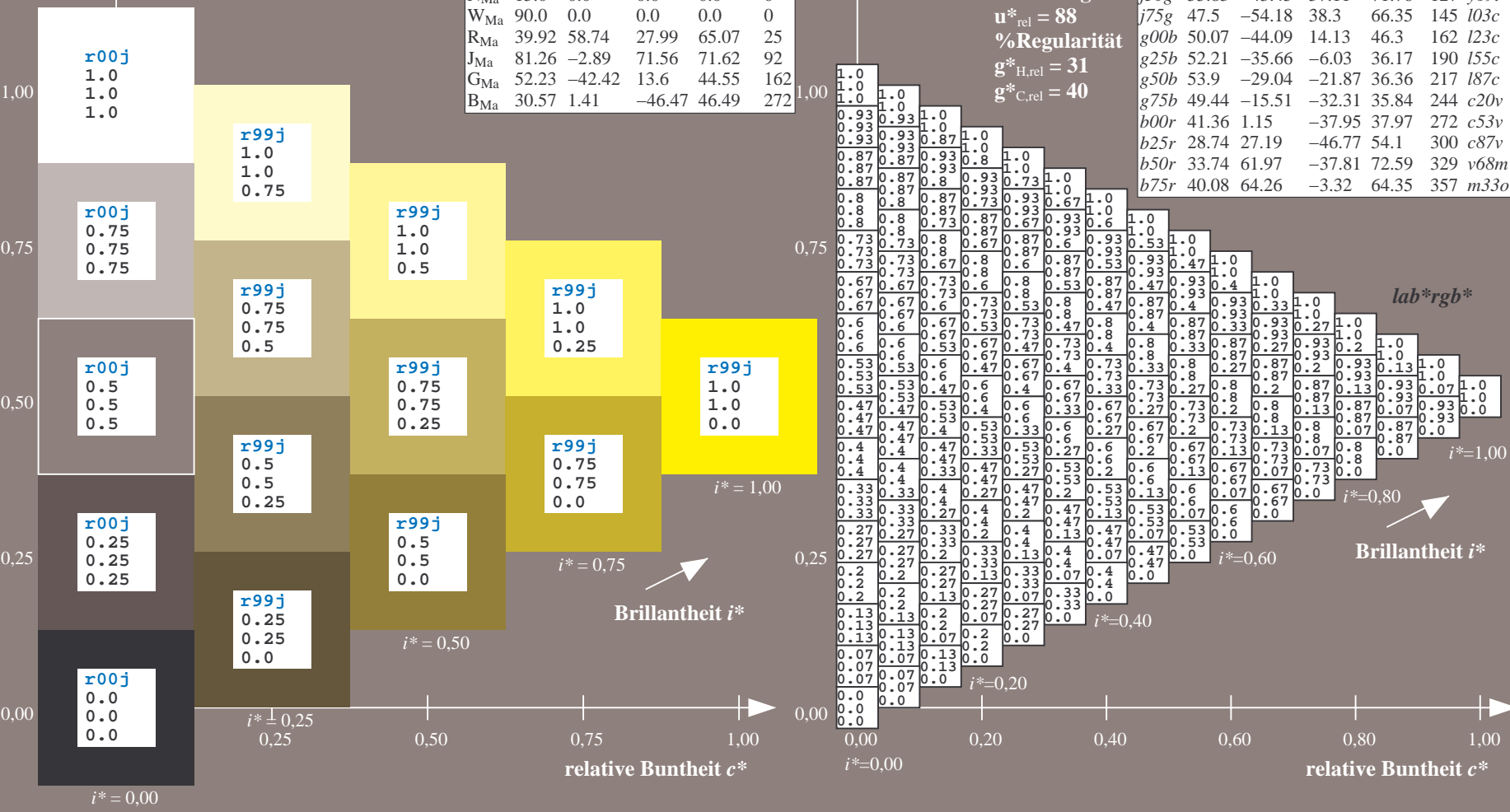
$i^* = 0.80$

$i^* = 0.60$

$i^* = 0.40$

$i^* = 0.20$

$i^* = 0.00$



Ein und Ausgabe: Farbmetrisches Drucker-Reflektiv-System FRS09_92aM für relativen CIELAB-Buntton $h^* = \text{lab} \cdot h^* = h_{ab}/360 = 0.305$

Daten für jede Farbe:

$\text{lab} \cdot \text{tch}^*$ und $\text{lab} \cdot \text{icu}^*$

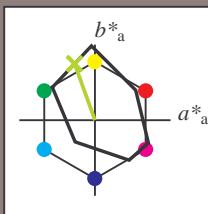
Bunttontexte:

$u^*_e = j25g$ $u^*_d = y34l$

Kontrastreduzierungsfaktor:

$c_R = 0.9$

Dreiecks-Helligkeit i^*



FRS09_92aM; adaptierte CIELAB-Daten

u^*_e	$L^*=L^*_a$	a^*_a	b^*_a	$C^*_{ab,a}$	$h^*_{ab,a}$
O _{Ma}	38.8	53.92	39.68	66.95	36
Y _{Ma}	82.58	-4.64	98.22	98.33	93
L _{Ma}	46.95	-56.34	43.46	71.15	142
C _{Ma}	54.62	-26.2	-28.68	38.85	228
V _{Ma}	20.01	45.2	-52.87	69.56	311
M _{Ma}	40.88	70.68	-29.99	76.78	337
N _{Ma}	15.0	0.0	0.0	0.0	0
W _{Ma}	90.0	0.0	0.0	0.0	0
R _{Ma}	39.92	58.74	27.99	65.07	25
J _{Ma}	81.26	-2.89	71.56	71.62	92
G _{Ma}	52.23	-42.42	13.6	44.55	162
B _{Ma}	30.57	1.41	-46.47	46.49	272

Daten für Maximalfarbe (Ma):

$\text{LAB} \cdot \text{LAB}^*_{\text{Ma}}$: 67 -27 75

$\text{LAB} \cdot \text{LCH}^*_{\text{Ma}}$: 67 79 109

$\text{lab} \cdot \text{rgb}^*_{\text{Ma}}$: 0.75 1.0 0.0

$\text{lab} \cdot \text{olv}^*_{\text{Ma}}$: 0.66 1.0 0.0

Dreiecks-Helligkeit i^*

%Umfang

$u^*_{\text{rel}} = 88$

%Regularität

$g^*_{H,\text{rel}} = 31$

$g^*_{C,\text{rel}} = 40$

FRS09_92aM; adaptierte CIELAB-Daten

u^*_e	$L^*=L^*_a$	a^*_a	b^*_a	$C^*_{ab,a}$	$h^*_{ab,a}$	u^*_d
r00j	39.18	56.94	27.13	63.07	25	m81o
r25j	42.41	49.1	44.5	66.26	42	o10y
r50j	52.78	35.22	58.37	68.17	59	o40y
r75j	64.82	19.12	74.47	76.89	76	o69y
j00g	82.06	-3.94	97.52	97.6	92	o98y
j25g	67.26	-26.87	74.67	79.36	110	y34l
j50g	55.83	-43.45	57.11	71.76	127	y69l
j75g	47.5	-54.18	38.3	66.35	145	i03c
g00b	50.07	-44.09	14.13	46.3	162	i23c
g25b	52.21	-35.66	-6.03	36.17	190	i55c
g50b	53.9	-29.04	-21.87	36.36	217	i87c
g75b	49.44	-15.51	-32.31	35.84	244	c20v
b00r	41.36	1.15	-37.95	37.97	272	c53v
b25r	28.74	27.19	-46.77	54.1	300	c87v
b50r	33.74	61.97	-37.81	72.59	329	v68m
b75r	40.08	64.26	-3.32	64.35	357	m33o

$\text{lab} \cdot \text{rgb}^*$

$i^* = 1.00$

Brillantheit i^*

$i^* = 0.80$

$i^* = 0.60$

$i^* = 0.40$

$i^* = 0.20$

$i^* = 0.00$

Ein und Ausgabe: Farbmetrisches Drucker-Reflektiv-System FRS09_92aM für relativen CIELAB-Buntton $h^* = lab^*h^* = h_{ab}/360 = 0.354$

Daten für jede Farbe:

lab^*tch^* und lab^*icu^*

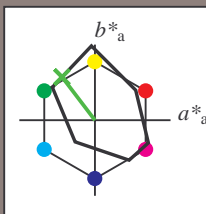
Bunttontexte:

$u^*_e = j50g$ $u^*_d = y69l$

Kontrastreduzierungsfaktor:

$c_R = 0.9$

Dreiecks-Helligkeit i^*



FRS09_92aM; adaptierte CIELAB-Daten

	u^*_e	$L^*=L^*_a$	a^*_a	b^*_a	$C^*_{ab,a}$	$h^*_{ab,a}$
O _{Ma}	38.8	53.92	39.68	66.95	36	
Y _{Ma}	82.58	-4.64	98.22	98.33	93	
L _{Ma}	46.95	-56.34	43.46	71.15	142	
C _{Ma}	54.62	-26.2	-28.68	38.85	228	
V _{Ma}	20.01	45.2	-52.87	69.56	311	
M _{Ma}	40.88	70.68	-29.99	76.78	337	
N _{Ma}	15.0	0.0	0.0	0.0	0	
W _{Ma}	90.0	0.0	0.0	0.0	0	
R _{Ma}	39.92	58.74	27.99	65.07	25	
J _{Ma}	81.26	-2.89	71.56	71.62	92	
G _{Ma}	52.23	-42.42	13.6	44.55	162	
B _{Ma}	30.57	1.41	-46.47	46.49	272	

Daten für Maximalfarbe (Ma):

$LAB^*LAB^*_{Ma}$: 56 -43 57

$LAB^*LCH^*_{Ma}$: 56 72 127

$lab^*rgb^*_{Ma}$: 0.5 1.0 0.0

$lab^*olv^*_{Ma}$: 0.3 1.0 0.0

Dreiecks-Helligkeit i^*

%Umfang

$u^*_{rel} = 88$

%Regularität

$g^*_{H,rel} = 31$

$g^*_{C,rel} = 40$

FRS09_92aM; adaptierte CIELAB-Daten

	u^*_e	$L^*=L^*_a$	a^*_a	b^*_a	$C^*_{ab,a}$	$h^*_{ab,a}$	u^*_d
r00j	39.18	56.94	27.13	63.07	25	m81o	
r25j	42.41	49.1	44.5	66.26	42	o10y	
r50j	52.78	35.22	58.37	68.17	59	o40y	
r75j	64.82	19.12	74.47	76.89	76	o69y	
j00g	82.06	-3.94	97.52	97.6	92	o98y	
j25g	67.26	-26.87	74.67	79.36	110	y34l	
j50g	55.83	-43.45	57.11	71.76	127	y69l	
j75g	47.5	-54.18	38.3	66.35	145	i03c	
g00b	50.07	-44.09	14.13	46.3	162	i23c	
g25b	52.21	-35.66	-6.03	36.17	190	i55c	
g50b	53.9	-29.04	-21.87	36.36	217	i87c	
g75b	49.44	-15.51	-32.31	35.84	244	c20v	
b00r	41.36	1.15	-37.95	37.97	272	c53v	
b25r	28.74	27.19	-46.77	54.1	300	c87v	
b50r	33.74	61.97	-37.81	72.59	329	v68m	
b75r	40.08	64.26	-3.32	64.35	357	m33o	

lab^*rgb^*

$i^* = 1.00$

Brillantheit i^*

$i^* = 0.80$

$i^* = 0.60$

$i^* = 0.40$

$i^* = 0.20$

$i^* = 0.00$

relative Buntheit c^*

relative Buntheit c^*

Ein und Ausgabe: Farbmetrisches Drucker-Reflektiv-System FRS09_92aM für relativen CIELAB-Buntton $h^* = lab^*h^* = h_{ab}/360 = 0.402$

Daten für jede Farbe:

lab^*tch^* und lab^*icu^*

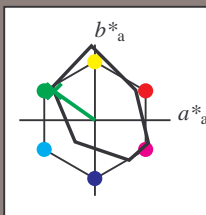
Bunttontexte:

$u^*_e = j75g$ $u^*_d = i03c$

Kontrastreduzierungsfaktor:

$c_R = 0.9$

Dreiecks-Helligkeit i^*



FRS09_92aM; adaptierte CIELAB-Daten						
	u^*_e	$L^*=L^*_a$	a^*_a	b^*_a	$C^*_{ab,a}$	$h^*_{ab,a}$
O _{Ma}	38.8	53.92	39.68	66.95	36	
Y _{Ma}	82.58	-4.64	98.22	98.33	93	
L _{Ma}	46.95	-56.34	43.46	71.15	142	
C _{Ma}	54.62	-26.2	-28.68	38.85	228	
V _{Ma}	20.01	45.2	-52.87	69.56	311	
M _{Ma}	40.88	70.68	-29.99	76.78	337	
N _{Ma}	15.0	0.0	0.0	0.0	0	
W _{Ma}	90.0	0.0	0.0	0.0	0	
R _{Ma}	39.92	58.74	27.99	65.07	25	
J _{Ma}	81.26	-2.89	71.56	71.62	92	
G _{Ma}	52.23	-42.42	13.6	44.55	162	
B _{Ma}	30.57	1.41	-46.47	46.49	272	

Daten für Maximalfarbe (Ma):

$LAB^*LAB^*_{Ma}$: 48 -54 38

$LAB^*LCH^*_{Ma}$: 48 66 144

$lab^*rgb^*_{Ma}$: 0.25 1.0 0.0

$lab^*olv^*_{Ma}$: 0.0 1.0 0.03

Dreiecks-Helligkeit i^*

%Umfang

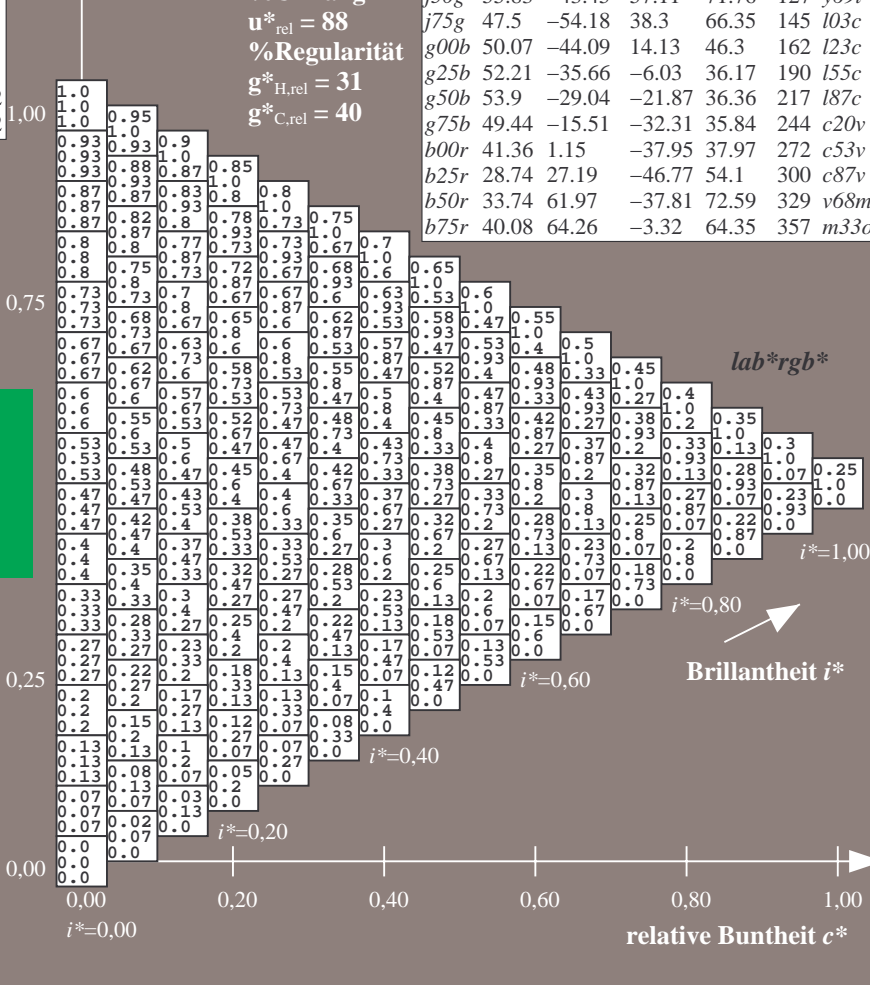
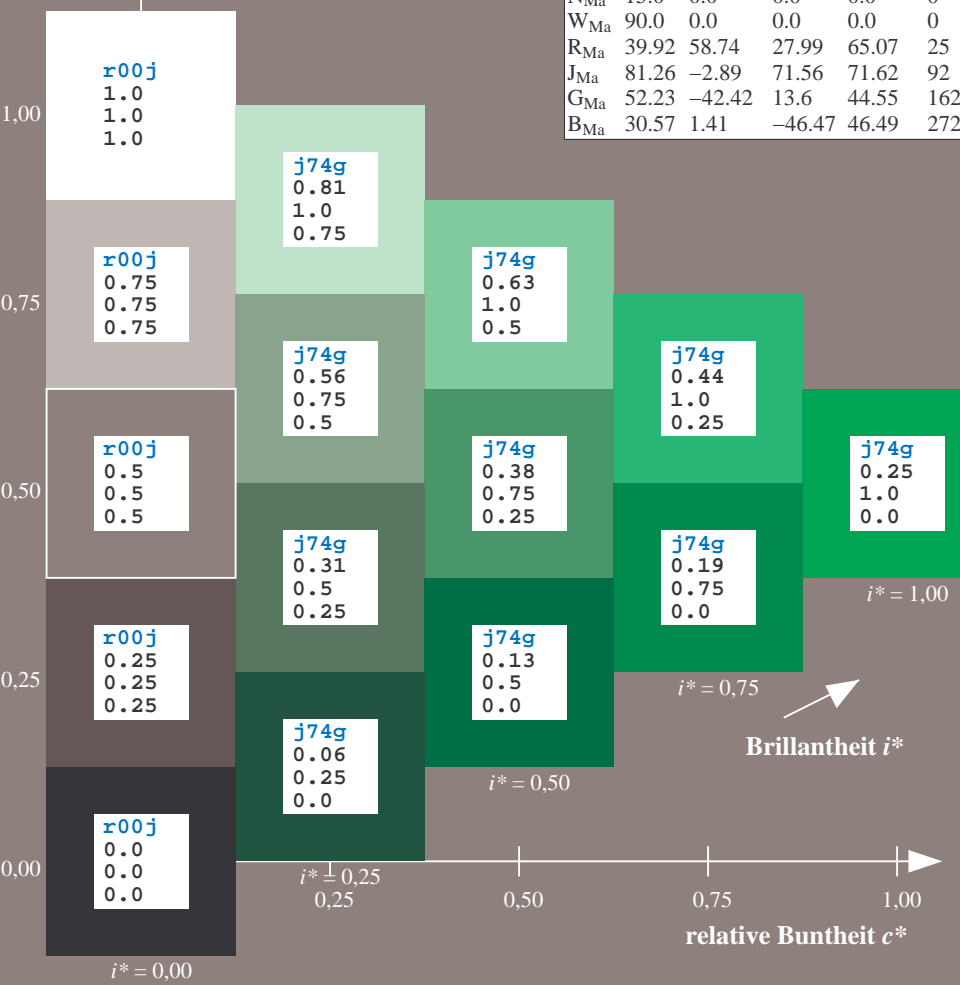
$u^*_{rel} = 88$

%Regularität

$g^*_{H,rel} = 31$

$g^*_{C,rel} = 40$

FRS09_92aM; adaptierte CIELAB-Daten						
	u^*_e	$L^*=L^*_a$	a^*_a	b^*_a	$C^*_{ab,a}$	$h^*_{ab,a}$
r00j	39.18	56.94	27.13	63.07	25	m81o
r25j	42.41	49.1	44.5	66.26	42	o10y
r50j	52.78	35.22	58.37	68.17	59	o40y
r75j	64.82	19.12	74.47	76.89	76	o69y
j00g	82.06	-3.94	97.52	97.6	92	o98y
j25g	67.26	-26.87	74.67	79.36	110	y34l
j50g	55.83	-43.45	57.11	71.76	127	y69l
j75g	47.5	-54.18	38.3	66.35	145	i03c
g00b	50.07	-44.09	14.13	46.3	162	i23c
g25b	52.21	-35.66	-6.03	36.17	190	i55c
g50b	53.9	-29.04	-21.87	36.36	217	i87c
g75b	49.44	-15.51	-32.31	35.84	244	c20v
b00r	41.36	1.15	-37.95	37.97	272	c53v
b25r	28.74	27.19	-46.77	54.1	300	c87v
b50r	33.74	61.97	-37.81	72.59	329	v68m
b75r	40.08	64.26	-3.32	64.35	357	m33o



Ein und Ausgabe: Farbmetrisches Drucker-Reflektiv-System FRS09_92aM für relativen CIELAB-Buntton $h^* = \text{lab}^*h^* = h_{ab}/360 = 0.451$

Daten für jede Farbe:

lab^*tch^* und lab^*icu^*

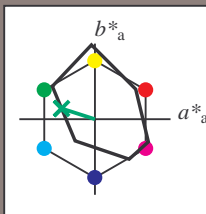
Bunttontexte:

$u^*_e = g00b$ $u^*_d = l23c$

Kontrastreduzierungsfaktor:

$c_R = 0.9$

Dreiecks-Helligkeit i^*



FRS09_92aM; adaptierte CIELAB-Daten

	u^*_e	$L^*=L^*_a$	a^*_a	b^*_a	$C^*_{ab,a}$	$h^*_{ab,a}$
O _{Ma}	38.8	53.92	39.68	66.95	36	
Y _{Ma}	82.58	-4.64	98.22	98.33	93	
L _{Ma}	46.95	-56.34	43.46	71.15	142	
C _{Ma}	54.62	-26.2	-28.68	38.85	228	
V _{Ma}	20.01	45.2	-52.87	69.56	311	
M _{Ma}	40.88	70.68	-29.99	76.78	337	
N _{Ma}	15.0	0.0	0.0	0.0	0	
W _{Ma}	90.0	0.0	0.0	0.0	0	
R _{Ma}	39.92	58.74	27.99	65.07	25	
J _{Ma}	81.26	-2.89	71.56	71.62	92	
G _{Ma}	52.23	-42.42	13.6	44.55	162	
B _{Ma}	30.57	1.41	-46.47	46.49	272	

Daten für Maximalfarbe (Ma):

$\text{LAB}^*\text{LAB}^*_{\text{Ma}}$: 50 -44 14

$\text{LAB}^*\text{LCH}^*_{\text{Ma}}$: 50 46 162

$\text{lab}^*\text{rgb}^*_{\text{Ma}}$: 0.0 1.0 0.0

$\text{lab}^*\text{olv}^*_{\text{Ma}}$: 0.0 1.0 0.23

Dreiecks-Helligkeit i^*

%Umfang

$u^*_{\text{rel}} = 88$

%Regularität

$g^*_{H,\text{rel}} = 31$

$g^*_{C,\text{rel}} = 40$

FRS09_92aM; adaptierte CIELAB-Daten

	u^*_e	$L^*=L^*_a$	a^*_a	b^*_a	$C^*_{ab,a}$	$h^*_{ab,a}$	u^*_d
r00j	39.18	56.94	27.13	63.07	25	m81o	
r25j	42.41	49.1	44.5	66.26	42	o10y	
r50j	52.78	35.22	58.37	68.17	59	o40y	
r75j	64.82	19.12	74.47	76.89	76	o69y	
j00g	82.06	-3.94	97.52	97.6	92	o98y	
j25g	67.26	-26.87	74.67	79.36	110	y34l	
j50g	55.83	-43.45	57.11	71.76	127	y69l	
j75g	47.5	-54.18	38.3	66.35	145	l03c	
g00b	50.07	-44.09	14.13	46.3	162	l23c	
g25b	52.21	-35.66	-6.03	36.17	190	l55c	
g50b	53.9	-29.04	-21.87	36.36	217	l87c	
g75b	49.44	-15.51	-32.31	35.84	244	c20v	
b00r	41.36	1.15	-37.95	37.97	272	c53v	
b25r	28.74	27.19	-46.77	54.1	300	c87v	
b50r	33.74	61.97	-37.81	72.59	329	v68m	
b75r	40.08	64.26	-3.32	64.35	357	m33o	

lab^*rgb^*

$i^* = 1.00$

Brillantheit i^*

$i^* = 0.80$

$i^* = 0.60$

$i^* = 0.40$

$i^* = 0.20$

$i^* = 0.00$

relative Buntheit c^*

Ein und Ausgabe: Farbmetrisches Drucker-Reflektiv-System FRS09_92aM für relativen CIELAB-Buntton $h^* = lab^*h^* = h_{ab}/360 = 0.527$

Daten für jede Farbe:

lab^*tch^* und lab^*icu^*

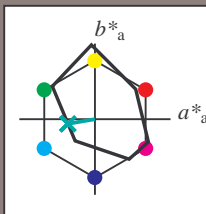
Bunttontexte:

$u^*_e = g25b$ $u^*_d = l55c$

Kontrastreduzierungsfaktor:

$c_R = 0.9$

Dreiecks-Helligkeit i^*



FRS09_92aM; adaptierte CIELAB-Daten

	u^*_e	$L^*=L^*_a$	a^*_a	b^*_a	$C^*_{ab,a}$	$h^*_{ab,a}$
O _{Ma}	38.8	53.92	39.68	66.95	36	
Y _{Ma}	82.58	-4.64	98.22	98.33	93	
L _{Ma}	46.95	-56.34	43.46	71.15	142	
C _{Ma}	54.62	-26.2	-28.68	38.85	228	
V _{Ma}	20.01	45.2	-52.87	69.56	311	
M _{Ma}	40.88	70.68	-29.99	76.78	337	
N _{Ma}	15.0	0.0	0.0	0.0	0	
W _{Ma}	90.0	0.0	0.0	0.0	0	
R _{Ma}	39.92	58.74	27.99	65.07	25	
J _{Ma}	81.26	-2.89	71.56	71.62	92	
G _{Ma}	52.23	-42.42	13.6	44.55	162	
B _{Ma}	30.57	1.41	-46.47	46.49	272	

Daten für Maximalfarbe (Ma):

$LAB^*LAB^*_{Ma}$: 52 -36 -6

$LAB^*LCH^*_{Ma}$: 52 36 189

$lab^*rgb^*_{Ma}$: 0.0 1.0 0.5

$lab^*olv^*_{Ma}$: 0.0 1.0 0.55

Dreiecks-Helligkeit i^*

%Umfang

$u^*_{rel} = 88$

%Regularität

$g^*_{H,rel} = 31$

$g^*_{C,rel} = 40$

FRS09_92aM; adaptierte CIELAB-Daten

	u^*_e	$L^*=L^*_a$	a^*_a	b^*_a	$C^*_{ab,a}$	$h^*_{ab,a}$	u^*_d
r00j	39.18	56.94	27.13	63.07	25	m81o	
r25j	42.41	49.1	44.5	66.26	42	o10y	
r50j	52.78	35.22	58.37	68.17	59	o40y	
r75j	64.82	19.12	74.47	76.89	76	o69y	
j00g	82.06	-3.94	97.52	97.6	92	o98y	
j25g	67.26	-26.87	74.67	79.36	110	y34l	
j50g	55.83	-43.45	57.11	71.76	127	y69l	
j75g	47.5	-54.18	38.3	66.35	145	l03c	
g00b	50.07	-44.09	14.13	46.3	162	l23c	
g25b	52.21	-35.66	-6.03	36.17	190	l55c	
g50b	53.9	-29.04	-21.87	36.36	217	l87c	
g75b	49.44	-15.51	-32.31	35.84	244	c20v	
b00r	41.36	1.15	-37.95	37.97	272	c53v	
b25r	28.74	27.19	-46.77	54.1	300	c87v	
b50r	33.74	61.97	-37.81	72.59	329	v68m	
b75r	40.08	64.26	-3.32	64.35	357	m33o	

lab^*rgb^*

$i^* = 1.00$

Brillantheit i^*

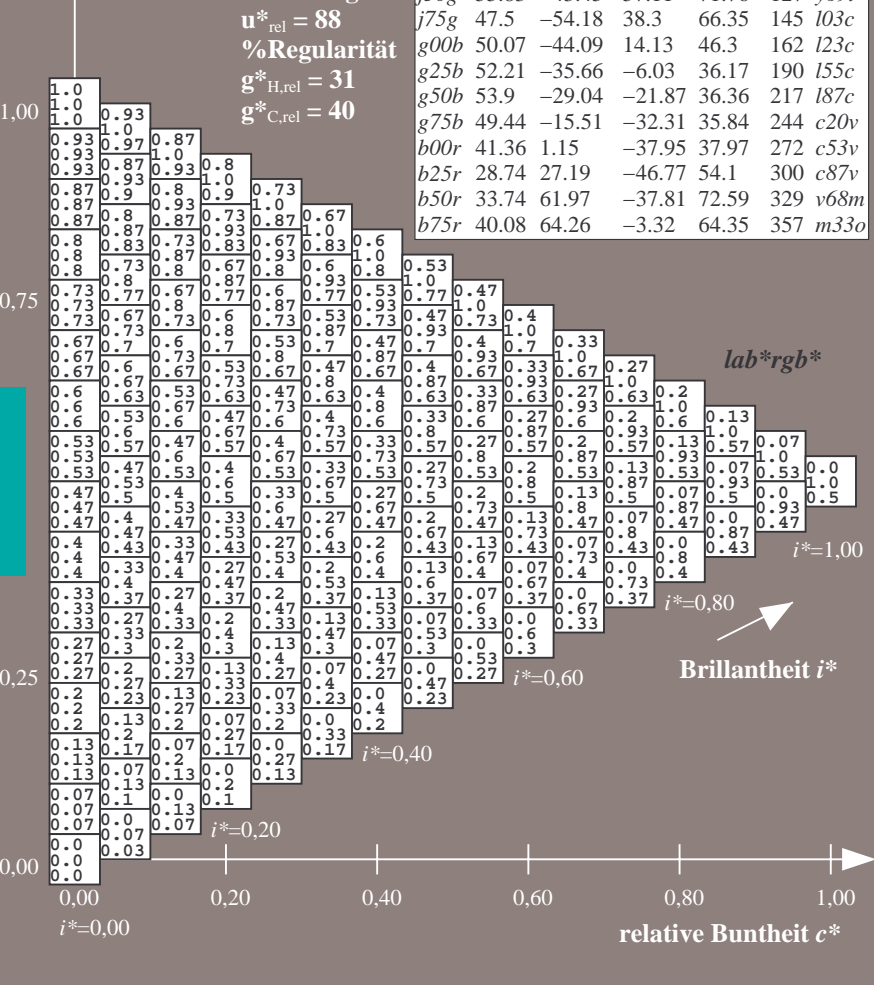
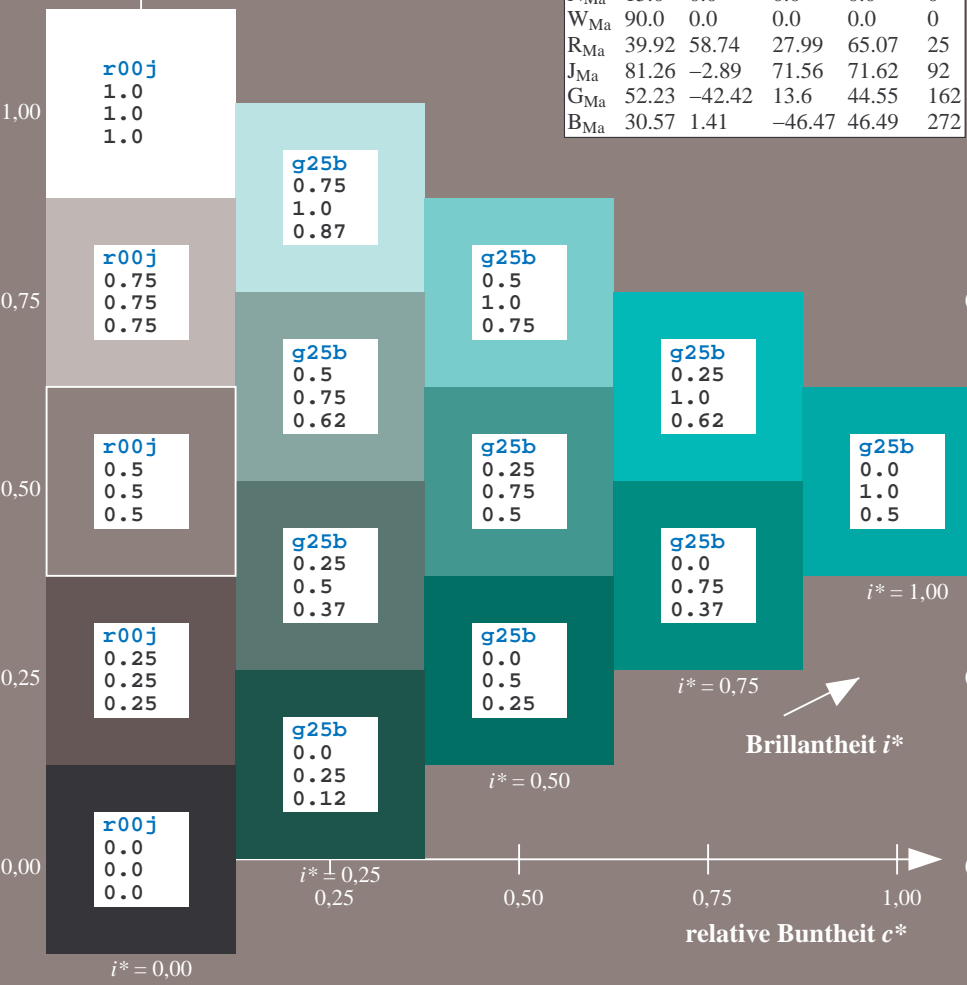
$i^* = 0.80$

$i^* = 0.60$

$i^* = 0.40$

$i^* = 0.20$

$i^* = 0.00$



Ein und Ausgabe: Farbmetrisches Drucker-Reflektiv-System FRS09_92aM für relativen CIELAB-Buntton $h^* = lab^*h^* = h_{ab}/360 = 0.603$

Daten für jede Farbe:

lab^*tch^* und lab^*icu^*

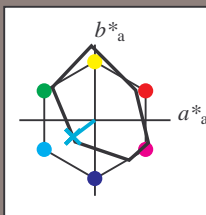
Bunttontexte:

$u^*_e = g50b$ $u^*_d = l87c$

Kontrastreduzierungsfaktor:

$c_R = 0.9$

Dreiecks-Helligkeit i^*



FRS09_92aM; adaptierte CIELAB-Daten

	u^*_e	$L^*=L^*_a$	a^*_a	b^*_a	$C^*_{ab,a}$	$h^*_{ab,a}$
O _{Ma}	38.8	53.92	39.68	66.95	36	
Y _{Ma}	82.58	-4.64	98.22	98.33	93	
L _{Ma}	46.95	-56.34	43.46	71.15	142	
C _{Ma}	54.62	-26.2	-28.68	38.85	228	
V _{Ma}	20.01	45.2	-52.87	69.56	311	
M _{Ma}	40.88	70.68	-29.99	76.78	337	
N _{Ma}	15.0	0.0	0.0	0.0	0	
W _{Ma}	90.0	0.0	0.0	0.0	0	
R _{Ma}	39.92	58.74	27.99	65.07	25	
J _{Ma}	81.26	-2.89	71.56	71.62	92	
G _{Ma}	52.23	-42.42	13.6	44.55	162	
B _{Ma}	30.57	1.41	-46.47	46.49	272	

Daten für Maximalfarbe (Ma):

$LAB^*LAB^*_{Ma}$: 54 -29 -22

$LAB^*LCH^*_{Ma}$: 54 36 216

$lab^*rgb^*_{Ma}$: 0.0 1.0 1.0

$lab^*olv^*_{Ma}$: 0.0 1.0 0.88

Dreiecks-Helligkeit i^*

%Umfang

$u^*_{rel} = 88$

%Regularität

$g^*_{H,rel} = 31$

$g^*_{C,rel} = 40$

FRS09_92aM; adaptierte CIELAB-Daten

	u^*_e	$L^*=L^*_a$	a^*_a	b^*_a	$C^*_{ab,a}$	$h^*_{ab,a}$	u^*_d
r00j	39.18	56.94	27.13	63.07	25		m81o
r25j	42.41	49.1	44.5	66.26	42		o10y
r50j	52.78	35.22	58.37	68.17	59		o40y
r75j	64.82	19.12	74.47	76.89	76		o69y
j00g	82.06	-3.94	97.52	97.6	92		o98y
j25g	67.26	-26.87	74.67	79.36	110		y34l
j50g	55.83	-43.45	57.11	71.76	127		y69l
j75g	47.5	-54.18	38.3	66.35	145		l03c
g00b	50.07	-44.09	14.13	46.3	162		l23c
g25b	52.21	-35.66	-6.03	36.17	190		l55c
g50b	53.9	-29.04	-21.87	36.36	217		l87c
g75b	49.44	-15.51	-32.31	35.84	244		c20v
b00r	41.36	1.15	-37.95	37.97	272		c53v
b25r	28.74	27.19	-46.77	54.1	300		c87v
b50r	33.74	61.97	-37.81	72.59	329		v68m
b75r	40.08	64.26	-3.32	64.35	357		m33o

lab^*rgb^*

$i^* = 1.00$

Brillantheit i^*

$i^* = 0.80$

$i^* = 0.60$

$i^* = 0.40$

$i^* = 0.20$

relative Buntheit c^*

relative Buntheit c^*

Ein und Ausgabe: Farbmetrisches Drucker-Reflektiv-System FRS09_92aM für relativen CIELAB-Buntton $h^* = lab^*h^* = h_{ab}/360 = 0.679$

Daten für jede Farbe:

lab^*tch^* und lab^*icu^*

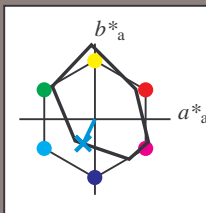
Bunttontexte:

$u^*_e = g75b$ $u^*_d = c20v$

Kontrastreduzierungsfaktor:

$c_R = 0.9$

Dreiecks-Helligkeit t^*



FRS09_92aM; adaptierte CIELAB-Daten

	u^*_e	$L^*=L^*_a$	a^*_a	b^*_a	$C^*_{ab,a}$	$h^*_{ab,a}$
O _{Ma}	38.8	53.92	39.68	66.95	36	
Y _{Ma}	82.58	-4.64	98.22	98.33	93	
L _{Ma}	46.95	-56.34	43.46	71.15	142	
C _{Ma}	54.62	-26.2	-28.68	38.85	228	
V _{Ma}	20.01	45.2	-52.87	69.56	311	
M _{Ma}	40.88	70.68	-29.99	76.78	337	
N _{Ma}	15.0	0.0	0.0	0.0	0	
W _{Ma}	90.0	0.0	0.0	0.0	0	
R _{Ma}	39.92	58.74	27.99	65.07	25	
J _{Ma}	81.26	-2.89	71.56	71.62	92	
G _{Ma}	52.23	-42.42	13.6	44.55	162	
B _{Ma}	30.57	1.41	-46.47	46.49	272	

Daten für Maximalfarbe (Ma):

$LAB^*LAB^*_{Ma}$: 49 -16 -32

$LAB^*LCH^*_{Ma}$: 49 36 244

$lab^*rgb^*_{Ma}$: 0.0 0.5 1.0

$lab^*olv^*_{Ma}$: 0.0 0.8 1.0

Dreiecks-Helligkeit t^*

%Umfang

$u^*_{rel} = 88$

%Regularität

$g^*_{H,rel} = 31$

$g^*_{C,rel} = 40$

FRS09_92aM; adaptierte CIELAB-Daten

	u^*_e	$L^*=L^*_a$	a^*_a	b^*_a	$C^*_{ab,a}$	$h^*_{ab,a}$	u^*_d
r00j	39.18	56.94	27.13	63.07	25	m81o	
r25j	42.41	49.1	44.5	66.26	42	o10y	
r50j	52.78	35.22	58.37	68.17	59	o40y	
r75j	64.82	19.12	74.47	76.89	76	o69y	
j00g	82.06	-3.94	97.52	97.6	92	o98y	
j25g	67.26	-26.87	74.67	79.36	110	y34l	
j50g	55.83	-43.45	57.11	71.76	127	y69l	
j75g	47.5	-54.18	38.3	66.35	145	i03c	
g00b	50.07	-44.09	14.13	46.3	162	i23c	
g25b	52.21	-35.66	-6.03	36.17	190	i55c	
g50b	53.9	-29.04	-21.87	36.36	217	i87c	
g75b	49.44	-15.51	-32.31	35.84	244	c20v	
b00r	41.36	1.15	-37.95	37.97	272	c53v	
b25r	28.74	27.19	-46.77	54.1	300	c87v	
b50r	33.74	61.97	-37.81	72.59	329	v68m	
b75r	40.08	64.26	-3.32	64.35	357	m33o	

lab^*rgb^*

$i^*=1.00$

Brillantheit i^*

$i^*=0.80$

$i^*=0.60$

$i^*=0.40$

$i^*=0.20$

$i^*=0.00$

relative Buntheit c^*

Ein und Ausgabe: Farbmetrisches Drucker-Reflektiv-System FRS09_92aM für relativen CIELAB-Buntton $h^* = lab^*h^* = h_{ab}/360 = 0.755$

Daten für jede Farbe:

lab^*tch^* und lab^*icu^*

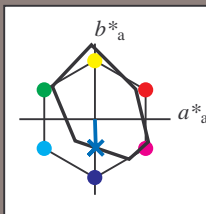
Bunttontexte:

$u^*_e = b00r$ $u^*_d = c53v$

Kontrastreduzierungsfaktor:

$c_R = 0.9$

Dreiecks-Helligkeit i^*



FRS09_92aM; adaptierte CIELAB-Daten

u^*_e	$L^*=L^*_a$	a^*_a	b^*_a	$C^*_{ab,a}$	$h^*_{ab,a}$
O _{Ma}	38.8	53.92	39.68	66.95	36
Y _{Ma}	82.58	-4.64	98.22	98.33	93
L _{Ma}	46.95	-56.34	43.46	71.15	142
C _{Ma}	54.62	-26.2	-28.68	38.85	228
V _{Ma}	20.01	45.2	-52.87	69.56	311
M _{Ma}	40.88	70.68	-29.99	76.78	337
N _{Ma}	15.0	0.0	0.0	0.0	0
W _{Ma}	90.0	0.0	0.0	0.0	0
R _{Ma}	39.92	58.74	27.99	65.07	25
J _{Ma}	81.26	-2.89	71.56	71.62	92
G _{Ma}	52.23	-42.42	13.6	44.55	162
B _{Ma}	30.57	1.41	-46.47	46.49	272

Daten für Maximalfarbe (Ma):

$LAB^*LAB^*_{Ma}$: 41 1 -38

$LAB^*LCH^*_{Ma}$: 41 38 271

$lab^*rgb^*_{Ma}$: 0.0 0.0 1.0

$lab^*olv^*_{Ma}$: 0.0 0.47 1.0

Dreiecks-Helligkeit i^*

%Umfang

$u^*_{rel} = 88$

%Regularität

$g^*_{H,rel} = 31$

$g^*_{C,rel} = 40$

FRS09_92aM; adaptierte CIELAB-Daten

u^*_e	$L^*=L^*_a$	a^*_a	b^*_a	$C^*_{ab,a}$	$h^*_{ab,a}$	u^*_d
r00j	39.18	56.94	27.13	63.07	25	m81o
r25j	42.41	49.1	44.5	66.26	42	o10y
r50j	52.78	35.22	58.37	68.17	59	o40y
r75j	64.82	19.12	74.47	76.89	76	o69y
j00g	82.06	-3.94	97.52	97.6	92	o98y
j25g	67.26	-26.87	74.67	79.36	110	y34l
j50g	55.83	-43.45	57.11	71.76	127	y69l
j75g	47.5	-54.18	38.3	66.35	145	i03c
g00b	50.07	-44.09	14.13	46.3	162	i23c
g25b	52.21	-35.66	-6.03	36.17	190	i55c
g50b	53.9	-29.04	-21.87	36.36	217	i87c
g75b	49.44	-15.51	-32.31	35.84	244	c20v
b00r	41.36	1.15	-37.95	37.97	272	c53v
b25r	28.74	27.19	-46.77	54.1	300	c87v
b50r	33.74	61.97	-37.81	72.59	329	v68m
b75r	40.08	64.26	-3.32	64.35	357	m33o

lab^*rgb^*

$i^* = 1.00$

Brillantheit i^*

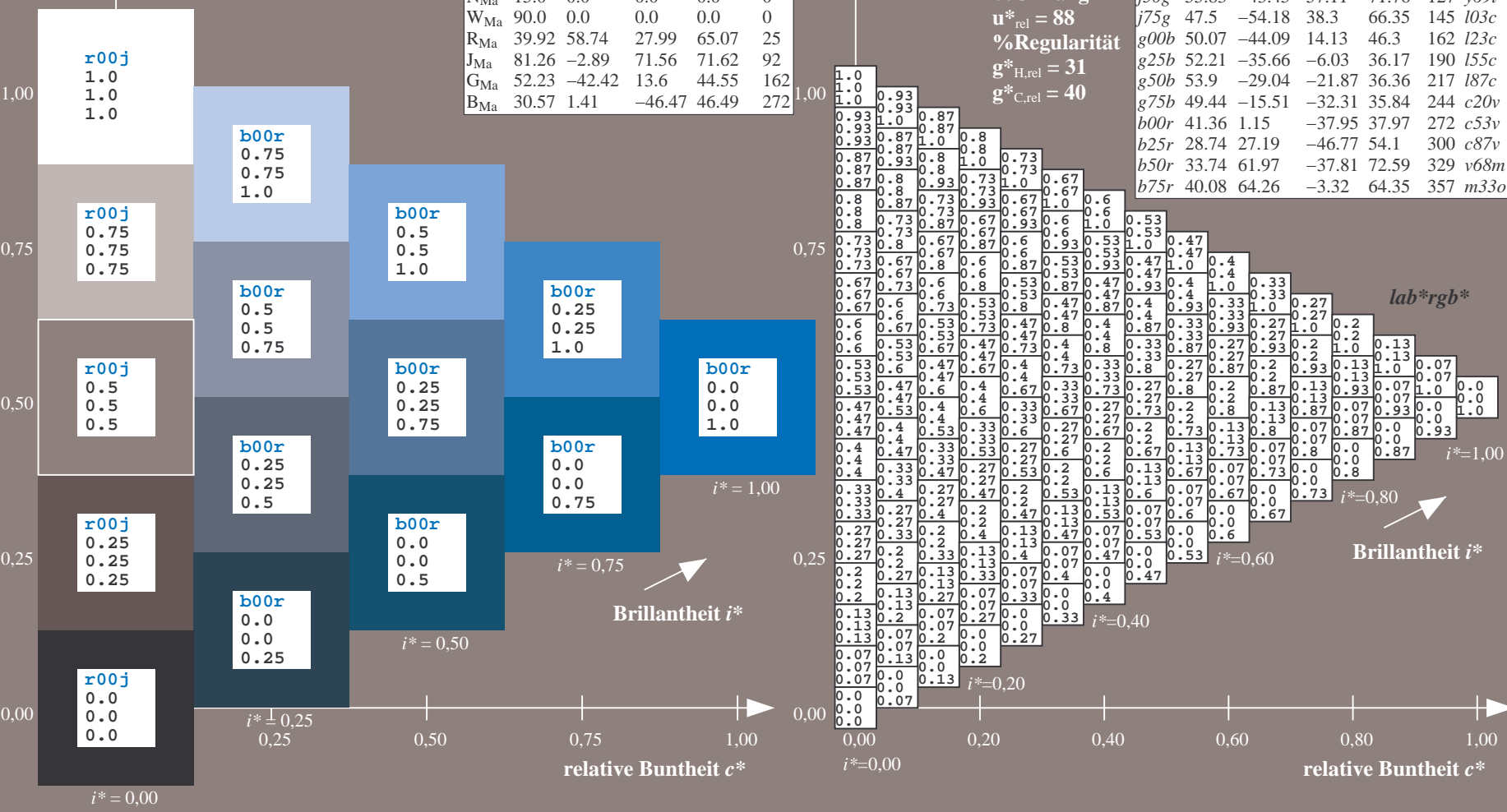
$i^* = 0.80$

$i^* = 0.60$

$i^* = 0.40$

$i^* = 0.20$

$i^* = 0.00$



Ein und Ausgabe: Farbmetrisches Drucker-Reflektiv-System FRS09_92aM für relativen CIELAB-Buntton $h^* = lab^*h^* = h_{ab}/360 = 0.834$

Daten für jede Farbe:

lab^*tch^* und lab^*icu^*

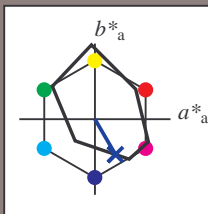
Bunttontexte:

$u^*_e = b25r$ $u^*_d = c87v$

Kontrastreduzierungsfaktor:

$c_R = 0.9$

Dreiecks-Helligkeit i^*



FRS09_92aM; adaptierte CIELAB-Daten

u^*_e	$L^*=L^*_a$	a^*_a	b^*_a	$C^*_{ab,a}$	$h^*_{ab,a}$
O _{Ma}	38.8	53.92	39.68	66.95	36
Y _{Ma}	82.58	-4.64	98.22	98.33	93
L _{Ma}	46.95	-56.34	43.46	71.15	142
C _{Ma}	54.62	-26.2	-28.68	38.85	228
V _{Ma}	20.01	45.2	-52.87	69.56	311
M _{Ma}	40.88	70.68	-29.99	76.78	337
N _{Ma}	15.0	0.0	0.0	0.0	0
W _{Ma}	90.0	0.0	0.0	0.0	0
R _{Ma}	39.92	58.74	27.99	65.07	25
J _{Ma}	81.26	-2.89	71.56	71.62	92
G _{Ma}	52.23	-42.42	13.6	44.55	162
B _{Ma}	30.57	1.41	-46.47	46.49	272

Daten für Maximalfarbe (Ma):

$LAB^*LAB^*_{Ma}$: 29 27 -47

$LAB^*LCH^*_{Ma}$: 29 54 300

$lab^*rgb^*_{Ma}$: 0.5 0.0 1.0

$lab^*olv^*_{Ma}$: 0.0 0.12 1.0

Dreiecks-Helligkeit i^*

%Umfang

$u^*_{rel} = 88$

%Regularität

$g^*_{H,rel} = 31$

$g^*_{C,rel} = 40$

FRS09_92aM; adaptierte CIELAB-Daten

u^*_e	$L^*=L^*_a$	a^*_a	b^*_a	$C^*_{ab,a}$	$h^*_{ab,a}$	u^*_d
r00j	39.18	56.94	27.13	63.07	25	m81o
r25j	42.41	49.1	44.5	66.26	42	o10y
r50j	52.78	35.22	58.37	68.17	59	o40y
r75j	64.82	19.12	74.47	76.89	76	o69y
j00g	82.06	-3.94	97.52	97.6	92	o98y
j25g	67.26	-26.87	74.67	79.36	110	y34l
j50g	55.83	-43.45	57.11	71.76	127	y69l
j75g	47.5	-54.18	38.3	66.35	145	i03c
g00b	50.07	-44.09	14.13	46.3	162	i23c
g25b	52.21	-35.66	-6.03	36.17	190	i55c
g50b	53.9	-29.04	-21.87	36.36	217	i87c
g75b	49.44	-15.51	-32.31	35.84	244	c20v
b00r	41.36	1.15	-37.95	37.97	272	c53v
b25r	28.74	27.19	-46.77	54.1	300	c87v
b50r	33.74	61.97	-37.81	72.59	329	v68m
b75r	40.08	64.26	-3.32	64.35	357	m33o

lab^*rgb^*

$i^* = 1.00$

Brillantheit i^*

$i^* = 0.80$

$i^* = 0.60$

$i^* = 0.40$

$i^* = 0.20$

$i^* = 0.00$

relative Buntheit c^*

Ein und Ausgabe: Farbmetrisches Drucker-Reflektiv-System FRS09_92aM für relativen CIELAB-Buntton $h^* = \text{lab}^*h^* = h_{ab}/360 = 0.913$

Daten für jede Farbe:

lab^*tch^* und lab^*icu^*

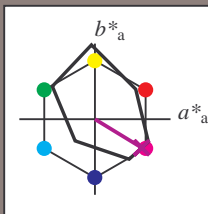
Bunttontexte:

$u^*_e = b50r$ $u^*_d = v68m$

Kontrastreduzierungsfaktor:

$c_R = 0.9$

Dreiecks-Helligkeit i^*



FRS09_92aM; adaptierte CIELAB-Daten

u^*_e	$L^*=L^*_a$	a^*_a	b^*_a	$C^*_{ab,a}$	$h^*_{ab,a}$
O _{Ma}	38.8	53.92	39.68	66.95	36
Y _{Ma}	82.58	-4.64	98.22	98.33	93
L _{Ma}	46.95	-56.34	43.46	71.15	142
C _{Ma}	54.62	-26.2	-28.68	38.85	228
V _{Ma}	20.01	45.2	-52.87	69.56	311
M _{Ma}	40.88	70.68	-29.99	76.78	337
N _{Ma}	15.0	0.0	0.0	0.0	0
W _{Ma}	90.0	0.0	0.0	0.0	0
R _{Ma}	39.92	58.74	27.99	65.07	25
J _{Ma}	81.26	-2.89	71.56	71.62	92
G _{Ma}	52.23	-42.42	13.6	44.55	162
B _{Ma}	30.57	1.41	-46.47	46.49	272

Daten für Maximalfarbe (Ma):

$\text{LAB}^*\text{LAB}^*_{Ma}$: 34 62 -38

$\text{LAB}^*\text{LCH}^*_{Ma}$: 34 73 328

$\text{lab}^*\text{rgb}^*_{Ma}$: 1.0 0.0 1.0

$\text{lab}^*\text{olv}^*_{Ma}$: 0.68 0.0 1.0

Dreiecks-Helligkeit i^*

%Umfang

$u^*_{rel} = 88$

%Regularität

$g^*_{H,rel} = 31$

$g^*_{C,rel} = 40$

FRS09_92aM; adaptierte CIELAB-Daten

u^*_e	$L^*=L^*_a$	a^*_a	b^*_a	$C^*_{ab,a}$	$h^*_{ab,a}$	u^*_d
r00j	39.18	56.94	27.13	63.07	25	m81o
r25j	42.41	49.1	44.5	66.26	42	o10y
r50j	52.78	35.22	58.37	68.17	59	o40y
r75j	64.82	19.12	74.47	76.89	76	o69y
j00g	82.06	-3.94	97.52	97.6	92	o98y
j25g	67.26	-26.87	74.67	79.36	110	y34l
j50g	55.83	-43.45	57.11	71.76	127	y69l
j75g	47.5	-54.18	38.3	66.35	145	i03c
g00b	50.07	-44.09	14.13	46.3	162	i23c
g25b	52.21	-35.66	-6.03	36.17	190	i55c
g50b	53.9	-29.04	-21.87	36.36	217	i87c
g75b	49.44	-15.51	-32.31	35.84	244	c20v
b00r	41.36	1.15	-37.95	37.97	272	c53v
b25r	28.74	27.19	-46.77	54.1	300	c87v
b50r	33.74	61.97	-37.81	72.59	329	v68m
b75r	40.08	64.26	-3.32	64.35	357	m33o

lab^*rgb^*

$i^* = 1.00$

Brillantheit i^*

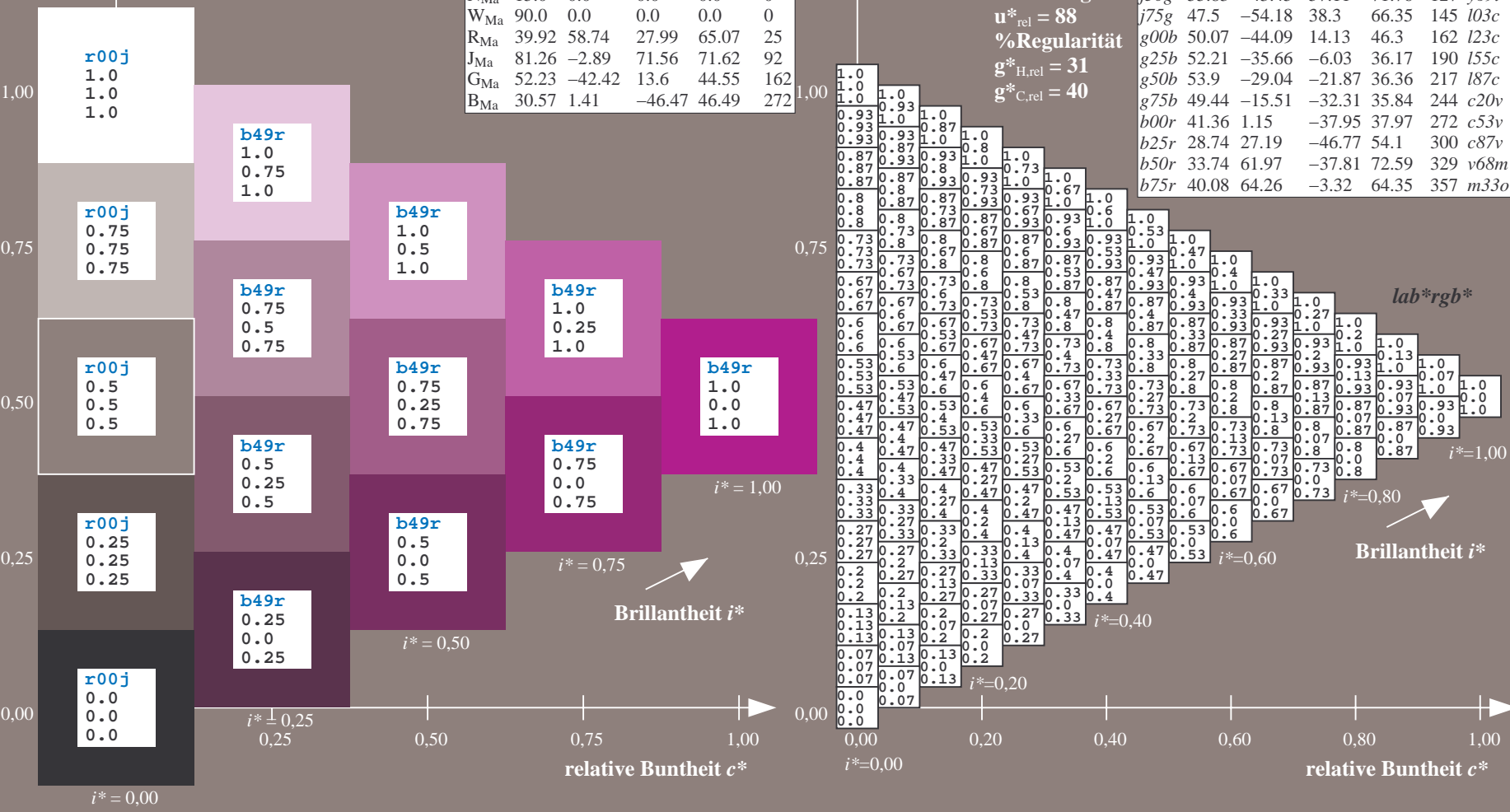
$i^* = 0.80$

$i^* = 0.60$

$i^* = 0.40$

$i^* = 0.20$

$i^* = 0.00$



Ein und Ausgabe: Farbmetrisches Drucker-Reflektiv-System FRS09_92aM für relativen CIELAB-Buntton $h^* = lab^*h^* = h_{ab}/360 = 0.992$

Daten für jede Farbe:
 lab^*tch^* und lab^*icu^*

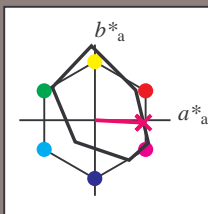
Bunttontexte:

$u^*_e = b75r$ $u^*_d = m33o$

Kontrastreduzierungsfaktor:

$c_R = 0.9$

Dreiecks-Helligkeit i^*



FRS09_92aM; adaptierte CIELAB-Daten						
u^*_e	$L^*=L^*_a$	a^*_a	b^*_a	$C^*_{ab,a}$	$h^*_{ab,a}$	
O _{Ma}	38.8	53.92	39.68	66.95	36	
Y _{Ma}	82.58	-4.64	98.22	98.33	93	
L _{Ma}	46.95	-56.34	43.46	71.15	142	
C _{Ma}	54.62	-26.2	-28.68	38.85	228	
V _{Ma}	20.01	45.2	-52.87	69.56	311	
M _{Ma}	40.88	70.68	-29.99	76.78	337	
N _{Ma}	15.0	0.0	0.0	0.0	0	
W _{Ma}	90.0	0.0	0.0	0.0	0	
R _{Ma}	39.92	58.74	27.99	65.07	25	
J _{Ma}	81.26	-2.89	71.56	71.62	92	
G _{Ma}	52.23	-42.42	13.6	44.55	162	
B _{Ma}	30.57	1.41	-46.47	46.49	272	

Daten für Maximalfarbe (Ma):

$LAB^*LAB^*_{Ma}$: 40 64 -3

$LAB^*LCH^*_{Ma}$: 40 64 357

$lab^*rgb^*_{Ma}$: 1.0 0.0 0.5

$lab^*olv^*_{Ma}$: 1.0 0.0 0.66

Dreiecks-Helligkeit i^*

%Umfang

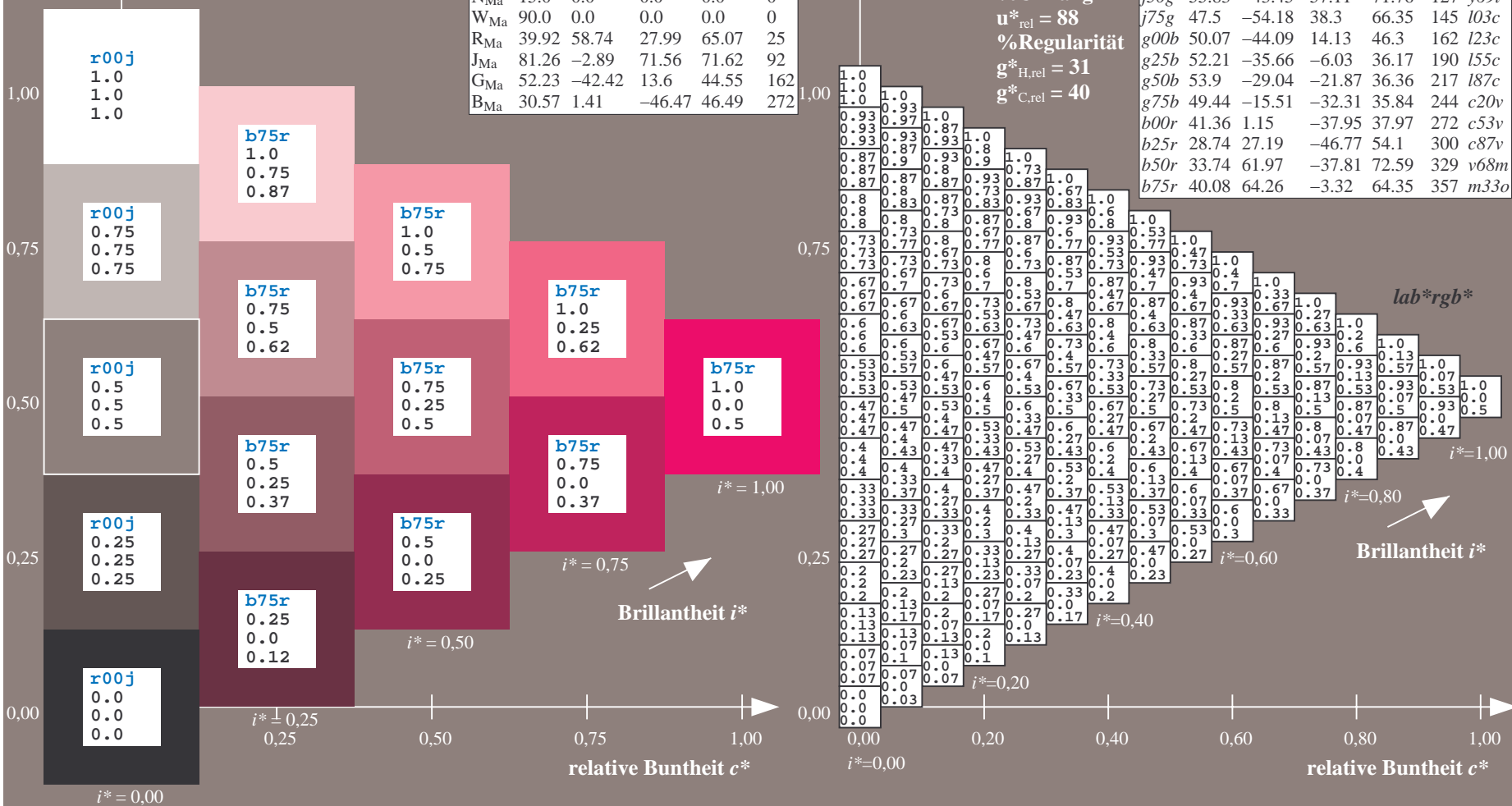
$u^*_{rel} = 88$

%Regularität

$g^*_{H,rel} = 31$

$g^*_{C,rel} = 40$

FRS09_92aM; adaptierte CIELAB-Daten						
u^*_e	$L^*=L^*_a$	a^*_a	b^*_a	$C^*_{ab,a}$	$h^*_{ab,a}$	u^*_d
r00j	39.18	56.94	27.13	63.07	25	m81o
r25j	42.41	49.1	44.5	66.26	42	o10y
r50j	52.78	35.22	58.37	68.17	59	o40y
r75j	64.82	19.12	74.47	76.89	76	o69y
j00g	82.06	-3.94	97.52	97.6	92	o98y
j25g	67.26	-26.87	74.67	79.36	110	y34l
j50g	55.83	-43.45	57.11	71.76	127	y69l
j75g	47.5	-54.18	38.3	66.35	145	l03c
g00b	50.07	-44.09	14.13	46.3	162	l23c
g25b	52.21	-35.66	-6.03	36.17	190	l55c
g50b	53.9	-29.04	-21.87	36.36	217	l87c
g75b	49.44	-15.51	-32.31	35.84	244	c20v
b00r	41.36	1.15	-37.95	37.97	272	c53v
b25r	28.74	27.19	-46.77	54.1	300	c87v
b50r	33.74	61.97	-37.81	72.59	329	v68m
b75r	40.08	64.26	-3.32	64.35	357	m33o



Siehe ähnliche Dateien: <http://www.ps.bam.de/Eg33/>; www.ps.bam.de/Eg33/; www.ps.bam.de/Eg33/
Technische Information: <http://www.ps.bam.de/Version2.1,io=1.1,ColSp=0>

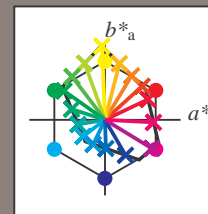
	A	B	C	D	E	F	G	H	I	J	K	L	M	N	O	P	Q	R	S	T	U	V	W	X	Y	Z	a	b	c	d	e	f	g	h	i	j	k	lab*rgb*			
01	0.0	0.04	0.07	0.11	0.14	0.18	0.21	0.25	0.28	0.32	0.36	0.40	0.44	0.48	0.52	0.56	0.60	0.64	0.68	0.72	0.76	0.80	0.84	0.88	0.92	0.96	1.0	0.0	0.0	0.0	0.0	0.0	0.0	0.0	0.0	0.0	0.0	0.0	0.0	0.0	
02	0.0	0.13	0.25	0.38	0.5	0.63	0.75	0.88	1.0	1.13	1.25	1.38	1.5	1.63	1.75	1.88	2.0	2.13	2.25	2.38	2.5	2.63	2.75	2.88	3.0	3.13	3.25	3.38	3.5	3.63	3.75	3.88	4.0	4.13	4.25	4.38	4.5	4.63	4.75	4.88	5.0
03	0.09	0.0	0.0	0.0	0.0	0.03	0.06	0.1	0.13	0.13	0.16	0.2	0.23	0.27	0.3	0.34	0.37	0.4	0.44	0.48	0.52	0.56	0.6	0.64	0.68	0.72	0.76	0.8	0.84	0.88	0.92	0.96	1.0	1.04	1.08	1.12	1.16	1.2	1.24	1.28	1.32
04	0.17	0.0	0.0	0.0	0.0	0.0	0.0	0.0	0.0	0.23	0.21	0.13	0.13	0.13	0.13	0.15	0.19	0.22	0.25	0.25	0.29	0.32	0.36	0.39	0.43	0.46	0.75	0.75	0.75	0.75	0.75	0.75	0.75	0.75	0.75	0.75	0.75	0.75	0.75	0.75	0.75
05	0.25	0.01	0.2	0.38	0.5	0.63	0.75	0.88	1.0	0.0	0.13	0.23	0.38	0.5	0.63	0.75	0.88	1.0	0.0	0.13	0.25	0.38	0.5	0.63	0.75	0.88	1.0	0.95	0.85	0.75	0.65	0.54	0.44	0.33	0.23	0.12	0.25	0.25	0.25	0.25	
06	0.26	0.07	0.0	0.0	0.0	0.0	0.0	0.0	0.0	0.31	0.3	0.13	0.13	0.13	0.13	0.13	0.13	0.13	0.37	0.35	0.34	0.25	0.25	0.25	0.25	0.25	0.25	0.25	0.25	0.25	0.25	0.25	0.25	0.25	0.25	0.25	0.25	0.25	0.25	0.25	0.25
07	0.38	0.38	0.38	0.38	0.4	0.36	0.31	0.27	0.22	0.38	0.38	0.38	0.38	0.33	0.29	0.24	0.2	0.38	0.38	0.38	0.38	0.35	0.31	0.26	0.25	0.25	0.25	0.25	0.25	0.25	0.25	0.25	0.25	0.25	0.25	0.25	0.25	0.25	0.25	0.25	
08	0.34	0.16	0.02	0.21	0.4	0.63	0.75	0.88	1.0	0.0	0.38	0.13	0.24	0.13	0.63	0.75	0.88	1.0	0.0	0.38	0.25	0.26	0.55	0.63	0.75	0.88	1.0	0.9	0.88	0.7	0.6	0.5	0.4	0.29	0.19	0.08	0.5	0.5	0.5	0.5	
09	0.5	0.5	0.5	0.5	0.5	0.55	0.51	0.46	0.42	0.5	0.5	0.5	0.5	0.5	0.53	0.48	0.44	0.39	0.5	0.5	0.5	0.5	0.5	0.46	0.41	0.37	0.1	0.88	0.75	0.63	0.5	0.38	0.25	0.13	0.0	0.5	0.5	0.5	0.5		
10	0.43	0.24	0.06	0.0	0.0	0.0	0.0	0.0	0.0	0.48	0.47	0.28	0.13	0.13	0.13	0.13	0.13	0.13	0.54	0.52	0.51	0.32	0.25	0.25	0.25	0.25	0.25	0.38	0.38	0.38	0.38	0.38	0.38	0.38	0.38	0.38	0.38	0.38	0.38		
11	0.63	0.63	0.63	0.63	0.63	0.63	0.63	0.7	0.66	0.61	0.63	0.63	0.63	0.63	0.63	0.63	0.68	0.63	0.59	0.63	0.63	0.63	0.63	0.63	0.65	0.61	0.56	1.0	0.88	0.75	0.63	0.5	0.38	0.25	0.13	0.0	0.63	0.63	0.63	0.63	
12	0.51	0.33	0.15	0.0	0.0	0.0	0.0	0.0	0.0	0.57	0.55	0.37	0.19	0.13	0.13	0.13	0.13	0.13	0.63	0.61	0.59	0.41	0.25	0.25	0.25	0.25	0.25	0.25	0.25	0.25	0.25	0.25	0.25	0.25	0.25	0.25	0.25	0.25	0.25	0.25	
13	0.75	0.75	0.75	0.75	0.75	0.75	0.75	0.85	0.8	0.75	0.75	0.75	0.75	0.75	0.75	0.75	0.83	0.78	0.75	0.75	0.75	0.75	0.75	0.75	0.8	0.76	1.0	0.88	0.75	0.63	0.5	0.38	0.25	0.13	0.0	0.75	0.75	0.75	0.75		
14	0.6	0.41	0.23	0.05	0.0	0.0	0.0	0.0	0.0	0.66	0.64	0.45	0.27	0.13	0.13	0.13	0.13	0.13	0.71	0.69	0.68	0.49	0.31	0.25	0.25	0.25	0.25	0.13	0.13	0.13	0.13	0.13	0.13	0.13	0.13	0.13	0.13	0.13	0.13	0.13	
15	0.88	0.88	0.88	0.88	0.88	0.88	0.88	0.88	1.0	0.88	0.88	0.88	0.88	0.88	0.88	0.88	0.88	0.97	0.88	0.88	0.88	0.88	0.88	0.88	0.88	0.88	0.95	1.0	0.88	0.75	0.63	0.5	0.38	0.25	0.13	0.0	0.88	0.88	0.88	0.88	
16	0.68	0.5	0.32	0.14	0.0	0.0	0.0	0.0	0.0	0.74	0.72	0.54	0.36	0.17	0.13	0.13	0.13	0.13	0.8	0.78	0.76	0.58	0.4	0.25	0.25	0.25	0.25	0.25	0.0	0.0	0.0	0.0	0.0	0.0	0.0	0.0	1.0	1.0	1.0	1.0	
17	0.0	0.0	0.0	0.0	0.0	0.05	0.24	0.43	0.62	0.81	0.0	0.13	0.13	0.13	0.13	0.26	0.45	0.64	0.83	0.0	0.13	0.25	0.25	0.25	0.29	0.48	0.67	0.85	0.81	0.71	0.6	0.5	0.4	0.3	0.2	0.1	0.0	1.0	1.0	1.0	
18	1.0	1.0	1.0	1.0	1.0	1.0	1.0	1.0	1.0	1.0	1.0	1.0	1.0	1.0	1.0	1.0	1.0	1.0	1.0	1.0	1.0	1.0	1.0	1.0	1.0	1.0	1.0	1.0	0.88	0.75	0.63	0.5	0.38	0.25	0.13	0.0	1.0	1.0	1.0		
19	0.38	0.38	0.38	0.37	0.41	0.44	0.48	0.52	0.55	0.5	0.5	0.5	0.5	0.5	0.53	0.57	0.6	0.64	0.63	0.63	0.63	0.63	0.63	0.62	0.66	0.69	0.73	1.0	1.0	1.0	1.0	1.0	1.0	1.0	1.0	1.0	0.99	0.0	0.0	0.0	
20	0.06	0.17	0.27	0.38	0.5	0.63	0.75	0.88	1.0	0.0	0.08	0.19	0.29	0.4	0.5	0.63	0.75	0.88	1.0	0.1	0.21	0.31	0.42	0.52	0.63	0.75	0.88	1.0	1.0	1.0	1.0	1.0	1.0	1.0	1.0	1.0	1.0	1.0	1.0	1.0	
21	0.38	0.38	0.38	0.37	0.41	0.44	0.48	0.52	0.55	0.5	0.5	0.5	0.5	0.5	0.53	0.57	0.6	0.64	0.63	0.63	0.63	0.63	0.63	0.62	0.66	0.69	0.73	0.96	0.88	0.87	0.87	0.87	0.87	0.87	0.87	0.87	0.87	0.87			
22	0.06	0.13	0.27	0.38	0.5	0.63	0.75	0.88	1.0	0.0	0.19	0.29	0.4	0.5	0.63	0.75	0.88	1.0	0.0	0.31	0.42	0.52	0.63	0.75	0.88	1.0	0.88	0.88	0.88	0.88	0.88	0.88	0.88	0.88	0.88	0.88	0.88	0.88	0.88		
23	0.38	0.38	0.38	0.37	0.41	0.45	0.48	0.52	0.55	0.5	0.5	0.5	0.5	0.5	0.53	0.57	0.61	0.64	0.63	0.63	0.63	0.63	0.63	0.62	0.66	0.69	0.73	0.92	0.84	0.75	0.75	0.75	0.75	0.75	0.75	0.75	0.75	0.75	0.75		
24	0.0	0.13	0.27	0.38	0.5	0.63	0.75	0.88	1.0	0.0	0.13	0.29	0.4	0.5	0.63	0.75	0.88	1.0	0.0	0.13	0.31	0.42	0.52	0.63	0.75	0.88	1.0	0.75	0.75	0.75	0.75	0.75	0.75	0.75	0.75	0.75	0.75	0.75	0.75	0.75	
25	0.19	0.21	0.25	0.25	0.25	0.25	0.25	0.25	0.25	0.17	0.18	0.25	0.25	0.25	0.25	0.25	0.25	0.25	0.25	0.16	0.25	0.25	0.25	0.25	0.25	0.25	0.25	1.0	0.88	0.75	0.63	0.5	0.38	0.25	0.13	0.0	0.13	0.13	0.13	0.13	
26	0.38	0.38	0.38	0.37	0.41	0.45	0.48	0.52	0.55	0.5	0.5	0.5	0.5	0.5	0.53	0.57	0.61	0.64	0.63	0.63	0.63	0.63	0.63	0.62	0.66	0.69	0.73	0.92	0.84	0.75	0.75	0.75	0.75	0.75	0.75	0.75	0.75	0.75	0.75	0.75	
27	0.0	0.13	0.27	0.38	0.5	0.63	0.75	0.88	1.0	0.0	0.13	0.29	0.4	0.5	0.63	0.75	0.88	1.0	0.0	0.13	0.31	0.42	0.52	0.63	0.75	0.88	1.0	0.75	0.75	0.75	0.75	0.75	0.75	0.75	0.75	0.75	0.75	0.75	0.75	0.75	
28	0.19	0.21	0.25	0.25	0.25	0.25	0.25	0.25	0.25	0.17	0.18	0.25	0.25	0.25	0.25	0.25	0.25	0.25	0.25	0.16	0.25	0.25	0.25	0.25	0.25	0.25	0.25	1.0	0.88	0.75	0.63	0.5	0.38	0.25	0.13	0.0	0.13	0.13	0.13	0.13	
29	0.38	0.38	0.38	0.37	0.41	0.45	0.48	0.52	0.55	0.5	0.5	0.5	0.5	0.5	0.53	0.57	0.61	0.64	0.63	0.63	0.63	0.63	0.63	0.62	0.66	0.69	0.73	0.92	0.84	0.75	0.75	0.75	0.75	0.75	0.75	0.75	0.75	0.75	0.75	0.75	
30	0.0	0.13	0.27	0.38	0.5	0.63	0.75	0.88	1.0	0.0	0.13	0.29	0.4	0.5	0.63	0.75	0.88	1.0	0.0	0.13	0.31	0.42	0.52	0.63	0.75	0.88	1.0	0.75	0.75	0.75	0.75	0.75	0.75	0.75	0.75	0.75	0.75	0.75	0.75	0.75	
31	0.19	0.21	0.25	0.25	0.25	0.25	0.25	0.25	0.25	0.17	0.18	0.25	0.25	0.25	0.25	0.25	0.25	0.25	0.25	0.16	0.25	0.25	0.25	0.25	0.25	0.25	0.25	1.0	0.88	0.75	0.63	0.5	0.38	0.25	0.13	0.0	0.13	0.13	0.13	0.13	
32	0.38	0.38	0.38	0.37	0.41	0.45	0.48	0.52	0.55	0.5	0.5	0.5	0.5	0.5	0.53	0.57	0.61	0.64	0.63	0.63	0.63	0.63	0.63	0.62	0.66	0.69	0.73	0.92	0.84	0.75	0.75	0.75	0.75	0.75	0.75	0.75	0.75	0.75	0.75	0.75	
33	0.0	0.13	0.27	0.38	0.5	0.63	0.75	0.88	1.0	0.0	0.13	0.29	0.4	0.5	0.63	0.75	0.88	1.0	0.0.																						

Ein und Ausgabe:
Farbmimetrisches Drucker-Reflektiv-System FRS09_92aM
Daten für jede Farbe:

u^*_e und Nummer $Nr.$ = 00 .. 15
Elementar-Bunttextext:
 u^*_e = 16 Bunttoene $r00j$, $r25j$, ..., $b75r$
Kontrastreduzierungsfaktor:
 $c_R = 0.9$

FRS09_92aM; adaptierte CIELAB-Daten

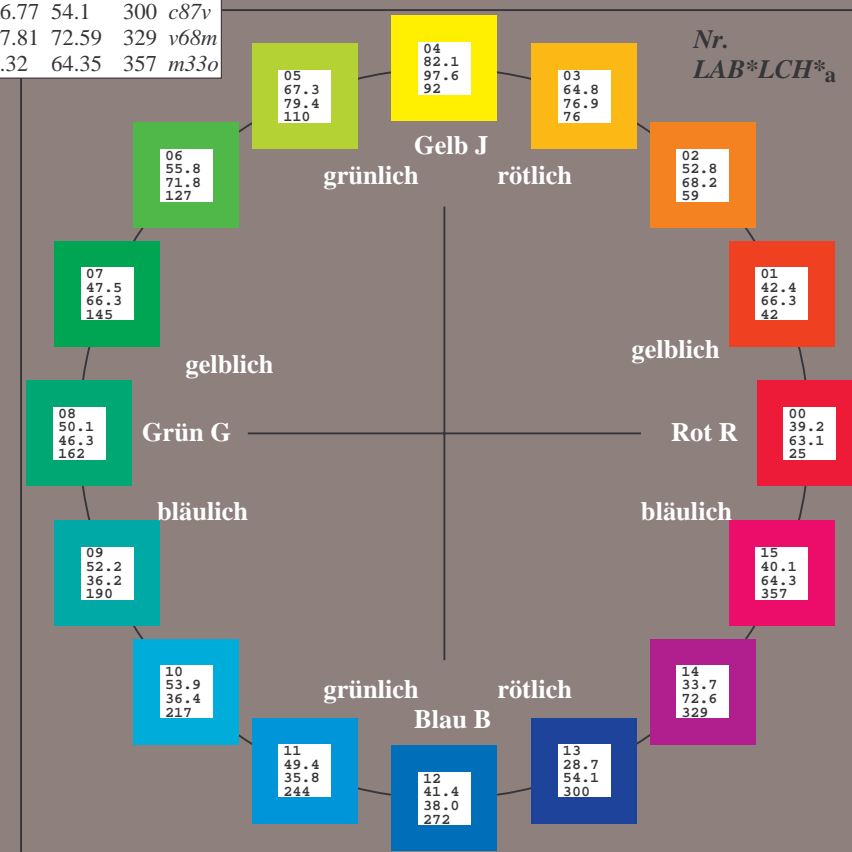
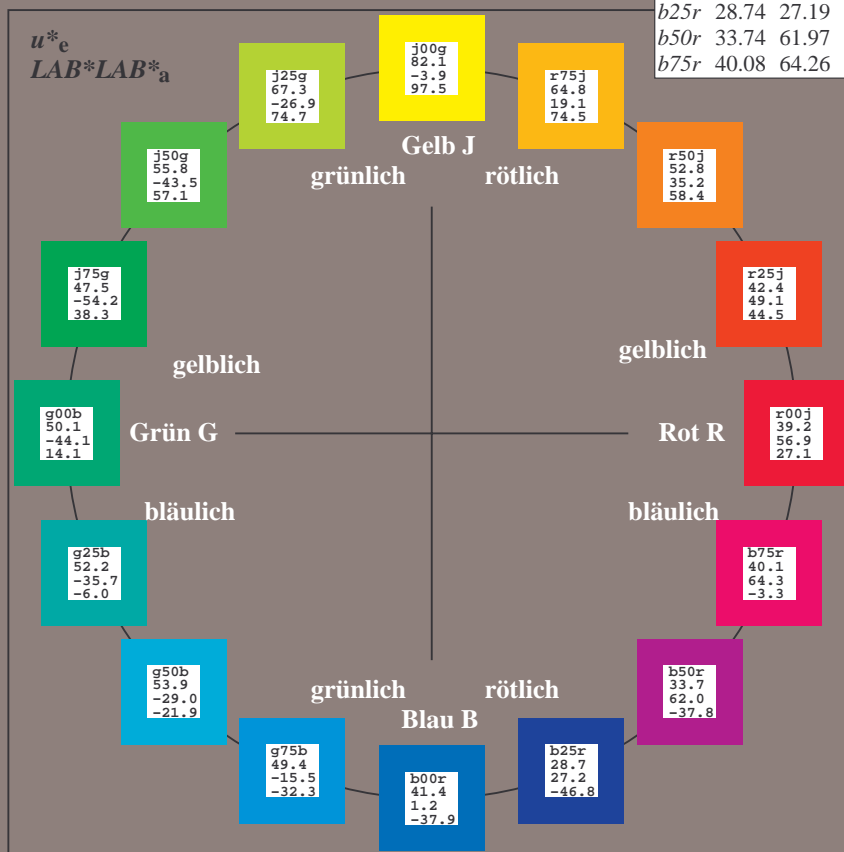
u^*_e	$L^*=L^*_a$	a^*_a	b^*_a	$C^*_{ab,a}$	$h^*_{ab,a}$	u^*_d
$r00j$	39.18	56.94	27.13	63.07	25	$m81o$
$r25j$	42.41	49.1	44.5	66.26	42	$o10y$
$r50j$	52.78	35.22	58.37	68.17	59	$o40y$
$r75j$	64.82	19.12	74.47	76.89	76	$o69y$
$j00g$	82.06	-3.94	97.52	97.6	92	$o98y$
$j25g$	67.26	-26.87	74.67	79.36	110	$y34l$
$j50g$	55.83	-43.45	57.11	71.76	127	$y69l$
$j75g$	47.5	-54.18	38.3	66.35	145	$l03c$
$g00b$	50.07	-44.09	14.13	46.3	162	$l23c$
$g25b$	52.21	-35.66	-6.03	36.17	190	$l55c$
$g50b$	53.9	-29.04	-21.87	36.36	217	$l87c$
$g75b$	49.44	-15.51	-32.31	35.84	244	$c20v$
$b00r$	41.36	1.15	-37.95	37.97	272	$c53v$
$b25r$	28.74	27.19	-46.77	54.1	300	$c87v$
$b50r$	33.74	61.97	-37.81	72.59	329	$v68m$
$b75r$	40.08	64.26	-3.32	64.35	357	$m33o$



%Umfang
 $u^*_{rel} = 88$
%Regularität
 $g^*_{H,rel} = 31$
 $g^*_{C,rel} = 40$

FRS09_92aM; adaptierte CIELAB-Daten

Name	$L^*=L^*_a$	a^*_a	b^*_a	$C^*_{ab,a}$	$h^*_{ab,a}$
O_{Ma}	38.8	53.92	39.68	66.95	36
Y_{Ma}	82.58	-4.64	98.22	98.33	93
L_{Ma}	46.95	-56.34	43.46	71.15	142
C_{Ma}	54.62	-26.2	-28.68	38.85	228
V_{Ma}	20.01	45.2	-52.87	69.56	311
M_{Ma}	40.88	70.68	-29.99	76.78	337
N_{Ma}	15.0	0.0	0.0	0.0	0
W_{Ma}	90.0	0.0	0.0	0.0	0
R_{CIE}	39.92	58.74	27.99	65.07	25
J_{CIE}	81.26	-2.89	71.56	71.62	92
G_{CIE}	52.23	-42.42	13.6	44.55	162
B_{CIE}	30.57	1.41	-46.47	46.49	272



Ein und Ausgabe: Farbmetrisches Drucker-Reflektiv-System FRS09_92aM für relativen CIELAB-Buntton $h^* = lab^*h^* = h_{ab}/360 = 0.071$

Daten für jede Farbe:

lab^*tch^* und lab^*icu^*

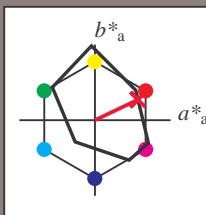
Bunttontexte:

$u^*_e = r00j$ $u^*_d = m81o$

Kontrastreduzierungsfaktor:

$c_R = 0.9$

Dreiecks-Helligkeit t^*



FRS09_92aM; adaptierte CIELAB-Daten

	u^*_e	$L^*=L^*_a$	a^*_a	b^*_a	$C^*_{ab,a}$	$h^*_{ab,a}$
O _{Ma}	38.8	53.92	39.68	66.95	36	
Y _{Ma}	82.58	-4.64	98.22	98.33	93	
L _{Ma}	46.95	-56.34	43.46	71.15	142	
C _{Ma}	54.62	-26.2	-28.68	38.85	228	
V _{Ma}	20.01	45.2	-52.87	69.56	311	
M _{Ma}	40.88	70.68	-29.99	76.78	337	
N _{Ma}	15.0	0.0	0.0	0.0	0	
W _{Ma}	90.0	0.0	0.0	0.0	0	
R _{Ma}	39.92	58.74	27.99	65.07	25	
J _{Ma}	81.26	-2.89	71.56	71.62	92	
G _{Ma}	52.23	-42.42	13.6	44.55	162	
B _{Ma}	30.57	1.41	-46.47	46.49	272	

Daten für Maximalfarbe (Ma):

$LAB^*LAB^*_{Ma}$: 39 57 27

$LAB^*LCH^*_{Ma}$: 39 63 25

$lab^*rgb^*_{Ma}$: 1.0 0.0 0.0

$lab^*olv^*_{Ma}$: 1.0 0.0 0.18

Dreiecks-Helligkeit t^*

%Umfang

$u^*_{rel} = 88$

%Regularität

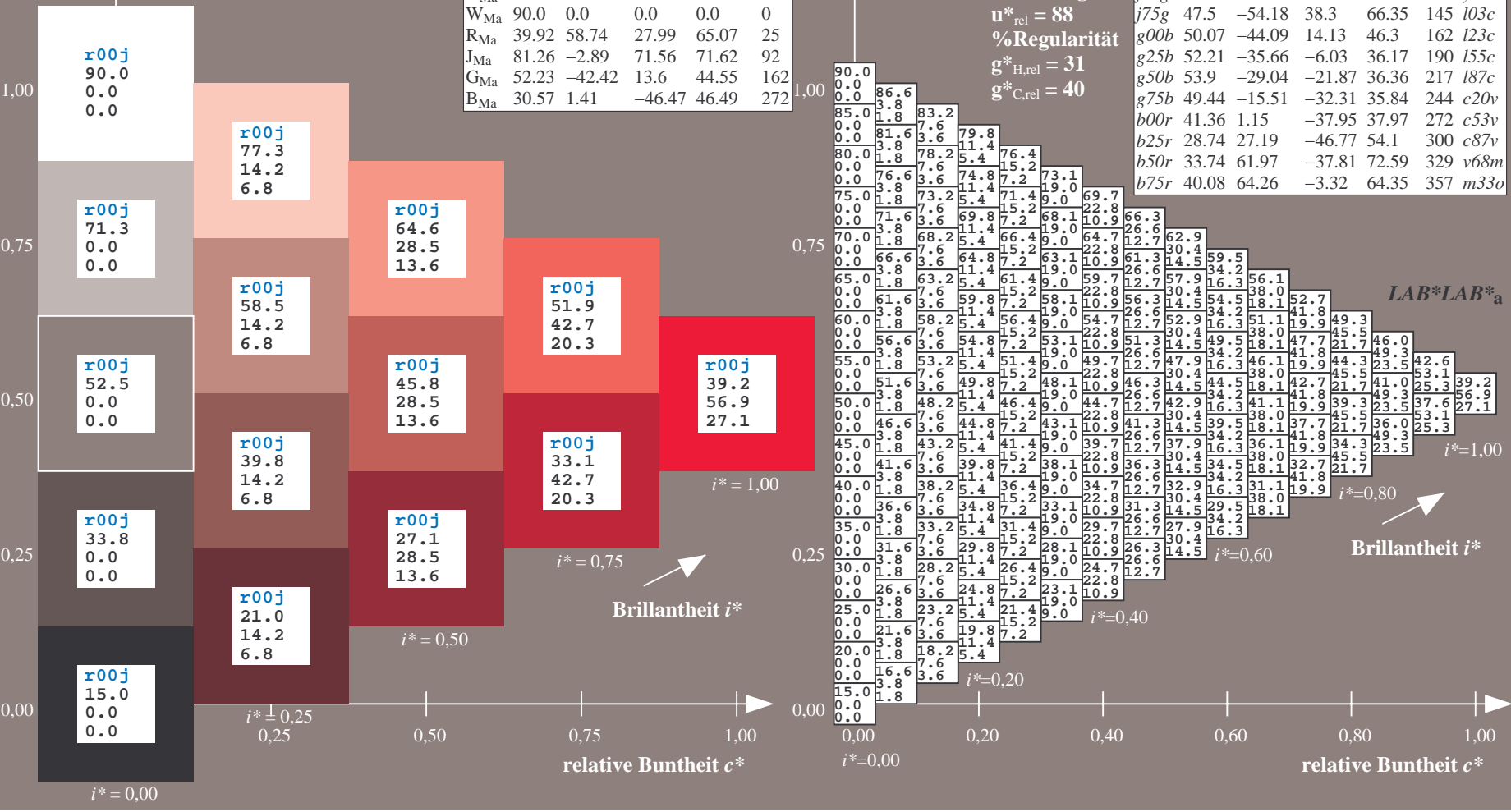
$g^*_{H,rel} = 31$

$g^*_{C,rel} = 40$

FRS09_92aM; adaptierte CIELAB-Daten

	u^*_e	$L^*=L^*_a$	a^*_a	b^*_a	$C^*_{ab,a}$	$h^*_{ab,a}$	u^*_d
r00j	39.18	56.94	27.13	63.07	25		m81o
r25j	42.41	49.1	44.5	66.26	42		o10y
r50j	52.78	35.22	58.37	68.17	59		o40y
r75j	64.82	19.12	74.47	76.89	76		o69y
j00g	82.06	-3.94	97.52	97.6	92		o98y
j25g	67.26	-26.87	74.67	79.36	110		y34l
j50g	55.83	-43.45	57.11	71.76	127		y69l
j75g	47.5	-54.18	38.3	66.35	145		i03c
g00b	50.07	-44.09	14.13	46.3	162		i23c
g25b	52.21	-35.66	-6.03	36.17	190		i55c
g50b	53.9	-29.04	-21.87	36.36	217		i87c
g75b	49.44	-15.51	-32.31	35.84	244		c20v
b00r	41.36	1.15	-37.95	37.97	272		c53v
b25r	28.74	27.19	-46.77	54.1	300		c87v
b50r	33.74	61.97	-37.81	72.59	329		v68m
b75r	40.08	64.26	-3.32	64.35	357		m33o

$u^*_e = r00j$
 $LAB^*LAB^*_{Ma}$



Ein und Ausgabe: Farbmetrisches Drucker-Reflektiv-System FRS09_92aM für relativen CIELAB-Buntton $h^* = lab^*h^* = h_{ab}/360 = 0.117$

Daten für jede Farbe:

lab^*tch^* und lab^*icu^*

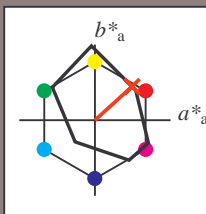
Bunttontexte:

$u^*_e = r25j$ $u^*_d = o10y$

Kontrastreduzierungsfaktor:

$c_R = 0.9$

Dreiecks-Helligkeit t^*



FRS09_92aM; adaptierte CIELAB-Daten

	u^*_e	$L^*=L^*_a$	a^*_a	b^*_a	$C^*_{ab,a}$	$h^*_{ab,a}$
O _{Ma}	38.8	53.92	39.68	66.95	36	
Y _{Ma}	82.58	-4.64	98.22	98.33	93	
L _{Ma}	46.95	-56.34	43.46	71.15	142	
C _{Ma}	54.62	-26.2	-28.68	38.85	228	
V _{Ma}	20.01	45.2	-52.87	69.56	311	
M _{Ma}	40.88	70.68	-29.99	76.78	337	
N _{Ma}	15.0	0.0	0.0	0.0	0	
W _{Ma}	90.0	0.0	0.0	0.0	0	
R _{Ma}	39.92	58.74	27.99	65.07	25	
J _{Ma}	81.26	-2.89	71.56	71.62	92	
G _{Ma}	52.23	-42.42	13.6	44.55	162	
B _{Ma}	30.57	1.41	-46.47	46.49	272	

Daten für Maximalfarbe (Ma):

$LAB^*LAB^*_{Ma}$: 42 49 44

$LAB^*LCH^*_{Ma}$: 42 66 42

$lab^*rgb^*_{Ma}$: 1.0 0.25 0.0

$lab^*olv^*_{Ma}$: 1.0 0.1 0.0

Dreiecks-Helligkeit t^*

%Umfang

$u^*_{rel} = 88$

%Regularität

$g^*_{H,rel} = 31$

$g^*_{C,rel} = 40$

FRS09_92aM; adaptierte CIELAB-Daten

	u^*_e	$L^*=L^*_a$	a^*_a	b^*_a	$C^*_{ab,a}$	$h^*_{ab,a}$	u^*_d
r00j	39.18	56.94	27.13	63.07	25	m81o	
r25j	42.41	49.1	44.5	66.26	42	o10y	
r50j	52.78	35.22	58.37	68.17	59	o40y	
r75j	64.82	19.12	74.47	76.89	76	o69y	
j00g	82.06	-3.94	97.52	97.6	92	o98y	
j25g	67.26	-26.87	74.67	79.36	110	y34l	
j50g	55.83	-43.45	57.11	71.76	127	y69l	
j75g	47.5	-54.18	38.3	66.35	145	i03c	
g00b	50.07	-44.09	14.13	46.3	162	i23c	
g25b	52.21	-35.66	-6.03	36.17	190	i55c	
g50b	53.9	-29.04	-21.87	36.36	217	i87c	
g75b	49.44	-15.51	-32.31	35.84	244	c20v	
b00r	41.36	1.15	-37.95	37.97	272	c53v	
b25r	28.74	27.19	-46.77	54.1	300	c87v	
b50r	33.74	61.97	-37.81	72.59	329	v68m	
b75r	40.08	64.26	-3.32	64.35	357	m33o	

$LAB^*LAB^*_{a}$

$i^*=1.00$

Brillantheit i^*

$i^*=0.80$

$i^*=0.60$

$i^*=0.40$

$i^*=0.20$

Ein und Ausgabe: Farbmetrisches Drucker-Reflektiv-System FRS09_92aM für relativen CIELAB-Buntton $h^* = lab^*h^* = h_{ab}/360 = 0.164$

Daten für jede Farbe:

lab^*tch^* und lab^*icu^*

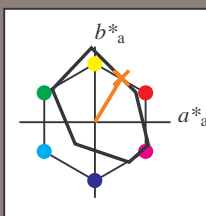
Bunttontexte:

$u^*_e = r50j$ $u^*_d = o40y$

Kontrastreduzierungsfaktor:

$c_R = 0.9$

Dreiecks-Helligkeit i^*



FRS09_92aM; adaptierte CIELAB-Daten

	u^*_e	$L^*=L^*_a$	a^*_a	b^*_a	$C^*_{ab,a}$	$h^*_{ab,a}$
O _{Ma}	38.8	53.92	39.68	66.95	36	
Y _{Ma}	82.58	-4.64	98.22	98.33	93	
L _{Ma}	46.95	-56.34	43.46	71.15	142	
C _{Ma}	54.62	-26.2	-28.68	38.85	228	
V _{Ma}	20.01	45.2	-52.87	69.56	311	
M _{Ma}	40.88	70.68	-29.99	76.78	337	
N _{Ma}	15.0	0.0	0.0	0.0	0	
W _{Ma}	90.0	0.0	0.0	0.0	0	
R _{Ma}	39.92	58.74	27.99	65.07	25	
J _{Ma}	81.26	-2.89	71.56	71.62	92	
G _{Ma}	52.23	-42.42	13.6	44.55	162	
B _{Ma}	30.57	1.41	-46.47	46.49	272	

Daten für Maximalfarbe (Ma):

$LAB^*LAB^*_{Ma}$: 53 35 58

$LAB^*LCH^*_{Ma}$: 53 68 58

$lab^*rgb^*_{Ma}$: 1.0 0.5 0.0

$lab^*olv^*_{Ma}$: 1.0 0.4 0.0

Dreiecks-Helligkeit i^*

%Umfang

$u^*_{rel} = 88$

%Regularität

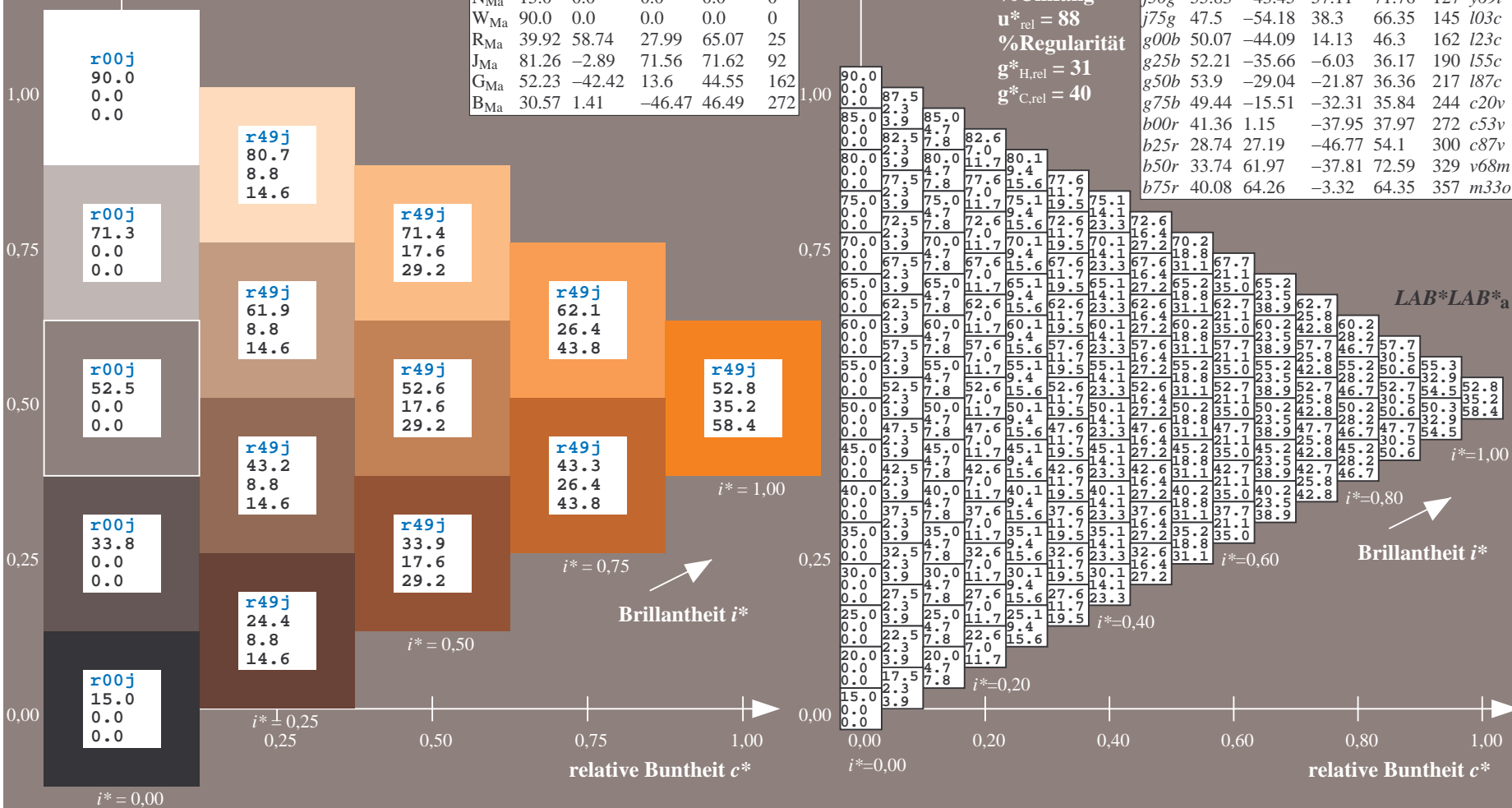
$g^*_{H,rel} = 31$

$g^*_{C,rel} = 40$

FRS09_92aM; adaptierte CIELAB-Daten

	u^*_e	$L^*=L^*_a$	a^*_a	b^*_a	$C^*_{ab,a}$	$h^*_{ab,a}$	u^*_d
r00j	39.18	56.94	27.13	63.07	25	m81o	
r25j	42.41	49.1	44.5	66.26	42	o10y	
r50j	52.78	35.22	58.37	68.17	59	o40y	
r75j	64.82	19.12	74.47	76.89	76	o69y	
j00g	82.06	-3.94	97.52	97.6	92	o98y	
j25g	67.26	-26.87	74.67	79.36	110	y34l	
j50g	55.83	-43.45	57.11	71.76	127	y69l	
j75g	47.5	-54.18	38.3	66.35	145	i03c	
g00b	50.07	-44.09	14.13	46.3	162	i23c	
g25b	52.21	-35.66	-6.03	36.17	190	i55c	
g50b	53.9	-29.04	-21.87	36.36	217	i87c	
g75b	49.44	-15.51	-32.31	35.84	244	c20v	
b00r	41.36	1.15	-37.95	37.97	272	c53v	
b25r	28.74	27.19	-46.77	54.1	300	c87v	
b50r	33.74	61.97	-37.81	72.59	329	v68m	
b75r	40.08	64.26	-3.32	64.35	357	m33o	

$u^*_e = r50j$
 $LAB^*LAB^*_a$



Ein und Ausgabe: Farbmetrisches Drucker-Reflektiv-System FRS09_92aM für relativen CIELAB-Buntton $h^* = lab^*h^* = h_{ab}/360 = 0.21$

Daten für jede Farbe:

lab^*ch^* und lab^*icu^*

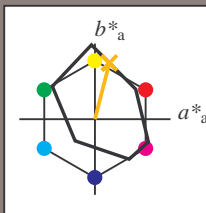
Bunttontexte:

$u^*_e = r75j$ $u^*_d = o69y$

Kontrastreduzierungsfaktor:

$c_R = 0.9$

Dreiecks-Helligkeit i^*



FRS09_92aM; adaptierte CIELAB-Daten

	u^*_e	$L^*=L^*_a$	a^*_a	b^*_a	$C^*_{ab,a}$	$h^*_{ab,a}$
O _{Ma}	38.8	53.92	39.68	66.95	36	
Y _{Ma}	82.58	-4.64	98.22	98.33	93	
L _{Ma}	46.95	-56.34	43.46	71.15	142	
C _{Ma}	54.62	-26.2	-28.68	38.85	228	
V _{Ma}	20.01	45.2	-52.87	69.56	311	
M _{Ma}	40.88	70.68	-29.99	76.78	337	
N _{Ma}	15.0	0.0	0.0	0.0	0	
W _{Ma}	90.0	0.0	0.0	0.0	0	
R _{Ma}	39.92	58.74	27.99	65.07	25	
J _{Ma}	81.26	-2.89	71.56	71.62	92	
G _{Ma}	52.23	-42.42	13.6	44.55	162	
B _{Ma}	30.57	1.41	-46.47	46.49	272	

Daten für Maximalfarbe (Ma):

$LAB^*LAB^*_Ma$: 65 19 74

$LAB^*LCH^*_Ma$: 65 77 75

$lab^*rgb^*_Ma$: 1.0 0.75 0.0

$lab^*olv^*_Ma$: 1.0 0.7 0.0

Dreiecks-Helligkeit i^*

%Umfang

$u^*_{rel} = 88$

%Regularität

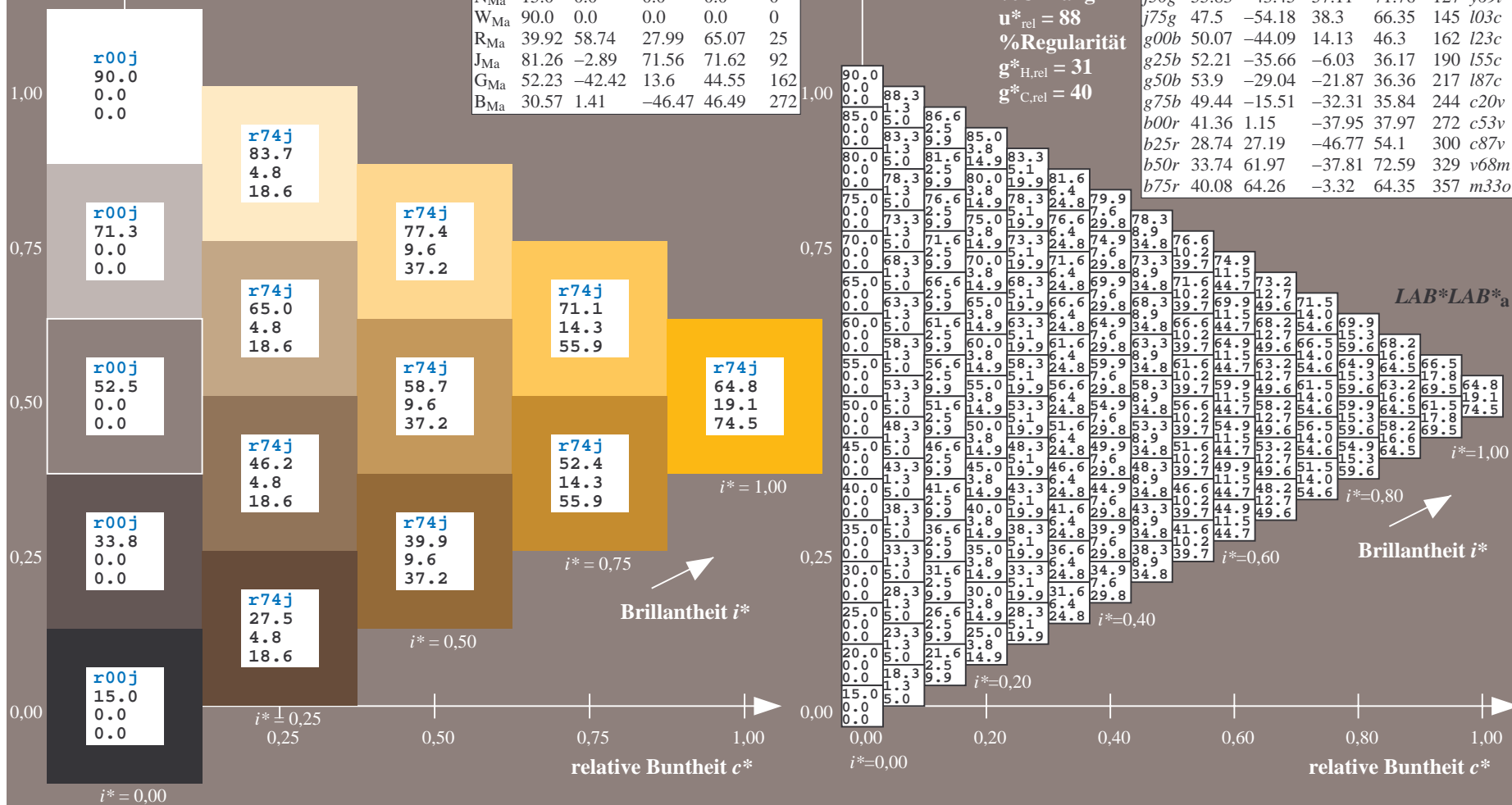
$g^*_{H,rel} = 31$

$g^*_{C,rel} = 40$

FRS09_92aM; adaptierte CIELAB-Daten

	u^*_e	$L^*=L^*_a$	a^*_a	b^*_a	$C^*_{ab,a}$	$h^*_{ab,a}$	u^*_d
r00j	39.18	56.94	27.13	63.07	25	m81o	
r25j	42.41	49.1	44.5	66.26	42	o10y	
r50j	52.78	35.22	58.37	68.17	59	o40y	
r75j	64.82	19.12	74.47	76.89	76	o69y	
j00g	82.06	-3.94	97.52	97.6	92	o98y	
j25g	67.26	-26.87	74.67	79.36	110	y34l	
j50g	55.83	-43.45	57.11	71.76	127	y69l	
j75g	47.5	-54.18	38.3	66.35	145	i03c	
g00b	50.07	-44.09	14.13	46.3	162	i23c	
g25b	52.21	-35.66	-6.03	36.17	190	i55c	
g50b	53.9	-29.04	-21.87	36.36	217	i87c	
g75b	49.44	-15.51	-32.31	35.84	244	c20v	
b00r	41.36	1.15	-37.95	37.97	272	c53v	
b25r	28.74	27.19	-46.77	54.1	300	c87v	
b50r	33.74	61.97	-37.81	72.59	329	v68m	
b75r	40.08	64.26	-3.32	64.35	357	m33o	

$u^*_e = r75j$
 $LAB^*LAB^*_a$



Ein und Ausgabe: Farbmetrisches Drucker-Reflektiv-System FRS09_92aM für relativen CIELAB-Buntton $h^* = lab^*h^* = h_{ab}/360 = 0.256$

Daten für jede Farbe:

lab^*ch^* und lab^*icu^*

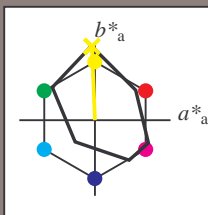
Bunttontexte:

$u^*_e = j00g$ $u^*_d = o98y$

Kontrastreduzierungsfaktor:

$c_R = 0.9$

Dreiecks-Helligkeit i^*



FRS09_92aM; adaptierte CIELAB-Daten						
	u^*_e	$L^*=L^*_a$	a^*_a	b^*_a	$C^*_{ab,a}$	$h^*_{ab,a}$
O _{Ma}	38.8	53.92	39.68	66.95	36	
Y _{Ma}	82.58	-4.64	98.22	98.33	93	
L _{Ma}	46.95	-56.34	43.46	71.15	142	
C _{Ma}	54.62	-26.2	-28.68	38.85	228	
V _{Ma}	20.01	45.2	-52.87	69.56	311	
M _{Ma}	40.88	70.68	-29.99	76.78	337	
N _{Ma}	15.0	0.0	0.0	0.0	0	
W _{Ma}	90.0	0.0	0.0	0.0	0	
R _{Ma}	39.92	58.74	27.99	65.07	25	
J _{Ma}	81.26	-2.89	71.56	71.62	92	
G _{Ma}	52.23	-42.42	13.6	44.55	162	
B _{Ma}	30.57	1.41	-46.47	46.49	272	

Daten für Maximalfarbe (Ma):

$LAB^*LAB^*_{Ma}$: 82 -4 98

$LAB^*LCH^*_{Ma}$: 82 98 92

$lab^*rgb^*_{Ma}$: 1.0 1.0 0.0

$lab^*olv^*_{Ma}$: 1.0 0.99 0.0

Dreiecks-Helligkeit i^*

%Umfang

$u^*_{rel} = 88$

%Regularität

$g^*_{H,rel} = 31$

$g^*_{C,rel} = 40$

FRS09_92aM; adaptierte CIELAB-Daten						
	u^*_e	$L^*=L^*_a$	a^*_a	b^*_a	$C^*_{ab,a}$	$h^*_{ab,a}$
r00j	39.18	56.94	27.13	63.07	25	m81o
r25j	42.41	49.1	44.5	66.26	42	o10y
r50j	52.78	35.22	58.37	68.17	59	o40y
r75j	64.82	19.12	74.47	76.89	76	o69y
j00g	82.06	-3.94	97.52	97.6	92	o98y
j25g	67.26	-26.87	74.67	79.36	110	y34l
j50g	55.83	-43.45	57.11	71.76	127	y69l
j75g	47.5	-54.18	38.3	66.35	145	i03c
g00b	50.07	-44.09	14.13	46.3	162	i23c
g25b	52.21	-35.66	-6.03	36.17	190	i55c
g50b	53.9	-29.04	-21.87	36.36	217	i87c
g75b	49.44	-15.51	-32.31	35.84	244	c20v
b00r	41.36	1.15	-37.95	37.97	272	c53v
b25r	28.74	27.19	-46.77	54.1	300	c87v
b50r	33.74	61.97	-37.81	72.59	329	v68m
b75r	40.08	64.26	-3.32	64.35	357	m33o



Ein und Ausgabe: Farbmetrisches Drucker-Reflektiv-System FRS09_92aM für relativen CIELAB-Buntton $h^* = lab^*h^* = h_{ab}/360 = 0.305$

Daten für jede Farbe:

lab^*tch^* und lab^*icu^*

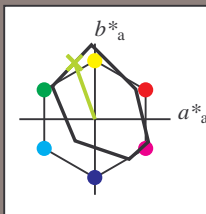
Bunttontexte:

$u^*_e = j25g$ $u^*_d = y34l$

Kontrastreduzierungsfaktor:

$c_R = 0.9$

Dreiecks-Helligkeit i^*



FRS09_92aM; adaptierte CIELAB-Daten						
u^*_e	$L^*=L^*_a$	a^*_a	b^*_a	$C^*_{ab,a}$	$h^*_{ab,a}$	
O _{Ma}	38.8	53.92	39.68	66.95	36	
Y _{Ma}	82.58	-4.64	98.22	98.33	93	
L _{Ma}	46.95	-56.34	43.46	71.15	142	
C _{Ma}	54.62	-26.2	-28.68	38.85	228	
V _{Ma}	20.01	45.2	-52.87	69.56	311	
M _{Ma}	40.88	70.68	-29.99	76.78	337	
N _{Ma}	15.0	0.0	0.0	0.0	0	
W _{Ma}	90.0	0.0	0.0	0.0	0	
R _{Ma}	39.92	58.74	27.99	65.07	25	
J _{Ma}	81.26	-2.89	71.56	71.62	92	
G _{Ma}	52.23	-42.42	13.6	44.55	162	
B _{Ma}	30.57	1.41	-46.47	46.49	272	

Daten für Maximalfarbe (Ma):

$LAB^*LAB^*_{Ma}$: 67 -27 75

$LAB^*LCH^*_{Ma}$: 67 79 109

$lab^*rgb^*_{Ma}$: 0.75 1.0 0.0

$lab^*olv^*_{Ma}$: 0.66 1.0 0.0

Dreiecks-Helligkeit i^*

%Umfang

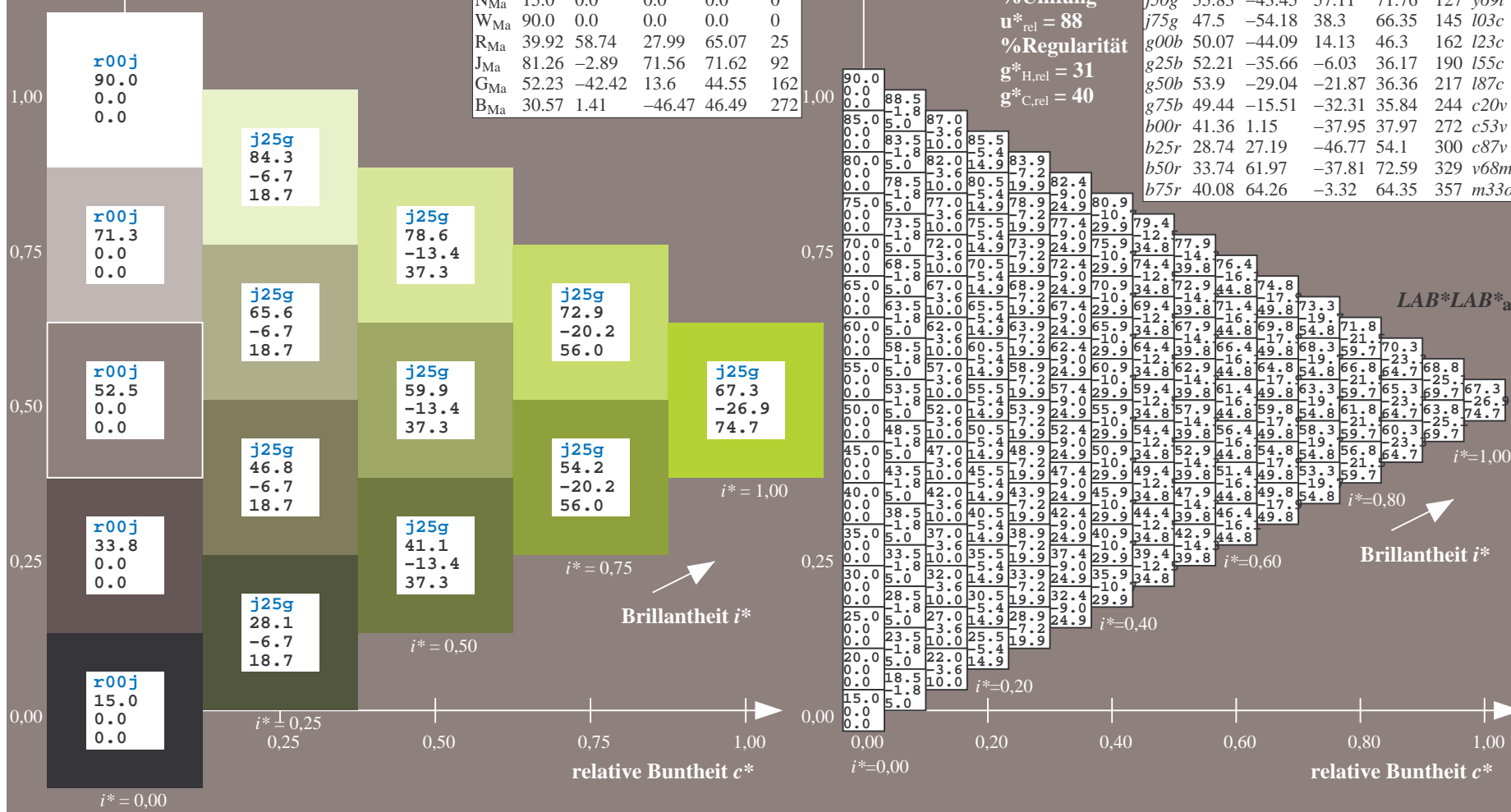
$u^*_{rel} = 88$

%Regularität

$g^*_{H,rel} = 31$

$g^*_{C,rel} = 40$

FRS09_92aM; adaptierte CIELAB-Daten						
u^*_e	$L^*=L^*_a$	a^*_a	b^*_a	$C^*_{ab,a}$	$h^*_{ab,a}$	u^*_d
r00j	39.18	56.94	27.13	63.07	25	m81o
r25j	42.41	49.1	44.5	66.26	42	o10y
r50j	52.78	35.22	58.37	68.17	59	o40y
r75j	64.82	19.12	74.47	76.89	76	o69y
j00g	82.06	-3.94	97.52	97.6	92	o98y
j25g	67.26	-26.87	74.67	79.36	110	y34l
j50g	55.83	-43.45	57.11	71.76	127	y69l
j75g	47.5	-54.18	38.3	66.35	145	i03c
g00b	50.07	-44.09	14.13	46.3	162	i23c
g25b	52.21	-35.66	-6.03	36.17	190	i55c
g50b	53.9	-29.04	-21.87	36.36	217	i87c
g75b	49.44	-15.51	-32.31	35.84	244	c20v
b00r	41.36	1.15	-37.95	37.97	272	c53v
b25r	28.74	27.19	-46.77	54.1	300	c87v
b50r	33.74	61.97	-37.81	72.59	329	v68m
b75r	40.08	64.26	-3.32	64.35	357	m33o



Ein und Ausgabe: Farbmetrisches Drucker-Reflektiv-System FRS09_92aM für relativen CIELAB-Buntton $h^* = lab^*h^* = h_{ab}/360 = 0.354$

Daten für jede Farbe:

*lab*tch** und *lab*icu**

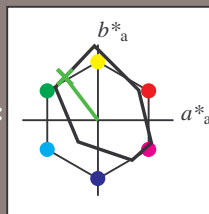
Bunttexte:

$$u^*_e = j50g \quad u^*_d = v69l$$

Kontrastreduzierungsfaktor:

 $c_D = 0.9$

K Dreiecks-Helligkeit t^*



FRS09_92aM; adaptierte CIELAB-Daten						
	u_e^*	$L^*-L_a^*$	a_a^*	b_a^*	$C_{ab,a}^*$	$h_{ab,a}^*$
O _{Ma}	38.8	53.92	39.68	66.95	36	
Y _{Ma}	82.58	-4.64	98.22	98.33	93	
L _{Ma}	46.95	-56.34	43.46	71.15	142	
C _{Ma}	54.62	-26.2	-28.68	38.85	228	
V _{Ma}	20.01	45.2	-52.87	69.56	311	
M _{Ma}	40.88	70.68	-29.99	76.78	337	
N _{Ma}	15.0	0.0	0.0	0.0	0	
W _{Ma}	90.0	0.0	0.0	0.0	0	
R _{Ma}	39.92	58.74	27.99	65.07	25	
J _{Ma}	81.26	-2.89	71.56	71.62	92	
G _{Ma}	52.23	-42.42	13.6	44.55	162	
B _{Ma}	30.57	1.41	-46.47	46.49	272	

Daten für Maximalfarbe (Ma):

*LAB*LAB**_M: 56 –43 57

LAD*LGII* 56 52 125

LAB*LCH*Ma: 56 72 1

*lab*rgb*_Ma: 0.5 1.0 0.0*

*lab*olv**_{Ma}: 0.3 1.0 0.0

Dreiecks-Helligkeit t^*

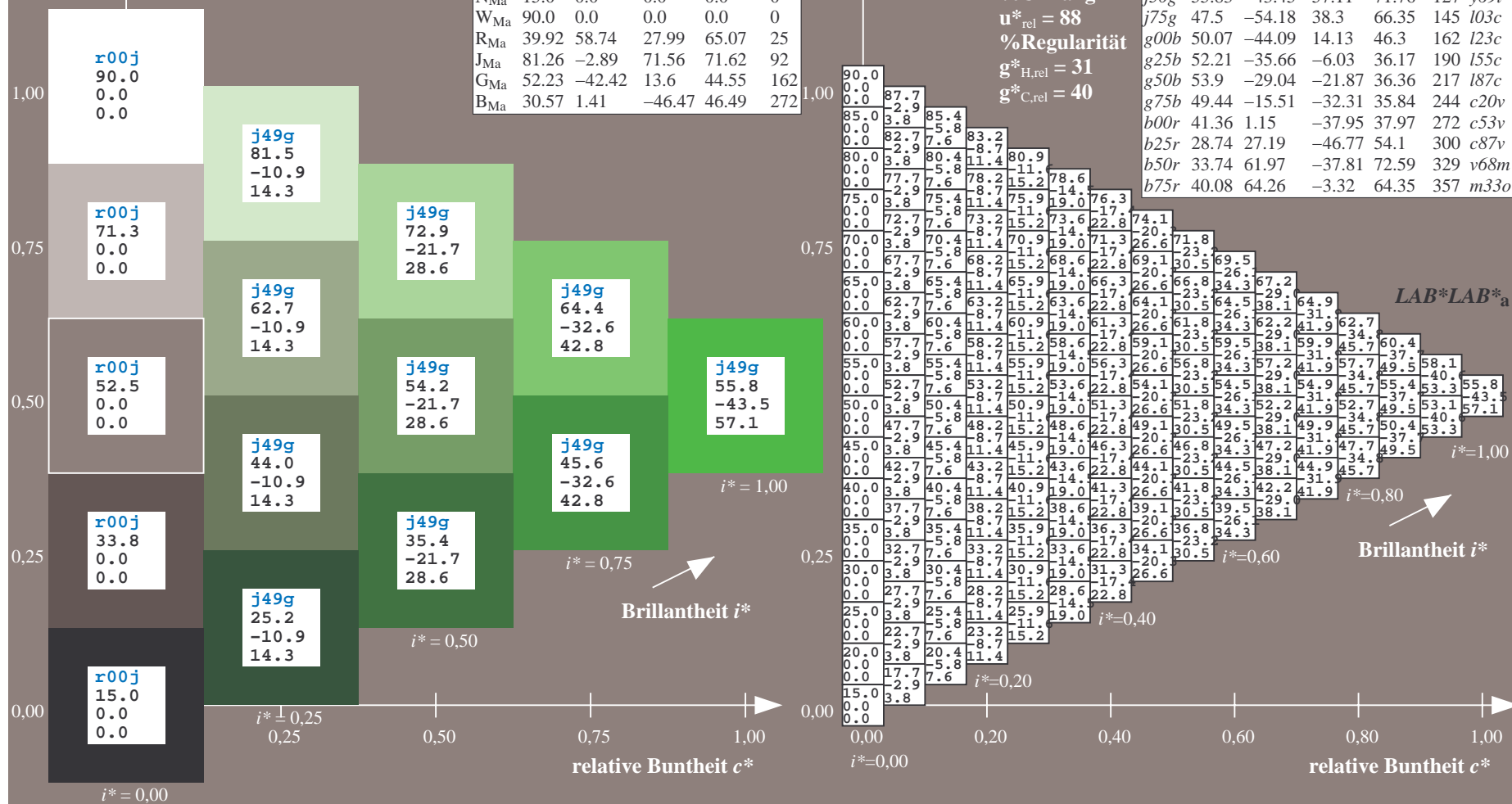
%Umfang

$$u_{rel}^* = 88$$

%Regular

$$g^*_{H,rel} = 31$$
$$g^*_{C,rel} = 40$$

FRS09_92aM; adaptierte CIELAB-Daten							
u_e^*	$L^*=L_a^*$	a_a^*	b_a^*	$C_{ab,a}^*$	$h_{ab,a}^*$	u_d^*	
<i>r00j</i>	39.18	56.94	27.13	63.07	25	<i>m81a</i>	
<i>r25j</i>	42.41	49.1	44.5	66.26	42	<i>o10y</i>	
<i>r50j</i>	52.78	35.22	58.37	68.17	59	<i>o40y</i>	
<i>r75j</i>	64.82	19.12	74.47	76.89	76	<i>o69y</i>	
<i>j00g</i>	82.06	-3.94	97.52	97.6	92	<i>o98y</i>	
<i>j25g</i>	67.26	-26.87	74.67	79.36	110	<i>y34l</i>	
<i>j50g</i>	55.83	-43.45	57.11	71.76	127	<i>y69l</i>	
<i>j75g</i>	47.5	-54.18	38.3	66.35	145	<i>l03c</i>	
<i>g00b</i>	50.07	-44.09	14.13	46.3	162	<i>l23c</i>	
<i>g25b</i>	52.21	-35.66	-6.03	36.17	190	<i>l55c</i>	
<i>g50b</i>	53.9	-29.04	-21.87	36.36	217	<i>l87c</i>	
<i>g75b</i>	49.44	-15.51	-32.31	35.84	244	<i>c20v</i>	
<i>b00r</i>	41.36	1.15	-37.95	37.97	272	<i>c53v</i>	
<i>b25r</i>	28.74	27.19	-46.77	54.1	300	<i>c87v</i>	
<i>b50r</i>	33.74	61.97	-37.81	72.59	329	<i>v68m</i>	
<i>b75r</i>	40.08	64.26	-3.32	64.35	357	<i>m33o</i>	



BAM-Prüfvorlage Eg33; Farbmatrik-Systeme, Seite 80/198 Eingabe: 000n / w / nnn0 / www set...
D65: Farbreihen, Datentabellen für 16 Bunttöne r00j bis b75r Ausgabe: ->cmY0* setcmykcolor

BAM-Registrierung: 20081001-Eg33/10L/L33G00NP.PS/.PDF BAM-Material: Code=rha4ta
Anwendung für Beurteilung und Messung von Drucker- oder Monitorsystemen

Ein und Ausgabe: Farbmetrisches Drucker-Reflektiv-System FRS09_92aM für relativen CIELAB-Buntton $h^* = lab^*h^* = h_{ab}/360 = 0.402$

Daten für jede Farbe:

lab^*ch^* und lab^*icu^*

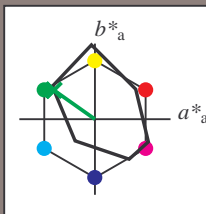
Bunttontexte:

$u^*_e = j75g$ $u^*_d = i03c$

Kontrastreduzierungsfaktor:

$c_R = 0.9$

Dreiecks-Helligkeit i^*



FRS09_92aM; adaptierte CIELAB-Daten

	u^*_e	$L^*=L^*_a$	a^*_a	b^*_a	$C^*_{ab,a}$	$h^*_{ab,a}$
O _{Ma}	38.8	53.92	39.68	66.95	36	
Y _{Ma}	82.58	-4.64	98.22	98.33	93	
L _{Ma}	46.95	-56.34	43.46	71.15	142	
C _{Ma}	54.62	-26.2	-28.68	38.85	228	
V _{Ma}	20.01	45.2	-52.87	69.56	311	
M _{Ma}	40.88	70.68	-29.99	76.78	337	
N _{Ma}	15.0	0.0	0.0	0.0	0	
W _{Ma}	90.0	0.0	0.0	0.0	0	
R _{Ma}	39.92	58.74	27.99	65.07	25	
J _{Ma}	81.26	-2.89	71.56	71.62	92	
G _{Ma}	52.23	-42.42	13.6	44.55	162	
B _{Ma}	30.57	1.41	-46.47	46.49	272	

Daten für Maximalfarbe (Ma):

$LAB^*LAB^*_{Ma}$: 48 -54 38

$LAB^*LCH^*_{Ma}$: 48 66 144

$lab^*rgb^*_{Ma}$: 0.25 1.0 0.0

$lab^*olv^*_{Ma}$: 0.0 1.0 0.03

Dreiecks-Helligkeit i^*

%Umfang

$u^*_{rel} = 88$

%Regularität

$g^*_{H,rel} = 31$

$g^*_{C,rel} = 40$

FRS09_92aM; adaptierte CIELAB-Daten

	u^*_e	$L^*=L^*_a$	a^*_a	b^*_a	$C^*_{ab,a}$	$h^*_{ab,a}$	u^*_d
r00j	39.18	56.94	27.13	63.07	25	m81o	
r25j	42.41	49.1	44.5	66.26	42	o10y	
r50j	52.78	35.22	58.37	68.17	59	o40y	
r75j	64.82	19.12	74.47	76.89	76	o69y	
j00g	82.06	-3.94	97.52	97.6	92	o98y	
j25g	67.26	-26.87	74.67	79.36	110	y34l	
j50g	55.83	-43.45	57.11	71.76	127	y69l	
j75g	47.5	-54.18	38.3	66.35	145	i03c	
g00b	50.07	-44.09	14.13	46.3	162	i23c	
g25b	52.21	-35.66	-6.03	36.17	190	i55c	
g50b	53.9	-29.04	-21.87	36.36	217	i87c	
g75b	49.44	-15.51	-32.31	35.84	244	c20v	
b00r	41.36	1.15	-37.95	37.97	272	c53v	
b25r	28.74	27.19	-46.77	54.1	300	c87v	
b50r	33.74	61.97	-37.81	72.59	329	v68m	
b75r	40.08	64.26	-3.32	64.35	357	m33o	

$LAB^*LAB^*_{a}$

$i^*=1.00$

Brillantheit i^*

$i^*=0.80$

$i^*=0.60$

$i^*=0.40$

$i^*=0.20$

relative Buntheit c^*

relative Buntheit c^*

Ein und Ausgabe: Farbmetrisches Drucker-Reflektiv-System FRS09_92aM für relativen CIELAB-Buntton $h^* = lab^*h^* = h_{ab}/360 = 0.527$

Daten für jede Farbe:

lab^*ch^* und lab^*icu^*

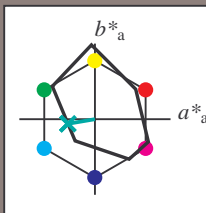
Bunttontexte:

$u^*_e = g25b$ $u^*_d = l55c$

Kontrastreduzierungsfaktor:

$c_R = 0.9$

Dreiecks-Helligkeit i^*



FRS09_92aM; adaptierte CIELAB-Daten

	u^*_e	$L^*=L^*_a$	a^*_a	b^*_a	$C^*_{ab,a}$	$h^*_{ab,a}$
O _{Ma}	38.8	53.92	39.68	66.95	36	
Y _{Ma}	82.58	-4.64	98.22	98.33	93	
L _{Ma}	46.95	-56.34	43.46	71.15	142	
C _{Ma}	54.62	-26.2	-28.68	38.85	228	
V _{Ma}	20.01	45.2	-52.87	69.56	311	
M _{Ma}	40.88	70.68	-29.99	76.78	337	
N _{Ma}	15.0	0.0	0.0	0.0	0	
W _{Ma}	90.0	0.0	0.0	0.0	0	
R _{Ma}	39.92	58.74	27.99	65.07	25	
J _{Ma}	81.26	-2.89	71.56	71.62	92	
G _{Ma}	52.23	-42.42	13.6	44.55	162	
B _{Ma}	30.57	1.41	-46.47	46.49	272	

Daten für Maximalfarbe (Ma):

$LAB^*LAB^*_{Ma}$: 52 -36 -6

$LAB^*LCH^*_{Ma}$: 52 36 189

$lab^*rgb^*_{Ma}$: 0.0 1.0 0.5

$lab^*olv^*_{Ma}$: 0.0 1.0 0.55

Dreiecks-Helligkeit i^*

%Umfang

$u^*_{rel} = 88$

%Regularität

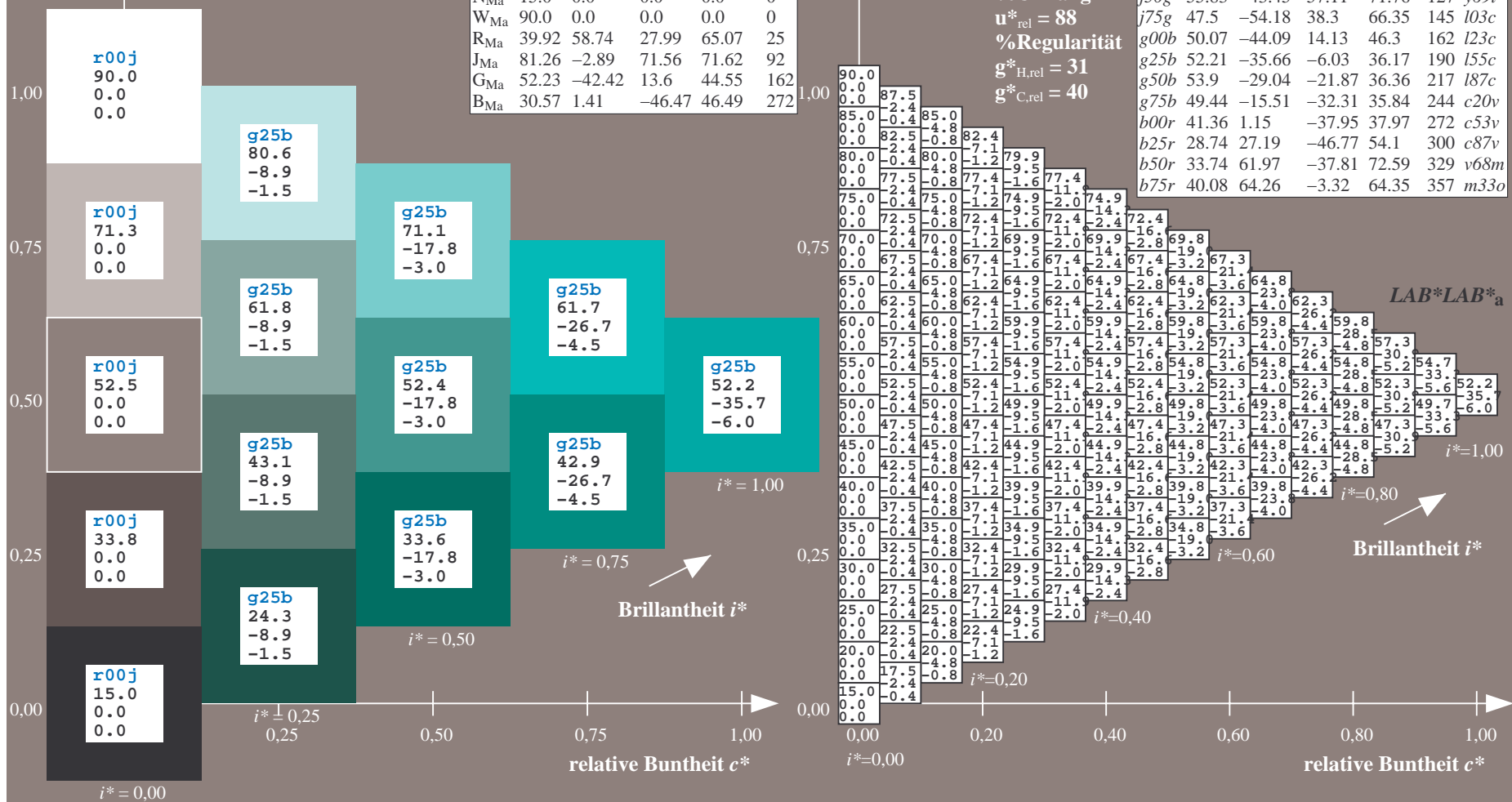
$g^*_{H,rel} = 31$

$g^*_{C,rel} = 40$

FRS09_92aM; adaptierte CIELAB-Daten

	u^*_e	$L^*=L^*_a$	a^*_a	b^*_a	$C^*_{ab,a}$	$h^*_{ab,a}$	u^*_d
r00j	39.18	56.94	27.13	63.07	25	m81o	
r25j	42.41	49.1	44.5	66.26	42	o10y	
r50j	52.78	35.22	58.37	68.17	59	o40y	
r75j	64.82	19.12	74.47	76.89	76	o69y	
j00g	82.06	-3.94	97.52	97.6	92	o98y	
j25g	67.26	-26.87	74.67	79.36	110	y34l	
j50g	55.83	-43.45	57.11	71.76	127	y69l	
j75g	47.5	-54.18	38.3	66.35	145	l03c	
g00b	50.07	-44.09	14.13	46.3	162	l23c	
g25b	52.21	-35.66	-6.03	36.17	190	l55c	
g50b	53.9	-29.04	-21.87	36.36	217	l87c	
g75b	49.44	-15.51	-32.31	35.84	244	c20v	
b00r	41.36	1.15	-37.95	37.97	272	c53v	
b25r	28.74	27.19	-46.77	54.1	300	c87v	
b50r	33.74	61.97	-37.81	72.59	329	v68m	
b75r	40.08	64.26	-3.32	64.35	357	m33o	

$u^*_e = g25b$
 $LAB^*LAB^*_a$



Ein und Ausgabe: Farbmetrisches Drucker-Reflektiv-System FRS09_92aM für relativen CIELAB-Buntton $h^* = lab^*h^* = h_{ab}/360 = 0.603$

Daten für jede Farbe:

lab^*tch^* und lab^*icu^*

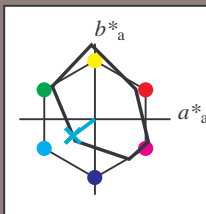
Bunttontexte:

$u^*_e = g50b$ $u^*_d = l87c$

Kontrastreduzierungsfaktor:

$c_R = 0.9$

Dreiecks-Helligkeit t^*



FRS09_92aM; adaptierte CIELAB-Daten

u^*_e	$L^*=L^*_a$	a^*_a	b^*_a	$C^*_{ab,a}$	$h^*_{ab,a}$
O _{Ma}	38.8	53.92	39.68	66.95	36
Y _{Ma}	82.58	-4.64	98.22	98.33	93
L _{Ma}	46.95	-56.34	43.46	71.15	142
C _{Ma}	54.62	-26.2	-28.68	38.85	228
V _{Ma}	20.01	45.2	-52.87	69.56	311
M _{Ma}	40.88	70.68	-29.99	76.78	337
N _{Ma}	15.0	0.0	0.0	0.0	0
W _{Ma}	90.0	0.0	0.0	0.0	0
R _{Ma}	39.92	58.74	27.99	65.07	25
J _{Ma}	81.26	-2.89	71.56	71.62	92
G _{Ma}	52.23	-42.42	13.6	44.55	162
B _{Ma}	30.57	1.41	-46.47	46.49	272

Daten für Maximalfarbe (Ma):

$LAB^*LAB^*_{Ma}$: 54 -29 -22

$LAB^*LCH^*_{Ma}$: 54 36 216

$lab^*rgb^*_{Ma}$: 0.0 1.0 1.0

$lab^*olv^*_{Ma}$: 0.0 1.0 0.88

Dreiecks-Helligkeit t^*

%Umfang

$u^*_{rel} = 88$

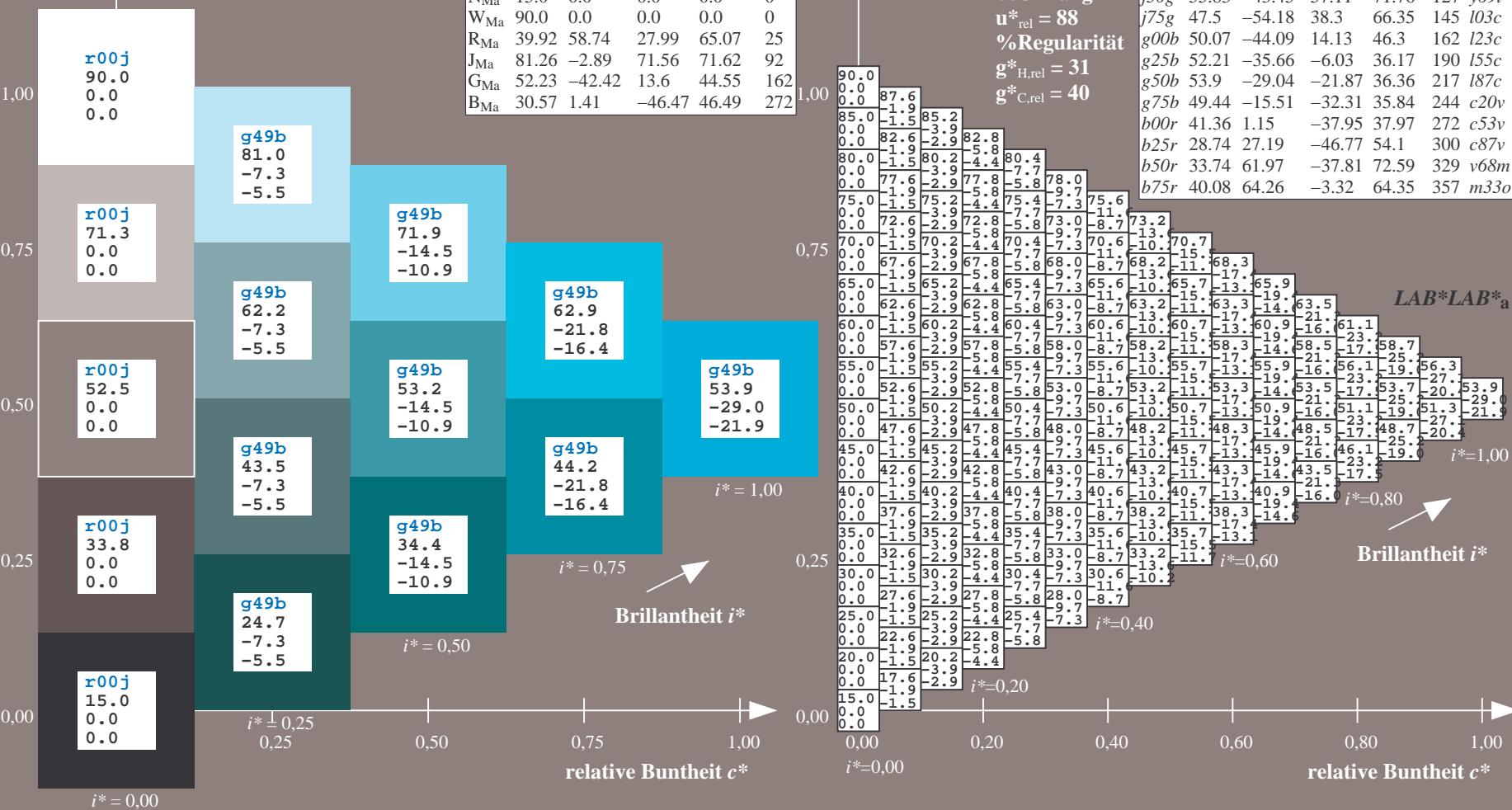
%Regularität

$g^*_{H,rel} = 31$

$g^*_{C,rel} = 40$

FRS09_92aM; adaptierte CIELAB-Daten

u^*_e	$L^*=L^*_a$	a^*_a	b^*_a	$C^*_{ab,a}$	$h^*_{ab,a}$	u^*_d
r00j	39.18	56.94	27.13	63.07	25	m81o
r25j	42.41	49.1	44.5	66.26	42	o10y
r50j	52.78	35.22	58.37	68.17	59	o40y
r75j	64.82	19.12	74.47	76.89	76	o69y
j00g	82.06	-3.94	97.52	97.6	92	o98y
j25g	67.26	-26.87	74.67	79.36	110	y34l
j50g	55.83	-43.45	57.11	71.76	127	y69l
j75g	47.5	-54.18	38.3	66.35	145	l03c
g00b	50.07	-44.09	14.13	46.3	162	l23c
g25b	52.21	-35.66	-6.03	36.17	190	l55c
g50b	53.9	-29.04	-21.87	36.36	217	l87c
g75b	49.44	-15.51	-32.31	35.84	242	c20v
b00r	41.36	1.15	-37.95	37.97	272	c53v
b25r	28.74	27.19	-46.77	54.1	300	c87v
b50r	33.74	61.97	-37.81	72.59	329	v68m
b75r	40.08	64.26	-3.32	64.35	357	m33o



Ein und Ausgabe: Farbmetrisches Drucker-Reflektiv-System FRS09_92aM für relativen CIELAB-Buntton $h^* = lab^*h^* = h_{ab}/360 = 0.679$

Daten für jede Farbe:

lab^*tch^* und lab^*icu^*

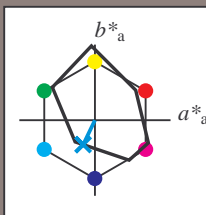
Bunttontexte:

$u^*_e = g75b$ $u^*_d = c20v$

Kontrastreduzierungsfaktor:

$c_R = 0.9$

Dreiecks-Helligkeit i^*



FRS09_92aM; adaptierte CIELAB-Daten

	u^*_e	$L^*=L^*_a$	a^*_a	b^*_a	$C^*_{ab,a}$	$h^*_{ab,a}$
O _{Ma}	38.8	53.92	39.68	66.95	36	
Y _{Ma}	82.58	-4.64	98.22	98.33	93	
L _{Ma}	46.95	-56.34	43.46	71.15	142	
C _{Ma}	54.62	-26.2	-28.68	38.85	228	
V _{Ma}	20.01	45.2	-52.87	69.56	311	
M _{Ma}	40.88	70.68	-29.99	76.78	337	
N _{Ma}	15.0	0.0	0.0	0.0	0	
W _{Ma}	90.0	0.0	0.0	0.0	0	
R _{Ma}	39.92	58.74	27.99	65.07	25	
J _{Ma}	81.26	-2.89	71.56	71.62	92	
G _{Ma}	52.23	-42.42	13.6	44.55	162	
B _{Ma}	30.57	1.41	-46.47	46.49	272	

Daten für Maximalfarbe (Ma):

$LAB^*LAB^*_{Ma}$: 49 -16 -32

$LAB^*LCH^*_{Ma}$: 49 36 244

$lab^*rgb^*_{Ma}$: 0.0 0.5 1.0

$lab^*olv^*_{Ma}$: 0.0 0.8 1.0

Dreiecks-Helligkeit i^*

%Umfang

$u^*_{rel} = 88$

%Regularität

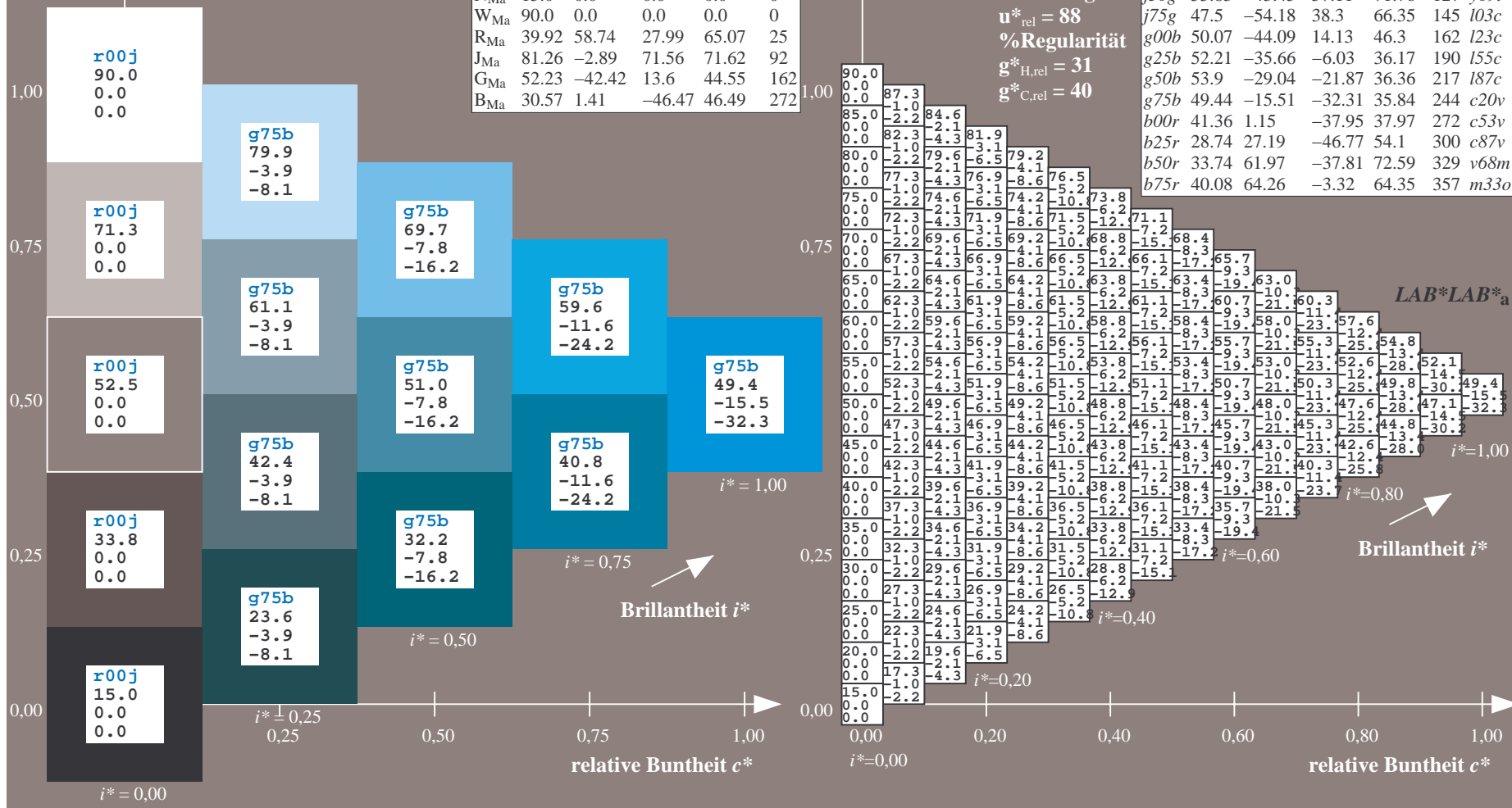
$g^*_{H,rel} = 31$

$g^*_{C,rel} = 40$

FRS09_92aM; adaptierte CIELAB-Daten

	u^*_e	$L^*=L^*_a$	a^*_a	b^*_a	$C^*_{ab,a}$	$h^*_{ab,a}$	u^*_d
r00j	39.18	56.94	27.13	63.07	25	m81o	
r25j	42.41	49.1	44.5	66.26	42	o10y	
r50j	52.78	35.22	58.37	68.17	59	o40y	
r75j	64.82	19.12	74.47	76.89	76	o69y	
j00g	82.06	-3.94	97.52	97.6	92	o98y	
j25g	67.26	-26.87	74.67	79.36	110	y34l	
j50g	55.83	-43.45	57.11	71.76	127	y69l	
j75g	47.5	-54.18	38.3	66.35	145	l03c	
g00b	50.07	-44.09	14.13	46.3	162	l23c	
g25b	52.21	-35.66	-6.03	36.17	190	l55c	
g50b	53.9	-29.04	-21.87	36.36	217	l87c	
g75b	49.44	-15.51	-32.31	35.84	244	c20v	
b00r	41.36	1.15	-37.95	37.97	272	c53v	
b25r	28.74	27.19	-46.77	54.1	300	c87v	
b50r	33.74	61.97	-37.81	72.59	329	v68m	
b75r	40.08	64.26	-3.32	64.35	357	m33o	

$u^*_e = g75b$
 $LAB^*LAB^*_a$



Ein und Ausgabe: Farbmetrisches Drucker-Reflektiv-System FRS09_92aM für relativen CIELAB-Buntton $h^* = lab^*h^* = h_{ab}/360 = 0.755$

Daten für jede Farbe:

lab^*ch^* und lab^*icu^*

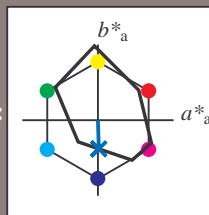
Bunttontexte:

$u^*_e = b00r$ $u^*_d = c53v$

Kontrastreduzierungsfaktor:

$c_R = 0.9$

Dreiecks-Helligkeit i^*



FRS09_92aM; adaptierte CIELAB-Daten

	u^*_e	$L^*=L^*_a$	a^*_a	b^*_a	$C^*_{ab,a}$	$h^*_{ab,a}$
O _{Ma}	38.8	53.92	39.68	66.95	36	
Y _{Ma}	82.58	-4.64	98.22	98.33	93	
L _{Ma}	46.95	-56.34	43.46	71.15	142	
C _{Ma}	54.62	-26.2	-28.68	38.85	228	
V _{Ma}	20.01	45.2	-52.87	69.56	311	
M _{Ma}	40.88	70.68	-29.99	76.78	337	
N _{Ma}	15.0	0.0	0.0	0.0	0	
W _{Ma}	90.0	0.0	0.0	0.0	0	
R _{Ma}	39.92	58.74	27.99	65.07	25	
J _{Ma}	81.26	-2.89	71.56	71.62	92	
G _{Ma}	52.23	-42.42	13.6	44.55	162	
B _{Ma}	30.57	1.41	-46.47	46.49	272	

Daten für Maximalfarbe (Ma):

$LAB^*LAB^*_{Ma}$: 41 1 -38

$LAB^*LCH^*_{Ma}$: 41 38 271

$lab^*rgb^*_{Ma}$: 0.0 0.0 1.0

$lab^*olv^*_{Ma}$: 0.0 0.47 1.0

Dreiecks-Helligkeit i^*

%Umfang

$u^*_{rel} = 88$

%Regularität

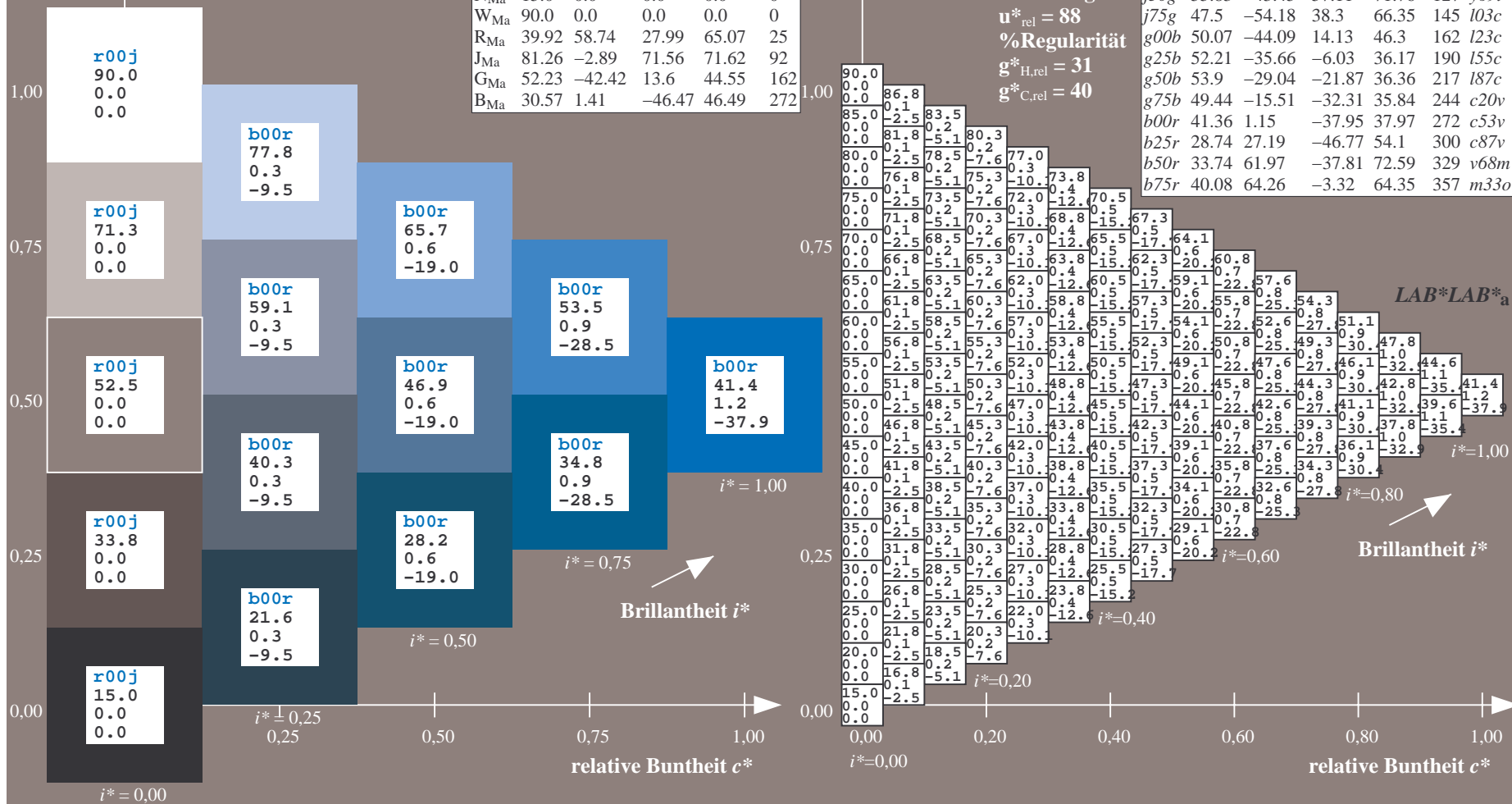
$g^*_{H,rel} = 31$

$g^*_{C,rel} = 40$

FRS09_92aM; adaptierte CIELAB-Daten

	u^*_e	$L^*=L^*_a$	a^*_a	b^*_a	$C^*_{ab,a}$	$h^*_{ab,a}$	u^*_d
r00j	39.18	56.94	27.13	63.07	25	m81o	
r25j	42.41	49.1	44.5	66.26	42	o10y	
r50j	52.78	35.22	58.37	68.17	59	o40y	
r75j	64.82	19.12	74.47	76.89	76	o69y	
j00g	82.06	-3.94	97.52	97.6	92	o98y	
j25g	67.26	-26.87	74.67	79.36	110	y34l	
j50g	55.83	-43.45	57.11	71.76	127	y69l	
j75g	47.5	-54.18	38.3	66.35	145	i03c	
g00b	50.07	-44.09	14.13	46.3	162	i23c	
g25b	52.21	-35.66	-6.03	36.17	190	i55c	
g50b	53.9	-29.04	-21.87	36.36	217	i87c	
g75b	49.44	-15.51	-32.31	35.84	244	c20v	
b00r	41.36	1.15	-37.95	37.97	272	c53v	
b25r	28.74	27.19	-46.77	54.1	300	c87v	
b50r	33.74	61.97	-37.81	72.59	329	v68m	
b75r	40.08	64.26	-3.32	64.35	357	m33o	

$u^*_e = b00r$
 $LAB^*LAB^*_a$



Ein und Ausgabe: Farbmetrisches Drucker-Reflektiv-System FRS09_92aM für relativen CIELAB-Buntton $h^* = lab^*h^* = h_{ab}/360 = 0.834$

Daten für jede Farbe:

lab^*tch^* und lab^*icu^*

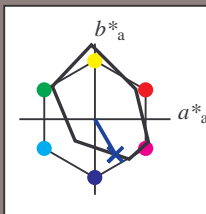
Bunttontexte:

$u^*_e = b25r$ $u^*_d = c87v$

Kontrastreduzierungsfaktor:

$c_R = 0.9$

Dreiecks-Helligkeit i^*



FRS09_92aM; adaptierte CIELAB-Daten

	u^*_e	$L^*=L^*_a$	a^*_a	b^*_a	$C^*_{ab,a}$	$h^*_{ab,a}$
O _{Ma}	38.8	53.92	39.68	66.95	36	
Y _{Ma}	82.58	-4.64	98.22	98.33	93	
L _{Ma}	46.95	-56.34	43.46	71.15	142	
C _{Ma}	54.62	-26.2	-28.68	38.85	228	
V _{Ma}	20.01	45.2	-52.87	69.56	311	
M _{Ma}	40.88	70.68	-29.99	76.78	337	
N _{Ma}	15.0	0.0	0.0	0.0	0	
W _{Ma}	90.0	0.0	0.0	0.0	0	
R _{Ma}	39.92	58.74	27.99	65.07	25	
J _{Ma}	81.26	-2.89	71.56	71.62	92	
G _{Ma}	52.23	-42.42	13.6	44.55	162	
B _{Ma}	30.57	1.41	-46.47	46.49	272	

Daten für Maximalfarbe (Ma):

$LAB^*LAB^*_{Ma}$: 29 27 -47

$LAB^*LCH^*_{Ma}$: 29 54 300

$lab^*rgb^*_{Ma}$: 0.5 0.0 1.0

$lab^*olv^*_{Ma}$: 0.0 0.12 1.0

Dreiecks-Helligkeit i^*

%Umfang

$u^*_{rel} = 88$

%Regularität

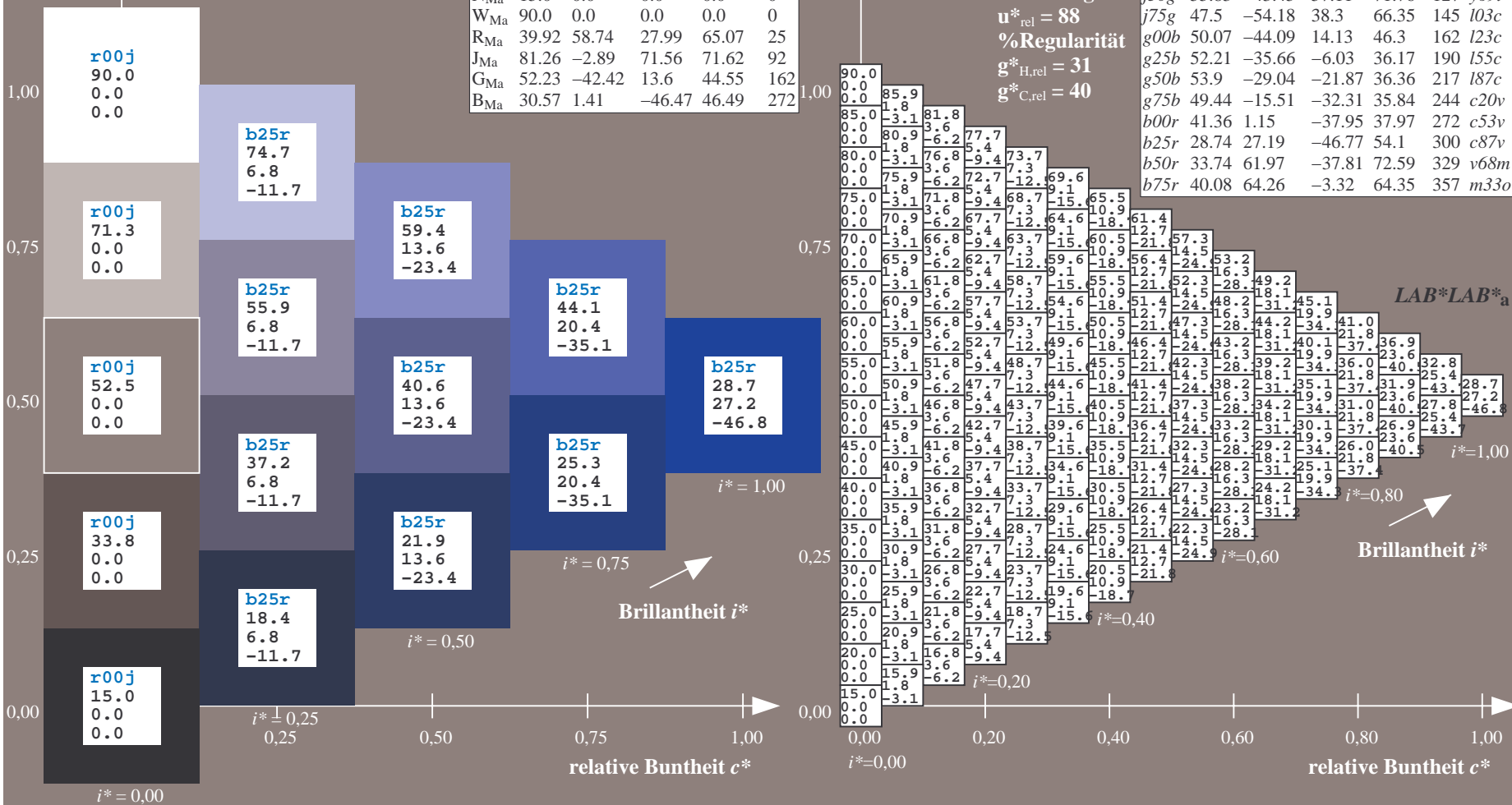
$g^*_{H,rel} = 31$

$g^*_{C,rel} = 40$

FRS09_92aM; adaptierte CIELAB-Daten

	u^*_e	$L^*=L^*_a$	a^*_a	b^*_a	$C^*_{ab,a}$	$h^*_{ab,a}$	u^*_d
r00j	39.18	56.94	27.13	63.07	25	m81o	
r25j	42.41	49.1	44.5	66.26	42	o10y	
r50j	52.78	35.22	58.37	68.17	59	o40y	
r75j	64.82	19.12	74.47	76.89	76	o69y	
j00g	82.06	-3.94	97.52	97.6	92	o98y	
j25g	67.26	-26.87	74.67	79.36	110	y34l	
j50g	55.83	-43.45	57.11	71.76	127	y69l	
j75g	47.5	-54.18	38.3	66.35	145	i03c	
g00b	50.07	-44.09	14.13	46.3	162	i23c	
g25b	52.21	-35.66	-6.03	36.17	190	i55c	
g50b	53.9	-29.04	-21.87	36.36	217	i87c	
g75b	49.44	-15.51	-32.31	35.84	244	c20v	
b00r	41.36	1.15	-37.95	37.97	272	c53v	
b25r	28.74	27.19	-46.77	54.1	300	c87v	
b50r	33.74	61.97	-37.81	72.59	329	v68m	
b75r	40.08	64.26	-3.32	64.35	357	m33o	

$u^*_e = b25r$
 $LAB^*LAB^*_a$



Ein und Ausgabe: Farbmétrisches Drucker-Reflektiv-System FRS09_92aM für relativen CIELAB-Buntton $h^* = lab^*h^* = h_{ab}/360 = 0.913$

Daten für jede Farbe:

*lab*tch** und *lab*icu**

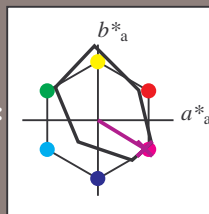
Bunttexte:

$$u^*_e = b50r \quad u^*_d = v68m$$

Kontrastreduzierungsfaktor:

 $c_{\mathbf{R}} = 0.9$

K Dreiecks-Helligkeit t^*



FRS09_92aM; adaptierte CIELAB-Daten						
	u_e^*	$L^*=L_a^*$	a^*	b^*	$C^*_{ab,a}$	$h^*_{ab,a}$
O _{Ma}	38.8	53.92	39.68	66.95	36	
Y _{Ma}	82.58	-4.64	98.22	98.33	93	
L _{Ma}	46.95	-56.34	43.46	71.15	142	
C _{Ma}	54.62	-26.2	-28.68	38.85	228	
V _{Ma}	20.01	45.2	-52.87	69.56	311	
M _{Ma}	40.88	70.68	-29.99	76.78	337	
N _{Ma}	15.0	0.0	0.0	0.0	0	
W _{Ma}	90.0	0.0	0.0	0.0	0	
R _{Ma}	39.92	58.74	27.99	65.07	25	
J _{Ma}	81.26	-2.89	71.56	71.62	92	
G _{Ma}	52.23	-42.42	13.6	44.55	162	
B _{Ma}	30.57	1.41	-46.47	46.49	272	

Daten für Maximalfarbe (Ma):

***LAB*LAB**_{Ma}: 34 62 -38**

*LAB*LCH**M₂: 34 73 328

LAB*LCH*Ma: 34 73 35

***lab*rgb*Ma: 1.0 0.0 1.0**

*lab*olv**Ma: 0.68 0.0 1.0

Dreiecks-Helligkeit t^*

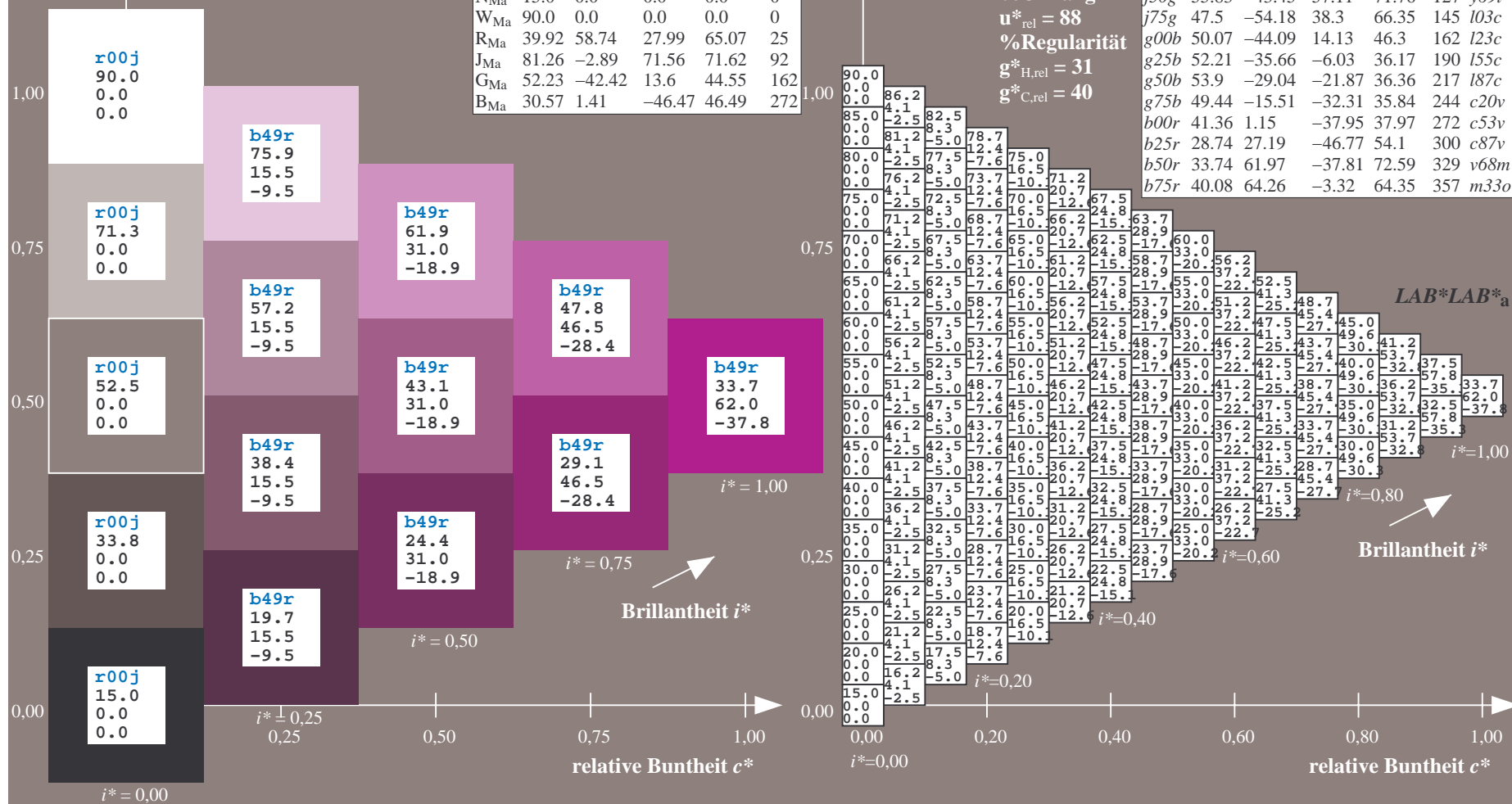
%Umfang

$$u_{rel}^* = 88$$

%Regularität

$$g^*_{H,rel} = 31$$
$$g^*_{C,rel} = 40$$

FRS09_92aM; adaptierte CIELAB-Daten							
u_e	$L^*=L_a$	a^*_a	b^*_a	$C^*_{ab,a}$	$h^*_{ab,a}$	u_d	
<i>r00j</i>	39.18	56.94	27.13	63.07	25	<i>m81a</i>	
<i>r25j</i>	42.41	49.1	44.5	66.26	42	<i>o10y</i>	
<i>r50j</i>	52.78	35.22	58.37	68.17	59	<i>o40y</i>	
<i>r75j</i>	64.82	19.12	74.47	76.89	76	<i>o69y</i>	
<i>j00g</i>	82.06	-3.94	97.52	97.6	92	<i>o98y</i>	
<i>j25g</i>	67.26	-26.87	74.67	79.36	110	<i>y34l</i>	
<i>j50g</i>	55.83	-43.45	57.11	71.76	127	<i>y69l</i>	
<i>j75g</i>	47.5	-54.18	38.3	66.35	145	<i>l03c</i>	
<i>g00b</i>	50.07	-44.09	14.13	46.3	162	<i>l23c</i>	
<i>g25b</i>	52.21	-35.66	-6.03	36.17	190	<i>l55c</i>	
<i>g50b</i>	53.9	-29.04	-21.87	36.36	217	<i>l87c</i>	
<i>g75b</i>	49.44	-15.51	-32.31	35.84	244	<i>c20v</i>	
<i>b00r</i>	41.36	1.15	-37.95	37.97	272	<i>c53v</i>	
<i>b25r</i>	28.74	27.19	-46.77	54.1	300	<i>c87v</i>	
<i>b50r</i>	33.74	61.97	-37.81	72.59	329	<i>v68m</i>	
<i>b75r</i>	40.08	64.26	-3.32	64.35	357	<i>m33o</i>	



BAM-Prüfvorlage Eg33; Farbmetrikt-Systeme, Seite 88/198 Eingabe: 000n / w / nnn0 / www set...
D65: Farbreihen, Datentabellen für 16 Bunttöne r00j bis b75r Ausgabe: ->cmY0* setcmykcolor

Eingabe: *000n / w / nnn0 / www set...*

Ausgabe: $\rightarrow cmv0^*$ *setcmvcolor*

Ein und Ausgabe: Farbmetrisches Drucker-Reflektiv-System FRS09_92aM für relativen CIELAB-Buntton $h^* = \text{lab}^*h^* = h_{ab}/360 = 0.992$

Daten für jede Farbe:

lab^*tch^* und lab^*icu^*

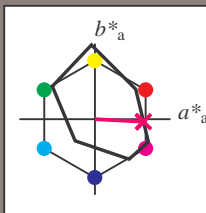
Bunttontexte:

$u^*_e = b75r$ $u^*_d = m33o$

Kontrastreduzierungsfaktor:

$c_R = 0.9$

Dreiecks-Helligkeit i^*



FRS09_92aM; adaptierte CIELAB-Daten

u^*_e	$L^*=L^*_a$	a^*_a	b^*_a	$C^*_{ab,a}$	$h^*_{ab,a}$
O _{Ma}	38.8	53.92	39.68	66.95	36
Y _{Ma}	82.58	-4.64	98.22	98.33	93
L _{Ma}	46.95	-56.34	43.46	71.15	142
C _{Ma}	54.62	-26.2	-28.68	38.85	228
V _{Ma}	20.01	45.2	-52.87	69.56	311
M _{Ma}	40.88	70.68	-29.99	76.78	337
N _{Ma}	15.0	0.0	0.0	0.0	0
W _{Ma}	90.0	0.0	0.0	0.0	0
R _{Ma}	39.92	58.74	27.99	65.07	25
J _{Ma}	81.26	-2.89	71.56	71.62	92
G _{Ma}	52.23	-42.42	13.6	44.55	162
B _{Ma}	30.57	1.41	-46.47	46.49	272

Daten für Maximalfarbe (Ma):

$\text{LAB}^*\text{LAB}^*_{Ma}$: 40 64 -3

$\text{LAB}^*\text{LCH}^*_{Ma}$: 40 64 357

$\text{lab}^*\text{rgb}^*_{Ma}$: 1.0 0.0 0.5

$\text{lab}^*\text{olv}^*_{Ma}$: 1.0 0.0 0.66

Dreiecks-Helligkeit i^*

%Umfang

$u^*_{rel} = 88$

%Regularität

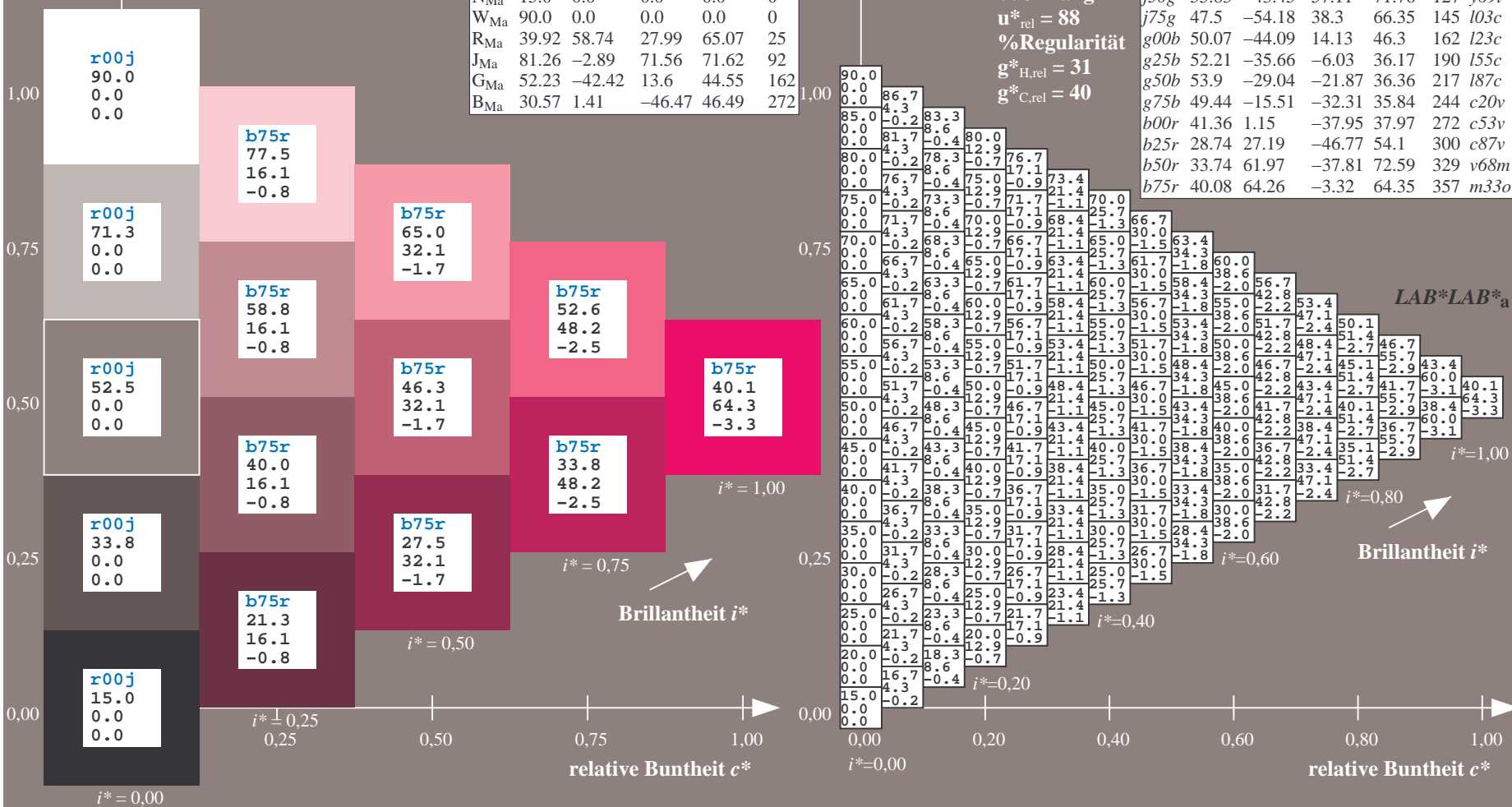
$g^*_{H,rel} = 31$

$g^*_{C,rel} = 40$

FRS09_92aM; adaptierte CIELAB-Daten

u^*_e	$L^*=L^*_a$	a^*_a	b^*_a	$C^*_{ab,a}$	$h^*_{ab,a}$	u^*_d
r00j	39.18	56.94	27.13	63.07	25	m81o
r25j	42.41	49.1	44.5	66.26	42	o10y
r50j	52.78	35.22	58.37	68.17	59	o40y
r75j	64.82	19.12	74.47	76.89	76	o69y
j00g	82.06	-3.94	97.52	97.6	92	o98y
j25g	67.26	-26.87	74.67	79.36	110	y34l
j50g	55.83	-43.45	57.11	71.76	127	y69l
j75g	47.5	-54.18	38.3	66.35	145	i03c
g00b	50.07	-44.09	14.13	46.3	162	i23c
g25b	52.21	-35.66	-6.03	36.17	190	i55c
g50b	53.9	-29.04	-21.87	36.36	217	i87c
g75b	49.44	-15.51	-32.31	35.84	244	c20v
b00r	41.36	1.15	-37.95	37.97	272	c53v
b25r	28.74	27.19	-46.77	54.1	300	c87v
b50r	33.74	61.97	-37.81	72.59	329	v68m
b75r	40.08	64.26	-3.32	64.35	357	m33o

$u^*_e = b75r$
 $\text{LAB}^*\text{LAB}^*_{Ma}$



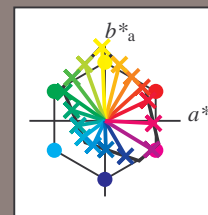
Siehe ähnliche Dateien: <http://www.ps.bam.de/Eg33/>; www.ps.bam.de/Eg33/10L/L33G00NP.PS/.PDF BAM-Material: Code=rh4ta
Technische Information: <http://www.ps.bam.de/Version 2.1, io=1.1, Col5px=0>

	A	B	C	D	E	F	G	H	I	J	K	L	M	N	O	P	Q	R	S	T	U	V	W	X	Y	Z	a	b	c	d	e	f	g	h	i	j	k	LAB*LAB*a
01	15.0	19.0	23.0	27.0	31.0	35.0	39.0	43.0	47.0	51.0	55.0	59.0	63.0	67.0	71.0	75.0	79.0	83.0	87.0	91.0	95.0	99.0	103.0	107.0	111.0	115.0	119.0	123.0	127.0	131.0	135.0	139.0	143.0	147.0	151.0	155.0	159.0	163.0
02	15.6	20.0	24.2	28.4	32.6	36.7	40.8	44.9	48.9	52.9	56.9	60.9	64.9	68.9	72.9	76.9	80.9	84.9	88.9	92.9	96.9	100.9	104.9	108.9	112.9	116.9	120.9	124.9	128.9	132.9	136.9	140.9	144.9	148.9	152.9	156.9	160.9	
03	16.3	21.8	26.9	32.0	37.1	42.1	47.1	52.1	57.1	62.1	67.1	72.1	77.1	82.1	87.1	92.1	97.1	102.1	107.1	112.1	117.1	122.1	127.1	132.1	137.1	142.1	147.1	152.1	157.1	162.1	167.1	172.1	177.1	182.1	187.1	192.1	197.1	
04	17.0	22.4	27.6	32.8	38.0	43.2	48.4	53.6	58.8	64.0	69.2	74.4	79.6	84.8	90.0	95.2	100.4	105.6	110.8	116.0	121.2	126.4	131.6	136.8	142.0	147.2	152.4	157.6	162.8	168.0	173.2	178.4	183.6	188.8	194.0	199.2	204.4	
05	17.5	23.4	28.6	33.6	38.6	43.6	48.6	53.6	58.6	63.6	68.6	73.6	78.6	83.6	88.6	93.6	98.6	103.6	108.6	113.6	118.6	123.6	128.6	133.6	138.6	143.6	148.6	153.6	158.6	163.6	168.6	173.6	178.6	183.6	188.6	193.6	198.6	
06	18.1	25.9	30.3	34.6	38.9	43.2	47.5	51.8	56.1	60.4	64.7	69.0	73.3	77.6	81.9	86.2	90.5	94.8	99.1	103.4	107.7	112.0	116.3	120.6	124.9	129.2	133.5	137.8	142.1	146.4	150.7	155.0	159.3	163.6	167.9	172.2		
07	18.3	26.9	31.8	36.6	41.4	46.2	51.0	55.8	60.6	65.4	70.2	75.0	79.8	84.6	89.4	94.2	99.0	103.8	108.6	113.4	118.2	123.0	127.8	132.6	137.4	142.2	147.0	151.8	156.6	161.4	166.2	171.0	175.8	180.6	185.4	190.2		
08	18.6	27.9	33.2	38.4	43.6	48.8	53.9	59.1	64.2	69.3	74.4	79.5	84.6	89.7	94.8	99.9	105.0	110.1	115.2	120.3	125.4	130.5	135.6	140.7	145.8	150.9	156.0	161.1	166.2	171.3	176.4	181.5	186.6	191.7	196.8	201.9		
09	19.4	27.9	33.2	38.4	43.6	48.8	53.9	59.1	64.2	69.3	74.4	79.5	84.6	89.7	94.8	99.9	105.0	110.1	115.2	120.3	125.4	130.5	135.6	140.7	145.8	150.9	156.0	161.1	166.2	171.3	176.4	181.5	186.6	191.7	196.8	201.9	207.0	
10	20.0	28.7	34.0	39.3	44.6	49.9	55.2	60.5	65.8	71.1	76.4	81.7	87.0	92.3	97.6	102.9	108.2	113.5	118.8	124.1	129.4	134.7	140.0	145.3	150.6	155.9	161.2	166.5	171.8	177.1	182.4	187.7	193.0	198.3	203.6	208.9	214.2	
11	20.2	29.0	34.3	39.6	44.9	50.2	55.5	60.8	66.1	71.4	76.7	82.0	87.3	92.6	97.9	103.2	108.5	113.8	119.1	124.4	129.7	135.0	140.3	145.6	150.9	156.2	161.5	166.8	172.1	177.4	182.7	188.0	193.3	198.6	203.9	209.2	214.5	
12	20.4	30.7	36.0	41.3	46.6	51.9	57.2	62.5	67.8	73.1	78.4	83.7	89.0	94.3	99.6	104.9	110.2	115.5	120.8	126.1	131.4	136.7	142.0	147.3	152.6	157.9	163.2	168.5	173.8	179.1	184.4	189.7	195.0	200.3	205.6	210.9	216.2	
13	21.1	31.3	36.6	41.9	47.2	52.5	57.8	63.1	68.4	73.7	79.0	84.3	89.6	94.9	100.2	105.5	110.8	116.1	121.4	126.7	132.0	137.3	142.6	147.9	153.2	158.5	163.8	169.1	174.4	179.7	185.0	190.3	195.6	200.9	206.2	211.5	216.8	
14	21.5	31.8	37.1	42.4	47.7	53.0	58.3	63.6	68.9	74.2	79.5	84.8	90.1	95.4	100.7	106.0	111.3	116.6	121.9	127.2	132.5	137.8	143.1	148.4	153.7	159.0	164.3	169.6	174.9	180.2	185.5	190.8	196.1	201.4	206.7	212.0	217.3	
15	21.8	32.1	37.4	42.7	48.0	53.3	58.6	63.9	69.2	74.5	79.8	85.1	90.4	95.7	101.0	106.3	111.6	116.9	122.2	127.5	132.8	138.1	143.4	148.7	154.0	159.3	164.6	169.9	175.2	180.5	185.8	191.1	196.4	201.7	207.0	212.3	217.6	
16	22.2	32.5	37.8	43.1	48.4	53.7	59.0	64.3	69.6	74.9	80.2	85.5	90.8	96.1	101.4	106.7	112.0	117.3	122.6	127.9	133.2	138.5	143.8	149.1	154.4	159.7	165.0	170.3	175.6	180.9	186.2	191.5	196.8	202.1	207.4	212.7	218.0	
17	22.6	32.9	38.2	43.5	48.8	54.1	59.4	64.7	69.9	75.2	80.5	85.8	91.1	96.4	101.7	107.0	112.3	117.6	122.9	128.2	133.5	138.8	144.1	149.4	154.7	160.0	165.3	170.6	175.9	181.2	186.5	191.8	197.1	202.4	207.7	213.0	218.3	
18	23.0	33.3	38.6	43.9	49.2	54.5	59.8	65.1	70.4	75.7	81.0	86.3	91.6	96.9	102.2	107.5	112.8	118.1	123.4	128.7	134.0	139.3	144.6	149.9	155.2	160.5	165.8	171.1	176.4	181.7	187.0	192.3	197.6	202.9	208.2	213.5	218.8	
19	23.4	33.7	39.0	44.3	49.6	54.9	60.2	65.5	70.8	76.1	81.4	86.7	92.0	97.3	102.6	107.9	113.2	118.5	123.8	129.1	134.4	139.7	145.0	150.3	155.6	160.9	166.2	171.5	176.8	182.1	187.4	192.7	198.0	203.3	208.6	213.9	219.2	
20	23.8	34.1	39.4	44.7	49.9	55.2	60.5	65.8	71.1	76.4	81.7	87.0	92.3	97.6	102.9	108.2	113.5	118.8	124.1	129.4	134.7	139.9	145.2	150.5	155.8	161.1	166.4	171.7	177.0	182.3	187.6	192.9	198.2	203.5	208.8	214.1	219.4	
21	24.2	34.5	39.8	45.1	50.4	55.7	61.0	66.3	71.6	76.9	82.2	87.5	92.8	98.1	103.4	108.7	114.0	119.3	124.6	129.9	135.2	140.5	145.8	151.1	156.4	161.7	167.0	172.3	177.6	182.9	188.2	193.5	198.8	204.1	209.4	214.7	220.0	
22	24.6	34.9	40.2	45.5	50.8	56.1	61.4	66.7	72.0	77.3	82.6	87.9	93.2	98.5	103.8	109.1	114.4	119.7	125.0	130.3	135.6	140.9	146.2	151.5	156.8	162.1	167.4	172.7	178.0	183.3	188.6	193.9	199.2	204.5	209.8	215.1	220.4	
23	25.0	35.3	40.6	45.9	51.2	56.5	61.8	67.1	72.4	77.7	83.0	88.3	93.6	98.9	104.2	109.5	114.8	120.1	125.4	130.7	136.0	141.3	146.6	151.9	157.2	162.5	167.8	173.1	178.4	183.7	189.0	194.3	199.6	204.9	210.2	215.5	220.8	
24	25.4	35.7	41.0	46.3	51.6	56.9	62.2	67.5	72.8	78.1	83.4	88.7	94.0	99.3	104.6	109.9	115.2	120.5	125.8	131.1	136.4	141.7	147.0	152.3	157.6	162.9	168.2	173.5	178.8	184.1	189.4	194.7	200.0	205.3	210.6	215.9	221.2	
25	25.8	36.1	41.4	46.7	52.0	57.3	62.6	67.9	73.2	78.5	83.8	89.1	94.4	99.7	105.0	110.3	115.6	120.9	126.2	131.5	136.8	142.1	147.4	152.7	158.0	163.3	168.6	173.9	179.2	184.5	189.8	195.1	200.4	205.7	211.0	216.3	221.6	
26	26.2	36.5	41.8	47.1	52.4	57.7	63.0	68.3	73.6	78.9	84.2	89.5	94.8	100.1	105.4	110.7	116.0	121.3	126.6	131.9	137.2	142.5	147.8	153.1	158.4	163.7	169.0	174.3	179.6	184.9	190.2	195.5	200.8	206.1	211.4	216.7	222.0	
27	26.6	36.8	42.1	47.4	52.7	58.0	63.3	68.6	73.9	79.2	84.5	89.8	95.1	100.4	105.7	111.0	116.3	121.6	126.9	132.2	137.5	142.8	148.1	153.4	158.7	164.0	169.3	174.6	179.9	185.2	190.5	195.8	201.1	206.4	211.7	217.0	222.3	
28	27.0	37.1	42.4	47.7	53.0	58.3	63.6	68.9	74.2	79.5	84.8	90.1	95.4	100.7	106.0	111.3	116.6	121.9	127.2	132.5	137.8	143.1	148.4	153.7	159.0	164.3	169.6	174.9	180.2	185.5	190.8	196.1	201.4	206.7	212.0	217.3	222.6	
29	27.4	37.5	42.8	48.1	53.4	58.7	64.0	69.3	74.6	79.9	85.2	90.5	95.8	101.1	106.4	111.7	117.0	122.3	127.6	132.9	138.2	143.5	148.8	154.1	159.4	164.7	170.0	175.3	180.6	185.9	191.2	196.5	201.8	207.1	212.4	217.7	223.0	
30	27.8	37.9	43.2	48.5	53.8	59.1	64.4	69.7	75.0	80.3	85.6	90.9	96.2	101.5	106.8	112.1	117.4	122.7	128.0	133.3	138.6	143.9	149.2	154.5	159.8	165.1	170.4	175.7	181.0	186.3	191.6	196.9	202.2	207.5	212.8	218.1	223.4	
31	28.2	38.3	43.6	48.9	54.2	59.5	64.8	70.1	75.4	80.7	86.0	91.3	96.6	101.9	107.2	112.5	117.8	123.1	128.4	133.7	139.0	144.3	149.6	154.9	160.2	165.5	170.8	176.1	181.4	186.7	192.0	197.3	202.6	207.9	213.2	218.5	223.8	
32	28.6	38.7	44.0	49.3	54.6	59.9	65.2	70.5	75.8	81.1	86.4	91.7	97.0	102.3	107.6	112.9	118.2	123.5	128.8	134.1	139.4	144.7	150.0	155.3	160.6	165.9	171.2	176.5	181.8	187.1	192.4	197.7	203.0	208.3	213.6	218.9	224.2	
33	29.0	39.1	44.4	49.7	55.0	60.3	65.6	70.9	76.2	81.5	86.8	92.1	97.4	102.7																								

BAM-Registrierung: 20081001-Eg33/10L/L33G00NP.PS/.PDF BAM-Material: Code=rh4ta
Anwendung für Beurteilung und Messung von Drucker- oder Monitorsystemen

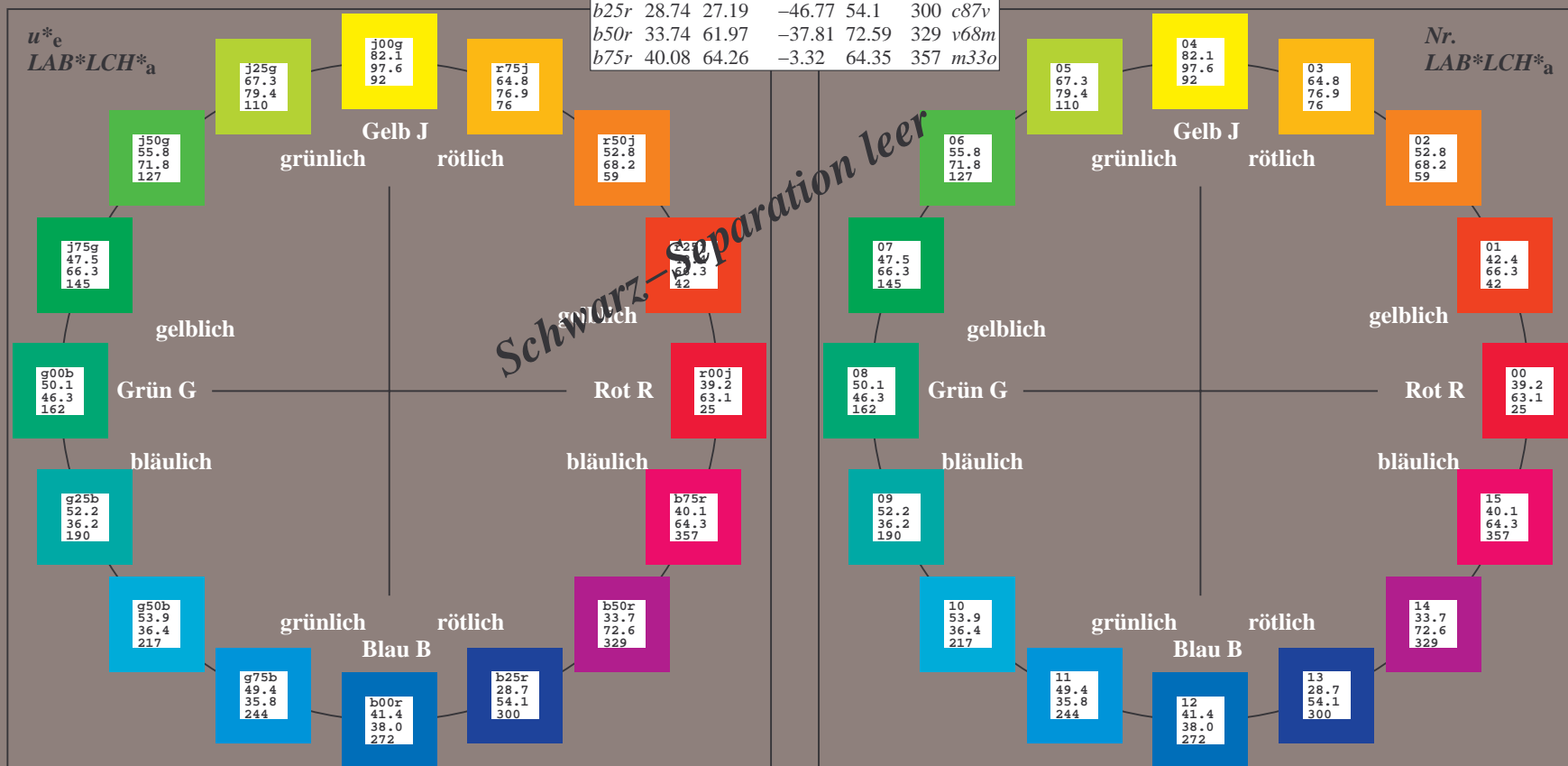
Ein und Ausgabe:
Farbmetrisches Drucker-Reflektiv-System FRS09_92aM
Daten für jede Farbe:
 u^*_e und Nummer $Nr.$ = 00 .. 15
Elementar-Bunttontext:
 $u^*_e = 16$ Bunttoene $r00j, r25j, ..., b75r$
Kontrastreduzierungsfaktor:
 $c_R = 0.9$

FRS09_92aM; adaptierte CIELAB-Daten							
u^*_e	$L^*=L^*_a$	a^*_a	b^*_a	$C^*_{ab,a}$	$h^*_{ab,a}$	u^*_d	
$r00j$	39.18	56.94	27.13	63.07	25	$m81o$	
$r25j$	42.41	49.1	44.5	66.26	42	$o10y$	
$r50j$	52.78	35.22	58.37	68.17	59	$o40y$	
$r75j$	64.82	19.12	74.47	76.89	76	$o69y$	
$j00g$	82.06	-3.94	97.52	97.6	92	$o98y$	
$j25g$	67.26	-26.87	74.67	79.36	110	$y34l$	
$j50g$	55.83	-43.45	57.11	71.76	127	$y69l$	
$j75g$	47.5	-54.18	38.3	66.35	145	$l03c$	
$g00b$	50.07	-44.09	14.13	46.3	162	$l23c$	
$g25b$	52.21	-35.66	-6.03	36.17	190	$l55c$	
$g50b$	53.9	-29.04	-21.87	36.36	217	$l87c$	
$g75b$	49.44	-15.51	-32.31	35.84	244	$c20v$	
$b00r$	41.36	1.15	-37.95	37.97	272	$c53v$	
$b25r$	28.74	27.19	-46.77	54.1	300	$c87v$	
$b50r$	33.74	61.97	-37.81	72.59	329	$v68m$	
$b75r$	40.08	64.26	-3.32	64.35	357	$m33o$	



%Umfang
 $u^*_{rel} = 88$
%Regularität
 $g^*_{H,rel} = 31$
 $g^*_{C,rel} = 40$

FRS09_92aM; adaptierte CIELAB-Daten					
Name	$L^*=L^*_a$	a^*_a	b^*_a	$C^*_{ab,a}$	$h^*_{ab,a}$
O _{Ma}	38.8	53.92	39.68	66.95	36
Y _{Ma}	82.58	-4.64	98.22	98.33	93
L _{Ma}	46.95	-56.34	43.46	71.15	142
C _{Ma}	54.62	-26.2	-28.68	38.85	228
V _{Ma}	20.01	45.2	-52.87	69.56	311
M _{Ma}	40.88	70.68	-29.99	76.78	337
N _{Ma}	15.0	0.0	0.0	0.0	0
W _{Ma}	90.0	0.0	0.0	0.0	0
R _{CIE}	39.92	58.74	27.99	65.07	25
J _{CIE}	81.26	-2.89	71.56	71.62	92
G _{CIE}	52.23	-42.42	13.6	44.55	162
B _{CIE}	30.57	1.41	-46.47	46.49	272



Ein und Ausgabe: Farbmetrisches Drucker-Reflektiv-System FRS09_92aM für relativen CIELAB-Buntton $h^* = lab^*h^* = h_{ab}/360 = 0.071$

Daten für jede Farbe:

lab^*tch^* und lab^*icu^*

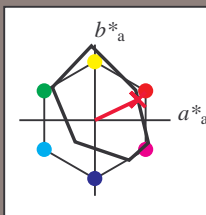
Bunttontexte:

$u^*_e = r00j$ $u^*_d = m81o$

Kontrastreduzierungsfaktor:

$c_R = 0.9$

Dreiecks-Helligkeit t^*



FRS09_92aM; adaptierte CIELAB-Daten						
u^*_e	$L^*=L^*_a$	a^*_a	b^*_a	$C^*_{ab,a}$	$h^*_{ab,a}$	
O _{Ma}	38.8	53.92	39.68	66.95	36	
Y _{Ma}	82.58	-4.64	98.22	98.33	93	
L _{Ma}	46.95	-56.34	43.46	71.15	142	
C _{Ma}	54.62	-26.2	-28.68	38.85	228	
V _{Ma}	20.01	45.2	-52.87	69.56	311	
M _{Ma}	40.88	70.68	-29.99	76.78	337	
N _{Ma}	15.0	0.0	0.0	0.0	0	
W _{Ma}	90.0	0.0	0.0	0.0	0	
R _{Ma}	39.92	58.74	27.99	65.07	25	
J _{Ma}	81.26	-2.89	71.56	71.62	92	
G _{Ma}	52.23	-42.42	13.6	44.55	162	
B _{Ma}	30.57	1.41	-46.47	46.49	272	

Daten für Maximalfarbe (Ma):

LAB^*LAB^*Ma : 39 57 27

LAB^*LCH^*Ma : 39 63 25

lab^*rgb^*Ma : 1.0 0.0 0.0

lab^*olv^*Ma : 1.0 0.0 0.18

Dreiecks-Helligkeit t^*

%Umfang

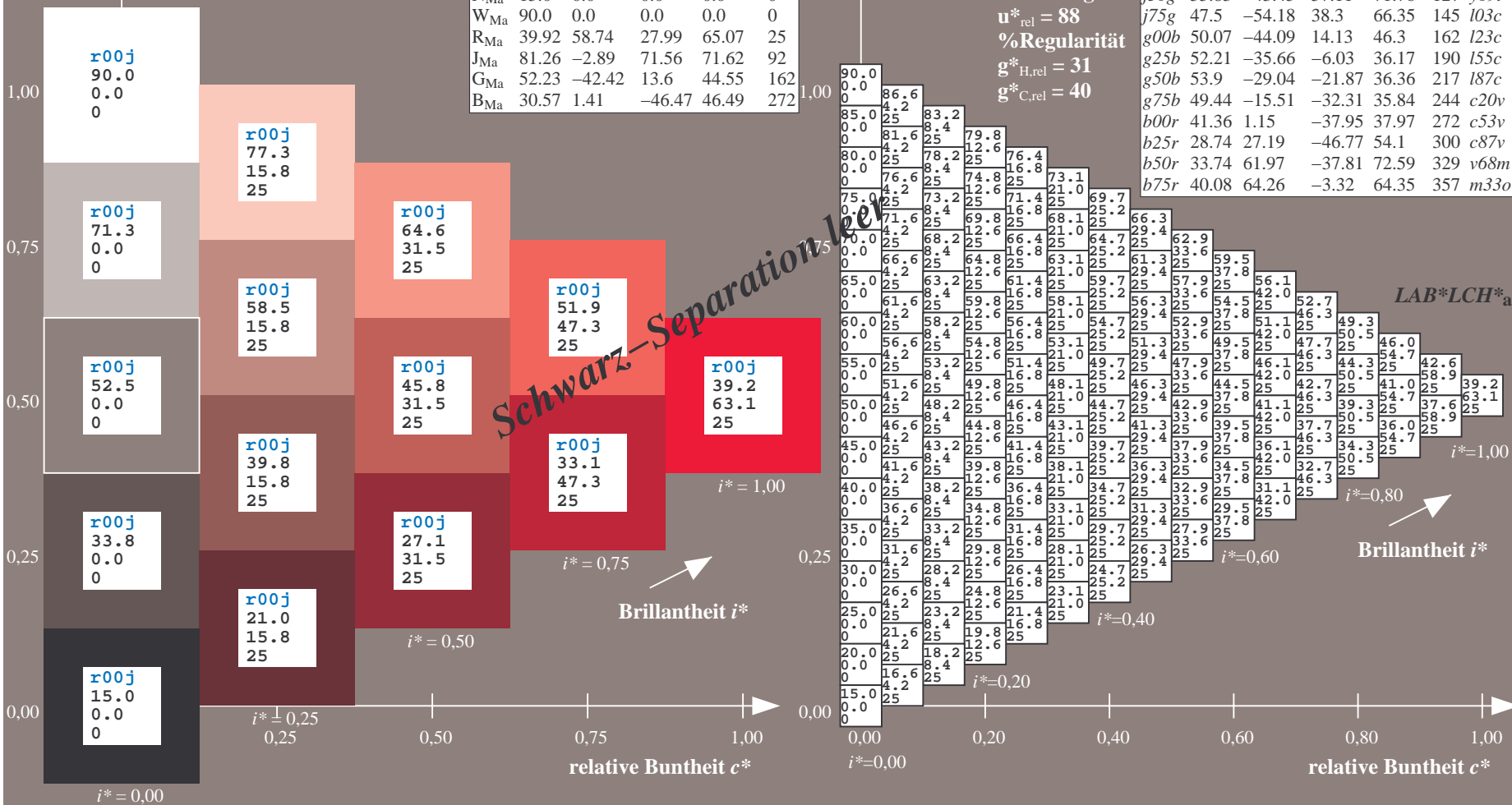
$u^*_{rel} = 88$

%Regularität

$g^*_{H,rel} = 31$

$g^*_{C,rel} = 40$

FRS09_92aM; adaptierte CIELAB-Daten						
u^*_e	$L^*=L^*_a$	a^*_a	b^*_a	$C^*_{ab,a}$	$h^*_{ab,a}$	u^*_d
r00j	39.18	56.94	27.13	63.07	25	m81o
r25j	42.41	49.1	44.5	66.26	42	o10y
r50j	52.78	35.22	58.37	68.17	59	o40y
r75j	64.82	19.12	74.47	76.89	76	o69y
j00g	82.06	-3.94	97.52	97.6	92	o98y
j25g	67.26	-26.87	74.67	79.36	110	y34l
j50g	55.83	-43.45	57.11	71.76	127	y69l
j75g	47.5	-54.18	38.3	66.35	145	l03c
g00b	50.07	-44.09	14.13	46.3	162	l23c
g25b	52.21	-35.66	-6.03	36.17	190	l55c
g50b	53.9	-29.04	-21.87	36.36	217	l87c
g75b	49.44	-15.51	-32.31	35.84	244	c20v
b00r	41.36	1.15	-37.95	37.97	272	c53v
b25r	28.74	27.19	-46.77	54.1	300	c87v
b50r	33.74	61.97	-37.81	72.59	329	v68m
b75r	40.08	64.26	-3.32	64.35	357	m33o



Ein und Ausgabe: Farbmetrisches Drucker-Reflektiv-System FRS09_92aM für relativen CIELAB-Buntton $h^* = lab^*h^* = h_{ab}/360 = 0.117$

Daten für jede Farbe:

lab^*tch^* und lab^*icu^*

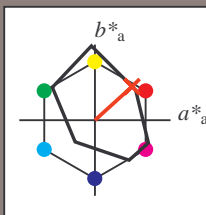
Bunttontexte:

$u^*_e = r25j$ $u^*_d = o10y$

Kontrastreduzierungsfaktor:

$c_R = 0.9$

Dreiecks-Helligkeit t^*



FRS09_92aM; adaptierte CIELAB-Daten

	u^*_e	$L^*=L^*_a$	a^*_a	b^*_a	$C^*_{ab,a}$	$h^*_{ab,a}$
O _{Ma}	38.8	53.92	39.68	66.95	36	
Y _{Ma}	82.58	-4.64	98.22	98.33	93	
L _{Ma}	46.95	-56.34	43.46	71.15	142	
C _{Ma}	54.62	-26.2	-28.68	38.85	228	
V _{Ma}	20.01	45.2	-52.87	69.56	311	
M _{Ma}	40.88	70.68	-29.99	76.78	337	
N _{Ma}	15.0	0.0	0.0	0.0	0	
W _{Ma}	90.0	0.0	0.0	0.0	0	
R _{Ma}	39.92	58.74	27.99	65.07	25	
J _{Ma}	81.26	-2.89	71.56	71.62	92	
G _{Ma}	52.23	-42.42	13.6	44.55	162	
B _{Ma}	30.57	1.41	-46.47	46.49	272	

Daten für Maximalfarbe (Ma):

LAB^*LAB^*Ma : 42 49 44

LAB^*LCH^*Ma : 42 66 42

lab^*rgb^*Ma : 1.0 0.25 0.0

lab^*olv^*Ma : 1.0 0.1 0.0

Dreiecks-Helligkeit t^*

%Umfang

$u^*_{rel} = 88$

%Regularität

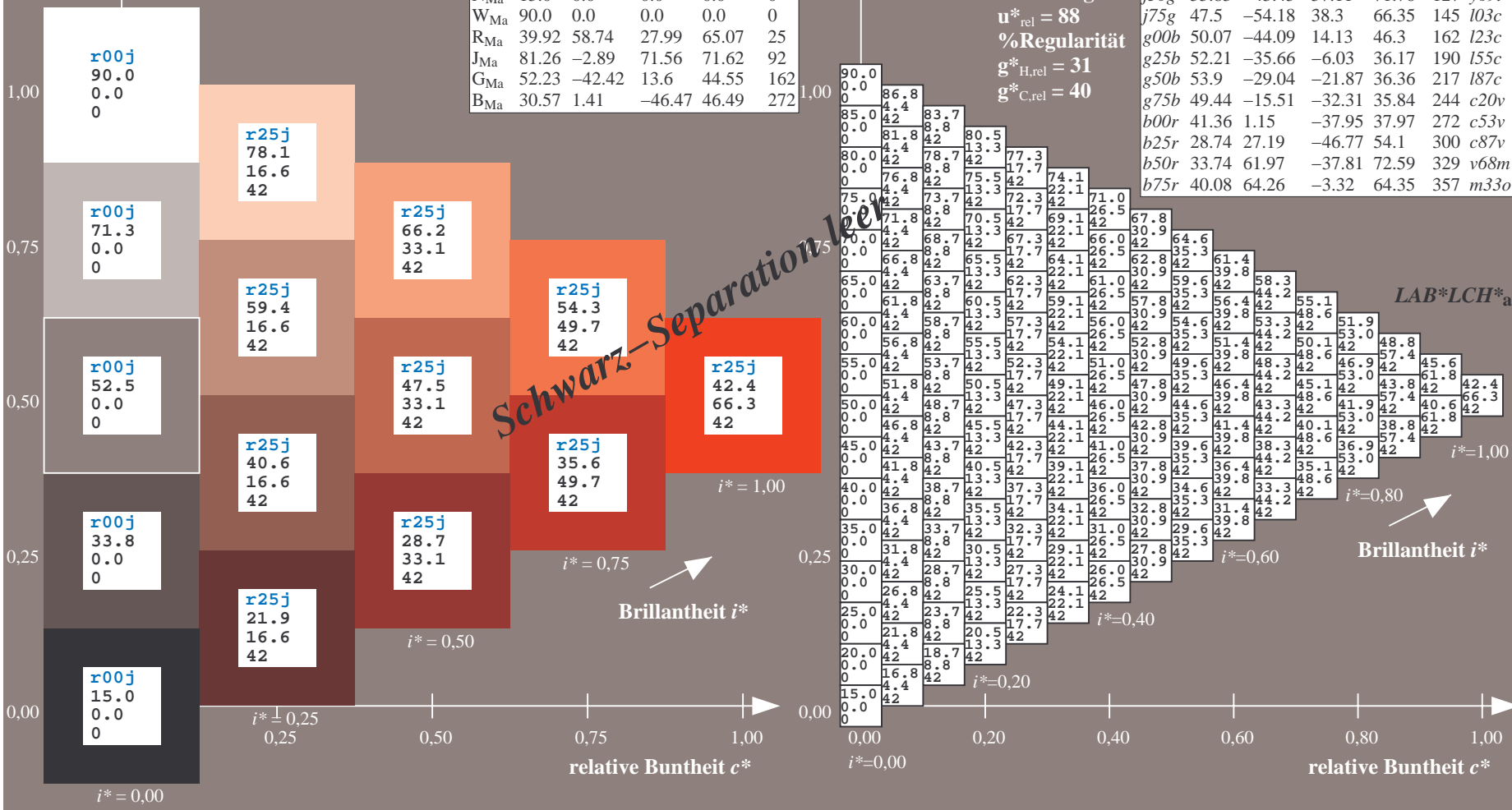
$g^*_{H,rel} = 31$

$g^*_{C,rel} = 40$

FRS09_92aM; adaptierte CIELAB-Daten

	u^*_e	$L^*=L^*_a$	a^*_a	b^*_a	$C^*_{ab,a}$	$h^*_{ab,a}$	u^*_d
r00j	39.18	56.94	27.13	63.07	25	m81o	
r25j	42.41	49.1	44.5	66.26	42	o10y	
r50j	52.78	35.22	58.37	68.17	59	o40y	
r75j	64.82	19.12	74.47	76.89	76	o69y	
j00g	82.06	-3.94	97.52	97.6	92	o98y	
j25g	67.26	-26.87	74.67	79.36	110	y34l	
j50g	55.83	-43.45	57.11	71.76	127	y69l	
j75g	47.5	-54.18	38.3	66.35	145	l03c	
g00b	50.07	-44.09	14.13	46.3	162	l23c	
g25b	52.21	-35.66	-6.03	36.17	190	l55c	
g50b	53.9	-29.04	-21.87	36.36	217	l87c	
g75b	49.44	-15.51	-32.31	35.84	244	c20v	
b00r	41.36	1.15	-37.95	37.97	272	c53v	
b25r	28.74	27.19	-46.77	54.1	300	c87v	
b50r	33.74	61.97	-37.81	72.59	329	v68m	
b75r	40.08	64.26	-3.32	64.35	357	m33o	

$u^*_e = r25j$
 $LAB^*LCH^*_a$



Ein und Ausgabe: Farbmetrisches Drucker-Reflektiv-System FRS09_92aM für relativen CIELAB-Buntton $h^* = lab^*h^* = h_{ab}/360 = 0.164$

Daten für jede Farbe:

lab^*tch^* und lab^*icu^*

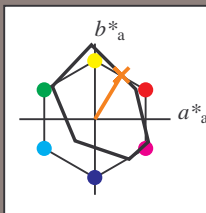
Bunttontexte:

$u^*_e = r50j$ $u^*_d = o40y$

Kontrastreduzierungsfaktor:

$c_R = 0.9$

Dreiecks-Helligkeit i^*



FRS09_92aM; adaptierte CIELAB-Daten

	u^*_e	$L^*=L^*_a$	a^*_a	b^*_a	$C^*_{ab,a}$	$h^*_{ab,a}$
O _{Ma}	38.8	53.92	39.68	66.95	36	
Y _{Ma}	82.58	-4.64	98.22	98.33	93	
L _{Ma}	46.95	-56.34	43.46	71.15	142	
C _{Ma}	54.62	-26.2	-28.68	38.85	228	
V _{Ma}	20.01	45.2	-52.87	69.56	311	
M _{Ma}	40.88	70.68	-29.99	76.78	337	
N _{Ma}	15.0	0.0	0.0	0.0	0	
W _{Ma}	90.0	0.0	0.0	0.0	0	
R _{Ma}	39.92	58.74	27.99	65.07	25	
J _{Ma}	81.26	-2.89	71.56	71.62	92	
G _{Ma}	52.23	-42.42	13.6	44.55	162	
B _{Ma}	30.57	1.41	-46.47	46.49	272	

Daten für Maximalfarbe (Ma):

$LAB^*LAB^*_{Ma}$: 53 35 58

$LAB^*LCH^*_{Ma}$: 53 68 58

$lab^*rgb^*_{Ma}$: 1.0 0.5 0.0

$lab^*olv^*_{Ma}$: 1.0 0.4 0.0

Dreiecks-Helligkeit i^*

%Umfang

$u^*_{rel} = 88$

%Regularität

$g^*_{H,rel} = 31$

$g^*_{C,rel} = 40$

FRS09_92aM; adaptierte CIELAB-Daten

	u^*_e	$L^*=L^*_a$	a^*_a	b^*_a	$C^*_{ab,a}$	$h^*_{ab,a}$	u^*_d
r00j	39.18	56.94	27.13	63.07	25	m81o	
r25j	42.41	49.1	44.5	66.26	42	o10y	
r50j	52.78	35.22	58.37	68.17	59	o40y	
r75j	64.82	19.12	74.47	76.89	76	o69y	
j00g	82.06	-3.94	97.52	97.6	92	o98y	
j25g	67.26	-26.87	74.67	79.36	110	y34l	
j50g	55.83	-43.45	57.11	71.76	127	y69l	
j75g	47.5	-54.18	38.3	66.35	145	l03c	
g00b	50.07	-44.09	14.13	46.3	162	l23c	
g25b	52.21	-35.66	-6.03	36.17	190	l55c	
g50b	53.9	-29.04	-21.87	36.36	217	l87c	
g75b	49.44	-15.51	-32.31	35.84	244	c20v	
b00r	41.36	1.15	-37.95	37.97	272	c53v	
b25r	28.74	27.19	-46.77	54.1	300	c87v	
b50r	33.74	61.97	-37.81	72.59	329	v68m	
b75r	40.08	64.26	-3.32	64.35	357	m33o	

$u^*_e = r50j$
 $LAB^*LCH^*_{Ma}$

Schwarz-Separation

Brillantheit i^*

Brillantheit i^*

Ein und Ausgabe: Farbmetrisches Drucker-Reflektiv-System FRS09_92aM für relativen CIELAB-Buntton $h^* = lab^*h^* = h_{ab}/360 = 0.21$

Daten für jede Farbe:

lab^*tch^* und lab^*icu^*

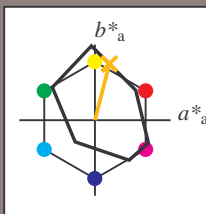
Bunttontexte:

$u^*_e = r75j$ $u^*_d = o69y$

Kontrastreduzierungsfaktor:

$c_R = 0.9$

Dreiecks-Helligkeit i^*



FRS09_92aM; adaptierte CIELAB-Daten

	u^*_e	$L^*=L^*_a$	a^*_a	b^*_a	$C^*_{ab,a}$	$h^*_{ab,a}$
O _{Ma}	38.8	53.92	39.68	66.95	36	
Y _{Ma}	82.58	-4.64	98.22	98.33	93	
L _{Ma}	46.95	-56.34	43.46	71.15	142	
C _{Ma}	54.62	-26.2	-28.68	38.85	228	
V _{Ma}	20.01	45.2	-52.87	69.56	311	
M _{Ma}	40.88	70.68	-29.99	76.78	337	
N _{Ma}	15.0	0.0	0.0	0.0	0	
W _{Ma}	90.0	0.0	0.0	0.0	0	
R _{Ma}	39.92	58.74	27.99	65.07	25	
J _{Ma}	81.26	-2.89	71.56	71.62	92	
G _{Ma}	52.23	-42.42	13.6	44.55	162	
B _{Ma}	30.57	1.41	-46.47	46.49	272	

Daten für Maximalfarbe (Ma):

$LAB^*LAB^*_{Ma}$: 65 19 74

$LAB^*LCH^*_{Ma}$: 65 77 75

$lab^*rgb^*_{Ma}$: 1.0 0.75 0.0

$lab^*olv^*_{Ma}$: 1.0 0.7 0.0

Dreiecks-Helligkeit i^*

%Umfang

$u^*_{rel} = 88$

%Regularität

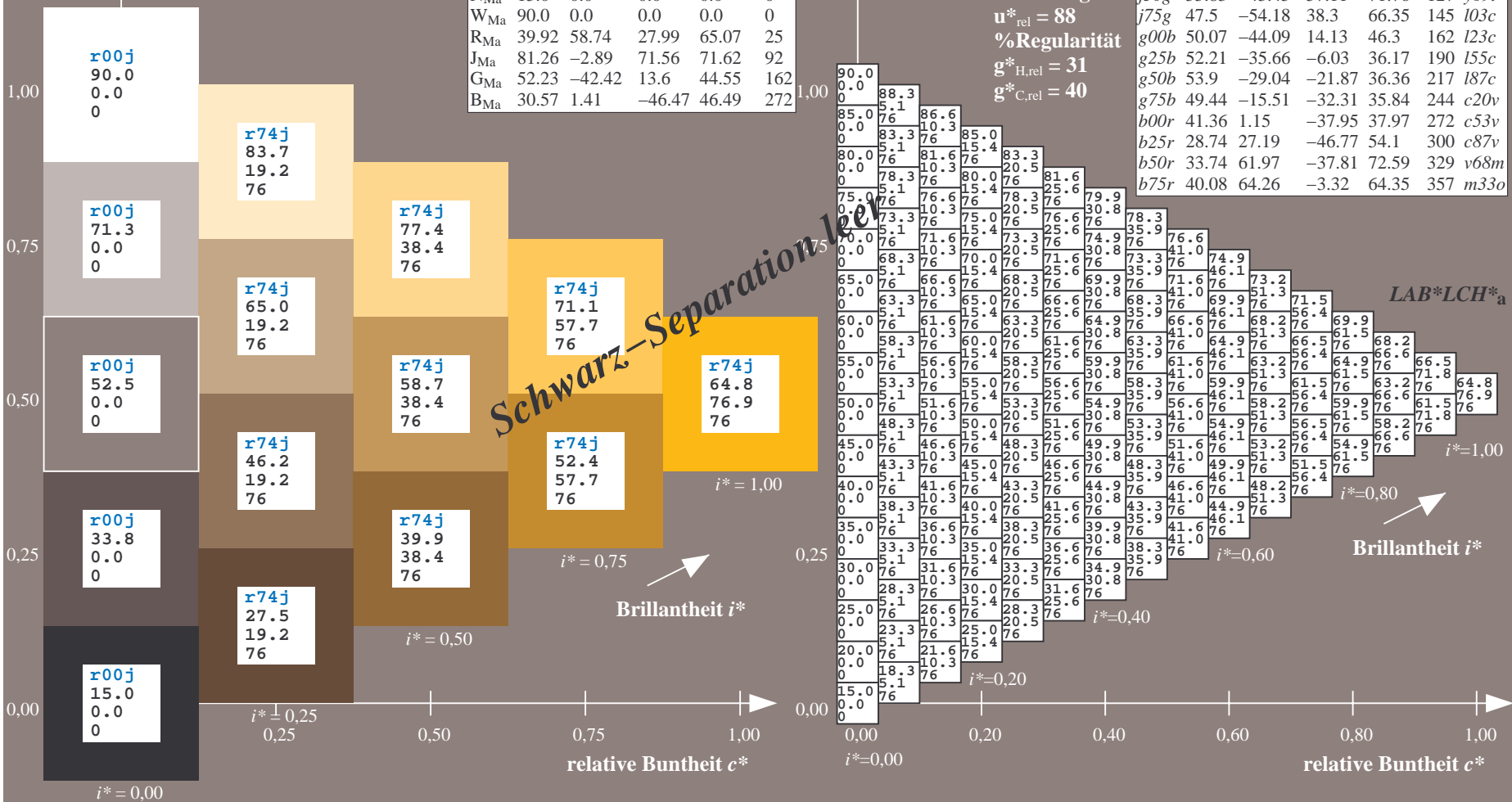
$g^*_{H,rel} = 31$

$g^*_{C,rel} = 40$

FRS09_92aM; adaptierte CIELAB-Daten

	u^*_e	$L^*=L^*_a$	a^*_a	b^*_a	$C^*_{ab,a}$	$h^*_{ab,a}$	u^*_d
r00j	39.18	56.94	27.13	63.07	25	m81o	
r25j	42.41	49.1	44.5	66.26	42	o10y	
r50j	52.78	35.22	58.37	68.17	59	o40y	
r75j	64.82	19.12	74.47	76.89	76	o69y	
j00g	82.06	-3.94	97.52	97.6	92	o98y	
j25g	67.26	-26.87	74.67	79.36	110	y34l	
j50g	55.83	-43.45	57.11	71.76	127	y69l	
j75g	47.5	-54.18	38.3	66.35	145	i03c	
g00b	50.07	-44.09	14.13	46.3	162	i23c	
g25b	52.21	-35.66	-6.03	36.17	190	i55c	
g50b	53.9	-29.04	-21.87	36.36	217	i87c	
g75b	49.44	-15.51	-32.31	35.84	244	c20v	
b00r	41.36	1.15	-37.95	37.97	272	c53v	
b25r	28.74	27.19	-46.77	54.1	300	c87v	
b50r	33.74	61.97	-37.81	72.59	329	v68m	
b75r	40.08	64.26	-3.32	64.35	357	m33o	

$u^*_e = r75j$
 $LAB^*LCH^*_{Ma}$



Ein und Ausgabe: Farbmetrisches Drucker-Reflektiv-System FRS09_92aM für relativen CIELAB-Buntton $h^* = lab^*h^* = h_{ab}/360 = 0.256$

Daten für jede Farbe:

lab^*tch^* und lab^*icu^*

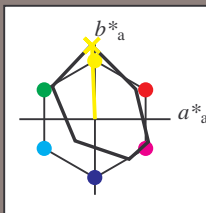
Bunttontexte:

$u^*_e = j00g$ $u^*_d = o98y$

Kontrastreduzierungsfaktor:

$c_R = 0.9$

Dreiecks-Helligkeit t^*



FRS09_92aM; adaptierte CIELAB-Daten

u^*_e	$L^*=L^*_a$	a^*_a	b^*_a	$C^*_{ab,a}$	$h^*_{ab,a}$
O _{Ma}	38.8	53.92	39.68	66.95	36
Y _{Ma}	82.58	-4.64	98.22	98.33	93
L _{Ma}	46.95	-56.34	43.46	71.15	142
C _{Ma}	54.62	-26.2	-28.68	38.85	228
V _{Ma}	20.01	45.2	-52.87	69.56	311
M _{Ma}	40.88	70.68	-29.99	76.78	337
N _{Ma}	15.0	0.0	0.0	0.0	0
W _{Ma}	90.0	0.0	0.0	0.0	0
R _{Ma}	39.92	58.74	27.99	65.07	25
J _{Ma}	81.26	-2.89	71.56	71.62	92
G _{Ma}	52.23	-42.42	13.6	44.55	162
B _{Ma}	30.57	1.41	-46.47	46.49	272

Daten für Maximalfarbe (Ma):

$LAB^*LAB^*_{Ma}$: 82 -4 98

$LAB^*LCH^*_{Ma}$: 82 98 92

$lab^*rgb^*_{Ma}$: 1.0 1.0 0.0

$lab^*olv^*_{Ma}$: 1.0 0.99 0.0

Dreiecks-Helligkeit t^*

%Umfang

$u^*_{rel} = 88$

%Regularität

$g^*_{H,rel} = 31$

$g^*_{C,rel} = 40$

FRS09_92aM; adaptierte CIELAB-Daten

u^*_e	$L^*=L^*_a$	a^*_a	b^*_a	$C^*_{ab,a}$	$h^*_{ab,a}$	u^*_d
r00j	39.18	56.94	27.13	63.07	25	m81o
r25j	42.41	49.1	44.5	66.26	42	o10y
r50j	52.78	35.22	58.37	68.17	59	o40y
r75j	64.82	19.12	74.47	76.89	76	o69y
j00g	82.06	-3.94	97.52	97.6	92	o98y
j25g	67.26	-26.87	74.67	79.36	110	y34l
j50g	55.83	-43.45	57.11	71.76	127	y69l
j75g	47.5	-54.18	38.3	66.35	145	l03c
g00b	50.07	-44.09	14.13	46.3	162	l23c
g25b	52.21	-35.66	-6.03	36.17	190	l55c
g50b	53.9	-29.04	-21.87	36.36	217	l87c
g75b	49.44	-15.51	-32.31	35.84	242	c20v
b00r	41.36	1.15	-37.95	37.97	272	c53v
b25r	28.74	27.19	-46.77	54.1	300	c87v
b50r	33.74	61.97	-37.81	72.59	329	v68m
b75r	40.08	64.26	-3.32	64.35	357	m33o

$LAB^*LCH^*_{Ma}$

$i^* = 1.00$

Brillantheit i^*

$i^* = 0.80$

$i^* = 0.60$

$i^* = 0.40$

$i^* = 0.20$

$i^* = 0.00$

relative Bunttheit c^*

relative Bunttheit c^*

Ein und Ausgabe: Farbmetrisches Drucker-Reflektiv-System FRS09_92aM für relativen CIELAB-Buntton $h^* = lab^*h^* = h_{ab}/360 = 0.305$

Daten für jede Farbe:

lab^*ch^* und lab^*icu^*

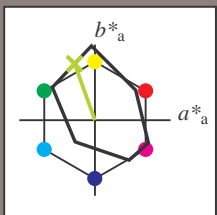
Bunttontexte:

$u^*_e = j25g$ $u^*_d = y34l$

Kontrastreduzierungsfaktor:

$c_R = 0.9$

Dreiecks-Helligkeit i^*



FRS09_92aM; adaptierte CIELAB-Daten						
u^*_e	$L^*=L^*_a$	a^*_a	b^*_a	$C^*_{ab,a}$	$h^*_{ab,a}$	
O _{Ma}	38.8	53.92	39.68	66.95	36	
Y _{Ma}	82.58	-4.64	98.22	98.33	93	
L _{Ma}	46.95	-56.34	43.46	71.15	142	
C _{Ma}	54.62	-26.2	-28.68	38.85	228	
V _{Ma}	20.01	45.2	-52.87	69.56	311	
M _{Ma}	40.88	70.68	-29.99	76.78	337	
N _{Ma}	15.0	0.0	0.0	0.0	0	
W _{Ma}	90.0	0.0	0.0	0.0	0	
R _{Ma}	39.92	58.74	27.99	65.07	25	
J _{Ma}	81.26	-2.89	71.56	71.62	92	
G _{Ma}	52.23	-42.42	13.6	44.55	162	
B _{Ma}	30.57	1.41	-46.47	46.49	272	

Daten für Maximalfarbe (Ma):

$LAB^*LAB^*_{Ma}$: 67 -27 75

$LAB^*LCH^*_{Ma}$: 67 79 109

$lab^*rgb^*_{Ma}$: 0.75 1.0 0.0

$lab^*olv^*_{Ma}$: 0.66 1.0 0.0

Dreiecks-Helligkeit i^*

%Umfang

$u^*_{rel} = 88$

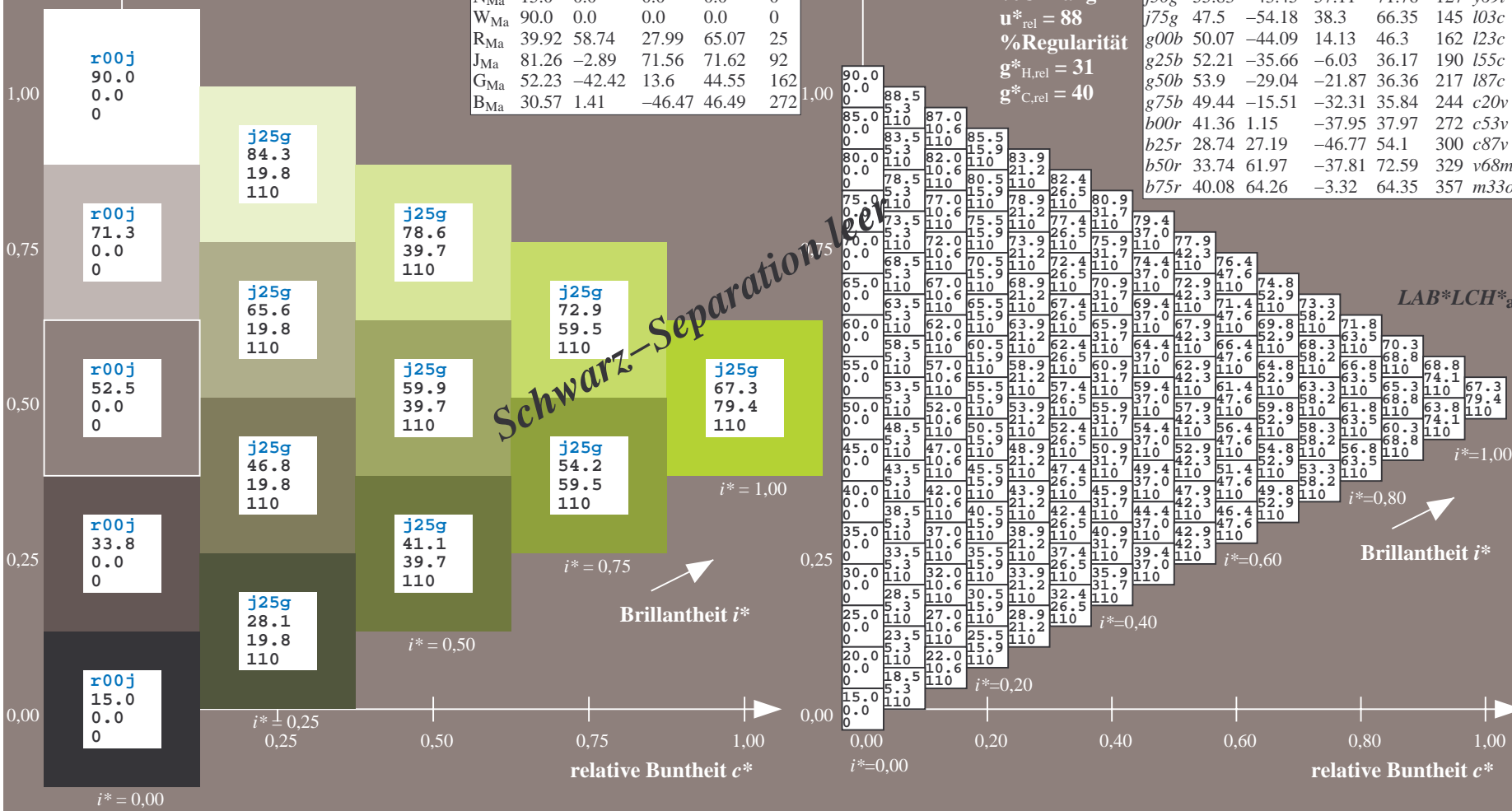
%Regularität

$g^*_{H,rel} = 31$

$g^*_{C,rel} = 40$

FRS09_92aM; adaptierte CIELAB-Daten						
u^*_e	$L^*=L^*_a$	a^*_a	b^*_a	$C^*_{ab,a}$	$h^*_{ab,a}$	u^*_d
r00j	39.18	56.94	27.13	63.07	25	m81o
r25j	42.41	49.1	44.5	66.26	42	o10y
r50j	52.78	35.22	58.37	68.17	59	o40y
r75j	64.82	19.12	74.47	76.89	76	o69y
j00g	82.06	-3.94	97.52	97.6	92	o98y
j25g	67.26	-26.87	74.67	79.36	110	y34l
j50g	55.83	-43.45	57.11	71.76	127	y69l
j75g	47.5	-54.18	38.3	66.35	145	l03c
g00b	50.07	-44.09	14.13	46.3	162	l23c
g25b	52.21	-35.66	-6.03	36.17	190	l55c
g50b	53.9	-29.04	-21.87	36.36	217	l87c
g75b	49.44	-15.51	-32.31	35.84	244	c20v
b00r	41.36	1.15	-37.95	37.97	272	c53v
b25r	28.74	27.19	-46.77	54.1	300	c87v
b50r	33.74	61.97	-37.81	72.59	329	v68m
b75r	40.08	64.26	-3.32	64.35	357	m33o

Schwarz-Separation



Ein und Ausgabe: Farbmetrisches Drucker-Reflektiv-System FRS09_92aM für relativen CIELAB-Buntton $h^* = lab^*h^* = h_{ab}/360 = 0.354$

Daten für jede Farbe:

lab^*tch^* und lab^*icu^*

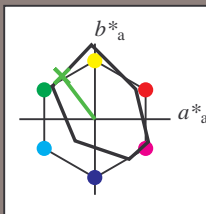
Bunttontexte:

$u^*_e = j50g$ $u^*_d = y69l$

Kontrastreduzierungsfaktor:

$c_R = 0.9$

Dreiecks-Helligkeit t^*



FRS09_92aM; adaptierte CIELAB-Daten

	u^*_e	$L^*=L^*_a$	a^*_a	b^*_a	$C^*_{ab,a}$	$h^*_{ab,a}$
O _{Ma}	38.8	53.92	39.68	66.95	36	
Y _{Ma}	82.58	-4.64	98.22	98.33	93	
L _{Ma}	46.95	-56.34	43.46	71.15	142	
C _{Ma}	54.62	-26.2	-28.68	38.85	228	
V _{Ma}	20.01	45.2	-52.87	69.56	311	
M _{Ma}	40.88	70.68	-29.99	76.78	337	
N _{Ma}	15.0	0.0	0.0	0.0	0	
W _{Ma}	90.0	0.0	0.0	0.0	0	
R _{Ma}	39.92	58.74	27.99	65.07	25	
J _{Ma}	81.26	-2.89	71.56	71.62	92	
G _{Ma}	52.23	-42.42	13.6	44.55	162	
B _{Ma}	30.57	1.41	-46.47	46.49	272	

Daten für Maximalfarbe (Ma):

$LAB^*LAB^*_{Ma}$: 56 -43 57

$LAB^*LCH^*_{Ma}$: 56 72 127

$lab^*rgb^*_{Ma}$: 0.5 1.0 0.0

$lab^*olv^*_{Ma}$: 0.3 1.0 0.0

Dreiecks-Helligkeit t^*

%Umfang

$u^*_{rel} = 88$

%Regularität

$g^*_{H,rel} = 31$

$g^*_{C,rel} = 40$

FRS09_92aM; adaptierte CIELAB-Daten

	u^*_e	$L^*=L^*_a$	a^*_a	b^*_a	$C^*_{ab,a}$	$h^*_{ab,a}$	u^*_d
r00j	39.18	56.94	27.13	63.07	25	m81o	
r25j	42.41	49.1	44.5	66.26	42	o10y	
r50j	52.78	35.22	58.37	68.17	59	o40y	
r75j	64.82	19.12	74.47	76.89	76	o69y	
j00g	82.06	-3.94	97.52	97.6	92	o98y	
j25g	67.26	-26.87	74.67	79.36	110	y34l	
j50g	55.83	-43.45	57.11	71.76	127	y69l	
j75g	47.5	-54.18	38.3	66.35	145	i03c	
g00b	50.07	-44.09	14.13	46.3	162	i23c	
g25b	52.21	-35.66	-6.03	36.17	190	i55c	
g50b	53.9	-29.04	-21.87	36.36	217	i87c	
g75b	49.44	-15.51	-32.31	35.84	244	c20v	
b00r	41.36	1.15	-37.95	37.97	272	c53v	
b25r	28.74	27.19	-46.77	54.1	300	c87v	
b50r	33.74	61.97	-37.81	72.59	329	v68m	
b75r	40.08	64.26	-3.32	64.35	357	m33o	

$u^*_e = j50g$
 $LAB^*LCH^*_{Ma}$

Ein und Ausgabe: Farbmetrisches Drucker-Reflektiv-System FRS09_92aM für relativen CIELAB-Buntton $h^* = lab^*h^* = h_{ab}/360 = 0.402$

Daten für jede Farbe:

lab^*tch^* und lab^*icu^*

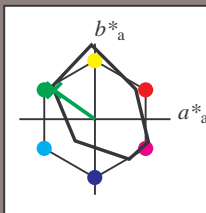
Bunttontexte:

$u^*_e = j75g$ $u^*_d = i03c$

Kontrastreduzierungsfaktor:

$c_R = 0.9$

Dreiecks-Helligkeit i^*



FRS09_92aM; adaptierte CIELAB-Daten

	u^*_e	$L^*=L^*_a$	a^*_a	b^*_a	$C^*_{ab,a}$	$h^*_{ab,a}$
O _{Ma}	38.8	53.92	39.68	66.95	36	
Y _{Ma}	82.58	-4.64	98.22	98.33	93	
L _{Ma}	46.95	-56.34	43.46	71.15	142	
C _{Ma}	54.62	-26.2	-28.68	38.85	228	
V _{Ma}	20.01	45.2	-52.87	69.56	311	
M _{Ma}	40.88	70.68	-29.99	76.78	337	
N _{Ma}	15.0	0.0	0.0	0.0	0	
W _{Ma}	90.0	0.0	0.0	0.0	0	
R _{Ma}	39.92	58.74	27.99	65.07	25	
J _{Ma}	81.26	-2.89	71.56	71.62	92	
G _{Ma}	52.23	-42.42	13.6	44.55	162	
B _{Ma}	30.57	1.41	-46.47	46.49	272	

Daten für Maximalfarbe (Ma):

$LAB^*LAB^*_{Ma}$: 48 -54 38

$LAB^*LCH^*_{Ma}$: 48 66 144

$lab^*rgb^*_{Ma}$: 0.25 1.0 0.0

$lab^*olv^*_{Ma}$: 0.0 1.0 0.03

Dreiecks-Helligkeit i^*

%Umfang

$u^*_{rel} = 88$

%Regularität

$g^*_{H,rel} = 31$

$g^*_{C,rel} = 40$

FRS09_92aM; adaptierte CIELAB-Daten

	u^*_e	$L^*=L^*_a$	a^*_a	b^*_a	$C^*_{ab,a}$	$h^*_{ab,a}$	u^*_d
r00j	39.18	56.94	27.13	63.07	25	m81o	
r25j	42.41	49.1	44.5	66.26	42	o10y	
r50j	52.78	35.22	58.37	68.17	59	o40y	
r75j	64.82	19.12	74.47	76.89	76	o69y	
j00g	82.06	-3.94	97.52	97.6	92	o98y	
j25g	67.26	-26.87	74.67	79.36	110	y34l	
j50g	55.83	-43.45	57.11	71.76	127	y69l	
j75g	47.5	-54.18	38.3	66.35	145	i03c	
g00b	50.07	-44.09	14.13	46.3	162	i23c	
g25b	52.21	-35.66	-6.03	36.17	190	i55c	
g50b	53.9	-29.04	-21.87	36.36	217	i87c	
g75b	49.44	-15.51	-32.31	35.84	244	c20v	
b00r	41.36	1.15	-37.95	37.97	272	c53v	
b25r	28.74	27.19	-46.77	54.1	300	c87v	
b50r	33.74	61.97	-37.81	72.59	329	v68m	
b75r	40.08	64.26	-3.32	64.35	357	m33o	

$u^*_e = j75g$
 $LAB^*LCH^*_{Ma}$

Ein und Ausgabe: Farbmetrisches Drucker-Reflektiv-System FRS09_92aM für relativen CIELAB-Buntton $h^* = lab^*h^* = h_{ab}/360 = 0.451$

Daten für jede Farbe:

lab^*ch^* und lab^*icu^*

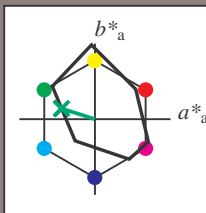
Bunttontexte:

$u^*_e = g00b$ $u^*_d = l23c$

Kontrastreduzierungsfaktor:

$c_R = 0.9$

Dreiecks-Helligkeit i^*



FRS09_92aM; adaptierte CIELAB-Daten

	u^*_e	$L^*=L^*_a$	a^*_a	b^*_a	$C^*_{ab,a}$	$h^*_{ab,a}$
O _{Ma}	38.8	53.92	39.68	66.95	36	
Y _{Ma}	82.58	-4.64	98.22	98.33	93	
L _{Ma}	46.95	-56.34	43.46	71.15	142	
C _{Ma}	54.62	-26.2	-28.68	38.85	228	
V _{Ma}	20.01	45.2	-52.87	69.56	311	
M _{Ma}	40.88	70.68	-29.99	76.78	337	
N _{Ma}	15.0	0.0	0.0	0.0	0	
W _{Ma}	90.0	0.0	0.0	0.0	0	
R _{Ma}	39.92	58.74	27.99	65.07	25	
J _{Ma}	81.26	-2.89	71.56	71.62	92	
G _{Ma}	52.23	-42.42	13.6	44.55	162	
B _{Ma}	30.57	1.41	-46.47	46.49	272	

Daten für Maximalfarbe (Ma):

$LAB^*LAB^*_{Ma}$: 50 -44 14

$LAB^*LCH^*_{Ma}$: 50 46 162

$lab^*rgb^*_{Ma}$: 0.0 1.0 0.0

$lab^*olv^*_{Ma}$: 0.0 1.0 0.23

Dreiecks-Helligkeit i^*

%Umfang

$u^*_{rel} = 88$

%Regularität

$g^*_{H,rel} = 31$

$g^*_{C,rel} = 40$

FRS09_92aM; adaptierte CIELAB-Daten

	u^*_e	$L^*=L^*_a$	a^*_a	b^*_a	$C^*_{ab,a}$	$h^*_{ab,a}$	u^*_d
r00j	39.18	56.94	27.13	63.07	25	m81o	
r25j	42.41	49.1	44.5	66.26	42	o10y	
r50j	52.78	35.22	58.37	68.17	59	o40y	
r75j	64.82	19.12	74.47	76.89	76	o69y	
j00g	82.06	-3.94	97.52	97.6	92	o98y	
j25g	67.26	-26.87	74.67	79.36	110	y34l	
j50g	55.83	-43.45	57.11	71.76	127	y69l	
j75g	47.5	-54.18	38.3	66.35	145	l03c	
g00b	50.07	-44.09	14.13	46.3	162	l23c	
g25b	52.21	-35.66	-6.03	36.17	190	l55c	
g50b	53.9	-29.04	-21.87	36.36	217	l87c	
g75b	49.44	-15.51	-32.31	35.84	244	c20v	
b00r	41.36	1.15	-37.95	37.97	272	c53v	
b25r	28.74	27.19	-46.77	54.1	300	c87v	
b50r	33.74	61.97	-37.81	72.59	329	v68m	
b75r	40.08	64.26	-3.32	64.35	357	m33o	

$u^*_e = g00b$
 $LAB^*LCH^*_{Ma}$

Ein und Ausgabe: Farbmetrisches Drucker-Reflektiv-System FRS09_92aM für relativen CIELAB-Buntton $h^* = lab \cdot h^* = h_{ab}/360 = 0.527$

Daten für jede Farbe:

$lab \cdot tch^*$ und $lab \cdot icu^*$

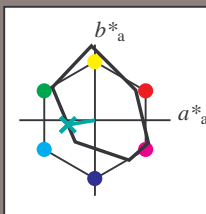
Bunttontexte:

$u^*_e = g25b$ $u^*_d = l55c$

Kontrastreduzierungsfaktor:

$c_R = 0.9$

Dreiecks-Helligkeit i^*



FRS09_92aM; adaptierte CIELAB-Daten

u^*_e	$L^*=L^*_a$	a^*_a	b^*_a	$C^*_{ab,a}$	$h^*_{ab,a}$
O _{Ma}	38.8	53.92	39.68	66.95	36
Y _{Ma}	82.58	-4.64	98.22	98.33	93
L _{Ma}	46.95	-56.34	43.46	71.15	142
C _{Ma}	54.62	-26.2	-28.68	38.85	228
V _{Ma}	20.01	45.2	-52.87	69.56	311
M _{Ma}	40.88	70.68	-29.99	76.78	337
N _{Ma}	15.0	0.0	0.0	0.0	0
W _{Ma}	90.0	0.0	0.0	0.0	0
R _{Ma}	39.92	58.74	27.99	65.07	25
J _{Ma}	81.26	-2.89	71.56	71.62	92
G _{Ma}	52.23	-42.42	13.6	44.55	162
B _{Ma}	30.57	1.41	-46.47	46.49	272

Daten für Maximalfarbe (Ma):

$LAB \cdot LAB^*_{Ma}$: 52 -36 -6

$LAB \cdot LCH^*_{Ma}$: 52 36 189

$lab \cdot rgb^*_{Ma}$: 0.0 1.0 0.5

$lab \cdot olv^*_{Ma}$: 0.0 1.0 0.55

Dreiecks-Helligkeit i^*

%Umfang

$u^*_{rel} = 88$

%Regularität

$g^*_{H,rel} = 31$

$g^*_{C,rel} = 40$

FRS09_92aM; adaptierte CIELAB-Daten

u^*_e	$L^*=L^*_a$	a^*_a	b^*_a	$C^*_{ab,a}$	$h^*_{ab,a}$	u^*_d
r00j	39.18	56.94	27.13	63.07	25	m81o
r25j	42.41	49.1	44.5	66.26	42	o10y
r50j	52.78	35.22	58.37	68.17	59	o40y
r75j	64.82	19.12	74.47	76.89	76	o69y
j00g	82.06	-3.94	97.52	97.6	92	o98y
j25g	67.26	-26.87	74.67	79.36	110	y34l
j50g	55.83	-43.45	57.11	71.76	127	y69l
j75g	47.5	-54.18	38.3	66.35	145	i03c
g00b	50.07	-44.09	14.13	46.3	162	i23c
g25b	52.21	-35.66	-6.03	36.17	190	i55c
g50b	53.9	-29.04	-21.87	36.36	217	i87c
g75b	49.44	-15.51	-32.31	35.84	244	c20v
b00r	41.36	1.15	-37.95	37.97	272	c53v
b25r	28.74	27.19	-46.77	54.1	300	c87v
b50r	33.74	61.97	-37.81	72.59	329	v68m
b75r	40.08	64.26	-3.32	64.35	357	m33o

$u^*_e = g25b$
 $LAB \cdot LCH^*_{Ma}$

$LAB \cdot LCH^*_{Ma}$

$i^* = 1.00$

Brillantheit i^*

$i^* = 0.80$

$i^* = 0.60$

$i^* = 0.40$

$i^* = 0.20$

$i^* = 0.00$

Schwarz-Separation

Brillantheit i^*

relative Buntheit c^*

relative Buntheit c^*

relative Buntheit c^*

Ein und Ausgabe: Farbmetrisches Drucker-Reflektiv-System FRS09_92aM für relativen CIELAB-Buntton $h^* = lab^*h^* = h_{ab}/360 = 0.603$

Daten für jede Farbe:

lab^*tch^* und lab^*icu^*

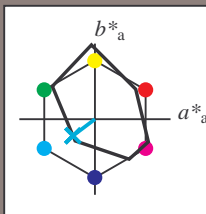
Bunttontexte:

$u^*_e = g50b$ $u^*_d = l87c$

Kontrastreduzierungsfaktor:

$c_R = 0.9$

Dreiecks-Helligkeit i^*



FRS09_92aM; adaptierte CIELAB-Daten

u^*_e	$L^*=L^*_a$	a^*_a	b^*_a	$C^*_{ab,a}$	$h^*_{ab,a}$
O _{Ma}	38.8	53.92	39.68	66.95	36
Y _{Ma}	82.58	-4.64	98.22	98.33	93
L _{Ma}	46.95	-56.34	43.46	71.15	142
C _{Ma}	54.62	-26.2	-28.68	38.85	228
V _{Ma}	20.01	45.2	-52.87	69.56	311
M _{Ma}	40.88	70.68	-29.99	76.78	337
N _{Ma}	15.0	0.0	0.0	0.0	0
W _{Ma}	90.0	0.0	0.0	0.0	0
R _{Ma}	39.92	58.74	27.99	65.07	25
J _{Ma}	81.26	-2.89	71.56	71.62	92
G _{Ma}	52.23	-42.42	13.6	44.55	162
B _{Ma}	30.57	1.41	-46.47	46.49	272

Daten für Maximalfarbe (Ma):

$LAB^*LAB^*_{Ma}$: 54 -29 -22

$LAB^*LCH^*_{Ma}$: 54 36 216

$lab^*rgb^*_{Ma}$: 0.0 1.0 1.0

$lab^*olv^*_{Ma}$: 0.0 1.0 0.88

Dreiecks-Helligkeit i^*

%Umfang

$u^*_{rel} = 88$

%Regularität

$g^*_{H,rel} = 31$

$g^*_{C,rel} = 40$

FRS09_92aM; adaptierte CIELAB-Daten

u^*_e	$L^*=L^*_a$	a^*_a	b^*_a	$C^*_{ab,a}$	$h^*_{ab,a}$	u^*_d
r00j	39.18	56.94	27.13	63.07	25	m81o
r25j	42.41	49.1	44.5	66.26	42	o10y
r50j	52.78	35.22	58.37	68.17	59	o40y
r75j	64.82	19.12	74.47	76.89	76	o69y
j00g	82.06	-3.94	97.52	97.6	92	o98y
j25g	67.26	-26.87	74.67	79.36	110	y34l
j50g	55.83	-43.45	57.11	71.76	127	y69l
j75g	47.5	-54.18	38.3	66.35	145	l03c
g00b	50.07	-44.09	14.13	46.3	162	l23c
g25b	52.21	-35.66	-6.03	36.17	190	l55c
g50b	53.9	-29.04	-21.87	36.36	217	l87c
g75b	49.44	-15.51	-32.31	35.84	244	c20v
b00r	41.36	1.15	-37.95	37.97	272	c53v
b25r	28.74	27.19	-46.77	54.1	300	c87v
b50r	33.74	61.97	-37.81	72.59	329	v68m
b75r	40.08	64.26	-3.32	64.35	357	m33o

$u^*_e = g50b$
 $LAB^*LCH^*_{Ma}$

Ein und Ausgabe: Farbmetrisches Drucker-Reflektiv-System FRS09_92aM für relativen CIELAB-Buntton $h^* = lab^*h^* = h_{ab}/360 = 0.679$

Daten für jede Farbe:

lab^*tch^* und lab^*icu^*

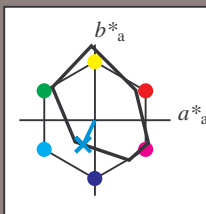
Bunttontexte:

$u^*_e = g75b$ $u^*_d = c20v$

Kontrastreduzierungsfaktor:

$c_R = 0.9$

Dreiecks-Helligkeit i^*



FRS09_92aM; adaptierte CIELAB-Daten

	u^*_e	$L^*=L^*_a$	a^*_a	b^*_a	$C^*_{ab,a}$	$h^*_{ab,a}$
O _{Ma}	38.8	53.92	39.68	66.95	36	
Y _{Ma}	82.58	-4.64	98.22	98.33	93	
L _{Ma}	46.95	-56.34	43.46	71.15	142	
C _{Ma}	54.62	-26.2	-28.68	38.85	228	
V _{Ma}	20.01	45.2	-52.87	69.56	311	
M _{Ma}	40.88	70.68	-29.99	76.78	337	
N _{Ma}	15.0	0.0	0.0	0.0	0	
W _{Ma}	90.0	0.0	0.0	0.0	0	
R _{Ma}	39.92	58.74	27.99	65.07	25	
J _{Ma}	81.26	-2.89	71.56	71.62	92	
G _{Ma}	52.23	-42.42	13.6	44.55	162	
B _{Ma}	30.57	1.41	-46.47	46.49	272	

Daten für Maximalfarbe (Ma):

LAB^*LAB^*Ma : 49 -16 -32

LAB^*LCH^*Ma : 49 36 244

lab^*rgb^*Ma : 0.0 0.5 1.0

lab^*olv^*Ma : 0.0 0.8 1.0

Dreiecks-Helligkeit i^*

%Umfang

$u^*_{rel} = 88$

%Regularität

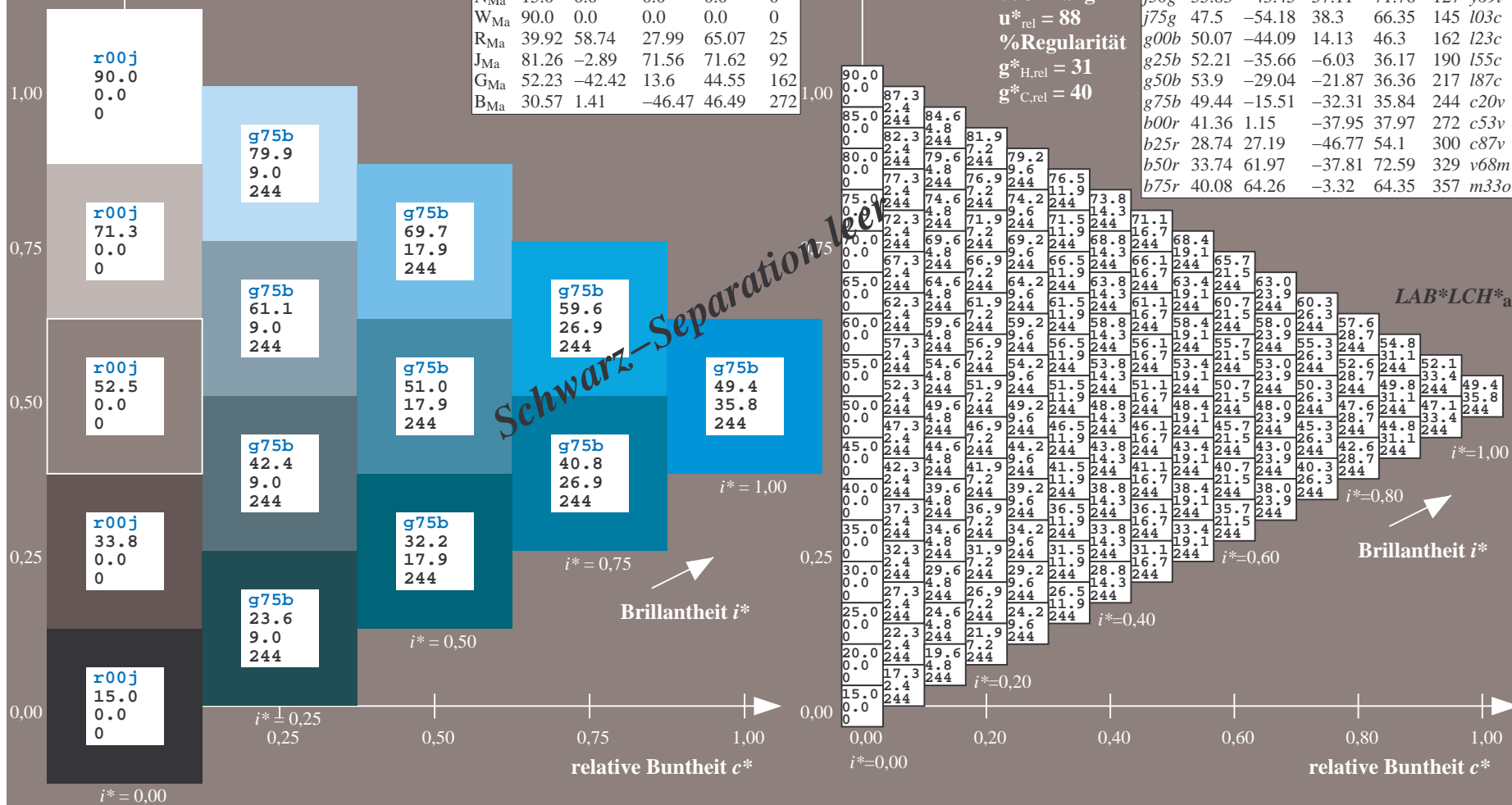
$g^*_{H,rel} = 31$

$g^*_{C,rel} = 40$

FRS09_92aM; adaptierte CIELAB-Daten

	u^*_e	$L^*=L^*_a$	a^*_a	b^*_a	$C^*_{ab,a}$	$h^*_{ab,a}$	u^*_d
r00j	39.18	56.94	27.13	63.07	25	m81o	
r25j	42.41	49.1	44.5	66.26	42	o10y	
r50j	52.78	35.22	58.37	68.17	59	o40y	
r75j	64.82	19.12	74.47	76.89	76	o69y	
j00g	82.06	-3.94	97.52	97.6	92	o98y	
j25g	67.26	-26.87	74.67	79.36	110	y34l	
j50g	55.83	-43.45	57.11	71.76	127	y69l	
j75g	47.5	-54.18	38.3	66.35	145	i03c	
g00b	50.07	-44.09	14.13	46.3	162	i23c	
g25b	52.21	-35.66	-6.03	36.17	190	i55c	
g50b	53.9	-29.04	-21.87	36.36	217	i87c	
g75b	49.44	-15.51	-32.31	35.84	244	c20v	
b00r	41.36	1.15	-37.95	37.97	272	c53v	
b25r	28.74	27.19	-46.77	54.1	300	c87v	
b50r	33.74	61.97	-37.81	72.59	329	v68m	
b75r	40.08	64.26	-3.32	64.35	357	m33o	

$u^*_e = g75b$
 $LAB^*LCH^*_a$



Ein und Ausgabe: Farbmetrisches Drucker-Reflektiv-System FRS09_92aM für relativen CIELAB-Buntton $h^* = lab^*h^* = h_{ab}/360 = 0.755$

Daten für jede Farbe:

lab^*ch^* und lab^*icu^*

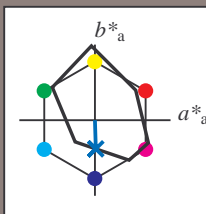
Bunttontexte:

$u^*_e = b00r$ $u^*_d = c53v$

Kontrastreduzierungsfaktor:

$c_R = 0.9$

Dreiecks-Helligkeit i^*



FRS09_92aM; adaptierte CIELAB-Daten

	u^*_e	$L^*=L^*_a$	a^*_a	b^*_a	$C^*_{ab,a}$	$h^*_{ab,a}$
O _{Ma}	38.8	53.92	39.68	66.95	36	
Y _{Ma}	82.58	-4.64	98.22	98.33	93	
L _{Ma}	46.95	-56.34	43.46	71.15	142	
C _{Ma}	54.62	-26.2	-28.68	38.85	228	
V _{Ma}	20.01	45.2	-52.87	69.56	311	
M _{Ma}	40.88	70.68	-29.99	76.78	337	
N _{Ma}	15.0	0.0	0.0	0.0	0	
W _{Ma}	90.0	0.0	0.0	0.0	0	
R _{Ma}	39.92	58.74	27.99	65.07	25	
J _{Ma}	81.26	-2.89	71.56	71.62	92	
G _{Ma}	52.23	-42.42	13.6	44.55	162	
B _{Ma}	30.57	1.41	-46.47	46.49	272	

Daten für Maximalfarbe (Ma):

$LAB^*LAB^*_{Ma}$: 41 1 -38

$LAB^*LCH^*_{Ma}$: 41 38 271

$lab^*rgb^*_{Ma}$: 0.0 0.0 1.0

$lab^*olv^*_{Ma}$: 0.0 0.47 1.0

Dreiecks-Helligkeit i^*

%Umfang

$u^*_{rel} = 88$

%Regularität

$g^*_{H,rel} = 31$

$g^*_{C,rel} = 40$

FRS09_92aM; adaptierte CIELAB-Daten

	u^*_e	$L^*=L^*_a$	a^*_a	b^*_a	$C^*_{ab,a}$	$h^*_{ab,a}$	u^*_d
r00j	39.18	56.94	27.13	63.07	25	m81o	
r25j	42.41	49.1	44.5	66.26	42	o10y	
r50j	52.78	35.22	58.37	68.17	59	o40y	
r75j	64.82	19.12	74.47	76.89	76	o69y	
j00g	82.06	-3.94	97.52	97.6	92	o98y	
j25g	67.26	-26.87	74.67	79.36	110	y34l	
j50g	55.83	-43.45	57.11	71.76	127	y69l	
j75g	47.5	-54.18	38.3	66.35	145	i03c	
g00b	50.07	-44.09	14.13	46.3	162	i23c	
g25b	52.21	-35.66	-6.03	36.17	190	i55c	
g50b	53.9	-29.04	-21.87	36.36	217	i87c	
g75b	49.44	-15.51	-32.31	35.84	244	c20v	
b00r	41.36	1.15	-37.95	37.97	272	c53v	
b25r	28.74	27.19	-46.77	54.1	300	c87v	
b50r	33.74	61.97	-37.81	72.59	329	v68m	
b75r	40.08	64.26	-3.32	64.35	357	m33o	

$u^*_e = b00r$
 $LAB^*LCH^*_{Ma}$

Ein und Ausgabe: Farbmetrisches Drucker-Reflektiv-System FRS09_92aM für relativen CIELAB-Buntton $h^* = lab^*h^* = h_{ab}/360 = 0.834$

Daten für jede Farbe:

lab^*tch^* und lab^*icu^*

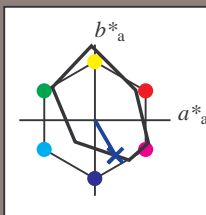
Bunttontexte:

$u^*_e = b25r$ $u^*_d = c87v$

Kontrastreduzierungsfaktor:

$c_R = 0.9$

Dreiecks-Helligkeit i^*



FRS09_92aM; adaptierte CIELAB-Daten

	u^*_e	$L^*=L^*_a$	a^*_a	b^*_a	$C^*_{ab,a}$	$h^*_{ab,a}$
O _{Ma}	38.8	53.92	39.68	66.95	36	
Y _{Ma}	82.58	-4.64	98.22	98.33	93	
L _{Ma}	46.95	-56.34	43.46	71.15	142	
C _{Ma}	54.62	-26.2	-28.68	38.85	228	
V _{Ma}	20.01	45.2	-52.87	69.56	311	
M _{Ma}	40.88	70.68	-29.99	76.78	337	
N _{Ma}	15.0	0.0	0.0	0.0	0	
W _{Ma}	90.0	0.0	0.0	0.0	0	
R _{Ma}	39.92	58.74	27.99	65.07	25	
J _{Ma}	81.26	-2.89	71.56	71.62	92	
G _{Ma}	52.23	-42.42	13.6	44.55	162	
B _{Ma}	30.57	1.41	-46.47	46.49	272	

Daten für Maximalfarbe (Ma):

$LAB^*LAB^*_{Ma}$: 29 27 -47

$LAB^*LCH^*_{Ma}$: 29 54 300

$lab^*rgb^*_{Ma}$: 0.5 0.0 1.0

$lab^*olv^*_{Ma}$: 0.0 0.12 1.0

Dreiecks-Helligkeit i^*

%Umfang

$u^*_{rel} = 88$

%Regularität

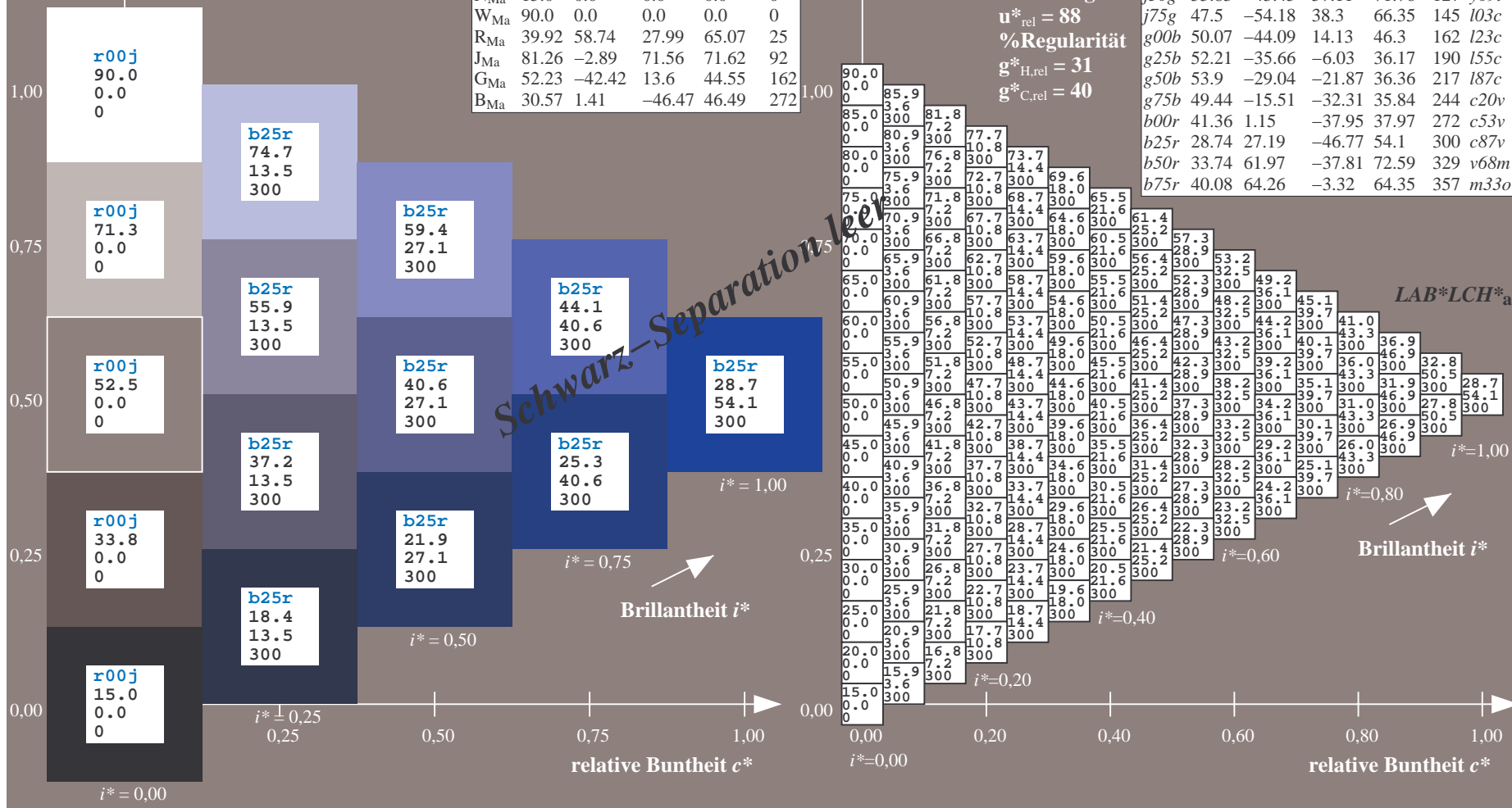
$g^*_{H,rel} = 31$

$g^*_{C,rel} = 40$

FRS09_92aM; adaptierte CIELAB-Daten

	u^*_e	$L^*=L^*_a$	a^*_a	b^*_a	$C^*_{ab,a}$	$h^*_{ab,a}$	u^*_d
r00j	39.18	56.94	27.13	63.07	25	m81o	
r25j	42.41	49.1	44.5	66.26	42	o10y	
r50j	52.78	35.22	58.37	68.17	59	o40y	
r75j	64.82	19.12	74.47	76.89	76	o69y	
j00g	82.06	-3.94	97.52	97.6	92	o98y	
j25g	67.26	-26.87	74.67	79.36	110	y34l	
j50g	55.83	-43.45	57.11	71.76	127	y69l	
j75g	47.5	-54.18	38.3	66.35	145	i03c	
g00b	50.07	-44.09	14.13	46.3	162	i23c	
g25b	52.21	-35.66	-6.03	36.17	190	i55c	
g50b	53.9	-29.04	-21.87	36.36	217	i87c	
g75b	49.44	-15.51	-32.31	35.84	244	c20v	
b00r	41.36	1.15	-37.95	37.97	272	c53v	
b25r	28.74	27.19	-46.77	54.1	300	c87v	
b50r	33.74	61.97	-37.81	72.59	329	v68m	
b75r	40.08	64.26	-3.32	64.35	357	m33o	

$u^*_e = b25r$
 $LAB^*LCH^*_{Ma}$



Ein und Ausgabe: Farbmetrisches Drucker-Reflektiv-System FRS09_92aM für relativen CIELAB-Buntton $h^* = lab^*h^* = h_{ab}/360 = 0.913$

Daten für jede Farbe:

lab^*ch^* und lab^*icu^*

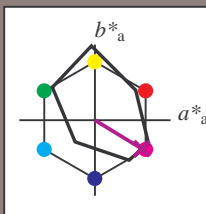
Bunttontexte:

$u^*_e = b50r$ $u^*_d = v68m$

Kontrastreduzierungsfaktor:

$c_R = 0.9$

Dreiecks-Helligkeit i^*



FRS09_92aM; adaptierte CIELAB-Daten

	u^*_e	$L^*=L^*_a$	a^*_a	b^*_a	$C^*_{ab,a}$	$h^*_{ab,a}$
O _{Ma}	38.8	53.92	39.68	66.95	36	
Y _{Ma}	82.58	-4.64	98.22	98.33	93	
L _{Ma}	46.95	-56.34	43.46	71.15	142	
C _{Ma}	54.62	-26.2	-28.68	38.85	228	
V _{Ma}	20.01	45.2	-52.87	69.56	311	
M _{Ma}	40.88	70.68	-29.99	76.78	337	
N _{Ma}	15.0	0.0	0.0	0.0	0	
W _{Ma}	90.0	0.0	0.0	0.0	0	
R _{Ma}	39.92	58.74	27.99	65.07	25	
J _{Ma}	81.26	-2.89	71.56	71.62	92	
G _{Ma}	52.23	-42.42	13.6	44.55	162	
B _{Ma}	30.57	1.41	-46.47	46.49	272	

Daten für Maximalfarbe (Ma):

$LAB^*LAB^*_{Ma}$: 34 62 -38

$LAB^*LCH^*_{Ma}$: 34 73 328

$lab^*rgb^*_{Ma}$: 1.0 0.0 1.0

$lab^*olv^*_{Ma}$: 0.68 0.0 1.0

Dreiecks-Helligkeit i^*

%Umfang

$u^*_{rel} = 88$

%Regularität

$g^*_{H,rel} = 31$

$g^*_{C,rel} = 40$

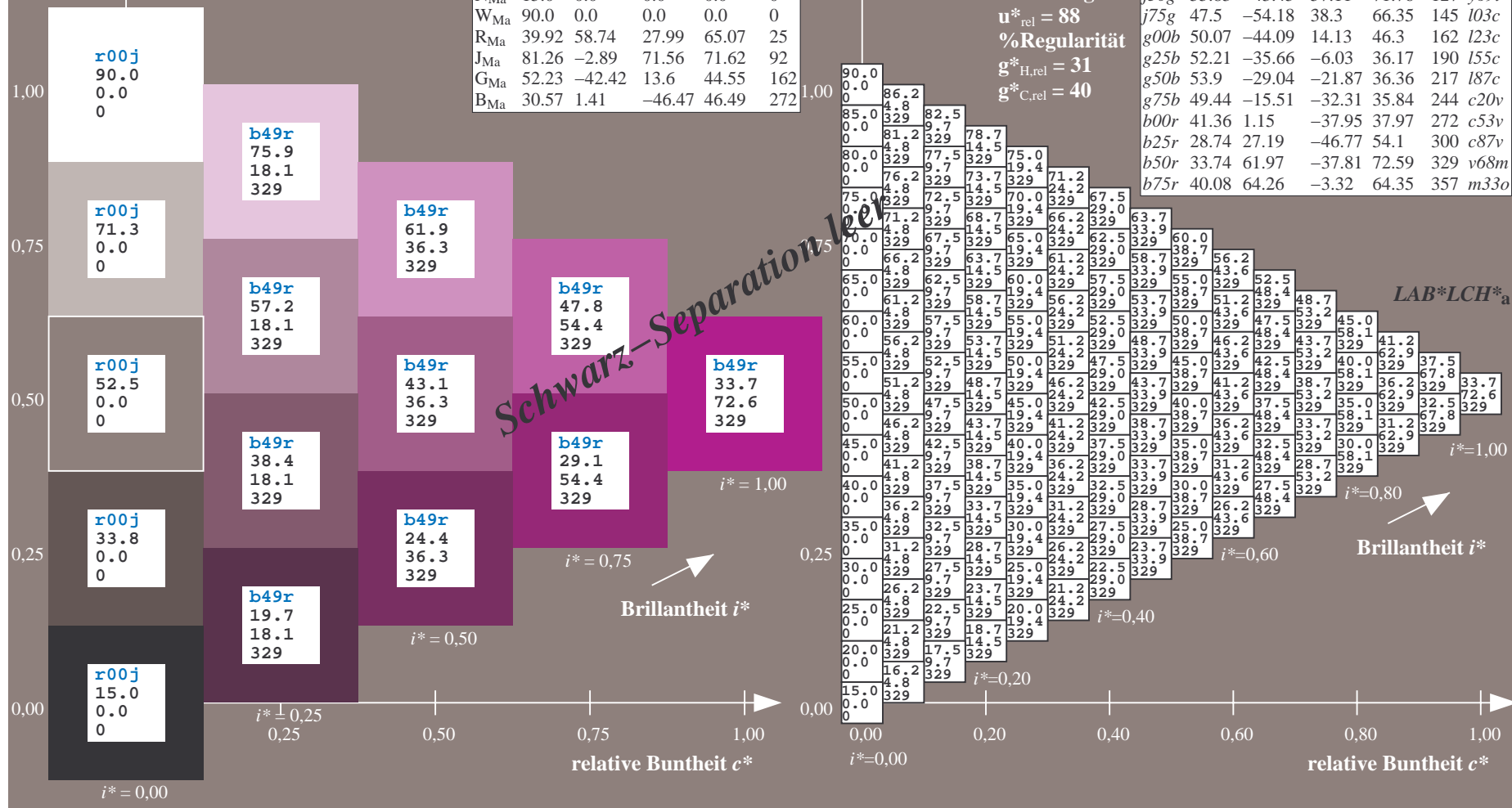
FRS09_92aM; adaptierte CIELAB-Daten

	u^*_e	$L^*=L^*_a$	a^*_a	b^*_a	$C^*_{ab,a}$	$h^*_{ab,a}$	u^*_d
r00j	39.18	56.94	27.13	63.07	25	m81o	
r25j	42.41	49.1	44.5	66.26	42	o10y	
r50j	52.78	35.22	58.37	68.17	59	o40y	
r75j	64.82	19.12	74.47	76.89	76	o69y	
j00g	82.06	-3.94	97.52	97.6	92	o98y	
j25g	67.26	-26.87	74.67	79.36	110	y34l	
j50g	55.83	-43.45	57.11	71.76	127	y69l	
j75g	47.5	-54.18	38.3	66.35	145	i03c	
g00b	50.07	-44.09	14.13	46.3	162	i23c	
g25b	52.21	-35.66	-6.03	36.17	190	i55c	
g50b	53.9	-29.04	-21.87	36.36	217	i87c	
g75b	49.44	-15.51	-32.31	35.84	244	c20v	
b00r	41.36	1.15	-37.95	37.97	272	c53v	
b25r	28.74	27.19	-46.77	54.1	300	c87v	
b50r	33.74	61.97	-37.81	72.59	329	v68m	
b75r	40.08	64.26	-3.32	64.35	357	m33o	

$u^*_e = b50r$
 $LAB^*LCH^*_{Ma}$

Siehe ähnliche Dateien: <http://www.ps.bam.de/Eg33/>; www.ps.bam.de/Eg33/10L/L33G00NP.PS/.PDF
Technische Information: <http://www.ps.bam.de> Version 2.1, io=1,1, ColSp=0

BAM-Registrierung: 20081001-Eg33/10L/L33G00NP.PS/.PDF BAM-Material: Code=rh4ta
Anwendung für Beurteilung und Messung von Drucker- oder Monitorsystemen



Ein und Ausgabe: Farbmetrisches Drucker-Reflektiv-System FRS09_92aM für relativen CIELAB-Buntton $h^* = lab^*h^* = h_{ab}/360 = 0.992$

Daten für jede Farbe:

lab^*tch^* und lab^*icu^*

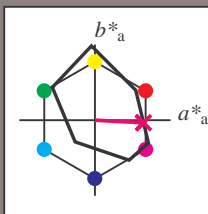
Bunttontexte:

$u^*_e = b75r$ $u^*_d = m33o$

Kontrastreduzierungsfaktor:

$c_R = 0.9$

Dreiecks-Helligkeit t^*



FRS09_92aM; adaptierte CIELAB-Daten

u^*_e	$L^*=L^*_a$	a^*_a	b^*_a	$C^*_{ab,a}$	$h^*_{ab,a}$
O _{Ma}	38.8	53.92	39.68	66.95	36
Y _{Ma}	82.58	-4.64	98.22	98.33	93
L _{Ma}	46.95	-56.34	43.46	71.15	142
C _{Ma}	54.62	-26.2	-28.68	38.85	228
V _{Ma}	20.01	45.2	-52.87	69.56	311
M _{Ma}	40.88	70.68	-29.99	76.78	337
N _{Ma}	15.0	0.0	0.0	0.0	0
W _{Ma}	90.0	0.0	0.0	0.0	0
R _{Ma}	39.92	58.74	27.99	65.07	25
J _{Ma}	81.26	-2.89	71.56	71.62	92
G _{Ma}	52.23	-42.42	13.6	44.55	162
B _{Ma}	30.57	1.41	-46.47	46.49	272

Daten für Maximalfarbe (Ma):

$LAB^*LAB^*_{Ma}$: 40 64 -3

$LAB^*LCH^*_{Ma}$: 40 64 357

$lab^*rgb^*_{Ma}$: 1.0 0.0 0.5

$lab^*olv^*_{Ma}$: 1.0 0.0 0.66

Dreiecks-Helligkeit t^*

%Umfang

$u^*_{rel} = 88$

%Regularität

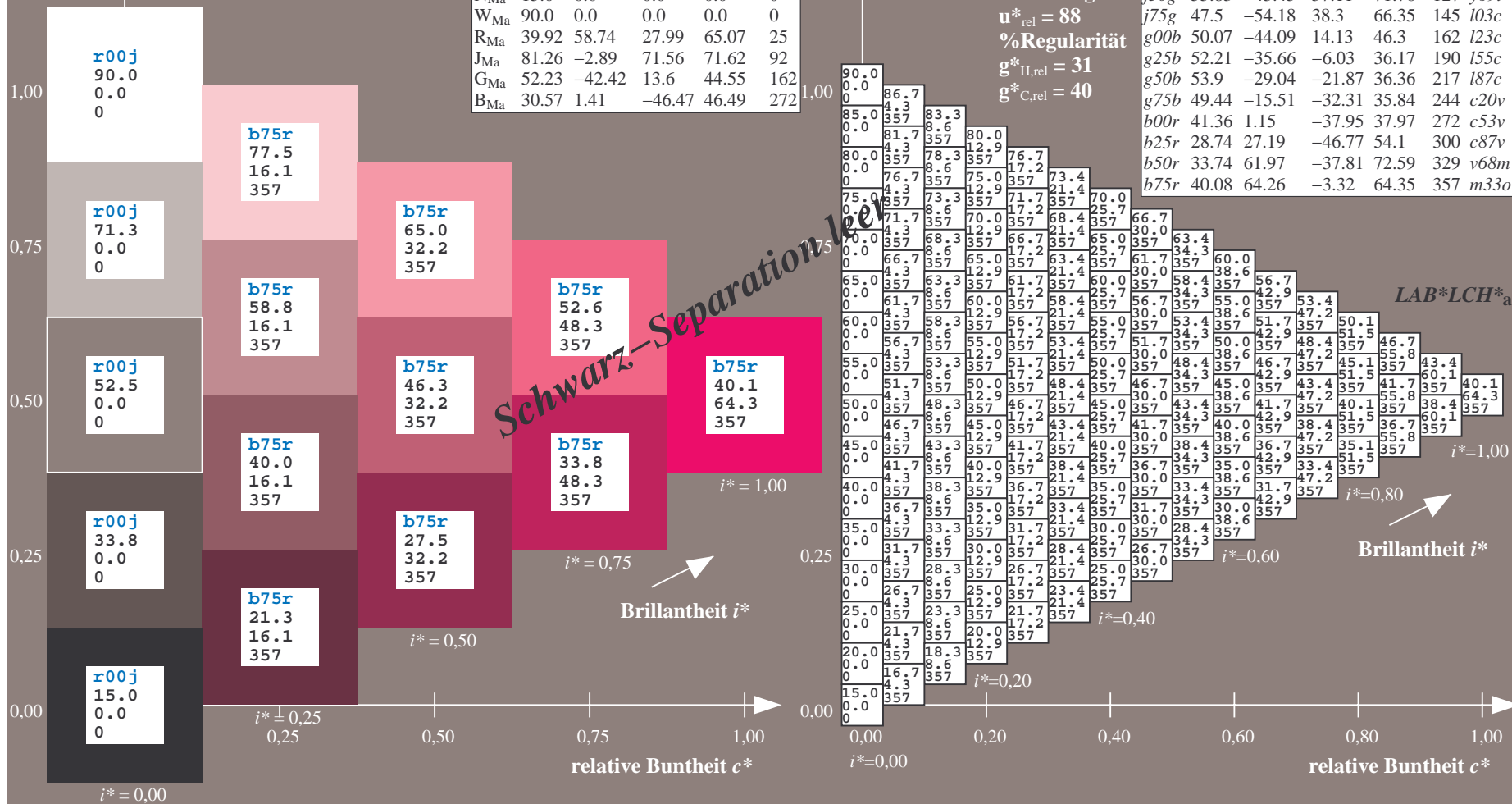
$g^*_{H,rel} = 31$

$g^*_{C,rel} = 40$

FRS09_92aM; adaptierte CIELAB-Daten

u^*_e	$L^*=L^*_a$	a^*_a	b^*_a	$C^*_{ab,a}$	$h^*_{ab,a}$	u^*_d
r00j	39.18	56.94	27.13	63.07	25	m81o
r25j	42.41	49.1	44.5	66.26	42	o10y
r50j	52.78	35.22	58.37	68.17	59	o40y
r75j	64.82	19.12	74.47	76.89	76	o69y
j00g	82.06	-3.94	97.52	97.6	92	o98y
j25g	67.26	-26.87	74.67	79.36	110	y34l
j50g	55.83	-43.45	57.11	71.76	127	y69l
j75g	47.5	-54.18	38.3	66.35	145	i03c
g00b	50.07	-44.09	14.13	46.3	162	i23c
g25b	52.21	-35.66	-6.03	36.17	190	i55c
g50b	53.9	-29.04	-21.87	36.36	217	i87c
g75b	49.44	-15.51	-32.31	35.84	242	c20v
b00r	41.36	1.15	-37.95	37.97	272	c53v
b25r	28.74	27.19	-46.77	54.1	300	c87v
b50r	33.74	61.97	-37.81	72.59	329	v68m
b75r	40.08	64.26	-3.32	64.35	357	m33o

$u^*_e = b75r$
 $LAB^*LCH^*_{Ma}$



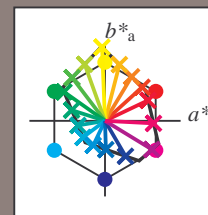
Siehe ähnliche Dateien: <http://www.ps.bam.de/Eg33/>; www.ps.bam.de/Eg33/
Technische Information: [http://www.ps.bam.de/Version 2.1, io=1.1, ColSp=0](http://www.ps.bam.de/Version%202.1,%20io=1.1,%20ColSp=0)

	A	B	C	D	E	F	G	H	I	J	K	L	M	N	O	P	Q	R	S	T	U	V	W	X	Y	Z	a	b	c	d	e	f	g	h	i	j	k	LAB*LCH*																																																																																																																																																																																																																																																																																																																																																																																																																																																																																																																																																																																																																																																																																																																																																																																																																																																																																																																																																																																																																																																																																																											
01	15.0	19.0	23.0	27.0	31.0	35.0	39.0	43.0	47.0	51.0	55.0	59.0	63.0	67.0	71.0	75.0	79.0	83.0	87.0	91.0	95.0	99.0	103.0	107.0	111.0	115.0	119.0	123.0	127.0	131.0	135.0	139.0	143.0	147.0	151.0	155.0	159.0	163.0	167.0	171.0	175.0	179.0	183.0	187.0	191.0	195.0	199.0	203.0	207.0	211.0	215.0	219.0	223.0	227.0	231.0	235.0	239.0	243.0	247.0	251.0	255.0	259.0	263.0	267.0	271.0	275.0	279.0	283.0	287.0	291.0	295.0	299.0	303.0	307.0	311.0	315.0	319.0	323.0	327.0	331.0	335.0	339.0	343.0	347.0	351.0	355.0	359.0	363.0	367.0	371.0	375.0	379.0	383.0	387.0	391.0	395.0	399.0	403.0	407.0	411.0	415.0	419.0	423.0	427.0	431.0	435.0	439.0	443.0	447.0	451.0	455.0	459.0	463.0	467.0	471.0	475.0	479.0	483.0	487.0	491.0	495.0	499.0	503.0	507.0	511.0	515.0	519.0	523.0	527.0	531.0	535.0	539.0	543.0	547.0	551.0	555.0	559.0	563.0	567.0	571.0	575.0	579.0	583.0	587.0	591.0	595.0	599.0	603.0	607.0	611.0	615.0	619.0	623.0	627.0	631.0	635.0	639.0	643.0	647.0	651.0	655.0	659.0	663.0	667.0	671.0	675.0	679.0	683.0	687.0	691.0	695.0	699.0	703.0	707.0	711.0	715.0	719.0	723.0	727.0	731.0	735.0	739.0	743.0	747.0	751.0	755.0	759.0	763.0	767.0	771.0	775.0	779.0	783.0	787.0	791.0	795.0	799.0	803.0	807.0	811.0	815.0	819.0	823.0	827.0	831.0	835.0	839.0	843.0	847.0	851.0	855.0	859.0	863.0	867.0	871.0	875.0	879.0	883.0	887.0	891.0	895.0	899.0	903.0	907.0	911.0	915.0	919.0	923.0	927.0	931.0	935.0	939.0	943.0	947.0	951.0	955.0	959.0	963.0	967.0	971.0	975.0	979.0	983.0	987.0	991.0	995.0	999.0	1003.0	1007.0	1011.0	1015.0	1019.0	1023.0	1027.0	1031.0	1035.0	1039.0	1043.0	1047.0	1051.0	1055.0	1059.0	1063.0	1067.0	1071.0	1075.0	1079.0	1083.0	1087.0	1091.0	1095.0	1099.0	1103.0	1107.0	1111.0	1115.0	1119.0	1123.0	1127.0	1131.0	1135.0	1139.0	1143.0	1147.0	1151.0	1155.0	1159.0	1163.0	1167.0	1171.0	1175.0	1179.0	1183.0	1187.0	1191.0	1195.0	1199.0	1203.0	1207.0	1211.0	1215.0	1219.0	1223.0	1227.0	1231.0	1235.0	1239.0	1243.0	1247.0	1251.0	1255.0	1259.0	1263.0	1267.0	1271.0	1275.0	1279.0	1283.0	1287.0	1291.0	1295.0	1299.0	1303.0	1307.0	1311.0	1315.0	1319.0	1323.0	1327.0	1331.0	1335.0	1339.0	1343.0	1347.0	1351.0	1355.0	1359.0	1363.0	1367.0	1371.0	1375.0	1379.0	1383.0	1387.0	1391.0	1395.0	1399.0	1403.0	1407.0	1411.0	1415.0	1419.0	1423.0	1427.0	1431.0	1435.0	1439.0	1443.0	1447.0	1451.0	1455.0	1459.0	1463.0	1467.0	1471.0	1475.0	1479.0	1483.0	1487.0	1491.0	1495.0	1499.0	1503.0	1507.0	1511.0	1515.0	1519.0	1523.0	1527.0	1531.0	1535.0	1539.0	1543.0	1547.0	1551.0	1555.0	1559.0	1563.0	1567.0	1571.0	1575.0	1579.0	1583.0	1587.0	1591.0	1595.0	1599.0	1603.0	1607.0	1611.0	1615.0	1619.0	1623.0	1627.0	1631.0	1635.0	1639.0	1643.0	1647.0	1651.0	1655.0	1659.0	1663.0	1667.0	1671.0	1675.0	1679.0	1683.0	1687.0	1691.0	1695.0	1699.0	1703.0	1707.0	1711.0	1715.0	1719.0	1723.0	1727.0	1731.0	1735.0	1739.0	1743.0	1747.0	1751.0	1755.0	1759.0	1763.0	1767.0	1771.0	1775.0	1779.0	1783.0	1787.0	1791.0	1795.0	1799.0	1803.0	1807.0	1811.0	1815.0	1819.0	1823.0	1827.0	1831.0	1835.0	1839.0	1843.0	1847.0	1851.0	1855.0	1859.0	1863.0	1867.0	1871.0	1875.0	1879.0	1883.0	1887.0	1891.0	1895.0	1899.0	1903.0	1907.0	1911.0	1915.0	1919.0	1923.0	1927.0	1931.0	1935.0	1939.0	1943.0	1947.0	1951.0	1955.0	1959.0	1963.0	1967.0	1971.0	1975.0	1979.0	1983.0	1987.0	1991.0	1995.0	1999.0	2003.0	2007.0	2011.0	2015.0	2019.0	2023.0	2027.0	2031.0	2035.0	2039.0	2043.0	2047.0	2051.0	2055.0	2059.0	2063.0	2067.0	2071.0	2075.0	2079.0	2083.0	2087.0	2091.0	2095.0	2099.0	2103.0	2107.0	2111.0	2115.0	2119.0	2123.0	2127.0	2131.0	2135.0	2139.0	2143.0	2147.0	2151.0	2155.0	2159.0	2163.0	2167.0	2171.0	2175.0	2179.0	2183.0	2187.0	2191.0	2195.0	2199.0	2203.0	2207.0	2211.0	2215.0	2219.0	2223.0	2227.0	2231.0	2235.0	2239.0	2243.0	2247.0	2251.0	2255.0	2259.0	2263.0	2267.0	2271.0	2275.0	2279.0	2283.0	2287.0	2291.0	2295.0	2299.0	2303.0	2307.0	2311.0	2315.0	2319.0	2323.0	2327.0	2331.0	2335.0	2339.0	2343.0	2347.0	2351.0	2355.0	2359.0	2363.0	2367.0	2371.0	2375.0	2379.0	2383.0	2387.0	2391.0	2395.0	2399.0	2403.0	2407.0	2411.0	2415.0	2419.0	2423.0	2427.0	2431.0	2435.0	2439.0	2443.0	2447.0	2451.0	2455.0	2459.0	2463.0	2467.0	2471.0	2475.0	2479.0	2483.0	2487.0	2491.0	2495.0	2499.0	2503.0	2507.0	2511.0	2515.0	2519.0	2523.0	2527.0	2531.0	2535.0	2539.0	2543.0	2547.0	2551.0	2555.0	2559.0	2563.0	2567.0	2571.0	2575.0	2579.0	2583.0	2587.0	2591.0	2595.0	2599.0	2603.0	2607.0	2611.0	2615.0	2619.0	2623.0	2627.0	2631.0	2635.0	2639.0	2643.0	2647.0	2651.0	2655.0	2659.0	2663.0	2667.0	2671.0	2675.0	2679.0	2683.0	2687.0	2691.0	2695.0	2699.0	2703.0	2707.0	2711.0	2715.0	2719.0	2723.0	2727.0	2731.0	2735.0	2739.0	2743.0	2747.0	2751.0	2755.0	2759.0	2763.0	2767.0	2771.0	2775.0	2779.0	2783.0	2787.0	2791.0	2795.0	2799.0	2803.0	2807.0	2811.0	2815.0	2819.0	2823.0	2827.0	2831.0	2835.0	2839.0	2843.0	2847.0	2851.0	2855.0	2859.0	2863.0	2867.0	2871.0	2875.0	2879.0	2883.0	2887.0	2891.0	2895.0	2899.0	2903.0	2907.0	2911.0	2915.0	2919.0	2923.0	2927.0	2931.0	2935.0	2939.0	2943.0	2947.0	2951.0	2955.0	2959.0	2963.0	2967.0	2971.0	2975.0	2979.0	2983.0	2987.0	2991.0	2995.0	2999.0	3003.0	3007.0	3011.0	3015.0	3019.0	3023.0	3027.0	3031.0	3035.0	3039.0	3043.0	3047.0	3051.0	3055.0	3059.0	3063.0	3067.0	3071.0	3075.0	3079.0	3083.0	3087.0	3091.0	3095.0	3099.0	3103.0	3107.0	3111.0	3115.0	3119.0	3123.0	3127.0	3131.0	3135.0	3139.0	3143.0	3147.0	3151.0	3155.0	3159.0	3163.0	3167.0	3171.0	3175.0	3179.0	3183.0	3187.0	3191.0	3195.0	3199.0	3203.0	3207.0	3211.0	3215.0	3219.0	3223.0	3227.0	3231.0	3235.0	3239.0	3243.0	3247.0	3251.0	3255.0	3259.0	3263.0	3267.0	3271.0	3275.0	3279.0	3283.0	3287.0	3291.0	3295.0	3299.0	3303.0	3307.0	3311.0	3315.0	3319.0	3323.0	3327.0	3331.0	3335.0	3339.0	3343.0	3347.0	3351.0	3355.0	3359.0	3363.0	3367.0	3371.0	3375.0	3379.0	3383.0	3387.0	3391.0	3395.0	3399.0	3403.0	3407.0	3411.0	3415.0	3419.0	3423.0	3427.0	3431.0	3435.0	3439.0	3443.0	3447.0	3451.0	3455.0	3459.0	3463.0	3467.0	3471.0	3475.0	3479.0	3483.0	3487.0	3491.0	3495.0	3499.0	3503.0	3507.0	3511.0	3515.0	3519.0	3523.0	3527.0	3531.0	3535.0	3539.0	3543.0	3547.0	3551.0	3555.0	3559.0	3563.0	3567.0	3571.0	3575.0	3579.0	3583.0	3587.0	3591.0	3595.0	3599.0	3603.0	3607.0	3611.0	3615.0	3619.0	3623.0	3627.0	3631.0	3635.0	3639.0	3643.0	3647.0	3651.0	3655.0	3659.0	3663.0	3667.0	3671.0	3675.0	3679.0	3683.0	3687.0	3691.0	3695.0	3699.0	3703.0	3707.0	3711.0	3715.0	3719.0	3723.0	3727.0	3731.0	3735.0	3739.0	3743.0	3747.0	3751.0	3755.0	3759.0	3763.0	3767.0	3771.0	3775.0	3779.0	3783.0	3787.0	3791.0	3795.0	3799.0	3803.0	3807.0	3811.0	3815.0	3819.0	3823.0	3827.0	3831.0	3835.0	3839.0	3843.0	3847.0	3851.0	3855.0	3859.0	3863.0	3867.0	3871.0	3875.0	3879.0	3883.0	3887.0	3891.0	3895.0	3899.0	3903.0	3907.0	3911.0	3915.0	3919.0	3923.0	3927.0	3931.0	3935.0	3939.0	3943.0	3947.0	3951.0	3955.0	3959.0	3963.0	3967.0	3971.0	3975.0	3979.0	3983.0	3987.0	3991.0	3995.0	3999.0	4003.0	4007.0	4011.0	4015.0	4019.0	4023.0	4027.0	4031.0	4035.0	4039.0	4043.0	4047.0	4051.0	4055.0	4059.0	4063.0	4067.0	4071.0	4075.0	4079.0	4083.0	4087.0	4091.0	4095.0	4099.0	4103.0	4107.0	4111.0	4115.0	4119.0	4123.0	4127.0	4131.0	4135.0	4139.0	4143.0	4147.0	4151.0	4155.0	4159.0	4163.0	4167.0	4171.0	4175.0	4179.0	4183.0	4187.0	4191.0	4195.0	4199.0	4203.0	4207.0	4211.0	4215.0	4219.0	4223.0	4227.0	4231.0	4235.0	4239.0	4243.0	4247.0	4251.0	4255.0	4259.0	4263.0	4267.0	4271.0	4275.0	4279.0	4283.0	4287.0	4291.0	4295.0	4299.0	4303.0	4307.0	4311.0	4315.0	4319.0	4323.0	4327.0	4331.0	4335.0	4339.0	4343.0	4347.0	4351.0	4355.0	4359.0	4363.0	4367.0	4371.0	4375.0	4379.0	4383.0	4387.0	4391.0	4395.0	4399.0	4403.0	4407.0	4411.0	4415.0	4419.0	4423.0	4427.0	4431.0

Ein und Ausgabe:
Farbmetrisches Drucker-Reflektiv-System FRS09_92aM
Daten für jede Farbe:
 u^*_e und Nummer $Nr.$ = 00 .. 15
Elementar-Bunttontext:
 $u^*_e = 16$ Bunttoene $r00j, r25j, \dots, b75r$
Kontrastreduzierungsfaktor:
 $c_R = 0.9$

FRS09_92aM; adaptierte CIELAB-Daten

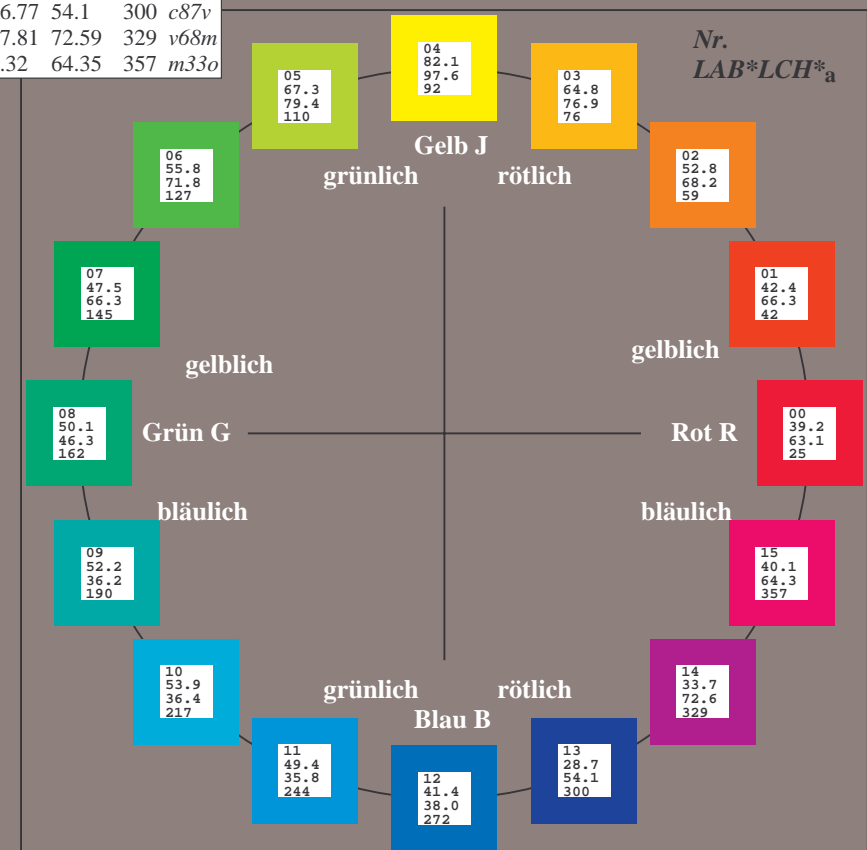
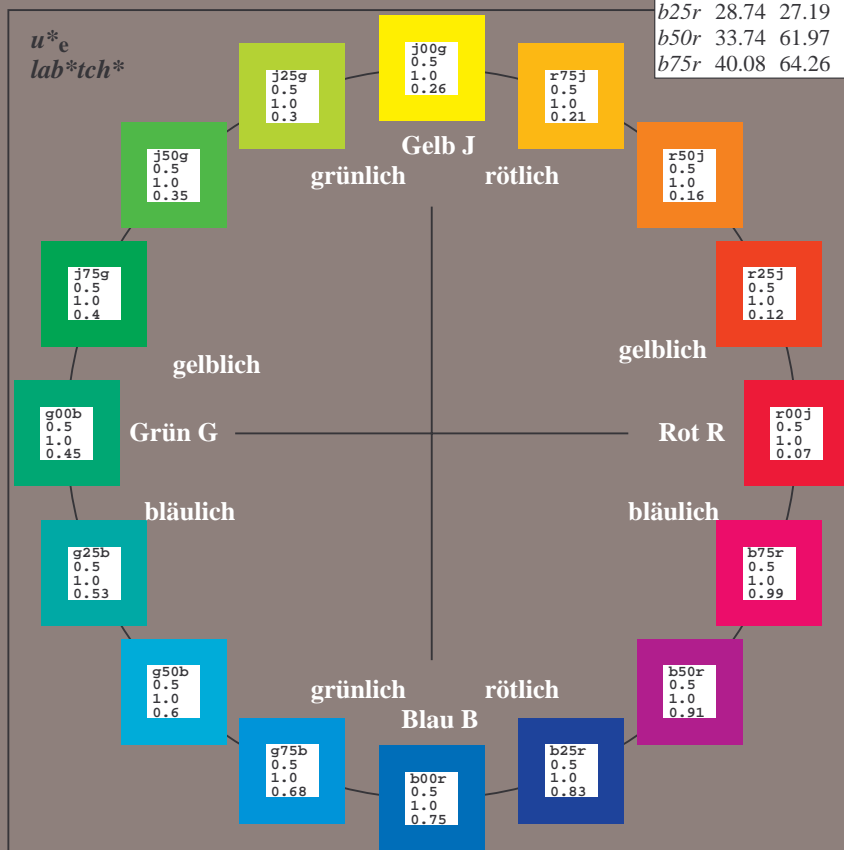
u^*_e	$L^*=L^*_a$	a^*_a	b^*_a	$C^*_{ab,a}$	$h^*_{ab,a}$	u^*_d
$r00j$	39.18	56.94	27.13	63.07	25	$m81o$
$r25j$	42.41	49.1	44.5	66.26	42	$o10y$
$r50j$	52.78	35.22	58.37	68.17	59	$o40y$
$r75j$	64.82	19.12	74.47	76.89	76	$o69y$
$j00g$	82.06	-3.94	97.52	97.6	92	$o98y$
$j25g$	67.26	-26.87	74.67	79.36	110	$y34l$
$j50g$	55.83	-43.45	57.11	71.76	127	$y69l$
$j75g$	47.5	-54.18	38.3	66.35	145	$l03c$
$g00b$	50.07	-44.09	14.13	46.3	162	$l23c$
$g25b$	52.21	-35.66	-6.03	36.17	190	$l55c$
$g50b$	53.9	-29.04	-21.87	36.36	217	$l87c$
$g75b$	49.44	-15.51	-32.31	35.84	244	$c20v$
$b00r$	41.36	1.15	-37.95	37.97	272	$c53v$
$b25r$	28.74	27.19	-46.77	54.1	300	$c87v$
$b50r$	33.74	61.97	-37.81	72.59	329	$v68m$
$b75r$	40.08	64.26	-3.32	64.35	357	$m33o$



%Umfang
 $u^*_{rel} = 88$
%Regularität
 $g^*_{H,rel} = 31$
 $g^*_{C,rel} = 40$

FRS09_92aM; adaptierte CIELAB-Daten

Name	$L^*=L^*_a$	a^*_a	b^*_a	$C^*_{ab,a}$	$h^*_{ab,a}$
O_{Ma}	38.8	53.92	39.68	66.95	36
Y_{Ma}	82.58	-4.64	98.22	98.33	93
L_{Ma}	46.95	-56.34	43.46	71.15	142
C_{Ma}	54.62	-26.2	-28.68	38.85	228
V_{Ma}	20.01	45.2	-52.87	69.56	311
M_{Ma}	40.88	70.68	-29.99	76.78	337
N_{Ma}	15.0	0.0	0.0	0.0	0
W_{Ma}	90.0	0.0	0.0	0.0	0
R_{CIE}	39.92	58.74	27.99	65.07	25
J_{CIE}	81.26	-2.89	71.56	71.62	92
G_{CIE}	52.23	-42.42	13.6	44.55	162
B_{CIE}	30.57	1.41	-46.47	46.49	272



Ein und Ausgabe: Farbmetrisches Drucker-Reflektiv-System FRS09_92aM für relativen CIELAB-Buntton $h^* = lab^*h^* = h_{ab}/360 = 0.071$

Daten für jede Farbe:

lab^*tch^* und lab^*icu^*

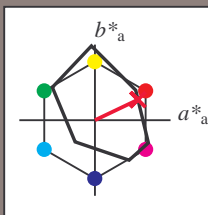
Bunttontexte:

$u^*_e = r00j$ $u^*_d = m81o$

Kontrastreduzierungsfaktor:

$c_R = 0.9$

Dreiecks-Helligkeit t^*



FRS09_92aM; adaptierte CIELAB-Daten

u^*_e	$L^*=L^*_a$	a^*_a	b^*_a	$C^*_{ab,a}$	$h^*_{ab,a}$
O _{Ma}	38.8	53.92	39.68	66.95	36
Y _{Ma}	82.58	-4.64	98.22	98.33	93
L _{Ma}	46.95	-56.34	43.46	71.15	142
C _{Ma}	54.62	-26.2	-28.68	38.85	228
V _{Ma}	20.01	45.2	-52.87	69.56	311
M _{Ma}	40.88	70.68	-29.99	76.78	337
N _{Ma}	15.0	0.0	0.0	0.0	0
W _{Ma}	90.0	0.0	0.0	0.0	0
R _{Ma}	39.92	58.74	27.99	65.07	25
J _{Ma}	81.26	-2.89	71.56	71.62	92
G _{Ma}	52.23	-42.42	13.6	44.55	162
B _{Ma}	30.57	1.41	-46.47	46.49	272

Daten für Maximalfarbe (Ma):

$LAB^*LAB^*_{Ma}$: 39 57 27

$LAB^*LCH^*_{Ma}$: 39 63 25

$lab^*rgb^*_{Ma}$: 1.0 0.0 0.0

$lab^*olv^*_{Ma}$: 1.0 0.0 0.18

Dreiecks-Helligkeit t^*

%Umfang

$u^*_{rel} = 88$

%Regularität

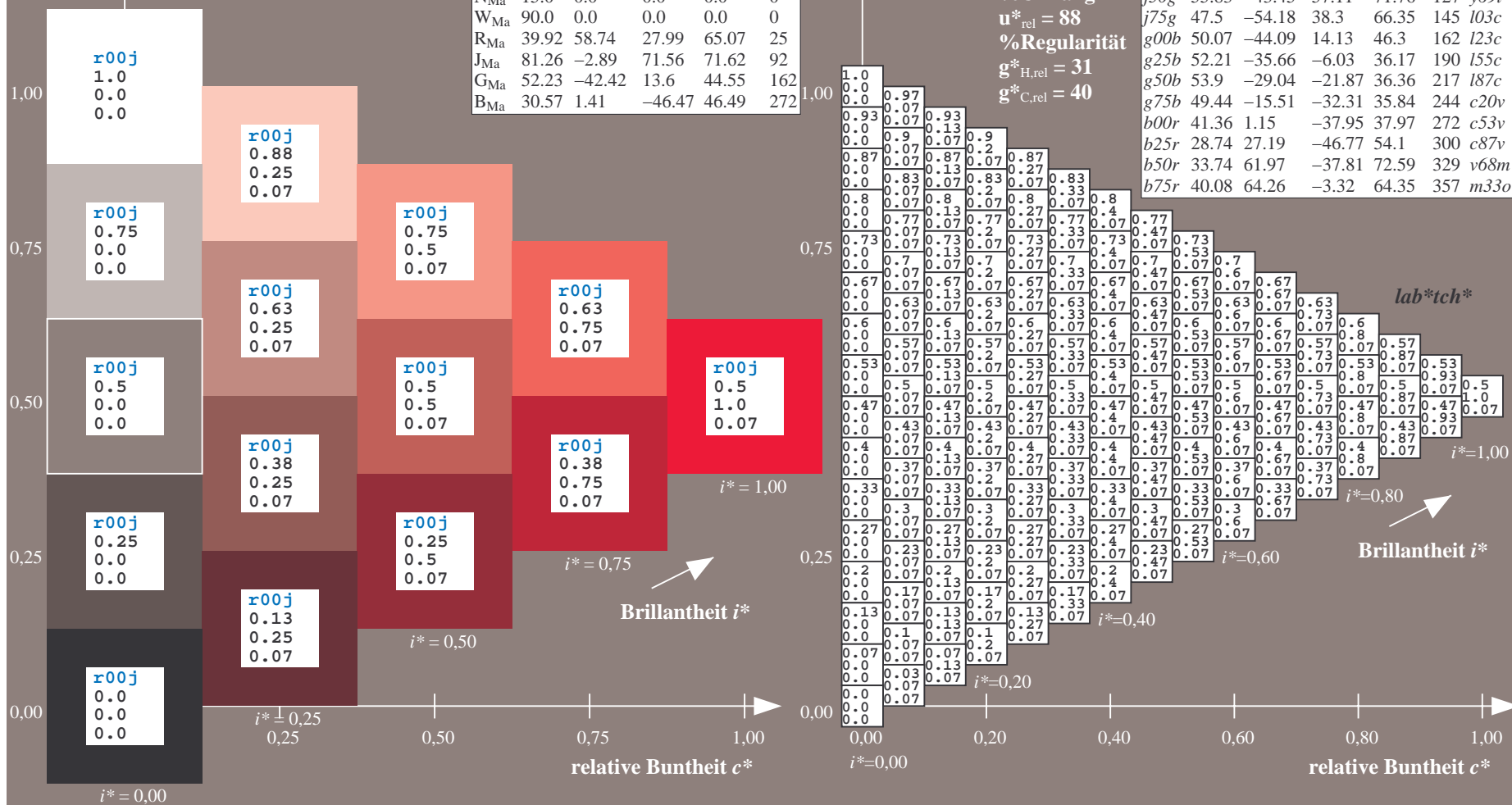
$g^*_{H,rel} = 31$

$g^*_{C,rel} = 40$

$u^*_e = r00j$
 lab^*tch^*

FRS09_92aM; adaptierte CIELAB-Daten

u^*_e	$L^*=L^*_a$	a^*_a	b^*_a	$C^*_{ab,a}$	$h^*_{ab,a}$	u^*_d
r00j	39.18	56.94	27.13	63.07	25	m81o
r25j	42.41	49.1	44.5	66.26	42	o10y
r50j	52.78	35.22	58.37	68.17	59	o40y
r75j	64.82	19.12	74.47	76.89	76	o69y
j00g	82.06	-3.94	97.52	97.6	92	o98y
j25g	67.26	-26.87	74.67	79.36	110	y34l
j50g	55.83	-43.45	57.11	71.76	127	y69l
j75g	47.5	-54.18	38.3	66.35	145	l03c
g00b	50.07	-44.09	14.13	46.3	162	l23c
g25b	52.21	-35.66	-6.03	36.17	190	l55c
g50b	53.9	-29.04	-21.87	36.36	217	l87c
g75b	49.44	-15.51	-32.31	35.84	244	c20v
b00r	41.36	1.15	-37.95	37.97	272	c53v
b25r	28.74	27.19	-46.77	54.1	300	c87v
b50r	33.74	61.97	-37.81	72.59	329	v68m
b75r	40.08	64.26	-3.32	64.35	357	m33o



Ein und Ausgabe: Farbmetrisches Drucker-Reflektiv-System FRS09_92aM für relativen CIELAB-Buntton $h^* = lab^*h^* = h_{ab}/360 = 0.117$

Daten für jede Farbe:

lab^*tch^* und lab^*icu^*

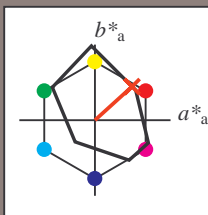
Bunttontexte:

$u^*_e = r25j$ $u^*_d = o10y$

Kontrastreduzierungsfaktor:

$c_R = 0.9$

Dreiecks-Helligkeit t^*



FRS09_92aM; adaptierte CIELAB-Daten						
	u^*_e	$L^*=L^*_a$	a^*_a	b^*_a	$C^*_{ab,a}$	$h^*_{ab,a}$
O _{Ma}	38.8	53.92	39.68	66.95	36	
Y _{Ma}	82.58	-4.64	98.22	98.33	93	
L _{Ma}	46.95	-56.34	43.46	71.15	142	
C _{Ma}	54.62	-26.2	-28.68	38.85	228	
V _{Ma}	20.01	45.2	-52.87	69.56	311	
M _{Ma}	40.88	70.68	-29.99	76.78	337	
N _{Ma}	15.0	0.0	0.0	0.0	0	
W _{Ma}	90.0	0.0	0.0	0.0	0	
R _{Ma}	39.92	58.74	27.99	65.07	25	
J _{Ma}	81.26	-2.89	71.56	71.62	92	
G _{Ma}	52.23	-42.42	13.6	44.55	162	
B _{Ma}	30.57	1.41	-46.47	46.49	272	

Daten für Maximalfarbe (Ma):

$LAB^*LAB^*_{Ma}$: 42 49 44

$LAB^*LCH^*_{Ma}$: 42 66 42

$lab^*rgb^*_{Ma}$: 1.0 0.25 0.0

$lab^*olv^*_{Ma}$: 1.0 0.1 0.0

Dreiecks-Helligkeit t^*

%Umfang

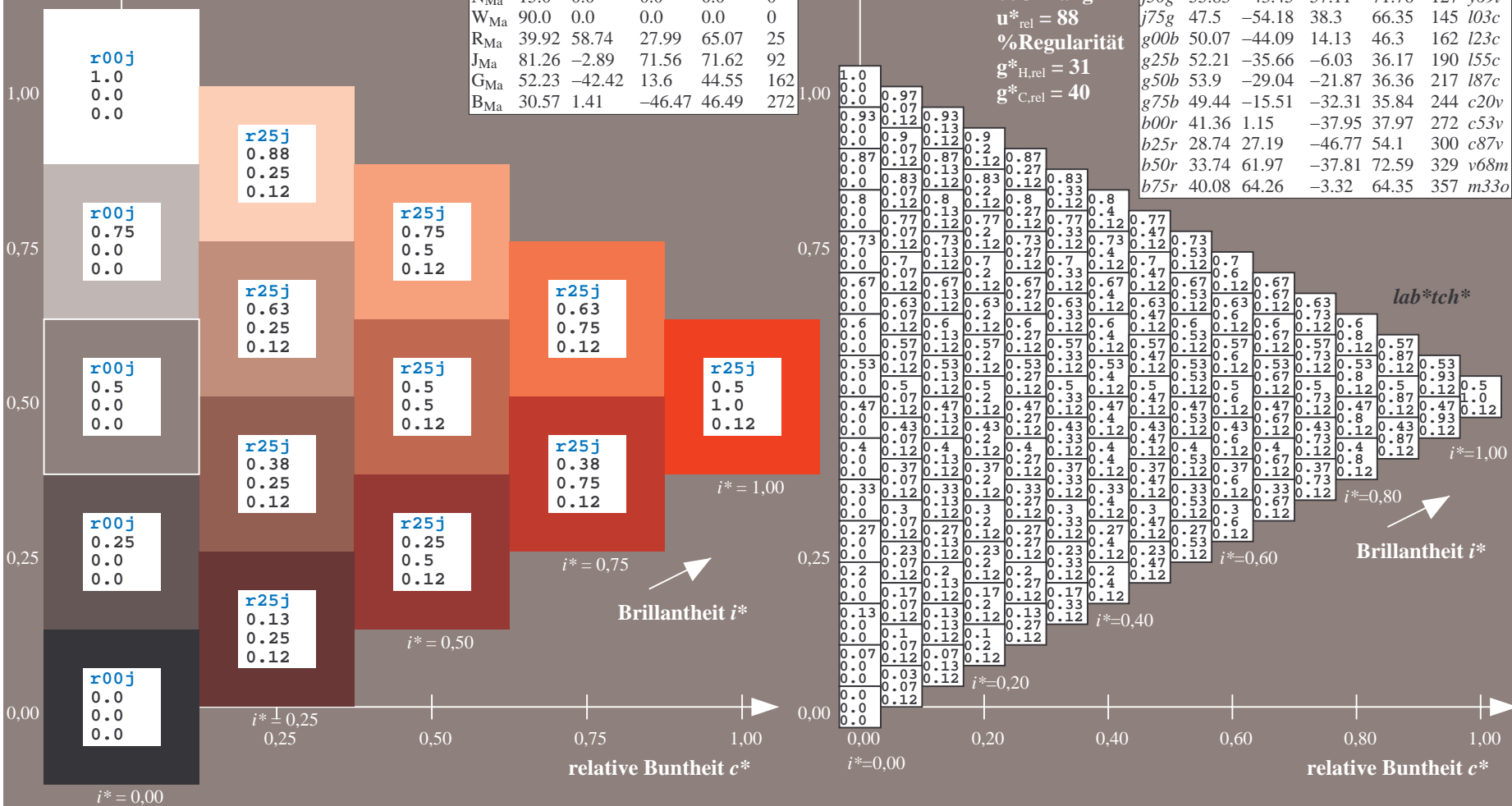
$u^*_{rel} = 88$

%Regularität

$g^*_{H,rel} = 31$

$g^*_{C,rel} = 40$

FRS09_92aM; adaptierte CIELAB-Daten						
	u^*_e	$L^*=L^*_a$	a^*_a	b^*_a	$C^*_{ab,a}$	$h^*_{ab,a}$
r00j	39.18	56.94	27.13	63.07	25	m81o
r25j	42.41	49.1	44.5	66.26	42	o10y
r50j	52.78	35.22	58.37	68.17	59	o40y
r75j	64.82	19.12	74.47	76.89	76	o69y
j00g	82.06	-3.94	97.52	97.6	92	o98y
j25g	67.26	-26.87	74.67	79.36	110	y34l
j50g	55.83	-43.45	57.11	71.76	127	y69l
j75g	47.5	-54.18	38.3	66.35	145	l03c
g00b	50.07	-44.09	14.13	46.3	162	l23c
g25b	52.21	-35.66	-6.03	36.17	190	l55c
g50b	53.9	-29.04	-21.87	36.36	217	l87c
g75b	49.44	-15.51	-32.31	35.84	244	c20v
b00r	41.36	1.15	-37.95	37.97	272	c53v
b25r	28.74	27.19	-46.77	54.1	300	c87v
b50r	33.74	61.97	-37.81	72.59	329	v68m
b75r	40.08	64.26	-3.32	64.35	357	m33o



Ein und Ausgabe: Farbmetrisches Drucker-Reflektiv-System FRS09_92aM für relativen CIELAB-Buntton $h^* = lab^*h^* = h_{ab}/360 = 0.164$

Daten für jede Farbe:

lab^*tch^* und lab^*icu^*

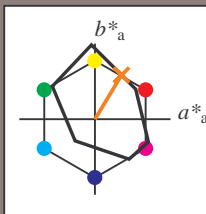
Bunttontexte:

$u^*_e = r50j$ $u^*_d = o40y$

Kontrastreduzierungsfaktor:

$c_R = 0.9$

Dreiecks-Helligkeit t^*



FRS09_92aM; adaptierte CIELAB-Daten

	u^*_e	$L^*=L^*_a$	a^*_a	b^*_a	$C^*_{ab,a}$	$h^*_{ab,a}$
O _{Ma}	38.8	53.92	39.68	66.95	36	
Y _{Ma}	82.58	-4.64	98.22	98.33	93	
L _{Ma}	46.95	-56.34	43.46	71.15	142	
C _{Ma}	54.62	-26.2	-28.68	38.85	228	
V _{Ma}	20.01	45.2	-52.87	69.56	311	
M _{Ma}	40.88	70.68	-29.99	76.78	337	
N _{Ma}	15.0	0.0	0.0	0.0	0	
W _{Ma}	90.0	0.0	0.0	0.0	0	
R _{Ma}	39.92	58.74	27.99	65.07	25	
J _{Ma}	81.26	-2.89	71.56	71.62	92	
G _{Ma}	52.23	-42.42	13.6	44.55	162	
B _{Ma}	30.57	1.41	-46.47	46.49	272	

Daten für Maximalfarbe (Ma):

$LAB^*LAB^*_{Ma}$: 53 35 58

$LAB^*LCH^*_{Ma}$: 53 68 58

$lab^*rgb^*_{Ma}$: 1.0 0.5 0.0

$lab^*olv^*_{Ma}$: 1.0 0.4 0.0

Dreiecks-Helligkeit t^*

%Umfang

$u^*_{rel} = 88$

%Regularität

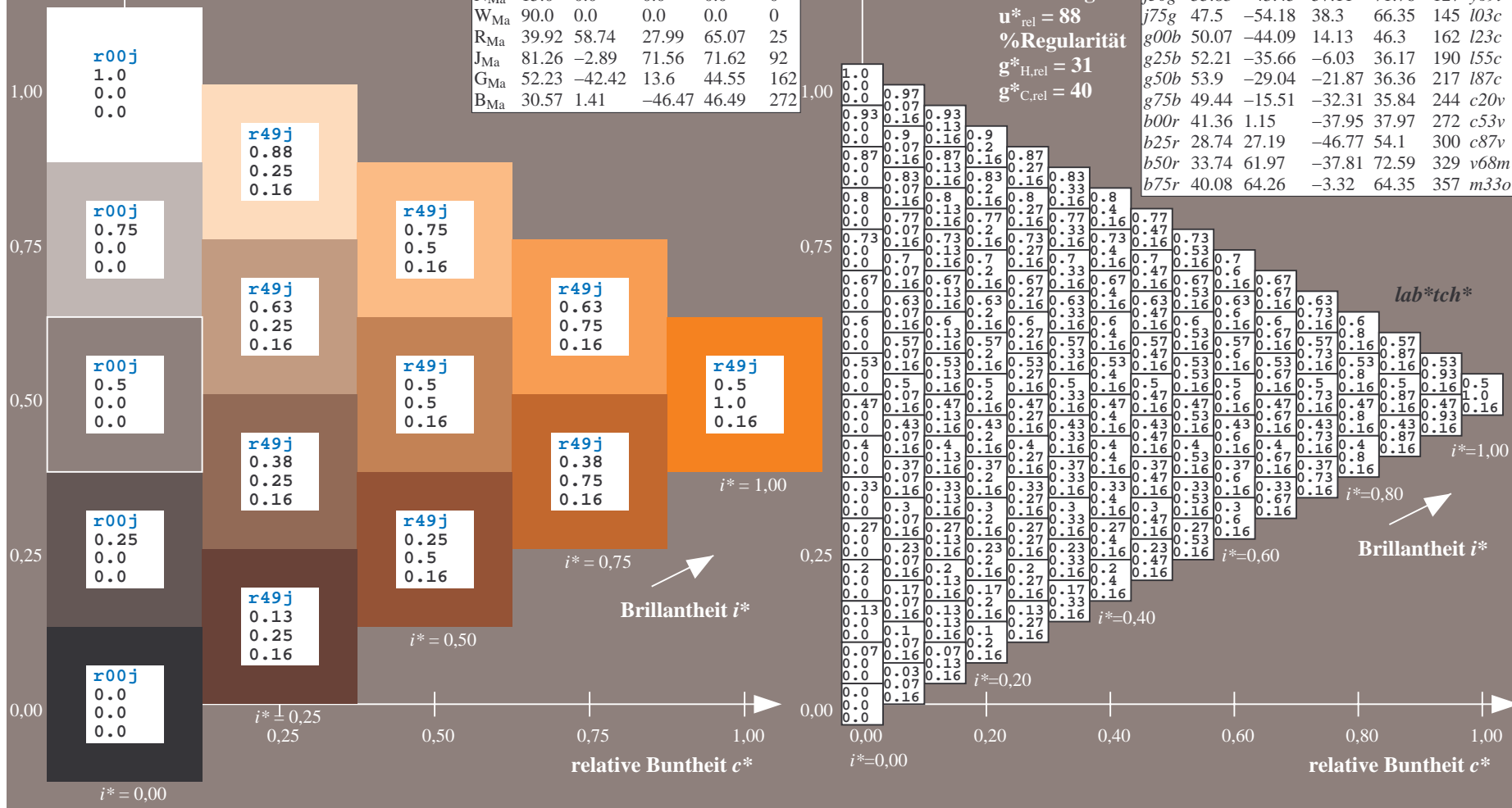
$g^*_{H,rel} = 31$

$g^*_{C,rel} = 40$

$u^*_e = r50j$
 lab^*tch^*

FRS09_92aM; adaptierte CIELAB-Daten

	u^*_e	$L^*=L^*_a$	a^*_a	b^*_a	$C^*_{ab,a}$	$h^*_{ab,a}$	u^*_d
r00j	39.18	56.94	27.13	63.07	25	m81o	
r25j	42.41	49.1	44.5	66.26	42	o10y	
r50j	52.78	35.22	58.37	68.17	59	o40y	
r75j	64.82	19.12	74.47	76.89	76	o69y	
j00g	82.06	-3.94	97.52	97.6	92	o98y	
j25g	67.26	-26.87	74.67	79.36	110	y34l	
j50g	55.83	-43.45	57.11	71.76	127	y69l	
j75g	47.5	-54.18	38.3	66.35	145	i03c	
g00b	50.07	-44.09	14.13	46.3	162	i23c	
g25b	52.21	-35.66	-6.03	36.17	190	i55c	
g50b	53.9	-29.04	-21.87	36.36	217	i87c	
g75b	49.44	-15.51	-32.31	35.84	244	c20v	
b00r	41.36	1.15	-37.95	37.97	272	c53v	
b25r	28.74	27.19	-46.77	54.1	300	c87v	
b50r	33.74	61.97	-37.81	72.59	329	v68m	
b75r	40.08	64.26	-3.32	64.35	357	m33o	



Ein und Ausgabe: Farbmetrisches Drucker-Reflektiv-System FRS09_92aM für relativen CIELAB-Buntton $h^* = lab^*h^* = h_{ab}/360 = 0.21$

Daten für jede Farbe:

lab^*tch^* und lab^*icu^*

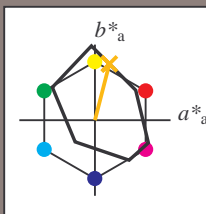
Bunttontexte:

$u^*_e = r75j$ $u^*_d = o69y$

Kontrastreduzierungsfaktor:

$c_R = 0.9$

Dreiecks-Helligkeit i^*



FRS09_92aM; adaptierte CIELAB-Daten

u^*_e	$L^*=L^*_a$	a^*_a	b^*_a	$C^*_{ab,a}$	$h^*_{ab,a}$
O _{Ma}	38.8	53.92	39.68	66.95	36
Y _{Ma}	82.58	-4.64	98.22	98.33	93
L _{Ma}	46.95	-56.34	43.46	71.15	142
C _{Ma}	54.62	-26.2	-28.68	38.85	228
V _{Ma}	20.01	45.2	-52.87	69.56	311
M _{Ma}	40.88	70.68	-29.99	76.78	337
N _{Ma}	15.0	0.0	0.0	0.0	0
W _{Ma}	90.0	0.0	0.0	0.0	0
R _{Ma}	39.92	58.74	27.99	65.07	25
J _{Ma}	81.26	-2.89	71.56	71.62	92
G _{Ma}	52.23	-42.42	13.6	44.55	162
B _{Ma}	30.57	1.41	-46.47	46.49	272

Daten für Maximalfarbe (Ma):

$LAB^*LAB^*_{Ma}$: 65 19 74

$LAB^*LCH^*_{Ma}$: 65 77 75

$lab^*rgb^*_{Ma}$: 1.0 0.75 0.0

$lab^*olv^*_{Ma}$: 1.0 0.7 0.0

Dreiecks-Helligkeit i^*

%Umfang

$u^*_{rel} = 88$

%Regularität

$g^*_{H,rel} = 31$

$g^*_{C,rel} = 40$

FRS09_92aM; adaptierte CIELAB-Daten

u^*_e	$L^*=L^*_a$	a^*_a	b^*_a	$C^*_{ab,a}$	$h^*_{ab,a}$	u^*_d
r00j	39.18	56.94	27.13	63.07	25	m81o
r25j	42.41	49.1	44.5	66.26	42	o10y
r50j	52.78	35.22	58.37	68.17	59	o40y
r75j	64.82	19.12	74.47	76.89	76	o69y
j00g	82.06	-3.94	97.52	97.6	92	o98y
j25g	67.26	-26.87	74.67	79.36	110	y34l
j50g	55.83	-43.45	57.11	71.76	127	y69l
j75g	47.5	-54.18	38.3	66.35	145	i03c
g00b	50.07	-44.09	14.13	46.3	162	i23c
g25b	52.21	-35.66	-6.03	36.17	190	i55c
g50b	53.9	-29.04	-21.87	36.36	217	i87c
g75b	49.44	-15.51	-32.31	35.84	244	c20v
b00r	41.36	1.15	-37.95	37.97	272	c53v
b25r	28.74	27.19	-46.77	54.1	300	c87v
b50r	33.74	61.97	-37.81	72.59	329	v68m
b75r	40.08	64.26	-3.32	64.35	357	m33o

lab^*tch^*

$i^* = 1.00$

Brillantheit i^*

$i^* = 0.80$

$i^* = 0.60$

$i^* = 0.40$

$i^* = 0.20$

$i^* = 0.00$

Ein und Ausgabe: Farbmetrisches Drucker-Reflektiv-System FRS09_92aM für relativen CIELAB-Buntton $h^* = \text{lab}^*h^* = h_{ab}/360 = 0.256$

Daten für jede Farbe:

lab^*tch^* und lab^*icu^*

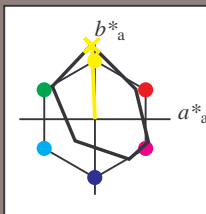
Bunttontexte:

$u^*_e = j00g$ $u^*_d = o98y$

Kontrastreduzierungsfaktor:

$c_R = 0.9$

Dreiecks-Helligkeit t^*



FRS09_92aM; adaptierte CIELAB-Daten

u^*_e	$L^*=L^*_a$	a^*_a	b^*_a	$C^*_{ab,a}$	$h^*_{ab,a}$
O _{Ma}	38.8	53.92	39.68	66.95	36
Y _{Ma}	82.58	-4.64	98.22	98.33	93
L _{Ma}	46.95	-56.34	43.46	71.15	142
C _{Ma}	54.62	-26.2	-28.68	38.85	228
V _{Ma}	20.01	45.2	-52.87	69.56	311
M _{Ma}	40.88	70.68	-29.99	76.78	337
N _{Ma}	15.0	0.0	0.0	0.0	0
W _{Ma}	90.0	0.0	0.0	0.0	0
R _{Ma}	39.92	58.74	27.99	65.07	25
J _{Ma}	81.26	-2.89	71.56	71.62	92
G _{Ma}	52.23	-42.42	13.6	44.55	162
B _{Ma}	30.57	1.41	-46.47	46.49	272

Daten für Maximalfarbe (Ma):

$\text{LAB}^*\text{LAB}^*_{\text{Ma}}$: 82 -4 98

$\text{LAB}^*\text{LCH}^*_{\text{Ma}}$: 82 98 92

$\text{lab}^*\text{rgb}^*_{\text{Ma}}$: 1.0 1.0 0.0

$\text{lab}^*\text{olv}^*_{\text{Ma}}$: 1.0 0.99 0.0

Dreiecks-Helligkeit t^*

%Umfang

$u^*_{\text{rel}} = 88$

%Regularität

$g^*_{H,\text{rel}} = 31$

$g^*_{C,\text{rel}} = 40$

FRS09_92aM; adaptierte CIELAB-Daten

u^*_e	$L^*=L^*_a$	a^*_a	b^*_a	$C^*_{ab,a}$	$h^*_{ab,a}$	u^*_d
r00j	39.18	56.94	27.13	63.07	25	m81o
r25j	42.41	49.1	44.5	66.26	42	o10y
r50j	52.78	35.22	58.37	68.17	59	o40y
r75j	64.82	19.12	74.47	76.89	76	o69y
j00g	82.06	-3.94	97.52	97.6	92	o98y
j25g	67.26	-26.87	74.67	79.36	110	y34l
j50g	55.83	-43.45	57.11	71.76	127	y69l
j75g	47.5	-54.18	38.3	66.35	145	i03c
g00b	50.07	-44.09	14.13	46.3	162	i23c
g25b	52.21	-35.66	-6.03	36.17	190	i55c
g50b	53.9	-29.04	-21.87	36.36	217	i87c
g75b	49.44	-15.51	-32.31	35.84	244	c20v
b00r	41.36	1.15	-37.95	37.97	272	c53v
b25r	28.74	27.19	-46.77	54.1	300	c87v
b50r	33.74	61.97	-37.81	72.59	329	v68m
b75r	40.08	64.26	-3.32	64.35	357	m33o

lab^*tch^*

$i^* = 1.00$

Brillantheit i^*

$i^* = 0.80$

$i^* = 0.60$

$i^* = 0.40$

$i^* = 0.20$

$i^* = 0.00$

Ein und Ausgabe: Farbmetrisches Drucker-Reflektiv-System FRS09_92aM für relativen CIELAB-Buntton $h^* = \text{lab}^*h^* = h_{ab}/360 = 0.305$

Daten für jede Farbe:

lab^*tch^* und lab^*icu^*

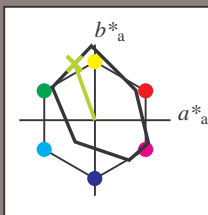
Bunttontexte:

$u^*_e = j25g$ $u^*_d = y34l$

Kontrastreduzierungsfaktor:

$c_R = 0.9$

Dreiecks-Helligkeit t^*



FRS09_92aM; adaptierte CIELAB-Daten

u^*_e	$L^*=L^*_a$	a^*_a	b^*_a	$C^*_{ab,a}$	$h^*_{ab,a}$
O _{Ma}	38.8	53.92	39.68	66.95	36
Y _{Ma}	82.58	-4.64	98.22	98.33	93
L _{Ma}	46.95	-56.34	43.46	71.15	142
C _{Ma}	54.62	-26.2	-28.68	38.85	228
V _{Ma}	20.01	45.2	-52.87	69.56	311
M _{Ma}	40.88	70.68	-29.99	76.78	337
N _{Ma}	15.0	0.0	0.0	0.0	0
W _{Ma}	90.0	0.0	0.0	0.0	0
R _{Ma}	39.92	58.74	27.99	65.07	25
J _{Ma}	81.26	-2.89	71.56	71.62	92
G _{Ma}	52.23	-42.42	13.6	44.55	162
B _{Ma}	30.57	1.41	-46.47	46.49	272

Daten für Maximalfarbe (Ma):

$\text{LAB}^*\text{LAB}^*_{\text{Ma}}$: 67 -27 75

$\text{LAB}^*\text{LCH}^*_{\text{Ma}}$: 67 79 109

$\text{lab}^*\text{rgb}^*_{\text{Ma}}$: 0.75 1.0 0.0

$\text{lab}^*\text{olv}^*_{\text{Ma}}$: 0.66 1.0 0.0

Dreiecks-Helligkeit t^*

%Umfang

$u^*_{\text{rel}} = 88$

%Regularität

$g^*_{H,\text{rel}} = 31$

$g^*_{C,\text{rel}} = 40$

FRS09_92aM; adaptierte CIELAB-Daten

u^*_e	$L^*=L^*_a$	a^*_a	b^*_a	$C^*_{ab,a}$	$h^*_{ab,a}$	u^*_d
r00j	39.18	56.94	27.13	63.07	25	m81o
r25j	42.41	49.1	44.5	66.26	42	o10y
r50j	52.78	35.22	58.37	68.17	59	o40y
r75j	64.82	19.12	74.47	76.89	76	o69y
j00g	82.06	-3.94	97.52	97.6	92	o98y
j25g	67.26	-26.87	74.67	79.36	110	y34l
j50g	55.83	-43.45	57.11	71.76	127	y69l
j75g	47.5	-54.18	38.3	66.35	145	i03c
g00b	50.07	-44.09	14.13	46.3	162	i23c
g25b	52.21	-35.66	-6.03	36.17	190	i55c
g50b	53.9	-29.04	-21.87	36.36	217	i87c
g75b	49.44	-15.51	-32.31	35.84	244	c20v
b00r	41.36	1.15	-37.95	37.97	272	c53v
b25r	28.74	27.19	-46.77	54.1	300	c87v
b50r	33.74	61.97	-37.81	72.59	329	v68m
b75r	40.08	64.26	-3.32	64.35	357	m33o

lab^*tch^*

$i^* = 1.00$

Brillantheit i^*

$i^* = 0.80$

$i^* = 0.60$

$i^* = 0.40$

$i^* = 0.20$

$i^* = 0.00$

relative Buntheit c^*

relative Buntheit c^*

Ein und Ausgabe: Farbmetrisches Drucker-Reflektiv-System FRS09_92aM für relativen CIELAB-Buntton $h^* = lab^*h^* = h_{ab}/360 = 0.354$

Daten für jede Farbe:

lab^*tch^* und lab^*icu^*

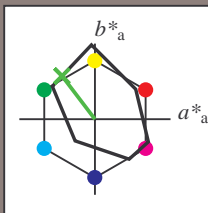
Bunttontexte:

$u^*_e = j50g$ $u^*_d = y69l$

Kontrastreduzierungsfaktor:

$c_R = 0.9$

Dreiecks-Helligkeit i^*



FRS09_92aM; adaptierte CIELAB-Daten

	u^*_e	$L^*=L^*_a$	a^*_a	b^*_a	$C^*_{ab,a}$	$h^*_{ab,a}$
O _{Ma}	38.8	53.92	39.68	66.95	36	
Y _{Ma}	82.58	-4.64	98.22	98.33	93	
L _{Ma}	46.95	-56.34	43.46	71.15	142	
C _{Ma}	54.62	-26.2	-28.68	38.85	228	
V _{Ma}	20.01	45.2	-52.87	69.56	311	
M _{Ma}	40.88	70.68	-29.99	76.78	337	
N _{Ma}	15.0	0.0	0.0	0.0	0	
W _{Ma}	90.0	0.0	0.0	0.0	0	
R _{Ma}	39.92	58.74	27.99	65.07	25	
J _{Ma}	81.26	-2.89	71.56	71.62	92	
G _{Ma}	52.23	-42.42	13.6	44.55	162	
B _{Ma}	30.57	1.41	-46.47	46.49	272	

Daten für Maximalfarbe (Ma):

$LAB^*LAB^*_{Ma}$: 56 -43 57

$LAB^*LCH^*_{Ma}$: 56 72 127

$lab^*rgb^*_{Ma}$: 0.5 1.0 0.0

$lab^*olv^*_{Ma}$: 0.3 1.0 0.0

Dreiecks-Helligkeit i^*

%Umfang

$u^*_{rel} = 88$

%Regularität

$g^*_{H,rel} = 31$

$g^*_{C,rel} = 40$

FRS09_92aM; adaptierte CIELAB-Daten

	u^*_e	$L^*=L^*_a$	a^*_a	b^*_a	$C^*_{ab,a}$	$h^*_{ab,a}$	u^*_d
r00j	39.18	56.94	27.13	63.07	25	m81o	
r25j	42.41	49.1	44.5	66.26	42	o10y	
r50j	52.78	35.22	58.37	68.17	59	o40y	
r75j	64.82	19.12	74.47	76.89	76	o69y	
j00g	82.06	-3.94	97.52	97.6	92	o98y	
j25g	67.26	-26.87	74.67	79.36	110	y34l	
j50g	55.83	-43.45	57.11	71.76	127	y69l	
j75g	47.5	-54.18	38.3	66.35	145	i03c	
g00b	50.07	-44.09	14.13	46.3	162	i23c	
g25b	52.21	-35.66	-6.03	36.17	190	i55c	
g50b	53.9	-29.04	-21.87	36.36	217	i87c	
g75b	49.44	-15.51	-32.31	35.84	244	c20v	
b00r	41.36	1.15	-37.95	37.97	272	c53v	
b25r	28.74	27.19	-46.77	54.1	300	c87v	
b50r	33.74	61.97	-37.81	72.59	329	v68m	
b75r	40.08	64.26	-3.32	64.35	357	m33o	

lab^*tch^*

$i^* = 1.00$

Brillantheit i^*

$i^* = 0.80$

$i^* = 0.60$

$i^* = 0.40$

$i^* = 0.20$

$i^* = 0.00$

relative Buntheit c^*

relative Buntheit c^*

Ein und Ausgabe: Farbmetrisches Drucker-Reflektiv-System FRS09_92aM für relativen CIELAB-Buntton $h^* = lab^*h^* = h_{ab}/360 = 0.402$

Daten für jede Farbe:

lab^*tch^* und lab^*icu^*

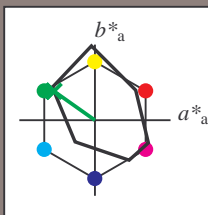
Bunttontexte:

$u^*_e = j75g$ $u^*_d = i03c$

Kontrastreduzierungsfaktor:

$c_R = 0.9$

Dreiecks-Helligkeit i^*



FRS09_92aM; adaptierte CIELAB-Daten

	u^*_e	$L^*=L^*_a$	a^*_a	b^*_a	$C^*_{ab,a}$	$h^*_{ab,a}$
O _{Ma}	38.8	53.92	39.68	66.95	36	
Y _{Ma}	82.58	-4.64	98.22	98.33	93	
L _{Ma}	46.95	-56.34	43.46	71.15	142	
C _{Ma}	54.62	-26.2	-28.68	38.85	228	
V _{Ma}	20.01	45.2	-52.87	69.56	311	
M _{Ma}	40.88	70.68	-29.99	76.78	337	
N _{Ma}	15.0	0.0	0.0	0.0	0	
W _{Ma}	90.0	0.0	0.0	0.0	0	
R _{Ma}	39.92	58.74	27.99	65.07	25	
J _{Ma}	81.26	-2.89	71.56	71.62	92	
G _{Ma}	52.23	-42.42	13.6	44.55	162	
B _{Ma}	30.57	1.41	-46.47	46.49	272	

Daten für Maximalfarbe (Ma):

$LAB^*LAB^*_{Ma}$: 48 -54 38

$LAB^*LCH^*_{Ma}$: 48 66 144

$lab^*rgb^*_{Ma}$: 0.25 1.0 0.0

$lab^*olv^*_{Ma}$: 0.0 1.0 0.03

Dreiecks-Helligkeit i^*

%Umfang

$u^*_{rel} = 88$

%Regularität

$g^*_{H,rel} = 31$

$g^*_{C,rel} = 40$

FRS09_92aM; adaptierte CIELAB-Daten

	u^*_e	$L^*=L^*_a$	a^*_a	b^*_a	$C^*_{ab,a}$	$h^*_{ab,a}$	u^*_d
r00j	39.18	56.94	27.13	63.07	25	m81o	
r25j	42.41	49.1	44.5	66.26	42	o10y	
r50j	52.78	35.22	58.37	68.17	59	o40y	
r75j	64.82	19.12	74.47	76.89	76	o69y	
j00g	82.06	-3.94	97.52	97.6	92	o98y	
j25g	67.26	-26.87	74.67	79.36	110	y34l	
j50g	55.83	-43.45	57.11	71.76	127	y69l	
j75g	47.5	-54.18	38.3	66.35	145	i03c	
g00b	50.07	-44.09	14.13	46.3	162	i23c	
g25b	52.21	-35.66	-6.03	36.17	190	i55c	
g50b	53.9	-29.04	-21.87	36.36	217	i87c	
g75b	49.44	-15.51	-32.31	35.84	244	c20v	
b00r	41.36	1.15	-37.95	37.97	272	c53v	
b25r	28.74	27.19	-46.77	54.1	300	c87v	
b50r	33.74	61.97	-37.81	72.59	329	v68m	
b75r	40.08	64.26	-3.32	64.35	357	m33o	

lab^*tch^*

$i^* = 1.00$

Brillantheit i^*

$i^* = 0.80$

$i^* = 0.60$

$i^* = 0.40$

$i^* = 0.20$

relative Buntheit c^*

relative Buntheit c^*

Siehe ähnliche Dateien: <http://www.ps.bam.de/Eg33/>; www.ps.bam.de/Eg.HTM
Technische Information: <http://www.ps.bam.de> Version 2.1, io=1.1, ColSp=0

BAM-Registrierung: 20081001-Eg33/10L/L33G00NP.PS/.PDF BAM-Material: Code=rha4ta
- Anwendung für Beurteilung und Messung von Drucker- oder Monitorsystemen

Ein und Ausgabe: Farbmétrisches Drucker-Reflektiv-System FRS09_92aM für relativen CIELAB-Buntton $h^* = lab^*h^* = h_{ab}/360 = 0.451$

Daten für jede Farbe:

*lab*tch** und *lab*icu**

Bunttexte:

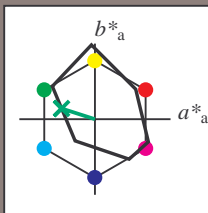
$$u^*_e = g00b \quad u^*_d = l23c$$

Kontrastreduzierungsfaktor:

 $c_P = 0.9$

K Dreiecks-Helligkeit t^*

Greens highlight:



FRS09_92aM; adaptierte CIELAB-Daten						
u^*_c	$L^*=L^*_a$	a^*_a	b^*_a	$C^*_{ab,a}$	$h^*_{ab,a}$	
O _{Ma}	38.8	53.92	39.68	66.95	36	
Y _{Ma}	82.58	-4.64	98.22	98.33	93	
L _{Ma}	46.95	-56.34	43.46	71.15	142	
C _{Ma}	54.62	-26.2	-28.68	38.85	228	
V _{Ma}	20.01	45.2	-52.87	69.56	311	
M _{Ma}	40.88	70.68	-29.99	76.78	337	
N _{Ma}	15.0	0.0	0.0	0.0	0	
W _{Ma}	90.0	0.0	0.0	0.0	0	
R _{Ma}	39.92	58.74	27.99	65.07	25	
J _{Ma}	81.26	-2.89	71.56	71.62	92	
G _{Ma}	52.23	-42.42	13.6	44.55	162	
B _{Ma}	30.57	1.41	-46.47	46.49	272	

Daten für Maximalfarbe (Ma):

 $LAB*LAB*_{M_2}: 50 \quad -44 \quad 14$

LAB LAB Ma: 50	44	14
LAB*LCIII*	50	16 160

LAB*LCH*Ma: 50 46 1

*lab*rgb*_Ma: 0.0 1.0 0.0*

*lab*olv**Ma: 0.0 1.0 0.23

Dreiecks-Helligkeit t^*

Erstens Hemmigkeit:

%Umfang

$$\mathbf{u}_{\text{rel}}^* = 88$$

%Regularität

$$g^*_{H,rel} = 31$$
$$g^*_{C,rel} = 40$$

FRS09_92aM; adaptierte CIELAB-Daten							
u_e^*	$L^*=L_a^*$	a_a^*	b_a^*	$C_{ab,a}^*$	$h_{ab,a}^*$	u_d^*	
<i>r00j</i>	39.18	56.94	27.13	63.07	25	<i>m81a</i>	
<i>r25j</i>	42.41	49.1	44.5	66.26	42	<i>o10y</i>	
<i>r50j</i>	52.78	35.22	58.37	68.17	59	<i>o40y</i>	
<i>r75j</i>	64.82	19.12	74.47	76.89	76	<i>o69y</i>	
<i>j00g</i>	82.06	-3.94	97.52	97.6	92	<i>o98y</i>	
<i>j25g</i>	67.26	-26.87	74.67	79.36	110	<i>y34l</i>	
<i>j50g</i>	55.83	-43.45	57.11	71.76	127	<i>y69l</i>	
<i>j75g</i>	47.5	-54.18	38.3	66.35	145	<i>l03c</i>	
<i>g00b</i>	50.07	-44.09	14.13	46.3	162	<i>l23c</i>	
<i>g25b</i>	52.21	-35.66	-6.03	36.17	190	<i>l55c</i>	
<i>g50b</i>	53.9	-29.04	-21.87	36.36	217	<i>l87c</i>	
<i>g75b</i>	49.44	-15.51	-32.31	35.84	244	<i>c20v</i>	
<i>b00r</i>	41.36	1.15	-37.95	37.97	272	<i>c53v</i>	
<i>b25r</i>	28.74	27.19	-46.77	54.1	300	<i>c87v</i>	
<i>b50r</i>	33.74	61.97	-37.81	72.59	329	<i>v68m</i>	
<i>b75r</i>	40.08	64.26	-3.32	64.35	357	<i>m33c</i>	

*lab*tch**

$$i^*=1,00$$

Brillantheit i*

Brillantheit *i**

relative Buntheit c^*

198 Eingabe: *000n / w / nnn0 / www set...*

D65: Farbreihen, Datentabellen für 16 Bunttöne *r00i* bis *b75r* Ausgabe: $\rightarrow cmv0^* setcmvcolor$

Ein und Ausgabe: Farbmétrisches Drucker-Reflektiv-System FRS09_92aM für relativen CIELAB-Buntton $h^* = lab^*h^* = h_{ab}/360 = 0.527$

Daten für jede Farbe:

*lab*tch** und *lab*icu**

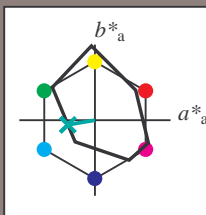
Bunttexte:

$$u^*_e = g25b \quad u^*_d = l55c$$

Kontrastreduzierungsfaktor:

 $c_{\mathbf{R}} = 0.9$

K Dreiecks-Helligkeit t^*



FRS09_92aM; adaptierte CIELAB-Daten						
u_e^*	$L^*=L_a^*$	a_a^*	b_a^*	$C^*_{ab,a}$	$h^*_{ab,a}$	
O _{Ma}	38.8	53.92	39.68	66.95	36	
Y _{Ma}	82.58	-4.64	98.22	98.33	93	
L _{Ma}	46.95	-56.34	43.46	71.15	142	
C _{Ma}	54.62	-26.2	-28.68	38.85	228	
V _{Ma}	20.01	45.2	-52.87	69.56	311	
M _{Ma}	40.88	70.68	-29.99	76.78	337	
N _{Ma}	15.0	0.0	0.0	0.0	0	
W _{Ma}	90.0	0.0	0.0	0.0	0	
R _{Ma}	39.92	58.74	27.99	65.07	25	
J _{Ma}	81.26	-2.89	71.56	71.62	92	
G _{Ma}	52.23	-42.42	13.6	44.55	162	
B _{Ma}	30.57	1.41	-46.47	46.49	272	

Daten für Maximalfarbe (Ma):

LAB*LAB*_{M2}: 52 -36 -6

LAD*LGH* 52 36 189

LAB*LCH*Ma: 52 36 1

*lab*rgb*_Ma: 0.0 1.0 0.5*

*lab*olv**Ma: 0.0 1.0 0.55

Dreiecks-Helligkeit t^*

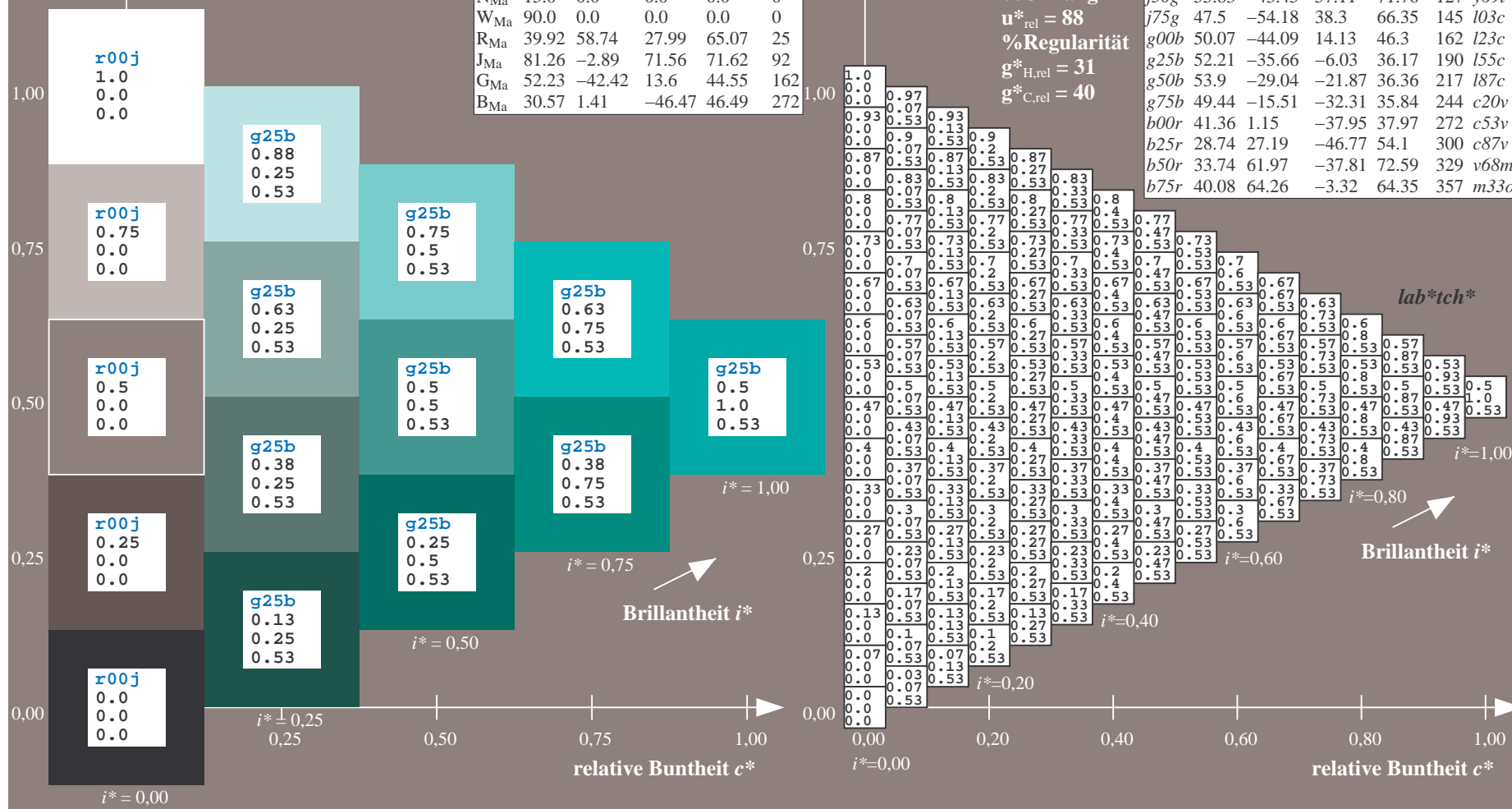
%Umfang

$$\mathbf{u}_{\text{rel}}^* = 88$$

%Regularität

$$g^*_{H,rel} = 31$$
$$g^*_{C,rel} = 40$$

FRS09_92aM; adaptierte CIELAB-Daten							
u_e	$L^*=L_a$	a^*_a	b^*_a	$C^*_{ab,a}$	$h^*_{ab,a}$	u_d	
<i>r00j</i>	39.18	56.94	27.13	63.07	25	<i>m81c</i>	
<i>r25j</i>	42.41	49.1	44.5	66.26	42	<i>o10y</i>	
<i>r50j</i>	52.78	35.22	58.37	68.17	59	<i>o40y</i>	
<i>r75j</i>	64.82	19.12	74.47	76.89	76	<i>o69y</i>	
<i>j00g</i>	82.06	-3.94	97.52	97.6	92	<i>o98y</i>	
<i>j25g</i>	67.26	-26.87	74.67	79.36	110	<i>y34l</i>	
<i>j50g</i>	55.83	-43.45	57.11	71.76	127	<i>y69l</i>	
<i>j75g</i>	47.5	-54.18	38.3	66.35	145	<i>l03c</i>	
<i>g00b</i>	50.07	-44.09	14.13	46.3	162	<i>l23c</i>	
<i>g25b</i>	52.21	-35.66	-6.03	36.17	190	<i>l55c</i>	
<i>g50b</i>	53.9	-29.04	-21.87	36.36	217	<i>l87c</i>	
<i>g75b</i>	49.44	-15.51	-32.31	35.84	244	<i>c20v</i>	
<i>b00r</i>	41.36	1.15	-37.95	37.97	272	<i>c53v</i>	
<i>b25r</i>	28.74	27.19	-46.77	54.1	300	<i>c87v</i>	
<i>b50r</i>	33.74	61.97	-37.81	72.59	329	<i>v68m</i>	
<i>b75r</i>	40.08	64.26	-3.32	64.35	357	<i>m33c</i>	



BAM-Prüfvorlage Eg33; Farbmatrik-Systeme, Seite 119/198 Eingabe: 000n / w / nnn0 / www set...
D65: Farbreihen, Datentabellen für 16 Bunttöne r00j bis b75r Ausgabe: ->cmy0* setcmykcolor

BAM-Registrierung: 20081001-Eg33/10L/L33G00NP.PS/.PDF BAM-Material: Code=rha4ta
Anwendung für Beurteilung und Messung von Drucker- oder Monitorsystemen

Ein und Ausgabe: Farbmetrisches Drucker-Reflektiv-System FRS09_92aM für relativen CIELAB-Buntton $h^* = \text{lab}^*h^* = h_{ab}/360 = 0.603$

Daten für jede Farbe:

lab^*tch^* und lab^*icu^*

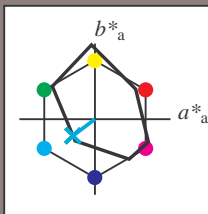
Bunttontexte:

$u^*_e = g50b$ $u^*_d = l87c$

Kontrastreduzierungsfaktor:

$c_R = 0.9$

Dreiecks-Helligkeit i^*



FRS09_92aM; adaptierte CIELAB-Daten

u^*_e	$L^*=L^*_a$	a^*_a	b^*_a	$C^*_{ab,a}$	$h^*_{ab,a}$
O _{Ma}	38.8	53.92	39.68	66.95	36
Y _{Ma}	82.58	-4.64	98.22	98.33	93
L _{Ma}	46.95	-56.34	43.46	71.15	142
C _{Ma}	54.62	-26.2	-28.68	38.85	228
V _{Ma}	20.01	45.2	-52.87	69.56	311
M _{Ma}	40.88	70.68	-29.99	76.78	337
N _{Ma}	15.0	0.0	0.0	0.0	0
W _{Ma}	90.0	0.0	0.0	0.0	0
R _{Ma}	39.92	58.74	27.99	65.07	25
J _{Ma}	81.26	-2.89	71.56	71.62	92
G _{Ma}	52.23	-42.42	13.6	44.55	162
B _{Ma}	30.57	1.41	-46.47	46.49	272

Daten für Maximalfarbe (Ma):

$\text{LAB}^*\text{LAB}^*_{\text{Ma}}$: 54 -29 -22

$\text{LAB}^*\text{LCH}^*_{\text{Ma}}$: 54 36 216

$\text{lab}^*\text{rgb}^*_{\text{Ma}}$: 0.0 1.0 1.0

$\text{lab}^*\text{olv}^*_{\text{Ma}}$: 0.0 1.0 0.88

Dreiecks-Helligkeit i^*

%Umfang

$u^*_{\text{rel}} = 88$

%Regularität

$g^*_{H,\text{rel}} = 31$

$g^*_{C,\text{rel}} = 40$

FRS09_92aM; adaptierte CIELAB-Daten

u^*_e	$L^*=L^*_a$	a^*_a	b^*_a	$C^*_{ab,a}$	$h^*_{ab,a}$	u^*_d
r00j	39.18	56.94	27.13	63.07	25	m81o
r25j	42.41	49.1	44.5	66.26	42	o10y
r50j	52.78	35.22	58.37	68.17	59	o40y
r75j	64.82	19.12	74.47	76.89	76	o69y
j00g	82.06	-3.94	97.52	97.6	92	o98y
j25g	67.26	-26.87	74.67	79.36	110	y34l
j50g	55.83	-43.45	57.11	71.76	127	y69l
j75g	47.5	-54.18	38.3	66.35	145	l03c
g00b	50.07	-44.09	14.13	46.3	162	l23c
g25b	52.21	-35.66	-6.03	36.17	190	l55c
g50b	53.9	-29.04	-21.87	36.36	217	l87c
g75b	49.44	-15.51	-32.31	35.84	244	c20v
b00r	41.36	1.15	-37.95	37.97	272	c53v
b25r	28.74	27.19	-46.77	54.1	300	c87v
b50r	33.74	61.97	-37.81	72.59	329	v68m
b75r	40.08	64.26	-3.32	64.35	357	m33o

lab^*tch^*

$i^* = 1.00$

Brillantheit i^*

$i^* = 0.80$

$i^* = 0.60$

$i^* = 0.40$

$i^* = 0.20$

$i^* = 0.00$

Ein und Ausgabe: Farbmetrisches Drucker-Reflektiv-System FRS09_92aM für relativen CIELAB-Buntton $h^* = \text{lab}^*h^* = h_{ab}/360 = 0.679$

Daten für jede Farbe:

lab^*tch^* und lab^*icu^*

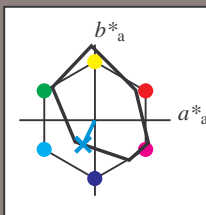
Bunttontexte:

$u^*_e = g75b$ $u^*_d = c20v$

Kontrastreduzierungsfaktor:

$c_R = 0.9$

Dreiecks-Helligkeit i^*



FRS09_92aM; adaptierte CIELAB-Daten

	u^*_e	$L^*=L^*_a$	a^*_a	b^*_a	$C^*_{ab,a}$	$h^*_{ab,a}$
O _{Ma}	38.8	53.92	39.68	66.95	36	
Y _{Ma}	82.58	-4.64	98.22	98.33	93	
L _{Ma}	46.95	-56.34	43.46	71.15	142	
C _{Ma}	54.62	-26.2	-28.68	38.85	228	
V _{Ma}	20.01	45.2	-52.87	69.56	311	
M _{Ma}	40.88	70.68	-29.99	76.78	337	
N _{Ma}	15.0	0.0	0.0	0.0	0	
W _{Ma}	90.0	0.0	0.0	0.0	0	
R _{Ma}	39.92	58.74	27.99	65.07	25	
J _{Ma}	81.26	-2.89	71.56	71.62	92	
G _{Ma}	52.23	-42.42	13.6	44.55	162	
B _{Ma}	30.57	1.41	-46.47	46.49	272	

Daten für Maximalfarbe (Ma):

$\text{LAB}^*\text{LAB}^*_{Ma}$: 49 -16 -32

$\text{LAB}^*\text{LCH}^*_{Ma}$: 49 36 244

$\text{lab}^*\text{rgb}^*_{Ma}$: 0.0 0.5 1.0

$\text{lab}^*\text{olv}^*_{Ma}$: 0.0 0.8 1.0

Dreiecks-Helligkeit i^*

%Umfang

$u^*_{rel} = 88$

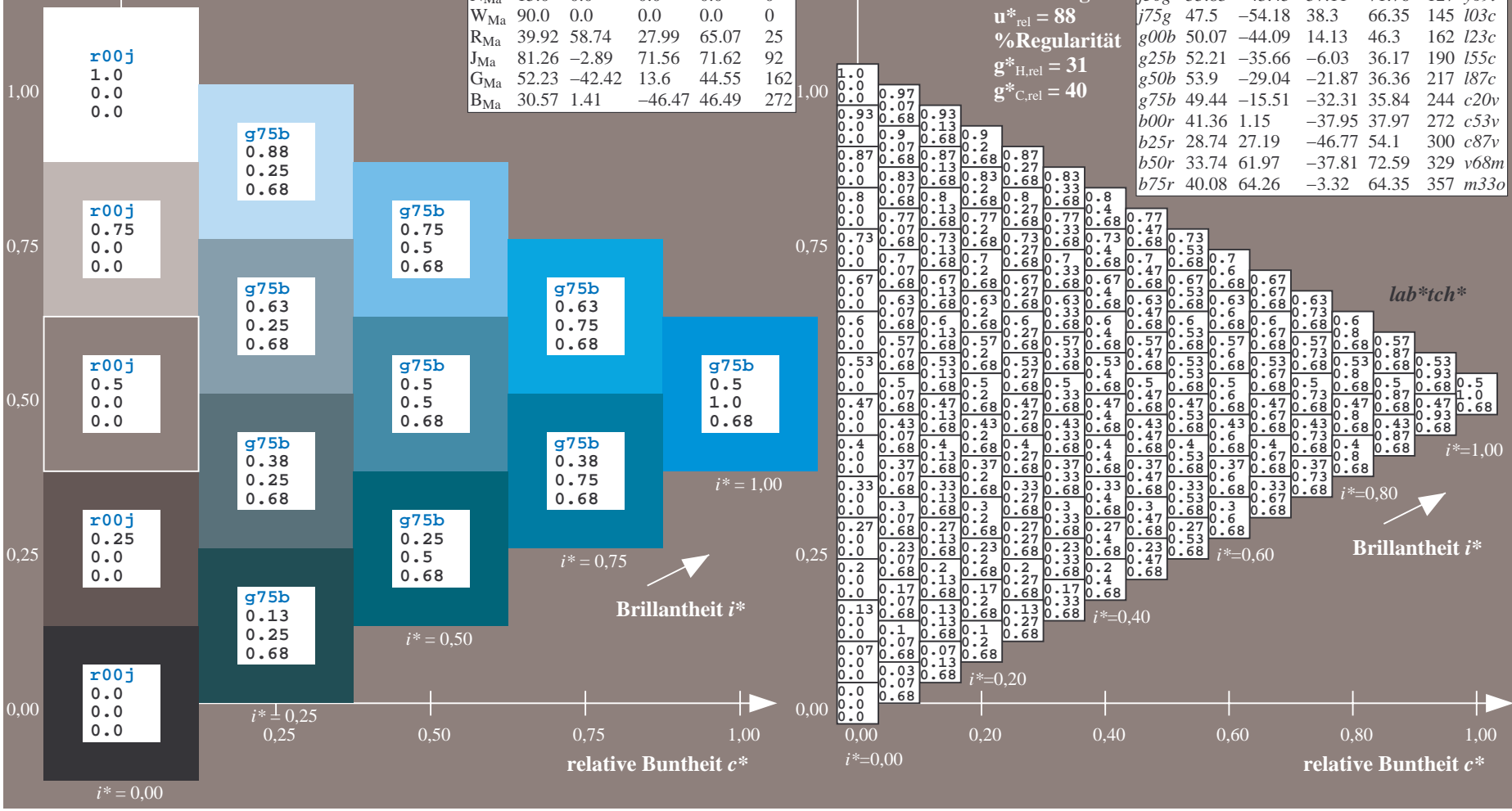
%Regularität

$g^*_{H,rel} = 31$

$g^*_{C,rel} = 40$

FRS09_92aM; adaptierte CIELAB-Daten

	u^*_e	$L^*=L^*_a$	a^*_a	b^*_a	$C^*_{ab,a}$	$h^*_{ab,a}$	u^*_d
r00j	39.18	56.94	27.13	63.07	25	m81o	
r25j	42.41	49.1	44.5	66.26	42	o10y	
r50j	52.78	35.22	58.37	68.17	59	o40y	
r75j	64.82	19.12	74.47	76.89	76	o69y	
j00g	82.06	-3.94	97.52	97.6	92	o98y	
j25g	67.26	-26.87	74.67	79.36	110	y34l	
j50g	55.83	-43.45	57.11	71.76	127	y69l	
j75g	47.5	-54.18	38.3	66.35	145	i03c	
g00b	50.07	-44.09	14.13	46.3	162	i23c	
g25b	52.21	-35.66	-6.03	36.17	190	i55c	
g50b	53.9	-29.04	-21.87	36.36	217	i87c	
g75b	49.44	-15.51	-32.31	35.84	244	c20v	
b00r	41.36	1.15	-37.95	37.97	272	c53v	
b25r	28.74	27.19	-46.77	54.1	300	c87v	
b50r	33.74	61.97	-37.81	72.59	329	v68m	
b75r	40.08	64.26	-3.32	64.35	357	m33o	



Ein und Ausgabe: Farbmetrisches Drucker-Reflektiv-System FRS09_92aM für relativen CIELAB-Buntton $h^* = \text{lab}^*h^* = h_{ab}/360 = 0.755$

Daten für jede Farbe:

lab^*tch^* und lab^*icu^*

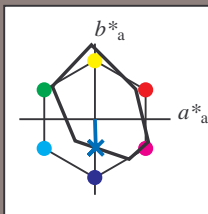
Bunttontexte:

$u_e^* = b00r$ $u_d^* = c53v$

Kontrastreduzierungsfaktor:

$c_R = 0.9$

Dreiecks-Helligkeit i^*



FRS09_92aM; adaptierte CIELAB-Daten						
	u_e^*	$L^*=L_a^*$	a_a^*	b_a^*	$C^*_{ab,a}$	$h^*_{ab,a}$
O _{Ma}	38.8	53.92	39.68	66.95	36	
Y _{Ma}	82.58	-4.64	98.22	98.33	93	
L _{Ma}	46.95	-56.34	43.46	71.15	142	
C _{Ma}	54.62	-26.2	-28.68	38.85	228	
V _{Ma}	20.01	45.2	-52.87	69.56	311	
M _{Ma}	40.88	70.68	-29.99	76.78	337	
N _{Ma}	15.0	0.0	0.0	0.0	0	
W _{Ma}	90.0	0.0	0.0	0.0	0	
R _{Ma}	39.92	58.74	27.99	65.07	25	
J _{Ma}	81.26	-2.89	71.56	71.62	92	
G _{Ma}	52.23	-42.42	13.6	44.55	162	
B _{Ma}	30.57	1.41	-46.47	46.49	272	

Daten für Maximalfarbe (Ma):

$\text{LAB}^*\text{LAB}^*_{Ma}$: 41 1 -38

$\text{LAB}^*\text{LCH}^*_{Ma}$: 41 38 271

$\text{lab}^*\text{rgb}^*_{Ma}$: 0.0 0.0 1.0

$\text{lab}^*\text{olv}^*_{Ma}$: 0.0 0.47 1.0

Dreiecks-Helligkeit i^*

%Umfang

$u^*_{rel} = 88$

%Regularität

$g^*_{H,rel} = 31$

$g^*_{C,rel} = 40$

FRS09_92aM; adaptierte CIELAB-Daten						
	u_e^*	$L^*=L_a^*$	a_a^*	b_a^*	$C^*_{ab,a}$	$h^*_{ab,a}$
r00j	39.18	56.94	27.13	63.07	25	m81o
r25j	42.41	49.1	44.5	66.26	42	o10y
r50j	52.78	35.22	58.37	68.17	59	o40y
r75j	64.82	19.12	74.47	76.89	76	o69y
j00g	82.06	-3.94	97.52	97.6	92	o98y
j25g	67.26	-26.87	74.67	79.36	110	y34l
j50g	55.83	-43.45	57.11	71.76	127	y69l
j75g	47.5	-54.18	38.3	66.35	145	i03c
g00b	50.07	-44.09	14.13	46.3	162	i23c
g25b	52.21	-35.66	-6.03	36.17	190	i55c
g50b	53.9	-29.04	-21.87	36.36	217	i87c
g75b	49.44	-15.51	-32.31	35.84	244	c20v
b00r	41.36	1.15	-37.95	37.97	272	c53v
b25r	28.74	27.19	-46.77	54.1	300	c87v
b50r	33.74	61.97	-37.81	72.59	329	v68m
b75r	40.08	64.26	-3.32	64.35	357	m33o

lab^*tch^*

$i^* = 1.00$

Brillantheit i^*

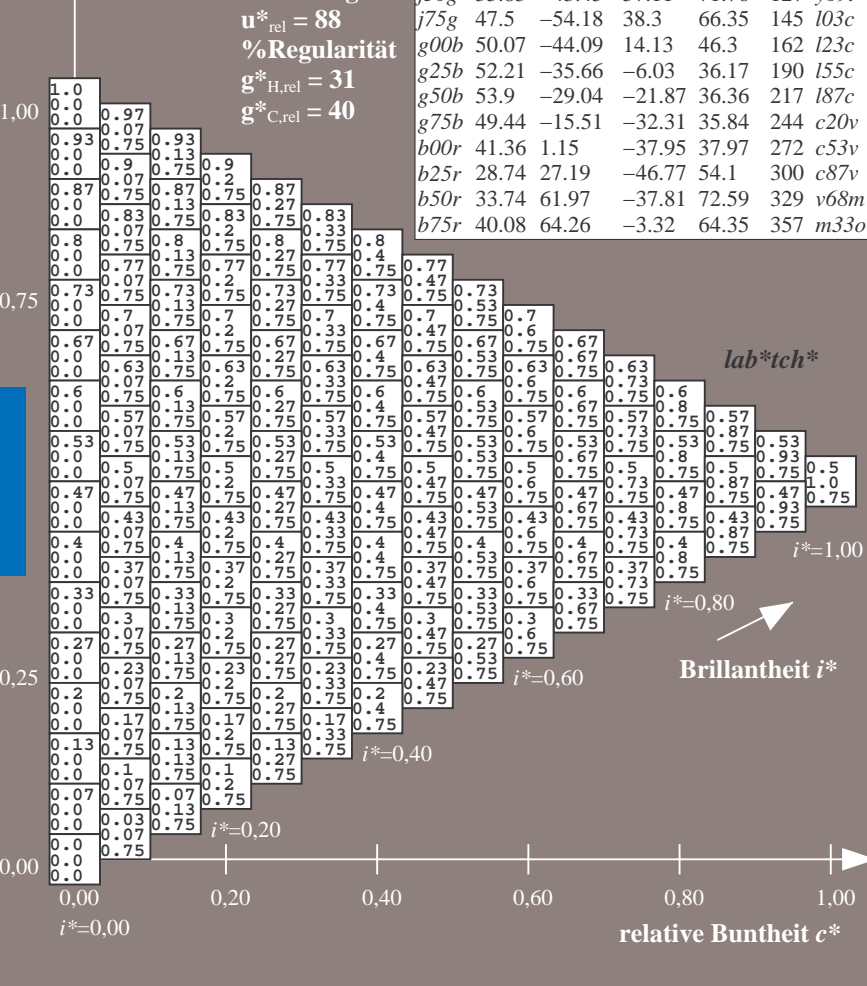
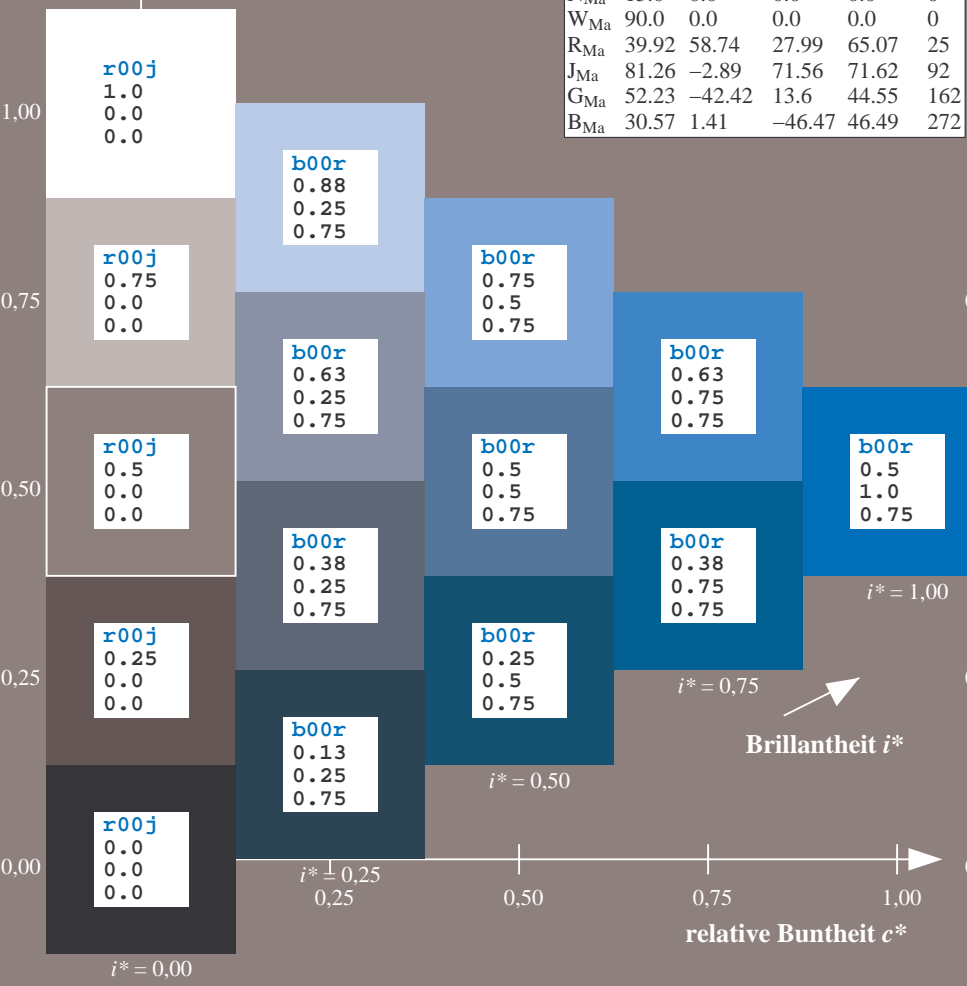
$i^* = 0.80$

$i^* = 0.60$

$i^* = 0.40$

$i^* = 0.20$

$i^* = 0.00$



Ein und Ausgabe: Farbmetrisches Drucker-Reflektiv-System FRS09_92aM für relativen CIELAB-Buntton $h^* = lab^*h^* = h_{ab}/360 = 0.834$

Daten für jede Farbe:

lab^*tch^* und lab^*icu^*

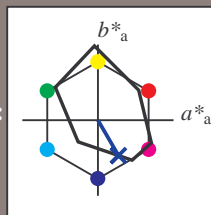
Bunttontexte:

$u^*_e = b25r$ $u^*_d = c87v$

Kontrastreduzierungsfaktor:

$c_R = 0.9$

Dreiecks-Helligkeit i^*



FRS09_92aM; adaptierte CIELAB-Daten

	u^*_e	$L^*=L^*_a$	a^*_a	b^*_a	$C^*_{ab,a}$	$h^*_{ab,a}$
O _{Ma}	38.8	53.92	39.68	66.95	36	
Y _{Ma}	82.58	-4.64	98.22	98.33	93	
L _{Ma}	46.95	-56.34	43.46	71.15	142	
C _{Ma}	54.62	-26.2	-28.68	38.85	228	
V _{Ma}	20.01	45.2	-52.87	69.56	311	
M _{Ma}	40.88	70.68	-29.99	76.78	337	
N _{Ma}	15.0	0.0	0.0	0.0	0	
W _{Ma}	90.0	0.0	0.0	0.0	0	
R _{Ma}	39.92	58.74	27.99	65.07	25	
J _{Ma}	81.26	-2.89	71.56	71.62	92	
G _{Ma}	52.23	-42.42	13.6	44.55	162	
B _{Ma}	30.57	1.41	-46.47	46.49	272	

Daten für Maximalfarbe (Ma):

$LAB^*LAB^*_{Ma}$: 29 27 -47

$LAB^*LCH^*_{Ma}$: 29 54 300

$lab^*rgb^*_{Ma}$: 0.5 0.0 1.0

$lab^*olv^*_{Ma}$: 0.0 0.12 1.0

Dreiecks-Helligkeit i^*

%Umfang

$u^*_{rel} = 88$

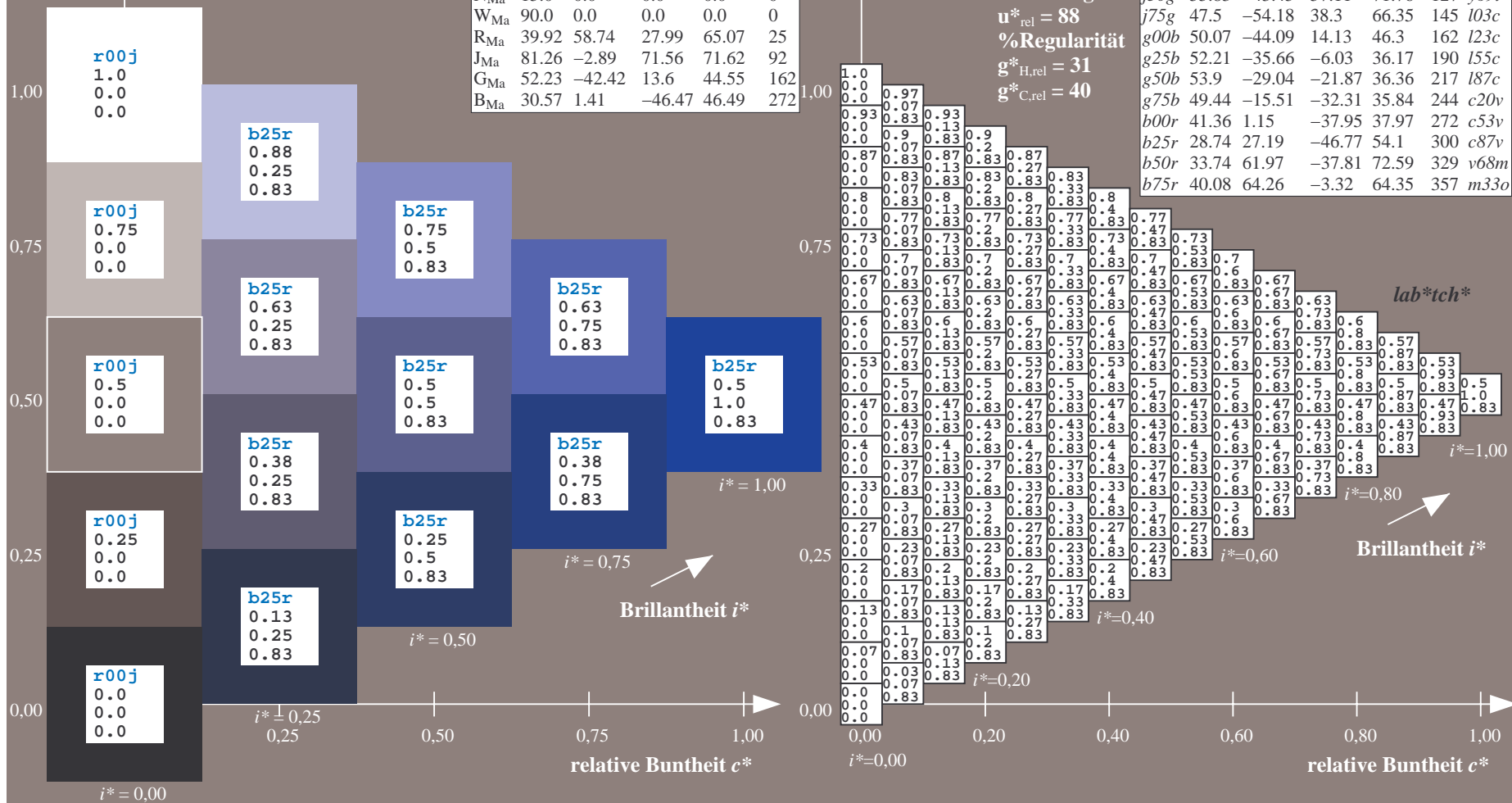
%Regularität

$g^*_{H,rel} = 31$

$g^*_{C,rel} = 40$

FRS09_92aM; adaptierte CIELAB-Daten

	u^*_e	$L^*=L^*_a$	a^*_a	b^*_a	$C^*_{ab,a}$	$h^*_{ab,a}$	u^*_d
r00j	39.18	56.94	27.13	63.07	25	m81o	
r25j	42.41	49.1	44.5	66.26	42	o10y	
r50j	52.78	35.22	58.37	68.17	59	o40y	
r75j	64.82	19.12	74.47	76.89	76	o69y	
j00g	82.06	-3.94	97.52	97.6	92	o98y	
j25g	67.26	-26.87	74.67	79.36	110	y34l	
j50g	55.83	-43.45	57.11	71.76	127	y69l	
j75g	47.5	-54.18	38.3	66.35	145	i03c	
g00b	50.07	-44.09	14.13	46.3	162	i23c	
g25b	52.21	-35.66	-6.03	36.17	190	i55c	
g50b	53.9	-29.04	-21.87	36.36	217	i87c	
g75b	49.44	-15.51	-32.31	35.84	244	c20v	
b00r	41.36	1.15	-37.95	37.97	272	c53v	
b25r	28.74	27.19	-46.77	54.1	300	c87v	
b50r	33.74	61.97	-37.81	72.59	329	v68m	
b75r	40.08	64.26	-3.32	64.35	357	m33o	



Ein und Ausgabe: Farbmetrisches Drucker-Reflektiv-System FRS09_92aM für relativen CIELAB-Buntton $h^* = lab^*h^* = h_{ab}/360 = 0.913$

Daten für jede Farbe:

lab^*tch^* und lab^*icu^*

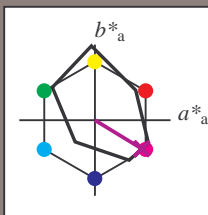
Bunttontexte:

$u^*_e = b50r$ $u^*_d = v68m$

Kontrastreduzierungsfaktor:

$c_R = 0.9$

Dreiecks-Helligkeit i^*



FRS09_92aM; adaptierte CIELAB-Daten

	u^*_e	$L^*=L^*_a$	a^*_a	b^*_a	$C^*_{ab,a}$	$h^*_{ab,a}$
O _{Ma}	38.8	53.92	39.68	66.95	36	
Y _{Ma}	82.58	-4.64	98.22	98.33	93	
L _{Ma}	46.95	-56.34	43.46	71.15	142	
C _{Ma}	54.62	-26.2	-28.68	38.85	228	
V _{Ma}	20.01	45.2	-52.87	69.56	311	
M _{Ma}	40.88	70.68	-29.99	76.78	337	
N _{Ma}	15.0	0.0	0.0	0.0	0	
W _{Ma}	90.0	0.0	0.0	0.0	0	
R _{Ma}	39.92	58.74	27.99	65.07	25	
J _{Ma}	81.26	-2.89	71.56	71.62	92	
G _{Ma}	52.23	-42.42	13.6	44.55	162	
B _{Ma}	30.57	1.41	-46.47	46.49	272	

Daten für Maximalfarbe (Ma):

$LAB^*LAB^*_{Ma}$: 34 62 -38

$LAB^*LCH^*_{Ma}$: 34 73 328

$lab^*rgb^*_{Ma}$: 1.0 0.0 1.0

$lab^*olv^*_{Ma}$: 0.68 0.0 1.0

Dreiecks-Helligkeit i^*

%Umfang

$u^*_{rel} = 88$

%Regularität

$g^*_{H,rel} = 31$

$g^*_{C,rel} = 40$

FRS09_92aM; adaptierte CIELAB-Daten

	u^*_e	$L^*=L^*_a$	a^*_a	b^*_a	$C^*_{ab,a}$	$h^*_{ab,a}$	u^*_d
r00j	39.18	56.94	27.13	63.07	25	m81o	
r25j	42.41	49.1	44.5	66.26	42	o10y	
r50j	52.78	35.22	58.37	68.17	59	o40y	
r75j	64.82	19.12	74.47	76.89	76	o69y	
j00g	82.06	-3.94	97.52	97.6	92	o98y	
j25g	67.26	-26.87	74.67	79.36	110	y34l	
j50g	55.83	-43.45	57.11	71.76	127	y69l	
j75g	47.5	-54.18	38.3	66.35	145	l03c	
g00b	50.07	-44.09	14.13	46.3	162	l23c	
g25b	52.21	-35.66	-6.03	36.17	190	l55c	
g50b	53.9	-29.04	-21.87	36.36	217	l87c	
g75b	49.44	-15.51	-32.31	35.84	244	c20v	
b00r	41.36	1.15	-37.95	37.97	272	c53v	
b25r	28.74	27.19	-46.77	54.1	300	c87v	
b50r	33.74	61.97	-37.81	72.59	329	v68m	
b75r	40.08	64.26	-3.32	64.35	357	m33o	

lab^*tch^*

$i^* = 1.00$

Brillantheit i^*

$i^* = 0.80$

$i^* = 0.60$

$i^* = 0.40$

$i^* = 0.20$

$i^* = 0.00$

relative Buntheit c^*

relative Buntheit c^*

Ein und Ausgabe: Farbmetrisches Drucker-Reflektiv-System FRS09_92aM für relativen CIELAB-Buntton $h^* = lab^*h^* = h_{ab}/360 = 0.992$

Daten für jede Farbe:

lab^*tch^* und lab^*icu^*

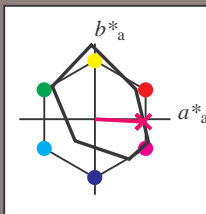
Bunttontexte:

$u^*_e = b75r$ $u^*_d = m33o$

Kontrastreduzierungsfaktor:

$c_R = 0.9$

Dreiecks-Helligkeit t^*



FRS09_92aM; adaptierte CIELAB-Daten

u^*_e	$L^*=L^*_a$	a^*_a	b^*_a	$C^*_{ab,a}$	$h^*_{ab,a}$
O _{Ma}	38.8	53.92	39.68	66.95	36
Y _{Ma}	82.58	-4.64	98.22	98.33	93
L _{Ma}	46.95	-56.34	43.46	71.15	142
C _{Ma}	54.62	-26.2	-28.68	38.85	228
V _{Ma}	20.01	45.2	-52.87	69.56	311
M _{Ma}	40.88	70.68	-29.99	76.78	337
N _{Ma}	15.0	0.0	0.0	0.0	0
W _{Ma}	90.0	0.0	0.0	0.0	0
R _{Ma}	39.92	58.74	27.99	65.07	25
J _{Ma}	81.26	-2.89	71.56	71.62	92
G _{Ma}	52.23	-42.42	13.6	44.55	162
B _{Ma}	30.57	1.41	-46.47	46.49	272

Daten für Maximalfarbe (Ma):

$LAB^*LAB^*_{Ma}$: 40 64 -3

$LAB^*LCH^*_{Ma}$: 40 64 357

$lab^*rgb^*_{Ma}$: 1.0 0.0 0.5

$lab^*olv^*_{Ma}$: 1.0 0.0 0.66

Dreiecks-Helligkeit t^*

%Umfang

$u^*_{rel} = 88$

%Regularität

$g^*_{H,rel} = 31$

$g^*_{C,rel} = 40$

FRS09_92aM; adaptierte CIELAB-Daten

u^*_e	$L^*=L^*_a$	a^*_a	b^*_a	$C^*_{ab,a}$	$h^*_{ab,a}$	u^*_d
r00j	39.18	56.94	27.13	63.07	25	m81o
r25j	42.41	49.1	44.5	66.26	42	o10y
r50j	52.78	35.22	58.37	68.17	59	o40y
r75j	64.82	19.12	74.47	76.89	76	o69y
j00g	82.06	-3.94	97.52	97.6	92	o98y
j25g	67.26	-26.87	74.67	79.36	110	y34l
j50g	55.83	-43.45	57.11	71.76	127	y69l
j75g	47.5	-54.18	38.3	66.35	145	l03c
g00b	50.07	-44.09	14.13	46.3	162	l23c
g25b	52.21	-35.66	-6.03	36.17	190	l55c
g50b	53.9	-29.04	-21.87	36.36	217	l87c
g75b	49.44	-15.51	-32.31	35.84	244	c20v
b00r	41.36	1.15	-37.95	37.97	272	c53v
b25r	28.74	27.19	-46.77	54.1	300	c87v
b50r	33.74	61.97	-37.81	72.59	329	v68m
b75r	40.08	64.26	-3.32	64.35	357	m33o

lab^*tch^*

$i^* = 1.00$

Brillantheit i^*

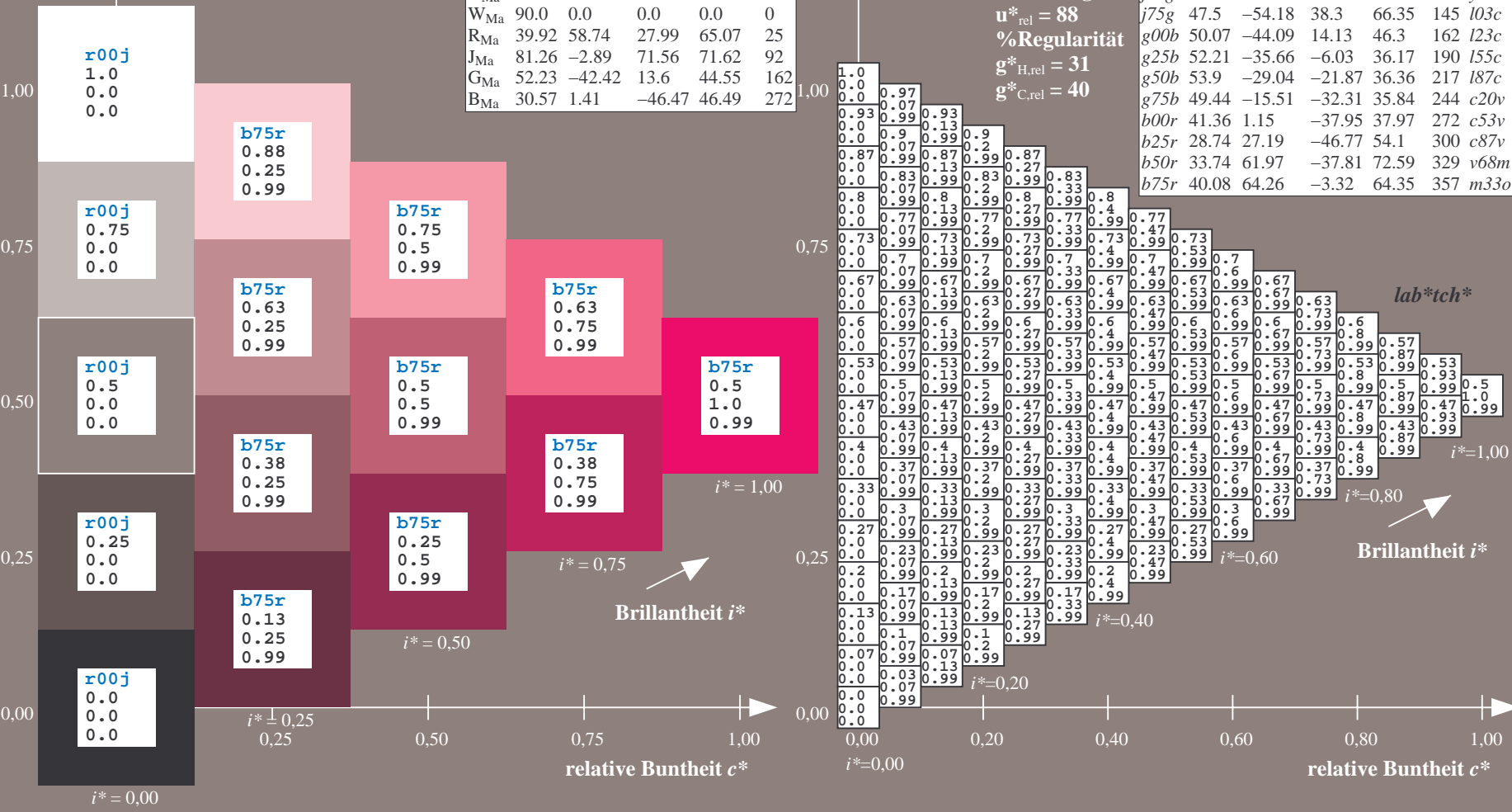
$i^* = 0.80$

$i^* = 0.60$

$i^* = 0.40$

$i^* = 0.20$

$i^* = 0.00$

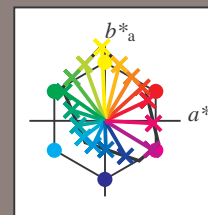


Siehe ähnliche Dateien: <http://www.ps.bam.de/Eg33>; www.ps.bam.de/Eg.HTM
Technische Information: <http://www.ps.bam.de> Version 2.1, io=1,1, ColSp=0

	A	B	C	D	E	F	G	H	I	J	K	L	M	N	O	P	Q	R	S	T	U	V	W	X	Y	Z	a	b	c	d	e	f	g	h	i	j	k	lab*tech*		
01	0.0	0.06	0.13	0.19	0.25	0.31	0.38	0.44	0.5	0.06	0.06	0.13	0.19	0.25	0.31	0.38	0.44	0.5	0.13	0.13	0.13	0.19	0.25	0.31	0.38	0.44	0.5	1.0	0.94	0.88	0.81	0.75	0.69	0.63	0.56	0.5	0.0	0.0	0.0	
	0.0	0.13	0.25	0.38	0.5	0.63	0.75	0.88	1.0	0.13	0.13	0.25	0.38	0.5	0.63	0.75	0.88	1.0	0.25	0.25	0.38	0.5	0.63	0.75	0.88	1.0	0.0	0.13	0.25	0.38	0.5	0.63	0.75	0.88	1.0	0.0	0.0	0.0	0.0	
	0.0	0.4	0.4	0.4	0.4	0.4	0.4	0.4	0.4	0.1	0.26	0.33	0.35	0.36	0.37	0.37	0.38	0.38	0.1	0.18	0.26	0.3	0.33	0.34	0.35	0.36	0.36	0.0	0.0	0.1	0.1	0.1	0.1	0.1	0.1	0.1	0.1	0.0	0.0	0.0
02	0.06	0.06	0.13	0.19	0.25	0.31	0.38	0.44	0.5	0.06	0.13	0.19	0.25	0.31	0.38	0.44	0.5	0.56	0.13	0.19	0.19	0.25	0.31	0.38	0.44	0.5	0.56	0.94	0.88	0.81	0.75	0.69	0.63	0.56	0.5	0.44	0.13	0.13	0.13	
	0.13	0.13	0.25	0.38	0.5	0.63	0.75	0.88	1.0	0.13	0.0	0.13	0.25	0.38	0.5	0.63	0.75	0.88	0.25	0.13	0.13	0.25	0.38	0.5	0.63	0.75	0.88	0.0	0.13	0.25	0.38	0.5	0.63	0.75	0.88	0.0	0.0	0.0	0.0	
	0.86	0.63	0.51	0.47	0.45	0.44	0.43	0.43	0.43	0.94	0.0	0.4	0.4	0.4	0.4	0.4	0.4	0.4	0.02	0.1	0.26	0.33	0.35	0.36	0.37	0.37	0.38	0.63	0.0	0.1	0.1	0.1	0.1	0.1	0.1	0.1	0.1	0.0	0.0	0.0
03	0.13	0.13	0.13	0.19	0.25	0.31	0.38	0.44	0.5	0.13	0.19	0.19	0.25	0.31	0.38	0.44	0.5	0.56	0.13	0.19	0.25	0.31	0.38	0.44	0.5	0.56	0.63	0.88	0.81	0.75	0.69	0.63	0.56	0.5	0.44	0.38	0.25	0.25	0.25	
	0.25	0.25	0.25	0.38	0.5	0.63	0.75	0.88	1.0	0.25	0.13	0.13	0.25	0.38	0.5	0.63	0.75	0.88	0.25	0.13	0.0	0.13	0.25	0.38	0.5	0.63	0.75	0.25	0.13	0.0	0.13	0.25	0.38	0.5	0.63	0.75	0.0	0.0	0.0	0.0
	0.86	0.75	0.63	0.55	0.51	0.49	0.47	0.46	0.45	0.9	0.86	0.63	0.51	0.47	0.45	0.44	0.43	0.43	0.94	0.94	0.0	0.4	0.4	0.4	0.4	0.4	0.4	0.4	0.63	0.63	0.0	0.1	0.1	0.1	0.1	0.1	0.1	0.0	0.0	0.0
04	0.19	0.19	0.19	0.19	0.25	0.31	0.38	0.44	0.5	0.19	0.25	0.25	0.25	0.31	0.38	0.44	0.5	0.56	0.19	0.25	0.31	0.31	0.38	0.44	0.5	0.56	0.63	0.81	0.75	0.69	0.63	0.56	0.5	0.44	0.38	0.31	0.38	0.38	0.38	
	0.38	0.38	0.38	0.38	0.5	0.63	0.75	0.88	1.0	0.38	0.25	0.25	0.25	0.38	0.5	0.63	0.75	0.88	0.38	0.25	0.13	0.13	0.25	0.38	0.5	0.63	0.75	0.38	0.25	0.13	0.0	0.13	0.25	0.38	0.5	0.63	0.0	0.0	0.0	0.0
	0.86	0.75	0.71	0.63	0.57	0.51	0.48	0.48	0.48	0.9	0.86	0.75	0.63	0.51	0.48	0.47	0.47	0.47	0.91	0.91	0.0	0.63	0.63	0.63	0.63	0.63	0.63	0.63	0.63	0.63	0.0	0.1	0.1	0.1	0.1	0.1	0.1	0.0	0.0	0.0
05	0.5	0.5	0.5	0.5	0.5	0.5	0.5	0.5	0.5	0.5	0.5	0.5	0.5	0.5	0.5	0.5	0.5	0.56	0.5	0.5	0.5	0.5	0.5	0.5	0.5	0.5	0.5	0.5	0.5	0.5	0.5	0.5	0.5	0.5	0.5	0.5	0.5	0.5	0.5	
	0.5	0.5	0.5	0.5	0.5	0.5	0.5	0.5	0.5	0.5	0.5	0.5	0.5	0.5	0.5	0.5	0.5	0.5	0.5	0.5	0.5	0.5	0.5	0.5	0.5	0.5	0.5	0.5	0.5	0.5	0.5	0.5	0.5	0.5	0.5	0.5	0.5	0.5	0.5	
	0.86	0.8	0.75	0.69	0.63	0.58	0.55	0.53	0.51	0.88	0.86	0.79	0.71	0.63	0.57	0.54	0.51	0.5	0.9	0.89	0.86	0.75	0.63	0.55	0.51	0.49	0.47	0.63	0.63	0.63	0.63	0.63	0.63	0.63	0.63	0.63	0.63	0.63	0.63	0.63
06	0.31	0.31	0.31	0.31	0.31	0.31	0.38	0.44	0.5	0.31	0.38	0.38	0.38	0.38	0.38	0.44	0.5	0.56	0.31	0.38	0.44	0.44	0.44	0.44	0.5	0.56	0.63	0.69	0.63	0.56	0.5	0.44	0.38	0.31	0.25	0.19	0.63	0.63	0.63	
	0.63	0.63	0.63	0.63	0.63	0.63	0.75	0.88	1.0	0.63	0.5	0.5	0.5	0.5	0.5	0.63	0.75	0.88	0.63	0.5	0.38	0.38	0.38	0.38	0.5	0.63	0.75	0.63	0.5	0.38	0.25	0.13	0.0	0.13	0.25	0.38	0.0	0.0	0.0	0.0
	0.86	0.82	0.77	0.72	0.68	0.63	0.59	0.56	0.54	0.88	0.86	0.8	0.75	0.69	0.63	0.58	0.55	0.53	0.89	0.88	0.86	0.79	0.71	0.63	0.57	0.54	0.51	0.63	0.63	0.63	0.63	0.63	0.63	0.63	0.63	0.63	0.63	0.63	0.63	0.63
07	0.38	0.38	0.38	0.38	0.38	0.38	0.38	0.38	0.44	0.5	0.38	0.44	0.44	0.44	0.44	0.44	0.44	0.5	0.56	0.38	0.44	0.5	0.5	0.5	0.5	0.5	0.56	0.63	0.63	0.56	0.5	0.44	0.38	0.31	0.25	0.19	0.13	0.75	0.75	0.75
	0.75	0.75	0.75	0.75	0.75	0.75	0.75	0.75	0.88	1.0	0.75	0.63	0.63	0.63	0.63	0.63	0.63	0.75	0.88	0.75	0.63	0.5	0.5	0.5	0.5	0.5	0.63	0.75	0.75	0.63	0.5	0.38	0.25	0.13	0.0	0.13	0.25	0.0	0.0	0.0
	0.86	0.82	0.79	0.75	0.71	0.67	0.63	0.6	0.57	0.87	0.86	0.82	0.77	0.72	0.68	0.63	0.59	0.56	0.89	0.88	0.86	0.8	0.75	0.69	0.63	0.58	0.55	0.63	0.63	0.63	0.63	0.63	0.63	0.63	0.63	0.63	0.63	0.63	0.63	0.63
08	0.44	0.44	0.44	0.44	0.44	0.44	0.44	0.44	0.5	0.44	0.5	0.5	0.5	0.5	0.5	0.5	0.5	0.56	0.44	0.5	0.56	0.56	0.56	0.56	0.56	0.56	0.56	0.56	0.56	0.56	0.56	0.56	0.56	0.56	0.56	0.56	0.56	0.56	0.56	
	0.88	0.88	0.88	0.88	0.88	0.88	0.88	0.88	0.88	1.0	0.88	0.75	0.75	0.75	0.75	0.75	0.75	0.88	0.88	0.75	0.63	0.63	0.63	0.63	0.63	0.63	0.75	0.88	0.88	0.75	0.63	0.5	0.38	0.25	0.13	0.0	0.13	0.0	0.0	
	0.86	0.83	0.8	0.76	0.73	0.7	0.67	0.63	0.6	0.87	0.86	0.82	0.79	0.75	0.71	0.67	0.63	0.6	0.88	0.87	0.86	0.82	0.77	0.72	0.68	0.63	0.59	0.63	0.63	0.63	0.63	0.63	0.63	0.63	0.63	0.63	0.63	0.63	0.63	0.63
09	0.5	0.5	0.5	0.5	0.5	0.5	0.5	0.5	0.5	0.5	0.5	0.5	0.5	0.5	0.5	0.5	0.5	0.56	0.5	0.56	0.56	0.56	0.56	0.56	0.56	0.56	0.56	0.56	0.56	0.56	0.56	0.56	0.56	0.56	0.56	0.56	0.56	0.56		
	1.0	1.0	1.0	1.0	1.0	1.0	1.0	1.0	1.0	1.0	1.0	0.88	0.88	0.88	0.88	0.88	0.88	0.88	1.0	0.88	0.75	0.75	0.75	0.75	0.75	0.75	0.75	0.75	0.75	0.75	0.75	0.75	0.75	0.75	0.75	0.75	0.75	0.75	0.75	
	0.86	0.83	0.8	0.78	0.75	0.72	0.69	0.66	0.63	0.87	0.86	0.83	0.8	0.76	0.73	0.7	0.67	0.63	0.88	0.87	0.86	0.82	0.79	0.75	0.71	0.67	0.63	0.63	0.63	0.63	0.63	0.63	0.63	0.63	0.63	0.63	0.63	0.63	0.63	
10	0.19	0.19	0.19	0.19	0.25	0.31	0.38	0.44	0.5	0.19	0.25	0.25	0.25	0.31	0.38	0.44	0.5	0.56	0.19	0.31	0.31	0.31	0.31	0.38	0.44	0.5	0.56	0.63	0.81	0.75	0.69	0.63	0.56	0.5	0.44	0.38	0.31	0.38	0.38	
	0.38	0.38	0.38	0.38	0.5	0.63	0.75	0.88	1.0	0.38	0.25	0.25	0.25	0.38	0.5	0.63	0.75	0.88	1.0	0.38	0.44	0.44	0.44	0.44	0.5	0.56	0.63	0.63	0.63	0.63	0.63	0.63	0.63	0.63	0.63	0.63	0.63	0.63	0.63	0.63
	0.86	0.75	0.71	0.63	0.57	0.51	0.48	0.48	0.48	0.9	0.86	0.75	0.63	0.51	0.48	0.47	0.47	0.47	0.91	0.91	0.0	0.63	0.63	0.63	0.63	0.63	0.63	0.63	0.63	0.63	0.63	0.63	0.63	0.63	0.63	0.63	0.63	0.63	0.63	0.63
11	0.19	0.25	0.25	0.25	0.31	0.38	0.44	0.5	0.56	0.25	0.31	0.31	0.31	0.38	0.44	0.5	0.56	0.31	0.38	0.38	0.38	0.38	0.44	0.5	0.56	0.63	0.81	0.75	0.69	0.63	0.56	0.5	0.44	0.38	0.31	0.25	0.19	0.63	0.63	0.63
	0.38	0.25	0.25	0.25	0.38	0.5	0.63	0.75	0.88	1.0	0.38	0.38	0.38	0.38	0.5	0.63	0.75	0.88	0.63	0.5	0.5	0.5	0.5	0.5	0.5	0.56	0.63	0.63	0.63	0.63	0.63	0.63	0.63	0.63	0.63	0.63	0.63	0.63	0.63	0.63
	0.05	0.1	0.18	0.26	0.3	0.33	0.34	0.35	0.36	0.06	0.1	0.15	0.21	0.26	0.29	0.31	0.33	0.34	0.07	0.1	0.14	0.18	0.22	0.26	0.29	0.3	0.32	0.86	0.86	0.86	0.86	0.86	0.86	0.86	0.86	0.86	0.86	0.86	0.86	
12	0.19	0.25	0.31	0.31	0.38	0.44	0.5	0.56	0.63	0.25	0.31	0.38	0.38	0.38	0.44	0.5	0.56	0.63	0.31	0.38	0.44	0.44	0.44	0.44	0.5	0.56	0.63	0.81	0.75	0.69	0.63	0.56	0.5	0.44	0.38	0.13	0.13	0.13	0.13	
	0.25	0.25	0.13	0.13	0.25	0.38	0.5	0.63	0.75	0.5	0.38	0.25	0.25	0.25	0.38</																									

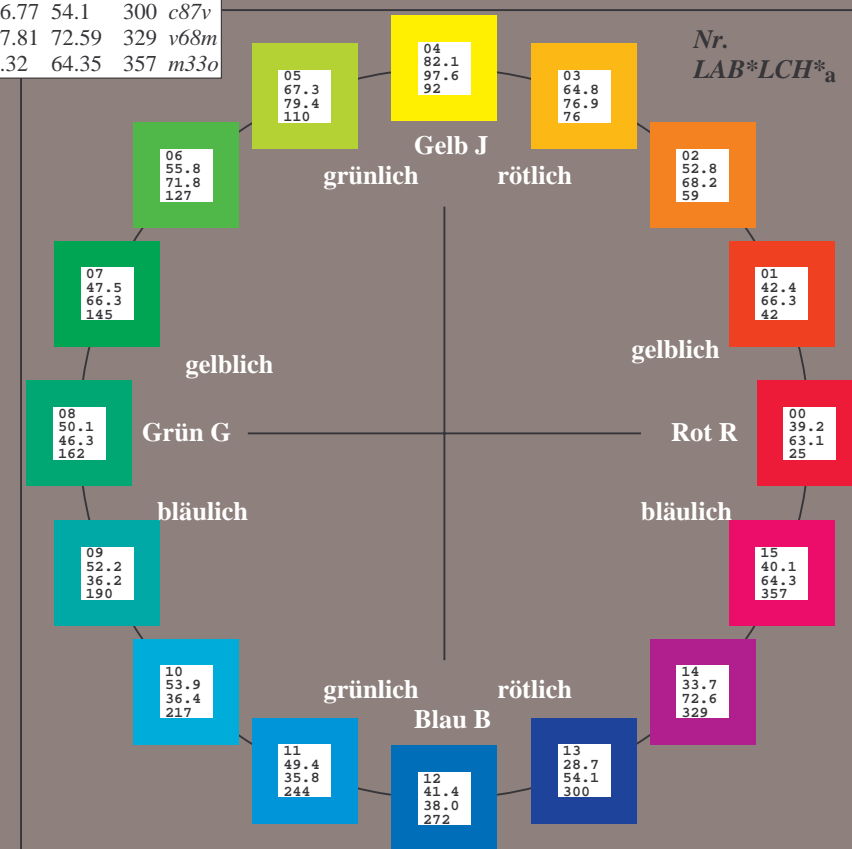
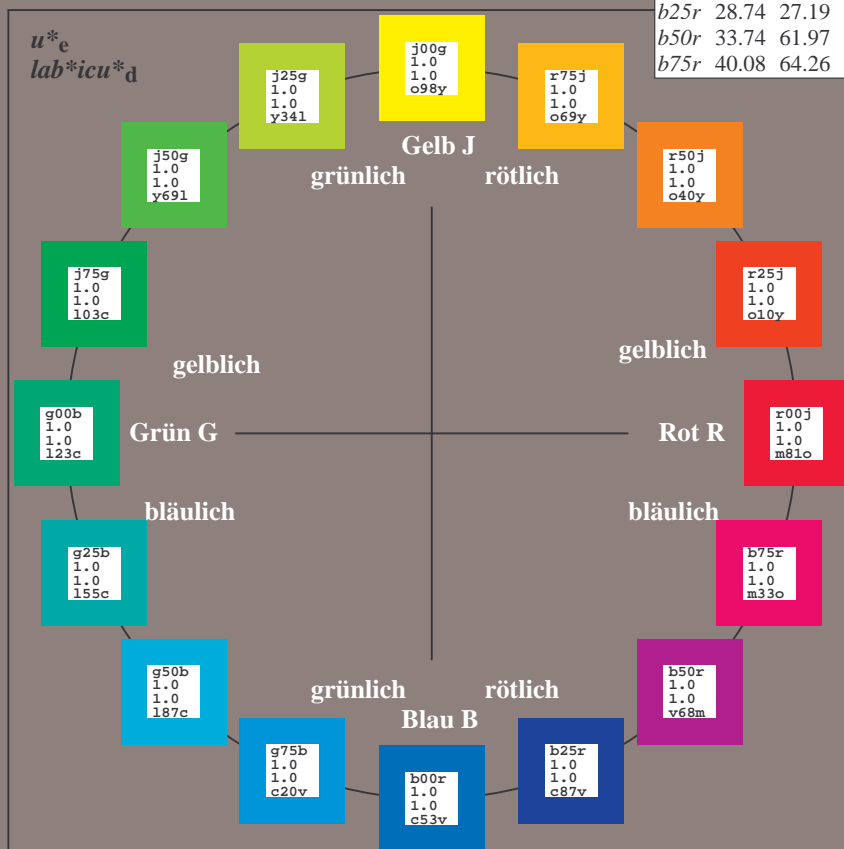
Ein und Ausgabe:
Farbmetrisches Drucker-Reflektiv-System FRS09_92aM
Daten für jede Farbe:
 u^*_e und Nummer $Nr.$ = 00 .. 15
Elementar-Bunttontext:
 $u^*_e = 16$ Bunttoene $r00j, r25j, \dots, b75r$
Kontrastreduzierungsfaktor:
 $c_R = 0.9$

FRS09_92aM; adaptierte CIELAB-Daten							
u^*_e	$L^*=L^*_a$	a^*_a	b^*_a	$C^*_{ab,a}$	$h^*_{ab,a}$	u^*_d	
$r00j$	39.18	56.94	27.13	63.07	25	$m81o$	
$r25j$	42.41	49.1	44.5	66.26	42	$o10y$	
$r50j$	52.78	35.22	58.37	68.17	59	$o40y$	
$r75j$	64.82	19.12	74.47	76.89	76	$o69y$	
$j00g$	82.06	-3.94	97.52	97.6	92	$o98y$	
$j25g$	67.26	-26.87	74.67	79.36	110	$y34l$	
$j50g$	55.83	-43.45	57.11	71.76	127	$y69l$	
$j75g$	47.5	-54.18	38.3	66.35	145	$l03c$	
$g00b$	50.07	-44.09	14.13	46.3	162	$l23c$	
$g25b$	52.21	-35.66	-6.03	36.17	190	$l55c$	
$g50b$	53.9	-29.04	-21.87	36.36	217	$l87c$	
$g75b$	49.44	-15.51	-32.31	35.84	244	$c20v$	
$b00r$	41.36	1.15	-37.95	37.97	272	$c53v$	
$b25r$	28.74	27.19	-46.77	54.1	300	$c87v$	
$b50r$	33.74	61.97	-37.81	72.59	329	$v68m$	
$b75r$	40.08	64.26	-3.32	64.35	357	$m33o$	



%Umfang
 $u^*_{rel} = 88$
%Regularität
 $g^*_{H,rel} = 31$
 $g^*_{C,rel} = 40$

FRS09_92aM; adaptierte CIELAB-Daten					
Name	$L^*=L^*_a$	a^*_a	b^*_a	$C^*_{ab,a}$	$h^*_{ab,a}$
O _{Ma}	38.8	53.92	39.68	66.95	36
Y _{Ma}	82.58	-4.64	98.22	98.33	93
L _{Ma}	46.95	-56.34	43.46	71.15	142
C _{Ma}	54.62	-26.2	-28.68	38.85	228
V _{Ma}	20.01	45.2	-52.87	69.56	311
M _{Ma}	40.88	70.68	-29.99	76.78	337
N _{Ma}	15.0	0.0	0.0	0.0	0
W _{Ma}	90.0	0.0	0.0	0.0	0
R _{CIE}	39.92	58.74	27.99	65.07	25
J _{CIE}	81.26	-2.89	71.56	71.62	92
G _{CIE}	52.23	-42.42	13.6	44.55	162
B _{CIE}	30.57	1.41	-46.47	46.49	272



Ein und Ausgabe: Farbmetrisches Drucker-Reflektiv-System FRS09_92aM für relativen CIELAB-Buntton $h^* = lab^*h^* = h_{ab}/360 = 0.071$

Daten für jede Farbe:

lab^*ch^* und lab^*icu^*

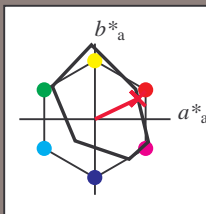
Bunttontexte:

$u^*_e = r00j$ $u^*_d = m81o$

Kontrastreduzierungsfaktor:

$c_R = 0.9$

Dreiecks-Helligkeit i^*



FRS09_92aM; adaptierte CIELAB-Daten

u^*_e	$L^*=L^*_a$	a^*_a	b^*_a	$C^*_{ab,a}$	$h^*_{ab,a}$
O _{Ma}	38.8	53.92	39.68	66.95	36
Y _{Ma}	82.58	-4.64	98.22	98.33	93
L _{Ma}	46.95	-56.34	43.46	71.15	142
C _{Ma}	54.62	-26.2	-28.68	38.85	228
V _{Ma}	20.01	45.2	-52.87	69.56	311
M _{Ma}	40.88	70.68	-29.99	76.78	337
N _{Ma}	15.0	0.0	0.0	0.0	0
W _{Ma}	90.0	0.0	0.0	0.0	0
R _{Ma}	39.92	58.74	27.99	65.07	25
J _{Ma}	81.26	-2.89	71.56	71.62	92
G _{Ma}	52.23	-42.42	13.6	44.55	162
B _{Ma}	30.57	1.41	-46.47	46.49	272

Daten für Maximalfarbe (Ma):

$LAB^*LAB^*_{Ma}$: 39 57 27

$LAB^*LCH^*_{Ma}$: 39 63 25

$lab^*rgb^*_{Ma}$: 1.0 0.0 0.0

$lab^*olv^*_{Ma}$: 1.0 0.0 0.18

Dreiecks-Helligkeit i^*

%Umfang

$u^*_{rel} = 88$

%Regularität

$g^*_{H,rel} = 31$

$g^*_{C,rel} = 40$

FRS09_92aM; adaptierte CIELAB-Daten

u^*_e	$L^*=L^*_a$	a^*_a	b^*_a	$C^*_{ab,a}$	$h^*_{ab,a}$	u^*_d
r00j	39.18	56.94	27.13	63.07	25	m81o
r25j	42.41	49.1	44.5	66.26	42	o10y
r50j	52.78	35.22	58.37	68.17	59	o40y
r75j	64.82	19.12	74.47	76.89	76	o69y
j00g	82.06	-3.94	97.52	97.6	92	o98y
j25g	67.26	-26.87	74.67	79.36	110	y34l
j50g	55.83	-43.45	57.11	71.76	127	y69l
j75g	47.5	-54.18	38.3	66.35	145	i03c
g00b	50.07	-44.09	14.13	46.3	162	i23c
g25b	52.21	-35.66	-6.03	36.17	190	i55c
g50b	53.9	-29.04	-21.87	36.36	217	i87c
g75b	49.44	-15.51	-32.31	35.84	244	c20v
b00r	41.36	1.15	-37.95	37.97	272	c53v
b25r	28.74	27.19	-46.77	54.1	300	c87v
b50r	33.74	61.97	-37.81	72.59	329	v68m
b75r	40.08	64.26	-3.32	64.35	357	m33o

$lab^*icu^*_d$

$i^*=1.00$

Brillantheit i^*

$i^*=0.80$

$i^*=0.60$

$i^*=0.40$

$i^*=0.20$

$i^*=0.00$

relative Buntheit c^*

relative Buntheit c^*

Ein und Ausgabe: Farbmetrisches Drucker-Reflektiv-System FRS09_92aM für relativen CIELAB-Buntton $h^* = \text{lab}^*h^* = h_{ab}/360 = 0.117$

Daten für jede Farbe:

lab^*tch^* und lab^*icu^*

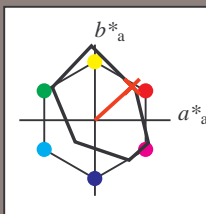
Bunttontexte:

$u^*_e = r25j$ $u^*_d = o10y$

Kontrastreduzierungsfaktor:

$c_R = 0.9$

Dreiecks-Helligkeit t^*



FRS09_92aM; adaptierte CIELAB-Daten

	u^*_e	$L^*=L^*_a$	a^*_a	b^*_a	$C^*_{ab,a}$	$h^*_{ab,a}$
O _{Ma}	38.8	53.92	39.68	66.95	36	
Y _{Ma}	82.58	-4.64	98.22	98.33	93	
L _{Ma}	46.95	-56.34	43.46	71.15	142	
C _{Ma}	54.62	-26.2	-28.68	38.85	228	
V _{Ma}	20.01	45.2	-52.87	69.56	311	
M _{Ma}	40.88	70.68	-29.99	76.78	337	
N _{Ma}	15.0	0.0	0.0	0.0	0	
W _{Ma}	90.0	0.0	0.0	0.0	0	
R _{Ma}	39.92	58.74	27.99	65.07	25	
J _{Ma}	81.26	-2.89	71.56	71.62	92	
G _{Ma}	52.23	-42.42	13.6	44.55	162	
B _{Ma}	30.57	1.41	-46.47	46.49	272	

Daten für Maximalfarbe (Ma):

$\text{LAB}^*\text{LAB}^*_{\text{Ma}}$: 42 49 44

$\text{LAB}^*\text{LCH}^*_{\text{Ma}}$: 42 66 42

$\text{lab}^*\text{rgb}^*_{\text{Ma}}$: 1.0 0.25 0.0

$\text{lab}^*\text{olv}^*_{\text{Ma}}$: 1.0 0.1 0.0

Dreiecks-Helligkeit t^*

%Umfang

$u^*_{\text{rel}} = 88$

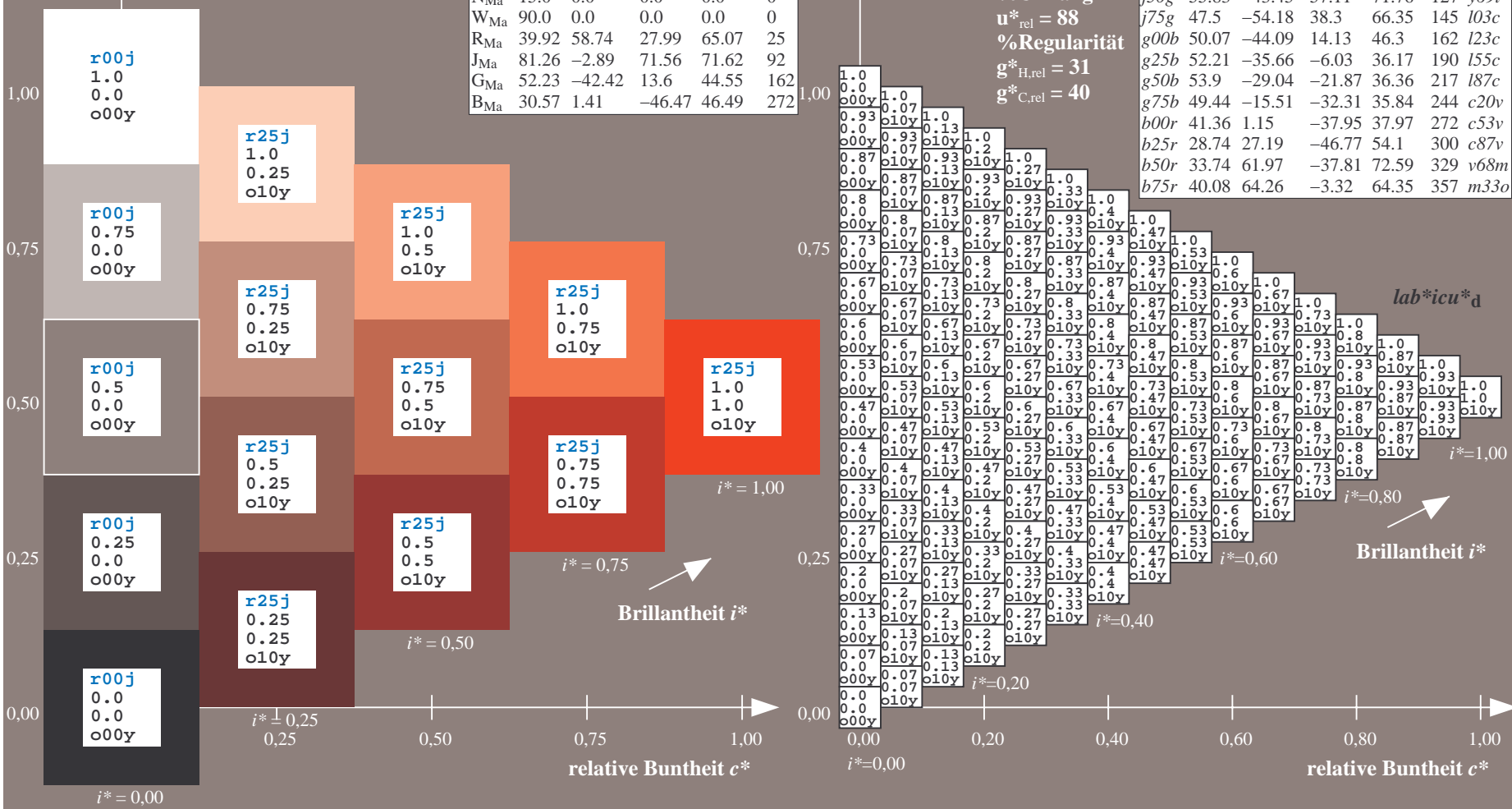
%Regularität

$g^*_{H,\text{rel}} = 31$

$g^*_{C,\text{rel}} = 40$

FRS09_92aM; adaptierte CIELAB-Daten

	u^*_e	$L^*=L^*_a$	a^*_a	b^*_a	$C^*_{ab,a}$	$h^*_{ab,a}$	u^*_d
r00j	39.18	56.94	27.13	63.07	25	m81o	
r25j	42.41	49.1	44.5	66.26	42	o10y	
r50j	52.78	35.22	58.37	68.17	59	o40y	
r75j	64.82	19.12	74.47	76.89	76	o69y	
j00g	82.06	-3.94	97.52	97.6	92	o98y	
j25g	67.26	-26.87	74.67	79.36	110	y34l	
j50g	55.83	-43.45	57.11	71.76	127	y69l	
j75g	47.5	-54.18	38.3	66.35	145	l03c	
g00b	50.07	-44.09	14.13	46.3	162	l23c	
g25b	52.21	-35.66	-6.03	36.17	190	l55c	
g50b	53.9	-29.04	-21.87	36.36	217	l87c	
g75b	49.44	-15.51	-32.31	35.84	244	c20v	
b00r	41.36	1.15	-37.95	37.97	272	c53v	
b25r	28.74	27.19	-46.77	54.1	300	c87v	
b50r	33.74	61.97	-37.81	72.59	329	v68m	
b75r	40.08	64.26	-3.32	64.35	357	m33o	



Ein und Ausgabe: Farbmetrisches Drucker-Reflektiv-System FRS09_92aM für relativen CIELAB-Buntton $h^* = lab^*h^* = h_{ab}/360 = 0.164$

Daten für jede Farbe:

lab^*ch^* und lab^*icu^*

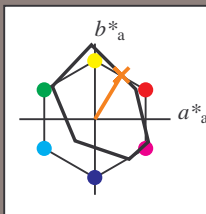
Bunttontexte:

$u^*_e = r50j$ $u^*_d = o40y$

Kontrastreduzierungsfaktor:

$c_R = 0.9$

Dreiecks-Helligkeit i^*



FRS09_92aM; adaptierte CIELAB-Daten

	u^*_e	$L^*=L^*_a$	a^*_a	b^*_a	$C^*_{ab,a}$	$h^*_{ab,a}$
O _{Ma}	38.8	53.92	39.68	66.95	36	
Y _{Ma}	82.58	-4.64	98.22	98.33	93	
L _{Ma}	46.95	-56.34	43.46	71.15	142	
C _{Ma}	54.62	-26.2	-28.68	38.85	228	
V _{Ma}	20.01	45.2	-52.87	69.56	311	
M _{Ma}	40.88	70.68	-29.99	76.78	337	
N _{Ma}	15.0	0.0	0.0	0.0	0	
W _{Ma}	90.0	0.0	0.0	0.0	0	
R _{Ma}	39.92	58.74	27.99	65.07	25	
J _{Ma}	81.26	-2.89	71.56	71.62	92	
G _{Ma}	52.23	-42.42	13.6	44.55	162	
B _{Ma}	30.57	1.41	-46.47	46.49	272	

Daten für Maximalfarbe (Ma):

$LAB^*LAB^*_{Ma}$: 53 35 58

$LAB^*LCH^*_{Ma}$: 53 68 58

$lab^*rgb^*_{Ma}$: 1.0 0.5 0.0

$lab^*olv^*_{Ma}$: 1.0 0.4 0.0

Dreiecks-Helligkeit i^*

%Umfang

$u^*_{rel} = 88$

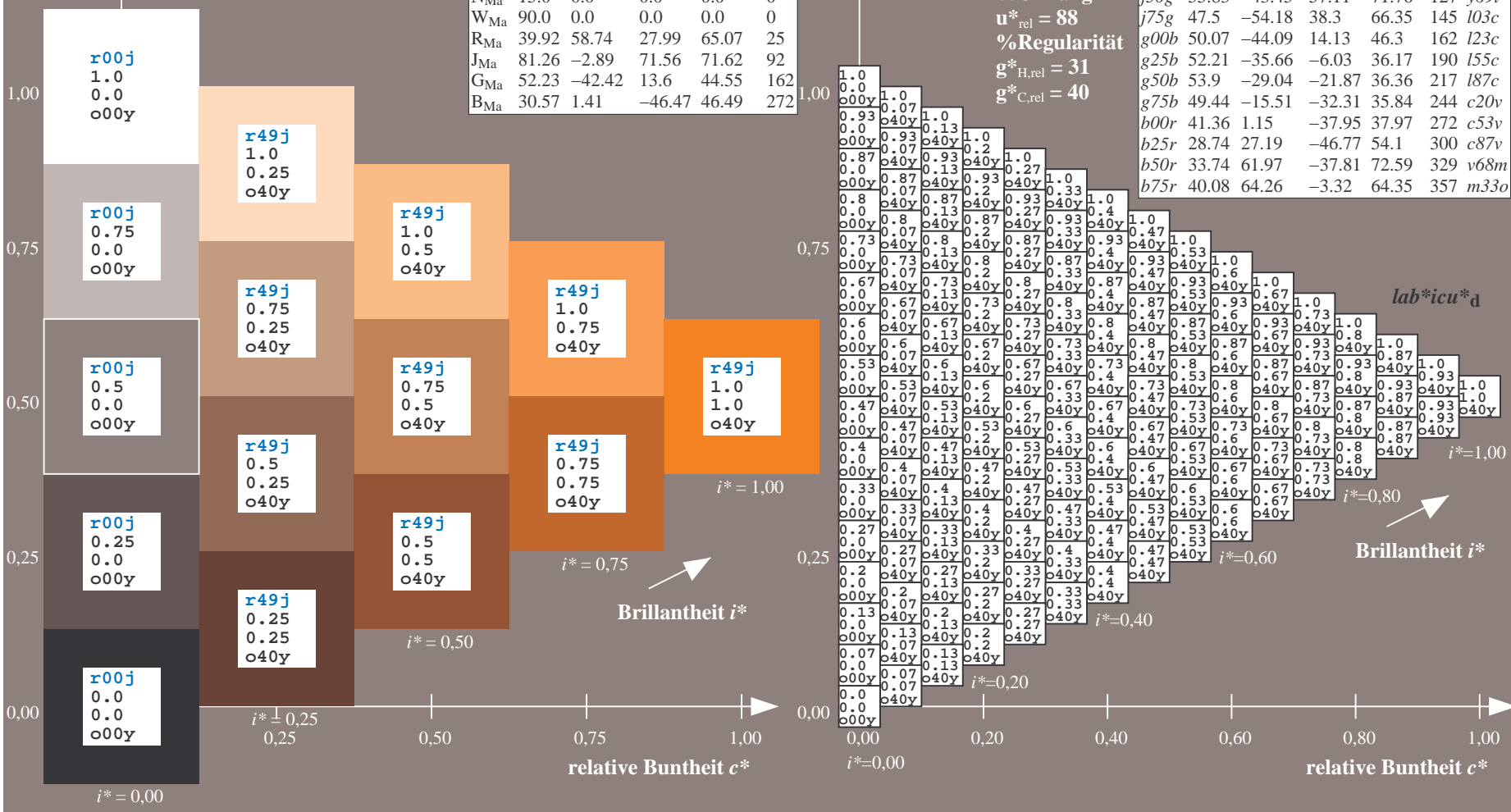
%Regularität

$g^*_{H,rel} = 31$

$g^*_{C,rel} = 40$

FRS09_92aM; adaptierte CIELAB-Daten

	u^*_e	$L^*=L^*_a$	a^*_a	b^*_a	$C^*_{ab,a}$	$h^*_{ab,a}$	u^*_d
r00j	39.18	56.94	27.13	63.07	25	m81o	
r25j	42.41	49.1	44.5	66.26	42	o10y	
r50j	52.78	35.22	58.37	68.17	59	o40y	
r75j	64.82	19.12	74.47	76.89	76	o69y	
j00g	82.06	-3.94	97.52	97.6	92	o98y	
j25g	67.26	-26.87	74.67	79.36	110	y34l	
j50g	55.83	-43.45	57.11	71.76	127	y69l	
j75g	47.5	-54.18	38.3	66.35	145	i03c	
g00b	50.07	-44.09	14.13	46.3	162	i23c	
g25b	52.21	-35.66	-6.03	36.17	190	i55c	
g50b	53.9	-29.04	-21.87	36.36	217	i87c	
g75b	49.44	-15.51	-32.31	35.84	244	c20v	
b00r	41.36	1.15	-37.95	37.97	272	c53v	
b25r	28.74	27.19	-46.77	54.1	300	c87v	
b50r	33.74	61.97	-37.81	72.59	329	v68m	
b75r	40.08	64.26	-3.32	64.35	357	m33o	



Ein und Ausgabe: Farbmetrisches Drucker-Reflektiv-System FRS09_92aM für relativen CIELAB-Buntton $h^* = lab^*h^* = h_{ab}/360 = 0.21$

Daten für jede Farbe:

lab^*ch^* und lab^*icu^*

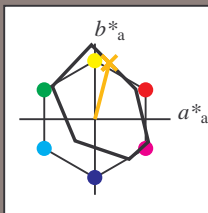
Bunttontexte:

$u^*_e = r75j$ $u^*_d = o69y$

Kontrastreduzierungsfaktor:

$c_R = 0.9$

Dreiecks-Helligkeit i^*



FRS09_92aM; adaptierte CIELAB-Daten

u^*_e	$L^*=L^*_a$	a^*_a	b^*_a	$C^*_{ab,a}$	$h^*_{ab,a}$
O _{Ma}	38.8	53.92	39.68	66.95	36
Y _{Ma}	82.58	-4.64	98.22	98.33	93
L _{Ma}	46.95	-56.34	43.46	71.15	142
C _{Ma}	54.62	-26.2	-28.68	38.85	228
V _{Ma}	20.01	45.2	-52.87	69.56	311
M _{Ma}	40.88	70.68	-29.99	76.78	337
N _{Ma}	15.0	0.0	0.0	0.0	0
W _{Ma}	90.0	0.0	0.0	0.0	0
R _{Ma}	39.92	58.74	27.99	65.07	25
J _{Ma}	81.26	-2.89	71.56	71.62	92
G _{Ma}	52.23	-42.42	13.6	44.55	162
B _{Ma}	30.57	1.41	-46.47	46.49	272

Daten für Maximalfarbe (Ma):

$LAB^*LAB^*_{Ma}$: 65 19 74

$LAB^*LCH^*_{Ma}$: 65 77 75

$lab^*rgb^*_{Ma}$: 1.0 0.75 0.0

$lab^*olv^*_{Ma}$: 1.0 0.7 0.0

Dreiecks-Helligkeit i^*

%Umfang

$u^*_{rel} = 88$

%Regularität

$g^*_{H,rel} = 31$

$g^*_{C,rel} = 40$

FRS09_92aM; adaptierte CIELAB-Daten

u^*_e	$L^*=L^*_a$	a^*_a	b^*_a	$C^*_{ab,a}$	$h^*_{ab,a}$	u^*_d
r00j	39.18	56.94	27.13	63.07	25	m81o
r25j	42.41	49.1	44.5	66.26	42	o10y
r50j	52.78	35.22	58.37	68.17	59	o40y
r75j	64.82	19.12	74.47	76.89	76	o69y
j00g	82.06	-3.94	97.52	97.6	92	o98y
j25g	67.26	-26.87	74.67	79.36	110	y34l
j50g	55.83	-43.45	57.11	71.76	127	y69l
j75g	47.5	-54.18	38.3	66.35	145	l03c
g00b	50.07	-44.09	14.13	46.3	162	l23c
g25b	52.21	-35.66	-6.03	36.17	190	l55c
g50b	53.9	-29.04	-21.87	36.36	217	l87c
g75b	49.44	-15.51	-32.31	35.84	244	c20v
b00r	41.36	1.15	-37.95	37.97	272	c53v
b25r	28.74	27.19	-46.77	54.1	300	c87v
b50r	33.74	61.97	-37.81	72.59	329	v68m
b75r	40.08	64.26	-3.32	64.35	357	m33o

$lab^*icu^*_d$

$i^* = 1.00$

Brillantheit i^*

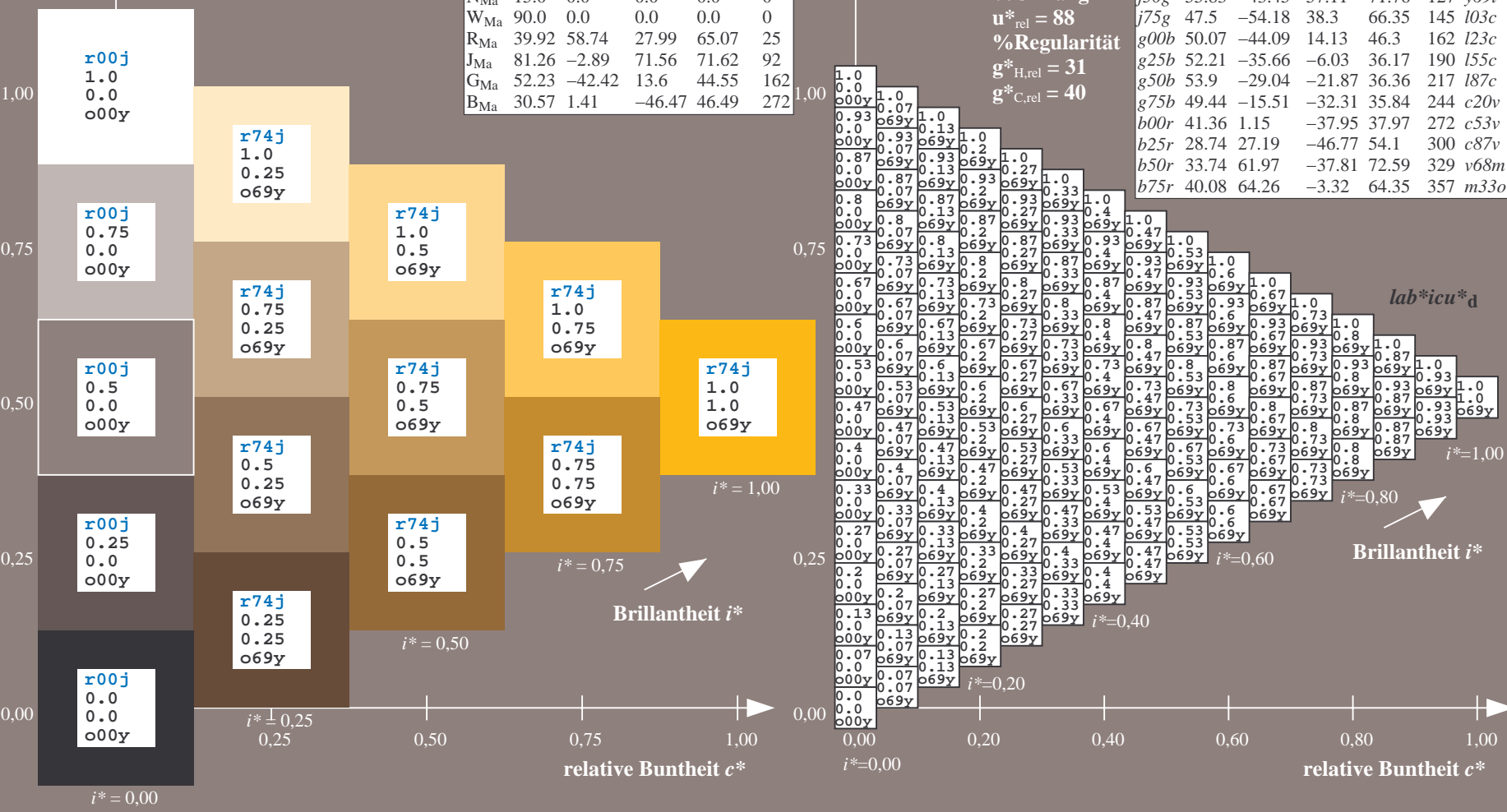
$i^* = 0.80$

$i^* = 0.60$

$i^* = 0.40$

$i^* = 0.20$

$i^* = 0.00$



Ein und Ausgabe: Farbmetrisches Drucker-Reflektiv-System FRS09_92aM für relativen CIELAB-Buntton $h^* = lab^*h^* = h_{ab}/360 = 0.256$

Daten für jede Farbe:

lab^*ch^* und lab^*icu^*

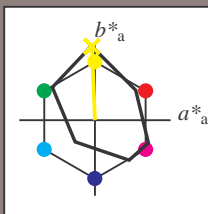
Bunttontexte:

$u^*_e = j00g$ $u^*_d = o98y$

Kontrastreduzierungsfaktor:

$c_R = 0.9$

Dreiecks-Helligkeit i^*



FRS09_92aM; adaptierte CIELAB-Daten

u^*_e	$L^*=L^*_a$	a^*_a	b^*_a	$C^*_{ab,a}$	$h^*_{ab,a}$
O _{Ma}	38.8	53.92	39.68	66.95	36
Y _{Ma}	82.58	-4.64	98.22	98.33	93
L _{Ma}	46.95	-56.34	43.46	71.15	142
C _{Ma}	54.62	-26.2	-28.68	38.85	228
V _{Ma}	20.01	45.2	-52.87	69.56	311
M _{Ma}	40.88	70.68	-29.99	76.78	337
N _{Ma}	15.0	0.0	0.0	0.0	0
W _{Ma}	90.0	0.0	0.0	0.0	0
R _{Ma}	39.92	58.74	27.99	65.07	25
J _{Ma}	81.26	-2.89	71.56	71.62	92
G _{Ma}	52.23	-42.42	13.6	44.55	162
B _{Ma}	30.57	1.41	-46.47	46.49	272

Daten für Maximalfarbe (Ma):

$LAB^*LAB^*_{Ma}$: 82 -4 98

$LAB^*LCH^*_{Ma}$: 82 98 92

$lab^*rgb^*_{Ma}$: 1.0 1.0 0.0

$lab^*olv^*_{Ma}$: 1.0 0.99 0.0

Dreiecks-Helligkeit i^*

%Umfang

$u^*_{rel} = 88$

%Regularität

$g^*_{H,rel} = 31$

$g^*_{C,rel} = 40$

FRS09_92aM; adaptierte CIELAB-Daten

u^*_e	$L^*=L^*_a$	a^*_a	b^*_a	$C^*_{ab,a}$	$h^*_{ab,a}$	u^*_d
r00j	39.18	56.94	27.13	63.07	25	m81o
r25j	42.41	49.1	44.5	66.26	42	o10y
r50j	52.78	35.22	58.37	68.17	59	o40y
r75j	64.82	19.12	74.47	76.89	76	o69y
j00g	82.06	-3.94	97.52	97.6	92	o98y
j25g	67.26	-26.87	74.67	79.36	110	y34l
j50g	55.83	-43.45	57.11	71.76	127	y69l
j75g	47.5	-54.18	38.3	66.35	145	l03c
g00b	50.07	-44.09	14.13	46.3	162	l23c
g25b	52.21	-35.66	-6.03	36.17	190	l55c
g50b	53.9	-29.04	-21.87	36.36	217	l87c
g75b	49.44	-15.51	-32.31	35.84	244	c20v
b00r	41.36	1.15	-37.95	37.97	272	c53v
b25r	28.74	27.19	-46.77	54.1	300	c87v
b50r	33.74	61.97	-37.81	72.59	329	v68m
b75r	40.08	64.26	-3.32	64.35	357	m33o

$lab^*icu^*_d$

$i^* = 1.00$

Brillantheit i^*

$i^* = 0.80$

$i^* = 0.60$

$i^* = 0.40$

$i^* = 0.20$

$i^* = 0.00$

relative Buntheit c^*

Ein und Ausgabe: Farbmetrisches Drucker-Reflektiv-System FRS09_92aM für relativen CIELAB-Buntton $h^* = lab^*h^* = h_{ab}/360 = 0.305$

Daten für jede Farbe:

lab^*ch^* und lab^*icu^*

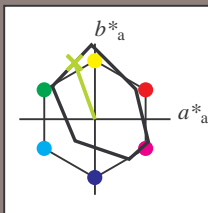
Bunttontexte:

$u^*_e = j25g$ $u^*_d = y34l$

Kontrastreduzierungsfaktor:

$c_R = 0.9$

Dreiecks-Helligkeit i^*



FRS09_92aM; adaptierte CIELAB-Daten

u^*_e	$L^*=L^*_a$	a^*_a	b^*_a	$C^*_{ab,a}$	$h^*_{ab,a}$
O _{Ma}	38.8	53.92	39.68	66.95	36
Y _{Ma}	82.58	-4.64	98.22	98.33	93
L _{Ma}	46.95	-56.34	43.46	71.15	142
C _{Ma}	54.62	-26.2	-28.68	38.85	228
V _{Ma}	20.01	45.2	-52.87	69.56	311
M _{Ma}	40.88	70.68	-29.99	76.78	337
N _{Ma}	15.0	0.0	0.0	0.0	0
W _{Ma}	90.0	0.0	0.0	0.0	0
R _{Ma}	39.92	58.74	27.99	65.07	25
J _{Ma}	81.26	-2.89	71.56	71.62	92
G _{Ma}	52.23	-42.42	13.6	44.55	162
B _{Ma}	30.57	1.41	-46.47	46.49	272

Daten für Maximalfarbe (Ma):

$LAB^*LAB^*_{Ma}$: 67 -27 75

$LAB^*LCH^*_{Ma}$: 67 79 109

$lab^*rgb^*_{Ma}$: 0.75 1.0 0.0

$lab^*olv^*_{Ma}$: 0.66 1.0 0.0

Dreiecks-Helligkeit i^*

%Umfang

$u^*_{rel} = 88$

%Regularität

$g^*_{H,rel} = 31$

$g^*_{C,rel} = 40$

FRS09_92aM; adaptierte CIELAB-Daten

u^*_e	$L^*=L^*_a$	a^*_a	b^*_a	$C^*_{ab,a}$	$h^*_{ab,a}$	u^*_d
r00j	39.18	56.94	27.13	63.07	25	m81o
r25j	42.41	49.1	44.5	66.26	42	o10y
r50j	52.78	35.22	58.37	68.17	59	o40y
r75j	64.82	19.12	74.47	76.89	76	o69y
j00g	82.06	-3.94	97.52	97.6	92	o98y
j25g	67.26	-26.87	74.67	79.36	110	y34l
j50g	55.83	-43.45	57.11	71.76	127	y69l
j75g	47.5	-54.18	38.3	66.35	145	i03c
g00b	50.07	-44.09	14.13	46.3	162	i23c
g25b	52.21	-35.66	-6.03	36.17	190	i55c
g50b	53.9	-29.04	-21.87	36.36	217	i87c
g75b	49.44	-15.51	-32.31	35.84	244	c20v
b00r	41.36	1.15	-37.95	37.97	272	c53v
b25r	28.74	27.19	-46.77	54.1	300	c87v
b50r	33.74	61.97	-37.81	72.59	329	v68m
b75r	40.08	64.26	-3.32	64.35	357	m33o

$lab^*icu^*_d$

$i^* = 1.00$

Brillantheit i^*

$i^* = 0.80$

$i^* = 0.60$

$i^* = 0.40$

$i^* = 0.20$

$i^* = 0.00$

relative Bunttheit c^*

relative Bunttheit c^*

Ein und Ausgabe: Farbmetrisches Drucker-Reflektiv-System FRS09_92aM für relativen CIELAB-Buntton $h^* = lab^*h^* = h_{ab}/360 = 0.354$

Daten für jede Farbe:

lab^*tch^* und lab^*icu^*

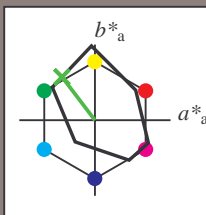
Bunttontexte:

$u^*_e = j50g$ $u^*_d = y69l$

Kontrastreduzierungsfaktor:

$c_R = 0.9$

Dreiecks-Helligkeit t^*



FRS09_92aM; adaptierte CIELAB-Daten						
u^*_e	$L^*=L^*_a$	a^*_a	b^*_a	$C^*_{ab,a}$	$h^*_{ab,a}$	
O _{Ma}	38.8	53.92	39.68	66.95	36	
Y _{Ma}	82.58	-4.64	98.22	98.33	93	
L _{Ma}	46.95	-56.34	43.46	71.15	142	
C _{Ma}	54.62	-26.2	-28.68	38.85	228	
V _{Ma}	20.01	45.2	-52.87	69.56	311	
M _{Ma}	40.88	70.68	-29.99	76.78	337	
N _{Ma}	15.0	0.0	0.0	0.0	0	
W _{Ma}	90.0	0.0	0.0	0.0	0	
R _{Ma}	39.92	58.74	27.99	65.07	25	
J _{Ma}	81.26	-2.89	71.56	71.62	92	
G _{Ma}	52.23	-42.42	13.6	44.55	162	
B _{Ma}	30.57	1.41	-46.47	46.49	272	

Daten für Maximalfarbe (Ma):

$LAB^*LAB^*_{Ma}$: 56 -43 57

$LAB^*LCH^*_{Ma}$: 56 72 127

$lab^*rgb^*_{Ma}$: 0.5 1.0 0.0

$lab^*olv^*_{Ma}$: 0.3 1.0 0.0

Dreiecks-Helligkeit t^*

%Umfang

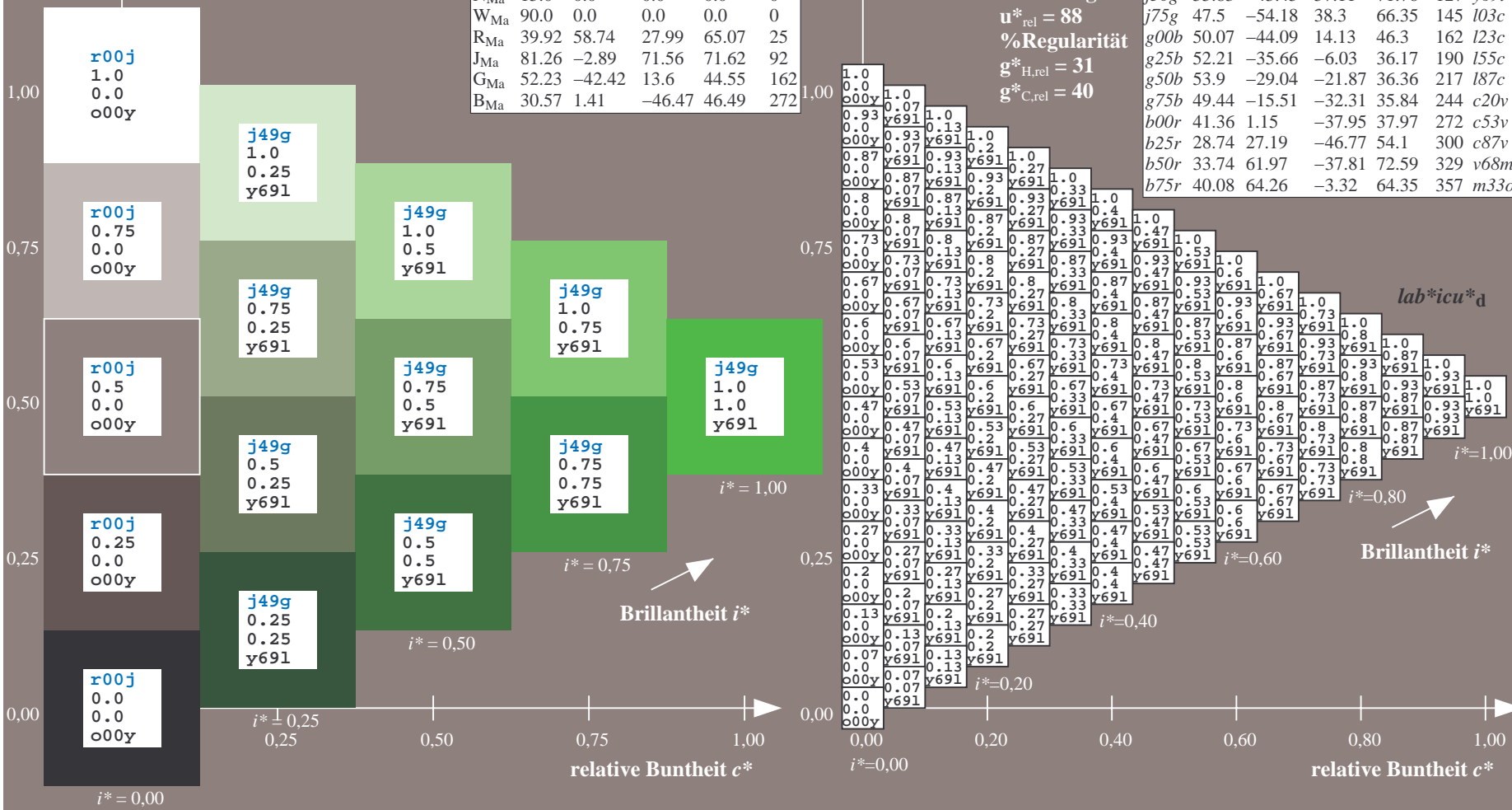
$u^*_{rel} = 88$

%Regularität

$g^*_{H,rel} = 31$

$g^*_{C,rel} = 40$

FRS09_92aM; adaptierte CIELAB-Daten						
u^*_e	$L^*=L^*_a$	a^*_a	b^*_a	$C^*_{ab,a}$	$h^*_{ab,a}$	u^*_d
r00j	39.18	56.94	27.13	63.07	25	m81o
r25j	42.41	49.1	44.5	66.26	42	o10y
r50j	52.78	35.22	58.37	68.17	59	o40y
r75j	64.82	19.12	74.47	76.89	76	o69y
j00g	82.06	-3.94	97.52	97.6	92	o98y
j25g	67.26	-26.87	74.67	79.36	110	y34l
j50g	55.83	-43.45	57.11	71.76	127	y69l
j75g	47.5	-54.18	38.3	66.35	145	l03c
g00b	50.07	-44.09	14.13	46.3	162	l23c
g25b	52.21	-35.66	-6.03	36.17	190	l55c
g50b	53.9	-29.04	-21.87	36.36	217	l87c
g75b	49.44	-15.51	-32.31	35.84	244	c20v
b00r	41.36	1.15	-37.95	37.97	272	c53v
b25r	28.74	27.19	-46.77	54.1	300	c87v
b50r	33.74	61.97	-37.81	72.59	329	v68m
b75r	40.08	64.26	-3.32	64.35	357	m33o



Ein und Ausgabe: Farbmetrisches Drucker-Reflektiv-System FRS09_92aM für relativen CIELAB-Buntton $h^* = lab^*h^* = h_{ab}/360 = 0.402$

Daten für jede Farbe:

lab^*tch^* und lab^*icu^*

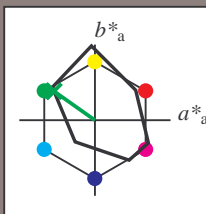
Bunttontexte:

$u^*_e = j75g$ $u^*_d = i03c$

Kontrastreduzierungsfaktor:

$c_R = 0.9$

Dreiecks-Helligkeit i^*



FRS09_92aM; adaptierte CIELAB-Daten

	u^*_e	$L^*=L^*_a$	a^*_a	b^*_a	$C^*_{ab,a}$	$h^*_{ab,a}$
O _{Ma}	38.8	53.92	39.68	66.95	36	
Y _{Ma}	82.58	-4.64	98.22	98.33	93	
L _{Ma}	46.95	-56.34	43.46	71.15	142	
C _{Ma}	54.62	-26.2	-28.68	38.85	228	
V _{Ma}	20.01	45.2	-52.87	69.56	311	
M _{Ma}	40.88	70.68	-29.99	76.78	337	
N _{Ma}	15.0	0.0	0.0	0.0	0	
W _{Ma}	90.0	0.0	0.0	0.0	0	
R _{Ma}	39.92	58.74	27.99	65.07	25	
J _{Ma}	81.26	-2.89	71.56	71.62	92	
G _{Ma}	52.23	-42.42	13.6	44.55	162	
B _{Ma}	30.57	1.41	-46.47	46.49	272	

Daten für Maximalfarbe (Ma):

$LAB^*LAB^*_{Ma}$: 48 -54 38

$LAB^*LCH^*_{Ma}$: 48 66 144

$lab^*rgb^*_{Ma}$: 0.25 1.0 0.0

$lab^*olv^*_{Ma}$: 0.0 1.0 0.03

Dreiecks-Helligkeit i^*

%Umfang

$u^*_{rel} = 88$

%Regularität

$g^*_{H,rel} = 31$

$g^*_{C,rel} = 40$

FRS09_92aM; adaptierte CIELAB-Daten

	u^*_e	$L^*=L^*_a$	a^*_a	b^*_a	$C^*_{ab,a}$	$h^*_{ab,a}$	u^*_d
r00j	39.18	56.94	27.13	63.07	25	m81o	
r25j	42.41	49.1	44.5	66.26	42	o10y	
r50j	52.78	35.22	58.37	68.17	59	o40y	
r75j	64.82	19.12	74.47	76.89	76	o69y	
j00g	82.06	-3.94	97.52	97.6	92	o98y	
j25g	67.26	-26.87	74.67	79.36	110	y34l	
j50g	55.83	-43.45	57.11	71.76	127	y69l	
j75g	47.5	-54.18	38.3	66.35	145	i03c	
g00b	50.07	-44.09	14.13	46.3	162	i23c	
g25b	52.21	-35.66	-6.03	36.17	190	i55c	
g50b	53.9	-29.04	-21.87	36.36	217	i87c	
g75b	49.44	-15.51	-32.31	35.84	244	c20v	
b00r	41.36	1.15	-37.95	37.97	272	c53v	
b25r	28.74	27.19	-46.77	54.1	300	c87v	
b50r	33.74	61.97	-37.81	72.59	329	v68m	
b75r	40.08	64.26	-3.32	64.35	357	m33o	

$lab^*icu^*_d$

$i^* = 1.00$

Brillantheit i^*

$i^* = 0.80$

$i^* = 0.60$

$i^* = 0.40$

$i^* = 0.20$

$i^* = 0.00$

relative Buntheit c^*

Ein und Ausgabe: Farbmetrisches Drucker-Reflektiv-System FRS09_92aM für relativen CIELAB-Buntton $h^* = lab^*h^* = h_{ab}/360 = 0.451$

Daten für jede Farbe:

lab^*ch^* und lab^*icu^*

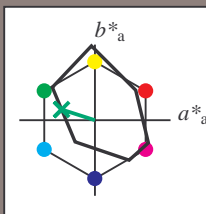
Bunttontexte:

$u^*_e = g00b$ $u^*_d = l23c$

Kontrastreduzierungsfaktor:

$c_R = 0.9$

Dreiecks-Helligkeit i^*



FRS09_92aM; adaptierte CIELAB-Daten						
u^*_e	$L^*=L^*_a$	a^*_a	b^*_a	$C^*_{ab,a}$	$h^*_{ab,a}$	
O _{Ma}	38.8	53.92	39.68	66.95	36	
Y _{Ma}	82.58	-4.64	98.22	98.33	93	
L _{Ma}	46.95	-56.34	43.46	71.15	142	
C _{Ma}	54.62	-26.2	-28.68	38.85	228	
V _{Ma}	20.01	45.2	-52.87	69.56	311	
M _{Ma}	40.88	70.68	-29.99	76.78	337	
N _{Ma}	15.0	0.0	0.0	0.0	0	
W _{Ma}	90.0	0.0	0.0	0.0	0	
R _{Ma}	39.92	58.74	27.99	65.07	25	
J _{Ma}	81.26	-2.89	71.56	71.62	92	
G _{Ma}	52.23	-42.42	13.6	44.55	162	
B _{Ma}	30.57	1.41	-46.47	46.49	272	

Daten für Maximalfarbe (Ma):

$LAB^*LAB^*_{Ma}$: 50 -44 14

$LAB^*LCH^*_{Ma}$: 50 46 162

$lab^*rgb^*_{Ma}$: 0.0 1.0 0.0

$lab^*olv^*_{Ma}$: 0.0 1.0 0.23

Dreiecks-Helligkeit i^*

%Umfang

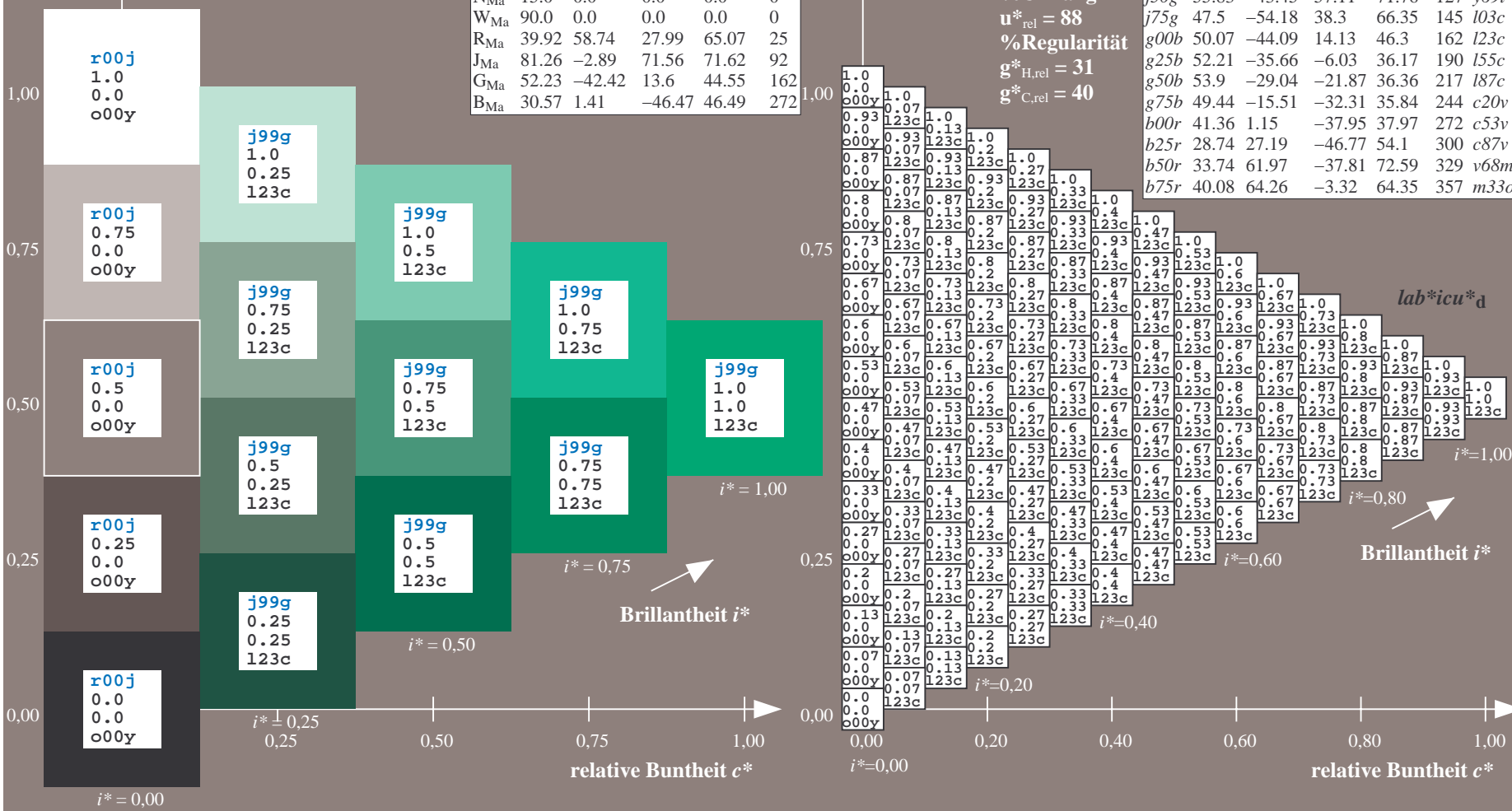
$u^*_{rel} = 88$

%Regularität

$g^*_{H,rel} = 31$

$g^*_{C,rel} = 40$

FRS09_92aM; adaptierte CIELAB-Daten						
u^*_e	$L^*=L^*_a$	a^*_a	b^*_a	$C^*_{ab,a}$	$h^*_{ab,a}$	u^*_d
r00j	39.18	56.94	27.13	63.07	25	m81o
r25j	42.41	49.1	44.5	66.26	42	o10y
r50j	52.78	35.22	58.37	68.17	59	o40y
r75j	64.82	19.12	74.47	76.89	76	o69y
j00g	82.06	-3.94	97.52	97.6	92	o98y
j25g	67.26	-26.87	74.67	79.36	110	y34l
j50g	55.83	-43.45	57.11	71.76	127	y69l
j75g	47.5	-54.18	38.3	66.35	145	i03c
g00b	50.07	-44.09	14.13	46.3	162	i23c
g25b	52.21	-35.66	-6.03	36.17	190	i55c
g50b	53.9	-29.04	-21.87	36.36	217	i87c
g75b	49.44	-15.51	-32.31	35.84	244	c20v
b00r	41.36	1.15	-37.95	37.97	272	c53v
b25r	28.74	27.19	-46.77	54.1	300	c87v
b50r	33.74	61.97	-37.81	72.59	329	v68m
b75r	40.08	64.26	-3.32	64.35	357	m33o



Ein und Ausgabe: Farbmetrisches Drucker-Reflektiv-System FRS09_92aM für relativen CIELAB-Buntton $h^* = \text{lab}^*h^* = h_{ab}/360 = 0.527$

Daten für jede Farbe:

lab^*tch^* und lab^*icu^*

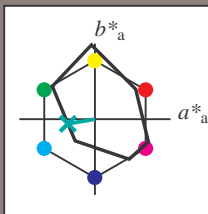
Bunttontexte:

$u^*_e = g25b$ $u^*_d = l55c$

Kontrastreduzierungsfaktor:

$c_R = 0.9$

Dreiecks-Helligkeit i^*



FRS09_92aM; adaptierte CIELAB-Daten

u^*_e	$L^*=L^*_a$	a^*_a	b^*_a	$C^*_{ab,a}$	$h^*_{ab,a}$
O _{Ma}	38.8	53.92	39.68	66.95	36
Y _{Ma}	82.58	-4.64	98.22	98.33	93
L _{Ma}	46.95	-56.34	43.46	71.15	142
C _{Ma}	54.62	-26.2	-28.68	38.85	228
V _{Ma}	20.01	45.2	-52.87	69.56	311
M _{Ma}	40.88	70.68	-29.99	76.78	337
W _{Ma}	15.0	0.0	0.0	0.0	0
N _{Ma}	90.0	0.0	0.0	0.0	0
R _{Ma}	39.92	58.74	27.99	65.07	25
J _{Ma}	81.26	-2.89	71.56	71.62	92
G _{Ma}	52.23	-42.42	13.6	44.55	162
B _{Ma}	30.57	1.41	-46.47	46.49	272

Daten für Maximalfarbe (Ma):

$\text{LAB}^*\text{LAB}^*_{\text{Ma}}$: 52 -36 -6

$\text{LAB}^*\text{LCH}^*_{\text{Ma}}$: 52 36 189

$\text{lab}^*\text{rgb}^*_{\text{Ma}}$: 0.0 1.0 0.5

$\text{lab}^*\text{olv}^*_{\text{Ma}}$: 0.0 1.0 0.55

Dreiecks-Helligkeit i^*

%Umfang

$u^*_{\text{rel}} = 88$

%Regularität

$g^*_{H,\text{rel}} = 31$

$g^*_{C,\text{rel}} = 40$

FRS09_92aM; adaptierte CIELAB-Daten

u^*_e	$L^*=L^*_a$	a^*_a	b^*_a	$C^*_{ab,a}$	$h^*_{ab,a}$	u^*_d
r00j	39.18	56.94	27.13	63.07	25	m81o
r25j	42.41	49.1	44.5	66.26	42	o10y
r50j	52.78	35.22	58.37	68.17	59	o40y
r75j	64.82	19.12	74.47	76.89	76	o69y
j00g	82.06	-3.94	97.52	97.6	92	o98y
j25g	67.26	-26.87	74.67	79.36	110	y34l
j50g	55.83	-43.45	57.11	71.76	127	y69l
j75g	47.5	-54.18	38.3	66.35	145	l03c
g00b	50.07	-44.09	14.13	46.3	162	l23c
g25b	52.21	-35.66	-6.03	36.17	190	l55c
g50b	53.9	-29.04	-21.87	36.36	217	l87c
g75b	49.44	-15.51	-32.31	35.84	244	c20v
b00r	41.36	1.15	-37.95	37.97	272	c53v
b25r	28.74	27.19	-46.77	54.1	300	c87v
b50r	33.74	61.97	-37.81	72.59	329	v68m
b75r	40.08	64.26	-3.32	64.35	357	m33o

$\text{lab}^*\text{icu}^*_d$

$i^* = 1.00$

Brillantheit i^*

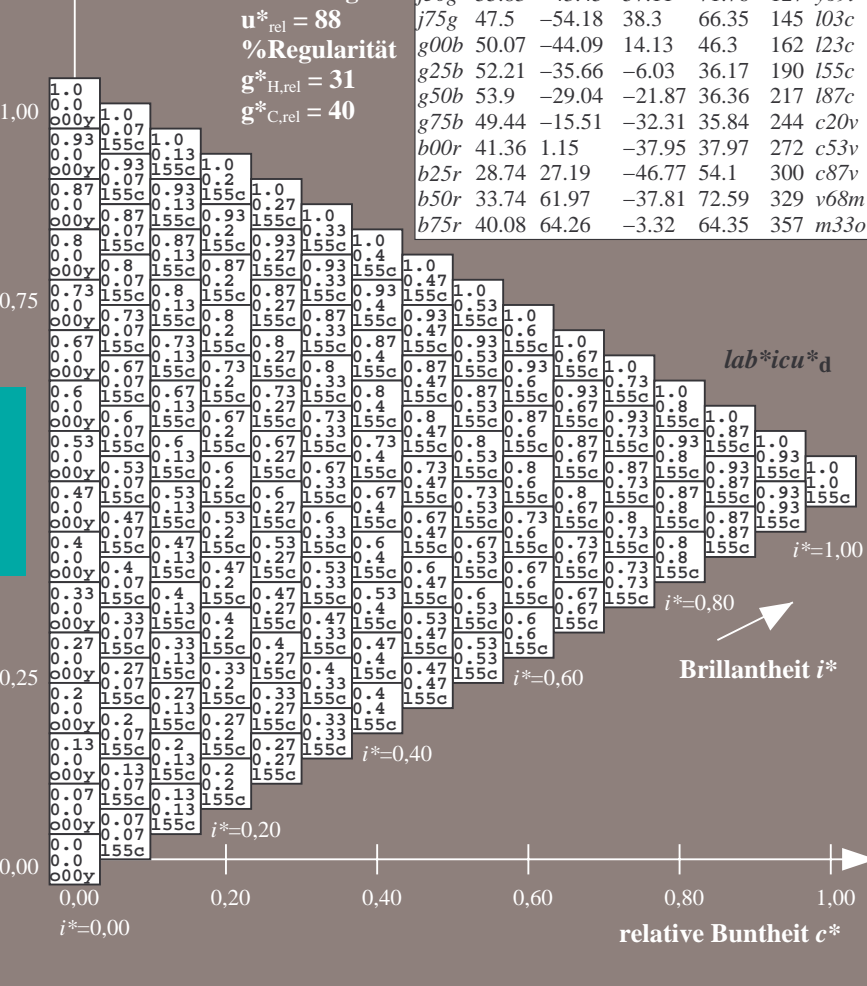
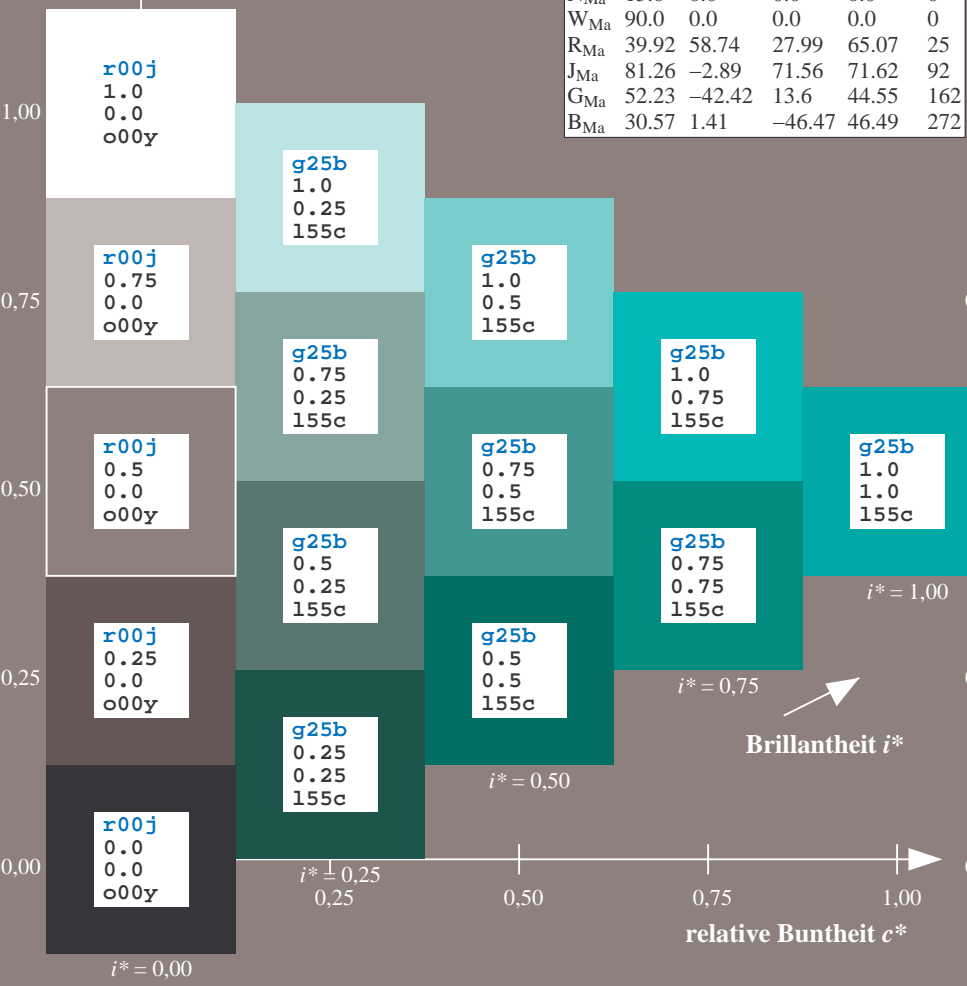
$i^* = 0.80$

$i^* = 0.60$

$i^* = 0.40$

$i^* = 0.20$

$i^* = 0.00$



Ein und Ausgabe: Farbmetrisches Drucker-Reflektiv-System FRS09_92aM für relativen CIELAB-Buntton $h^* = \text{lab}^*h^* = h_{ab}/360 = 0.603$

Daten für jede Farbe:

lab^*tch^* und lab^*icu^*

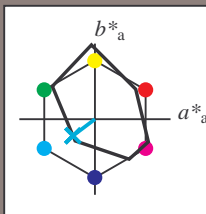
Bunttontexte:

$u^*_e = g50b$ $u^*_d = 187c$

Kontrastreduzierungsfaktor:

$c_R = 0.9$

Dreiecks-Helligkeit t^*



FRS09_92aM; adaptierte CIELAB-Daten

u^*_e	$L^*=L^*_a$	a^*_a	b^*_a	$C^*_{ab,a}$	$h^*_{ab,a}$
O _{Ma}	38.8	53.92	39.68	66.95	36
Y _{Ma}	82.58	-4.64	98.22	98.33	93
L _{Ma}	46.95	-56.34	43.46	71.15	142
C _{Ma}	54.62	-26.2	-28.68	38.85	228
V _{Ma}	20.01	45.2	-52.87	69.56	311
M _{Ma}	40.88	70.68	-29.99	76.78	337
N _{Ma}	15.0	0.0	0.0	0.0	0
W _{Ma}	90.0	0.0	0.0	0.0	0
R _{Ma}	39.92	58.74	27.99	65.07	25
J _{Ma}	81.26	-2.89	71.56	71.62	92
G _{Ma}	52.23	-42.42	13.6	44.55	162
B _{Ma}	30.57	1.41	-46.47	46.49	272

Daten für Maximalfarbe (Ma):

$\text{LAB}^*\text{LAB}^*_{Ma}$: 54 -29 -22

$\text{LAB}^*\text{LCH}^*_{Ma}$: 54 36 216

$\text{lab}^*\text{rgb}^*_{Ma}$: 0.0 1.0 1.0

$\text{lab}^*\text{olv}^*_{Ma}$: 0.0 1.0 0.88

Dreiecks-Helligkeit t^*

%Umfang

$u^*_{rel} = 88$

%Regularität

$g^*_{H,rel} = 31$

$g^*_{C,rel} = 40$

FRS09_92aM; adaptierte CIELAB-Daten

u^*_e	$L^*=L^*_a$	a^*_a	b^*_a	$C^*_{ab,a}$	$h^*_{ab,a}$	u^*_d
r00j	39.18	56.94	27.13	63.07	25	m81o
r25j	42.41	49.1	44.5	66.26	42	o10y
r50j	52.78	35.22	58.37	68.17	59	o40y
r75j	64.82	19.12	74.47	76.89	76	o69y
j00g	82.06	-3.94	97.52	97.6	92	o98y
j25g	67.26	-26.87	74.67	79.36	110	y34l
j50g	55.83	-43.45	57.11	71.76	127	y69l
j75g	47.5	-54.18	38.3	66.35	145	l03c
g00b	50.07	-44.09	14.13	46.3	162	l23c
g25b	52.21	-35.66	-6.03	36.17	190	l55c
g50b	53.9	-29.04	-21.87	36.36	217	l87c
g75b	49.44	-15.51	-32.31	35.84	244	c20v
b00r	41.36	1.15	-37.95	37.97	272	c53v
b25r	28.74	27.19	-46.77	54.1	300	c87v
b50r	33.74	61.97	-37.81	72.59	329	v68m
b75r	40.08	64.26	-3.32	64.35	357	m33o

$\text{lab}^*icu^*_d$

$i^*=1.00$

Brillantheit i^*

$i^*=0.80$

$i^*=0.60$

$i^*=0.40$

$i^*=0.20$

$i^*=0.00$

relative Buntheit c^*

Ein und Ausgabe: Farbmetrisches Drucker-Reflektiv-System FRS09_92aM für relativen CIELAB-Buntton $h^* = lab^*h^* = h_{ab}/360 = 0.679$

Daten für jede Farbe:

lab^*tch^* und lab^*icu^*

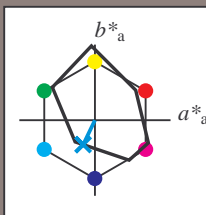
Bunttontexte:

$u^*_e = g75b$ $u^*_d = c20v$

Kontrastreduzierungsfaktor:

$c_R = 0.9$

Dreiecks-Helligkeit t^*



FRS09_92aM; adaptierte CIELAB-Daten

	u^*_e	$L^*=L^*_a$	a^*_a	b^*_a	$C^*_{ab,a}$	$h^*_{ab,a}$
O _{Ma}	38.8	53.92	39.68	66.95	36	
Y _{Ma}	82.58	-4.64	98.22	98.33	93	
L _{Ma}	46.95	-56.34	43.46	71.15	142	
C _{Ma}	54.62	-26.2	-28.68	38.85	228	
V _{Ma}	20.01	45.2	-52.87	69.56	311	
M _{Ma}	40.88	70.68	-29.99	76.78	337	
N _{Ma}	15.0	0.0	0.0	0.0	0	
W _{Ma}	90.0	0.0	0.0	0.0	0	
R _{Ma}	39.92	58.74	27.99	65.07	25	
J _{Ma}	81.26	-2.89	71.56	71.62	92	
G _{Ma}	52.23	-42.42	13.6	44.55	162	
B _{Ma}	30.57	1.41	-46.47	46.49	272	

Daten für Maximalfarbe (Ma):

$LAB^*LAB^*_{Ma}$: 49 -16 -32

$LAB^*LCH^*_{Ma}$: 49 36 244

$lab^*rgb^*_{Ma}$: 0.0 0.5 1.0

$lab^*olv^*_{Ma}$: 0.0 0.8 1.0

Dreiecks-Helligkeit t^*

%Umfang

$u^*_{rel} = 88$

%Regularität

$g^*_{H,rel} = 31$

$g^*_{C,rel} = 40$

FRS09_92aM; adaptierte CIELAB-Daten

	u^*_e	$L^*=L^*_a$	a^*_a	b^*_a	$C^*_{ab,a}$	$h^*_{ab,a}$	u^*_d
r00j	39.18	56.94	27.13	63.07	25	m81o	
r25j	42.41	49.1	44.5	66.26	42	o10y	
r50j	52.78	35.22	58.37	68.17	59	o40y	
r75j	64.82	19.12	74.47	76.89	76	o69y	
j00g	82.06	-3.94	97.52	97.6	92	o98y	
j25g	67.26	-26.87	74.67	79.36	110	y34l	
j50g	55.83	-43.45	57.11	71.76	127	y69l	
j75g	47.5	-54.18	38.3	66.35	145	i03c	
g00b	50.07	-44.09	14.13	46.3	162	i23c	
g25b	52.21	-35.66	-6.03	36.17	190	i55c	
g50b	53.9	-29.04	-21.87	36.36	217	i87c	
g75b	49.44	-15.51	-32.31	35.84	244	c20v	
b00r	41.36	1.15	-37.95	37.97	272	c53v	
b25r	28.74	27.19	-46.77	54.1	300	c87v	
b50r	33.74	61.97	-37.81	72.59	329	v68m	
b75r	40.08	64.26	-3.32	64.35	357	m33o	

$lab^*icu^*_d$

$i^*=1.00$

Brillantheit i^*

$i^*=0.80$

$i^*=0.60$

$i^*=0.40$

$i^*=0.20$

$i^*=0.00$

relative Buntheit c^*

relative Buntheit c^*

Ein und Ausgabe: Farbmetrisches Drucker-Reflektiv-System FRS09_92aM für relativen CIELAB-Buntton $h^* = lab^*h^* = h_{ab}/360 = 0.755$

Daten für jede Farbe:

lab^*ch^* und lab^*icu^*

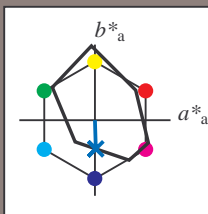
Bunttontexte:

$u^*_e = b00r$ $u^*_d = c53v$

Kontrastreduzierungsfaktor:

$c_R = 0.9$

Dreiecks-Helligkeit i^*



FRS09_92aM; adaptierte CIELAB-Daten						
u^*_e	$L^*=L^*_a$	a^*_a	b^*_a	$C^*_{ab,a}$	$h^*_{ab,a}$	
O _{Ma}	38.8	53.92	39.68	66.95	36	
Y _{Ma}	82.58	-4.64	98.22	98.33	93	
L _{Ma}	46.95	-56.34	43.46	71.15	142	
C _{Ma}	54.62	-26.2	-28.68	38.85	228	
V _{Ma}	20.01	45.2	-52.87	69.56	311	
M _{Ma}	40.88	70.68	-29.99	76.78	337	
N _{Ma}	15.0	0.0	0.0	0.0	0	
W _{Ma}	90.0	0.0	0.0	0.0	0	
R _{Ma}	39.92	58.74	27.99	65.07	25	
J _{Ma}	81.26	-2.89	71.56	71.62	92	
G _{Ma}	52.23	-42.42	13.6	44.55	162	
B _{Ma}	30.57	1.41	-46.47	46.49	272	

Daten für Maximalfarbe (Ma):

$LAB^*LAB^*_{Ma}$: 41 1 -38

$LAB^*LCH^*_{Ma}$: 41 38 271

$lab^*rgb^*_{Ma}$: 0.0 0.0 1.0

$lab^*olv^*_{Ma}$: 0.0 0.47 1.0

Dreiecks-Helligkeit i^*

%Umfang

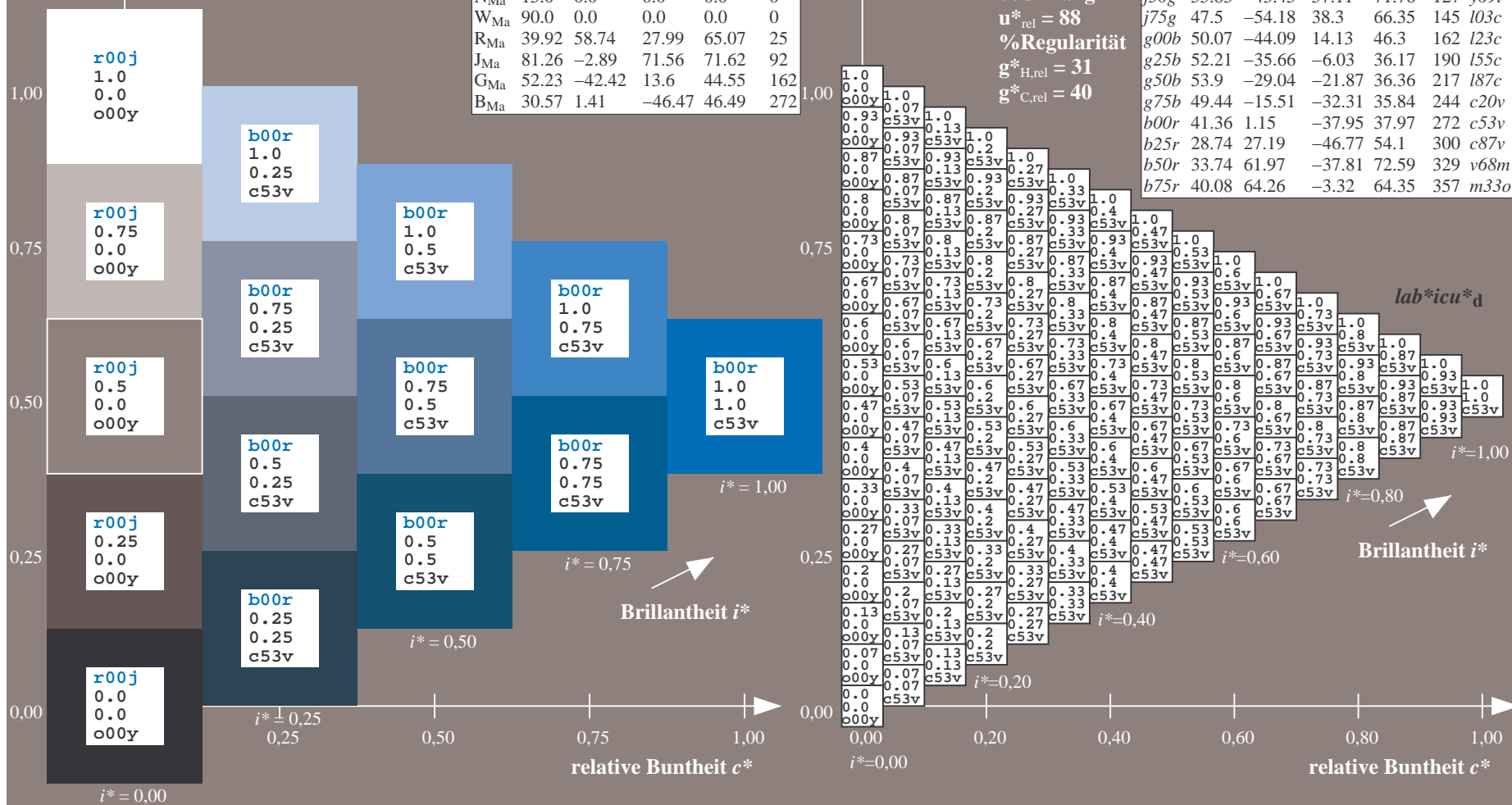
$u^*_{rel} = 88$

%Regularität

$g^*_{H,rel} = 31$

$g^*_{C,rel} = 40$

FRS09_92aM; adaptierte CIELAB-Daten						
u^*_e	$L^*=L^*_a$	a^*_a	b^*_a	$C^*_{ab,a}$	$h^*_{ab,a}$	u^*_d
r00j	39.18	56.94	27.13	63.07	25	m81o
r25j	42.41	49.1	44.5	66.26	42	o10y
r50j	52.78	35.22	58.37	68.17	59	o40y
r75j	64.82	19.12	74.47	76.89	76	o69y
j00g	82.06	-3.94	97.52	97.6	92	o98y
j25g	67.26	-26.87	74.67	79.36	110	y34l
j50g	55.83	-43.45	57.11	71.76	127	y69l
j75g	47.5	-54.18	38.3	66.35	145	i03c
g00b	50.07	-44.09	14.13	46.3	162	i23c
g25b	52.21	-35.66	-6.03	36.17	190	i55c
g50b	53.9	-29.04	-21.87	36.36	217	i87c
g75b	49.44	-15.51	-32.31	35.84	244	c20v
b00r	41.36	1.15	-37.95	37.97	272	c53v
b25r	28.74	27.19	-46.77	54.1	300	c87v
b50r	33.74	61.97	-37.81	72.59	329	v68m
b75r	40.08	64.26	-3.32	64.35	357	m33o



Ein und Ausgabe: Farbmetrisches Drucker-Reflektiv-System FRS09_92aM für relativen CIELAB-Buntton $h^* = \text{lab}^*h^* = h_{ab}/360 = 0.834$

Daten für jede Farbe:

lab^*ch^* und lab^*icu^*

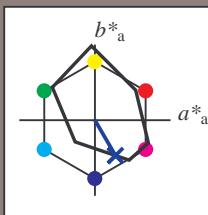
Bunttontexte:

$u^*_e = b25r$ $u^*_d = c87v$

Kontrastreduzierungsfaktor:

$c_R = 0.9$

Dreiecks-Helligkeit i^*



FRS09_92aM; adaptierte CIELAB-Daten

u^*_e	$L^*=L^*_a$	a^*_a	b^*_a	$C^*_{ab,a}$	$h^*_{ab,a}$
O _{Ma}	38.8	53.92	39.68	66.95	36
Y _{Ma}	82.58	-4.64	98.22	98.33	93
L _{Ma}	46.95	-56.34	43.46	71.15	142
C _{Ma}	54.62	-26.2	-28.68	38.85	228
V _{Ma}	20.01	45.2	-52.87	69.56	311
M _{Ma}	40.88	70.68	-29.99	76.78	337
N _{Ma}	15.0	0.0	0.0	0.0	0
W _{Ma}	90.0	0.0	0.0	0.0	0
R _{Ma}	39.92	58.74	27.99	65.07	25
J _{Ma}	81.26	-2.89	71.56	71.62	92
G _{Ma}	52.23	-42.42	13.6	44.55	162
B _{Ma}	30.57	1.41	-46.47	46.49	272

Daten für Maximalfarbe (Ma):

$\text{LAB}^*\text{LAB}^*_{\text{Ma}}$: 29 27 -47

$\text{LAB}^*\text{LCH}^*_{\text{Ma}}$: 29 54 300

$\text{lab}^*\text{rgb}^*_{\text{Ma}}$: 0.5 0.0 1.0

$\text{lab}^*\text{olv}^*_{\text{Ma}}$: 0.0 0.12 1.0

Dreiecks-Helligkeit i^*

%Umfang

$u^*_{\text{rel}} = 88$

%Regularität

$g^*_{H,\text{rel}} = 31$

$g^*_{C,\text{rel}} = 40$

FRS09_92aM; adaptierte CIELAB-Daten

u^*_e	$L^*=L^*_a$	a^*_a	b^*_a	$C^*_{ab,a}$	$h^*_{ab,a}$	u^*_d
r00j	39.18	56.94	27.13	63.07	25	m81o
r25j	42.41	49.1	44.5	66.26	42	o10y
r50j	52.78	35.22	58.37	68.17	59	o40y
r75j	64.82	19.12	74.47	76.89	76	o69y
j00g	82.06	-3.94	97.52	97.6	92	o98y
j25g	67.26	-26.87	74.67	79.36	110	y34l
j50g	55.83	-43.45	57.11	71.76	127	y69l
j75g	47.5	-54.18	38.3	66.35	145	i03c
g00b	50.07	-44.09	14.13	46.3	162	i23c
g25b	52.21	-35.66	-6.03	36.17	190	i55c
g50b	53.9	-29.04	-21.87	36.36	217	i87c
g75b	49.44	-15.51	-32.31	35.84	244	c20v
b00r	41.36	1.15	-37.95	37.97	272	c53v
b25r	28.74	27.19	-46.77	54.1	300	c87v
b50r	33.74	61.97	-37.81	72.59	329	v68m
b75r	40.08	64.26	-3.32	64.35	357	m33o

$\text{lab}^*\text{icu}^*_d$

$i^* = 1.00$

Brillantheit i^*

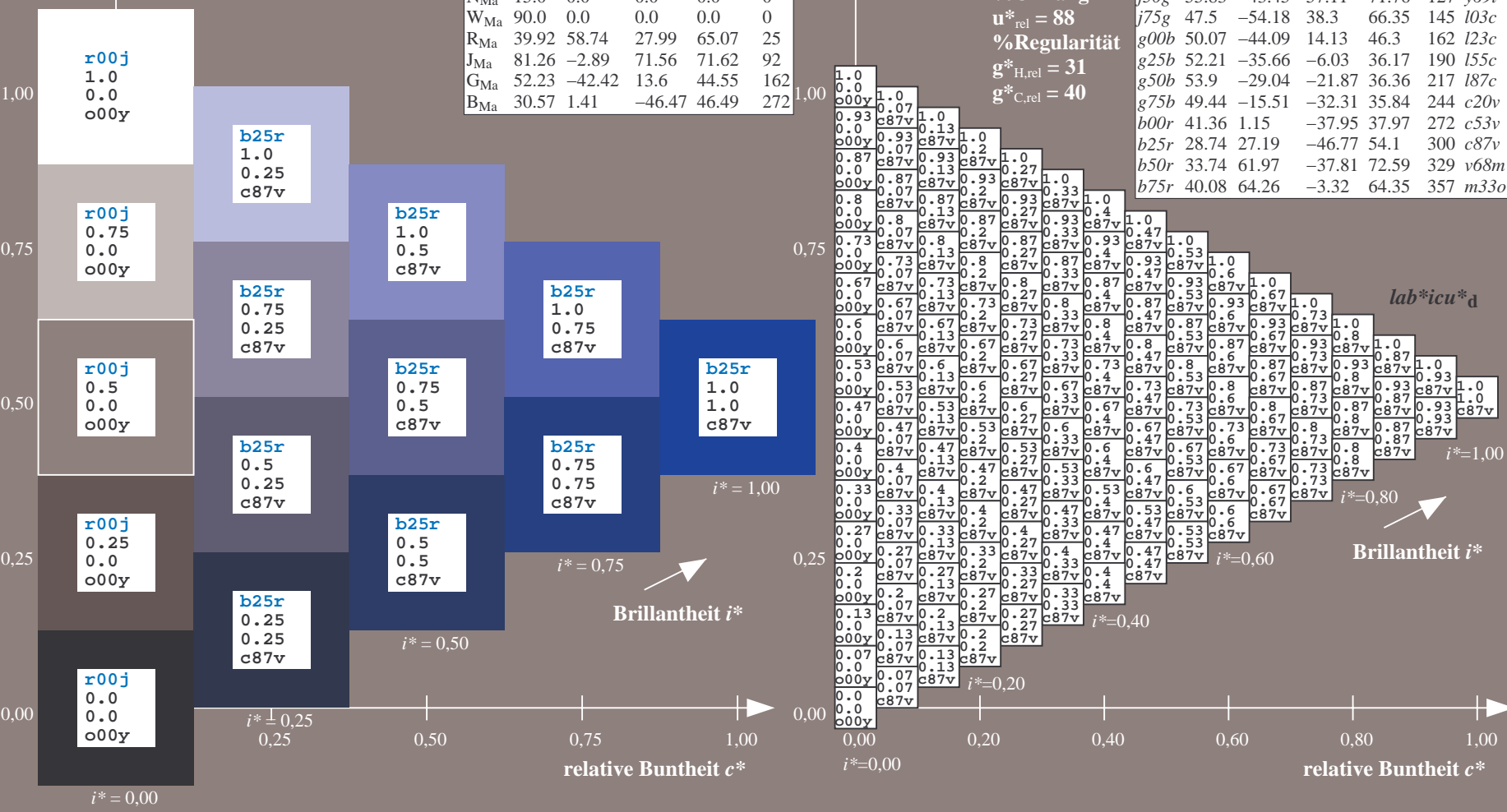
$i^* = 0.80$

$i^* = 0.60$

$i^* = 0.40$

$i^* = 0.20$

$i^* = 0.00$



Ein und Ausgabe: Farbmetrisches Drucker-Reflektiv-System FRS09_92aM für relativen CIELAB-Buntton $h^* = lab^*h^* = h_{ab}/360 = 0.913$

Daten für jede Farbe:

lab^*ch^* und lab^*icu^*

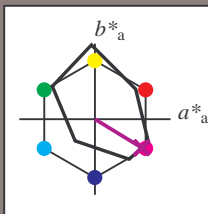
Bunttontexte:

$u^*_e = b50r$ $u^*_d = v68m$

Kontrastreduzierungsfaktor:

$c_R = 0.9$

Dreiecks-Helligkeit i^*



FRS09_92aM; adaptierte CIELAB-Daten

u^*_e	$L^*=L^*_a$	a^*_a	b^*_a	$C^*_{ab,a}$	$h^*_{ab,a}$
O _{Ma}	38.8	53.92	39.68	66.95	36
Y _{Ma}	82.58	-4.64	98.22	98.33	93
L _{Ma}	46.95	-56.34	43.46	71.15	142
C _{Ma}	54.62	-26.2	-28.68	38.85	228
V _{Ma}	20.01	45.2	-52.87	69.56	311
M _{Ma}	40.88	70.68	-29.99	76.78	337
N _{Ma}	15.0	0.0	0.0	0.0	0
W _{Ma}	90.0	0.0	0.0	0.0	0
R _{Ma}	39.92	58.74	27.99	65.07	25
J _{Ma}	81.26	-2.89	71.56	71.62	92
G _{Ma}	52.23	-42.42	13.6	44.55	162
B _{Ma}	30.57	1.41	-46.47	46.49	272

Daten für Maximalfarbe (Ma):

$LAB^*LAB^*_{Ma}$: 34 62 -38

$LAB^*LCH^*_{Ma}$: 34 73 328

$lab^*rgb^*_{Ma}$: 1.0 0.0 1.0

$lab^*olv^*_{Ma}$: 0.68 0.0 1.0

Dreiecks-Helligkeit i^*

%Umfang

$u^*_{rel} = 88$

%Regularität

$g^*_{H,rel} = 31$

$g^*_{C,rel} = 40$

FRS09_92aM; adaptierte CIELAB-Daten

u^*_e	$L^*=L^*_a$	a^*_a	b^*_a	$C^*_{ab,a}$	$h^*_{ab,a}$	u^*_d
r00j	39.18	56.94	27.13	63.07	25	m81o
r25j	42.41	49.1	44.5	66.26	42	o10y
r50j	52.78	35.22	58.37	68.17	59	o40y
r75j	64.82	19.12	74.47	76.89	76	o69y
j00g	82.06	-3.94	97.52	97.6	92	o98y
j25g	67.26	-26.87	74.67	79.36	110	y34l
j50g	55.83	-43.45	57.11	71.76	127	y69l
j75g	47.5	-54.18	38.3	66.35	145	i03c
g00b	50.07	-44.09	14.13	46.3	162	i23c
g25b	52.21	-35.66	-6.03	36.17	190	i55c
g50b	53.9	-29.04	-21.87	36.36	217	i87c
g75b	49.44	-15.51	-32.31	35.84	244	c20v
b00r	41.36	1.15	-37.95	37.97	272	c53v
b25r	28.74	27.19	-46.77	54.1	300	c87v
b50r	33.74	61.97	-37.81	72.59	329	v68m
b75r	40.08	64.26	-3.32	64.35	357	m33o

$lab^*icu^*_d$

$i^* = 1.00$

Brillantheit i^*

$i^* = 0.80$

$i^* = 0.60$

$i^* = 0.40$

$i^* = 0.20$

$i^* = 0.00$

Ein und Ausgabe: Farbmetrisches Drucker-Reflektiv-System FRS09_92aM für relativen CIELAB-Buntton $h^* = \text{lab}^*h^* = h_{ab}/360 = 0.992$

Daten für jede Farbe:

lab^*tch^* und lab^*icu^*

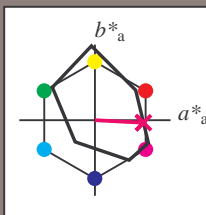
Bunttontexte:

$u^*_e = b75r$ $u^*_d = m33o$

Kontrastreduzierungsfaktor:

$c_R = 0.9$

Dreiecks-Helligkeit i^*



FRS09_92aM; adaptierte CIELAB-Daten						
u^*_e	$L^*=L^*_a$	a^*_a	b^*_a	$C^*_{ab,a}$	$h^*_{ab,a}$	
O _{Ma}	38.8	53.92	39.68	66.95	36	
Y _{Ma}	82.58	-4.64	98.22	98.33	93	
L _{Ma}	46.95	-56.34	43.46	71.15	142	
C _{Ma}	54.62	-26.2	-28.68	38.85	228	
V _{Ma}	20.01	45.2	-52.87	69.56	311	
M _{Ma}	40.88	70.68	-29.99	76.78	337	
N _{Ma}	15.0	0.0	0.0	0.0	0	
W _{Ma}	90.0	0.0	0.0	0.0	0	
R _{Ma}	39.92	58.74	27.99	65.07	25	
J _{Ma}	81.26	-2.89	71.56	71.62	92	
G _{Ma}	52.23	-42.42	13.6	44.55	162	
B _{Ma}	30.57	1.41	-46.47	46.49	272	

Daten für Maximalfarbe (Ma):

$\text{LAB}^*\text{LAB}^*_{Ma}$: 40 64 -3

$\text{LAB}^*\text{LCH}^*_{Ma}$: 40 64 357

$\text{lab}^*\text{rgb}^*_{Ma}$: 1.0 0.0 0.5

$\text{lab}^*\text{olv}^*_{Ma}$: 1.0 0.0 0.66

Dreiecks-Helligkeit i^*

%Umfang

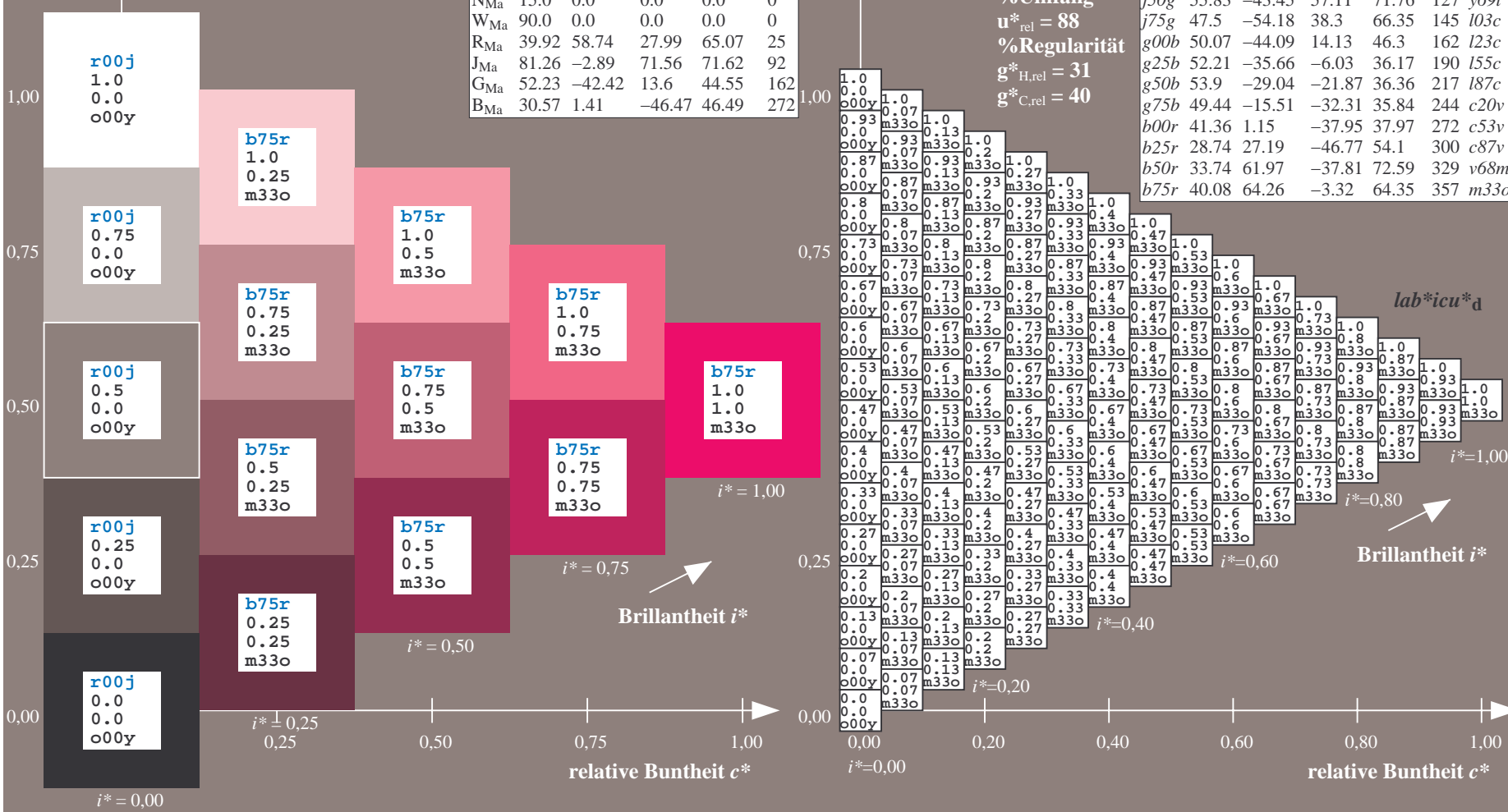
$u^*_{rel} = 88$

%Regularität

$g^*_{H,rel} = 31$

$g^*_{C,rel} = 40$

FRS09_92aM; adaptierte CIELAB-Daten						
u^*_e	$L^*=L^*_a$	a^*_a	b^*_a	$C^*_{ab,a}$	$h^*_{ab,a}$	u^*_d
r00j	39.18	56.94	27.13	63.07	25	m81o
r25j	42.41	49.1	44.5	66.26	42	o10y
r50j	52.78	35.22	58.37	68.17	59	o40y
r75j	64.82	19.12	74.47	76.89	76	o69y
j00g	82.06	-3.94	97.52	97.6	92	o98y
j25g	67.26	-26.87	74.67	79.36	110	y34l
j50g	55.83	-43.45	57.11	71.76	127	y69l
j75g	47.5	-54.18	38.3	66.35	145	l03c
g00b	50.07	-44.09	14.13	46.3	162	l23c
g25b	52.21	-35.66	-6.03	36.17	190	l55c
g50b	53.9	-29.04	-21.87	36.36	217	l87c
g75b	49.44	-15.51	-32.31	35.84	244	c20v
b00r	41.36	1.15	-37.95	37.97	272	c53v
b25r	28.74	27.19	-46.77	54.1	300	c87v
b50r	33.74	61.97	-37.81	72.59	329	v68m
b75r	40.08	64.26	-3.32	64.35	357	m33o



Siehe ähnliche Dateien: <http://www.ps.bam.de/Eg33/>; www.ps.bam.de/Eg33/10L/L33G00NP.PS/.PDF
Technische Information: [http://www.ps.bam.de/Version 2.1, io=1.1, ColSp=0](http://www.ps.bam.de/Version%202.1,%20io=1.1,%20ColSp=0)

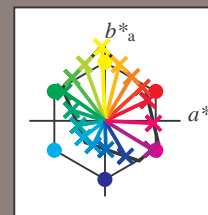
	A	B	C	D	E	F	G	H	I	J	K	L	M	N	O	P	Q	R	S	T	U	V	W	X	Y	Z	a	b	c	d	e	f	g	h	i	j	k	lab*icu*a																																																																																																																																																																																																																																																																																																																																																																																																																																																																																																																																																																																																																																																																																																																																																																																																																																																																																																																																																																																																																																																																																																																											
0.0	0.0	0.13	0.25	0.38	0.5	0.63	0.75	0.88	1.0	1.13	1.25	1.38	1.5	1.63	0.75	0.88	1.0	1.13	1.25	1.38	1.5	1.63	0.75	0.88	1.0	1.25	0.25	0.25	0.25	0.38	0.5	0.63	0.75	0.88	1.0	1.0	1.0	1.0	1.0	1.0	1.0	1.0	1.0	1.0	1.0	1.0	1.0	1.0	1.0	1.0	1.0	1.0	1.0	1.0	1.0	1.0	1.0	1.0	1.0	1.0	1.0	1.0	1.0	1.0	1.0	1.0	1.0	1.0	1.0	1.0	1.0	1.0	1.0	1.0	1.0	1.0	1.0	1.0	1.0	1.0	1.0	1.0	1.0	1.0	1.0	1.0	1.0	1.0	1.0	1.0	1.0	1.0	1.0	1.0	1.0	1.0	1.0	1.0	1.0	1.0	1.0	1.0	1.0	1.0	1.0	1.0	1.0	1.0	1.0	1.0	1.0	1.0	1.0	1.0	1.0	1.0	1.0	1.0	1.0	1.0	1.0	1.0	1.0	1.0	1.0	1.0	1.0	1.0	1.0	1.0	1.0	1.0	1.0	1.0	1.0	1.0	1.0	1.0	1.0	1.0	1.0	1.0	1.0	1.0	1.0	1.0	1.0	1.0	1.0	1.0	1.0	1.0	1.0	1.0	1.0	1.0	1.0	1.0	1.0	1.0	1.0	1.0	1.0	1.0	1.0	1.0	1.0	1.0	1.0	1.0	1.0	1.0	1.0	1.0	1.0	1.0	1.0	1.0	1.0	1.0	1.0	1.0	1.0	1.0	1.0	1.0	1.0	1.0	1.0	1.0	1.0	1.0	1.0	1.0	1.0	1.0	1.0	1.0	1.0	1.0	1.0	1.0	1.0	1.0	1.0	1.0	1.0	1.0	1.0	1.0	1.0	1.0	1.0	1.0	1.0	1.0	1.0	1.0	1.0	1.0	1.0	1.0	1.0	1.0	1.0	1.0	1.0	1.0	1.0	1.0	1.0	1.0	1.0	1.0	1.0	1.0	1.0	1.0	1.0	1.0	1.0	1.0	1.0	1.0	1.0	1.0	1.0	1.0	1.0	1.0	1.0	1.0	1.0	1.0	1.0	1.0	1.0	1.0	1.0	1.0	1.0	1.0	1.0	1.0	1.0	1.0	1.0	1.0	1.0	1.0	1.0	1.0	1.0	1.0	1.0	1.0	1.0	1.0	1.0	1.0	1.0	1.0	1.0	1.0	1.0	1.0	1.0	1.0	1.0	1.0	1.0	1.0	1.0	1.0	1.0	1.0	1.0	1.0	1.0	1.0	1.0	1.0	1.0	1.0	1.0	1.0	1.0	1.0	1.0	1.0	1.0	1.0	1.0	1.0	1.0	1.0	1.0	1.0	1.0	1.0	1.0	1.0	1.0	1.0	1.0	1.0	1.0	1.0	1.0	1.0	1.0	1.0	1.0	1.0	1.0	1.0	1.0	1.0	1.0	1.0	1.0	1.0	1.0	1.0	1.0	1.0	1.0	1.0	1.0	1.0	1.0	1.0	1.0	1.0	1.0	1.0	1.0	1.0	1.0	1.0	1.0	1.0	1.0	1.0	1.0	1.0	1.0	1.0	1.0	1.0	1.0	1.0	1.0	1.0	1.0	1.0	1.0	1.0	1.0	1.0	1.0	1.0	1.0	1.0	1.0	1.0	1.0	1.0	1.0	1.0	1.0	1.0	1.0	1.0	1.0	1.0	1.0	1.0	1.0	1.0	1.0	1.0	1.0	1.0	1.0	1.0	1.0	1.0	1.0	1.0	1.0	1.0	1.0	1.0	1.0	1.0	1.0	1.0	1.0	1.0	1.0	1.0	1.0	1.0	1.0	1.0	1.0	1.0	1.0	1.0	1.0	1.0	1.0	1.0	1.0	1.0	1.0	1.0	1.0	1.0	1.0	1.0	1.0	1.0	1.0	1.0	1.0	1.0	1.0	1.0	1.0	1.0	1.0	1.0	1.0	1.0	1.0	1.0	1.0	1.0	1.0	1.0	1.0	1.0	1.0	1.0	1.0	1.0	1.0	1.0	1.0	1.0	1.0	1.0	1.0	1.0	1.0	1.0	1.0	1.0	1.0	1.0	1.0	1.0	1.0	1.0	1.0	1.0	1.0	1.0	1.0	1.0	1.0	1.0	1.0	1.0	1.0	1.0	1.0	1.0	1.0	1.0	1.0	1.0	1.0	1.0	1.0	1.0	1.0	1.0	1.0	1.0	1.0	1.0	1.0	1.0	1.0	1.0	1.0	1.0	1.0	1.0	1.0	1.0	1.0	1.0	1.0	1.0	1.0	1.0	1.0	1.0	1.0	1.0	1.0	1.0	1.0	1.0	1.0	1.0	1.0	1.0	1.0	1.0	1.0	1.0	1.0	1.0	1.0	1.0	1.0	1.0	1.0	1.0	1.0	1.0	1.0	1.0	1.0	1.0	1.0	1.0	1.0	1.0	1.0	1.0	1.0	1.0	1.0	1.0	1.0	1.0	1.0	1.0	1.0	1.0	1.0	1.0	1.0	1.0	1.0	1.0	1.0	1.0	1.0	1.0	1.0	1.0	1.0	1.0	1.0	1.0	1.0	1.0	1.0	1.0	1.0	1.0	1.0	1.0	1.0	1.0	1.0	1.0	1.0	1.0	1.0	1.0	1.0	1.0	1.0	1.0	1.0	1.0	1.0	1.0	1.0	1.0	1.0	1.0	1.0	1.0	1.0	1.0	1.0	1.0	1.0	1.0	1.0	1.0	1.0	1.0	1.0	1.0	1.0	1.0	1.0	1.0	1.0	1.0	1.0	1.0	1.0	1.0	1.0	1.0	1.0	1.0	1.0	1.0	1.0	1.0	1.0	1.0	1.0	1.0	1.0	1.0	1.0	1.0	1.0	1.0	1.0	1.0	1.0	1.0	1.0	1.0	1.0	1.0	1.0	1.0	1.0	1.0	1.0	1.0	1.0	1.0	1.0	1.0	1.0	1.0	1.0	1.0	1.0	1.0	1.0	1.0	1.0	1.0	1.0	1.0	1.0	1.0	1.0	1.0	1.0	1.0	1.0	1.0	1.0	1.0	1.0	1.0	1.0	1.0	1.0	1.0	1.0	1.0	1.0	1.0	1.0	1.0	1.0	1.0	1.0	1.0	1.0	1.0	1.0	1.0	1.0	1.0	1.0	1.0	1.0	1.0	1.0	1.0	1.0	1.0	1.0	1.0	1.0	1.0	1.0	1.0	1.0	1.0	1.0	1.0	1.0	1.0	1.0	1.0	1.0	1.0	1.0	1.0	1.0	1.0	1.0	1.0	1.0	1.0	1.0	1.0	1.0	1.0	1.0	1.0	1.0	1.0	1.0	1.0	1.0	1.0	1.0	1.0	1.0	1.0	1.0	1.0	1.0	1.0	1.0	1.0	1.0	1.0	1.0	1.0	1.0	1.0	1.0	1.0	1.0	1.0	1.0	1.0	1.0	1.0	1.0	1.0	1.0	1.0	1.0	1.0	1.0	1.0	1.0	1.0	1.0	1.0	1.0	1.0	1.0	1.0	1.0	1.0	1.0	1.0	1.0	1.0	1.0	1.0	1.0	1.0	1.0	1.0	1.0	1.0	1.0	1.0	1.0	1.0	1.0	1.0	1.0	1.0	1.0	1.0	1.0	1.0	1.0	1.0	1.0	1.0	1.0	1.0	1.0	1.0	1.0	1.0	1.0	1.0	1.0	1.0	1.0	1.0	1.0	1.0	1.0	1.0	1.0	1.0	1.0	1.0	1.0	1.0	1.0	1.0	1.0	1.0	1.0	1.0	1.0	1.0	1.0	1.0	1.0	1.0	1.0	1.0	1.0	1.0	1.0	1.0	1.0	1.0	1.0	1.0	1.0	1.0	1.0	1.0	1.0	1.0	1.0	1.0	1.0	1.0	1.0	1.0	1.0	1.0	1.0	1.0	1.0	1.0	1.0	1.0	1.0	1.0	1.0	1.0	1.0	1.0	1.0	1.0	1.0	1.0	1.0	1.0	1.0	1.0	1.0	1.0	1.0	1.0	1.0	1.0	1.0	1.0	1.0	1.0	1.0	1.0	1.0	1.0	1.0	1.0	1.0	1.0	1.0	1.0	1.0	1.0	1.0	1.0	1.0	1.0	1.0	1.0	1.0	1.0	1.0	1.0	1.0	1.0	1.0	1.0	1.0	1.0	1.0	1.0	1.0	1.0	1.0	1.0	1.0	1.0	1.0	1.0	1.0	1.0	1.0	1.0	1.0	1.0	1.0	1.0	1.0	1.0	1.0	1.0	1.0	1.0	1.0	1.0	1.0	1.0	1.0	1.0	1.0	1.0	1.0	1.0	1.0	1.0	1.0	1.0	1.0	1.0	1.0	1.0	1.0	1.0	1.0	1.0	1.0	1.0	1.0	1.0	1.0	1.0	1.0	1.0	1.0	1.0	1.0	1.0	1.0	1.0	1.0	1.0	1.0	1.0	1.0	1.0	1.0	1.0	1.0	1.0	1.0	1.0	1.0	1.0	1.0	1.0	1.0	1.0	1.0	1.0	1.0	1.0	1.0	1.0	1.0	1.0	1.0	1.0	1.0	1.0	1.0	1.0	1.0	1.0	1.0	1.0	1.0	1.0	1.0	1.0	1.0	1.0	1.0	1.0	1.0	1.0	1.0	1.0	1.0	1.0	1.0	1.0	1.0	1.0	1.0	1.0	1.0	1.0	1.0	1.0	1.0	1.0	1.0	1.0	1.0	1.0	1.0	1.0	1.0	1.0	1.0	1.0	1.0	1.0	1.0	1.0	1.0	1.0	1.0	1.0	1.0	1.0	1.0	1.0	1.0	1.0	1.0	1.0	1.0	1.0	1.0	1.0	1.0	1.0	1.0	1.0	1.0	1.0	1.0	1.0	1.0	1.0	1.0	1.0	1.0	1.0	1

Ein und Ausgabe:
Farbmetrisches Drucker-Reflektiv-System FRS09_92aM
Daten für jede Farbe:

u^*_e und Nummer $Nr.$ = 00 .. 15
Elementar-Bunttontext:
 $u^*_e = 16$ Bunttoene $r00j, r25j, \dots, b75r$
Kontrastreduzierungsfaktor:
 $c_R = 0.9$

FRS09_92aM; adaptierte CIELAB-Daten

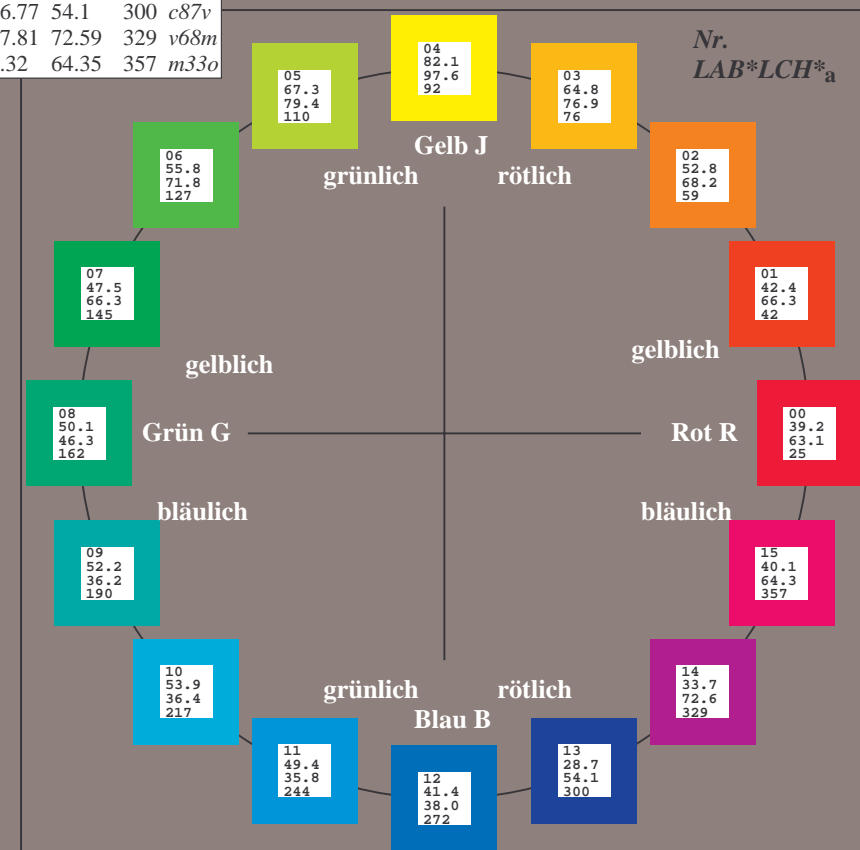
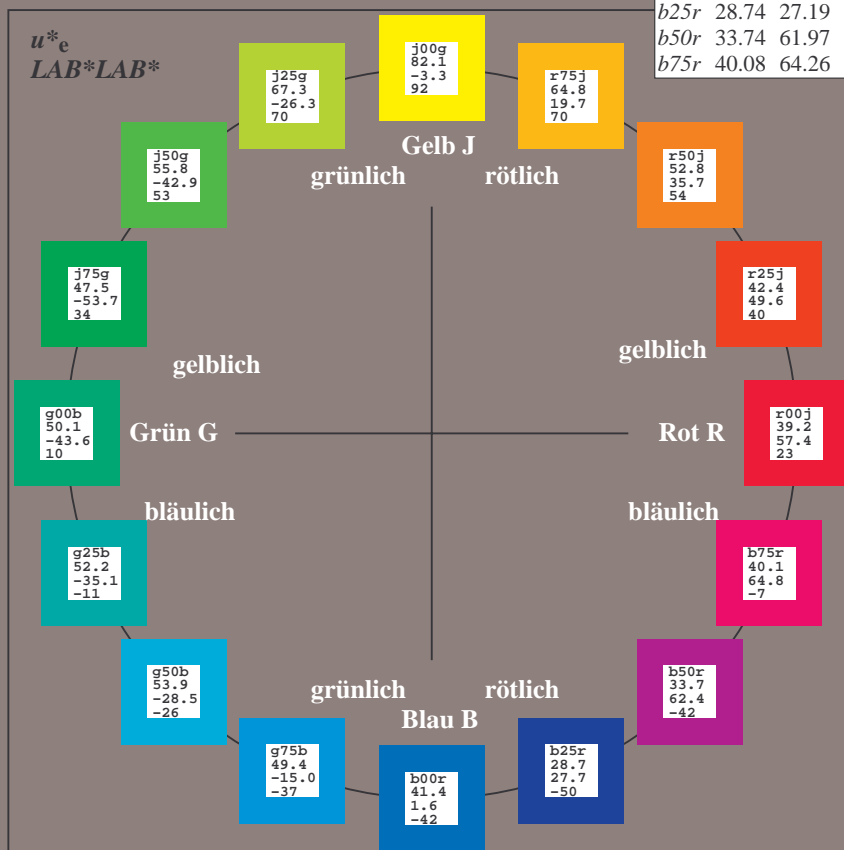
u^*_e	$L^*=L^*_a$	a^*_a	b^*_a	$C^*_{ab,a}$	$h^*_{ab,a}$	u^*_d
$r00j$	39.18	56.94	27.13	63.07	25	$m81o$
$r25j$	42.41	49.1	44.5	66.26	42	$o10y$
$r50j$	52.78	35.22	58.37	68.17	59	$o40y$
$r75j$	64.82	19.12	74.47	76.89	76	$o69y$
$j00g$	82.06	-3.94	97.52	97.6	92	$o98y$
$j25g$	67.26	-26.87	74.67	79.36	110	$y34l$
$j50g$	55.83	-43.45	57.11	71.76	127	$y69l$
$j75g$	47.5	-54.18	38.3	66.35	145	$l03c$
$g00b$	50.07	-44.09	14.13	46.3	162	$l23c$
$g25b$	52.21	-35.66	-6.03	36.17	190	$l55c$
$g50b$	53.9	-29.04	-21.87	36.36	217	$l87c$
$g75b$	49.44	-15.51	-32.31	35.84	244	$c20v$
$b00r$	41.36	1.15	-37.95	37.97	272	$c53v$
$b25r$	28.74	27.19	-46.77	54.1	300	$c87v$
$b50r$	33.74	61.97	-37.81	72.59	329	$v68m$
$b75r$	40.08	64.26	-3.32	64.35	357	$m33o$



%Umfang
 $u^*_{rel} = 88$
%Regularität
 $g^*_{H,rel} = 31$
 $g^*_{C,rel} = 40$

FRS09_92M; CIELAB-Daten

Name	$L^*=L^*$	a^*	b^*	C^*_{ab}	h^*_{ab}
O_M	38.8	54.41	35.65	65.05	33
Y_M	82.58	-4.04	92.72	92.8	92
L_M	46.95	-55.83	39.15	68.19	145
C_M	54.62	-25.67	-33.25	42.01	232
V_M	20.01	45.64	-56.27	72.45	309
M_M	40.88	71.17	-34.09	78.92	334
N_M	15.0	0.43	-3.23	3.26	278
W_M	90.0	0.62	-5.76	5.79	276
R_{CIE}	39.92	58.74	27.99	65.07	25
J_{CIE}	81.26	-2.89	71.56	71.62	92
G_{CIE}	52.23	-42.42	13.6	44.55	162
B_{CIE}	30.57	1.41	-46.47	46.49	272



Ein und Ausgabe: Farbmetrisches Drucker-Reflektiv-System FRS09_92aM für relativen CIELAB-Buntton $h^* = lab^*h^* = h_{ab}/360 = 0.071$

Daten für jede Farbe:

lab^*tch^* und lab^*icu^*

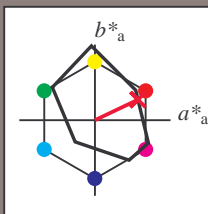
Bunttontexte:

$u^*_e = r00j$ $u^*_d = m81o$

Kontrastreduzierungsfaktor:

$c_R = 0.9$

Dreiecks-Helligkeit t^*



FRS09_92M; CIELAB-Daten						
u^*_e	$L^*=L^*$	a^*	b^*	C^*_{ab}	h^*_{ab}	
O _M	38.8	54.41	35.65	65.05	33	
Y _M	82.58	-4.04	92.72	92.8	92	
L _M	46.95	-55.83	39.15	68.19	145	
C _M	54.62	-25.67	-33.25	42.01	232	
V _M	20.01	45.64	-56.27	72.45	309	
M _M	40.88	71.17	-34.09	78.92	334	
N _M	15.0	0.43	-3.23	3.26	278	
W _M	90.0	0.62	-5.76	5.79	276	
R _M	39.92	58.74	27.99	65.07	25	
J _M	81.26	-2.89	71.56	71.62	92	
G _M	52.23	-42.42	13.6	44.55	162	
B _M	30.57	1.41	-46.47	46.49	272	

Daten für Maximalfarbe (Ma):

LAB^*LAB^*Ma : 39 57 27

LAB^*LCH^*Ma : 39 63 25

lab^*rgb^*Ma : 1.0 0.0 0.0

lab^*olv^*Ma : 1.0 0.0 0.18

Dreiecks-Helligkeit t^*

%Umfang

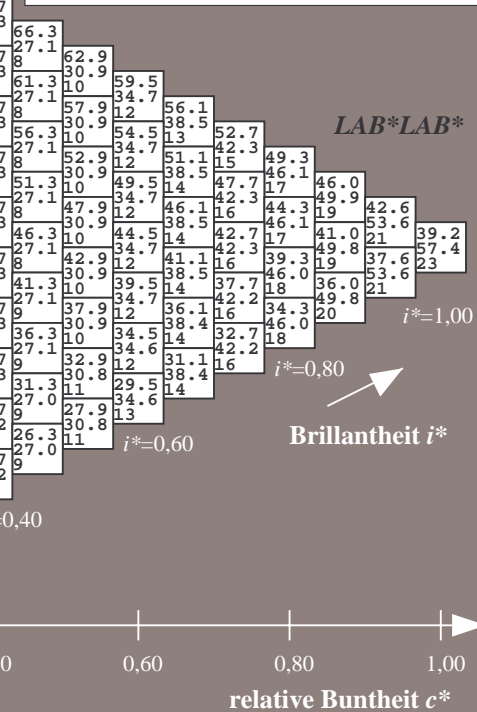
$u^*_{rel} = 88$

%Regularität

$g^*_{H,rel} = 31$

$g^*_{C,rel} = 40$

FRS09_92aM; adaptierte CIELAB-Daten							
u^*_e	$L^*=L^*_a$	a^*_a	b^*_a	$C^*_{ab,a}$	$h^*_{ab,a}$	u^*_d	
r00j	39.18	56.94	27.13	63.07	25	m81o	
r25j	42.41	49.1	44.5	66.26	42	o10y	
r50j	52.78	35.22	58.37	68.17	59	o40y	
r75j	64.82	19.12	74.47	76.89	76	o69y	
j00g	82.06	-3.94	97.52	97.6	92	o98y	
j25g	67.26	-26.87	74.67	79.36	110	y34l	
j50g	55.83	-43.45	57.11	71.76	127	y69l	
j75g	47.5	-54.18	38.3	66.35	145	i03c	
g00b	50.07	-44.09	14.13	46.3	162	i23c	
g25b	52.21	-35.66	-6.03	36.17	190	i55c	
g50b	53.9	-29.04	-21.87	36.36	217	i87c	
g75b	49.44	-15.51	-32.31	35.84	244	c20v	
b00r	41.36	1.15	-37.95	37.97	272	c53v	
b25r	28.74	27.19	-46.77	54.1	300	c87v	
b50r	33.74	61.97	-37.81	72.59	329	v68m	
b75r	40.08	64.26	-3.32	64.35	357	m33o	



Ein und Ausgabe: Farbmetrisches Drucker-Reflektiv-System FRS09_92aM für relativen CIELAB-Buntton $h^* = lab^*h^* = h_{ab}/360 = 0.117$

Daten für jede Farbe:

lab^*ch^* und lab^*icu^*

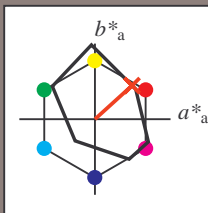
Bunttontexte:

$u^*_e = r25j$ $u^*_d = o10y$

Kontrastreduzierungsfaktor:

$c_R = 0.9$

Dreiecks-Helligkeit i^*



FRS09_92M; CIELAB-Daten						
u^*_e	$L^*=L^*_a$	a^*	b^*	C^*_{ab}	h^*_{ab}	
O _M	38.8	54.41	35.65	65.05	33	
Y _M	82.58	-4.04	92.72	92.8	92	
L _M	46.95	-55.83	39.15	68.19	145	
C _M	54.62	-25.67	-33.25	42.01	232	
V _M	20.01	45.64	-56.27	72.45	309	
M _M	40.88	71.17	-34.09	78.92	334	
N _M	15.0	0.43	-3.23	3.26	278	
W _M	90.0	0.62	-5.76	5.79	276	
R _M	39.92	58.74	27.99	65.07	25	
J _M	81.26	-2.89	71.56	71.62	92	
G _M	52.23	-42.42	13.6	44.55	162	
B _M	30.57	1.41	-46.47	46.49	272	

Daten für Maximalfarbe (Ma):

LAB^*LAB^*Ma : 42 49 44

LAB^*LCH^*Ma : 42 66 42

lab^*rgb^*Ma : 1.0 0.25 0.0

lab^*olv^*Ma : 1.0 0.1 0.0

Dreiecks-Helligkeit i^*

%Umfang

$u^*_{rel} = 88$

%Regularität

$g^*_{H,rel} = 31$

$g^*_{C,rel} = 40$

FRS09_92aM; adaptierte CIELAB-Daten						
u^*_e	$L^*=L^*_a$	a^*_a	b^*_a	$C^*_{ab,a}$	$h^*_{ab,a}$	u^*_d
r00j	39.18	56.94	27.13	63.07	25	m81o
r25j	42.41	49.1	44.5	66.26	42	o10y
r50j	52.78	35.22	58.37	68.17	59	o40y
r75j	64.82	19.12	74.47	76.89	76	o69y
j00g	82.06	-3.94	97.52	97.6	92	o98y
j25g	67.26	-26.87	74.67	79.36	110	y34l
j50g	55.83	-43.45	57.11	71.76	127	y69l
j75g	47.5	-54.18	38.3	66.35	145	i03c
g00b	50.07	-44.09	14.13	46.3	162	i23c
g25b	52.21	-35.66	-6.03	36.17	190	i55c
g50b	53.9	-29.04	-21.87	36.36	217	i87c
g75b	49.44	-15.51	-32.31	35.84	244	c20v
b00r	41.36	1.15	-37.95	37.97	272	c53v
b25r	28.74	27.19	-46.77	54.1	300	c87v
b50r	33.74	61.97	-37.81	72.59	329	v68m
b75r	40.08	64.26	-3.32	64.35	357	m33o

LAB^*LAB^*

$i^*=1.00$

Brillantheit i^*

$i^*=0.80$

$i^*=0.60$

$i^*=0.40$

$i^*=0.20$

$i^*=0.00$

Ein und Ausgabe: Farbmetrisches Drucker-Reflektiv-System FRS09_92aM für relativen CIELAB-Buntton $h^* = lab^*h^* = h_{ab}/360 = 0.164$

Daten für jede Farbe:

lab^*ch^* und lab^*icu^*

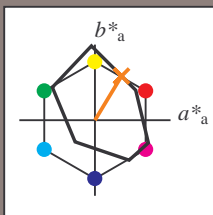
Bunttontexte:

$u^*_e = r50j$ $u^*_d = o40y$

Kontrastreduzierungsfaktor:

$c_R = 0.9$

Dreiecks-Helligkeit t^*



FRS09_92M; CIELAB-Daten						
u^*_e	$L^*=L^*$	a^*	b^*	C^*_{ab}	h^*_{ab}	
O _M	38.8	54.41	35.65	65.05	33	
Y _M	82.58	-4.04	92.72	92.8	92	
L _M	46.95	-55.83	39.15	68.19	145	
C _M	54.62	-25.67	-33.25	42.01	232	
V _M	20.01	45.64	-56.27	72.45	309	
M _M	40.88	71.17	-34.09	78.92	334	
N _M	15.0	0.43	-3.23	3.26	278	
W _M	90.0	0.62	-5.76	5.79	276	
R _M	39.92	58.74	27.99	65.07	25	
J _M	81.26	-2.89	71.56	71.62	92	
G _M	52.23	-42.42	13.6	44.55	162	
B _M	30.57	1.41	-46.47	46.49	272	

Daten für Maximalfarbe (Ma):

$LAB^*LAB^*_{Ma}$: 53 35 58

$LAB^*LCH^*_{Ma}$: 53 68 58

$lab^*rgb^*_{Ma}$: 1.0 0.5 0.0

$lab^*olv^*_{Ma}$: 1.0 0.4 0.0

Dreiecks-Helligkeit t^*

%Umfang

$u^*_{rel} = 88$

%Regularität

$g^*_{H,rel} = 31$

$g^*_{C,rel} = 40$

FRS09_92aM; adaptierte CIELAB-Daten							
u^*_e	$L^*=L^*$	a^*_a	b^*_a	$C^*_{ab,a}$	$h^*_{ab,a}$	u^*_d	
r00j	39.18	56.94	27.13	63.07	25	m81o	
r25j	42.41	49.1	44.5	66.26	42	o10y	
r50j	52.78	35.22	58.37	68.17	59	o40y	
r75j	64.82	19.12	74.47	76.89	76	o69y	
j00g	82.06	-3.94	97.52	97.6	92	o98y	
j25g	67.26	-26.87	74.67	79.36	110	y34l	
j50g	55.83	-43.45	57.11	71.76	127	y69l	
j75g	47.5	-54.18	38.3	66.35	145	i03c	
g00b	50.07	-44.09	14.13	46.3	162	i23c	
g25b	52.21	-35.66	-6.03	36.17	190	i55c	
g50b	53.9	-29.04	-21.87	36.36	217	i87c	
g75b	49.44	-15.51	-32.31	35.84	244	c20v	
b00r	41.36	1.15	-37.95	37.97	272	c53v	
b25r	28.74	27.19	-46.77	54.1	300	c87v	
b50r	33.74	61.97	-37.81	72.59	329	v68m	
b75r	40.08	64.26	-3.32	64.35	357	m33o	

LAB^*LAB^*

$i^* = 1.00$

Brillantheit i^*

$i^* = 0.80$

$i^* = 0.60$

$i^* = 0.40$

$i^* = 0.20$

$i^* = 0.00$

relative Buntheit c^*

relative Buntheit c^*

Ein und Ausgabe: Farbmetrisches Drucker-Reflektiv-System FRS09_92aM für relativen CIELAB-Buntton $h^* = lab^*h^* = h_{ab}/360 = 0.21$

Daten für jede Farbe:

lab^*ch^* und lab^*icu^*

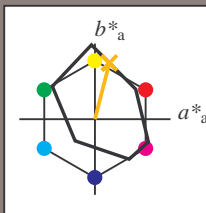
Bunttontexte:

$u^*_e = r75j$ $u^*_d = o69y$

Kontrastreduzierungsfaktor:

$c_R = 0.9$

Dreiecks-Helligkeit i^*



FRS09_92M; CIELAB-Daten						
u^*_e	$L^*=L^*$	a^*	b^*	C^*_{ab}	h^*_{ab}	
O _M	38.8	54.41	35.65	65.05	33	
Y _M	82.58	-4.04	92.72	92.8	92	
L _M	46.95	-55.83	39.15	68.19	145	
C _M	54.62	-25.67	-33.25	42.01	232	
V _M	20.01	45.64	-56.27	72.45	309	
M _M	40.88	71.17	-34.09	78.92	334	
N _M	15.0	0.43	-3.23	3.26	278	
W _M	90.0	0.62	-5.76	5.79	276	
R _M	39.92	58.74	27.99	65.07	25	
J _M	81.26	-2.89	71.56	71.62	92	
G _M	52.23	-42.42	13.6	44.55	162	
B _M	30.57	1.41	-46.47	46.49	272	

Daten für Maximalfarbe (Ma):

LAB^*LAB^*Ma : 65 19 74

LAB^*LCH^*Ma : 65 77 75

lab^*rgb^*Ma : 1.0 0.75 0.0

lab^*olv^*Ma : 1.0 0.7 0.0

Dreiecks-Helligkeit i^*

%Umfang

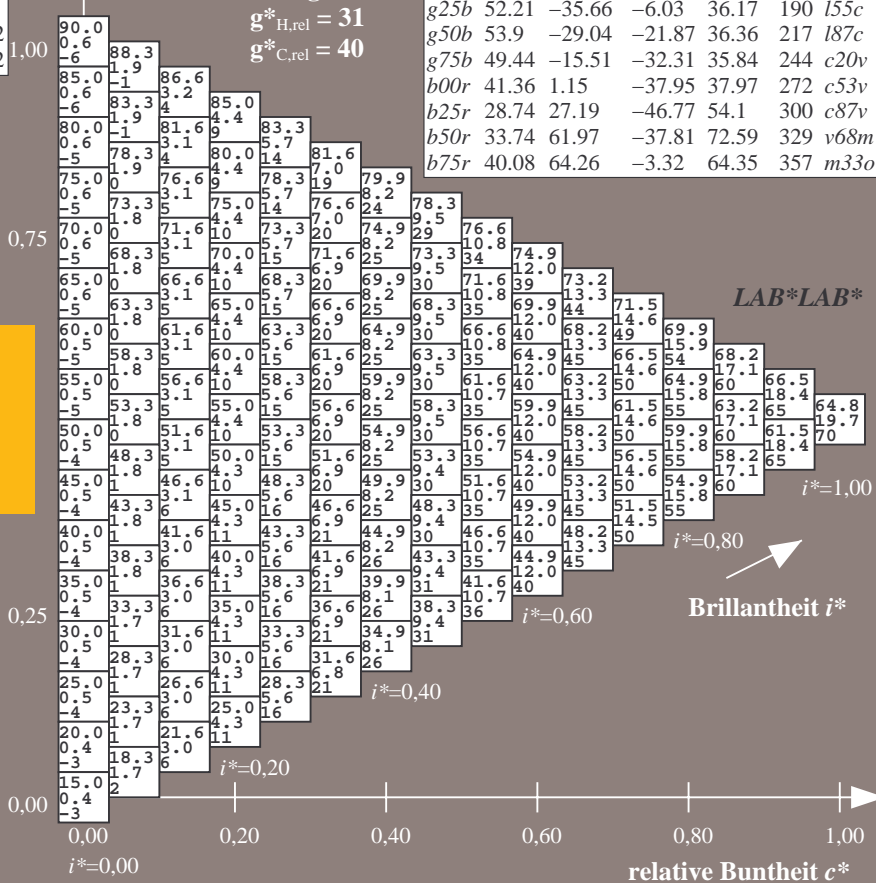
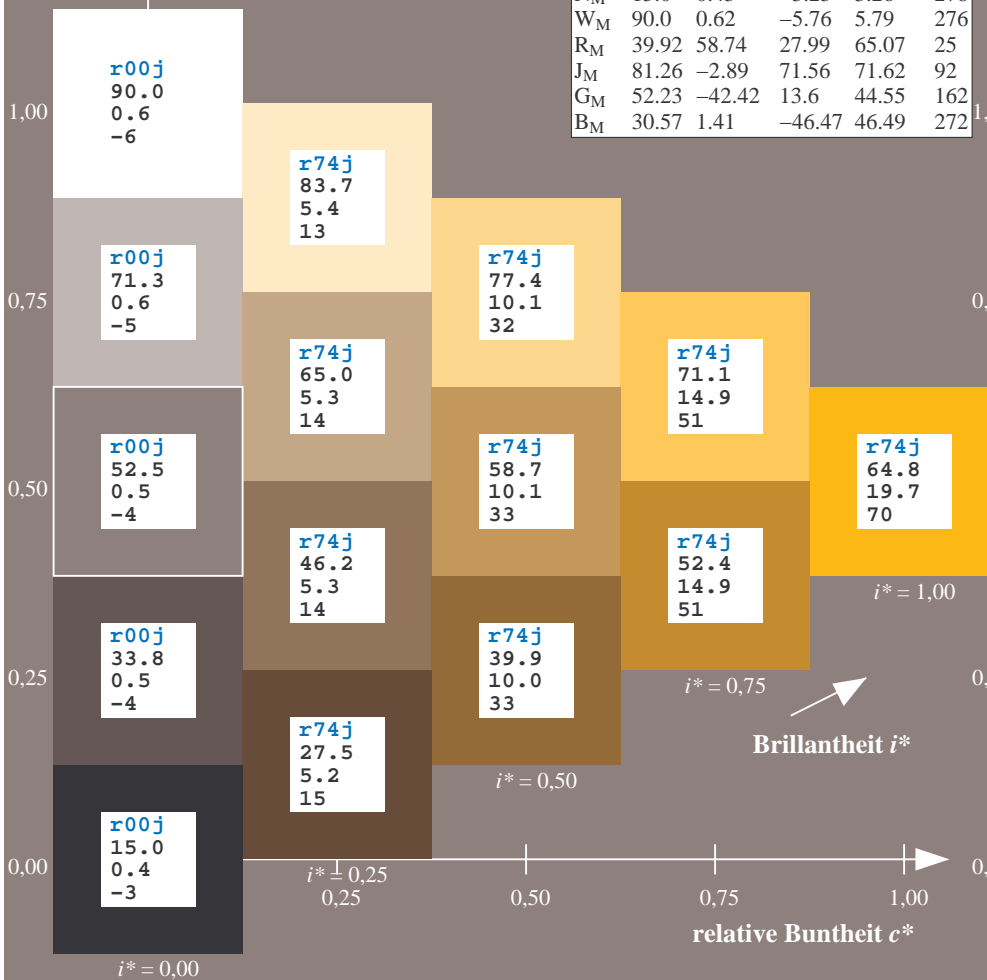
$u^*_{rel} = 88$

%Regularität

$g^*_{H,rel} = 31$

$g^*_{C,rel} = 40$

FRS09_92aM; adaptierte CIELAB-Daten							
u^*_e	$L^*=L^*_a$	a^*_a	b^*_a	$C^*_{ab,a}$	$h^*_{ab,a}$	u^*_d	
r00j	39.18	56.94	27.13	63.07	25	m81o	
r25j	42.41	49.1	44.5	66.26	42	o10y	
r50j	52.78	35.22	58.37	68.17	59	o40y	
r75j	64.82	19.12	74.47	76.89	76	o69y	
j00g	82.06	-3.94	97.52	97.6	92	o98y	
j25g	67.26	-26.87	74.67	79.36	110	y34l	
j50g	55.83	-43.45	57.11	71.76	127	y69l	
j75g	47.5	-54.18	38.3	66.35	145	i03c	
g00b	50.07	-44.09	14.13	46.3	162	i23c	
g25b	52.21	-35.66	-6.03	36.17	190	i55c	
g50b	53.9	-29.04	-21.87	36.36	217	i87c	
g75b	49.44	-15.51	-32.31	35.84	244	c20v	
b00r	41.36	1.15	-37.95	37.97	272	c53v	
b25r	28.74	27.19	-46.77	54.1	300	c87v	
b50r	33.74	61.97	-37.81	72.59	329	v68m	
b75r	40.08	64.26	-3.32	64.35	357	m33o	



Ein und Ausgabe: Farbmetrisches Drucker-Reflektiv-System FRS09_92aM für relativen CIELAB-Buntton $h^* = lab^*h^* = h_{ab}/360 = 0.305$

Daten für jede Farbe:

lab^*ch^* und lab^*icu^*

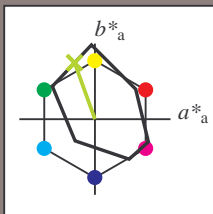
Bunttontexte:

$u^*_e = j25g$ $u^*_d = y34l$

Kontrastreduzierungsfaktor:

$c_R = 0.9$

Dreiecks-Helligkeit i^*



FRS09_92M; CIELAB-Daten						
u^*_e	$L^*=L^*$	a^*	b^*	C^*_{ab}	h^*_{ab}	
O _M	38.8	54.41	35.65	65.05	33	
Y _M	82.58	-4.04	92.72	92.8	92	
L _M	46.95	-55.83	39.15	68.19	145	
C _M	54.62	-25.67	-33.25	42.01	232	
V _M	20.01	45.64	-56.27	72.45	309	
M _M	40.88	71.17	-34.09	78.92	334	
N _M	15.0	0.43	-3.23	3.26	278	
W _M	90.0	0.62	-5.76	5.79	276	
R _M	39.92	58.74	27.99	65.07	25	
J _M	81.26	-2.89	71.56	71.62	92	
G _M	52.23	-42.42	13.6	44.55	162	
B _M	30.57	1.41	-46.47	46.49	272	

Daten für Maximalfarbe (Ma):

LAB^*LAB^*Ma : 67 -27 75

LAB^*LCH^*Ma : 67 79 109

lab^*rgb^*Ma : 0.75 1.0 0.0

lab^*olv^*Ma : 0.66 1.0 0.0

Dreiecks-Helligkeit i^*

%Umfang

$u^*_{rel} = 88$

%Regularität

$g^*_{H,rel} = 31$

$g^*_{C,rel} = 40$

FRS09_92aM; adaptierte CIELAB-Daten									
u^*_e	$L^*=L^*_a$	a^*_a	b^*_a	$C^*_{ab,a}$	$h^*_{ab,a}$	u^*_d			
r00j	39.18	56.94	27.13	63.07	25	m81o			
r25j	42.41	49.1	44.5	66.26	42	o10y			
r50j	52.78	35.22	58.37	68.17	59	o40y			
r75j	64.82	19.12	74.47	76.89	76	o69y			
j00g	82.06	-3.94	97.52	97.6	92	o98y			
j25g	67.26	-26.87	74.67	79.36	110	y34l			
j50g	55.83	-43.45	57.11	71.76	127	y69l			
j75g	47.5	-54.18	38.3	66.35	145	i03c			
g00b	50.07	-44.09	14.13	46.3	162	i23c			
g25b	52.21	-35.66	-6.03	36.17	190	i55c			
g50b	53.9	-29.04	-21.87	36.36	217	i87c			
g75b	49.44	-15.51	-32.31	35.84	244	c20v			
b00r	41.36	1.15	-37.95	37.97	272	c53v			
b25r	28.74	27.19	-46.77	54.1	300	c87v			
b50r	33.74	61.97	-37.81	72.59	329	v68m			
b75r	40.08	64.26	-3.32	64.35	357	m33o			

LAB^*LAB^*

$i^*=1.00$

Brillantheit i^*

$i^*=0.80$

$i^*=0.60$

$i^*=0.40$

$i^*=0.20$

$i^*=0.00$

relative Buntheit c^*

Ein und Ausgabe: Farbmetrisches Drucker-Reflektiv-System FRS09_92aM für relativen CIELAB-Buntton $h^* = lab^*h^* = h_{ab}/360 = 0.354$

Daten für jede Farbe:

lab^*ch^* und lab^*icu^*

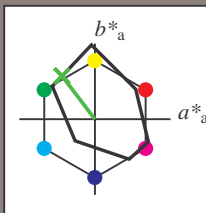
Bunttontexte:

$u^*_e = j50g$ $u^*_d = y69l$

Kontrastreduzierungsfaktor:

$c_R = 0.9$

Dreiecks-Helligkeit i^*



FRS09_92M; CIELAB-Daten						
u^*_e	$L^*=L^*$	a^*	b^*	C^*_{ab}	h^*_{ab}	
O _M	38.8	54.41	35.65	65.05	33	
Y _M	82.58	-4.04	92.72	92.8	92	
L _M	46.95	-55.83	39.15	68.19	145	
C _M	54.62	-25.67	-33.25	42.01	232	
V _M	20.01	45.64	-56.27	72.45	309	
M _M	40.88	71.17	-34.09	78.92	334	
N _M	15.0	0.43	-3.23	3.26	278	
W _M	90.0	0.62	-5.76	5.79	276	
R _M	39.92	58.74	27.99	65.07	25	
J _M	81.26	-2.89	71.56	71.62	92	
G _M	52.23	-42.42	13.6	44.55	162	
B _M	30.57	1.41	-46.47	46.49	272	

Daten für Maximalfarbe (Ma):

LAB^*LAB^*Ma : 56 -43 57

LAB^*LCH^*Ma : 56 72 127

lab^*rgb^*Ma : 0.5 1.0 0.0

lab^*olv^*Ma : 0.3 1.0 0.0

Dreiecks-Helligkeit i^*

%Umfang

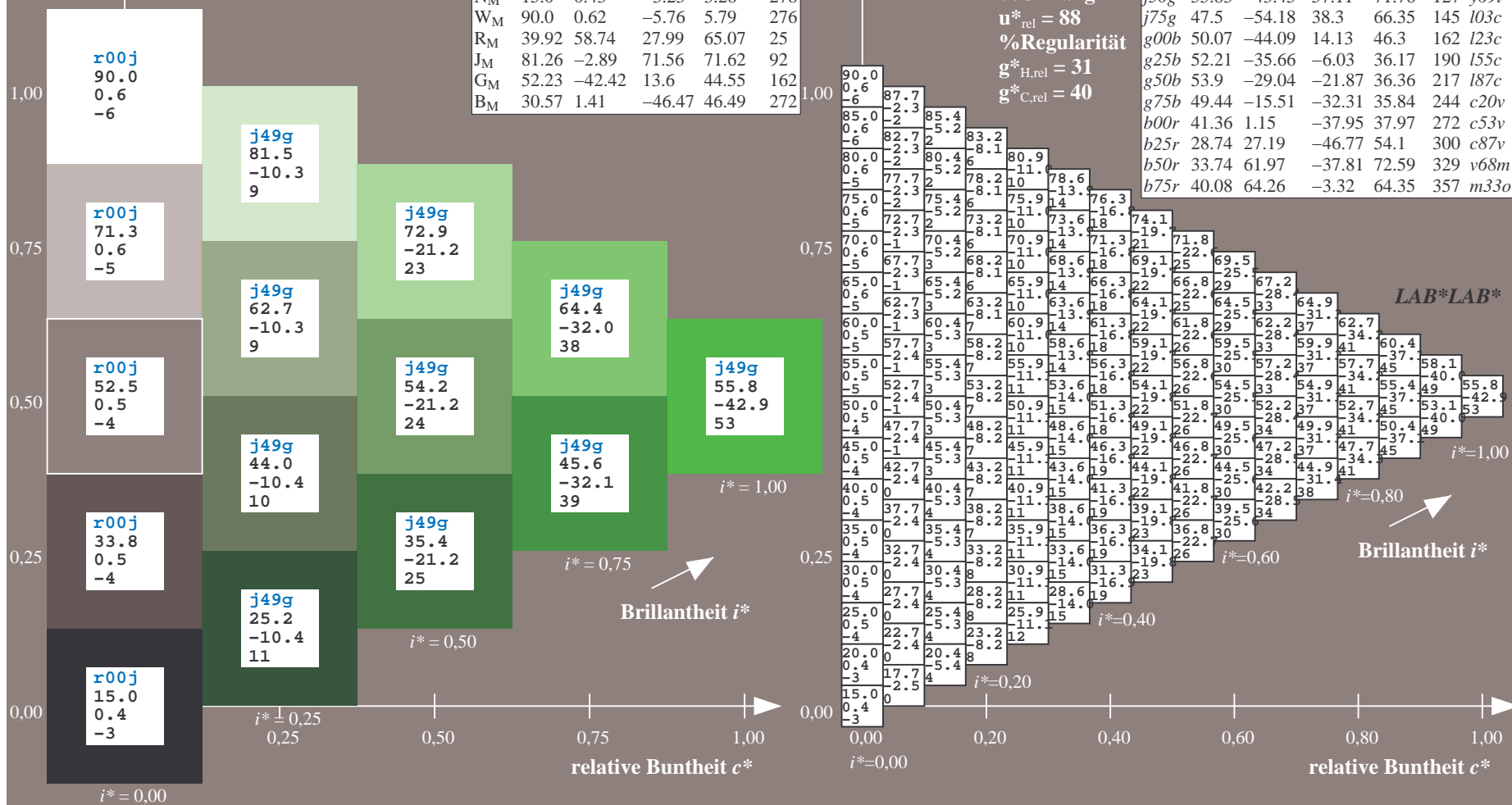
$u^*_{rel} = 88$

%Regularität

$g^*_{H,rel} = 31$

$g^*_{C,rel} = 40$

FRS09_92aM; adaptierte CIELAB-Daten									
u^*_e	$L^*=L^*$	a^*_a	b^*_a	$C^*_{ab,a}$	$h^*_{ab,a}$	u^*_d			
r00j	39.18	56.94	27.13	63.07	25	m81o			
r25j	42.41	49.1	44.5	66.26	42	o10y			
r50j	52.78	35.22	58.37	68.17	59	o40y			
r75j	64.82	19.12	74.47	76.89	76	o69y			
j00g	82.06	-3.94	97.52	97.6	92	o98y			
j25g	67.26	-26.87	74.67	79.36	110	y34l			
j50g	55.83	-43.45	57.11	71.76	127	y69l			
j75g	47.5	-54.18	38.3	66.35	145	i03c			
g00b	50.07	-44.09	14.13	46.3	162	i23c			
g25b	52.21	-35.66	-6.03	36.17	190	i55c			
g50b	53.9	-29.04	-21.87	36.36	217	i87c			
g75b	49.44	-15.51	-32.31	35.84	244	c20v			
b00r	41.36	1.15	-37.95	37.97	272	c53v			
b25r	28.74	27.19	-46.77	54.1	300	c87v			
b50r	33.74	61.97	-37.81	72.59	329	v68m			
b75r	40.08	64.26	-3.32	64.35	357	m33o			



Ein und Ausgabe: Farbmetrisches Drucker-Reflektiv-System FRS09_92aM für relativen CIELAB-Buntton $h^* = lab^*h^* = h_{ab}/360 = 0.402$

Daten für jede Farbe:

lab^*ch^* und lab^*icu^*

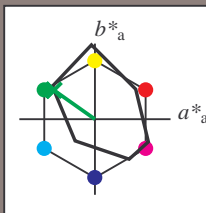
Bunttontexte:

$u^*_e = j75g$ $u^*_d = i03c$

Kontrastreduzierungsfaktor:

$c_R = 0.9$

Dreiecks-Helligkeit i^*



FRS09_92M; CIELAB-Daten						
u^*_e	$L^*=L^*$	a^*	b^*	C^*_{ab}	h^*_{ab}	
O _M	38.8	54.41	35.65	65.05	33	
Y _M	82.58	-4.04	92.72	92.8	92	
L _M	46.95	-55.83	39.15	68.19	145	
C _M	54.62	-25.67	-33.25	42.01	232	
V _M	20.01	45.64	-56.27	72.45	309	
M _M	40.88	71.17	-34.09	78.92	334	
N _M	15.0	0.43	-3.23	3.26	278	
W _M	90.0	0.62	-5.76	5.79	276	
R _M	39.92	58.74	27.99	65.07	25	
J _M	81.26	-2.89	71.56	71.62	92	
G _M	52.23	-42.42	13.6	44.55	162	
B _M	30.57	1.41	-46.47	46.49	272	

Daten für Maximalfarbe (Ma):

$LAB^*LAB^*_{Ma}$: 48 -54 38

$LAB^*LCH^*_{Ma}$: 48 66 144

$lab^*rgb^*_{Ma}$: 0.25 1.0 0.0

$lab^*olv^*_{Ma}$: 0.0 1.0 0.03

Dreiecks-Helligkeit i^*

%Umfang

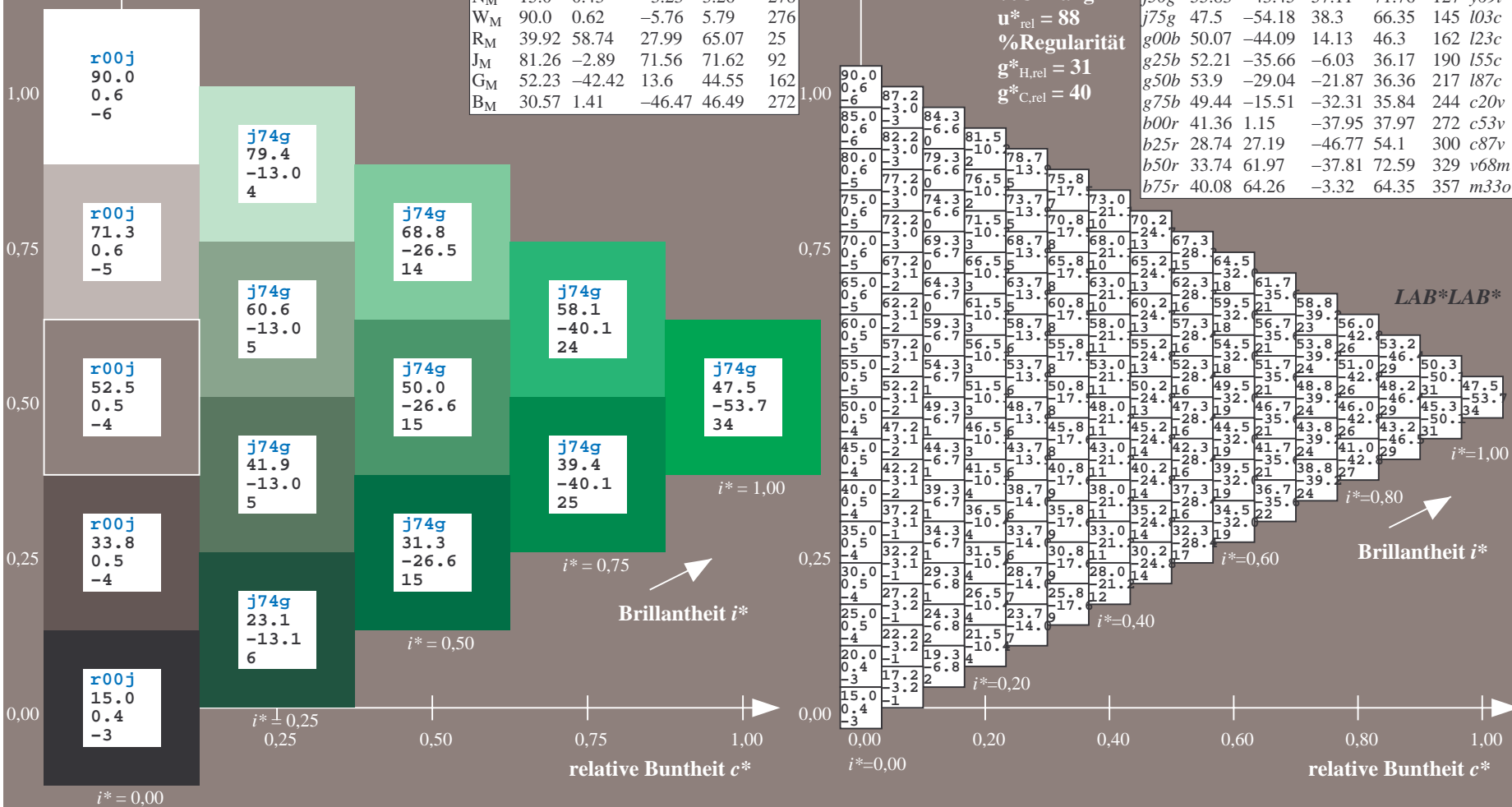
$u^*_{rel} = 88$

%Regularität

$g^*_{H,rel} = 31$

$g^*_{C,rel} = 40$

FRS09_92aM; adaptierte CIELAB-Daten									
u^*_e	$L^*=L^*$	a^*	b^*	$C^*_{ab,a}$	$h^*_{ab,a}$	u^*_d			
r00j	39.18	56.94	27.13	63.07	25	m81o			
r25j	42.41	49.1	44.5	66.26	42	o10y			
r50j	52.78	35.22	58.37	68.17	59	o40y			
r75j	64.82	19.12	74.47	76.89	76	o69y			
j00g	82.06	-3.94	97.52	97.6	92	o98y			
j25g	67.26	-26.87	74.67	79.36	110	y34l			
j50g	55.83	-43.45	57.11	71.76	127	y69l			
j75g	47.5	-54.18	38.3	66.35	145	i03c			
g00b	50.07	-44.09	14.13	46.3	162	i23c			
g25b	52.21	-35.66	-6.03	36.17	190	i55c			
g50b	53.9	-29.04	-21.87	36.36	217	i87c			
g75b	49.44	-15.51	-32.31	35.84	244	c20v			
b00r	41.36	1.15	-37.95	37.97	272	c53v			
b25r	28.74	27.19	-46.77	54.1	300	c87v			
b50r	33.74	61.97	-37.81	72.59	329	v68m			
b75r	40.08	64.26	-3.32	64.35	357	m33o			



Ein und Ausgabe: Farbmetrisches Drucker-Reflektiv-System FRS09_92aM für relativen CIELAB-Buntton $h^* = lab^*h^* = h_{ab}/360 = 0.451$

Daten für jede Farbe:

lab^*ch^* und lab^*icu^*

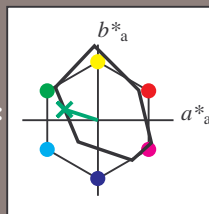
Bunttontexte:

$u^*_e = g00b$ $u^*_d = l23c$

Kontrastreduzierungsfaktor:

$c_R = 0.9$

Dreiecks-Helligkeit i^*



FRS09_92M; CIELAB-Daten						
u^*_e	$L^*=L^*$	a^*	b^*	C^*_{ab}	h^*_{ab}	
O _M	38.8	54.41	35.65	65.05	33	
Y _M	82.58	-4.04	92.72	92.8	92	
L _M	46.95	-55.83	39.15	68.19	145	
C _M	54.62	-25.67	-33.25	42.01	232	
V _M	20.01	45.64	-56.27	72.45	309	
M _M	40.88	71.17	-34.09	78.92	334	
N _M	15.0	0.43	-3.23	3.26	278	
W _M	90.0	0.62	-5.76	5.79	276	
R _M	39.92	58.74	27.99	65.07	25	
J _M	81.26	-2.89	71.56	71.62	92	
G _M	52.23	-42.42	13.6	44.55	162	
B _M	30.57	1.41	-46.47	46.49	272	

Daten für Maximalfarbe (Ma):

$LAB^*LAB^*Ma: 50 -44 14$

$LAB^*LCH^*Ma: 50 46 162$

$lab^*rgb^*Ma: 0.0 1.0 0.0$

$lab^*olv^*Ma: 0.0 1.0 0.23$

Dreiecks-Helligkeit i^*

%Umfang

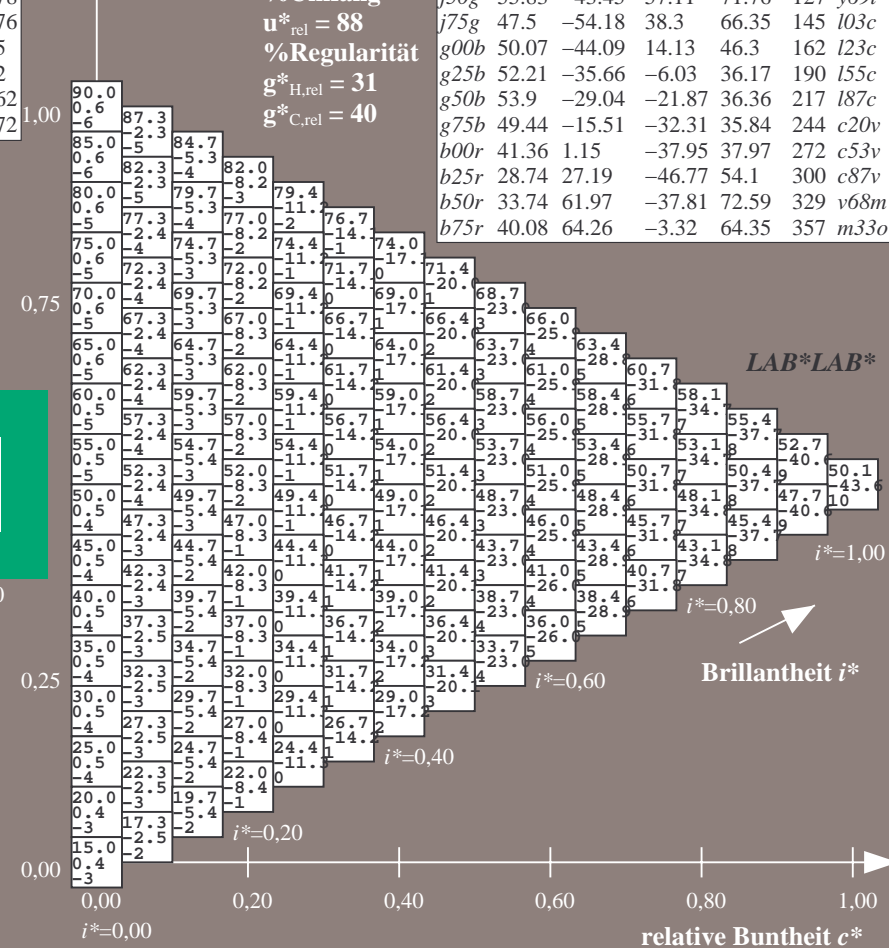
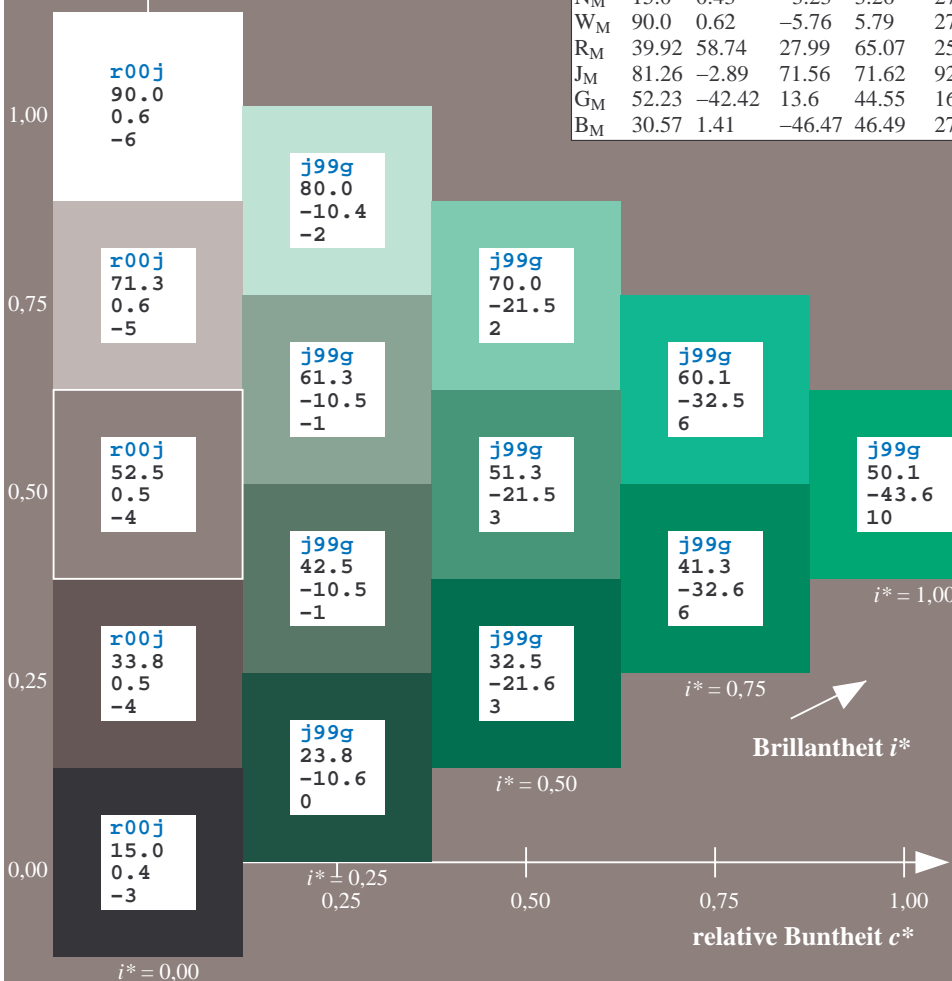
$u^*_{rel} = 88$

%Regularität

$g^*_{H,rel} = 31$

$g^*_{C,rel} = 40$

FRS09_92aM; adaptierte CIELAB-Daten									
u^*_e	$L^*=L^*$	a^*	b^*	C^*_{ab}	h^*_{ab}	u^*_d			
r00j	39.18	56.94	27.13	63.07	25	m81o			
r25j	42.41	49.1	44.5	66.26	42	o10y			
r50j	52.78	35.22	58.37	68.17	59	o40y			
r75j	64.82	19.12	74.47	76.89	76	o69y			
j00g	82.06	-3.94	97.52	97.6	92	o98y			
j25g	67.26	-26.87	74.67	79.36	110	y34l			
j50g	55.83	-43.45	57.11	71.76	127	y69l			
j75g	47.5	-54.18	38.3	66.35	145	l03c			
g00b	50.07	-44.09	14.13	46.3	162	l23c			
g25b	52.21	-35.66	-6.03	36.17	190	l55c			
g50b	53.9	-29.04	-21.87	36.36	217	l87c			
g75b	49.44	-15.51	-32.31	35.84	244	c20v			
b00r	41.36	1.15	-37.95	37.97	272	c53v			
b25r	28.74	27.19	-46.77	54.1	300	c87v			
b50r	33.74	61.97	-37.81	72.59	329	v68m			
b75r	40.08	64.26	-3.32	64.35	357	m33o			



Ein und Ausgabe: Farbmetrisches Drucker-Reflektiv-System FRS09_92aM für relativen CIELAB-Buntton $h^* = lab^*h^* = h_{ab}/360 = 0.527$

Daten für jede Farbe:

lab^*tch^* und lab^*icu^*

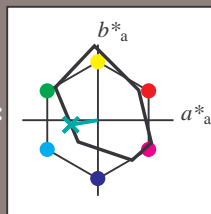
Bunttontexte:

$u^*_e = g25b$ $u^*_d = l55c$

Kontrastreduzierungsfaktor:

$c_R = 0.9$

Dreiecks-Helligkeit t^*



FRS09_92M; CIELAB-Daten						
u^*_e	$L^*=L^*$	a^*	b^*	C^*_{ab}	h^*_{ab}	
O _M	38.8	54.41	35.65	65.05	33	
Y _M	82.58	-4.04	92.72	92.8	92	
L _M	46.95	-55.83	39.15	68.19	145	
C _M	54.62	-25.67	-33.25	42.01	232	
V _M	20.01	45.64	-56.27	72.45	309	
M _M	40.88	71.17	-34.09	78.92	334	
N _M	15.0	0.43	-3.23	3.26	278	
W _M	90.0	0.62	-5.76	5.79	276	
R _M	39.92	58.74	27.99	65.07	25	
J _M	81.26	-2.89	71.56	71.62	92	
G _M	52.23	-42.42	13.6	44.55	162	
B _M	30.57	1.41	-46.47	46.49	272	

Daten für Maximalfarbe (Ma):

$LAB^*LAB^*_{Ma}$: 52 -36 -6

$LAB^*LCH^*_{Ma}$: 52 36 189

$lab^*rgb^*_{Ma}$: 0.0 1.0 0.5

$lab^*olv^*_{Ma}$: 0.0 1.0 0.55

Dreiecks-Helligkeit t^*

%Umfang

$u^*_{rel} = 88$

%Regularität

$g^*_{H,rel} = 31$

$g^*_{C,rel} = 40$

FRS09_92aM; adaptierte CIELAB-Daten									
u^*_e	$L^*=L^*_a$	a^*_a	b^*_a	$C^*_{ab,a}$	$h^*_{ab,a}$	u^*_d			
r00j	39.18	56.94	27.13	63.07	25	m81o			
r25j	42.41	49.1	44.5	66.26	42	o10y			
r50j	52.78	35.22	58.37	68.17	59	o40y			
r75j	64.82	19.12	74.47	76.89	76	o69y			
j00g	82.06	-3.94	97.52	97.6	92	o98y			
j25g	67.26	-26.87	74.67	79.36	110	y34l			
j50g	55.83	-43.45	57.11	71.76	127	y69l			
j75g	47.5	-54.18	38.3	66.35	145	l03c			
g00b	50.07	-44.09	14.13	46.3	162	l23c			
g25b	52.21	-35.66	-6.03	36.17	190	l55c			
g50b	53.9	-29.04	-21.87	36.36	217	l87c			
g75b	49.44	-15.51	-32.31	35.84	242	c20v			
b00r	41.36	1.15	-37.95	37.97	272	c53v			
b25r	28.74	27.19	-46.77	54.1	300	c87v			
b50r	33.74	61.97	-37.81	72.59	329	v68m			
b75r	40.08	64.26	-3.32	64.35	357	m33o			

LAB^*LAB^*

$i^*=1.00$

Brillantheit i^*

$i^*=0.80$

$i^*=0.60$

$i^*=0.40$

$i^*=0.20$

$i^*=0.00$

relative Buntheit c^*

relative Buntheit c^*

Ein und Ausgabe: Farbmetrisches Drucker-Reflektiv-System FRS09_92aM für relativen CIELAB-Buntton $h^* = lab^*h^* = h_{ab}/360 = 0.603$

Daten für jede Farbe:
 lab^*tch^* und lab^*icu^*

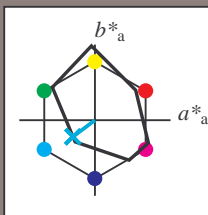
Bunttontexte:

$$u^*_e = g50b \quad u^*_d = l87c$$

Kontrastreduzierungsfaktor:

$$c_R = 0.9$$

Dreiecks-Helligkeit t^*



FRS09_92M; CIELAB-Daten						
u^*_e	$L^*=L^*$	a^*	b^*	C^*_{ab}	h^*_{ab}	
O _M	38.8	54.41	35.65	65.05	33	
Y _M	82.58	-4.04	92.72	92.8	92	
L _M	46.95	-55.83	39.15	68.19	145	
C _M	54.62	-25.67	-33.25	42.01	232	
V _M	20.01	45.64	-56.27	72.45	309	
M _M	40.88	71.17	-34.09	78.92	334	
N _M	15.0	0.43	-3.23	3.26	278	
W _M	90.0	0.62	-5.76	5.79	276	
R _M	39.92	58.74	27.99	65.07	25	
J _M	81.26	-2.89	71.56	71.62	92	
G _M	52.23	-42.42	13.6	44.55	162	
B _M	30.57	1.41	-46.47	46.49	272	

Daten für Maximalfarbe (Ma):

$$LAB^*LAB^*_{Ma}: 54 \quad -29 \quad -22$$

$$LAB^*LCH^*_{Ma}: 54 \quad 36 \quad 216$$

$$lab^*rgb^*_{Ma}: 0.0 \quad 1.0 \quad 1.0$$

$$lab^*olv^*_{Ma}: 0.0 \quad 1.0 \quad 0.88$$

Dreiecks-Helligkeit t^*

%Umfang

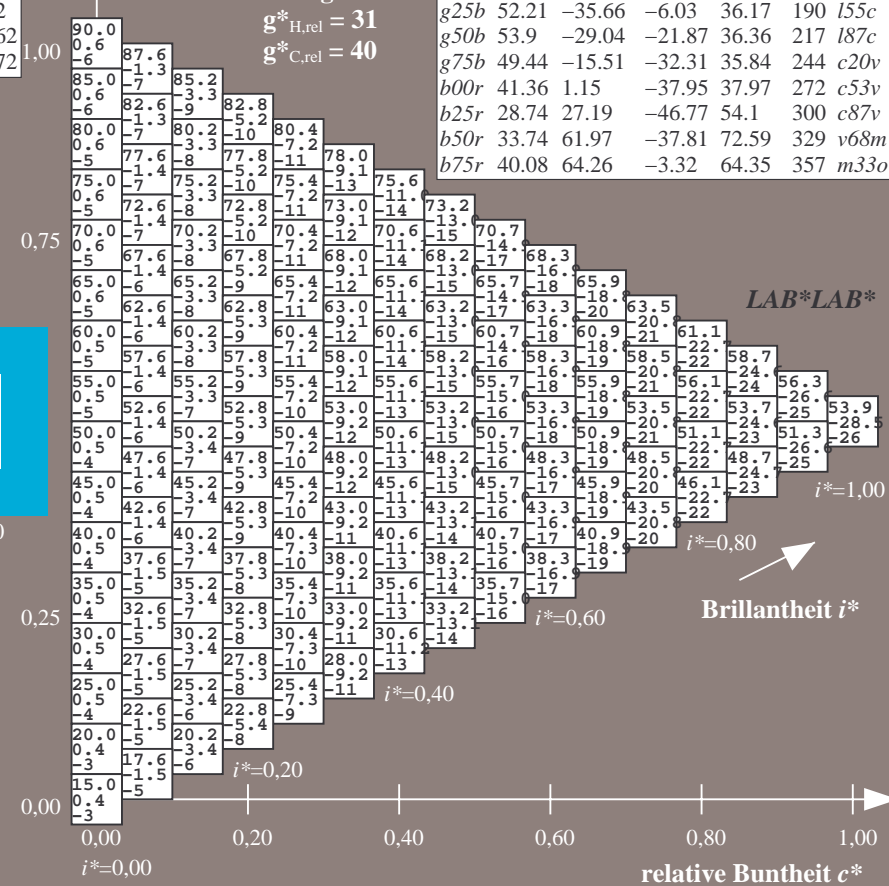
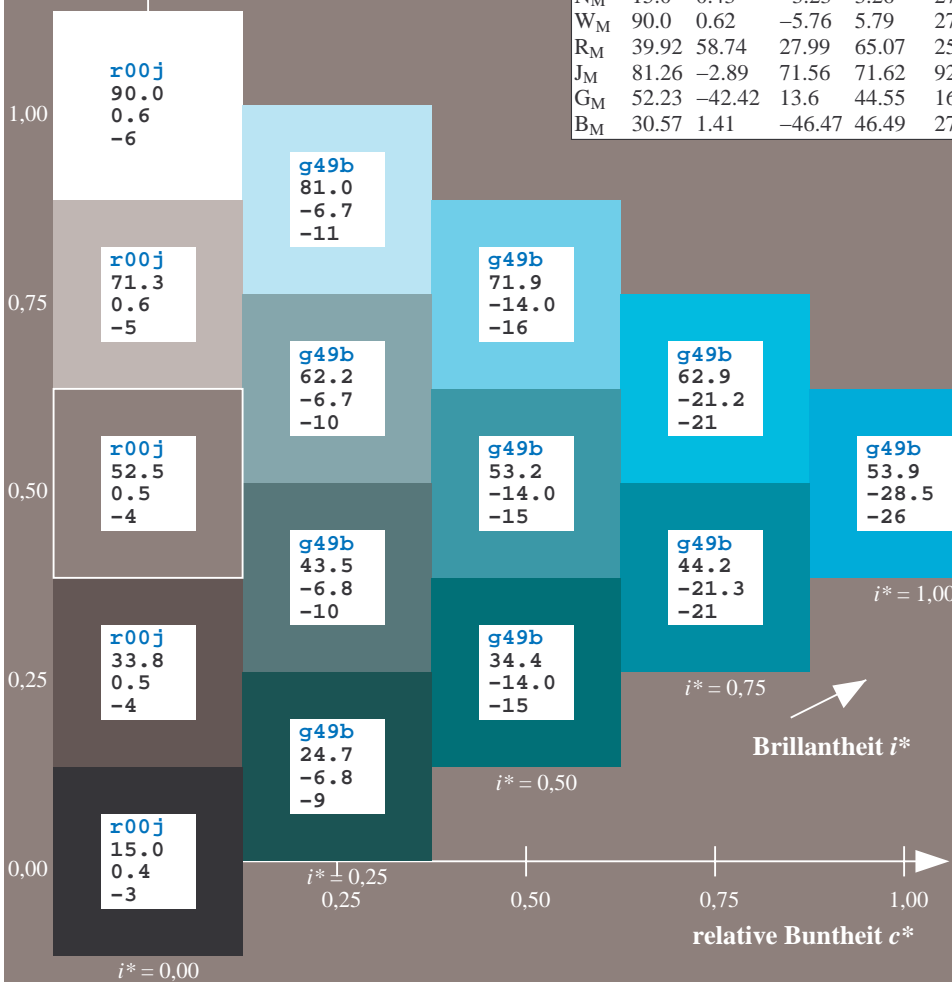
$$u^*_{rel} = 88$$

%Regularität

$$g^*_{H,rel} = 31$$

$$g^*_{C,rel} = 40$$

FRS09_92aM; adaptierte CIELAB-Daten									
u^*_e	$L^*=L^*_a$	a^*_a	b^*_a	$C^*_{ab,a}$	$h^*_{ab,a}$	u^*_d			
r00j	39.18	56.94	27.13	63.07	25	m81o			
r25j	42.41	49.1	44.5	66.26	42	o10y			
r50j	52.78	35.22	58.37	68.17	59	o40y			
r75j	64.82	19.12	74.47	76.89	76	o69y			
j00g	82.06	-3.94	97.52	97.6	92	o98y			
j25g	67.26	-26.87	74.67	79.36	110	y34l			
j50g	55.83	-43.45	57.11	71.76	127	y69l			
j75g	47.5	-54.18	38.3	66.35	145	l03c			
g00b	50.07	-44.09	14.13	46.3	162	l23c			
g25b	52.21	-35.66	-6.03	36.17	190	l55c			
g50b	53.9	-29.04	-21.87	36.36	217	l87c			
g75b	49.44	-15.51	-32.31	35.84	244	c20v			
b00r	41.36	1.15	-37.95	37.97	272	c53v			
b25r	28.74	27.19	-46.77	54.1	300	c87v			
b50r	33.74	61.97	-37.81	72.59	329	v68m			
b75r	40.08	64.26	-3.32	64.35	357	m33o			



Ein und Ausgabe: Farbmetrisches Drucker-Reflektiv-System FRS09_92aM für relativen CIELAB-Buntton $h^* = lab^*h^* = h_{ab}/360 = 0.679$

Daten für jede Farbe:

lab^*tch^* und lab^*icu^*

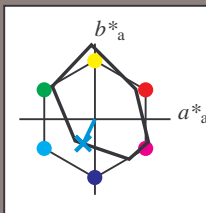
Bunttontexte:

$u^*_e = g75b$ $u^*_d = c20v$

Kontrastreduzierungsfaktor:

$c_R = 0.9$

Dreiecks-Helligkeit i^*



FRS09_92M; CIELAB-Daten						
u^*_e	$L^*=L^*$	a^*	b^*	C^*_{ab}	h^*_{ab}	
O _M	38.8	54.41	35.65	65.05	33	
Y _M	82.58	-4.04	92.72	92.8	92	
L _M	46.95	-55.83	39.15	68.19	145	
C _M	54.62	-25.67	-33.25	42.01	232	
V _M	20.01	45.64	-56.27	72.45	309	
M _M	40.88	71.17	-34.09	78.92	334	
N _M	15.0	0.43	-3.23	3.26	278	
W _M	90.0	0.62	-5.76	5.79	276	
R _M	39.92	58.74	27.99	65.07	25	
J _M	81.26	-2.89	71.56	71.62	92	
G _M	52.23	-42.42	13.6	44.55	162	
B _M	30.57	1.41	-46.47	46.49	272	

Daten für Maximalfarbe (Ma):

$LAB^*LAB^*_{Ma}$: 49 -16 -32

$LAB^*LCH^*_{Ma}$: 49 36 244

$lab^*rgb^*_{Ma}$: 0.0 0.5 1.0

$lab^*olv^*_{Ma}$: 0.0 0.8 1.0

Dreiecks-Helligkeit i^*

%Umfang

$u^*_{rel} = 88$

%Regularität

$g^*_{H,rel} = 31$

$g^*_{C,rel} = 40$

FRS09_92aM; adaptierte CIELAB-Daten							
u^*_e	$L^*=L^*$	a^*_a	b^*_a	$C^*_{ab,a}$	$h^*_{ab,a}$	u^*_d	
r00j	39.18	56.94	27.13	63.07	25	m81o	
r25j	42.41	49.1	44.5	66.26	42	o10y	
r50j	52.78	35.22	58.37	68.17	59	o40y	
r75j	64.82	19.12	74.47	76.89	76	o69y	
j00g	82.06	-3.94	97.52	97.6	92	o98y	
j25g	67.26	-26.87	74.67	79.36	110	y34l	
j50g	55.83	-43.45	57.11	71.76	127	y69l	
j75g	47.5	-54.18	38.3	66.35	145	i03c	
g00b	50.07	-44.09	14.13	46.3	162	i23c	
g25b	52.21	-35.66	-6.03	36.17	190	i55c	
g50b	53.9	-29.04	-21.87	36.36	217	i87c	
g75b	49.44	-15.51	-32.31	35.84	244	c20v	
b00r	41.36	1.15	-37.95	37.97	272	c53v	
b25r	28.74	27.19	-46.77	54.1	300	c87v	
b50r	33.74	61.97	-37.81	72.59	329	v68m	
b75r	40.08	64.26	-3.32	64.35	357	m33o	

LAB^*LAB^*

$i^*=1.00$

Brillantheit i^*

$i^*=0.80$

$i^*=0.60$

$i^*=0.40$

$i^*=0.20$

$i^*=0.00$

Ein und Ausgabe: Farbmetrisches Drucker-Reflektiv-System FRS09_92aM für relativen CIELAB-Buntton $h^* = lab^*h^* = h_{ab}/360 = 0.755$

Daten für jede Farbe:

lab^*ch^* und lab^*icu^*

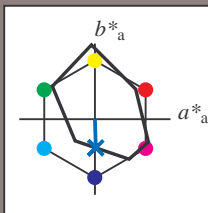
Bunttontexte:

$u^*_e = b00r$ $u^*_d = c53v$

Kontrastreduzierungsfaktor:

$c_R = 0.9$

Dreiecks-Helligkeit i^*



FRS09_92M; CIELAB-Daten						
u^*_e	$L^*=L^*$	a^*	b^*	C^*_{ab}	h^*_{ab}	
O _M	38.8	54.41	35.65	65.05	33	
Y _M	82.58	-4.04	92.72	92.8	92	
L _M	46.95	-55.83	39.15	68.19	145	
C _M	54.62	-25.67	-33.25	42.01	232	
V _M	20.01	45.64	-56.27	72.45	309	
M _M	40.88	71.17	-34.09	78.92	334	
N _M	15.0	0.43	-3.23	3.26	278	
W _M	90.0	0.62	-5.76	5.79	276	
R _M	39.92	58.74	27.99	65.07	25	
J _M	81.26	-2.89	71.56	71.62	92	
G _M	52.23	-42.42	13.6	44.55	162	
B _M	30.57	1.41	-46.47	46.49	272	

Daten für Maximalfarbe (Ma):

$LAB^*LAB^*_{Ma}$: 41 1 -38

$LAB^*LCH^*_{Ma}$: 41 38 271

$lab^*rgb^*_{Ma}$: 0.0 0.0 1.0

$lab^*olv^*_{Ma}$: 0.0 0.47 1.0

Dreiecks-Helligkeit i^*

%Umfang

$u^*_{rel} = 88$

%Regularität

$g^*_{H,rel} = 31$

$g^*_{C,rel} = 40$

FRS09_92aM; adaptierte CIELAB-Daten							
u^*_e	$L^*=L^*_a$	a^*_a	b^*_a	$C^*_{ab,a}$	$h^*_{ab,a}$	u^*_d	
r00j	39.18	56.94	27.13	63.07	25	m81o	
r25j	42.41	49.1	44.5	66.26	42	o10y	
r50j	52.78	35.22	58.37	68.17	59	o40y	
r75j	64.82	19.12	74.47	76.89	76	o69y	
j00g	82.06	-3.94	97.52	97.6	92	o98y	
j25g	67.26	-26.87	74.67	79.36	110	y34l	
j50g	55.83	-43.45	57.11	71.76	127	y69l	
j75g	47.5	-54.18	38.3	66.35	145	i03c	
g00b	50.07	-44.09	14.13	46.3	162	i23c	
g25b	52.21	-35.66	-6.03	36.17	190	i55c	
g50b	53.9	-29.04	-21.87	36.36	217	i87c	
g75b	49.44	-15.51	-32.31	35.84	244	c20v	
b00r	41.36	1.15	-37.95	37.97	272	c53v	
b25r	28.74	27.19	-46.77	54.1	300	c87v	
b50r	33.74	61.97	-37.81	72.59	329	v68m	
b75r	40.08	64.26	-3.32	64.35	357	m33o	

LAB^*LAB^*

$i^*=1.00$

$i^*=0.80$

$i^*=0.60$

$i^*=0.40$

$i^*=0.20$

$i^*=0.00$

$i^*=0.00$

$i^*=0.00$

$i^*=0.00$

$i^*=0.00$

$i^*=0.00$

$i^*=0.00$

$i^*=0.00$

$i^*=0.00$

$i^*=0.00$

$i^*=0.00$

$i^*=0.00$

$i^*=0.00$

$i^*=0.00$

$i^*=0.00$

$i^*=0.00$

$i^*=0.00$

$i^*=0.00$

$i^*=0.00$

Ein und Ausgabe: Farbmetrisches Drucker-Reflektiv-System FRS09_92aM für relativen CIELAB-Buntton $h^* = lab^*h^* = h_{ab}/360 = 0.834$

Daten für jede Farbe:
 lab^*tch^* und lab^*icu^*

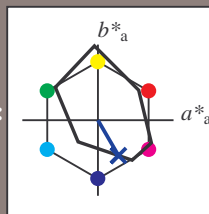
Bunttontexte:

$$u^*_e = b25r \quad u^*_d = c87v$$

Kontrastreduzierungsfaktor:

$$c_R = 0.9$$

Dreiecks-Helligkeit i^*



FRS09_92M; CIELAB-Daten						
u^*_e	$L^*=L^*$	a^*	b^*	C^*_{ab}	h^*_{ab}	
O _M	38.8	54.41	35.65	65.05	33	
Y _M	82.58	-4.04	92.72	92.8	92	
L _M	46.95	-55.83	39.15	68.19	145	
C _M	54.62	-25.67	-33.25	42.01	232	
V _M	20.01	45.64	-56.27	72.45	309	
M _M	40.88	71.17	-34.09	78.92	334	
N _M	15.0	0.43	-3.23	3.26	278	
W _M	90.0	0.62	-5.76	5.79	276	
R _M	39.92	58.74	27.99	65.07	25	
J _M	81.26	-2.89	71.56	71.62	92	
G _M	52.23	-42.42	13.6	44.55	162	
B _M	30.57	1.41	-46.47	46.49	272	

Daten für Maximalfarbe (Ma):

LAB^*LAB^*Ma : 29 27 -47

LAB^*LCH^*Ma : 29 54 300

lab^*rgb^*Ma : 0.5 0.0 1.0

lab^*olv^*Ma : 0.0 0.12 1.0

Dreiecks-Helligkeit i^*

%Umfang

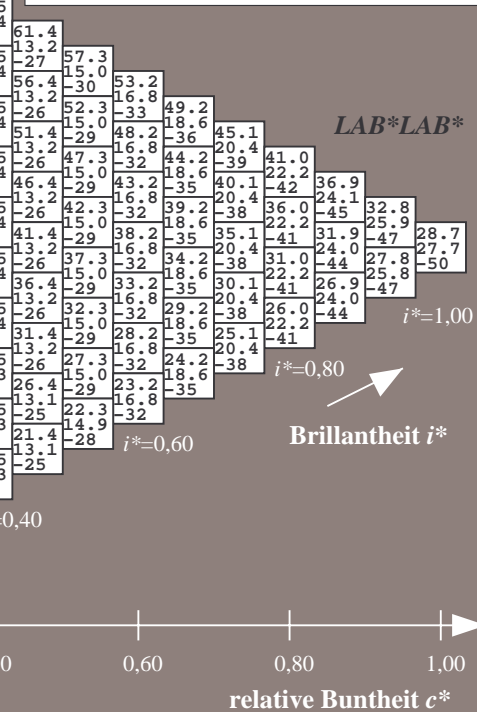
$u^*_{rel} = 88$

%Regularität

$g^*_{H,rel} = 31$

$g^*_{C,rel} = 40$

FRS09_92aM; adaptierte CIELAB-Daten									
u^*_e	$L^*=L^*$	a^*_a	b^*_a	$C^*_{ab,a}$	$h^*_{ab,a}$	u^*_d			
r00j	39.18	56.94	27.13	63.07	25	m81o			
r25j	42.41	49.1	44.5	66.26	42	o10y			
r50j	52.78	35.22	58.37	68.17	59	o40y			
r75j	64.82	19.12	74.47	76.89	76	o69y			
j00g	82.06	-3.94	97.52	97.6	92	o98y			
j25g	67.26	-26.87	74.67	79.36	110	y34l			
j50g	55.83	-43.45	57.11	71.76	127	y69l			
j75g	47.5	-54.18	38.3	66.35	145	i03c			
g00b	50.07	-44.09	14.13	46.3	162	i23c			
g25b	52.21	-35.66	-6.03	36.17	190	i55c			
g50b	53.9	-29.04	-21.87	36.36	217	i87c			
g75b	49.44	-15.51	-32.31	35.84	244	c20v			
b00r	41.36	1.15	-37.95	37.97	272	c53v			
b25r	28.74	27.19	-46.77	54.1	300	c87v			
b50r	33.74	61.97	-37.81	72.59	329	v68m			
b75r	40.08	64.26	-3.32	64.35	357	m33o			



Ein und Ausgabe: Farbmetrisches Drucker-Reflektiv-System FRS09_92aM für relativen CIELAB-Buntton $h^* = lab^*h^* = h_{ab}/360 = 0.913$

Daten für jede Farbe:

lab^*ch^* und lab^*icu^*

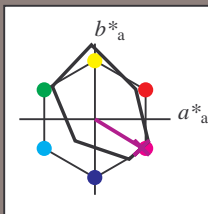
Bunttontexte:

$u^*_e = b50r$ $u^*_d = v68m$

Kontrastreduzierungsfaktor:

$c_R = 0.9$

Dreiecks-Helligkeit t^*



FRS09_92M; CIELAB-Daten						
u^*_e	$L^*=L^*$	a^*	b^*	C^*_{ab}	h^*_{ab}	
O _M	38.8	54.41	35.65	65.05	33	
Y _M	82.58	-4.04	92.72	92.8	92	
L _M	46.95	-55.83	39.15	68.19	145	
C _M	54.62	-25.67	-33.25	42.01	232	
V _M	20.01	45.64	-56.27	72.45	309	
M _M	40.88	71.17	-34.09	78.92	334	
N _M	15.0	0.43	-3.23	3.26	278	
W _M	90.0	0.62	-5.76	5.79	276	
R _M	39.92	58.74	27.99	65.07	25	
J _M	81.26	-2.89	71.56	71.62	92	
G _M	52.23	-42.42	13.6	44.55	162	
B _M	30.57	1.41	-46.47	46.49	272	

Daten für Maximalfarbe (Ma):

$LAB^*LAB^*_{Ma}$: 34 62 -38

$LAB^*LCH^*_{Ma}$: 34 73 328

$lab^*rgb^*_{Ma}$: 1.0 0.0 1.0

$lab^*olv^*_{Ma}$: 0.68 0.0 1.0

Dreiecks-Helligkeit t^*

%Umfang

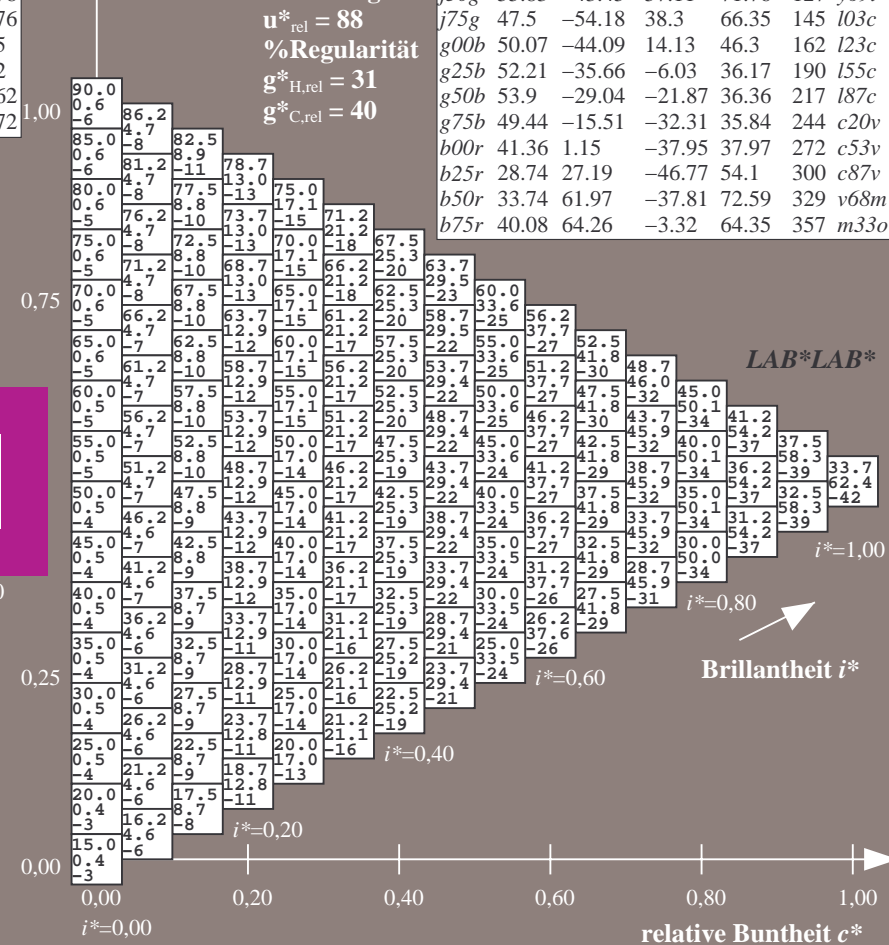
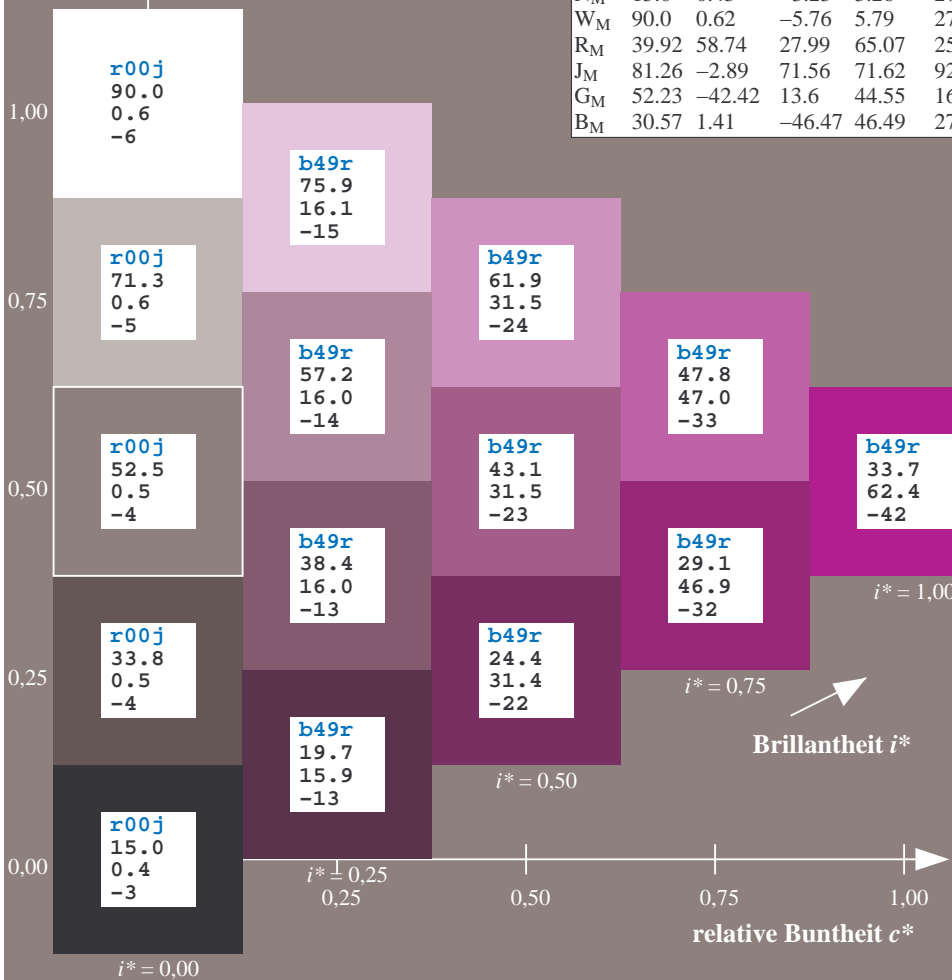
$u^*_{rel} = 88$

%Regularität

$g^*_{H,rel} = 31$

$g^*_{C,rel} = 40$

FRS09_92aM; adaptierte CIELAB-Daten							
u^*_e	$L^*=L^*_a$	a^*_a	b^*_a	$C^*_{ab,a}$	$h^*_{ab,a}$	u^*_d	
r00j	39.18	56.94	27.13	63.07	25	m81o	
r25j	42.41	49.1	44.5	66.26	42	o10y	
r50j	52.78	35.22	58.37	68.17	59	o40y	
r75j	64.82	19.12	74.47	76.89	76	o69y	
j00g	82.06	-3.94	97.52	97.6	92	o98y	
j25g	67.26	-26.87	74.67	79.36	110	y34l	
j50g	55.83	-43.45	57.11	71.76	127	y69l	
j75g	47.5	-54.18	38.3	66.35	145	i03c	
g00b	50.07	-44.09	14.13	46.3	162	i23c	
g25b	52.21	-35.66	-6.03	36.17	190	i55c	
g50b	53.9	-29.04	-21.87	36.36	217	i87c	
g75b	49.44	-15.51	-32.31	35.84	244	c20v	
b00r	41.36	1.15	-37.95	37.97	272	c53v	
b25r	28.74	27.19	-46.77	54.1	300	c87v	
b50r	33.74	61.97	-37.81	72.59	329	v68m	
b75r	40.08	64.26	-3.32	64.35	357	m33o	



Ein und Ausgabe: Farbmetrisches Drucker-Reflektiv-System FRS09_92aM für relativen CIELAB-Buntton $h^* = lab^*h^* = h_{ab}/360 = 0.992$

Daten für jede Farbe:

lab^*ch^* und lab^*icu^*

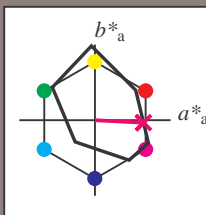
Bunttontexte:

$u^*_e = b75r$ $u^*_d = m33o$

Kontrastreduzierungsfaktor:

$c_R = 0.9$

Dreiecks-Helligkeit i^*



FRS09_92M; CIELAB-Daten						
u^*_e	$L^*=L^*$	a^*	b^*	C^*_{ab}	h^*_{ab}	
O _M	38.8	54.41	35.65	65.05	33	
Y _M	82.58	-4.04	92.72	92.8	92	
L _M	46.95	-55.83	39.15	68.19	145	
C _M	54.62	-25.67	-33.25	42.01	232	
V _M	20.01	45.64	-56.27	72.45	309	
M _M	40.88	71.17	-34.09	78.92	334	
N _M	15.0	0.43	-3.23	3.26	278	
W _M	90.0	0.62	-5.76	5.79	276	
R _M	39.92	58.74	27.99	65.07	25	
J _M	81.26	-2.89	71.56	71.62	92	
G _M	52.23	-42.42	13.6	44.55	162	
B _M	30.57	1.41	-46.47	46.49	272	

Daten für Maximalfarbe (Ma):

$LAB^*LAB^*_{Ma}$: 40 64 -3

$LAB^*LCH^*_{Ma}$: 40 64 357

$lab^*rgb^*_{Ma}$: 1.0 0.0 0.5

$lab^*olv^*_{Ma}$: 1.0 0.0 0.66

Dreiecks-Helligkeit i^*

%Umfang

$u^*_{rel} = 88$

%Regularität

$g^*_{H,rel} = 31$

$g^*_{C,rel} = 40$

FRS09_92aM; adaptierte CIELAB-Daten								
u^*_e	$L^*=L^*_a$	a^*_a	b^*_a	$C^*_{ab,a}$	$h^*_{ab,a}$	u^*_d		
r00j	39.18	56.94	27.13	63.07	25	m81o		
r25j	42.41	49.1	44.5	66.26	42	o10y		
r50j	52.78	35.22	58.37	68.17	59	o40y		
r75j	64.82	19.12	74.47	76.89	76	o69y		
j00g	82.06	-3.94	97.52	97.6	92	o98y		
j25g	67.26	-26.87	74.67	79.36	110	y34l		
j50g	55.83	-43.45	57.11	71.76	127	y69l		
j75g	47.5	-54.18	38.3	66.35	145	i03c		
g00b	50.07	-44.09	14.13	46.3	162	i23c		
g25b	52.21	-35.66	-6.03	36.17	190	i55c		
g50b	53.9	-29.04	-21.87	36.36	217	i87c		
g75b	49.44	-15.51	-32.31	35.84	244	c20v		
b00r	41.36	1.15	-37.95	37.97	272	c53v		
b25r	28.74	27.19	-46.77	54.1	300	c87v		
b50r	33.74	61.97	-37.81	72.59	329	v68m		
b75r	40.08	64.26	-3.32	64.35	357	m33o		

LAB^*LAB^*

$i^*=1.00$

Brillantheit i^*

$i^*=0.80$

$i^*=0.60$

$i^*=0.40$

$i^*=0.20$

$i^*=0.00$

relative Buntheit c^*

relative Buntheit c^*

Siehe ähnliche Dateien: <http://www.ps.bam.de/Eg33/>; www.ps.bam.de/Eg33/
Technische Information: <http://www.ps.bam.de/Version 2.1, io=1.1, ColSp=0>

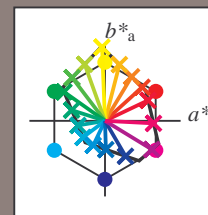
BAM-Registrierung: 20081001-Eg33/10L/L33G00NP.PS/.PDF BAM-Material: Code=th4ta
Anwendung für Beurteilung und Messung von Drucker- oder Monitorsystemen

	A	B	C	D	E	F	G	H	I	J	K	L	M	N	O	P	Q	R	S	T	U	V	W	X	Y	Z	a	b	c	d	e	f	g	h	i	j	k	LAB*	LAB*																																																																																																																																																																																																																																																																																																																																																																																																																																																																																																																																																																																																																																																																																																																																																																																																																																																																																																																								
01	15.0	19.0	23.0	27.0	31.0	35.0	39.0	43.0	47.0	51.0	55.0	59.0	63.0	67.0	71.0	75.0	79.0	83.0	87.0	91.0	95.0	99.0	103.0	107.0	111.0	115.0	119.0	123.0	127.0	131.0	135.0	139.0	143.0	147.0	151.0	155.0	159.0	163.0	167.0	171.0	175.0	179.0	183.0	187.0	191.0	195.0	199.0	203.0	207.0	211.0	215.0	219.0	223.0	227.0	231.0	235.0	239.0	243.0	247.0	251.0	255.0	259.0	263.0	267.0	271.0	275.0	279.0	283.0	287.0	291.0	295.0	299.0	303.0	307.0	311.0	315.0	319.0	323.0	327.0	331.0	335.0	339.0	343.0	347.0	351.0	355.0	359.0	363.0	367.0	371.0	375.0	379.0	383.0	387.0	391.0	395.0	399.0	403.0	407.0	411.0	415.0	419.0	423.0	427.0	431.0	435.0	439.0	443.0	447.0	451.0	455.0	459.0	463.0	467.0	471.0	475.0	479.0	483.0	487.0	491.0	495.0	499.0	503.0	507.0	511.0	515.0	519.0	523.0	527.0	531.0	535.0	539.0	543.0	547.0	551.0	555.0	559.0	563.0	567.0	571.0	575.0	579.0	583.0	587.0	591.0	595.0	599.0	603.0	607.0	611.0	615.0	619.0	623.0	627.0	631.0	635.0	639.0	643.0	647.0	651.0	655.0	659.0	663.0	667.0	671.0	675.0	679.0	683.0	687.0	691.0	695.0	699.0	703.0	707.0	711.0	715.0	719.0	723.0	727.0	731.0	735.0	739.0	743.0	747.0	751.0	755.0	759.0	763.0	767.0	771.0	775.0	779.0	783.0	787.0	791.0	795.0	799.0	803.0	807.0	811.0	815.0	819.0	823.0	827.0	831.0	835.0	839.0	843.0	847.0	851.0	855.0	859.0	863.0	867.0	871.0	875.0	879.0	883.0	887.0	891.0	895.0	899.0	903.0	907.0	911.0	915.0	919.0	923.0	927.0	931.0	935.0	939.0	943.0	947.0	951.0	955.0	959.0	963.0	967.0	971.0	975.0	979.0	983.0	987.0	991.0	995.0	999.0	1003.0	1007.0	1011.0	1015.0	1019.0	1023.0	1027.0	1031.0	1035.0	1039.0	1043.0	1047.0	1051.0	1055.0	1059.0	1063.0	1067.0	1071.0	1075.0	1079.0	1083.0	1087.0	1091.0	1095.0	1099.0	1103.0	1107.0	1111.0	1115.0	1119.0	1123.0	1127.0	1131.0	1135.0	1139.0	1143.0	1147.0	1151.0	1155.0	1159.0	1163.0	1167.0	1171.0	1175.0	1179.0	1183.0	1187.0	1191.0	1195.0	1199.0	1203.0	1207.0	1211.0	1215.0	1219.0	1223.0	1227.0	1231.0	1235.0	1239.0	1243.0	1247.0	1251.0	1255.0	1259.0	1263.0	1267.0	1271.0	1275.0	1279.0	1283.0	1287.0	1291.0	1295.0	1299.0	1303.0	1307.0	1311.0	1315.0	1319.0	1323.0	1327.0	1331.0	1335.0	1339.0	1343.0	1347.0	1351.0	1355.0	1359.0	1363.0	1367.0	1371.0	1375.0	1379.0	1383.0	1387.0	1391.0	1395.0	1399.0	1403.0	1407.0	1411.0	1415.0	1419.0	1423.0	1427.0	1431.0	1435.0	1439.0	1443.0	1447.0	1451.0	1455.0	1459.0	1463.0	1467.0	1471.0	1475.0	1479.0	1483.0	1487.0	1491.0	1495.0	1499.0	1503.0	1507.0	1511.0	1515.0	1519.0	1523.0	1527.0	1531.0	1535.0	1539.0	1543.0	1547.0	1551.0	1555.0	1559.0	1563.0	1567.0	1571.0	1575.0	1579.0	1583.0	1587.0	1591.0	1595.0	1599.0	1603.0	1607.0	1611.0	1615.0	1619.0	1623.0	1627.0	1631.0	1635.0	1639.0	1643.0	1647.0	1651.0	1655.0	1659.0	1663.0	1667.0	1671.0	1675.0	1679.0	1683.0	1687.0	1691.0	1695.0	1699.0	1703.0	1707.0	1711.0	1715.0	1719.0	1723.0	1727.0	1731.0	1735.0	1739.0	1743.0	1747.0	1751.0	1755.0	1759.0	1763.0	1767.0	1771.0	1775.0	1779.0	1783.0	1787.0	1791.0	1795.0	1799.0	1803.0	1807.0	1811.0	1815.0	1819.0	1823.0	1827.0	1831.0	1835.0	1839.0	1843.0	1847.0	1851.0	1855.0	1859.0	1863.0	1867.0	1871.0	1875.0	1879.0	1883.0	1887.0	1891.0	1895.0	1899.0	1903.0	1907.0	1911.0	1915.0	1919.0	1923.0	1927.0	1931.0	1935.0	1939.0	1943.0	1947.0	1951.0	1955.0	1959.0	1963.0	1967.0	1971.0	1975.0	1979.0	1983.0	1987.0	1991.0	1995.0	1999.0	2003.0	2007.0	2011.0	2015.0	2019.0	2023.0	2027.0	2031.0	2035.0	2039.0	2043.0	2047.0	2051.0	2055.0	2059.0	2063.0	2067.0	2071.0	2075.0	2079.0	2083.0	2087.0	2091.0	2095.0	2099.0	2103.0	2107.0	2111.0	2115.0	2119.0	2123.0	2127.0	2131.0	2135.0	2139.0	2143.0	2147.0	2151.0	2155.0	2159.0	2163.0	2167.0	2171.0	2175.0	2179.0	2183.0	2187.0	2191.0	2195.0	2199.0	2203.0	2207.0	2211.0	2215.0	2219.0	2223.0	2227.0	2231.0	2235.0	2239.0	2243.0	2247.0	2251.0	2255.0	2259.0	2263.0	2267.0	2271.0	2275.0	2279.0	2283.0	2287.0	2291.0	2295.0	2299.0	2303.0	2307.0	2311.0	2315.0	2319.0	2323.0	2327.0	2331.0	2335.0	2339.0	2343.0	2347.0	2351.0	2355.0	2359.0	2363.0	2367.0	2371.0	2375.0	2379.0	2383.0	2387.0	2391.0	2395.0	2399.0	2403.0	2407.0	2411.0	2415.0	2419.0	2423.0	2427.0	2431.0	2435.0	2439.0	2443.0	2447.0	2451.0	2455.0	2459.0	2463.0	2467.0	2471.0	2475.0	2479.0	2483.0	2487.0	2491.0	2495.0	2499.0	2503.0	2507.0	2511.0	2515.0	2519.0	2523.0	2527.0	2531.0	2535.0	2539.0	2543.0	2547.0	2551.0	2555.0	2559.0	2563.0	2567.0	2571.0	2575.0	2579.0	2583.0	2587.0	2591.0	2595.0	2599.0	2603.0	2607.0	2611.0	2615.0	2619.0	2623.0	2627.0	2631.0	2635.0	2639.0	2643.0	2647.0	2651.0	2655.0	2659.0	2663.0	2667.0	2671.0	2675.0	2679.0	2683.0	2687.0	2691.0	2695.0	2699.0	2703.0	2707.0	2711.0	2715.0	2719.0	2723.0	2727.0	2731.0	2735.0	2739.0	2743.0	2747.0	2751.0	2755.0	2759.0	2763.0	2767.0	2771.0	2775.0	2779.0	2783.0	2787.0	2791.0	2795.0	2799.0	2803.0	2807.0	2811.0	2815.0	2819.0	2823.0	2827.0	2831.0	2835.0	2839.0	2843.0	2847.0	2851.0	2855.0	2859.0	2863.0	2867.0	2871.0	2875.0	2879.0	2883.0	2887.0	2891.0	2895.0	2899.0	2903.0	2907.0	2911.0	2915.0	2919.0	2923.0	2927.0	2931.0	2935.0	2939.0	2943.0	2947.0	2951.0	2955.0	2959.0	2963.0	2967.0	2971.0	2975.0	2979.0	2983.0	2987.0	2991.0	2995.0	2999.0	3003.0	3007.0	3011.0	3015.0	3019.0	3023.0	3027.0	3031.0	3035.0	3039.0	3043.0	3047.0	3051.0	3055.0	3059.0	3063.0	3067.0	3071.0	3075.0	3079.0	3083.0	3087.0	3091.0	3095.0	3099.0	3103.0	3107.0	3111.0	3115.0	3119.0	3123.0	3127.0	3131.0	3135.0	3139.0	3143.0	3147.0	3151.0	3155.0	3159.0	3163.0	3167.0	3171.0	3175.0	3179.0	3183.0	3187.0	3191.0	3195.0	3199.0	3203.0	3207.0	3211.0	3215.0	3219.0	3223.0	3227.0	3231.0	3235.0	3239.0	3243.0	3247.0	3251.0	3255.0	3259.0	3263.0	3267.0	3271.0	3275.0	3279.0	3283.0	3287.0	3291.0	3295.0	3299.0	3303.0	3307.0	3311.0	3315.0	3319.0	3323.0	3327.0	3331.0	3335.0	3339.0	3343.0	3347.0	3351.0	3355.0	3359.0	3363.0	3367.0	3371.0	3375.0	3379.0	3383.0	3387.0	3391.0	3395.0	3399.0	3403.0	3407.0	3411.0	3415.0	3419.0	3423.0	3427.0	3431.0	3435.0	3439.0	3443.0	3447.0	3451.0	3455.0	3459.0	3463.0	3467.0	3471.0	3475.0	3479.0	3483.0	3487.0	3491.0	3495.0	3499.0	3503.0	3507.0	3511.0	3515.0	3519.0	3523.0	3527.0	3531.0	3535.0	3539.0	3543.0	3547.0	3551.0	3555.0	3559.0	3563.0	3567.0	3571.0	3575.0	3579.0	3583.0	3587.0	3591.0	3595.0	3599.0	3603.0	3607.0	3611.0	3615.0	3619.0	3623.0	3627.0	3631.0	3635.0	3639.0	3643.0	3647.0	3651.0	3655.0	3659.0	3663.0	3667.0	3671.0	3675.0	3679.0	3683.0	3687.0	3691.0	3695.0	3699.0	3703.0	3707.0	3711.0	3715.0	

Ein und Ausgabe:
Farbmetrisches Drucker-Reflektiv-System FRS09_92aM
Daten für jede Farbe:
 u_e^* und Nummer $Nr.$ = 00 .. 15
Elementar-Bunttontext:
 $u_e^* = 16$ Bunttoene $r00j, r25j, \dots, b75r$
Kontrastreduzierungsfaktor:
 $c_R = 0.9$

FRS09_92aM; adaptierte CIELAB-Daten

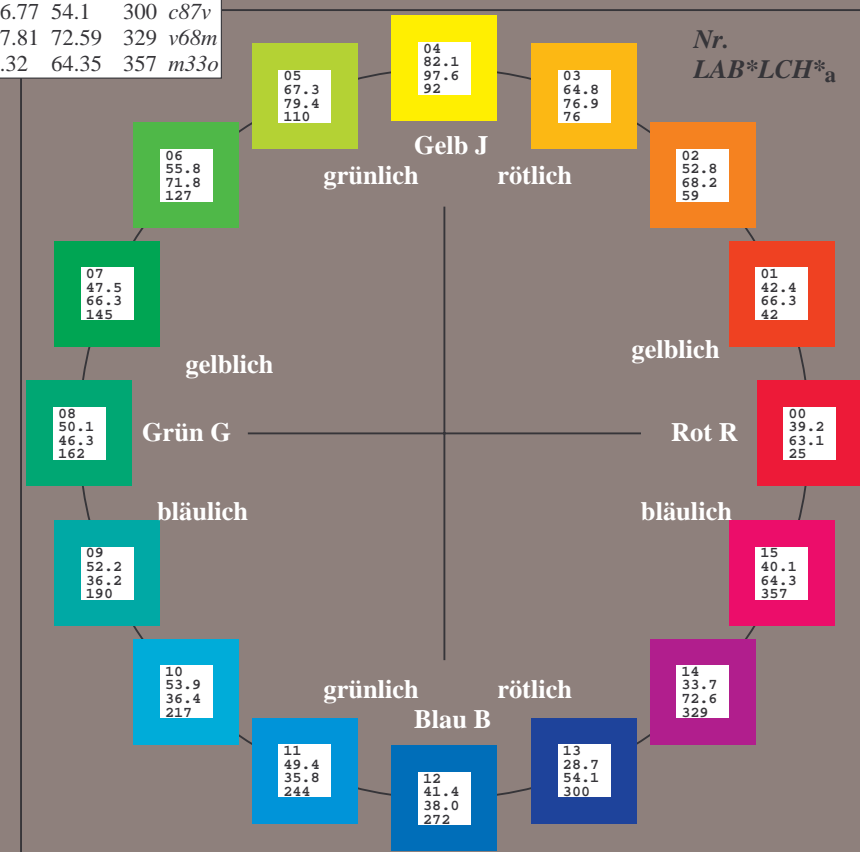
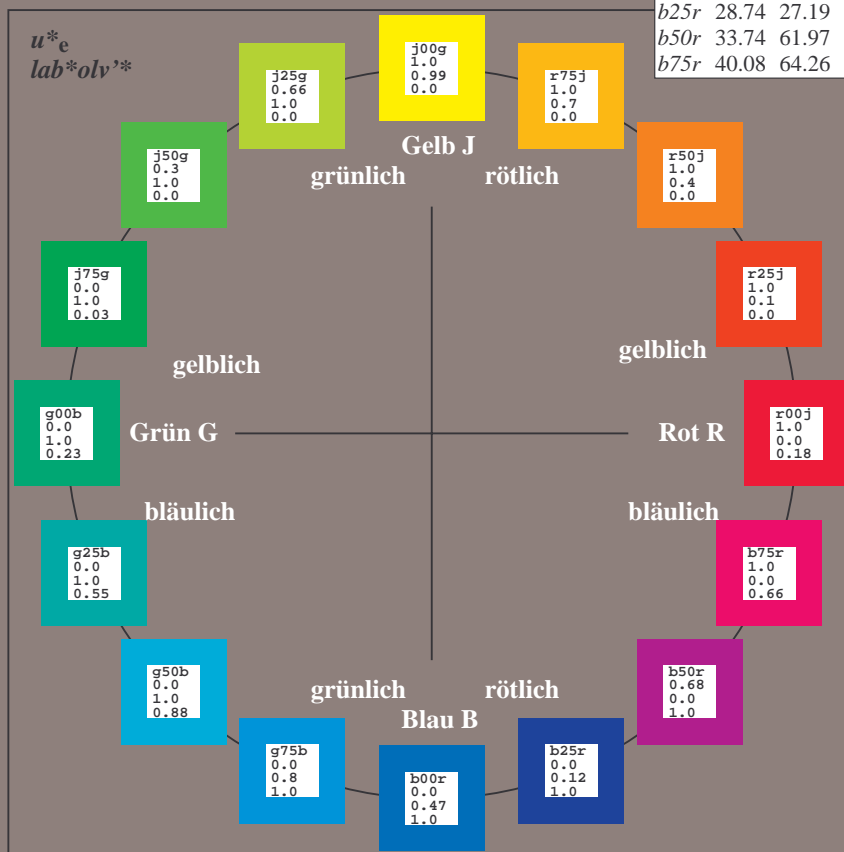
u_e^*	$L^*=L_a^*$	a^*	b^*	$C_{ab,a}^*$	$h_{ab,a}^*$	u_d^*
$r00j$	39.18	56.94	27.13	63.07	25	$m81o$
$r25j$	42.41	49.1	44.5	66.26	42	$o10y$
$r50j$	52.78	35.22	58.37	68.17	59	$o40y$
$r75j$	64.82	19.12	74.47	76.89	76	$o69y$
$j00g$	82.06	-3.94	97.52	97.6	92	$o98y$
$j25g$	67.26	-26.87	74.67	79.36	110	$y34l$
$j50g$	55.83	-43.45	57.11	71.76	127	$y69l$
$j75g$	47.5	-54.18	38.3	66.35	145	$l03c$
$g00b$	50.07	-44.09	14.13	46.3	162	$l23c$
$g25b$	52.21	-35.66	-6.03	36.17	190	$l55c$
$g50b$	53.9	-29.04	-21.87	36.36	217	$l87c$
$g75b$	49.44	-15.51	-32.31	35.84	244	$c20v$
$b00r$	41.36	1.15	-37.95	37.97	272	$c53v$
$b25r$	28.74	27.19	-46.77	54.1	300	$c87v$
$b50r$	33.74	61.97	-37.81	72.59	329	$v68m$
$b75r$	40.08	64.26	-3.32	64.35	357	$m33o$



%Umfang
 $u_{rel}^* = 88$
%Regularität
 $g_{H,rel}^* = 31$
 $g_{C,rel}^* = 40$

FRS09_92aM; CIELAB-Daten

Name	$L^*=L_a^*$	a^*	b^*	C_{ab}^*	h_{ab}^*
O_M	38.8	54.41	35.65	65.05	33
Y_M	82.58	-4.04	92.72	92.8	92
L_M	46.95	-55.83	39.15	68.19	145
C_M	54.62	-25.67	-33.25	42.01	232
V_M	20.01	45.64	-56.27	72.45	309
M_M	40.88	71.17	-34.09	78.92	334
N_M	15.0	0.43	-3.23	3.26	278
W_M	90.0	0.62	-5.76	5.79	276
R_{CIE}	39.92	58.74	27.99	65.07	25
J_{CIE}	81.26	-2.89	71.56	71.62	92
G_{CIE}	52.23	-42.42	13.6	44.55	162
B_{CIE}	30.57	1.41	-46.47	46.49	272



Ein und Ausgabe: Farbmetrisches Drucker-Reflektiv-System FRS09_92aM für relativen CIELAB-Buntton $h^* = lab^*h^* = h_{ab}/360 = 0.071$

Daten für jede Farbe:

lab^*tch^* und lab^*icu^*

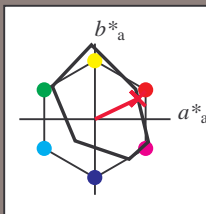
Bunttontexte:

$u^*_e = r00j$ $u^*_d = m81o$

Kontrastreduzierungsfaktor:

$c_R = 0.9$

Dreiecks-Helligkeit i^*



FRS09_92aM; CIELAB-Daten						
u^*_e	$L^*=L^*$	a^*	b^*	C^*_{ab}	h^*_{ab}	
O _M	38.8	54.41	35.65	65.05	33	
Y _M	82.58	-4.04	92.72	92.8	92	
L _M	46.95	-55.83	39.15	68.19	145	
C _M	54.62	-25.67	-33.25	42.01	232	
V _M	20.01	45.64	-56.27	72.45	309	
M _M	40.88	71.17	-34.09	78.92	334	
N _M	15.0	0.43	-3.23	3.26	278	
W _M	90.0	0.62	-5.76	5.79	276	
R _M	39.92	58.74	27.99	65.07	25	
J _M	81.26	-2.89	71.56	71.62	92	
G _M	52.23	-42.42	13.6	44.55	162	
B _M	30.57	1.41	-46.47	46.49	272	

Daten für Maximalfarbe (Ma):

$LAB^*LAB^*_{Ma}$: 39 57 27

$LAB^*LCH^*_{Ma}$: 39 63 25

$lab^*rgb^*_{Ma}$: 1.0 0.0 0.0

$lab^*olv^*_{Ma}$: 1.0 0.0 0.18

Dreiecks-Helligkeit i^*

%Umfang

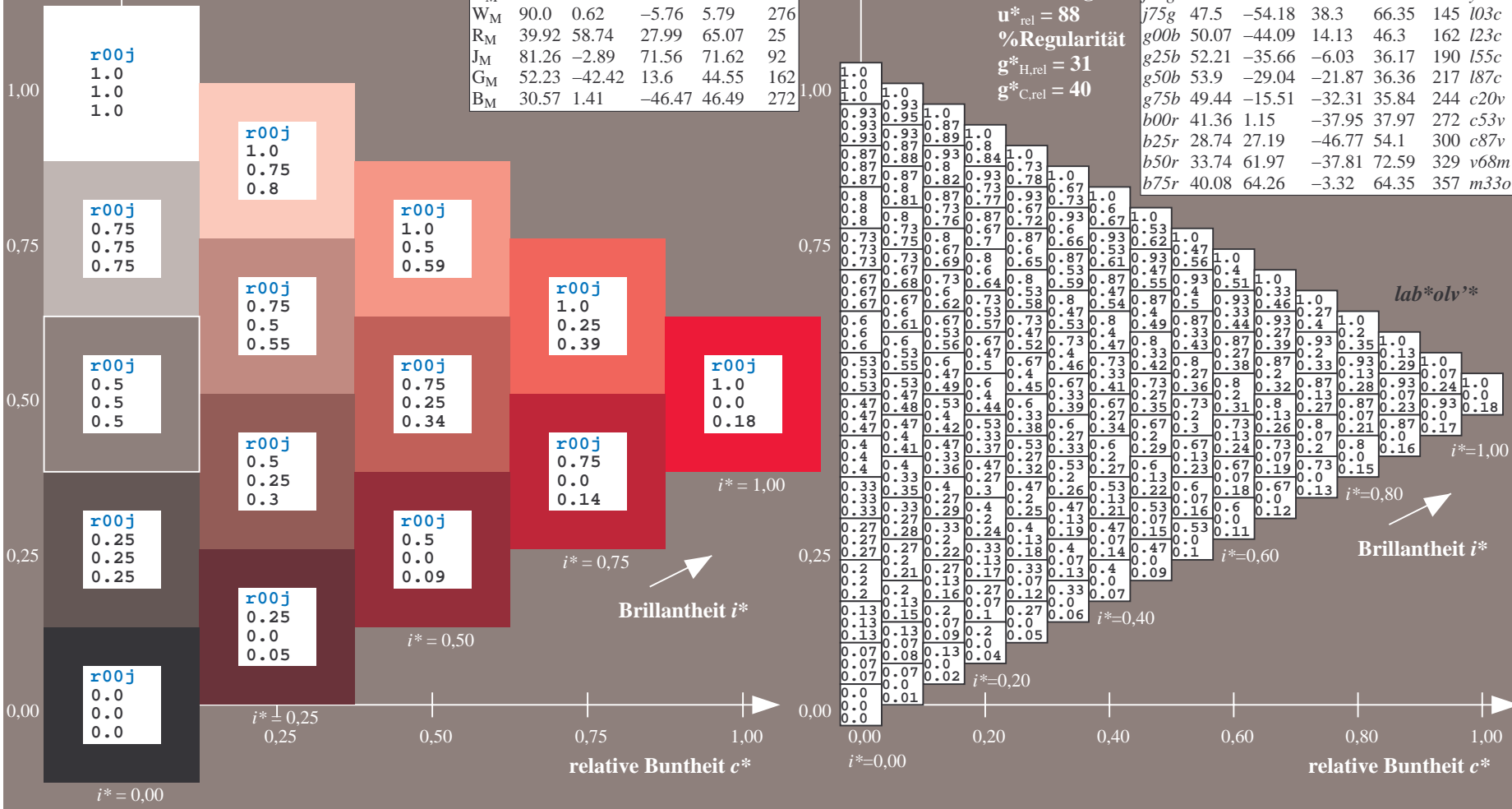
$u^*_{rel} = 88$

%Regularität

$g^*_{H,rel} = 31$

$g^*_{C,rel} = 40$

FRS09_92aM; adaptierte CIELAB-Daten						
u^*_e	$L^*=L^*_a$	a^*_a	b^*_a	$C^*_{ab,a}$	$h^*_{ab,a}$	u^*_d
r00j	39.18	56.94	27.13	63.07	25	m81o
r25j	42.41	49.1	44.5	66.26	42	o10y
r50j	52.78	35.22	58.37	68.17	59	o40y
r75j	64.82	19.12	74.47	76.89	76	o69y
j00g	82.06	-3.94	97.52	97.6	92	o98y
j25g	67.26	-26.87	74.67	79.36	110	y34l
j50g	55.83	-43.45	57.11	71.76	127	y69l
j75g	47.5	-54.18	38.3	66.35	145	i03c
g00b	50.07	-44.09	14.13	46.3	162	i23c
g25b	52.21	-35.66	-6.03	36.17	190	i55c
g50b	53.9	-29.04	-21.87	36.36	217	i87c
g75b	49.44	-15.51	-32.31	35.84	244	c20v
b00r	41.36	1.15	-37.95	37.97	272	c53v
b25r	28.74	27.19	-46.77	54.1	300	c87v
b50r	33.74	61.97	-37.81	72.59	329	v68m
b75r	40.08	64.26	-3.32	64.35	357	m33o



Ein und Ausgabe: Farbmetrisches Drucker-Reflektiv-System FRS09_92aM für relativen CIELAB-Buntton $h^* = lab^*h^* = h_{ab}/360 = 0.117$

Daten für jede Farbe:

lab^*tch^* und lab^*icu^*

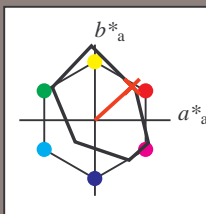
Bunttontexte:

$u^*_e = r25j$ $u^*_d = o10y$

Kontrastreduzierungsfaktor:

$c_R = 0.9$

Dreiecks-Helligkeit i^*



FRS09_92aM; CIELAB-Daten						
u^*_e	$L^*=L^*_a$	a^*	b^*	C^*_{ab}	h^*_{ab}	
O _M	38.8	54.41	35.65	65.05	33	
Y _M	82.58	-4.04	92.72	92.8	92	
L _M	46.95	-55.83	39.15	68.19	145	
C _M	54.62	-25.67	-33.25	42.01	232	
V _M	20.01	45.64	-56.27	72.45	309	
M _M	40.88	71.17	-34.09	78.92	334	
N _M	15.0	0.43	-3.23	3.26	278	
W _M	90.0	0.62	-5.76	5.79	276	
R _M	39.92	58.74	27.99	65.07	25	
J _M	81.26	-2.89	71.56	71.62	92	
G _M	52.23	-42.42	13.6	44.55	162	
B _M	30.57	1.41	-46.47	46.49	272	

Daten für Maximalfarbe (Ma):

$LAB^*LAB^*_{Ma}$: 42 49 44

$LAB^*LCH^*_{Ma}$: 42 66 42

$lab^*rgb^*_{Ma}$: 1.0 0.25 0.0

$lab^*olv^*_{Ma}$: 1.0 0.1 0.0

Dreiecks-Helligkeit i^*

%Umfang

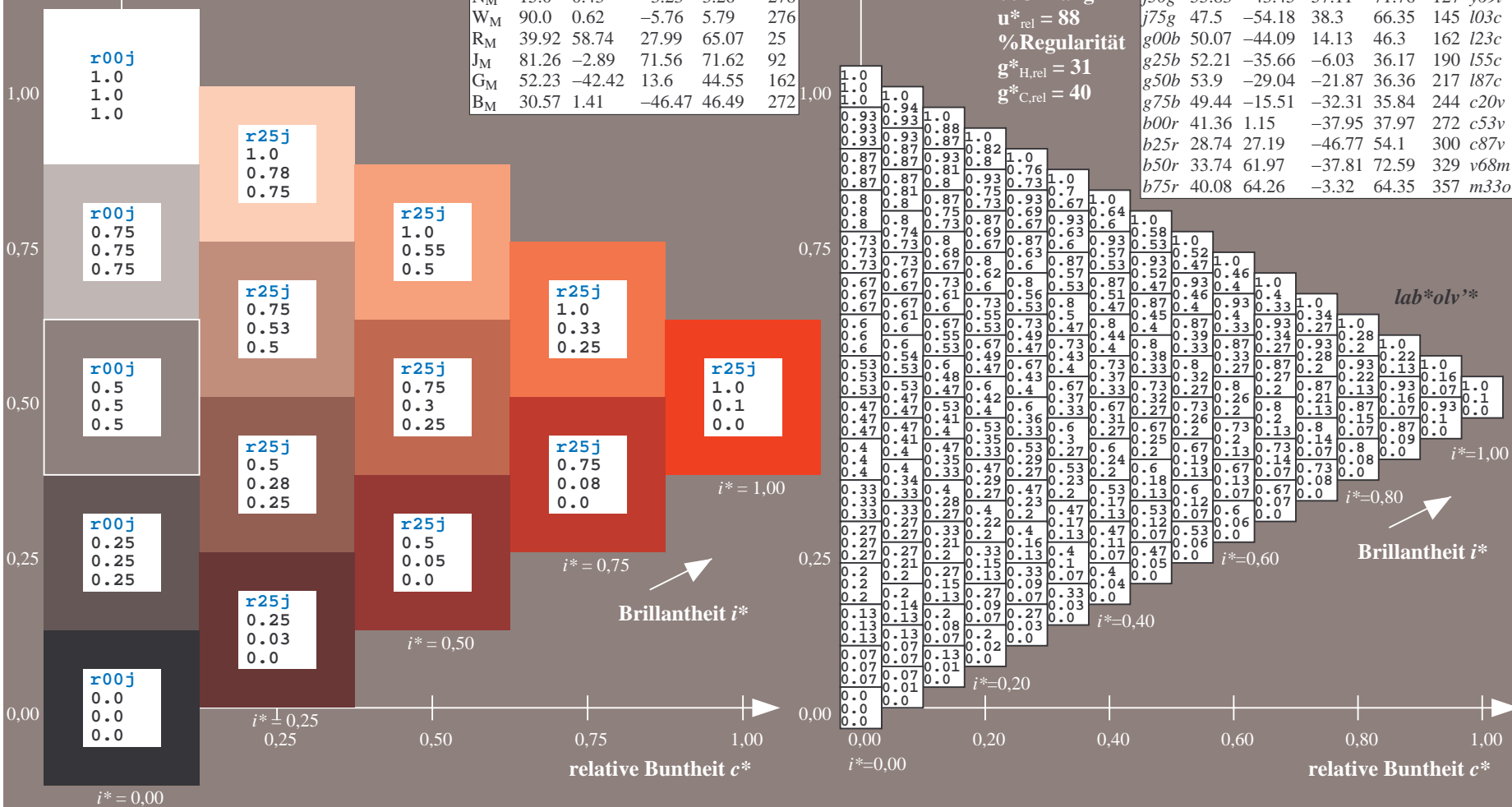
$u^*_{rel} = 88$

%Regularität

$g^*_{H,rel} = 31$

$g^*_{C,rel} = 40$

FRS09_92aM; adaptierte CIELAB-Daten							
u^*_e	$L^*=L^*_a$	a^*_a	b^*_a	$C^*_{ab,a}$	$h^*_{ab,a}$	u^*_d	
r00j	39.18	56.94	27.13	63.07	25	m81o	
r25j	42.41	49.1	44.5	66.26	42	o10y	
r50j	52.78	35.22	58.37	68.17	59	o40y	
r75j	64.82	19.12	74.47	76.89	76	o69y	
j00g	82.06	-3.94	97.52	97.6	92	o98y	
j25g	67.26	-26.87	74.67	79.36	110	y34l	
j50g	55.83	-43.45	57.11	71.76	127	y69l	
j75g	47.5	-54.18	38.3	66.35	145	l03c	
g00b	50.07	-44.09	14.13	46.3	162	l23c	
g25b	52.21	-35.66	-6.03	36.17	190	l55c	
g50b	53.9	-29.04	-21.87	36.36	217	l87c	
g75b	49.44	-15.51	-32.31	35.84	244	c20v	
b00r	41.36	1.15	-37.95	37.97	272	c53v	
b25r	28.74	27.19	-46.77	54.1	300	c87v	
b50r	33.74	61.97	-37.81	72.59	329	v68m	
b75r	40.08	64.26	-3.32	64.35	357	m33o	



Ein und Ausgabe: Farbmetrisches Drucker-Reflektiv-System FRS09_92aM für relativen CIELAB-Buntton $h^* = lab^*h^* = h_{ab}/360 = 0.164$

Daten für jede Farbe:

lab^*tch^* und lab^*icu^*

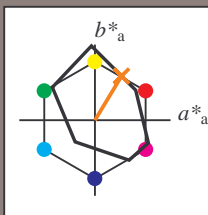
Bunttontexte:

$u^*_e = r50j$ $u^*_d = o40y$

Kontrastreduzierungsfaktor:

$c_R = 0.9$

Dreiecks-Helligkeit t^*



FRS09_92aM; CIELAB-Daten						
u^*_e	$L^*=L^*_a$	a^*	b^*	C^*_{ab}	h^*_{ab}	
O _M	38.8	54.41	35.65	65.05	33	
Y _M	82.58	-4.04	92.72	92.8	92	
L _M	46.95	-55.83	39.15	68.19	145	
C _M	54.62	-25.67	-33.25	42.01	232	
V _M	20.01	45.64	-56.27	72.45	309	
M _M	40.88	71.17	-34.09	78.92	334	
N _M	15.0	0.43	-3.23	3.26	278	
W _M	90.0	0.62	-5.76	5.79	276	
R _M	39.92	58.74	27.99	65.07	25	
J _M	81.26	-2.89	71.56	71.62	92	
G _M	52.23	-42.42	13.6	44.55	162	
B _M	30.57	1.41	-46.47	46.49	272	

Daten für Maximalfarbe (Ma):

$LAB^*LAB^*_{Ma}$: 53 35 58

$LAB^*LCH^*_{Ma}$: 53 68 58

$lab^*rgb^*_{Ma}$: 1.0 0.5 0.0

$lab^*olv^*_{Ma}$: 1.0 0.4 0.0

Dreiecks-Helligkeit t^*

%Umfang

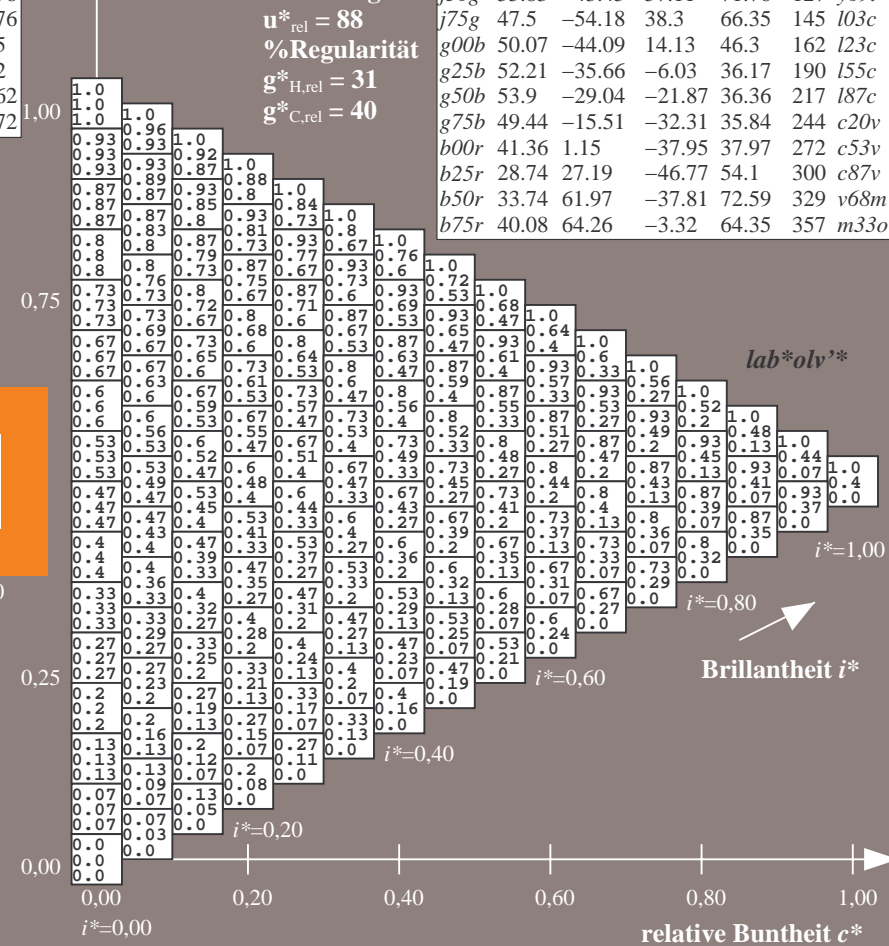
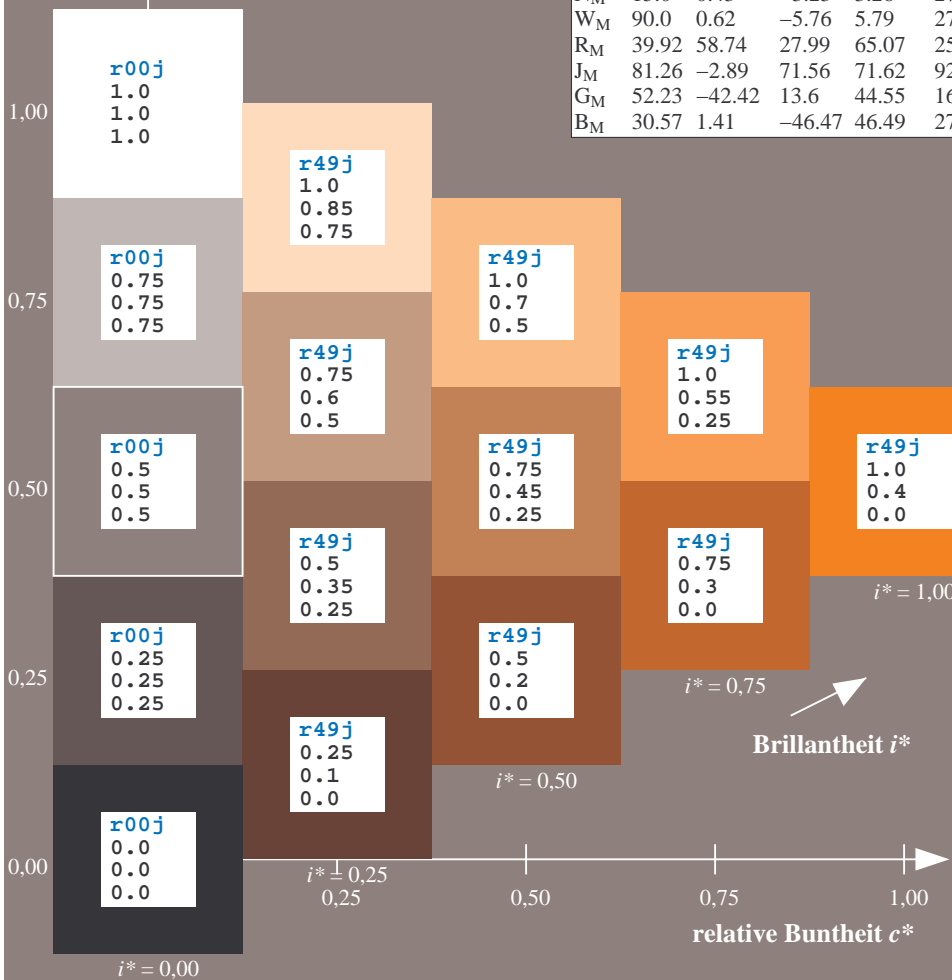
$u^*_{rel} = 88$

%Regularität

$g^*_{H,rel} = 31$

$g^*_{C,rel} = 40$

FRS09_92aM; adaptierte CIELAB-Daten							
u^*_e	$L^*=L^*_a$	a^*_a	b^*_a	$C^*_{ab,a}$	$h^*_{ab,a}$	u^*_d	
r00j	39.18	56.94	27.13	63.07	25	m81o	
r25j	42.41	49.1	44.5	66.26	42	o10y	
r50j	52.78	35.22	58.37	68.17	59	o40y	
r75j	64.82	19.12	74.47	76.89	76	o69y	
j00g	82.06	-3.94	97.52	97.6	92	o98y	
j25g	67.26	-26.87	74.67	79.36	110	y34l	
j50g	55.83	-43.45	57.11	71.76	127	y69l	
j75g	47.5	-54.18	38.3	66.35	145	l03c	
g00b	50.07	-44.09	14.13	46.3	162	l23c	
g25b	52.21	-35.66	-6.03	36.17	190	l55c	
g50b	53.9	-29.04	-21.87	36.36	217	l87c	
g75b	49.44	-15.51	-32.31	35.84	244	c20v	
b00r	41.36	1.15	-37.95	37.97	272	c53v	
b25r	28.74	27.19	-46.77	54.1	300	c87v	
b50r	33.74	61.97	-37.81	72.59	329	v68m	
b75r	40.08	64.26	-3.32	64.35	357	m33o	



Ein und Ausgabe: Farbmetrisches Drucker-Reflektiv-System FRS09_92aM für relativen CIELAB-Buntton $h^* = lab^*h^* = h_{ab}/360 = 0.21$

Daten für jede Farbe:

lab^*tch^* und lab^*icu^*

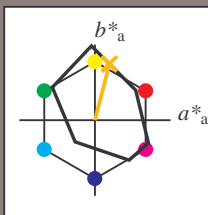
Bunttontexte:

$u^*_e = r75j$ $u^*_d = o69y$

Kontrastreduzierungsfaktor:

$c_R = 0.9$

Dreiecks-Helligkeit i^*



FRS09_92aM; CIELAB-Daten						
u^*_e	$L^*=L^*$	a^*	b^*	C^*_{ab}	h^*_{ab}	
O _M	38.8	54.41	35.65	65.05	33	
Y _M	82.58	-4.04	92.72	92.8	92	
L _M	46.95	-55.83	39.15	68.19	145	
C _M	54.62	-25.67	-33.25	42.01	232	
V _M	20.01	45.64	-56.27	72.45	309	
M _M	40.88	71.17	-34.09	78.92	334	
N _M	15.0	0.43	-3.23	3.26	278	
W _M	90.0	0.62	-5.76	5.79	276	
R _M	39.92	58.74	27.99	65.07	25	
J _M	81.26	-2.89	71.56	71.62	92	
G _M	52.23	-42.42	13.6	44.55	162	
B _M	30.57	1.41	-46.47	46.49	272	

Daten für Maximalfarbe (Ma):

$LAB^*LAB^*_{Ma}$: 65 19 74

$LAB^*LCH^*_{Ma}$: 65 77 75

$lab^*rgb^*_{Ma}$: 1.0 0.75 0.0

$lab^*olv^*_{Ma}$: 1.0 0.7 0.0

Dreiecks-Helligkeit i^*

%Umfang

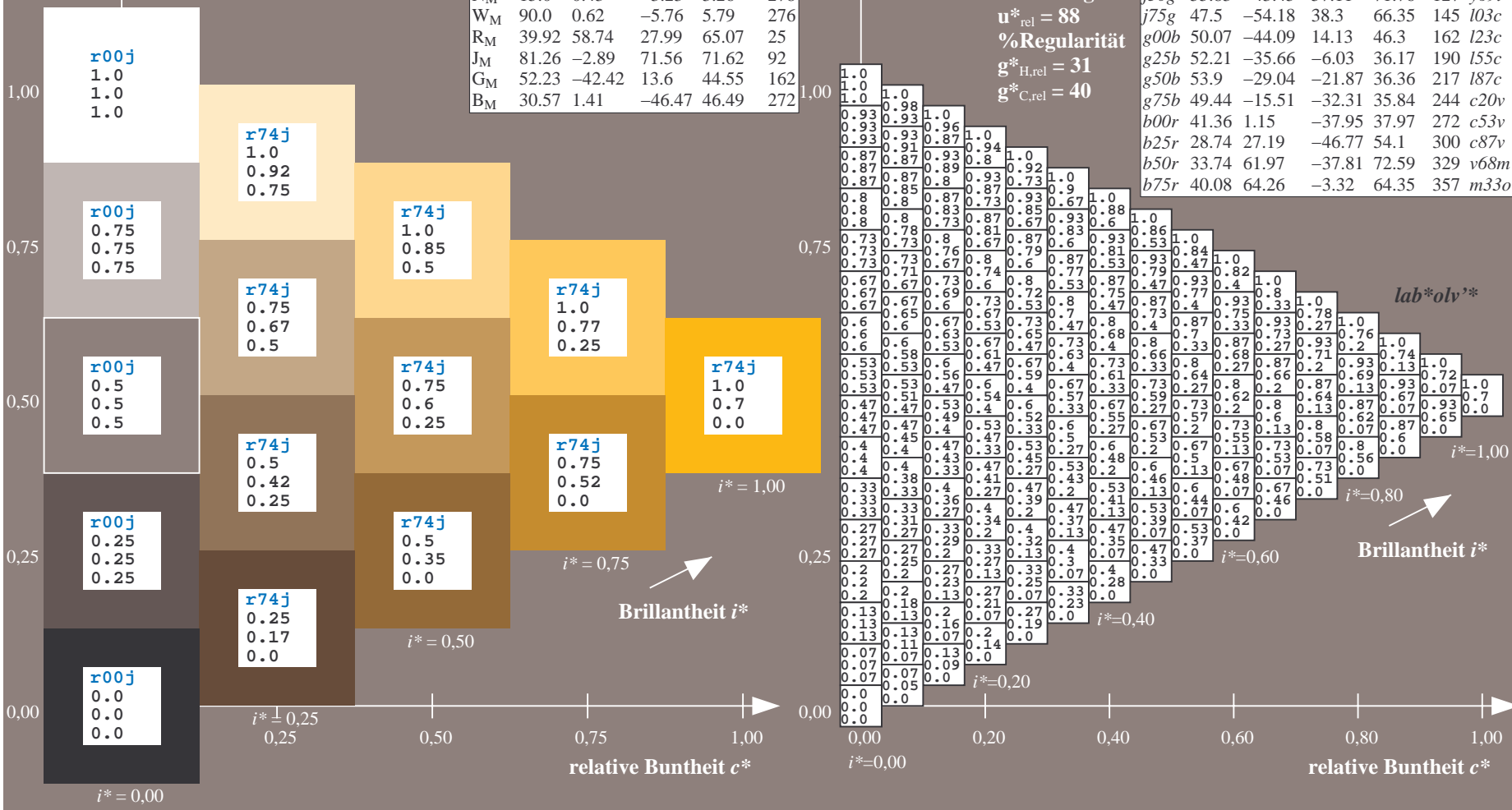
$u^*_{rel} = 88$

%Regularität

$g^*_{H,rel} = 31$

$g^*_{C,rel} = 40$

FRS09_92aM; adaptierte CIELAB-Daten							
u^*_e	$L^*=L^*_a$	a^*_a	b^*_a	$C^*_{ab,a}$	$h^*_{ab,a}$	u^*_d	
r00j	39.18	56.94	27.13	63.07	25	m81o	
r25j	42.41	49.1	44.5	66.26	42	o10y	
r50j	52.78	35.22	58.37	68.17	59	o40y	
r75j	64.82	19.12	74.47	76.89	76	o69y	
j00g	82.06	-3.94	97.52	97.6	92	o98y	
j25g	67.26	-26.87	74.67	79.36	110	y34l	
j50g	55.83	-43.45	57.11	71.76	127	y69l	
j75g	47.5	-54.18	38.3	66.35	145	l03c	
g00b	50.07	-44.09	14.13	46.3	162	l23c	
g25b	52.21	-35.66	-6.03	36.17	190	l55c	
g50b	53.9	-29.04	-21.87	36.36	217	l87c	
g75b	49.44	-15.51	-32.31	35.84	244	c20v	
b00r	41.36	1.15	-37.95	37.97	272	c53v	
b25r	28.74	27.19	-46.77	54.1	300	c87v	
b50r	33.74	61.97	-37.81	72.59	329	v68m	
b75r	40.08	64.26	-3.32	64.35	357	m33o	



Daten für jede Farbe:

*lab*tch** und *lab*icu**

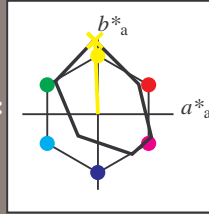
Bunttexte:

$$u^*_e = j00g \quad u^*_d = 098y$$

Kontrastreduzierungsfaktor:

 $c_R = 0.9$

Dreiecks-Helligkeit t^*



	u^*_e	$L^*=L^*$	a^*	b^*	C^*_{ab}	h^*_{ab}
O _M	38.8	54.41	35.65	65.05	33	92
Y _M	82.58	-4.04	92.72	92.8	92	92
L _M	46.95	-55.83	39.15	68.19	14	92
C _M	54.62	-25.67	-33.25	42.01	23	92
V _M	20.01	45.64	-56.27	72.45	30	92
M _M	40.88	71.17	-34.09	78.92	33	92
N _M	15.0	0.43	-3.23	3.26	27	92
W _M	90.0	0.62	-5.76	5.79	27	92
R _M	39.92	58.74	27.99	65.07	25	92
J _M	81.26	-2.89	71.56	71.62	92	92
G _M	52.23	-42.42	13.6	44.55	16	92
B _M	30.57	1.41	-46.47	46.49	27	92

Daten für Maximalfarbe (Ma):

*LAB*LAB**M_a: 82 -4 98

LAB*ICH*ML: 82 98 92

1.1* 1.1* 1.0 1.0 0.0

*lab*rgb*Ma: 1.0 1.0 0.0*

*lab*olv**_{Ma}: 1.0 0.99 0.0

Dreiecks-Helligkeit t^*

%Umfang

$$\mathbf{u}_{\text{rel}}^* = 88$$

%Regularität

$$g^*_{H,rel} = 31$$
$$\mathbf{g}_{\text{C,rel}}^* = 40$$

FRS09_92aM; adaptierte CIELAB-Daten							
u_e^*	$L^*=L_a^*$	a_a^*	b_a^*	$C^*_{ab,a}$	$h^*_{ab,a}$	u_d^*	
<i>r00j</i>	39.18	56.94	27.13	63.07	25		<i>m81o</i>
<i>r25j</i>	42.41	49.1	44.5	66.26	42		<i>o10y</i>
<i>r50j</i>	52.78	35.22	58.37	68.17	59		<i>o40y</i>
<i>r75j</i>	64.82	19.12	74.47	76.89	76		<i>o69y</i>
<i>j00g</i>	82.06	-3.94	97.52	97.6	92		<i>o98y</i>
<i>j25g</i>	67.26	-26.87	74.67	79.36	110		<i>y34l</i>
<i>j50g</i>	55.83	-43.45	57.11	71.76	127		<i>y69l</i>
<i>j75g</i>	47.5	-54.18	38.3	66.35	145		<i>l03c</i>
<i>g00b</i>	50.07	-44.09	14.13	46.3	162		<i>l23c</i>
<i>g25b</i>	52.21	-35.66	-6.03	36.17	190		<i>l55c</i>
<i>g50b</i>	53.9	-29.04	-21.87	36.36	217		<i>l87c</i>
<i>g75b</i>	49.44	-15.51	-32.31	35.84	244		<i>c20v</i>
<i>b00r</i>	41.36	1.15	-37.95	37.97	272		<i>c53v</i>
<i>b25r</i>	28.74	27.19	-46.77	54.1	300		<i>c87v</i>
<i>b50r</i>	33.74	61.97	-37.81	72.59	329		<i>v68m</i>
<i>b75r</i>	40.08	64.26	-3.32	64.35	357		<i>m33o</i>

*lab*olv'**

$$i^*=1,00$$

Brillantheit i^*

BAM-Prüfvorlage Eg33; Farbmatrik-Systeme, Seite 168/198 Eingabe: 000n / w / nnn0 / www set...
D65: Farbreihen, Datentabellen für 16 Bunttöne r00j bis b75r Ausgabe: ->cmY0* setcmYkcolor

Ein und Ausgabe: Farbmetrisches Drucker-Reflektiv-System FRS09_92aM für relativen CIELAB-Buntton $h^* = lab^*h^* = h_{ab}/360 = 0.305$

Daten für jede Farbe:

lab^*ch^* und lab^*icu^*

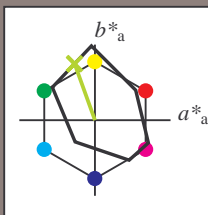
Bunttontexte:

$u^*_e = j25g$ $u^*_d = y34l$

Kontrastreduzierungsfaktor:

$c_R = 0.9$

Dreiecks-Helligkeit i^*



FRS09_92aM; CIELAB-Daten						
u^*_e	$L^*=L^*_a$	a^*	b^*	C^*_{ab}	h^*_{ab}	
O _M	38.8	54.41	35.65	65.05	33	
Y _M	82.58	-4.04	92.72	92.8	92	
L _M	46.95	-55.83	39.15	68.19	145	
C _M	54.62	-25.67	-33.25	42.01	232	
V _M	20.01	45.64	-56.27	72.45	309	
M _M	40.88	71.17	-34.09	78.92	334	
N _M	15.0	0.43	-3.23	3.26	278	
W _M	90.0	0.62	-5.76	5.79	276	
R _M	39.92	58.74	27.99	65.07	25	
J _M	81.26	-2.89	71.56	71.62	92	
G _M	52.23	-42.42	13.6	44.55	162	
B _M	30.57	1.41	-46.47	46.49	272	

Daten für Maximalfarbe (Ma):

$LAB^*LAB^*_{Ma}$: 67 -27 75

$LAB^*LCH^*_{Ma}$: 67 79 109

$lab^*rgb^*_{Ma}$: 0.75 1.0 0.0

$lab^*olv^*_{Ma}$: 0.66 1.0 0.0

Dreiecks-Helligkeit i^*

%Umfang

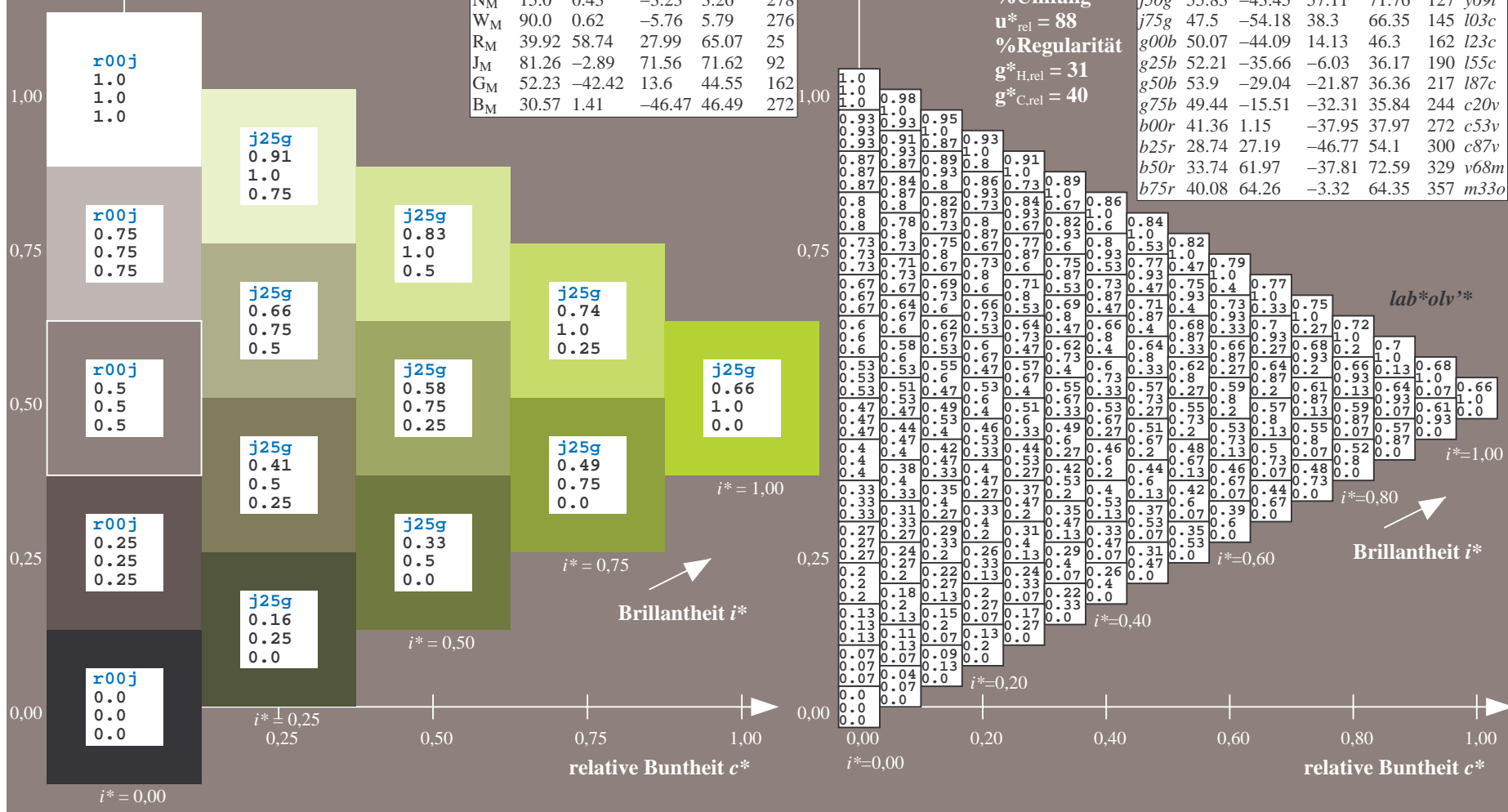
$u^*_{rel} = 88$

%Regularität

$g^*_{H,rel} = 31$

$g^*_{C,rel} = 40$

FRS09_92aM; adaptierte CIELAB-Daten									
u^*_e	$L^*=L^*_a$	a^*_a	b^*_a	$C^*_{ab,a}$	$h^*_{ab,a}$	u^*_d			
r00j	39.18	56.94	27.13	63.07	25	m81o			
r25j	42.41	49.1	44.5	66.26	42	o10y			
r50j	52.78	35.22	58.37	68.17	59	o40y			
r75j	64.82	19.12	74.47	76.89	76	o69y			
j00g	82.06	-3.94	97.52	97.6	92	o98y			
j25g	67.26	-26.87	74.67	79.36	110	y34l			
j50g	55.83	-43.45	57.11	71.76	127	y69l			
j75g	47.5	-54.18	38.3	66.35	145	i03c			
g00b	50.07	-44.09	14.13	46.3	162	i23c			
g25b	52.21	-35.66	-6.03	36.17	190	i55c			
g50b	53.9	-29.04	-21.87	36.36	217	i87c			
g75b	49.44	-15.51	-32.31	35.84	244	c20v			
b00r	41.36	1.15	-37.95	37.97	272	c53v			
b25r	28.74	27.19	-46.77	54.1	300	c87v			
b50r	33.74	61.97	-37.81	72.59	329	v68m			
b75r	40.08	64.26	-3.32	64.35	357	m33o			



Ein und Ausgabe: Farbmetrisches Drucker-Reflektiv-System FRS09_92aM für relativen CIELAB-Buntton $h^* = \text{lab}^*h^* = h_{ab}/360 = 0.354$

Daten für jede Farbe:

lab^*tch^* und lab^*icu^*

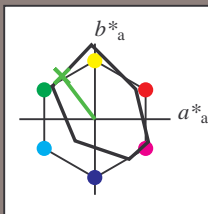
Bunttontexte:

$u^*_e = j50g$ $u^*_d = y69l$

Kontrastreduzierungsfaktor:

$c_R = 0.9$

Dreiecks-Helligkeit i^*



FRS09_92aM; CIELAB-Daten						
u^*_e	$L^*=L^*_a$	a^*	b^*	C^*_{ab}	h^*_{ab}	
O _M	38.8	54.41	35.65	65.05	33	
Y _M	82.58	-4.04	92.72	92.8	92	
L _M	46.95	-55.83	39.15	68.19	145	
C _M	54.62	-25.67	-33.25	42.01	232	
V _M	20.01	45.64	-56.27	72.45	309	
M _M	40.88	71.17	-34.09	78.92	334	
N _M	15.0	0.43	-3.23	3.26	278	
W _M	90.0	0.62	-5.76	5.79	276	
R _M	39.92	58.74	27.99	65.07	25	
J _M	81.26	-2.89	71.56	71.62	92	
G _M	52.23	-42.42	13.6	44.55	162	
B _M	30.57	1.41	-46.47	46.49	272	

Daten für Maximalfarbe (Ma):

$\text{LAB}^*\text{LAB}^*_{\text{Ma}}: 56 -43 57$

$\text{LAB}^*\text{LCH}^*_{\text{Ma}}: 56 72 127$

$\text{lab}^*\text{rgb}^*_{\text{Ma}}: 0.5 1.0 0.0$

$\text{lab}^*\text{olv}^*_{\text{Ma}}: 0.3 1.0 0.0$

Dreiecks-Helligkeit i^*

%Umfang

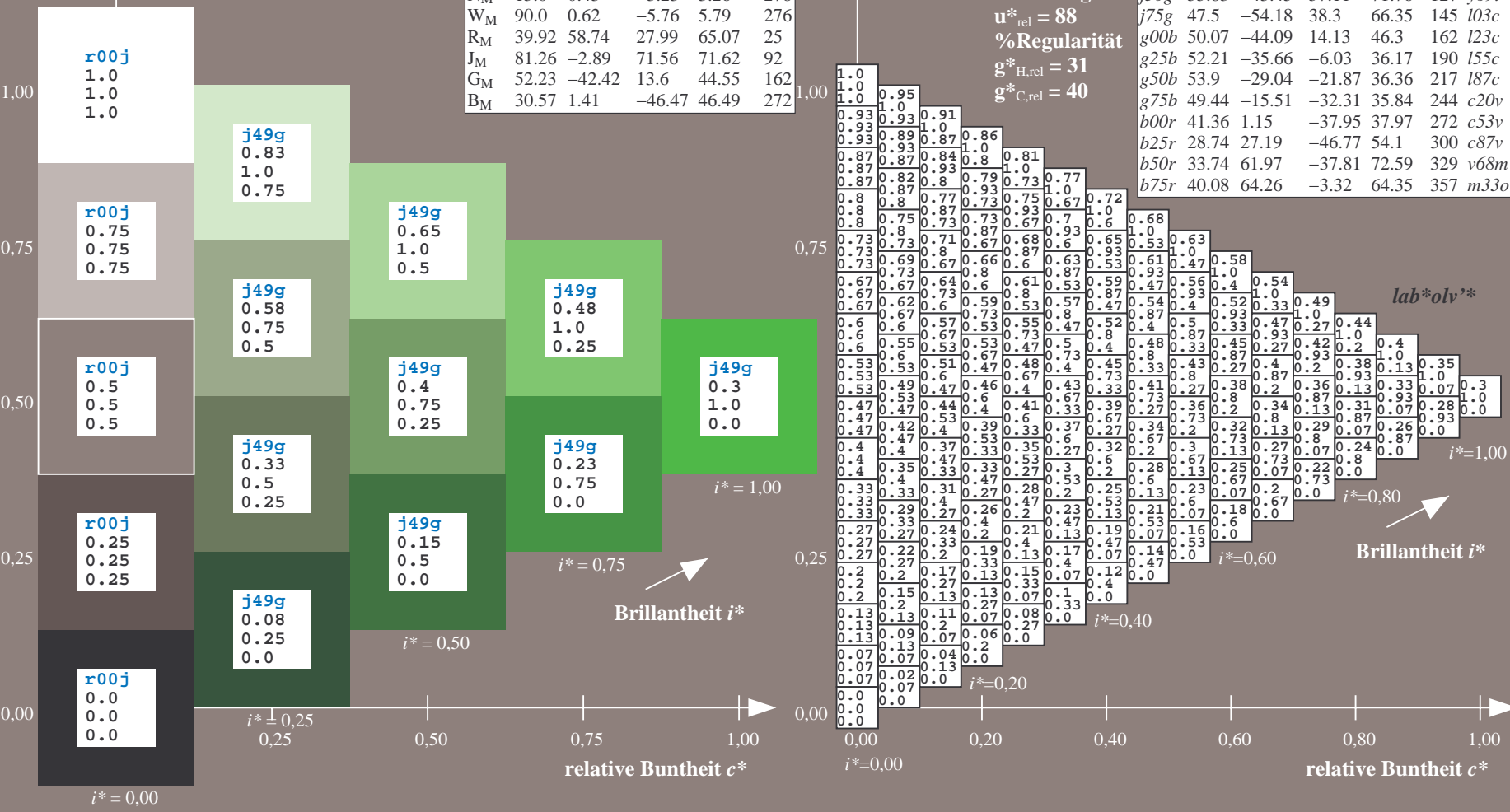
$u^*_{\text{rel}} = 88$

%Regularität

$g^*_{H,\text{rel}} = 31$

$g^*_{C,\text{rel}} = 40$

FRS09_92aM; adaptierte CIELAB-Daten									
u^*_e	$L^*=L^*_a$	a^*_a	b^*_a	$C^*_{ab,a}$	$h^*_{ab,a}$	u^*_d			
r00j	39.18	56.94	27.13	63.07	25	m81o			
r25j	42.41	49.1	44.5	66.26	42	o10y			
r50j	52.78	35.22	58.37	68.17	59	o40y			
r75j	64.82	19.12	74.47	76.89	76	o69y			
j00g	82.06	-3.94	97.52	97.6	92	o98y			
j25g	67.26	-26.87	74.67	79.36	110	y34l			
j50g	55.83	-43.45	57.11	71.76	127	y69l			
j75g	47.5	-54.18	38.3	66.35	145	i03c			
g00b	50.07	-44.09	14.13	46.3	162	i23c			
g25b	52.21	-35.66	-6.03	36.17	190	i55c			
g50b	53.9	-29.04	-21.87	36.36	217	i87c			
g75b	49.44	-15.51	-32.31	35.84	244	c20v			
b00r	41.36	1.15	-37.95	37.97	272	c53v			
b25r	28.74	27.19	-46.77	54.1	300	c87v			
b50r	33.74	61.97	-37.81	72.59	329	v68m			
b75r	40.08	64.26	-3.32	64.35	357	m33o			



Ein und Ausgabe: Farbmetrisches Drucker-Reflektiv-System FRS09_92aM für relativen CIELAB-Buntton $h^* = lab^*h^* = h_{ab}/360 = 0.402$

Daten für jede Farbe:

lab^*tch^* und lab^*icu^*

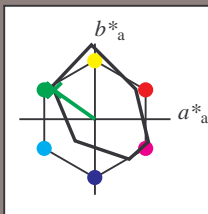
Bunttontexte:

$u^*_e = j75g$ $u^*_d = i03c$

Kontrastreduzierungsfaktor:

$c_R = 0.9$

Dreiecks-Helligkeit i^*



FRS09_92aM; CIELAB-Daten

u^*_e	$L^*=L^*$	a^*	b^*	C^*_{ab}	h^*_{ab}
O _M	38.8	54.41	35.65	65.05	33
Y _M	82.58	-4.04	92.72	92.8	92
L _M	46.95	-55.83	39.15	68.19	145
C _M	54.62	-25.67	-33.25	42.01	232
V _M	20.01	45.64	-56.27	72.45	309
M _M	40.88	71.17	-34.09	78.92	334
N _M	15.0	0.43	-3.23	3.26	278
W _M	90.0	0.62	-5.76	5.79	276
R _M	39.92	58.74	27.99	65.07	25
J _M	81.26	-2.89	71.56	71.62	92
G _M	52.23	-42.42	13.6	44.55	162
B _M	30.57	1.41	-46.47	46.49	272

Daten für Maximalfarbe (Ma):

$LAB^*LAB^*_{Ma}$: 48 -54 38

$LAB^*LCH^*_{Ma}$: 48 66 144

$lab^*rgb^*_{Ma}$: 0.25 1.0 0.0

$lab^*olv^*_{Ma}$: 0.0 1.0 0.03

Dreiecks-Helligkeit i^*

%Umfang

$u^*_{rel} = 88$

%Regularität

$g^*_{H,rel} = 31$

$g^*_{C,rel} = 40$

FRS09_92aM; adaptierte CIELAB-Daten

u^*_e	$L^*=L^*_a$	a^*_a	b^*_a	$C^*_{ab,a}$	$h^*_{ab,a}$	u^*_d
r00j	39.18	56.94	27.13	63.07	25	m81o
r25j	42.41	49.1	44.5	66.26	42	o10y
r50j	52.78	35.22	58.37	68.17	59	o40y
r75j	64.82	19.12	74.47	76.89	76	o69y
j00g	82.06	-3.94	97.52	97.6	92	o98y
j25g	67.26	-26.87	74.67	79.36	110	y34l
j50g	55.83	-43.45	57.11	71.76	127	y69l
j75g	47.5	-54.18	38.3	66.35	145	i03c
g00b	50.07	-44.09	14.13	46.3	162	i23c
g25b	52.21	-35.66	-6.03	36.17	190	i55c
g50b	53.9	-29.04	-21.87	36.36	217	i87c
g75b	49.44	-15.51	-32.31	35.84	244	c20v
b00r	41.36	1.15	-37.95	37.97	272	c53v
b25r	28.74	27.19	-46.77	54.1	300	c87v
b50r	33.74	61.97	-37.81	72.59	329	v68m
b75r	40.08	64.26	-3.32	64.35	357	m33o

lab^*olv^*

$i^* = 1.00$

Brillantheit i^*

$i^* = 0.80$

$i^* = 0.60$

$i^* = 0.40$

$i^* = 0.20$

$i^* = 0.00$

Ein und Ausgabe: Farbmetrisches Drucker-Reflektiv-System FRS09_92aM für relativen CIELAB-Buntton $h^* = lab^*h^* = h_{ab}/360 = 0.451$

Daten für jede Farbe:

lab^*tch^* und lab^*icu^*

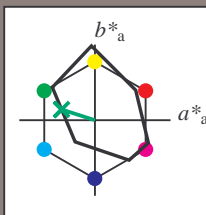
Bunttontexte:

$u^*_e = g00b$ $u^*_d = l23c$

Kontrastreduzierungsfaktor:

$c_R = 0.9$

Dreiecks-Helligkeit i^*



FRS09_92aM; CIELAB-Daten						
u^*_e	$L^*=L^*_a$	a^*	b^*	C^*_{ab}	h^*_{ab}	
O _M	38.8	54.41	35.65	65.05	33	
Y _M	82.58	-4.04	92.72	92.8	92	
L _M	46.95	-55.83	39.15	68.19	145	
C _M	54.62	-25.67	-33.25	42.01	232	
V _M	20.01	45.64	-56.27	72.45	309	
M _M	40.88	71.17	-34.09	78.92	334	
N _M	15.0	0.43	-3.23	3.26	278	
W _M	90.0	0.62	-5.76	5.79	276	
R _M	39.92	58.74	27.99	65.07	25	
J _M	81.26	-2.89	71.56	71.62	92	
G _M	52.23	-42.42	13.6	44.55	162	
B _M	30.57	1.41	-46.47	46.49	272	

Daten für Maximalfarbe (Ma):

$LAB^*LAB^*_{Ma}$: 50 -44 14

$LAB^*LCH^*_{Ma}$: 50 46 162

$lab^*rgb^*_{Ma}$: 0.0 1.0 0.0

$lab^*olv^*_{Ma}$: 0.0 1.0 0.23

Dreiecks-Helligkeit i^*

%Umfang

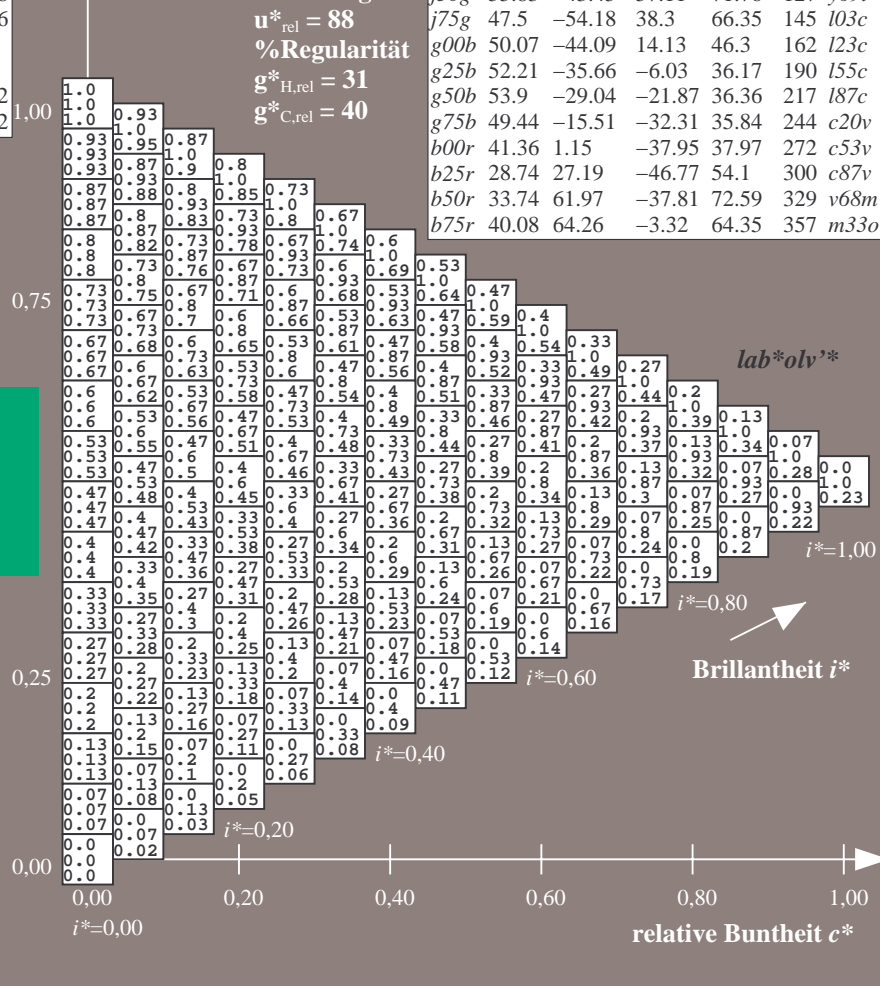
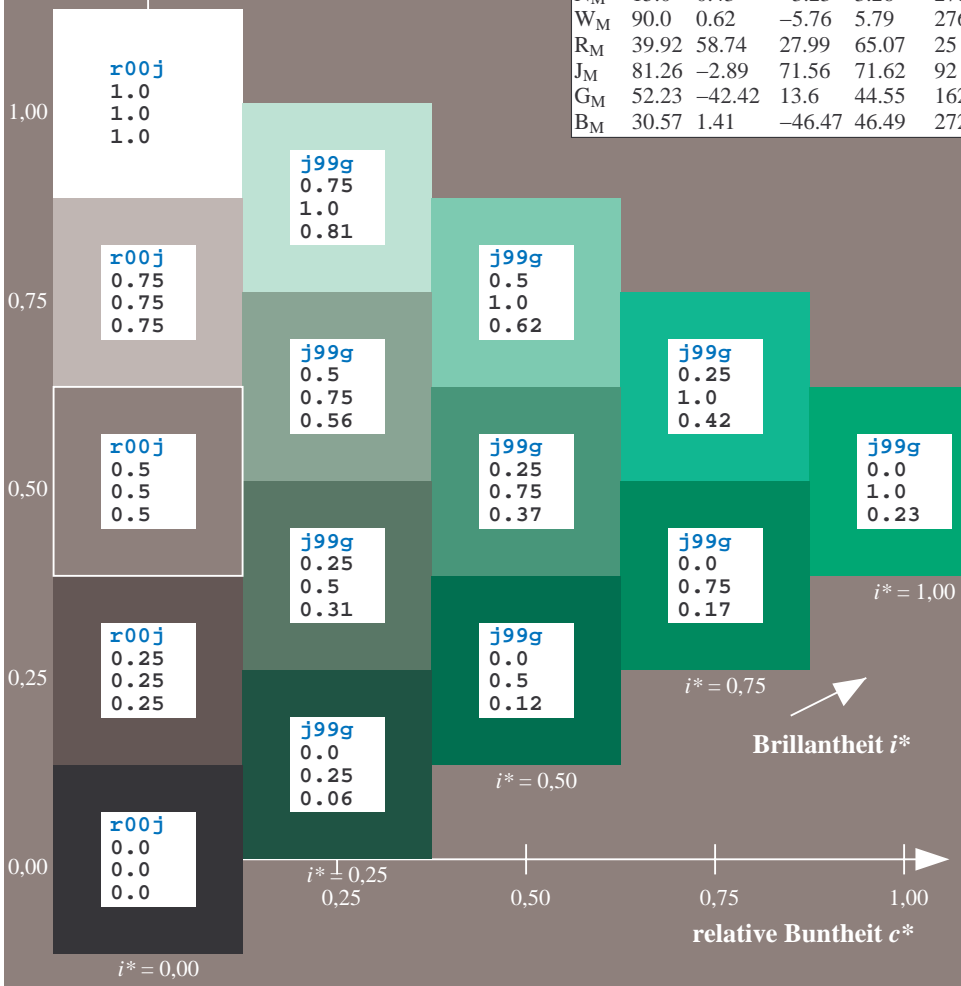
$u^*_{rel} = 88$

%Regularität

$g^*_{H,rel} = 31$

$g^*_{C,rel} = 40$

FRS09_92aM; adaptierte CIELAB-Daten						
u^*_e	$L^*=L^*_a$	a^*_a	b^*_a	$C^*_{ab,a}$	$h^*_{ab,a}$	u^*_d
r00j	39.18	56.94	27.13	63.07	25	m81o
r25j	42.41	49.1	44.5	66.26	42	o10y
r50j	52.78	35.22	58.37	68.17	59	o40y
r75j	64.82	19.12	74.47	76.89	76	o69y
j00g	82.06	-3.94	97.52	97.6	92	o98y
j25g	67.26	-26.87	74.67	79.36	110	y34l
j50g	55.83	-43.45	57.11	71.76	127	y69l
j75g	47.5	-54.18	38.3	66.35	145	l03c
g00b	50.07	-44.09	14.13	46.3	162	l23c
g25b	52.21	-35.66	-6.03	36.17	190	l55c
g50b	53.9	-29.04	-21.87	36.36	217	l87c
g75b	49.44	-15.51	-32.31	35.84	244	c20v
b00r	41.36	1.15	-37.95	37.97	272	c53v
b25r	28.74	27.19	-46.77	54.1	300	c87v
b50r	33.74	61.97	-37.81	72.59	329	v68m
b75r	40.08	64.26	-3.32	64.35	357	m33o



Ein und Ausgabe: Farbmetrisches Drucker-Reflektiv-System FRS09_92aM für relativen CIELAB-Buntton $h^* = lab^*h^* = h_{ab}/360 = 0.527$

Daten für jede Farbe:

lab^*tch^* und lab^*icu^*

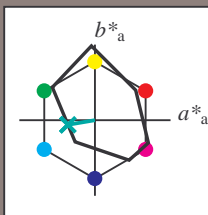
Bunttontexte:

$u^*_e = g25b$ $u^*_d = l55c$

Kontrastreduzierungsfaktor:

$c_R = 0.9$

Dreiecks-Helligkeit i^*



FRS09_92aM; CIELAB-Daten						
u^*_e	$L^*=L^*$	a^*	b^*	C^*_{ab}	h^*_{ab}	
O _M	38.8	54.41	35.65	65.05	33	
Y _M	82.58	-4.04	92.72	92.8	92	
L _M	46.95	-55.83	39.15	68.19	145	
C _M	54.62	-25.67	-33.25	42.01	232	
V _M	20.01	45.64	-56.27	72.45	309	
M _M	40.88	71.17	-34.09	78.92	334	
N _M	15.0	0.43	-3.23	3.26	278	
W _M	90.0	0.62	-5.76	5.79	276	
R _M	39.92	58.74	27.99	65.07	25	
J _M	81.26	-2.89	71.56	71.62	92	
G _M	52.23	-42.42	13.6	44.55	162	
B _M	30.57	1.41	-46.47	46.49	272	

Daten für Maximalfarbe (Ma):

$LAB^*LAB^*_{Ma}$: 52 -36 -6

$LAB^*LCH^*_{Ma}$: 52 36 189

$lab^*rgb^*_{Ma}$: 0.0 1.0 0.5

$lab^*olv^*_{Ma}$: 0.0 1.0 0.55

Dreiecks-Helligkeit i^*

%Umfang

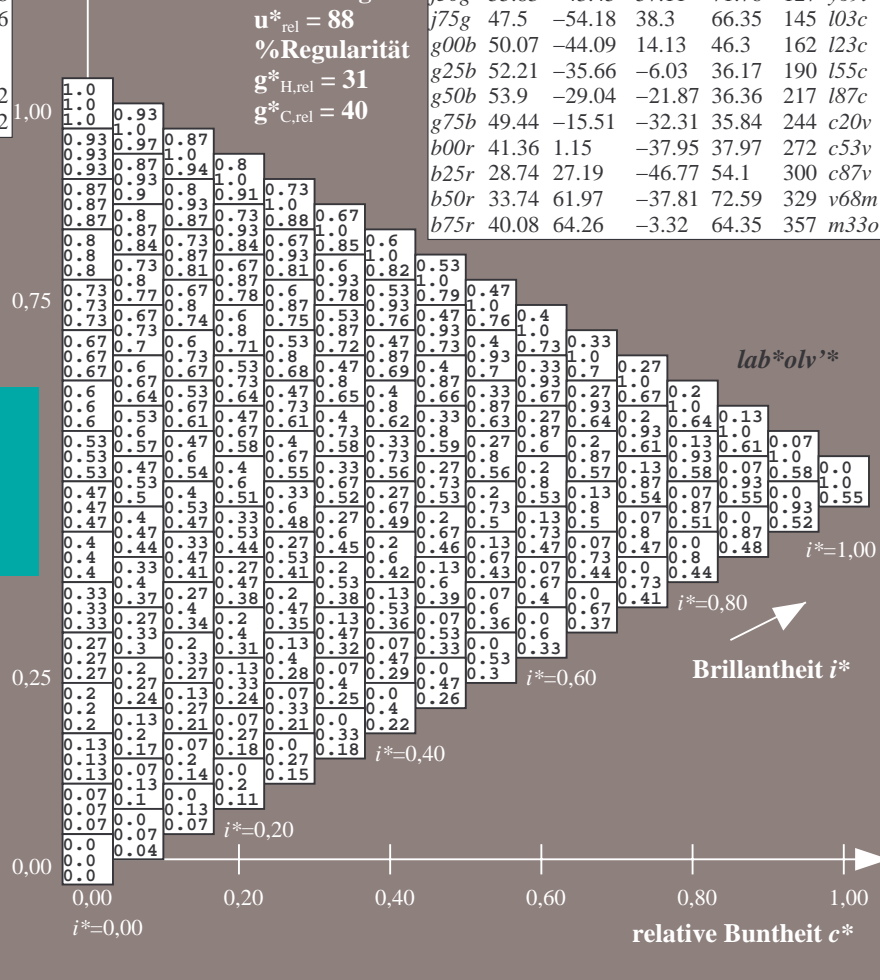
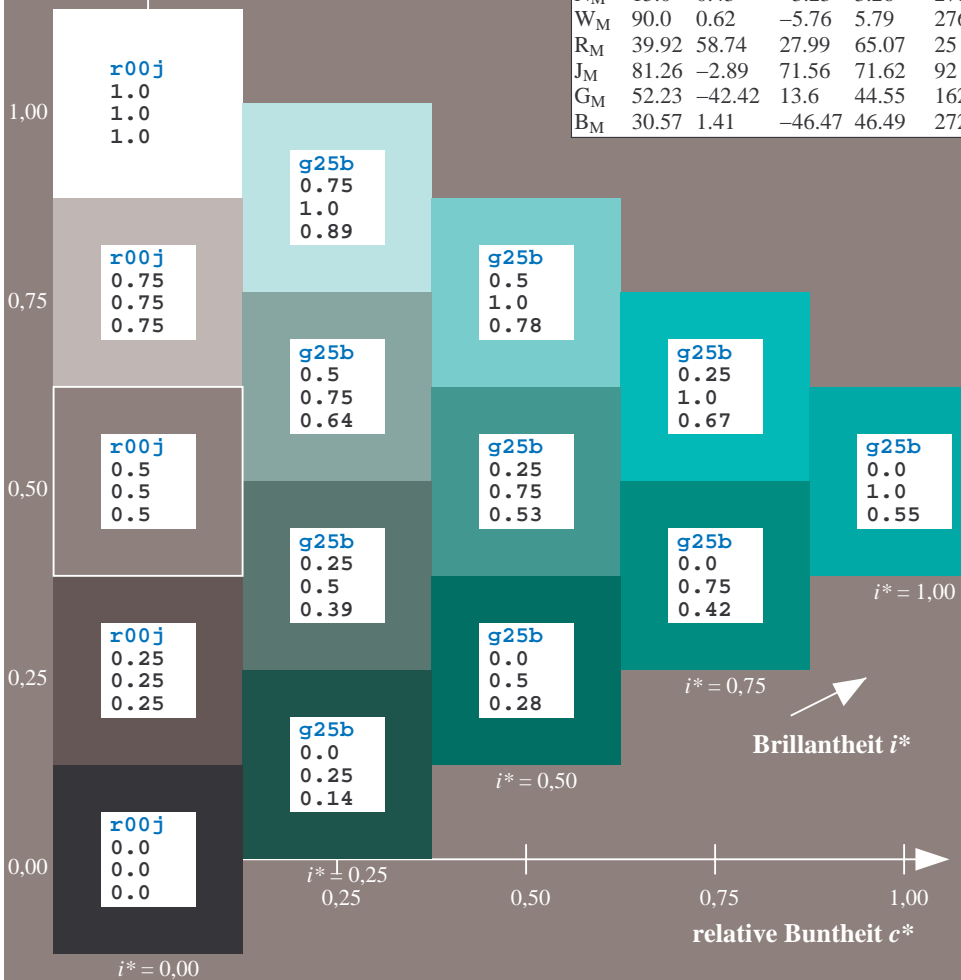
$u^*_{rel} = 88$

%Regularität

$g^*_{H,rel} = 31$

$g^*_{C,rel} = 40$

FRS09_92aM; adaptierte CIELAB-Daten							
u^*_e	$L^*=L^*_a$	a^*_a	b^*_a	$C^*_{ab,a}$	$h^*_{ab,a}$	u^*_d	
r00j	39.18	56.94	27.13	63.07	25	m81o	
r25j	42.41	49.1	44.5	66.26	42	o10y	
r50j	52.78	35.22	58.37	68.17	59	o40y	
r75j	64.82	19.12	74.47	76.89	76	o69y	
j00g	82.06	-3.94	97.52	97.6	92	o98y	
j25g	67.26	-26.87	74.67	79.36	110	y34l	
j50g	55.83	-43.45	57.11	71.75	127	y69l	
j75g	47.5	-54.18	38.3	66.35	145	l03c	
g00b	50.07	-44.09	14.13	46.3	162	l23c	
g25b	52.21	-35.66	-6.03	36.17	190	l55c	
g50b	53.9	-29.04	-21.87	36.36	217	l87c	
g75b	49.44	-15.51	-32.31	35.84	244	c20v	
b00r	41.36	1.15	-37.95	37.97	272	c53v	
b25r	28.74	27.19	-46.77	54.1	300	c87v	
b50r	33.74	61.97	-37.81	72.59	329	v68m	
b75r	40.08	64.26	-3.32	64.35	357	m33o	



Ein und Ausgabe: Farbmetrisches Drucker-Reflektiv-System FRS09_92aM für relativen CIELAB-Buntton $h^* = \text{lab}^*h^* = h_{ab}/360 = 0.603$

Daten für jede Farbe:

lab^*tch^* und lab^*icu^*

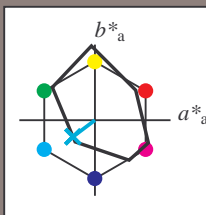
Bunttontexte:

$u^*_e = g50b$ $u^*_d = l87c$

Kontrastreduzierungsfaktor:

$c_R = 0.9$

Dreiecks-Helligkeit i^*



FRS09_92aM; CIELAB-Daten						
u^*_e	$L^*=L^*$	a^*	b^*	C^*_{ab}	h^*_{ab}	
O _M	38.8	54.41	35.65	65.05	33	
Y _M	82.58	-4.04	92.72	92.8	92	
L _M	46.95	-55.83	39.15	68.19	145	
C _M	54.62	-25.67	-33.25	42.01	232	
V _M	20.01	45.64	-56.27	72.45	309	
M _M	40.88	71.17	-34.09	78.92	334	
N _M	15.0	0.43	-3.23	3.26	278	
W _M	90.0	0.62	-5.76	5.79	276	
R _M	39.92	58.74	27.99	65.07	25	
J _M	81.26	-2.89	71.56	71.62	92	
G _M	52.23	-42.42	13.6	44.55	162	
B _M	30.57	1.41	-46.47	46.49	272	

Daten für Maximalfarbe (Ma):

$\text{LAB}^*\text{LAB}^*_{Ma}$: 54 -29 -22

$\text{LAB}^*\text{LCH}^*_{Ma}$: 54 36 216

$\text{lab}^*\text{rgb}^*_{Ma}$: 0.0 1.0 1.0

$\text{lab}^*\text{olv}^*_{Ma}$: 0.0 1.0 0.88

Dreiecks-Helligkeit i^*

%Umfang

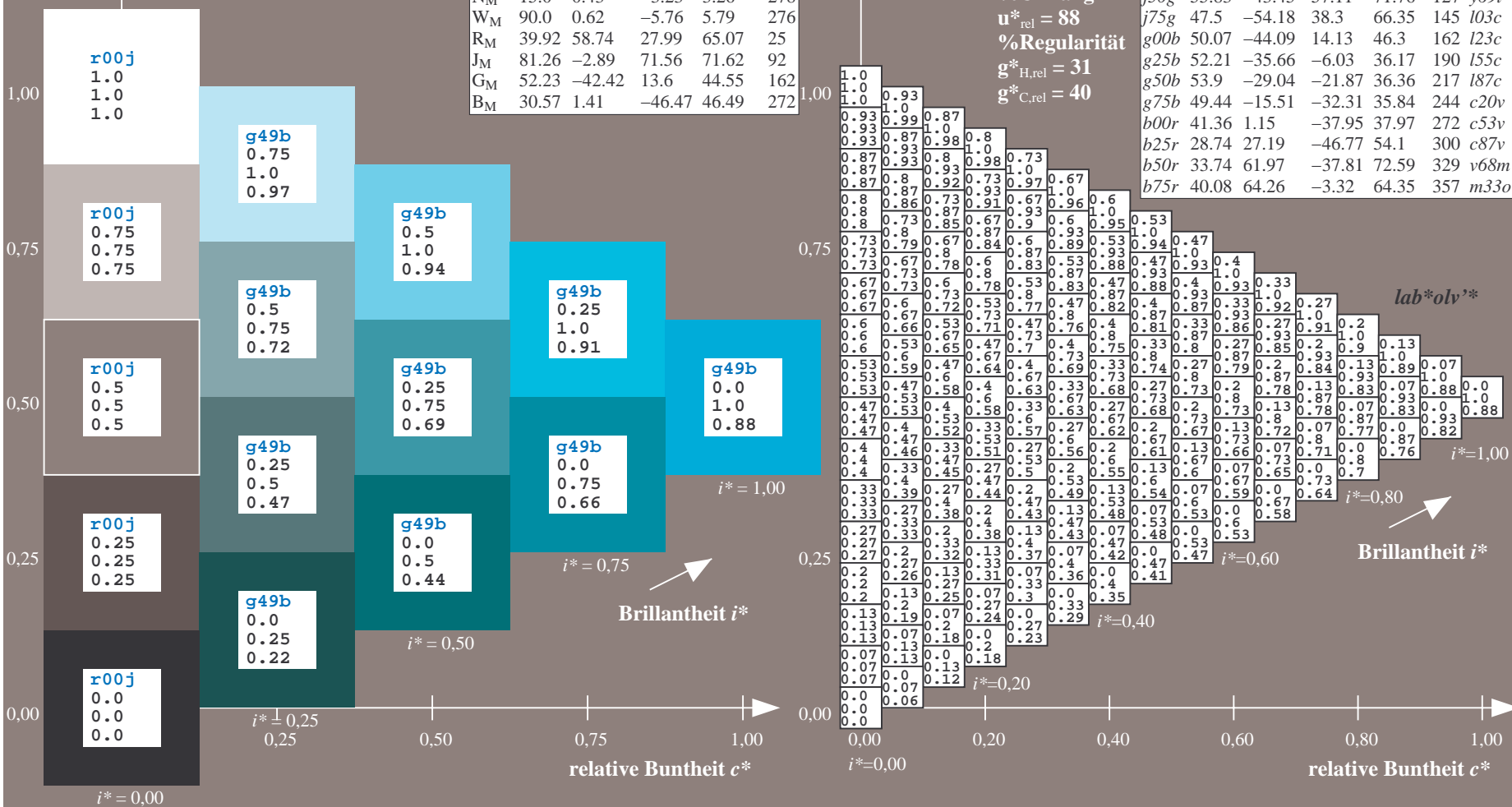
$u^*_{rel} = 88$

%Regularität

$g^*_{H,rel} = 31$

$g^*_{C,rel} = 40$

FRS09_92aM; adaptierte CIELAB-Daten							
u^*_e	$L^*=L^*_a$	a^*_a	b^*_a	$C^*_{ab,a}$	$h^*_{ab,a}$	u^*_d	
r00j	39.18	56.94	27.13	63.07	25	m81o	
r25j	42.41	49.1	44.5	66.26	42	o10y	
r50j	52.78	35.22	58.37	68.17	59	o40y	
r75j	64.82	19.12	74.47	76.89	76	o69y	
j00g	82.06	-3.94	97.52	97.6	92	o98y	
j25g	67.26	-26.87	74.67	79.36	110	y34l	
j50g	55.83	-43.45	57.11	71.76	127	y69l	
j75g	47.5	-54.18	38.3	66.35	145	l03c	
g00b	50.07	-44.09	14.13	46.3	162	l23c	
g25b	52.21	-35.66	-6.03	36.17	190	l55c	
g50b	53.9	-29.04	-21.87	36.36	217	l87c	
g75b	49.44	-15.51	-32.31	35.84	244	c20v	
b00r	41.36	1.15	-37.95	37.97	272	c53v	
b25r	28.74	27.19	-46.77	54.1	300	c87v	
b50r	33.74	61.97	-37.81	72.59	329	v68m	
b75r	40.08	64.26	-3.32	64.35	357	m33o	



Ein und Ausgabe: Farbmetrisches Drucker-Reflektiv-System FRS09_92aM für relativen CIELAB-Buntton $h^* = lab^*h^* = h_{ab}/360 = 0.679$

Daten für jede Farbe:

lab^*tch^* und lab^*icu^*

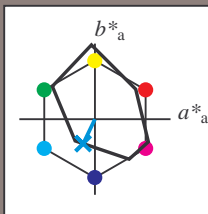
Bunttontexte:

$u^*_e = g75b$ $u^*_d = c20v$

Kontrastreduzierungsfaktor:

$c_R = 0.9$

Dreiecks-Helligkeit i^*



FRS09_92aM; CIELAB-Daten						
u^*_e	$L^*=L^*$	a^*	b^*	C^*_{ab}	h^*_{ab}	
O _M	38.8	54.41	35.65	65.05	33	
Y _M	82.58	-4.04	92.72	92.8	92	
L _M	46.95	-55.83	39.15	68.19	145	
C _M	54.62	-25.67	-33.25	42.01	232	
V _M	20.01	45.64	-56.27	72.45	309	
M _M	40.88	71.17	-34.09	78.92	334	
N _M	15.0	0.43	-3.23	3.26	278	
W _M	90.0	0.62	-5.76	5.79	276	
R _M	39.92	58.74	27.99	65.07	25	
J _M	81.26	-2.89	71.56	71.62	92	
G _M	52.23	-42.42	13.6	44.55	162	
B _M	30.57	1.41	-46.47	46.49	272	

Daten für Maximalfarbe (Ma):

$LAB^*LAB^*_{Ma}$: 49 -16 -32

$LAB^*LCH^*_{Ma}$: 49 36 244

$lab^*rgb^*_{Ma}$: 0.0 0.5 1.0

$lab^*olv^*_{Ma}$: 0.0 0.8 1.0

Dreiecks-Helligkeit i^*

%Umfang

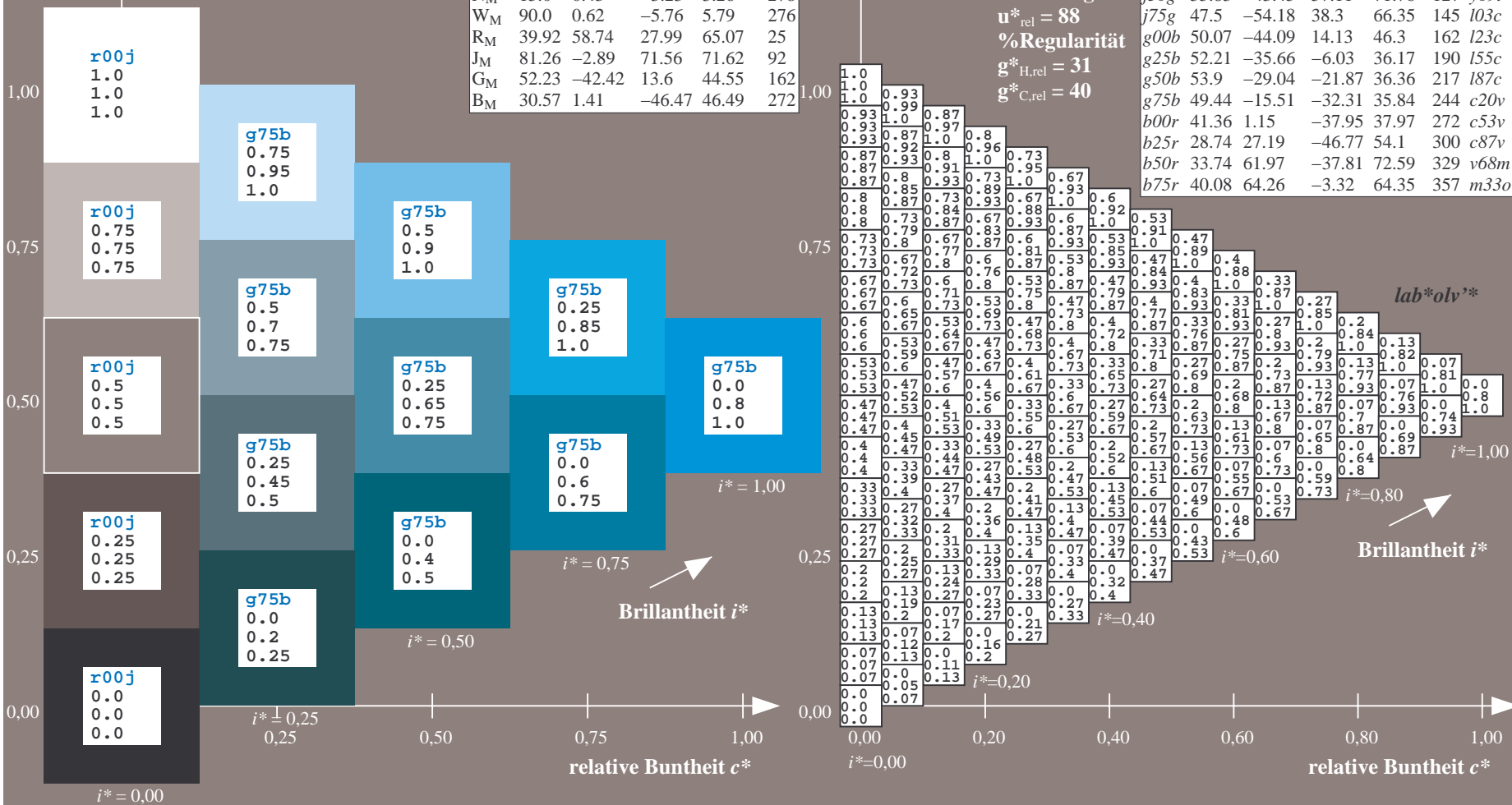
$u^*_{rel} = 88$

%Regularität

$g^*_{H,rel} = 31$

$g^*_{C,rel} = 40$

FRS09_92aM; adaptierte CIELAB-Daten							
u^*_e	$L^*=L^*$	a^*_a	b^*_a	$C^*_{ab,a}$	$h^*_{ab,a}$	u^*_d	
r00j	39.18	56.94	27.13	63.07	25	m81o	
r25j	42.41	49.1	44.5	66.26	42	o10y	
r50j	52.78	35.22	58.37	68.17	59	o40y	
r75j	64.82	19.12	74.47	76.89	76	o69y	
j00g	82.06	-3.94	97.52	97.6	92	o98y	
j25g	67.26	-26.87	74.67	79.36	110	y34l	
j50g	55.83	-43.45	57.11	71.76	127	y69l	
j75g	47.5	-54.18	38.3	66.35	145	i03c	
g00b	50.07	-44.09	14.13	46.3	162	i23c	
g25b	52.21	-35.66	-6.03	36.17	190	i55c	
g50b	53.9	-29.04	-21.87	36.36	217	i87c	
g75b	49.44	-15.51	-32.31	35.84	244	c20v	
b00r	41.36	1.15	-37.95	37.97	272	c53v	
b25r	28.74	27.19	-46.77	54.1	300	c87v	
b50r	33.74	61.97	-37.81	72.59	329	v68m	
b75r	40.08	64.26	-3.32	64.35	357	m33o	



Ein und Ausgabe: Farbmetrisches Drucker-Reflektiv-System FRS09_92aM für relativen CIELAB-Buntton $h^* = lab^*h^* = h_{ab}/360 = 0.755$

Daten für jede Farbe:

lab^*tch^* und lab^*icu^*

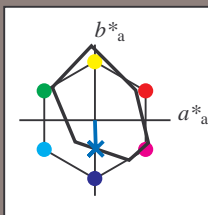
Bunttontexte:

$u^*_e = b00r$ $u^*_d = c53v$

Kontrastreduzierungsfaktor:

$c_R = 0.9$

Dreiecks-Helligkeit i^*



FRS09_92aM; CIELAB-Daten						
u^*_e	$L^*=L^*$	a^*	b^*	C^*_{ab}	h^*_{ab}	
O _M	38.8	54.41	35.65	65.05	33	
Y _M	82.58	-4.04	92.72	92.8	92	
L _M	46.95	-55.83	39.15	68.19	145	
C _M	54.62	-25.67	-33.25	42.01	232	
V _M	20.01	45.64	-56.27	72.45	309	
M _M	40.88	71.17	-34.09	78.92	334	
N _M	15.0	0.43	-3.23	3.26	278	
W _M	90.0	0.62	-5.76	5.79	276	
R _M	39.92	58.74	27.99	65.07	25	
J _M	81.26	-2.89	71.56	71.62	92	
G _M	52.23	-42.42	13.6	44.55	162	
B _M	30.57	1.41	-46.47	46.49	272	

Daten für Maximalfarbe (Ma):

$LAB^*LAB^*_{Ma}$: 41 1 -38

$LAB^*LCH^*_{Ma}$: 41 38 271

$lab^*rgb^*_{Ma}$: 0.0 0.0 1.0

$lab^*olv^*_{Ma}$: 0.0 0.47 1.0

Dreiecks-Helligkeit i^*

%Umfang

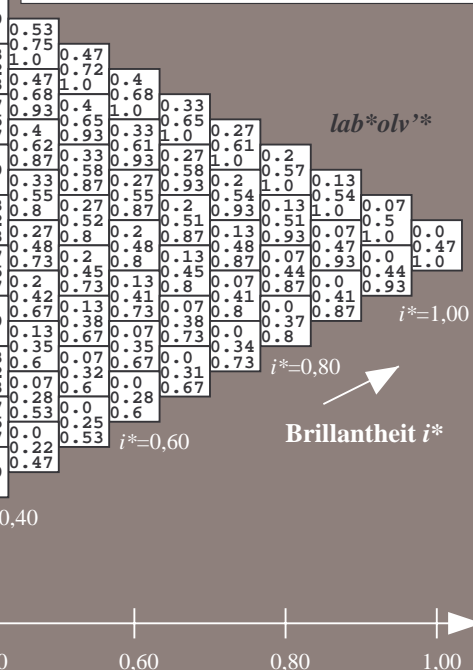
$u^*_{rel} = 88$

%Regularität

$g^*_{H,rel} = 31$

$g^*_{C,rel} = 40$

FRS09_92aM; adaptierte CIELAB-Daten						
u^*_e	$L^*=L^*_a$	a^*_a	b^*_a	$C^*_{ab,a}$	$h^*_{ab,a}$	u^*_d
r00j	39.18	56.94	27.13	63.07	25	m81o
r25j	42.41	49.1	44.5	66.26	42	o10y
r50j	52.78	35.22	58.37	68.17	59	o40y
r75j	64.82	19.12	74.47	76.89	76	o69y
j00g	82.06	-3.94	97.52	97.6	92	o98y
j25g	67.26	-26.87	74.67	79.36	110	y34l
j50g	55.83	-43.45	57.11	71.76	127	y69l
j75g	47.5	-54.18	38.3	66.35	145	i03c
g00b	50.07	-44.09	14.13	46.3	162	i23c
g25b	52.21	-35.66	-6.03	36.17	190	i55c
g50b	53.9	-29.04	-21.87	36.36	217	i87c
g75b	49.44	-15.51	-32.31	35.84	244	c20v
b00r	41.36	1.15	-37.95	37.97	272	c53v
b25r	28.74	27.19	-46.77	54.1	300	c87v
b50r	33.74	61.97	-37.81	72.59	329	v68m
b75r	40.08	64.26	-3.32	64.35	357	m33o



lab^*olv^*

$i^* = 1.00$

Brillantheit i^*

$i^* = 0.80$

$i^* = 0.60$

$i^* = 0.40$

$i^* = 0.20$

$i^* = 0.00$

relative Buntheit c^*

relative Buntheit c^*

Ein und Ausgabe: Farbmetrisches Drucker-Reflektiv-System FRS09_92aM für relativen CIELAB-Buntton $h^* = lab^*h^* = h_{ab}/360 = 0.834$

Daten für jede Farbe:

lab^*tch^* und lab^*icu^*

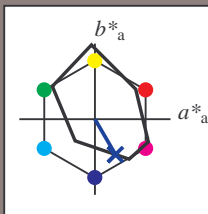
Bunttontexte:

$u^*_e = b25r$ $u^*_d = c87v$

Kontrastreduzierungsfaktor:

$c_R = 0.9$

Dreiecks-Helligkeit i^*



FRS09_92aM; CIELAB-Daten						
u^*_e	$L^*=L^*$	a^*	b^*	C^*_{ab}	h^*_{ab}	
O _M	38.8	54.41	35.65	65.05	33	
Y _M	82.58	-4.04	92.72	92.8	92	
L _M	46.95	-55.83	39.15	68.19	145	
C _M	54.62	-25.67	-33.25	42.01	232	
V _M	20.01	45.64	-56.27	72.45	309	
M _M	40.88	71.17	-34.09	78.92	334	
N _M	15.0	0.43	-3.23	3.26	278	
W _M	90.0	0.62	-5.76	5.79	276	
R _M	39.92	58.74	27.99	65.07	25	
J _M	81.26	-2.89	71.56	71.62	92	
G _M	52.23	-42.42	13.6	44.55	162	
B _M	30.57	1.41	-46.47	46.49	272	

Daten für Maximalfarbe (Ma):

$LAB^*LAB^*_{Ma}$: 29 27 -47

$LAB^*LCH^*_{Ma}$: 29 54 300

$lab^*rgb^*_{Ma}$: 0.5 0.0 1.0

$lab^*olv^*_{Ma}$: 0.0 0.12 1.0

Dreiecks-Helligkeit i^*

%Umfang

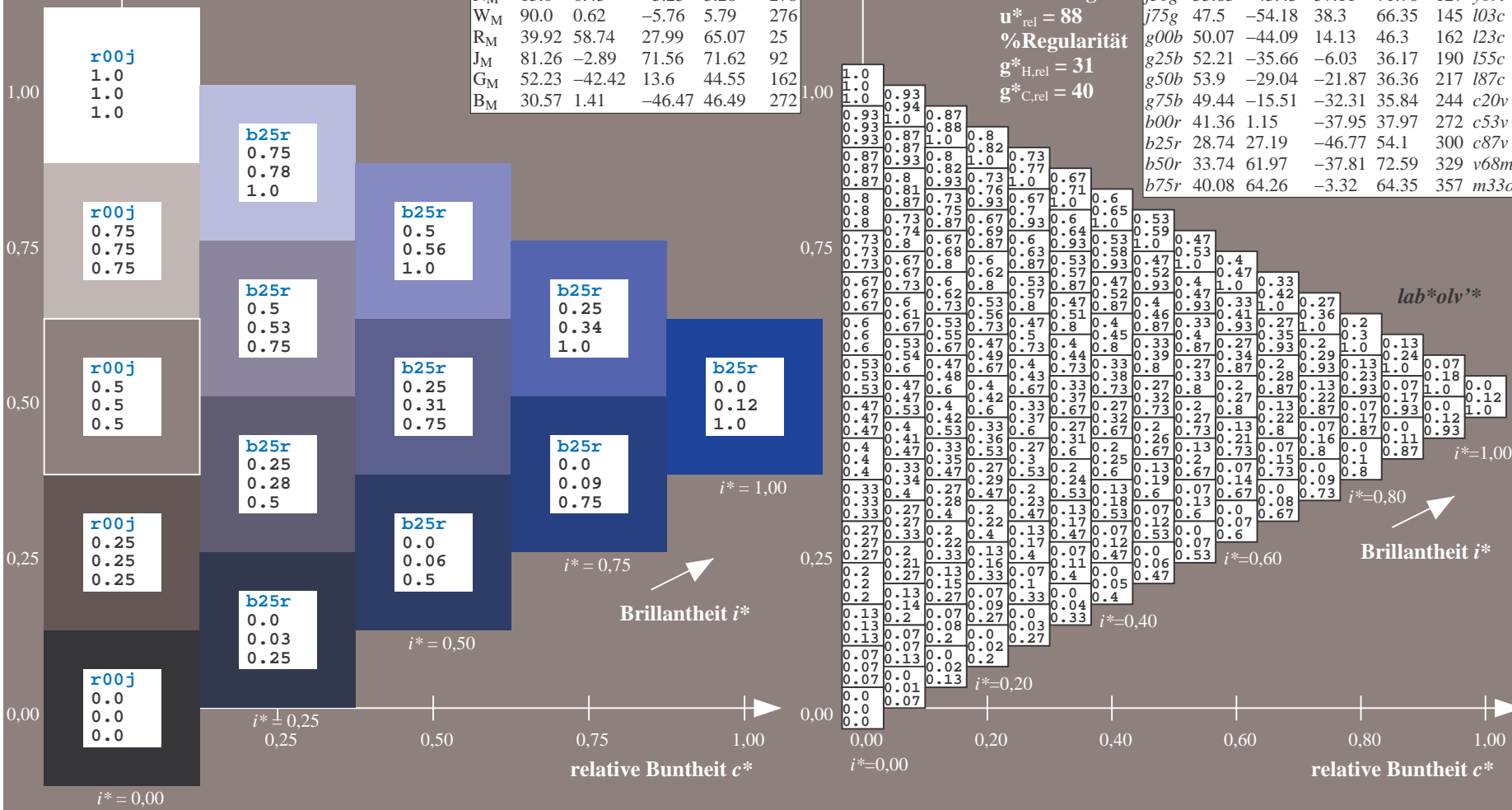
$u^*_{rel} = 88$

%Regularität

$g^*_{H,rel} = 31$

$g^*_{C,rel} = 40$

FRS09_92aM; adaptierte CIELAB-Daten						
u^*_e	$L^*=L^*$	a^*_a	b^*_a	$C^*_{ab,a}$	$h^*_{ab,a}$	u^*_d
r00j	39.18	56.94	27.13	63.07	25	m81o
r25j	42.41	49.1	44.5	66.26	42	o10y
r50j	52.78	35.22	58.37	68.17	59	o40y
r75j	64.82	19.12	74.47	76.89	76	o69y
j00g	82.06	-3.94	97.52	97.6	92	o98y
j25g	67.26	-26.87	74.67	79.36	110	y34l
j50g	55.83	-43.45	57.11	71.76	127	y69l
j75g	47.5	-54.18	38.3	66.35	145	l03c
g00b	50.07	-44.09	14.13	46.3	162	l23c
g25b	52.21	-35.66	-6.03	36.17	190	l55c
g50b	53.9	-29.04	-21.87	36.36	217	l87c
g75b	49.44	-15.51	-32.31	35.84	244	c20v
b00r	41.36	1.15	-37.95	37.97	272	c53v
b25r	28.74	27.19	-46.77	54.1	300	c87v
b50r	33.74	61.97	-37.81	72.59	329	v68m
b75r	40.08	64.26	-3.32	64.35	357	m33o



Ein und Ausgabe: Farbmetrisches Drucker-Reflektiv-System FRS09_92aM für relativen CIELAB-Buntton $h^* = lab^*h^* = h_{ab}/360 = 0.913$

Daten für jede Farbe:

lab^*tch^* und lab^*icu^*

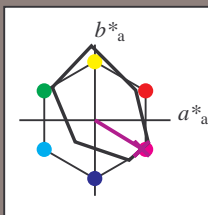
Bunttontexte:

$u^*_e = b50r$ $u^*_d = v68m$

Kontrastreduzierungsfaktor:

$c_R = 0.9$

Dreiecks-Helligkeit i^*



FRS09_92aM; CIELAB-Daten						
u^*_e	$L^*=L^*_a$	a^*	b^*	C^*_{ab}	h^*_{ab}	
O _M	38.8	54.41	35.65	65.05	33	
Y _M	82.58	-4.04	92.72	92.8	92	
L _M	46.95	-55.83	39.15	68.19	145	
C _M	54.62	-25.67	-33.25	42.01	232	
V _M	20.01	45.64	-56.27	72.45	309	
M _M	40.88	71.17	-34.09	78.92	334	
N _M	15.0	0.43	-3.23	3.26	278	
W _M	90.0	0.62	-5.76	5.79	276	
R _M	39.92	58.74	27.99	65.07	25	
J _M	81.26	-2.89	71.56	71.62	92	
G _M	52.23	-42.42	13.6	44.55	162	
B _M	30.57	1.41	-46.47	46.49	272	

Daten für Maximalfarbe (Ma):

$LAB^*LAB^*_{Ma}$: 34 62 -38

$LAB^*LCH^*_{Ma}$: 34 73 328

$lab^*rgb^*_{Ma}$: 1.0 0.0 1.0

$lab^*olv^*_{Ma}$: 0.68 0.0 1.0

Dreiecks-Helligkeit i^*

%Umfang

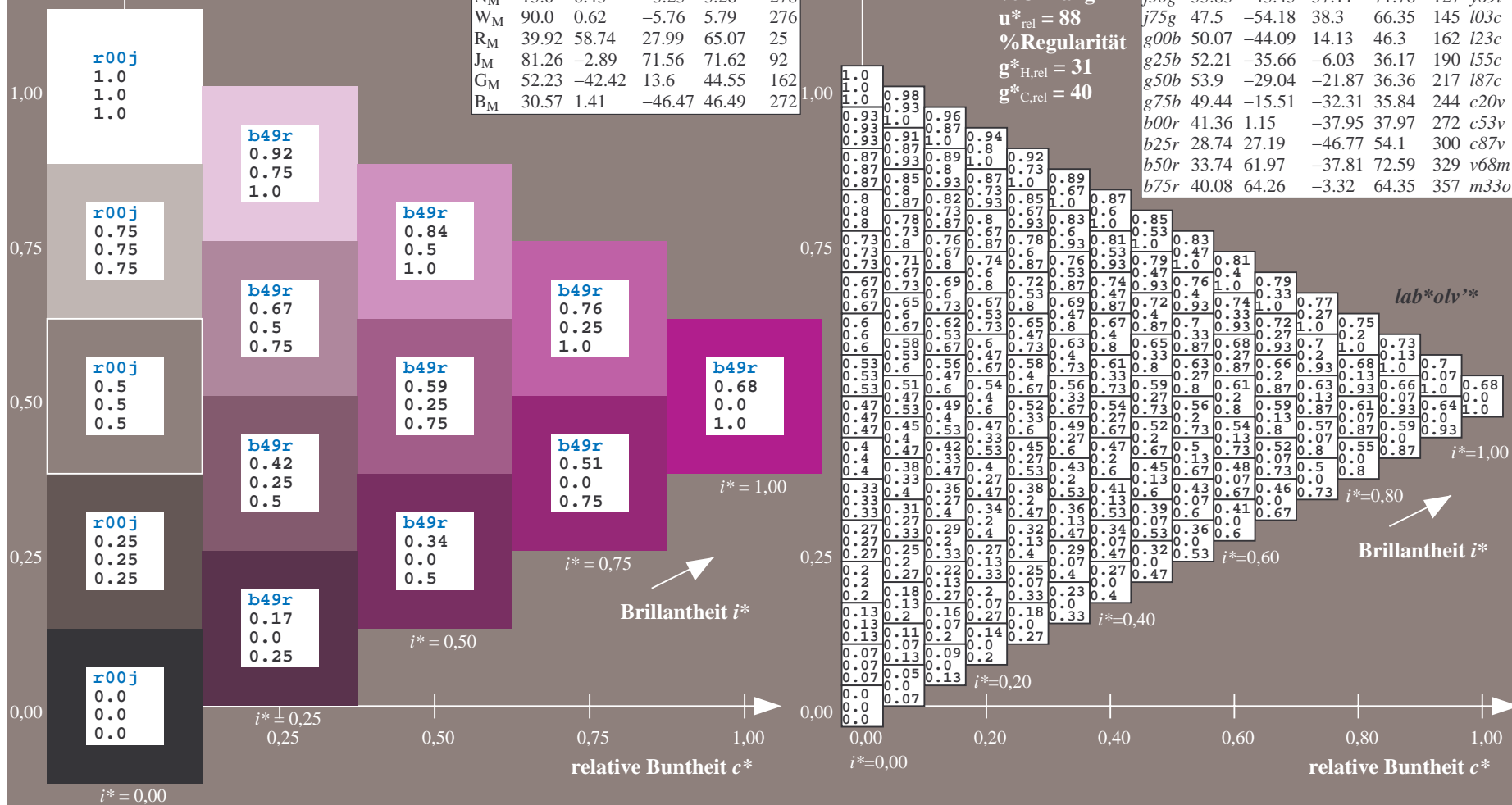
$u^*_{rel} = 88$

%Regularität

$g^*_{H,rel} = 31$

$g^*_{C,rel} = 40$

FRS09_92aM; adaptierte CIELAB-Daten							
u^*_e	$L^*=L^*_a$	a^*_a	b^*_a	$C^*_{ab,a}$	$h^*_{ab,a}$	u^*_d	
r00j	39.18	56.94	27.13	63.07	25	m81o	
r25j	42.41	49.1	44.5	66.26	42	o10y	
r50j	52.78	35.22	58.37	68.17	59	o40y	
r75j	64.82	19.12	74.47	76.89	76	o69y	
j00g	82.06	-3.94	97.52	97.6	92	o98y	
j25g	67.26	-26.87	74.67	79.36	110	y34l	
j50g	55.83	-43.45	57.11	71.76	127	y69l	
j75g	47.5	-54.18	38.3	66.35	145	i03c	
g00b	50.07	-44.09	14.13	46.3	162	i23c	
g25b	52.21	-35.66	-6.03	36.17	190	i55c	
g50b	53.9	-29.04	-21.87	36.36	217	i87c	
g75b	49.44	-15.51	-32.31	35.84	244	c20v	
b00r	41.36	1.15	-37.95	37.97	272	c53v	
b25r	28.74	27.19	-46.77	54.1	300	c87v	
b50r	33.74	61.97	-37.81	72.59	329	v68m	
b75r	40.08	64.26	-3.32	64.35	357	m33o	



Ein und Ausgabe: Farbmetrisches Drucker-Reflektiv-System FRS09_92aM für relativen CIELAB-Buntton $h^* = \text{lab}^*h^* = h_{ab}/360 = 0.992$

Daten für jede Farbe:

lab^*tch^* und lab^*icu^*

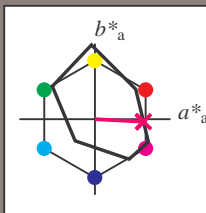
Bunttontexte:

$u^*_e = b75r$ $u^*_d = m33o$

Kontrastreduzierungsfaktor:

$c_R = 0.9$

Dreiecks-Helligkeit i^*



FRS09_92aM; CIELAB-Daten						
u^*_e	$L^*=L^*_a$	a^*	b^*	C^*_{ab}	h^*_{ab}	
O _M	38.8	54.41	35.65	65.05	33	
Y _M	82.58	-4.04	92.72	92.8	92	
L _M	46.95	-55.83	39.15	68.19	145	
C _M	54.62	-25.67	-33.25	42.01	232	
V _M	20.01	45.64	-56.27	72.45	309	
M _M	40.88	71.17	-34.09	78.92	334	
N _M	15.0	0.43	-3.23	3.26	278	
W _M	90.0	0.62	-5.76	5.79	276	
R _M	39.92	58.74	27.99	65.07	25	
J _M	81.26	-2.89	71.56	71.62	92	
G _M	52.23	-42.42	13.6	44.55	162	
B _M	30.57	1.41	-46.47	46.49	272	

Daten für Maximalfarbe (Ma):

$\text{LAB}^*\text{LAB}^*_{Ma}$: 40 64 -3

$\text{LAB}^*\text{LCH}^*_{Ma}$: 40 64 357

$\text{lab}^*\text{rgb}^*_{Ma}$: 1.0 0.0 0.5

$\text{lab}^*\text{olv}^*_{Ma}$: 1.0 0.0 0.66

Dreiecks-Helligkeit i^*

%Umfang

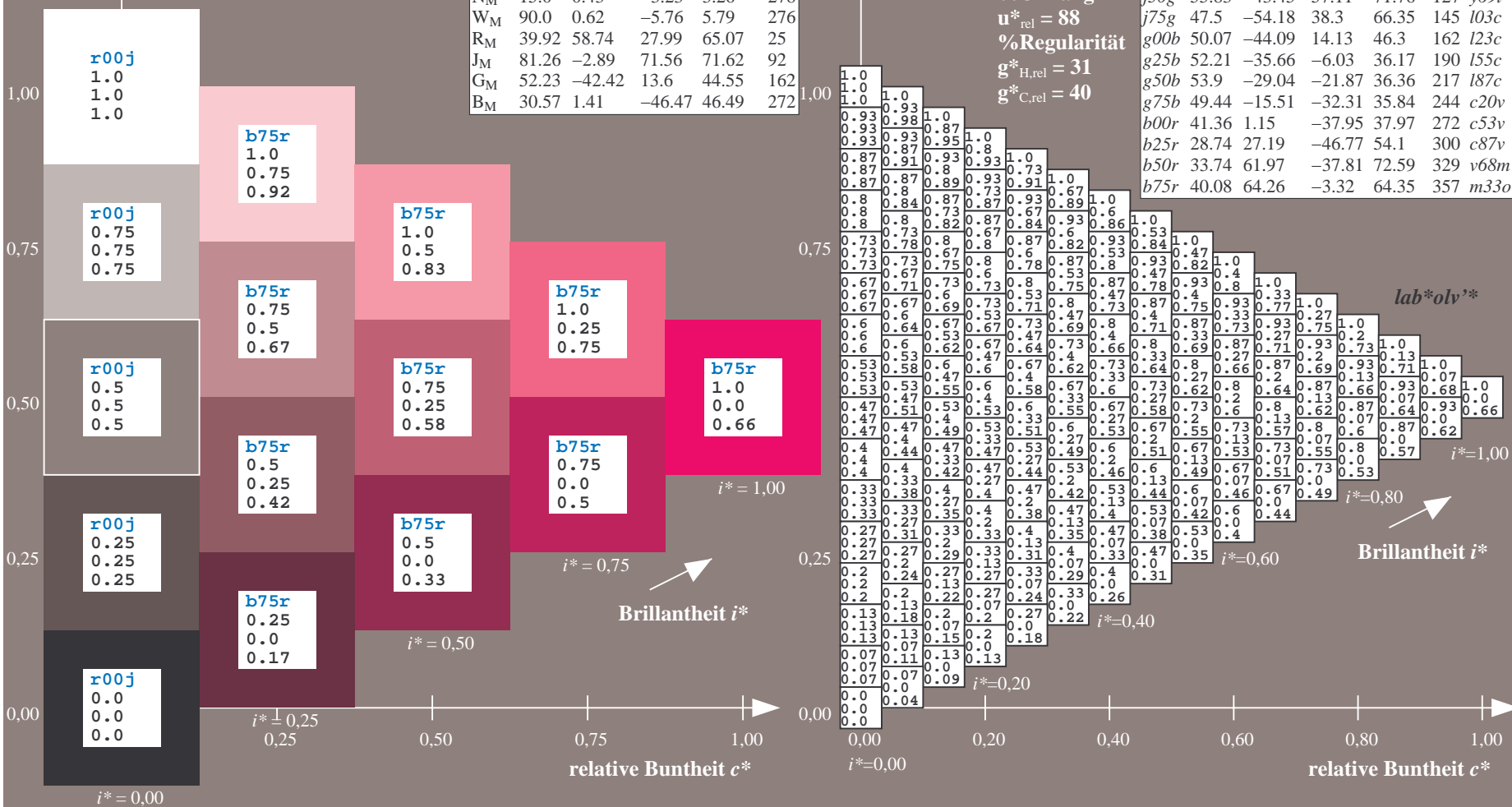
$u^*_{rel} = 88$

%Regularität

$g^*_{H,rel} = 31$

$g^*_{C,rel} = 40$

FRS09_92aM; adaptierte CIELAB-Daten						
u^*_e	$L^*=L^*_a$	a^*_a	b^*_a	$C^*_{ab,a}$	$h^*_{ab,a}$	u^*_d
r00j	39.18	56.94	27.13	63.07	25	m81o
r25j	42.41	49.1	44.5	66.26	42	o10y
r50j	52.78	35.22	58.37	68.17	59	o40y
r75j	64.82	19.12	74.47	76.89	76	o69y
j00g	82.06	-3.94	97.52	97.6	92	o98y
j25g	67.26	-26.87	74.67	79.36	110	y34l
j50g	55.83	-43.45	57.11	71.76	127	y69l
j75g	47.5	-54.18	38.3	66.35	145	i03c
g00b	50.07	-44.09	14.13	46.3	162	i23c
g25b	52.21	-35.66	-6.03	36.17	190	i55c
g50b	53.9	-29.04	-21.87	36.36	217	i87c
g75b	49.44	-15.51	-32.31	35.84	244	c20v
b00r	41.36	1.15	-37.95	37.97	272	c53v
b25r	28.74	27.19	-46.77	54.1	300	c87v
b50r	33.74	61.97	-37.81	72.59	329	v68m
b75r	40.08	64.26	-3.32	64.35	357	m33o



Siehe ähnliche Dateien: <http://www.ps.bam.de/Eg33/>; www.ps.bam.de/Eg.HTM
Technische Information: <http://www.ps.bam.de> Version 2.1, io=1.1, ColSp=0

BAM-Registrierung: 20081001-Eg33/10/L33G00NP.PS/.PDF BAM-Materialanwendung für Beurteilung und Messung von Drucker- oder Monitorssystemen

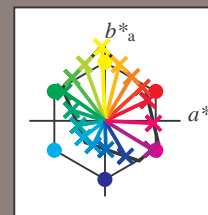
	A	B	C	D	E	F	G	H	I	J	K	L	M	N	O	P	Q	R	S	T	U	V	W	X	Y	Z	a	b	c	d	e	f	g	h	i	j	k	lab*oly**				
01	0.0	0.0	0.0	0.0	0.0	0.0	0.0	0.0	0.0	0.0	0.13	0.12	0.12	0.12	0.12	0.12	0.12	0.12	0.25	0.25	0.25	0.25	0.25	0.25	0.25	0.25	0.25	1.0	1.0	1.0	1.0	1.0	1.0	1.0	1.0	1.0	1.0	0.0	0.0	0.0	0.0	
	0.0	0.13	0.25	0.38	0.5	0.63	0.75	0.88	1.0	1.0	0.0	0.13	0.25	0.38	0.5	0.63	0.75	0.88	1.0	0.0	0.12	0.25	0.38	0.5	0.63	0.75	0.88	1.0	0.0	0.88	0.75	0.63	0.5	0.38	0.25	0.13	0.0	0.0	0.0	0.0	0.0	
	0.0	0.0	0.0	0.0	0.0	0.0	0.0	0.0	0.0	0.0	0.0	0.0	0.0	0.0	0.0	0.0	0.0	0.0	0.0	0.0	0.0	0.0	0.0	0.0	0.0	0.0	0.0	1.0	1.0	0.88	0.75	0.63	0.5	0.38	0.25	0.13	0.0	0.0	0.0	0.0	0.0	
02	0.0	0.0	0.0	0.0	0.0	0.0	0.0	0.0	0.0	0.12	0.13	0.13	0.13	0.13	0.13	0.13	0.13	0.13	0.25	0.25	0.25	0.25	0.25	0.25	0.25	0.25	0.25	0.88	0.88	0.88	0.88	0.88	0.88	0.88	0.88	0.88	0.88	0.13	0.13	0.13	0.13	
	0.0	0.12	0.25	0.38	0.5	0.63	0.75	0.88	1.0	0.0	0.13	0.25	0.38	0.5	0.63	0.75	0.88	1.0	0.0	0.13	0.25	0.38	0.5	0.63	0.75	0.88	1.0	1.0	0.88	0.75	0.63	0.5	0.38	0.25	0.13	0.0	0.13	0.13	0.13	0.13		
	0.13	0.13	0.12	0.12	0.12	0.12	0.12	0.12	0.12	0.13	0.13	0.13	0.13	0.13	0.13	0.13	0.13	0.13	0.12	0.13	0.13	0.13	0.13	0.13	0.13	0.13	0.13	1.0	1.0	0.88	0.75	0.63	0.5	0.38	0.25	0.13	0.0	0.13	0.13	0.13	0.13	
03	0.0	0.0	0.0	0.0	0.0	0.0	0.0	0.0	0.0	0.12	0.13	0.13	0.13	0.13	0.13	0.13	0.13	0.13	0.25	0.25	0.25	0.25	0.25	0.25	0.25	0.25	0.25	0.75	0.75	0.75	0.75	0.75	0.75	0.75	0.75	0.75	0.75	0.25	0.25	0.25	0.25	
	0.0	0.12	0.25	0.38	0.5	0.63	0.75	0.88	1.0	0.0	0.13	0.25	0.38	0.5	0.63	0.75	0.88	1.0	0.0	0.13	0.25	0.38	0.5	0.63	0.75	0.88	1.0	1.0	0.87	0.75	0.63	0.5	0.38	0.25	0.13	0.0	0.25	0.25	0.25	0.25		
	0.25	0.25	0.25	0.25	0.25	0.25	0.25	0.25	0.25	0.25	0.25	0.25	0.25	0.25	0.25	0.25	0.25	0.25	0.25	0.25	0.25	0.25	0.25	0.25	0.25	0.25	0.25	1.0	1.0	0.88	0.75	0.63	0.5	0.38	0.25	0.13	0.0	0.25	0.25	0.25	0.25	
04	0.0	0.0	0.0	0.0	0.0	0.0	0.0	0.0	0.0	0.12	0.13	0.13	0.13	0.13	0.13	0.13	0.13	0.13	0.25	0.25	0.25	0.25	0.25	0.25	0.25	0.25	0.25	0.63	0.63	0.63	0.63	0.63	0.63	0.63	0.63	0.63	0.63	0.38	0.38	0.38	0.38	
	0.0	0.12	0.25	0.37	0.5	0.63	0.75	0.88	1.0	0.0	0.13	0.25	0.37	0.5	0.63	0.75	0.88	1.0	0.0	0.13	0.25	0.37	0.5	0.63	0.75	0.88	1.0	1.0	0.87	0.75	0.63	0.5	0.38	0.25	0.13	0.0	0.38	0.38	0.38	0.38		
	0.38	0.38	0.38	0.38	0.37	0.37	0.37	0.37	0.37	0.38	0.38	0.38	0.38	0.37	0.37	0.37	0.37	0.37	0.38	0.38	0.38	0.37	0.37	0.37	0.37	0.37	0.37	1.0	1.0	0.88	0.75	0.63	0.5	0.38	0.25	0.13	0.0	0.38	0.38	0.38	0.38	
05	0.0	0.0	0.0	0.0	0.0	0.0	0.0	0.0	0.0	0.12	0.13	0.13	0.13	0.13	0.13	0.13	0.13	0.13	0.25	0.25	0.25	0.25	0.25	0.25	0.25	0.25	0.25	0.5	0.5	0.5	0.5	0.5	0.5	0.5	0.5	0.5	0.5	0.5	0.5	0.5		
	0.0	0.12	0.25	0.37	0.5	0.63	0.75	0.88	1.0	0.0	0.13	0.25	0.37	0.5	0.63	0.75	0.88	1.0	0.0	0.13	0.25	0.37	0.5	0.63	0.75	0.88	1.0	1.0	0.87	0.75	0.63	0.5	0.38	0.25	0.13	0.0	0.5	0.5	0.5	0.5		
	0.5	0.5	0.5	0.5	0.5	0.5	0.5	0.5	0.5	0.5	0.5	0.5	0.5	0.5	0.5	0.5	0.5	0.5	0.5	0.5	0.5	0.5	0.5	0.5	0.5	0.5	0.5	1.0	1.0	0.88	0.75	0.63	0.5	0.38	0.25	0.13	0.0	0.5	0.5	0.5	0.5	
06	0.0	0.0	0.0	0.0	0.0	0.0	0.0	0.0	0.0	0.12	0.13	0.13	0.13	0.13	0.13	0.13	0.13	0.13	0.25	0.25	0.25	0.25	0.25	0.25	0.25	0.25	0.25	0.38	0.38	0.38	0.38	0.38	0.38	0.38	0.38	0.38	0.38	0.63	0.63	0.63	0.63	
	0.0	0.12	0.25	0.37	0.5	0.62	0.75	0.88	1.0	0.0	0.13	0.25	0.37	0.5	0.62	0.75	0.88	1.0	0.0	0.13	0.25	0.37	0.5	0.62	0.75	0.88	1.0	1.0	0.87	0.75	0.62	0.5	0.38	0.25	0.13	0.0	0.63	0.63	0.63	0.63		
	0.63	0.63	0.63	0.63	0.63	0.63	0.62	0.62	0.62	0.63	0.63	0.63	0.63	0.63	0.63	0.63	0.62	0.62	0.63	0.63	0.63	0.63	0.63	0.63	0.62	0.62	0.62	1.0	1.0	0.88	0.75	0.63	0.5	0.38	0.25	0.13	0.0	0.63	0.63	0.63	0.63	
07	0.0	0.0	0.0	0.0	0.0	0.0	0.0	0.0	0.0	0.12	0.13	0.13	0.13	0.13	0.13	0.13	0.13	0.13	0.25	0.25	0.25	0.25	0.25	0.25	0.25	0.25	0.25	0.25	0.25	0.25	0.25	0.25	0.25	0.25	0.25	0.25	0.25	0.25	0.75	0.75	0.75	0.75
	0.0	0.12	0.25	0.37	0.5	0.62	0.75	0.88	1.0	0.0	0.13	0.25	0.37	0.5	0.62	0.75	0.88	1.0	0.0	0.13	0.25	0.37	0.5	0.62	0.75	0.88	1.0	1.0	0.87	0.75	0.62	0.5	0.37	0.25	0.13	0.0	0.75	0.75	0.75	0.75		
	0.75	0.75	0.75	0.75	0.75	0.75	0.75	0.75	0.75	0.75	0.75	0.75	0.75	0.75	0.75	0.75	0.75	0.75	0.75	0.75	0.75	0.75	0.75	0.75	0.75	0.75	0.75	1.0	1.0	0.88	0.75	0.63	0.5	0.38	0.25	0.13	0.0	0.75	0.75	0.75	0.75	
08	0.0	0.0	0.0	0.0	0.0	0.0	0.0	0.0	0.0	0.12	0.13	0.13	0.13	0.13	0.13	0.13	0.13	0.13	0.25	0.25	0.25	0.25	0.25	0.25	0.25	0.25	0.25	0.13	0.13	0.13	0.13	0.13	0.13	0.13	0.13	0.88	0.88	0.88	0.88			
	0.0	0.12	0.25	0.37	0.5	0.62	0.75	0.87	1.0	0.0	0.13	0.25	0.37	0.5	0.62	0.75	0.87	1.0	0.0	0.13	0.25	0.37	0.5	0.62	0.75	0.87	1.0	1.0	0.87	0.75	0.62	0.5	0.37	0.25	0.13	0.0	0.88	0.88	0.88	0.88		
	0.88	0.88	0.88	0.88	0.88	0.88	0.88	0.88	0.87	0.88	0.88	0.88	0.88	0.88	0.88	0.88	0.88	0.87	0.88	0.88	0.88	0.88	0.88	0.88	0.88	0.88	0.87	1.0	1.0	0.88	0.75	0.63	0.5	0.38	0.25	0.13	0.0	0.88	0.88	0.88	0.88	
09	0.0	0.0	0.0	0.0	0.0	0.0	0.0	0.0	0.0	0.12	0.13	0.13	0.13	0.13	0.13	0.13	0.13	0.13	0.25	0.25	0.25	0.25	0.25	0.25	0.25	0.25	0.25	0.0	0.0	0.0	0.0	0.0	0.0	0.0	0.0	0.0	0.0	1.0	1.0	1.0	1.0	
	0.0	0.12	0.25	0.37	0.5	0.62	0.75	0.87	1.0	0.0	0.13	0.25	0.37	0.5	0.62	0.75	0.87	1.0	0.0	0.13	0.25	0.37	0.5	0.62	0.75	0.87	1.0	1.0	0.87	0.75	0.62	0.5	0.37	0.25	0.12	0.0	1.0	1.0	1.0	1.0		
	1.0	1.0	1.0	1.0	1.0	1.0	1.0	1.0	1.0	1.0	1.0	1.0	1.0	1.0	1.0	1.0	1.0	1.0	1.0	1.0	1.0	1.0	1.0	1.0	1.0	1.0	1.0	1.0	1.0	0.88	0.75	0.63	0.5	0.38	0.25	0.13	0.0	1.0	1.0	1.0	1.0	
10	0.38	0.38	0.38	0.37	0.37	0.37	0.37	0.37	0.37	0.37	0.5	0.5	0.5	0.5	0.5	0.5	0.5	0.5	0.63	0.63	0.63	0.63	0.62	0.62	0.62	0.62	0.62	1.0	1.0	1.0	1.0	1.0	1.0	1.0	1.0	1.0	1.0	0.0	0.0	0.0	0.0	
	0.12	0.25	0.38	0.5	0.63	0.75	0.88	1.0	0.0	0.12	0.25	0.37	0.5	0.63	0.75	0.88	1.0	0.0	0.12	0.25	0.37	0.5	0.63	0.75	0.88	1.0	1.0	1.0	1.0	1.0	1.0	1.0	1.0	1.0	1.0	1.0	1.0	0.0	0.0	0.0	0.0	
	0.0	0.0	0.0	0.0	0.0	0.0	0.0	0.0	0.0	0.0	0.0	0.0	0.0	0.0	0.0	0.0	0.0	0.0	0.0	0.0	0.0	0.0	0.0	0.0	0.0	0.0	1.0	1.0	0.88	0.75	0.63	0.5	0.38	0.25	0.13	0.0	0.0	0.0	0.0	0.0		
11	0.38	0.38	0.37	0.37	0.37	0.37	0.37	0.37	0.37	0.37	0.5	0.5	0.5	0.5	0.5	0.5	0.5	0.5	0.63	0.63	0.63	0.63	0.62	0.62	0.62	0.62	0.62	0.88	0.88	0.88	0.88	0.88	0.88	0.88	0.88	0.88	0.88	0.07	0.07	0.07	0.07	
	0.13	0.25	0.38	0.5	0.63	0.75	0.88	1.0	0.0	0.13	0.25	0.37	0.5	0.63	0.75	0.88	1.0	0.0	0.13	0.25	0.37	0.5	0.63	0.75	0.88	1.0	1.0	0.88	0.88	0.88	0.88	0.88	0.88	0.88	0.88	0.88	0.88	0.07	0.07	0.07	0.07	
	0.12	0.13	0.13	0.13	0.13	0.13	0.13	0.13	0.13	0.12	0.13	0.13	0.13	0.13	0.13	0.13	0.13	0.13	0.12	0.13	0.13	0.13	0.13	0.13	0.13	0.13	0.13	1.0	1.0	0.88	0.75	0.63	0.5	0.38	0.25	0.13	0.0	0.07	0.07	0.07	0.07	
12	0.38	0.38	0.38	0.37	0.37	0.37	0.37	0.37	0.37	0.37	0.5	0.5	0.5	0.5	0.5	0.5	0.5	0.5	0.63	0.63	0.63	0.63	0.62	0.62	0.62	0.62	0.62	0.75	0.75	0.75												

Ein und Ausgabe:
Farbmetrisches Drucker-Reflektiv-System FRS09_92aM
Daten für jede Farbe:

u^*_e und Nummer $Nr.$ = 00 .. 15
Elementar-Bunttontext:
 $u^*_e = 16$ Bunttoene $r00j, r25j, ..., b75r$
Kontrastreduzierungsfaktor:
 $c_R = 0.9$

FRS09_92aM; adaptierte CIELAB-Daten

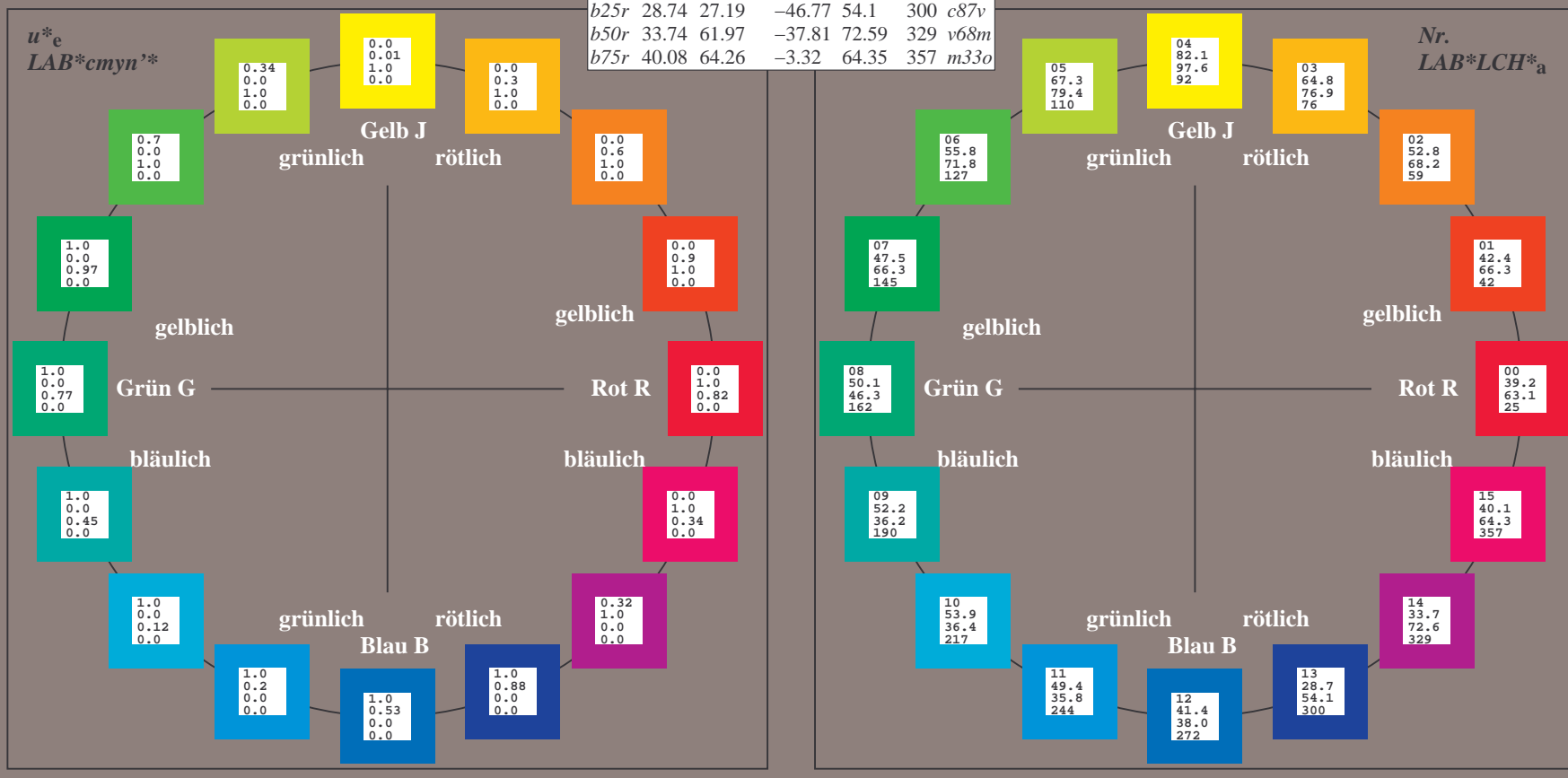
u^*_e	$L^*=L^*_a$	a^*_a	b^*_a	$C^*_{ab,a}$	$h^*_{ab,a}$	u^*_d
$r00j$	39.18	56.94	27.13	63.07	25	$m81o$
$r25j$	42.41	49.1	44.5	66.26	42	$o10y$
$r50j$	52.78	35.22	58.37	68.17	59	$o40y$
$r75j$	64.82	19.12	74.47	76.89	76	$o69y$
$j00g$	82.06	-3.94	97.52	97.6	92	$o98y$
$j25g$	67.26	-26.87	74.67	79.36	110	$y34l$
$j50g$	55.83	-43.45	57.11	71.76	127	$y69l$
$j75g$	47.5	-54.18	38.3	66.35	145	$l03c$
$g00b$	50.07	-44.09	14.13	46.3	162	$l23c$
$g25b$	52.21	-35.66	-6.03	36.17	190	$l55c$
$g50b$	53.9	-29.04	-21.87	36.36	217	$l87c$
$g75b$	49.44	-15.51	-32.31	35.84	244	$c20v$
$b00r$	41.36	1.15	-37.95	37.97	272	$c53v$
$b25r$	28.74	27.19	-46.77	54.1	300	$c87v$
$b50r$	33.74	61.97	-37.81	72.59	329	$v68m$
$b75r$	40.08	64.26	-3.32	64.35	357	$m33o$



%Umfang
 $u^*_{rel} = 88$
%Regularität
 $g^*_{H,rel} = 31$
 $g^*_{C,rel} = 40$

FRS09_92aM; CIELAB-Daten

Name	$L^*=L^*$	a^*	b^*	C^*_{ab}	h^*_{ab}
O_M	38.8	54.41	35.65	65.05	33
Y_M	82.58	-4.04	92.72	92.8	92
L_M	46.95	-55.83	39.15	68.19	145
C_M	54.62	-25.67	-33.25	42.01	232
V_M	20.01	45.64	-56.27	72.45	309
M_M	40.88	71.17	-34.09	78.92	334
N_M	15.0	0.43	-3.23	3.26	278
W_M	90.0	0.62	-5.76	5.79	276
R_{CIE}	39.92	58.74	27.99	65.07	25
J_{CIE}	81.26	-2.89	71.56	71.62	92
G_{CIE}	52.23	-42.42	13.6	44.55	162
B_{CIE}	30.57	1.41	-46.47	46.49	272



Ein und Ausgabe: Farbmetrisches Drucker-Reflektiv-System FRS09_92aM für relativen CIELAB-Buntton $h^* = lab^*h^* = h_{ab}/360 = 0.071$

Daten für jede Farbe:

lab^*tch^* und lab^*icu^*

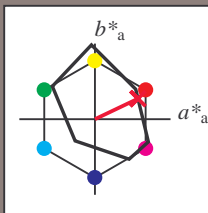
Bunttontexte:

$u^*_e = r00j$ $u^*_d = m81o$

Kontrastreduzierungsfaktor:

$c_R = 0.9$

Dreiecks-Helligkeit t^*



FRS09_92aM; CIELAB-Daten						
u^*_e	$L^*=L^*$	a^*	b^*	C^*_{ab}	h^*_{ab}	
O _M	38.8	54.41	35.65	65.05	33	
Y _M	82.58	-4.04	92.72	92.8	92	
L _M	46.95	-55.83	39.15	68.19	145	
C _M	54.62	-25.67	-33.25	42.01	232	
V _M	20.01	45.64	-56.27	72.45	309	
M _M	40.88	71.17	-34.09	78.92	334	
N _M	15.0	0.43	-3.23	3.26	278	
W _M	90.0	0.62	-5.76	5.79	276	
R _M	39.92	58.74	27.99	65.07	25	
J _M	81.26	-2.89	71.56	71.62	92	
G _M	52.23	-42.42	13.6	44.55	162	
B _M	30.57	1.41	-46.47	46.49	272	

Daten für Maximalfarbe (Ma):

$LAB^*LAB^*_{Ma}$: 39 57 27

$LAB^*LCH^*_{Ma}$: 39 63 25

$lab^*rgb^*_{Ma}$: 1.0 0.0 0.0

$lab^*olv^*_{Ma}$: 1.0 0.0 0.18

Dreiecks-Helligkeit t^*

%Umfang

$u^*_{rel} = 88$

%Regularität

$g^*_{H,rel} = 31$

$g^*_{C,rel} = 40$

FRS09_92aM; adaptierte CIELAB-Daten									
u^*_e	$L^*=L^*_a$	a^*_a	b^*_a	$C^*_{ab,a}$	$h^*_{ab,a}$	u^*_d			
r00j	39.18	56.94	27.13	63.07	25	m81o			
r25j	42.41	49.1	44.5	66.26	42	o10y			
r50j	52.78	35.22	58.37	68.17	59	o40y			
r75j	64.82	19.12	74.47	76.89	76	o69y			
j00g	82.06	-3.94	97.52	97.6	92	o98y			
j25g	67.26	-26.87	74.67	79.36	110	y34l			
j50g	55.83	-43.45	57.11	71.76	127	y69l			
j75g	47.5	-54.18	38.3	66.35	145	l03c			
g00b	50.07	-44.09	14.13	46.3	162	l23c			
g25b	52.21	-35.66	-6.03	36.17	190	l55c			
g50b	53.9	-29.04	-21.87	36.36	217	l87c			
g75b	49.44	-15.51	-32.31	35.84	244	c20v			
b00r	41.36	1.15	-37.95	37.97	272	c53v			
b25r	28.74	27.19	-46.77	54.1	300	c87v			
b50r	33.74	61.97	-37.81	72.59	329	v68m			
b75r	40.08	64.26	-3.32	64.35	357	m33o			

$LAB^*cmy^n^*$

$i^* = 1.00$

Brillantheit i^*

$i^* = 0.80$

$i^* = 0.60$

$i^* = 0.40$

$i^* = 0.20$

$i^* = 0.00$

relative Buntheit c^*

relative Buntheit c^*

Ein und Ausgabe: Farbmetrisches Drucker-Reflektiv-System FRS09_92aM für relativen CIELAB-Buntton $h^* = lab^*h^* = h_{ab}/360 = 0.117$

Daten für jede Farbe:

lab^*ch^* und lab^*icu^*

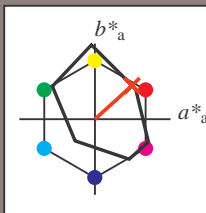
Bunttontexte:

$u^*_e = r25j$ $u^*_d = o10y$

Kontrastreduzierungsfaktor:

$c_R = 0.9$

Dreiecks-Helligkeit i^*



FRS09_92aM; CIELAB-Daten						
u^*_e	$L^*=L^*$	a^*	b^*	C^*_{ab}	h^*_{ab}	
O _M	38.8	54.41	35.65	65.05	33	
Y _M	82.58	-4.04	92.72	92.8	92	
L _M	46.95	-55.83	39.15	68.19	145	
C _M	54.62	-25.67	-33.25	42.01	232	
V _M	20.01	45.64	-56.27	72.45	309	
M _M	40.88	71.17	-34.09	78.92	334	
N _M	15.0	0.43	-3.23	3.26	278	
W _M	90.0	0.62	-5.76	5.79	276	
R _M	39.92	58.74	27.99	65.07	25	
J _M	81.26	-2.89	71.56	71.62	92	
G _M	52.23	-42.42	13.6	44.55	162	
B _M	30.57	1.41	-46.47	46.49	272	

Daten für Maximalfarbe (Ma):

$LAB^*LAB^*_{Ma}$: 42 49 44

$LAB^*LCH^*_{Ma}$: 42 66 42

$lab^*rgb^*_{Ma}$: 1.0 0.25 0.0

$lab^*olv^*_{Ma}$: 1.0 0.1 0.0

Dreiecks-Helligkeit i^*

%Umfang

$u^*_{rel} = 88$

%Regularität

$g^*_{H,rel} = 31$

$g^*_{C,rel} = 40$

FRS09_92aM; adaptierte CIELAB-Daten									
u^*_e	$L^*=L^*_a$	a^*_a	b^*_a	$C^*_{ab,a}$	$h^*_{ab,a}$	u^*_d			
r00j	39.18	56.94	27.13	63.07	25	m81o			
r25j	42.41	49.1	44.5	66.26	42	o10y			
r50j	52.78	35.22	58.37	68.17	59	o40y			
r75j	64.82	19.12	74.47	76.89	76	o69y			
j00g	82.06	-3.94	97.52	97.6	92	o98y			
j25g	67.26	-26.87	74.67	79.36	110	y34l			
j50g	55.83	-43.45	57.11	71.76	127	y69l			
j75g	47.5	-54.18	38.3	66.35	145	i03c			
g00b	50.07	-44.09	14.13	46.3	162	i23c			
g25b	52.21	-35.66	-6.03	36.17	190	i55c			
g50b	53.9	-29.04	-21.87	36.36	217	i87c			
g75b	49.44	-15.51	-32.31	35.84	242	c20v			
b00r	41.36	1.15	-37.95	37.97	272	c53v			
b25r	28.74	27.19	-46.77	54.1	300	c87v			
b50r	33.74	61.97	-37.81	72.59	329	v68m			
b75r	40.08	64.26	-3.32	64.35	357	m33o			

LAB^*cmyn^*

$i^*=1.00$

Brillantheit i^*

$i^*=0.80$

$i^*=0.60$

$i^*=0.40$

$i^*=0.20$

$i^*=0.00$

relative Buntheit c^*

relative Buntheit c^*

Ein und Ausgabe: Farbmetrisches Drucker-Reflektiv-System FRS09_92aM für relativen CIELAB-Buntton $h^* = lab^*h^* = h_{ab}/360 = 0.164$

Daten für jede Farbe:

lab^*ch^* und lab^*icu^*

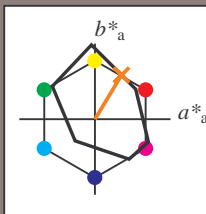
Bunttontexte:

$u^*_e = r50j$ $u^*_d = o40y$

Kontrastreduzierungsfaktor:

$c_R = 0.9$

Dreiecks-Helligkeit i^*



FRS09_92aM; CIELAB-Daten						
u^*_e	$L^*=L^*$	a^*	b^*	C^*_{ab}	h^*_{ab}	
O _M	38.8	54.41	35.65	65.05	33	
Y _M	82.58	-4.04	92.72	92.8	92	
L _M	46.95	-55.83	39.15	68.19	145	
C _M	54.62	-25.67	-33.25	42.01	232	
V _M	20.01	45.64	-56.27	72.45	309	
M _M	40.88	71.17	-34.09	78.92	334	
N _M	15.0	0.43	-3.23	3.26	278	
W _M	90.0	0.62	-5.76	5.79	276	
R _M	39.92	58.74	27.99	65.07	25	
J _M	81.26	-2.89	71.56	71.62	92	
G _M	52.23	-42.42	13.6	44.55	162	
B _M	30.57	1.41	-46.47	46.49	272	

Daten für Maximalfarbe (Ma):

$LAB^*LAB^*_{Ma}$: 53 35 58

$LAB^*LCH^*_{Ma}$: 53 68 58

$lab^*rgb^*_{Ma}$: 1.0 0.5 0.0

$lab^*olv^*_{Ma}$: 1.0 0.4 0.0

Dreiecks-Helligkeit i^*

%Umfang

$u^*_{rel} = 88$

%Regularität

$g^*_{H,rel} = 31$

$g^*_{C,rel} = 40$

FRS09_92aM; adaptierte CIELAB-Daten							
u^*_e	$L^*=L^*$	a^*_a	b^*_a	$C^*_{ab,a}$	$h^*_{ab,a}$	u^*_d	
r00j	39.18	56.94	27.13	63.07	25	m81o	
r25j	42.41	49.1	44.5	66.26	42	o10y	
r50j	52.78	35.22	58.37	68.17	59	o40y	
r75j	64.82	19.12	74.47	76.89	76	o69y	
j00g	82.06	-3.94	97.52	97.6	92	o98y	
j25g	67.26	-26.87	74.67	79.36	110	y34l	
j50g	55.83	-43.45	57.11	71.76	127	y69l	
j75g	47.5	-54.18	38.3	66.35	145	i03c	
g00b	50.07	-44.09	14.13	46.3	162	i23c	
g25b	52.21	-35.66	-6.03	36.17	190	i55c	
g50b	53.9	-29.04	-21.87	36.36	217	i87c	
g75b	49.44	-15.51	-32.31	35.84	244	c20v	
b00r	41.36	1.15	-37.95	37.97	272	c53v	
b25r	28.74	27.19	-46.77	54.1	300	c87v	
b50r	33.74	61.97	-37.81	72.59	329	v68m	
b75r	40.08	64.26	-3.32	64.35	357	m33o	

LAB^*cmyn^*

$i^*=1.00$

Brillantheit i^*

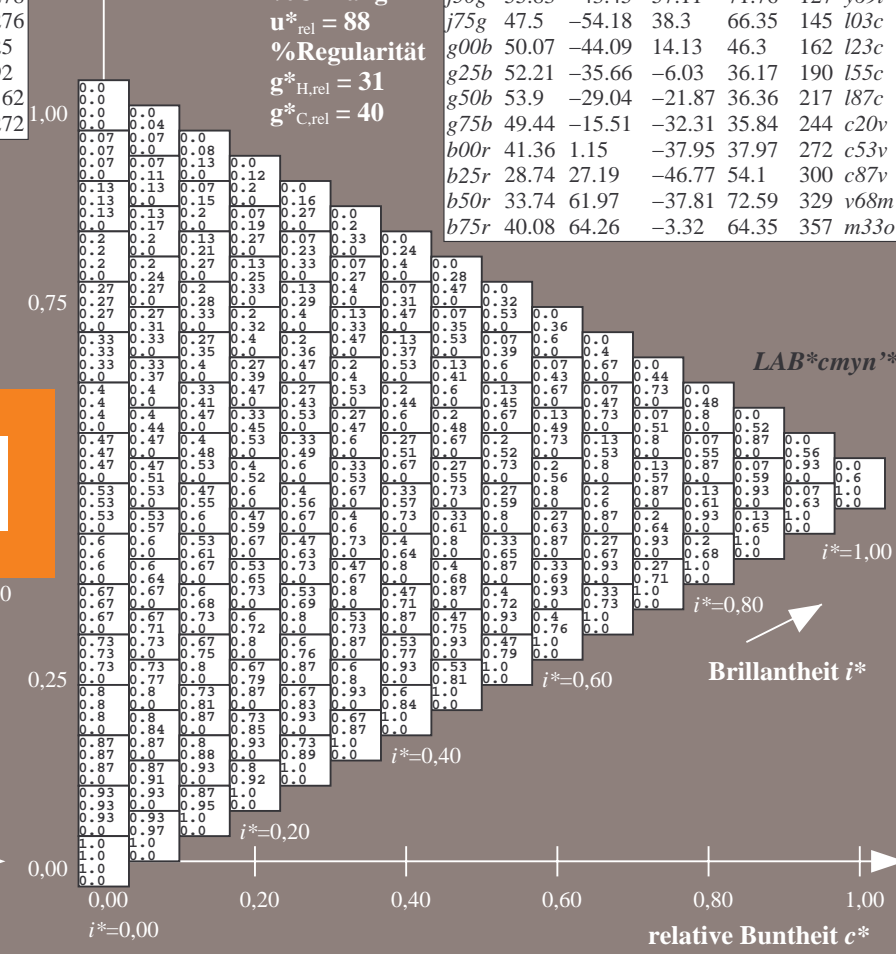
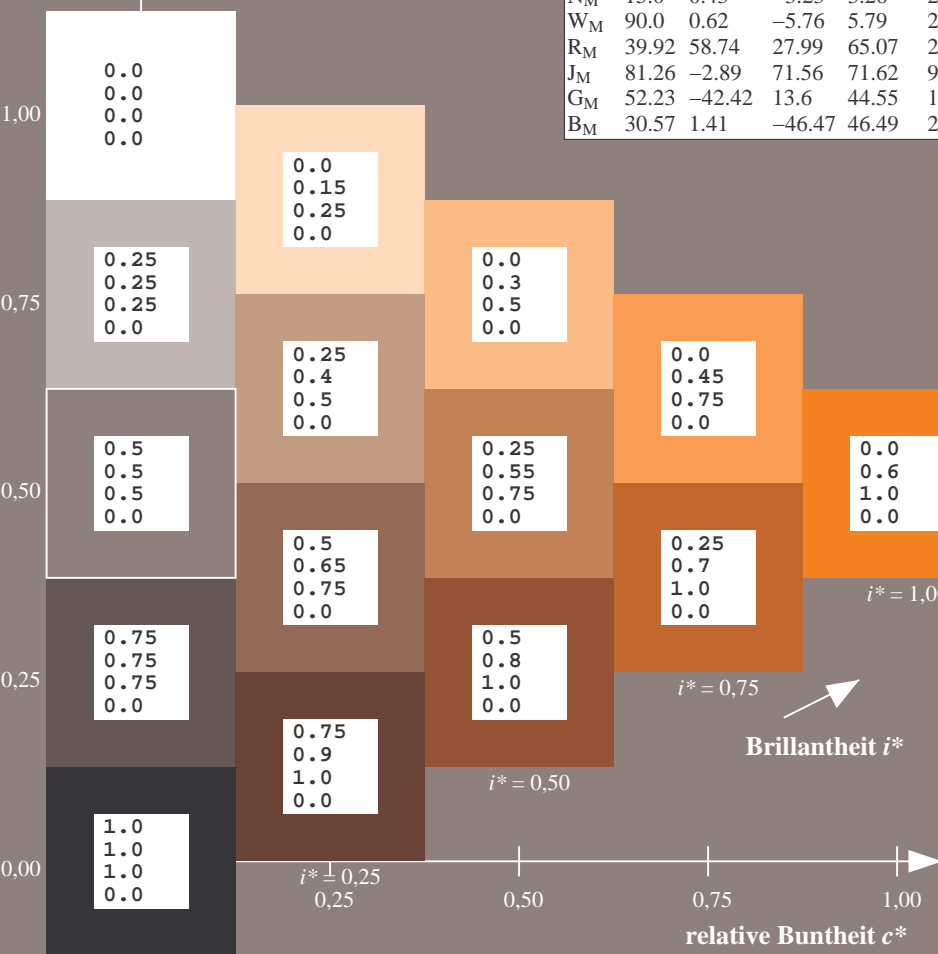
$i^*=0.80$

$i^*=0.60$

$i^*=0.40$

$i^*=0.20$

$i^*=0.00$



Ein und Ausgabe: Farbmetrisches Drucker-Reflektiv-System FRS09_92aM für relativen CIELAB-Buntton $h^* = lab^*h^* = h_{ab}/360 = 0.21$

Daten für jede Farbe:

lab^*ch^* und lab^*icu^*

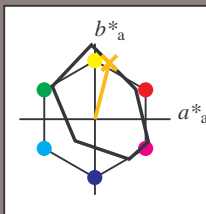
Bunttontexte:

$u^*_e = r75j$ $u^*_d = o69y$

Kontrastreduzierungsfaktor:

$c_R = 0.9$

Dreiecks-Helligkeit i^*



FRS09_92aM; CIELAB-Daten						
u^*_e	$L^*=L^*$	a^*	b^*	C^*_{ab}	h^*_{ab}	
O _M	38.8	54.41	35.65	65.05	33	
Y _M	82.58	-4.04	92.72	92.8	92	
L _M	46.95	-55.83	39.15	68.19	145	
C _M	54.62	-25.67	-33.25	42.01	232	
V _M	20.01	45.64	-56.27	72.45	309	
M _M	40.88	71.17	-34.09	78.92	334	
N _M	15.0	0.43	-3.23	3.26	278	
W _M	90.0	0.62	-5.76	5.79	276	
R _M	39.92	58.74	27.99	65.07	25	
J _M	81.26	-2.89	71.56	71.62	92	
G _M	52.23	-42.42	13.6	44.55	162	
B _M	30.57	1.41	-46.47	46.49	272	

Daten für Maximalfarbe (Ma):

$LAB^*LAB^*_{Ma}$: 65 19 74

$LAB^*LCH^*_{Ma}$: 65 77 75

$lab^*rgb^*_{Ma}$: 1.0 0.75 0.0

$lab^*olv^*_{Ma}$: 1.0 0.7 0.0

Dreiecks-Helligkeit i^*

%Umfang

$u^*_{rel} = 88$

%Regularität

$g^*_{H,rel} = 31$

$g^*_{C,rel} = 40$

FRS09_92aM; adaptierte CIELAB-Daten									
u^*_e	$L^*=L^*$	a^*_a	b^*_a	$C^*_{ab,a}$	$h^*_{ab,a}$	u^*_d			
r00j	39.18	56.94	27.13	63.07	25	m81o			
r25j	42.41	49.1	44.5	66.26	42	o10y			
r50j	52.78	35.22	58.37	68.17	59	o40y			
r75j	64.82	19.12	74.47	76.89	76	o69y			
j00g	82.06	-3.94	97.52	97.6	92	o98y			
j25g	67.26	-26.87	74.67	79.36	110	y34l			
j50g	55.83	-43.45	57.11	71.76	127	y69l			
j75g	47.5	-54.18	38.3	66.35	145	i03c			
g00b	50.07	-44.09	14.13	46.3	162	i23c			
g25b	52.21	-35.66	-6.03	36.17	190	i55c			
g50b	53.9	-29.04	-21.87	36.36	217	i87c			
g75b	49.44	-15.51	-32.31	35.84	244	c20v			
b00r	41.36	1.15	-37.95	37.97	272	c53v			
b25r	28.74	27.19	-46.77	54.1	300	c87v			
b50r	33.74	61.97	-37.81	72.59	329	v68m			
b75r	40.08	64.26	-3.32	64.35	357	m33o			

LAB^*cmyn^*

$i^*=1.00$

Brillantheit i^*

$i^*=0.80$

$i^*=0.60$

$i^*=0.40$

$i^*=0.20$

$i^*=0.00$

relative Bunttheit c^*

relative Bunttheit c^*

Ein und Ausgabe: Farbmetrisches Drucker-Reflektiv-System FRS09_92aM für relativen CIELAB-Buntton $h^* = lab^*h^* = h_{ab}/360 = 0.256$

Daten für jede Farbe:

lab^*ch^* und lab^*icu^*

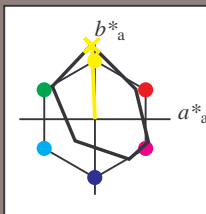
Bunttontexte:

$u^*_e = j00g$ $u^*_d = o98y$

Kontrastreduzierungsfaktor:

$c_R = 0.9$

Dreiecks-Helligkeit i^*



FRS09_92aM; CIELAB-Daten						
u^*_e	$L^*=L^*_a$	a^*	b^*	C^*_{ab}	h^*_{ab}	
O _M	38.8	54.41	35.65	65.05	33	
Y _M	82.58	-4.04	92.72	92.8	92	
L _M	46.95	-55.83	39.15	68.19	145	
C _M	54.62	-25.67	-33.25	42.01	232	
V _M	20.01	45.64	-56.27	72.45	309	
M _M	40.88	71.17	-34.09	78.92	334	
N _M	15.0	0.43	-3.23	3.26	278	
W _M	90.0	0.62	-5.76	5.79	276	
R _M	39.92	58.74	27.99	65.07	25	
J _M	81.26	-2.89	71.56	71.62	92	
G _M	52.23	-42.42	13.6	44.55	162	
B _M	30.57	1.41	-46.47	46.49	272	

Daten für Maximalfarbe (Ma):

$LAB^*LAB^*_{Ma}$: 82 -4 98

$LAB^*LCH^*_{Ma}$: 82 98 92

$lab^*rgb^*_{Ma}$: 1.0 1.0 0.0

$lab^*olv^*_{Ma}$: 1.0 0.99 0.0

Dreiecks-Helligkeit i^*

%Umfang

$u^*_{rel} = 88$

%Regularität

$g^*_{H,rel} = 31$

$g^*_{C,rel} = 40$

FRS09_92aM; adaptierte CIELAB-Daten									
u^*_e	$L^*=L^*_a$	a^*_a	b^*_a	$C^*_{ab,a}$	$h^*_{ab,a}$	u^*_d			
r00j	39.18	56.94	27.13	63.07	25	m81o			
r25j	42.41	49.1	44.5	66.26	42	o10y			
r50j	52.78	35.22	58.37	68.17	59	o40y			
r75j	64.82	19.12	74.47	76.89	76	o69y			
j00g	82.06	-3.94	97.52	97.6	92	o98y			
j25g	67.26	-26.87	74.67	79.36	110	y34l			
j50g	55.83	-43.45	57.11	71.76	127	y69l			
j75g	47.5	-54.18	38.3	66.35	145	l03c			
g00b	50.07	-44.09	14.13	46.3	162	l23c			
g25b	52.21	-35.66	-6.03	36.17	190	l55c			
g50b	53.9	-29.04	-21.87	36.36	217	l87c			
g75b	49.44	-15.51	-32.31	35.84	244	c20v			
b00r	41.36	1.15	-37.95	37.97	272	c53v			
b25r	28.74	27.19	-46.77	54.1	300	c87v			
b50r	33.74	61.97	-37.81	72.59	329	v68m			
b75r	40.08	64.26	-3.32	64.35	357	m33o			

LAB^*cmyn^*

$i^*=1.00$

Brillantheit i^*

$i^*=0.80$

$i^*=0.60$

$i^*=0.40$

$i^*=0.20$

$i^*=0.00$

relative Buntheit c^*

relative Buntheit c^*

Ein und Ausgabe: Farbmetrisches Drucker-Reflektiv-System FRS09_92aM für relativen CIELAB-Buntton $h^* = lab^*h^* = h_{ab}/360 = 0.305$

Daten für jede Farbe:

lab^*ch^* und lab^*icu^*

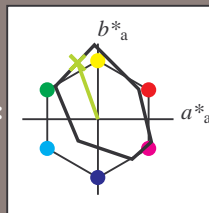
Bunttontexte:

$u^*_e = j25g$ $u^*_d = y34l$

Kontrastreduzierungsfaktor:

$c_R = 0.9$

Dreiecks-Helligkeit i^*



FRS09_92aM; CIELAB-Daten						
u^*_e	$L^*=L^*$	a^*	b^*	C^*_{ab}	h^*_{ab}	
O _M	38.8	54.41	35.65	65.05	33	
Y _M	82.58	-4.04	92.72	92.8	92	
L _M	46.95	-55.83	39.15	68.19	145	
C _M	54.62	-25.67	-33.25	42.01	232	
V _M	20.01	45.64	-56.27	72.45	309	
M _M	40.88	71.17	-34.09	78.92	334	
N _M	15.0	0.43	-3.23	3.26	278	
W _M	90.0	0.62	-5.76	5.79	276	
R _M	39.92	58.74	27.99	65.07	25	
J _M	81.26	-2.89	71.56	71.62	92	
G _M	52.23	-42.42	13.6	44.55	162	
B _M	30.57	1.41	-46.47	46.49	272	

Daten für Maximalfarbe (Ma):

$LAB^*LAB^*_{Ma}$: 67 -27 75

$LAB^*LCH^*_{Ma}$: 67 79 109

$lab^*rgb^*_{Ma}$: 0.75 1.0 0.0

$lab^*olv^*_{Ma}$: 0.66 1.0 0.0

Dreiecks-Helligkeit i^*

%Umfang

$u^*_{rel} = 88$

%Regularität

$g^*_{H,rel} = 31$

$g^*_{C,rel} = 40$

FRS09_92aM; adaptierte CIELAB-Daten							
u^*_e	$L^*=L^*_a$	a^*_a	b^*_a	$C^*_{ab,a}$	$h^*_{ab,a}$	u^*_d	
r00j	39.18	56.94	27.13	63.07	25	m81o	
r25j	42.41	49.1	44.5	66.26	42	o10y	
r50j	52.78	35.22	58.37	68.17	59	o40y	
r75j	64.82	19.12	74.47	76.89	76	o69y	
j00g	82.06	-3.94	97.52	97.6	92	o98y	
j25g	67.26	-26.87	74.67	79.36	110	y34l	
j50g	55.83	-43.45	57.11	71.76	127	y69l	
j75g	47.5	-54.18	38.3	66.35	145	i03c	
g00b	50.07	-44.09	14.13	46.3	162	i23c	
g25b	52.21	-35.66	-6.03	36.17	190	i55c	
g50b	53.9	-29.04	-21.87	36.36	217	i87c	
g75b	49.44	-15.51	-32.31	35.84	244	c20v	
b00r	41.36	1.15	-37.95	37.97	272	c53v	
b25r	28.74	27.19	-46.77	54.1	300	c87v	
b50r	33.74	61.97	-37.81	72.59	329	v68m	
b75r	40.08	64.26	-3.32	64.35	357	m33o	

LAB^*cmyn^*

$i^*=1.00$

Brillantheit i^*

$i^*=0.80$

$i^*=0.60$

$i^*=0.40$

$i^*=0.20$

$i^*=0.00$

Ein und Ausgabe: Farbmetrisches Drucker-Reflektiv-System FRS09_92aM für relativen CIELAB-Buntton $h^* = lab^*h^* = h_{ab}/360 = 0.354$

Daten für jede Farbe:

lab^*ch^* und lab^*icu^*

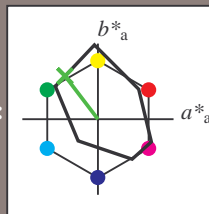
Bunttontexte:

$u^*_e = j50g$ $u^*_d = y69l$

Kontrastreduzierungsfaktor:

$c_R = 0.9$

Dreiecks-Helligkeit i^*



FRS09_92aM; CIELAB-Daten						
u^*_e	$L^*=L^*$	a^*	b^*	C^*_{ab}	h^*_{ab}	
O _M	38.8	54.41	35.65	65.05	33	
Y _M	82.58	-4.04	92.72	92.8	92	
L _M	46.95	-55.83	39.15	68.19	145	
C _M	54.62	-25.67	-33.25	42.01	232	
V _M	20.01	45.64	-56.27	72.45	309	
M _M	40.88	71.17	-34.09	78.92	334	
N _M	15.0	0.43	-3.23	3.26	278	
W _M	90.0	0.62	-5.76	5.79	276	
R _M	39.92	58.74	27.99	65.07	25	
J _M	81.26	-2.89	71.56	71.62	92	
G _M	52.23	-42.42	13.6	44.55	162	
B _M	30.57	1.41	-46.47	46.49	272	

Daten für Maximalfarbe (Ma):

$LAB^*LAB^*_{Ma}$: 56 -43 57

$LAB^*LCH^*_{Ma}$: 56 72 127

$lab^*rgb^*_{Ma}$: 0.5 1.0 0.0

$lab^*olv^*_{Ma}$: 0.3 1.0 0.0

Dreiecks-Helligkeit i^*

%Umfang

$u^*_{rel} = 88$

%Regularität

$g^*_{H,rel} = 31$

$g^*_{C,rel} = 40$

FRS09_92aM; adaptierte CIELAB-Daten									
u^*_e	$L^*=L^*$	a^*_a	b^*_a	$C^*_{ab,a}$	$h^*_{ab,a}$	u^*_d			
r00j	39.18	56.94	27.13	63.07	25	m81o			
r25j	42.41	49.1	44.5	66.26	42	o10y			
r50j	52.78	35.22	58.37	68.17	59	o40y			
r75j	64.82	19.12	74.47	76.89	76	o69y			
j00g	82.06	-3.94	97.52	97.6	92	o98y			
j25g	67.26	-26.87	74.67	79.36	110	y34l			
j50g	55.83	-43.45	57.11	71.76	127	y69l			
j75g	47.5	-54.18	38.3	66.35	145	i03c			
g00b	50.07	-44.09	14.13	46.3	162	i23c			
g25b	52.21	-35.66	-6.03	36.17	190	i55c			
g50b	53.9	-29.04	-21.87	36.36	217	i87c			
g75b	49.44	-15.51	-32.31	35.84	244	c20v			
b00r	41.36	1.15	-37.95	37.97	272	c53v			
b25r	28.74	27.19	-46.77	54.1	300	c87v			
b50r	33.74	61.97	-37.81	72.59	329	v68m			
b75r	40.08	64.26	-3.32	64.35	357	m33o			

LAB^*cmyn^*

$i^*=1.00$

Brillantheit i^*

$i^*=0.80$

$i^*=0.60$

$i^*=0.40$

$i^*=0.20$

$i^*=0.00$

relative Buntheit c^*

relative Buntheit c^*

Ein und Ausgabe: Farbmetrisches Drucker-Reflektiv-System FRS09_92aM für relativen CIELAB-Buntton $h^* = lab^*h^* = h_{ab}/360 = 0.402$

Daten für jede Farbe:

lab^*ch^* und lab^*icu^*

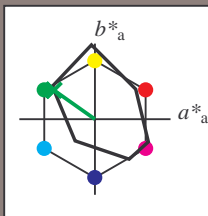
Bunttontexte:

$u^*_e = j75g$ $u^*_d = i03c$

Kontrastreduzierungsfaktor:

$c_R = 0.9$

Dreiecks-Helligkeit i^*



FRS09_92aM; CIELAB-Daten						
u^*_e	$L^*=L^*_a$	a^*	b^*	C^*_{ab}	h^*_{ab}	
O _M	38.8	54.41	35.65	65.05	33	
Y _M	82.58	-4.04	92.72	92.8	92	
L _M	46.95	-55.83	39.15	68.19	145	
C _M	54.62	-25.67	-33.25	42.01	232	
V _M	20.01	45.64	-56.27	72.45	309	
M _M	40.88	71.17	-34.09	78.92	334	
N _M	15.0	0.43	-3.23	3.26	278	
W _M	90.0	0.62	-5.76	5.79	276	
R _M	39.92	58.74	27.99	65.07	25	
J _M	81.26	-2.89	71.56	71.62	92	
G _M	52.23	-42.42	13.6	44.55	162	
B _M	30.57	1.41	-46.47	46.49	272	

Daten für Maximalfarbe (Ma):

$LAB^*LAB^*_{Ma}$: 48 -54 38

$LAB^*LCH^*_{Ma}$: 48 66 144

$lab^*rgb^*_{Ma}$: 0.25 1.0 0.0

$lab^*olv^*_{Ma}$: 0.0 1.0 0.03

Dreiecks-Helligkeit i^*

%Umfang

$u^*_{rel} = 88$

%Regularität

$g^*_{H,rel} = 31$

$g^*_{C,rel} = 40$

FRS09_92aM; adaptierte CIELAB-Daten									
u^*_e	$L^*=L^*_a$	a^*_a	b^*_a	$C^*_{ab,a}$	$h^*_{ab,a}$	u^*_d			
r00j	39.18	56.94	27.13	63.07	25	m81o			
r25j	42.41	49.1	44.5	66.26	42	o10y			
r50j	52.78	35.22	58.37	68.17	59	o40y			
r75j	64.82	19.12	74.47	76.89	76	o69y			
j00g	82.06	-3.94	97.52	97.6	92	o98y			
j25g	67.26	-26.87	74.67	79.36	110	y34l			
j50g	55.83	-43.45	57.11	71.76	127	y69l			
j75g	47.5	-54.18	38.3	66.35	145	i03c			
g00b	50.07	-44.09	14.13	46.3	162	i23c			
g25b	52.21	-35.66	-6.03	36.17	190	i55c			
g50b	53.9	-29.04	-21.87	36.36	217	i87c			
g75b	49.44	-15.51	-32.31	35.84	244	c20v			
b00r	41.36	1.15	-37.95	37.97	272	c53v			
b25r	28.74	27.19	-46.77	54.1	300	c87v			
b50r	33.74	61.97	-37.81	72.59	329	v68m			
b75r	40.08	64.26	-3.32	64.35	357	m33o			

LAB^*cmyn^*

$i^* = 1.00$

Brillantheit i^*

$i^* = 0.80$

$i^* = 0.60$

$i^* = 0.40$

$i^* = 0.20$

$i^* = 0.00$

relative Buntheit c^*

Ein und Ausgabe: Farbmetrisches Drucker-Reflektiv-System FRS09_92aM für relativen CIELAB-Buntton $h^* = lab^*h^* = h_{ab}/360 = 0.451$

Daten für jede Farbe:

lab^*tch^* und lab^*icu^*

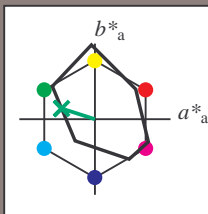
Bunttontexte:

$u^*_e = g00b$ $u^*_d = l23c$

Kontrastreduzierungsfaktor:

$c_R = 0.9$

Dreiecks-Helligkeit i^*



FRS09_92aM; CIELAB-Daten						
u^*_e	$L^*=L^*$	a^*	b^*	C^*_{ab}	h^*_{ab}	
O _M	38.8	54.41	35.65	65.05	33	
Y _M	82.58	-4.04	92.72	92.8	92	
L _M	46.95	-55.83	39.15	68.19	145	
C _M	54.62	-25.67	-33.25	42.01	232	
V _M	20.01	45.64	-56.27	72.45	309	
M _M	40.88	71.17	-34.09	78.92	334	
N _M	15.0	0.43	-3.23	3.26	278	
W _M	90.0	0.62	-5.76	5.79	276	
R _M	39.92	58.74	27.99	65.07	25	
J _M	81.26	-2.89	71.56	71.62	92	
G _M	52.23	-42.42	13.6	44.55	162	
B _M	30.57	1.41	-46.47	46.49	272	

Daten für Maximalfarbe (Ma):

$LAB^*LAB^*_{Ma}$: 50 -44 14

$LAB^*LCH^*_{Ma}$: 50 46 162

$lab^*rgb^*_{Ma}$: 0.0 1.0 0.0

$lab^*olv^*_{Ma}$: 0.0 1.0 0.23

Dreiecks-Helligkeit i^*

%Umfang

$u^*_{rel} = 88$

%Regularität

$g^*_{H,rel} = 31$

$g^*_{C,rel} = 40$

FRS09_92aM; adaptierte CIELAB-Daten									
u^*_e	$L^*=L^*_a$	a^*_a	b^*_a	$C^*_{ab,a}$	$h^*_{ab,a}$	u^*_d			
r00j	39.18	56.94	27.13	63.07	25	m81o			
r25j	42.41	49.1	44.5	66.26	42	o10y			
r50j	52.78	35.22	58.37	68.17	59	o40y			
r75j	64.82	19.12	74.47	76.89	76	o69y			
j00g	82.06	-3.94	97.52	97.6	92	o98y			
j25g	67.26	-26.87	74.67	79.36	110	y34l			
j50g	55.83	-43.45	57.11	71.76	127	y69l			
j75g	47.5	-54.18	38.3	66.35	145	l03c			
g00b	50.07	-44.09	14.13	46.3	162	l23c			
g25b	52.21	-35.66	-6.03	36.17	190	l55c			
g50b	53.9	-29.04	-21.87	36.36	217	l87c			
g75b	49.44	-15.51	-32.31	35.84	244	c20v			
b00r	41.36	1.15	-37.95	37.97	272	c53v			
b25r	28.74	27.19	-46.77	54.1	300	c87v			
b50r	33.74	61.97	-37.81	72.59	329	v68m			
b75r	40.08	64.26	-3.32	64.35	357	m33o			

$LAB^*cmy^n^*$

$i^* = 1.00$

Brillantheit i^*

$i^* = 0.80$

$i^* = 0.60$

$i^* = 0.40$

$i^* = 0.20$

$i^* = 0.00$

relative Buntheit c^*

relative Buntheit c^*

Ein und Ausgabe: Farbmetrisches Drucker-Reflektiv-System FRS09_92aM für relativen CIELAB-Buntton $h^* = lab^*h^* = h_{ab}/360 = 0.527$

Daten für jede Farbe:

lab^*ch^* und lab^*icu^*

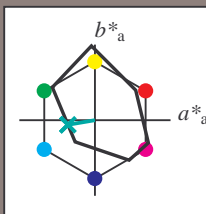
Bunttontexte:

$u^*_e = g25b$ $u^*_d = l55c$

Kontrastreduzierungsfaktor:

$c_R = 0.9$

Dreiecks-Helligkeit i^*



FRS09_92aM; CIELAB-Daten

u^*_e	$L^*=L^*$	a^*	b^*	C^*_{ab}	h^*_{ab}
O _M	38.8	54.41	35.65	65.05	33
Y _M	82.58	-4.04	92.72	92.8	92
L _M	46.95	-55.83	39.15	68.19	145
C _M	54.62	-25.67	-33.25	42.01	232
V _M	20.01	45.64	-56.27	72.45	309
M _M	40.88	71.17	-34.09	78.92	334
N _M	15.0	0.43	-3.23	3.26	278
W _M	90.0	0.62	-5.76	5.79	276
R _M	39.92	58.74	27.99	65.07	25
J _M	81.26	-2.89	71.56	71.62	92
G _M	52.23	-42.42	13.6	44.55	162
B _M	30.57	1.41	-46.47	46.49	272

Daten für Maximalfarbe (Ma):

$LAB^*LAB^*_{Ma}$: 52 -36 -6

$LAB^*LCH^*_{Ma}$: 52 36 189

$lab^*rgb^*_{Ma}$: 0.0 1.0 0.5

$lab^*olv^*_{Ma}$: 0.0 1.0 0.55

Dreiecks-Helligkeit i^*

%Umfang

$u^*_{rel} = 88$

%Regularität

$g^*_{H,rel} = 31$

$g^*_{C,rel} = 40$

$u^*_e = g25b$
 LAB^*cmyn^*

FRS09_92aM; adaptierte CIELAB-Daten

u^*_e	$L^*=L^*$	a^*_a	b^*_a	$C^*_{ab,a}$	$h^*_{ab,a}$	u^*_d
r00j	39.18	56.94	27.13	63.07	25	m81o
r25j	42.41	49.1	44.5	66.26	42	o10y
r50j	52.78	35.22	58.37	68.17	59	o40y
r75j	64.82	19.12	74.47	76.89	76	o69y
j00g	82.06	-3.94	97.52	97.6	92	o98y
j25g	67.26	-26.87	74.67	79.36	110	y34l
j50g	55.83	-43.45	57.11	71.76	127	y69l
j75g	47.5	-54.18	38.3	66.35	145	l03c
g00b	50.07	-44.09	14.13	46.3	162	l23c
g25b	52.21	-35.66	-6.03	36.17	190	l55c
g50b	53.9	-29.04	-21.87	36.36	217	l87c
g75b	49.44	-15.51	-32.31	35.84	244	c20v
b00r	41.36	1.15	-37.95	37.97	272	c53v
b25r	28.74	27.19	-46.77	54.1	300	c87v
b50r	33.74	61.97	-37.81	72.59	329	v68m
b75r	40.08	64.26	-3.32	64.35	357	m33o

LAB^*cmyn^*

$i^*=1.00$

Brillantheit i^*

$i^*=0.80$

$i^*=0.60$

$i^*=0.40$

$i^*=0.20$

$i^*=0.00$

relative Buntheit c^*

relative Buntheit c^*

Ein und Ausgabe: Farbmetrisches Drucker-Reflektiv-System FRS09_92aM für relativen CIELAB-Buntton $h^* = lab^*h^* = h_{ab}/360 = 0.603$

Daten für jede Farbe:

lab^*ch^* und lab^*icu^*

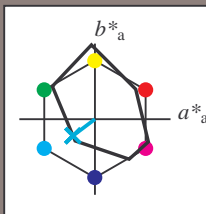
Bunttontexte:

$u^*_e = g50b$ $u^*_d = l87c$

Kontrastreduzierungsfaktor:

$c_R = 0.9$

Dreiecks-Helligkeit i^*



FRS09_92aM; CIELAB-Daten						
u^*_e	$L^*=L^*$	a^*	b^*	C^*_{ab}	h^*_{ab}	
O _M	38.8	54.41	35.65	65.05	33	
Y _M	82.58	-4.04	92.72	92.8	92	
L _M	46.95	-55.83	39.15	68.19	145	
C _M	54.62	-25.67	-33.25	42.01	232	
V _M	20.01	45.64	-56.27	72.45	309	
M _M	40.88	71.17	-34.09	78.92	334	
N _M	15.0	0.43	-3.23	3.26	278	
W _M	90.0	0.62	-5.76	5.79	276	
R _M	39.92	58.74	27.99	65.07	25	
J _M	81.26	-2.89	71.56	71.62	92	
G _M	52.23	-42.42	13.6	44.55	162	
B _M	30.57	1.41	-46.47	46.49	272	

Daten für Maximalfarbe (Ma):

$LAB^*LAB^*_{Ma}$: 54 -29 -22

$LAB^*LCH^*_{Ma}$: 54 36 216

$lab^*rgb^*_{Ma}$: 0.0 1.0 1.0

$lab^*olv^*_{Ma}$: 0.0 1.0 0.88

Dreiecks-Helligkeit i^*

%Umfang

$u^*_{rel} = 88$

%Regularität

$g^*_{H,rel} = 31$

$g^*_{C,rel} = 40$

FRS09_92aM; adaptierte CIELAB-Daten									
u^*_e	$L^*=L^*_a$	a^*_a	b^*_a	$C^*_{ab,a}$	$h^*_{ab,a}$	u^*_d			
r00j	39.18	56.94	27.13	63.07	25	m81o			
r25j	42.41	49.1	44.5	66.26	42	o10y			
r50j	52.78	35.22	58.37	68.17	59	o40y			
r75j	64.82	19.12	74.47	76.89	76	o69y			
j00g	82.06	-3.94	97.52	97.6	92	o98y			
j25g	67.26	-26.87	74.67	79.36	110	y34l			
j50g	55.83	-43.45	57.11	71.76	127	y69l			
j75g	47.5	-54.18	38.3	66.35	145	l03c			
g00b	50.07	-44.09	14.13	46.3	162	l23c			
g25b	52.21	-35.66	-6.03	36.17	190	l55c			
g50b	53.9	-29.04	-21.87	36.36	217	l87c			
g75b	49.44	-15.51	-32.31	35.84	244	c20v			
b00r	41.36	1.15	-37.95	37.97	272	c53v			
b25r	28.74	27.19	-46.77	54.1	300	c87v			
b50r	33.74	61.97	-37.81	72.59	329	v68m			
b75r	40.08	64.26	-3.32	64.35	357	m33o			

LAB^*cmyn^*

$i^*=1.00$

Brillantheit i^*

$i^*=0.80$

$i^*=0.60$

$i^*=0.40$

$i^*=0.20$

$i^*=0.00$

relative Buntheit c^*

Ein und Ausgabe: Farbmetrisches Drucker-Reflektiv-System FRS09_92aM für relativen CIELAB-Buntton $h^* = lab^*h^* = h_{ab}/360 = 0.679$

Daten für jede Farbe:

lab^*ch^* und lab^*icu^*

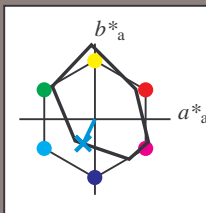
Bunttontexte:

$u^*_e = g75b$ $u^*_d = c20v$

Kontrastreduzierungsfaktor:

$c_R = 0.9$

Dreiecks-Helligkeit i^*



FRS09_92aM; CIELAB-Daten						
u^*_e	$L^*=L^*$	a^*	b^*	C^*_{ab}	h^*_{ab}	
O _M	38.8	54.41	35.65	65.05	33	
Y _M	82.58	-4.04	92.72	92.8	92	
L _M	46.95	-55.83	39.15	68.19	145	
C _M	54.62	-25.67	-33.25	42.01	232	
V _M	20.01	45.64	-56.27	72.45	309	
M _M	40.88	71.17	-34.09	78.92	334	
N _M	15.0	0.43	-3.23	3.26	278	
W _M	90.0	0.62	-5.76	5.79	276	
R _M	39.92	58.74	27.99	65.07	25	
J _M	81.26	-2.89	71.56	71.62	92	
G _M	52.23	-42.42	13.6	44.55	162	
B _M	30.57	1.41	-46.47	46.49	272	

Daten für Maximalfarbe (Ma):

$LAB^*LAB^*_{Ma}$: 49 -16 -32

$LAB^*LCH^*_{Ma}$: 49 36 244

$lab^*rgb^*_{Ma}$: 0.0 0.5 1.0

$lab^*olv^*_{Ma}$: 0.0 0.8 1.0

Dreiecks-Helligkeit i^*

%Umfang

$u^*_{rel} = 88$

%Regularität

$g^*_{H,rel} = 31$

$g^*_{C,rel} = 40$

FRS09_92aM; adaptierte CIELAB-Daten									
u^*_e	$L^*=L^*_a$	a^*_a	b^*_a	$C^*_{ab,a}$	$h^*_{ab,a}$	u^*_d			
r00j	39.18	56.94	27.13	63.07	25	m81o			
r25j	42.41	49.1	44.5	66.26	42	o10y			
r50j	52.78	35.22	58.37	68.17	59	o40y			
r75j	64.82	19.12	74.47	76.89	76	o69y			
j00g	82.06	-3.94	97.52	97.6	92	o98y			
j25g	67.26	-26.87	74.67	79.36	110	y34l			
j50g	55.83	-43.45	57.11	71.76	127	y69l			
j75g	47.5	-54.18	38.3	66.35	145	i03c			
g00b	50.07	-44.09	14.13	46.3	162	i23c			
g25b	52.21	-35.66	-6.03	36.17	190	i55c			
g50b	53.9	-29.04	-21.87	36.36	217	i87c			
g75b	49.44	-15.51	-32.31	35.84	244	c20v			
b00r	41.36	1.15	-37.95	37.97	272	c53v			
b25r	28.74	27.19	-46.77	54.1	300	c87v			
b50r	33.74	61.97	-37.81	72.59	329	v68m			
b75r	40.08	64.26	-3.32	64.35	357	m33o			

LAB^*cmyn^*

$i^*=1.00$

Brillantheit i^*

$i^*=0.80$

$i^*=0.60$

$i^*=0.40$

$i^*=0.20$

$i^*=0.00$

relative Buntheit c^*

relative Buntheit c^*

Ein und Ausgabe: Farbmetrisches Drucker-Reflektiv-System FRS09_92aM für relativen CIELAB-Buntton $h^* = lab^*h^* = h_{ab}/360 = 0.755$

Daten für jede Farbe:

lab^*ch^* und lab^*icu^*

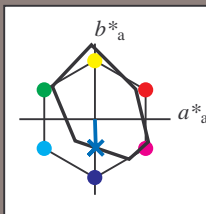
Bunttontexte:

$u^*_e = b00r$ $u^*_d = c53v$

Kontrastreduzierungsfaktor:

$c_R = 0.9$

Dreiecks-Helligkeit i^*



FRS09_92aM; CIELAB-Daten						
u^*_e	$L^*=L^*$	a^*	b^*	C^*_{ab}	h^*_{ab}	
O _M	38.8	54.41	35.65	65.05	33	
Y _M	82.58	-4.04	92.72	92.8	92	
L _M	46.95	-55.83	39.15	68.19	145	
C _M	54.62	-25.67	-33.25	42.01	232	
V _M	20.01	45.64	-56.27	72.45	309	
M _M	40.88	71.17	-34.09	78.92	334	
N _M	15.0	0.43	-3.23	3.26	278	
W _M	90.0	0.62	-5.76	5.79	276	
R _M	39.92	58.74	27.99	65.07	25	
J _M	81.26	-2.89	71.56	71.62	92	
G _M	52.23	-42.42	13.6	44.55	162	
B _M	30.57	1.41	-46.47	46.49	272	

Daten für Maximalfarbe (Ma):

$LAB^*LAB^*_{Ma}$: 41 1 -38

$LAB^*LCH^*_{Ma}$: 41 38 271

$lab^*rgb^*_{Ma}$: 0.0 0.0 1.0

$lab^*olv^*_{Ma}$: 0.0 0.47 1.0

Dreiecks-Helligkeit i^*

%Umfang

$u^*_{rel} = 88$

%Regularität

$g^*_{H,rel} = 31$

$g^*_{C,rel} = 40$

FRS09_92aM; adaptierte CIELAB-Daten									
u^*_e	$L^*=L^*_a$	a^*_a	b^*_a	$C^*_{ab,a}$	$h^*_{ab,a}$	u^*_d			
r00j	39.18	56.94	27.13	63.07	25	m81o			
r25j	42.41	49.1	44.5	66.26	42	o10y			
r50j	52.78	35.22	58.37	68.17	59	o40y			
r75j	64.82	19.12	74.47	76.89	76	o69y			
j00g	82.06	-3.94	97.52	97.6	92	o98y			
j25g	67.26	-26.87	74.67	79.36	110	y34l			
j50g	55.83	-43.45	57.11	71.76	127	y69l			
j75g	47.5	-54.18	38.3	66.35	145	i03c			
g00b	50.07	-44.09	14.13	46.3	162	i23c			
g25b	52.21	-35.66	-6.03	36.17	190	i55c			
g50b	53.9	-29.04	-21.87	36.36	217	i87c			
g75b	49.44	-15.51	-32.31	35.84	244	c20v			
b00r	41.36	1.15	-37.95	37.97	272	c53v			
b25r	28.74	27.19	-46.77	54.1	300	c87v			
b50r	33.74	61.97	-37.81	72.59	329	v68m			
b75r	40.08	64.26	-3.32	64.35	357	m33o			

LAB^*cmyn^*

$i^*=1.00$

Brillantheit i^*

$i^*=0.80$

$i^*=0.60$

$i^*=0.40$

$i^*=0.20$

$i^*=0.00$

relative Buntheit c^*

relative Buntheit c^*

Ein und Ausgabe: Farbmetrisches Drucker-Reflektiv-System FRS09_92aM für relativen CIELAB-Buntton $h^* = lab^*h^* = h_{ab}/360 = 0.834$

Daten für jede Farbe:

lab^*tch^* und lab^*icu^*

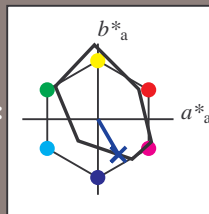
Bunttontexte:

$u^*_e = b25r$ $u^*_d = c87v$

Kontrastreduzierungsfaktor:

$c_R = 0.9$

Dreiecks-Helligkeit i^*



FRS09_92aM; CIELAB-Daten						
u^*_e	$L^*=L^*$	a^*	b^*	C^*_{ab}	h^*_{ab}	
O _M	38.8	54.41	35.65	65.05	33	
Y _M	82.58	-4.04	92.72	92.8	92	
L _M	46.95	-55.83	39.15	68.19	145	
C _M	54.62	-25.67	-33.25	42.01	232	
V _M	20.01	45.64	-56.27	72.45	309	
M _M	40.88	71.17	-34.09	78.92	334	
N _M	15.0	0.43	-3.23	3.26	278	
W _M	90.0	0.62	-5.76	5.79	276	
R _M	39.92	58.74	27.99	65.07	25	
J _M	81.26	-2.89	71.56	71.62	92	
G _M	52.23	-42.42	13.6	44.55	162	
B _M	30.57	1.41	-46.47	46.49	272	

Daten für Maximalfarbe (Ma):

$LAB^*LAB^*_{Ma}$: 29 27 -47

$LAB^*LCH^*_{Ma}$: 29 54 300

$lab^*rgb^*_{Ma}$: 0.5 0.0 1.0

$lab^*olv^*_{Ma}$: 0.0 0.12 1.0

Dreiecks-Helligkeit i^*

%Umfang

$u^*_{rel} = 88$

%Regularität

$g^*_{H,rel} = 31$

$g^*_{C,rel} = 40$

FRS09_92aM; adaptierte CIELAB-Daten									
u^*_e	$L^*=L^*_a$	a^*_a	b^*_a	$C^*_{ab,a}$	$h^*_{ab,a}$	u^*_d			
r00j	39.18	56.94	27.13	63.07	25	m81o			
r25j	42.41	49.1	44.5	66.26	42	o10y			
r50j	52.78	35.22	58.37	68.17	59	o40y			
r75j	64.82	19.12	74.47	76.89	76	o69y			
j00g	82.06	-3.94	97.52	97.6	92	o98y			
j25g	67.26	-26.87	74.67	79.36	110	y34l			
j50g	55.83	-43.45	57.11	71.76	127	y69l			
j75g	47.5	-54.18	38.3	66.35	145	i03c			
g00b	50.07	-44.09	14.13	46.3	162	i23c			
g25b	52.21	-35.66	-6.03	36.17	190	i55c			
g50b	53.9	-29.04	-21.87	36.36	217	i87c			
g75b	49.44	-15.51	-32.31	35.84	244	c20v			
b00r	41.36	1.15	-37.95	37.97	272	c53v			
b25r	28.74	27.19	-46.77	54.1	300	c87v			
b50r	33.74	61.97	-37.81	72.59	329	v68m			
b75r	40.08	64.26	-3.32	64.35	357	m33o			

$LAB^*cmy^n^*$

$i^*=1.00$

Brillantheit i^*

$i^*=0.80$

$i^*=0.60$

$i^*=0.40$

$i^*=0.20$

$i^*=0.00$

relative Buntheit c^*

relative Buntheit c^*

Ein und Ausgabe: Farbmetrisches Drucker-Reflektiv-System FRS09_92aM für relativen CIELAB-Buntton $h^* = lab^*h^* = h_{ab}/360 = 0.913$

Daten für jede Farbe:

lab^*tch^* und lab^*icu^*

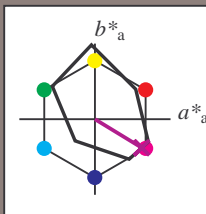
Bunttontexte:

$u^*_e = b50r$ $u^*_d = v68m$

Kontrastreduzierungsfaktor:

$c_R = 0.9$

Dreiecks-Helligkeit t^*



FRS09_92aM; CIELAB-Daten						
u^*_e	$L^*=L^*$	a^*	b^*	C^*_{ab}	h^*_{ab}	
O _M	38.8	54.41	35.65	65.05	33	
Y _M	82.58	-4.04	92.72	92.8	92	
L _M	46.95	-55.83	39.15	68.19	145	
C _M	54.62	-25.67	-33.25	42.01	232	
V _M	20.01	45.64	-56.27	72.45	309	
M _M	40.88	71.17	-34.09	78.92	334	
N _M	15.0	0.43	-3.23	3.26	278	
W _M	90.0	0.62	-5.76	5.79	276	
R _M	39.92	58.74	27.99	65.07	25	
J _M	81.26	-2.89	71.56	71.62	92	
G _M	52.23	-42.42	13.6	44.55	162	
B _M	30.57	1.41	-46.47	46.49	272	

Daten für Maximalfarbe (Ma):

$LAB^*LAB^*_{Ma}$: 34 62 -38

$LAB^*LCH^*_{Ma}$: 34 73 328

$lab^*rgb^*_{Ma}$: 1.0 0.0 1.0

$lab^*olv^*_{Ma}$: 0.68 0.0 1.0

Dreiecks-Helligkeit t^*

%Umfang

$u^*_{rel} = 88$

%Regularität

$g^*_{H,rel} = 31$

$g^*_{C,rel} = 40$

FRS09_92aM; adaptierte CIELAB-Daten									
u^*_e	$L^*=L^*$	a^*_a	b^*_a	$C^*_{ab,a}$	$h^*_{ab,a}$	u^*_d			
r00j	39.18	56.94	27.13	63.07	25	m81o			
r25j	42.41	49.1	44.5	66.26	42	o10y			
r50j	52.78	35.22	58.37	68.17	59	o40y			
r75j	64.82	19.12	74.47	76.89	76	o69y			
j00g	82.06	-3.94	97.52	97.6	92	o98y			
j25g	67.26	-26.87	74.67	79.36	110	y34l			
j50g	55.83	-43.45	57.11	71.76	127	y69l			
j75g	47.5	-54.18	38.3	66.35	145	l03c			
g00b	50.07	-44.09	14.13	46.3	162	l23c			
g25b	52.21	-35.66	-6.03	36.17	190	l55c			
g50b	53.9	-29.04	-21.87	36.36	217	l87c			
g75b	49.44	-15.51	-32.31	35.84	244	c20v			
b00r	41.36	1.15	-37.95	37.97	272	c53v			
b25r	28.74	27.19	-46.77	54.1	300	c87v			
b50r	33.74	61.97	-37.81	72.59	329	v68m			
b75r	40.08	64.26	-3.32	64.35	357	m33o			

$LAB^*cmy^n^*$

$i^*=1.00$

Brillantheit i^*

$i^*=0.80$

$i^*=0.60$

$i^*=0.40$

$i^*=0.20$

$i^*=0.00$

relative Buntheit c^*

relative Buntheit c^*

Ein und Ausgabe: Farbmetrisches Drucker-Reflektiv-System FRS09_92aM für relativen CIELAB-Buntton $h^* = lab^*h^* = h_{ab}/360 = 0.992$

Daten für jede Farbe:

lab^*tch^* und lab^*icu^*

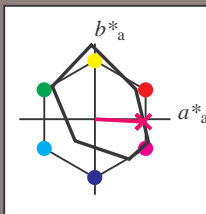
Bunttontexte:

$u^*_e = b75r$ $u^*_d = m33o$

Kontrastreduzierungsfaktor:

$c_R = 0.9$

Dreiecks-Helligkeit i^*



FRS09_92aM; CIELAB-Daten						
u^*_e	$L^*=L^*$	a^*	b^*	C^*_{ab}	h^*_{ab}	
O _M	38.8	54.41	35.65	65.05	33	
Y _M	82.58	-4.04	92.72	92.8	92	
L _M	46.95	-55.83	39.15	68.19	145	
C _M	54.62	-25.67	-33.25	42.01	232	
V _M	20.01	45.64	-56.27	72.45	309	
M _M	40.88	71.17	-34.09	78.92	334	
N _M	15.0	0.43	-3.23	3.26	278	
W _M	90.0	0.62	-5.76	5.79	276	
R _M	39.92	58.74	27.99	65.07	25	
J _M	81.26	-2.89	71.56	71.62	92	
G _M	52.23	-42.42	13.6	44.55	162	
B _M	30.57	1.41	-46.47	46.49	272	

Daten für Maximalfarbe (Ma):

$LAB^*LAB^*_{Ma}$: 40 64 -3

$LAB^*LCH^*_{Ma}$: 40 64 357

$lab^*rgb^*_{Ma}$: 1.0 0.0 0.5

$lab^*olv^*_{Ma}$: 1.0 0.0 0.66

Dreiecks-Helligkeit i^*

%Umfang

$u^*_{rel} = 88$

%Regularität

$g^*_{H,rel} = 31$

$g^*_{C,rel} = 40$

FRS09_92aM; adaptierte CIELAB-Daten									
u^*_e	$L^*=L^*$	a^*_a	b^*_a	$C^*_{ab,a}$	$h^*_{ab,a}$	u^*_d			
r00j	39.18	56.94	27.13	63.07	25	m81o			
r25j	42.41	49.1	44.5	66.26	42	o10y			
r50j	52.78	35.22	58.37	68.17	59	o40y			
r75j	64.82	19.12	74.47	76.89	76	o69y			
j00g	82.06	-3.94	97.52	97.6	92	o98y			
j25g	67.26	-26.87	74.67	79.36	110	y34l			
j50g	55.83	-43.45	57.11	71.76	127	y69l			
j75g	47.5	-54.18	38.3	66.35	145	l03c			
g00b	50.07	-44.09	14.13	46.3	162	l23c			
g25b	52.21	-35.66	-6.03	36.17	190	l55c			
g50b	53.9	-29.04	-21.87	36.36	217	l87c			
g75b	49.44	-15.51	-32.31	35.84	244	c20v			
b00r	41.36	1.15	-37.95	37.97	272	c53v			
b25r	28.74	27.19	-46.77	54.1	300	c87v			
b50r	33.74	61.97	-37.81	72.59	329	v68m			
b75r	40.08	64.26	-3.32	64.35	357	m33o			

$LAB^*cmy^n^*$

$i^* = 1.00$

Brillantheit i^*

$i^* = 0.80$

$i^* = 0.60$

$i^* = 0.40$

$i^* = 0.20$

$i^* = 0.00$

relative Buntheit c^*

relative Buntheit c^*

	A	B	C	D	E	F	G	H	I	J	K	L	M	N	O	P	Q	R	S	T	U	V	W	X	Y	Z	a	b	c	d	e	f	g	h	i	j	k	LAB*cmy* ⁹²
01	00																																					

Siehe ähnliche Dateien: <http://www.ps.bam.de/Eg33/>; www.ps.bam.de/Eg.HTM
Technische Information: <http://www.ps.bam.de> Version 2.1, io=1,1, ColSpx=0